

P<sub>2</sub>-B

HARVARD UNIVERSITY.



LIBRARY

OF THE

MUSEUM OF COMPARATIVE ZOOLOGY.

1926

GIFT OF

ALEX. AGASSIZ.

Replaced by N. Forst  
July 11 1890









# SYSTÈME SILURIEN

du

## CENTRE DE LA BOHÈME

par

**JOACHIM BARRANDE.**

*C'est ce que j'ai vu.  
Le témoin au juge.*

**1<sup>ère</sup>. Partie: Recherches Paléontologiques.**

**Vol. II.**

**C é p h a l o p o d e s.**

**2<sup>me</sup> Série: Planches 108 à 244.**

---

**1866.**

***Chez l'auteur et éditeur***

à Prague,  
Kleinseite Nr. 419 Choteksgasse.

à Paris,  
Rue Mézière Nr. 6 Faubg. St. Germain.

SYSTÈME DE LA SCIENCE

DE LA SCIENCE

PAR

LE

DR

LE

DE

DE

DE

DE

# A v i s.

Les planches de cette seconde série sont principalement destinées à exposer les figures de toutes les espèces ou variétés, que nous distinguons par des noms, parmi les formes de nos Nautilides, qui sont simplement arquées, et que nous comprenons dans le genre *Cyrtoceras* Goldfuss.

Le nombre de ces formes s'élève aujourd'hui à 240, et comme la richesse du bassin Silurien de la Bohême ne nous semble nullement épuisée, on peut attendre dans l'avenir un notable supplément à ce chiffre, en proportion du zèle de ceux qui continueront nos recherches. En attendant, nous constatons que tous les fossiles figurés dans cette série, comme dans la précédente et dans les suivantes, font partie de notre collection personnelle, à l'exception de quelques spécimens, qui nous ont été obligeamment prêtés par M. Schary, à qui nous offrons nos remerciemens.

Tous nos *Cyrtoceras* se rangent naturellement en deux sections principales, suivant la position de leur siphon relativement au bord convexe, ou bien au bord concave de la coquille.

Nous distinguons ces deux sections par les dénominations contrastantes: *exogastriques* et *endogastriques*, déjà introduites dans la science par M. Louis Saemann, et dont nous précisons le sens comme il suit:

- |                                      |  |
|--------------------------------------|--|
| Sect. I. Cyrtocères exogastriques.   | { Siphon variant de position à partir du bord convexe jusqu'au centre et même au delà, vers le bord concave. |
|                                      | { Sinus des ornemens sur le bord convexe.  |
| Sect. II. Cyrtocères endogastriques. | { Siphon placé contre le bord concave, ou très-peu éloigné de ce bord.                                       |
|                                      | { Sinus des ornemens sur le bord concave.  |

Les savans comprendront, qu'il nous a été impossible de séparer absolument les représentans de ces deux sections sur nos planches, comme nous l'eussions désiré pour faciliter l'étude de ce genre. Ils reconnaîtront notre bonne volonté sous ce rapport, en remarquant que les 50 premières planches de cette série, 108 à 158, sont exclusivement occupées par des formes exogastriques très prononcées, c. à d. qui ont leur siphon contre le bord convexe.

Par contraste, les 25 planches suivantes, 159 à 183, sont entièrement réservées aux formes endogastriques les plus caractérisées.

Un troisième groupe de 13 planches, 196 à 208, renferme les formes de ces deux sections que les circonstances ne nous ont pas permis de séparer comme les premières. Nous avons cependant réuni sur les planches 196 à 199 les espèces dont le siphon est central ou peu éloigné du centre. Ces formes rentrent naturellement dans la section des Cyrtocères exogastriques, comme nous le montrerons dans notre texte. Mais certaines d'entre elles présentent de grandes affinités, soit avec les *Orthoceras*, soit avec les *Trochoceras*.

Entre ce dernier groupe de planches et celui qui est consacré aux Cyrtocères endogastriques, nos savans lecteurs seront peut-être étonnés, au premier abord, de trouver une intercalation de 12 planches, 184 à 195, sur lesquelles nous avons uniquement figuré des Orthocères, qui constituent une section particulière dans ce genre, et que nous nommons *Orthocères brévicoènes*. Nous espérons néanmoins, que cette enclave isolée de certaines espèces d'un genre dans un autre genre nominalemeut distinct, trouvera grâce à leurs yeux, s'ils veulent bien remarquer, qu'il est à peu près impossible de tracer une limite certaine entre les formes brévicoènes de nos *Cyrtoceras* et les formes brévicoènes de nos *Orthoceras*.

La connexion intime et, pour ainsi dire, sans solution de continuité, entre ces deux types, est un fait d'autant plus important dans la science, qu'il semble se reproduire entre la plupart des types établis parmi nos Nautilides. Or, ce fait nous paraît simplement démontré par la comparaison des formes qui se suivent d'après la disposition de nos planches. Cette disposition, malgré son apparente irrégularité, a donc un but utile; et si ce but est atteint dans l'esprit des paléontologues, ils excuseront sans doute notre insolite arrangement.

A partir de la Pl. 209, les 22 planches qui suivent jusqu'à 230, ont été destinées à représenter les spécimens des *Orthocères longicoènes* de la Bohême les plus importants pour divers sujets de nos études générales, savoir:

1. Le dépôt organique dans le siphon.
2. Le dépôt organique dans les loges aériennes.
3. Les apparences du remplissage inorganique dans l'intérieur des Orthocères.
4. Les anomalies et accidens divers dans la conformation des individus.
5. Les apparences, soit du siphon, soit des cloisons, soit de la surface externe, résultant de l'état de conservation des fossiles.
6. La pénétration accidentelle de quelques coquilles dans d'autres coquilles d'un genre quelconque.

Une note précédant les explications des figures indique le but pour lequel les fossiles dessinés ont été réunis, sur chacune des planches de ce groupe.

Afin de donner une utile et indispensable extension à ces documents, nous avons figuré sur les Pl. 131 à 138 une série de fossiles très instructifs, qui proviennent des contrées paléozoïques étrangères. La plupart de ces fossiles appartiennent à notre illustre maître et ami M. Edouard de Verneuil, qui nous les a confiés avec sa libéralité accoutumée. Plusieurs font partie des belles collections de l'École impériale des Mines et du Jardin des Plantes, à Paris. Nous en devons la communication à la bienveillance de notre savant ami, M. le Prof. Bayle, de M. M. les Professeurs Bronquiart et Valenciennes, et de M. M. les conservateurs Charles d'Orbigny et Louis Rousseau. Divers spécimens de la Scandinavie nous ont été amicalement offerts par M. le Prof. Angelin.

Dans le même but de compléter les éléments de nos études, nous avons reproduit sur ces planches plusieurs figures également très-instructives, qui ont été publiées par divers paléontologues: feu Charles Stokes, M. le Doct. Bigsby, M. le Prof. James Hall, M. le Prof. Mac Coy et M. Louis Saemann.

Nous prions tous les savans, dont nous avons ainsi invoqué l'assistance dans nos recherches, de vouloir bien agréer l'expression de notre sincère reconnaissance.

Nous l'offrons de même à M. Billings, qui a bien voulu nous confier divers spécimens très-intéressans provenant des formations Siluriennes du Canada, mais que les circonstances ne nous ont pas permis de faire figurer à temps, pour les joindre à la présente série. Nous les réservons, comme ceux qui pourraient encore survenir, pour les planches destinées à accompagner le texte de nos études générales, par lesquelles nous terminerons notre travail sur les Céphalopodes.

Enfin, les Pl. 240, 240 bis &c. jusqu'à 244, qui complètent la présente série, renferment des documents supplémentaires pour divers genres déjà figurés, savoir: *Goniatites*, *Trochoceras*, *Hercoceras*, *Gyroceras*, *Phragmoceras*, *Gomphoceras* et *Cyrtoceras*.

Nous recommandons particulièrement la Pl. 241 à l'attention des savans, parcequ'elle expose les sections de divers spécimens de *Hercoceras mirum*, qui montrent les traces du rechargement à l'extérieur et de la résorption à l'intérieur du test. Au moyen de cette double opération, incessamment répétée, ce mollusque, dont la coquille semble murée au gros bout par un diaphragme transverse, pouvait cependant prolonger ses tours de spire et se développer aussi bien que ceux des Nautilides, dont l'ouverture est la plus simple et la plus libre.

Les savans qui cherchent à distinguer les époques géologiques par le contraste des principaux éléments de leurs faunes, auront déjà remarqué, dans les tableaux de la distribution verticale des Céphalopodes, constituant notre 1<sup>ère</sup> série, l'extrême inégalité avec laquelle cette classe est répartie entre les faunes seconde et troisième de la Bohême. Cette inégalité est rendue encore plus frappante, par le résumé que nous offrons aujourd'hui de la distribution verticale de tous nos Céphalopodes, à l'exception du seul genre *Orthoceras*. Notre tableau montre en effet, qu'en faisant abstraction des Orthocères, les 447 formes figurées dans nos deux premières séries appartiennent à notre faune troisième, à l'exception de 4, réparties comme il suit:

- 1 *Lituities* dans d 1
  - 1 *Gomphoceras* dans d 5
  - 2 *Cyrtoceras* dans nos Colonies.
- 
- 4

Ainsi, notre faune seconde, même en lui associant nos Colonies, ne possède pas  $\frac{1}{100}$  du nombre des Céphalopodes de nos deux premières séries.

Lorsque nous exposerons la distribution verticale de nos Orthocères et autres formes droites, qui représentent ensemble plus de 400 espèces, l'extrême disproportion que nous signalons s'effacera un peu, mais elle restera cependant comme l'un des caractères les plus contrastans entre notre faune seconde et notre faune troisième, comme aussi entre notre faune seconde et nos Colonies.

Nous devons nous borner aujourd'hui à cet aperçu, qui sera convenablement développé dans la suite de ce travail.

La livraison de texte qui est sous presse et qui suivra de près la 2<sup>e</sup> série de nos planches, comprendra la description de tous les genres et espèces de Céphalopodes de notre bassin, à l'exception des Orthocères, qui, par leur nombre, exigeront une livraison spéciale.

Prague, 1. mars 1866.

J. Barrande.



Nr.	Genres et espèces	A	B	C	D				E		F		G		H		Planches	
					d1	d2	d3	d4	d5	e1	e2	f1	f2	g1	g2	g3		h1
<b>Cyrtoceras (suite.)</b>																		
13	Alinae . . . . .	Barr.	.	.	.	.	.	.	.	+	.	.	.	.	.	.	135—136	
14	Alphaeus . . . . .	Barr.	.	.	.	.	.	.	.	+	.	.	.	.	.	.	120	
15	ambiguum . . . . .	Barr.	.	.	.	.	.	.	.	+	.	.	.	.	.	.	158—203	
16	ancillans . . . . .	Barr.	.	.	.	.	.	.	.	+	.	.	.	.	.	.	206—207	
17	Angelini . . . . .	Barr.	.	.	.	.	.	.	.	+	.	.	.	.	.	.	145—157? 200	
18	anormale . . . . .	Barr.	.	.	.	.	.	.	.	+	.	.	.	.	.	.	139	
19	aperium . . . . .	Barr.	.	.	.	.	.	.	.	.	.	.	+	.	.	.	146	
20	bauloïdes . . . . .	Barr.	.	.	.	.	.	.	.	+	.	.	.	.	.	.	117—204	
21	Baylei . . . . .	Barr.	.	.	.	.	.	.	.	+	.	.	.	.	.	.	135—143	
22	bellulum . . . . .	Barr.	.	.	.	.	.	.	.	.	.	+	.	.	.	.	Non figuré.	
23	Beaumonti . . . . .	Barr.	.	.	.	.	.	.	+	+	.	.	.	.	.	.	165	
24	Beraunense . . . . .	Barr.	.	.	.	.	.	.	.	+	.	.	.	.	.	.	183	
25	bigener . . . . .	Barr.	.	.	.	.	.	.	.	+	.	.	.	.	.	.	170	
26	Bolli . . . . .	Barr.	.	.	.	.	.	.	.	.	.	.	+	.	.	.	119—145	
27	bombyx . . . . .	Barr.	.	.	.	.	.	.	.	+	.	.	.	.	.	.	139	
28	bonum . . . . .	Barr.	.	.	.	.	.	.	.	+	.	.	.	.	.	.	167	
29	botulus . . . . .	Barr.	.	.	.	.	.	.	.	.	.	.	+	.	.	.	145	
30	bryozoon . . . . .	Barr.	.	.	.	.	.	.	.	.	.	+	.	.	.	.	202	
31	Camillæ . . . . .	Barr.	.	.	.	.	.	.	.	+	.	.	.	.	.	.	134	
32	canna . . . . .	Barr.	.	.	.	.	.	.	.	+	.	.	.	.	.	.	155	
33	capuloïdes . . . . .	Barr.	.	.	.	.	.	.	.	+	.	.	.	.	.	.	166	
34	Castor . . . . .	Barr.	.	.	.	.	.	.	.	+	.	.	.	.	.	.	148	
	Var. de <i>Pollux</i> . . . . .	Barr.	.	.	.	.	.	.	.	+	.	.	.	.	.	.		
35	carum . . . . .	Barr.	.	.	.	.	.	.	.	+	.	.	.	.	.	.	152	
36	circumflexum . . . . .	Barr.	.	.	.	.	.	.	.	+	.	.	.	.	.	.	120—208	
37	clavulus . . . . .	Barr.	.	.	.	.	.	.	.	+	.	.	.	.	.	.	157—197—223	
38	clava . . . . .	Barr.	.	.	.	.	.	.	.	+	.	.	.	.	.	.	117	
39	cognatum . . . . .	Barr.	.	.	.	.	.	.	.	+	.	.	.	.	.	.	199	
40	concors . . . . .	Barr.	.	.	.	.	.	.	.	+	.	.	.	.	.	.	133—134	
41	confertum . . . . .	Barr.	.	.	.	.	.	.	.	+	.	.	.	.	.	.	137	
42	confine . . . . .	Barr.	.	.	.	.	.	.	.	+	.	.	.	.	.	.	136—138	
43	consanguæ . . . . .	Barr.	.	.	.	.	.	.	.	+	.	.	.	.	.	.	199	
44	consimile . . . . .	Barr.	.	.	.	.	.	.	.	+	.	.	.	.	.	.	197	
45	conspicuum . . . . .	Barr.	.	.	.	.	.	.	.	+	.	.	.	.	.	.	173	
46	constringens . . . . .	Barr.	.	.	.	.	.	.	.	+	.	.	.	.	.	.	156	
47	contrarium . . . . .	Barr.	.	.	.	.	.	.	.	+	.	.	.	.	.	.	146	
	Var. de <i>quasi-rectum</i> . . . . .	Barr.	.	.	.	.	.	.	.	+	.	.	.	.	.	.		
48	corbulatum . . . . .	Barr.	.	.	.	.	.	.	.	+	.	.	.	.	.	.	125—224	
49	cordigerum . . . . .	Barr.	.	.	.	.	.	.	.	+	.	.	.	.	.	.	142	
50	corniculum . . . . .	Barr.	.	.	.	.	.	.	.	+	.	.	.	.	.	.	121—217	
51	crassiusculum . . . . .	Barr.	.	.	.	.	.	.	.	.	.	+	.	.	.	.	145	
52	cuneiforme . . . . .	Barr.	.	.	.	.	.	.	.	+	.	.	.	.	.	.	169—182	
53	cyathus . . . . .	Barr.	.	.	.	.	.	.	.	+	.	.	.	.	.	.	153	
54	cycloïdium . . . . .	Barr.	.	.	.	.	.	.	.	+	.	.	.	.	.	.	141	
55	cyclostomum . . . . .	Barr.	.	.	.	.	.	.	.	+	.	.	.	.	.	.	154—157	
56	eylindraecum . . . . .	Barr.	.	.	.	.	.	.	.	+	.	.	.	.	.	.	139	
57	Danai . . . . .	Barr.	.	.	.	.	.	.	.	+	.	.	.	.	.	.	171	
58	debile . . . . .	Barr.	.	.	.	.	.	.	.	+	.	.	.	.	.	.	168—177	
59	decipiens . . . . .	Barr.	.	.	.	.	.	.	.	+	.	.	.	.	.	.	147—154	
60	decurio . . . . .	Barr.	.	.	.	.	.	.	.	+	.	.	.	.	.	.	240	
61	delicatum . . . . .	Barr.	.	.	.	.	.	.	.	+	.	.	.	.	.	.	196	
62	derelictum . . . . .	Barr.	.	.	.	.	.	.	.	+	.	.	.	.	.	.	109	
63	devoniciens . . . . .	Barr.	.	.	.	.	.	.	.	.	.	.	+	.	.	.	240	
64	discoïdium . . . . .	Barr.	.	.	.	.	.	.	.	+	.	.	.	.	.	.	135	
65	discrepans . . . . .	Barr.	.	.	.	.	.	.	.	+	.	.	.	.	.	.	167—196	
66	discretum . . . . .	Barr.	.	.	.	.	.	.	.	+	.	.	.	.	.	.	120	
67	distentum . . . . .	Barr.	.	.	.	.	.	.	.	.	+	.	.	.	.	.	114	
68	dives . . . . .	Barr.	.	.	.	.	.	.	.	+	.	.	.	.	.	.	123	
69	dolium . . . . .	Barr.	.	.	.	.	.	.	.	+	.	.	.	.	.	.	178	

Nr.	Genres et espèces	A	B	C	D				E		F		G		H		Planches
					d1	d2	d3	d4	d5	e1	e2	f1	f2	g1	g2	g3	
<b>Cyrtoceras (suite.)</b>																	
70	dorsnosum . . . . .	Barr.	.	.	.	.	.	.	.	+	.	.	.	.	.	.	152
71	electum . . . . .	Barr.	.	.	.	.	.	.	.	+	.	.	.	.	.	.	177
72	elongatum . . . . .	Barr.	.	.	.	.	.	.	.	+	.	.	.	.	.	.	109-117-157-202-205-208
73	ereuila . . . . .	Barr.	.	.	.	.	.	.	.	+	.	.	.	.	.	.	174
74	errans . . . . .	Barr.	.	.	.	.	.	.	.	+	.	.	.	.	.	.	133
75	esuriens . . . . .	Barr.	.	.	.	.	.	.	.	+	.	.	.	.	.	.	166
76	exesum . . . . .	Barr.	.	.	.	.	.	.	.	.	+	.	.	.	.	.	207
77	exile . . . . .	Barr.	.	.	.	.	.	.	.	.	.	.	.	.	.	.	124-131
78	expandens . . . . .	Barr.	.	.	.	.	.	.	.	+	.	.	.	.	.	.	167
79	extenuatum . . . . .	Barr.	.	.	.	.	.	.	.	+	.	.	.	.	.	.	137
80	famelium . . . . .	Barr.	.	.	.	.	.	.	.	+	.	.	.	.	.	.	207
81	fallax . . . . .	Barr.	.	.	.	.	.	.	.	+	.	.	.	.	.	.	149-193-208
82	fasciatum . . . . .	Barr.	.	.	.	.	.	.	.	+	.	.	.	.	.	.	113-206
83	fenestratum . . . . .	Barr.	.	.	.	.	.	.	.	+	.	.	.	.	.	.	199
84	fidum . . . . .	Barr.	.	.	.	.	.	.	.	+	.	.	.	.	.	.	149
85	Forbesi . . . . .	Barr.	.	.	.	.	.	.	.	+	.	.	.	.	.	.	115-129
86	formidandum . . . . .	Barr.	.	.	.	.	.	.	.	+	.	.	.	.	.	.	139
87	forte . . . . .	Barr.	.	.	.	.	.	.	.	+	.	.	.	.	.	.	161-174-176
88	fortiusculum . . . . .	Barr.	.	.	.	.	.	.	.	+	.	.	.	.	.	.	207
89	fortunatum . . . . .	Barr.	.	.	.	.	.	.	.	+	.	.	.	.	.	.	113
90	fractum . . . . .	Barr.	.	.	.	.	.	.	.	+	.	.	.	.	.	.	169
91	fragile . . . . .	Barr.	.	.	.	.	.	.	.	+	.	.	.	.	.	.	168
92	fraternum . . . . .	Barr.	.	.	.	.	.	.	.	+	.	.	.	.	.	.	109
93	fugax . . . . .	Barr.	.	.	.	.	.	.	.	+	.	.	.	.	.	.	197
94	Geinitzi . . . . .	Barr.	.	.	.	.	.	.	.	+	.	.	.	.	.	.	122-208
95	gibbum . . . . .	Barr.	.	.	.	.	.	.	.	+	.	.	.	.	.	.	129-147
96	Giebeli . . . . .	Barr.	.	.	.	.	.	.	.	+	.	.	.	.	.	.	123
97	grande . . . . .	Barr.	.	.	.	.	.	.	.	+	.	.	.	.	.	.	158
98	grave . . . . .	Barr.	.	.	.	.	.	.	.	.	.	+	.	.	.	.	240
99	Halli . . . . .	Barr.	.	.	.	.	.	.	.	.	.	+	.	.	.	.	180
100	Haueri . . . . .	Barr.	.	.	.	.	.	.	.	+	.	.	.	.	.	.	119-123
101	hebes . . . . .	Barr.	.	.	.	.	.	.	.	+	.	.	.	.	.	.	Non figuré.
102	heteroclytum . . . . .	Barr.	.	.	.	.	.	.	.	.	+	.	.	.	.	.	118
103	Hoernesii . . . . .	Barr.	.	.	.	.	.	.	.	+	.	.	.	.	.	.	127
104	honestum . . . . .	Barr.	.	.	.	.	.	.	.	+	.	.	.	.	.	.	Non figuré.
105	hospitale . . . . .	Barr.	.	.	.	.	.	.	.	+	.	.	.	.	.	.	151
106	humile . . . . .	Barr.	.	.	.	.	.	.	.	+	.	.	.	.	.	.	205
107	hybrida . . . . .	Barr.	.	.	.	.	.	.	.	+	.	.	.	.	.	.	177
108	ibis . . . . .	Barr.	.	.	.	.	.	.	.	+	.	.	.	.	.	.	206
109	learus . . . . .	Barr.	.	.	.	.	.	.	.	+	.	.	.	.	.	.	143
110	imbelle . . . . .	Barr.	.	.	.	.	.	.	.	+	.	.	.	.	.	.	167-175
111	imbricans . . . . .	Barr.	.	.	.	.	.	.	.	+	.	.	.	.	.	.	155
112	impatiens . . . . .	Barr.	.	.	.	.	.	.	.	+	.	.	.	.	.	.	120-208
113	imperiale . . . . .	Barr.	.	.	.	.	.	.	.	+	.	.	.	.	.	.	111-208
114	imperitum . . . . .	Barr.	.	.	.	.	.	.	.	+	.	.	.	.	.	.	240
115	indomitum . . . . .	Barr.	.	.	.	.	.	.	.	+	.	.	.	.	.	.	162
116	iners . . . . .	Barr.	.	.	.	.	.	.	.	+	.	.	.	.	.	.	122
117	inexpectatum . . . . .	Barr.	.	.	.	.	.	.	.	+	+	.	.	.	.	.	168-174
118	infidum . . . . .	Barr.	.	.	.	.	.	.	.	+	.	.	.	.	.	.	206-240 bis
119	inflectens . . . . .	Barr.	.	.	.	.	.	.	.	+	.	.	.	.	.	.	113-240
120	innoxium . . . . .	Barr.	.	.	.	.	.	.	.	+	.	.	.	.	.	.	167
121	insociale . . . . .	Barr.	.	.	.	.	.	.	.	+	.	.	.	.	.	.	148-159-166
122	intermedium . . . . .	Barr.	.	.	.	.	.	.	.	+	.	.	.	.	.	.	147-149-150-151
123	inversum . . . . .	Barr.	.	.	.	.	.	.	.	+	.	.	.	.	.	.	155-217
124	invisum . . . . .	Barr.	.	.	.	.	.	.	.	+	.	.	.	.	.	.	136-138
125	iridis . . . . .	Barr.	.	.	.	.	.	.	.	+	.	.	.	.	.	.	153
126	Junceum . . . . .	Barr.	.	.	.	.	.	.	.	.	+	.	.	.	.	.	156
	Var. de <i>pugio</i> . . . . .	Barr.	.	.	.	.	.	.	.	.	.	.	.	.	.	.	
127	lalens . . . . .	Barr.	.	.	.	.	.	.	.	+	.	.	.	.	.	.	141



Nr.	Genres et espèces	A	B	C	D				E		F	G			H			Planches
					d1	d2	d3	d4	d5	e1	e2	f1	f2	g1	g2	g3	h1	
<b>Cyrtoceras (suite.)</b>																		
185	rarum . . . . .	Barr.	.	.	.	.	.	.	.	+	.	.	.	.	.	.	.	113
186	rebelle . . . . .	Barr.	.	.	.	.	.	.	.	.	+	.	.	.	.	.	.	164
187	recurvum . . . . .	Barr.	.	.	.	.	.	.	.	.	.	.	.	.	.	.	.	126—139
188	residuum . . . . .	Barr.	.	.	.	.	.	.	.	.	.	.	.	.	.	+	.	286
189	retroflexum . . . . .	Barr.	.	.	.	.	.	.	.	.	+	.	.	.	.	.	.	243
190	rivale . . . . .	Barr.	.	.	.	.	.	.	.	.	.	.	.	.	.	.	.	132
191	Roemeri . . . . .	Barr.	.	.	.	.	.	.	.	.	.	.	.	.	.	.	.	203
192	rotundum . . . . .	Barr.	.	.	.	.	.	.	.	.	.	.	.	.	.	.	+	113
193	rugulolum . . . . .	Barr.	.	.	.	.	.	.	.	.	.	.	.	.	.	.	.	156
194	Salteri . . . . .	Barr.	.	.	.	.	.	.	.	.	.	.	.	.	.	.	.	149
195	sanum . . . . .	Barr.	.	.	.	.	.	.	.	.	.	.	.	.	.	.	+	145
196	Scharyi . . . . .	Barr.	.	.	.	.	.	.	.	.	.	.	.	.	.	.	.	134—201
197	secans . . . . .	Barr.	.	.	.	.	.	.	.	.	.	.	.	.	.	.	.	159—181
198	selectum . . . . .	Barr.	.	.	.	.	.	.	.	.	.	.	.	.	.	.	.	130
199	semilectum . . . . .	Barr.	.	.	.	.	.	.	.	.	.	.	.	.	.	.	.	198
200	sequax . . . . .	Barr.	.	.	.	.	.	.	.	.	.	.	.	.	.	.	.	152
201	serratulum . . . . .	Barr.	.	.	.	.	.	.	.	.	.	.	.	.	.	.	+	240 bis
202	serum . . . . .	Barr.	.	.	.	.	.	.	.	.	.	.	.	.	.	.	.	122—137—138
203	sica . . . . .	Barr.	.	.	.	.	.	.	.	.	.	.	.	.	.	.	.	124
204	Silenus . . . . .	Barr.	.	.	.	.	.	.	.	.	.	.	.	.	.	.	.	179
205	simulans . . . . .	Barr.	.	.	.	.	.	.	.	.	.	.	.	.	.	.	.	164
206	Simon . . . . .	Barr.	.	.	.	.	.	.	.	.	.	.	.	.	.	.	.	144—157
207	sinuatulum . . . . .	Barr.	.	.	.	.	.	.	.	.	.	.	.	.	.	.	.	153
208	sociale . . . . .	Barr.	.	.	.	.	.	.	.	.	.	.	.	.	.	.	.	108—205
209	solitarium . . . . .	Barr.	.	.	.	.	.	.	.	.	.	.	.	.	.	.	.	155
210	Sosia . . . . .	Barr.	.	.	.	.	.	.	.	.	.	.	.	.	.	.	.	140
211	speciosum . . . . .	Barr.	.	.	.	.	.	.	.	.	.	.	.	.	.	.	.	170—178—217
212	sporadicum . . . . .	Barr.	.	.	.	.	.	.	.	.	.	.	.	.	.	.	+	151—205
213	strangulatum . . . . .	Barr.	.	.	.	.	.	.	.	.	.	.	.	.	.	.	.	140
214	stygiæ . . . . .	Barr.	.	.	.	.	.	.	.	.	.	.	.	.	.	.	.	131
215	sub-rectum . . . . .	Barr.	.	.	.	.	.	.	.	.	.	.	.	.	.	.	.	121
	Var. de <i>corniculum</i> . . . . .	Barr.	.	.	.	.	.	.	.	.	.	.	.	.	.	.	.	
216	Suessi . . . . .	Barr.	.	.	.	.	.	.	.	.	.	.	.	.	.	.	.	177
217	sulcatulum . . . . .	Barr.	.	.	.	.	.	.	.	.	.	.	.	.	.	.	.	197—207—240 bis
218	superbum . . . . .	Barr.	.	.	.	.	.	.	.	.	.	.	.	.	.	.	.	128
219	superstes . . . . .	Barr.	.	.	.	.	.	.	.	.	.	.	.	.	.	.	+	154
220	tardum . . . . .	Barr.	.	.	.	.	.	.	.	.	.	.	.	.	.	.	.	116—147
221	tesseractum . . . . .	Barr.	.	.	.	.	.	.	.	.	.	.	.	.	.	.	.	199
222	Thetidis . . . . .	Barr.	.	.	.	.	.	.	.	.	.	.	.	.	.	.	.	112—208
223	timidum . . . . .	Barr.	.	.	.	.	.	.	.	.	.	.	.	.	.	.	.	126—135—203
224	Tribby . . . . .	Barr.	.	.	.	.	.	.	.	.	.	.	.	.	.	.	.	157
225	truncum . . . . .	Barr.	.	.	.	.	.	.	.	.	.	.	.	.	.	.	.	196
226	tumefactum . . . . .	Barr.	.	.	.	.	.	.	.	.	.	.	.	.	.	.	.	168
227	ultimum . . . . .	Barr.	.	.	.	.	.	.	.	.	.	.	.	.	.	.	.	129
228	uniforme . . . . .	Barr.	.	.	.	.	.	.	.	.	.	.	.	.	.	.	.	207
229	Uranus . . . . .	Barr.	.	.	.	.	.	.	.	.	.	.	.	.	.	.	.	196
230	urbanum . . . . .	Barr.	.	.	.	.	.	.	.	.	.	.	.	.	.	.	.	198
231	validum . . . . .	Barr.	.	.	.	.	.	.	.	.	.	.	.	.	.	.	.	114
232	velox . . . . .	Barr.	.	.	.	.	.	.	.	.	.	.	.	.	.	.	.	154—157—223—240 bis
233	verna . . . . .	Barr.	.	.	.	.	.	.	.	.	.	.	.	.	.	.	.	108—147
234	vestitum . . . . .	Barr.	.	.	.	.	.	.	.	.	.	.	.	.	.	.	.	173
235	veteranum . . . . .	Barr.	.	.	.	.	.	.	.	.	.	.	.	.	.	.	.	208
236	victor . . . . .	Barr.	.	.	.	.	.	.	.	.	.	.	.	.	.	.	.	132
237	virgula . . . . .	Barr.	.	.	.	.	.	.	.	.	.	.	.	.	.	.	.	173
238	vittatum . . . . .	Barr.	.	.	.	.	.	.	.	.	.	.	.	.	.	.	.	153
239	vivax . . . . .	Barr.	.	.	.	.	.	.	.	.	.	.	.	.	.	.	.	119
240	Zebra . . . . .	Barr.	.	.	.	.	.	.	.	.	.	.	.	.	.	.	.	168
									2	26	196	6	4	7	10			

Nr.	Genres et espèces	A	B	C	D			E	F	G		H		Planches
					d1	d2	d3	d4	d5	e1	e2	f1	f2	
	<b>Orthoceras</b> . . . . . Breyn.													
	<b>I. (breviconi.)</b>													
1	alternans . . . . . Barr.							+						193
2	citum . . . . . Barr.								+					185
3	compulsum . . . . . Barr.							+						78—191
	voir <i>tennicinctum</i> . . . . . Barr.													
4	conjugatum . . . . . Barr.							+						195
5	connexum . . . . . Barr.							+						192
6	debilitatum . . . . . Barr.								+					188
	Var. de <i>robustum</i> . . . . .													
7	decurtatum . . . . . Barr.							+						193
8	discors . . . . . Barr.							+						194
9	excussum . . . . . Barr.								+					185
10	felis . . . . . Barr.										+			90
11	grave . . . . . Barr.							+						195
12	Héberti . . . . . Barr.							+						184
13	homologum . . . . . Barr.								+					185
14	incongruens . . . . . Barr.							+						192
15	indocile . . . . . Barr.							+						185
16	infundibulum . . . . . Barr.							+						190—191
17	longulum . . . . . Barr.							+						187
18	minoratum . . . . . Barr.							+						191
19	mitra . . . . . Barr.							+						192
20	mundum . . . . . Barr.							+						186
21	particeps . . . . . Barr.							+						186
22	pileus . . . . . Barr.							+						190
23	poculum . . . . . Barr.							+						187
24	praepotens . . . . . Barr.								+					185
25	proclinans . . . . . Barr.							+						192
26	prosperum . . . . . Barr.							+						185
27	reutissimum . . . . . Barr.							+						190
28	robustum . . . . . Barr.							+	+					159—187—188—193
29	semi-planum . . . . . Barr.							+						190
30	Sternbergi . . . . . Barr.							+						189
	<i>tennicinctum</i> voir <i>compulsum</i> Barr.							+						78
31	Tetinense . . . . . Barr.								+					192
	<b>Orthoceras</b> . . . . . Breyn.													
	<b>II. (Longiconi.)</b>													
1	Agassizi . . . . . Barr.							+						227—228—280—281—282
2	amænum . . . . . Barr.							+	+					224—395
3	annulatum . . . . . Sow.							+	+					225—290—291
4	anomalum . . . . . Barr.							+	+					239
5	Arion . . . . . Barr.							+	+					221—347—408
6	Bacchus . . . . . Barr.							+	+					213—262—270—271
7	Billingsi . . . . . Barr.							+	+					211—257—263
8	Bohemicum . . . . . Barr.							+	+					214—215—288—289—310
9	bonum . . . . . Barr.			+										228—247—413
10	calamoides . . . . . Barr.							+						164
11	caevum . . . . . Barr.							+	+					214—223—363
12	culler . . . . . Barr.							+	+					239—347
13	currens . . . . . Barr.							+	+					221—222—224—407
14	decipiens . . . . . Barr.							+	+					217—223—254—324—350
15	Duponli . . . . . Barr.							+						212—285?—324
16	exoticum . . . . . Barr.							+						216
17	explanans . . . . . Barr.							+	+					213—318—349
18	fistula . . . . . Barr.							+						225
19	Ganymedes . . . . . Barr.							+	+					239—306—389
20	Gruenevaldi . . . . . Barr.							+	+					217—315
21	Gryphus . . . . . Barr.							+	+					210—221—370
22	Hoernesii . . . . . Barr.							+	+					213—333



Résumé de la distribution verticale des Céphalopodes siluriens de la 1<sup>ère</sup> et de la 2<sup>me</sup> série en Bohême, à l'exception des **Orthoceras**.

Nr.	Genres	AB	C	D				E		F		G		H		Espèces et Variétés distinctes
				d1 d2	d3 d4	d4 d5		e1	e2	f1 f2		g1 g2	g3	h1 h2	h3	
1 <sup>ère</sup> Série et supplément.																
1	Goniatices . . . . .									5	2	1	4	1		17
2	Nothoceras . . . . .												1			1
3	Trochoceras . . . . .							6	36	2	3		1			45
4	Nautilus . . . . .								5				2			7
5	Gyroceras . . . . .									1	2	1	4	1		8
6	Heroceras . . . . .												2			2
7	Lituites . . . . .		1													1
8	Ophidioceras . . . . .							6	1							6
9	Phragmoceras . . . . .							2	24				9			33
10	Gomphoceras . . . . .						1	1	61	1			8			72
11	Ascoceras . . . . .							1	10							11
12	Aphragmites . . . . .								2							2
13	Glossoceras . . . . .								2							2
	totaux . . . . .		1				1	16	141	9	7	2	41	2		207
2 <sup>me</sup> Série.																
14	Cyrtoceras . . . . .							2	26	196	6	4	7	10		240
	totaux pour les deux séries . . . . .		1				3	42	337	6	13	14	2	51	2	447
							4		379	19		67	2			

## Nautilides des contrées étrangères figurés dans cette série.

Nr.	Dénominations des auteurs	Horizon géologique et contrée	Planches
<b>Actinoceras</b> . . . . . Bronn.			
1	Bigsbyi . . . . . Bronn.	Silurien — Lac Huron — Etats-Unis	231
2	sp. . . . . Bronn.	do. do. do.	231
3	pyramidalum . . . . . M'Coy.	Carbonifère — Irlande	232—234
4	Richardsoni? . . . . . Casteln.	Silurien — Lac Huron — Etats-Unis	234
5	sp. (siphon) . . . . . Sacm.	do. do. do.	232
<b>Endoceras</b> . . . . . Hall.			
1	longissimum? . . . . . Hall.	Silurien inférieur — Etats-Unis	236
2	indéterminé . . . . .	do. do.	236
<b>Ormoceras</b> . . . . . Stokes.			
1	Bayfieldi . . . . . Stokes.	Silurien — Lac Huron — Etats-Unis	231
2	tennifilum . . . . . Hall.	Silurien — Black River — Etats-Unis	237
3	vertebratum . . . . . Hall.	Silurien — Clinton-group — New-York	232—237
<b>Orthoceras</b> . . . . . Breyn.			
1	angulatum . . . . . Wahl.	Silurien supérieur — Ile de Gothland	233
2	crassiventre . . . . . Wahl.	do. do.	233—237
3	duplex . . . . . Wahl.	Silurien inférieur — Russie et Scandinavie	233—236—238
4	giganteum . . . . . Sow.	Carbonifère — Visé — Belgique	235
5	inubricatum . . . . . Wabl.	Silurien supérieur — Ile de Gothland	228—233
6	intermedium . . . . . Mark.	do. do.	230
7	Laumonii . . . . . Barr.	Dévonien — Nêhou? France	235
8	Puzosi . . . . . Barr.	do. do.? do.	211—235
9	Rottermundi . . . . . Barr.	Silurien — Amérique du Nord	220
10	Thomsoni . . . . . Barr.	Silurien — Ecosse	214
11	trochleare . . . . . Ilis.	Silurien infér. — St. Petersbourg — Russie	238
12	indéterminé . . . . . Breyn.	Silurien inférieur — Scandinavie	216
13	do. . . . . Vern.	Silurien — Ohio — Etats-Unis	216
14	do. . . . . Bill.	Silurien — Canada	220
15	do. . . . . Stokes.	Silurien inférieur — Russie	232
16	do. . . . . Coll. Puzos.	Silurien supérieur? — Franconie	325
<b>Siphons isolés d'Orthocères.</b>			
<b>Huronia</b> . . . . . Stokes.			
1	sphaeroidalis . . . . . Stokes.	Silurien — Lac Huron — Etats-Unis	232
2	Portlocki . . . . . Stokes.	do. do. do.	232
3	vertebralis . . . . . Stokes.	do. do. do.	231
4	indéterminé . . . . . Stokes.	Silurien — Amérique septentrionale	231
5	do. . . . . Stokes.		
Siphons divers dont le diamètre va en décroissant vers le haut . . . . .		Silurien — Lac Huron — Etats-Unis	232
Siphons divers des Orthocères <i>Vaginati</i> . . . . .		Silurien inférieur — Russie	238
<b>Cyrtoceras</b> . . . . . Goldf.			
	indéterminé . . . . . Bill.	Silurien — Canada	220





Fig.

Etage

**Cyrtoceras sociale.** Barr. . . . . E  
(voir Pl. 205.)

1. Spécimen vu par la face latérale, montrant le moule interne de la grande chambre et la majeure partie des loges aériennes conservant leur test. On voit une rangée de crénelures autour de la base de la grande chambre. *Dlauha Hora.*
2. *id.* vu par le côté convexe, montrant le sinus des ornements au droit du siphon, mis à nu par une section longitudinale.
3. *id.* trois éléments du siphon grossis, avec la trace des cloisons.
4. *id.* section transverse, orientée comme la fig. 1 et montrant la position du siphon.
5. *id.* section longitudinale d'un fragment du test, grossi, pour montrer l'imbrication directe des ornements.
6. Autre spécimen vu par la face latérale, montrant le bord de l'ouverture, la grande chambre, presque toutes les loges aériennes et une partie du test. Les ornements sont moins prononcés que sur le spécimen fig. 1. *Lochkov.*
7. *id.* section transverse orientée comme la fig. 6 et montrant la position du siphon.
8. *id.* section longitudinale du test, montrant la saillie relativement faible des ornements.
9. Autre spécimen plus jeune et vu par la face latérale, montrant le bord de l'ouverture, la grande chambre, une longue série de loges aériennes et une grande partie du test. Les ornements sont peu saillants. *Dlauha Hora.*
10. *id.* vu par le côté convexe ou ventral, montrant le sinus des ornements au droit du siphon, mis à nu par une section longitudinale.
11. *id.* cloison orientée comme la fig. 9 et montrant la position du siphon.
12. *id.* section longitudinale d'un fragment du test grossi, pour montrer le profil peu saillant et arrondi des ornements.

Fig.

Etage.

**Cyrtoceras æquale.** Barr. . . . . E  
(voir Pl. 202.)

13. Spécimen vu par la face latérale, montrant le bord de l'ouverture, la grande chambre et une longue série de loges aériennes, avec quelques fragments du test. *Lochkov.*
14. *id.* vu par le côté convexe, montrant le siphon mis à nu sur deux points, par une section longitudinale.
15. *id.* cloison vue par la face convexe. Elle est orientée comme la fig. 13 et montre la position du siphon.
16. *id.* trois éléments du siphon grossis, avec la trace des cloisons.
17. Autre spécimen vu par la face latérale, montrant le bord intact de l'ouverture et la plus grande partie de la coquille, conservant des fragments du test. La limite inférieure de la grande chambre n'est pas visible. *Kozorç.*
18. Autre spécimen, jeune, presque complet et conservant tout son test. *Hinter-Kopanina.*

**Cyrtoceras verna.** Barr. . . . . E  
(voir Pl. 147.)

19. Spécimen vu par la face latérale, montrant le bord de l'ouverture, la grande chambre et toute la série des loges aériennes. Le test n'est représenté que par un fragment, vers l'ouverture de la coquille. *Dlauha Hora.*
20. *id.* section transverse, orientée comme la fig. 19 et montrant la position du siphon.
21. Autre spécimen vu par le côté convexe ou ventral, montrant les ornements du test et leur sinus au droit du siphon, mis à nu par une section longitudinale. *Hinter-Kopanina.*
22. *id.* trois éléments du siphon grossis avec la trace des cloisons.

N. B. Les figures Pl. 147 sont destinées à compléter la connaissance de cette espèce, notamment au sujet de sa pointe initiale.

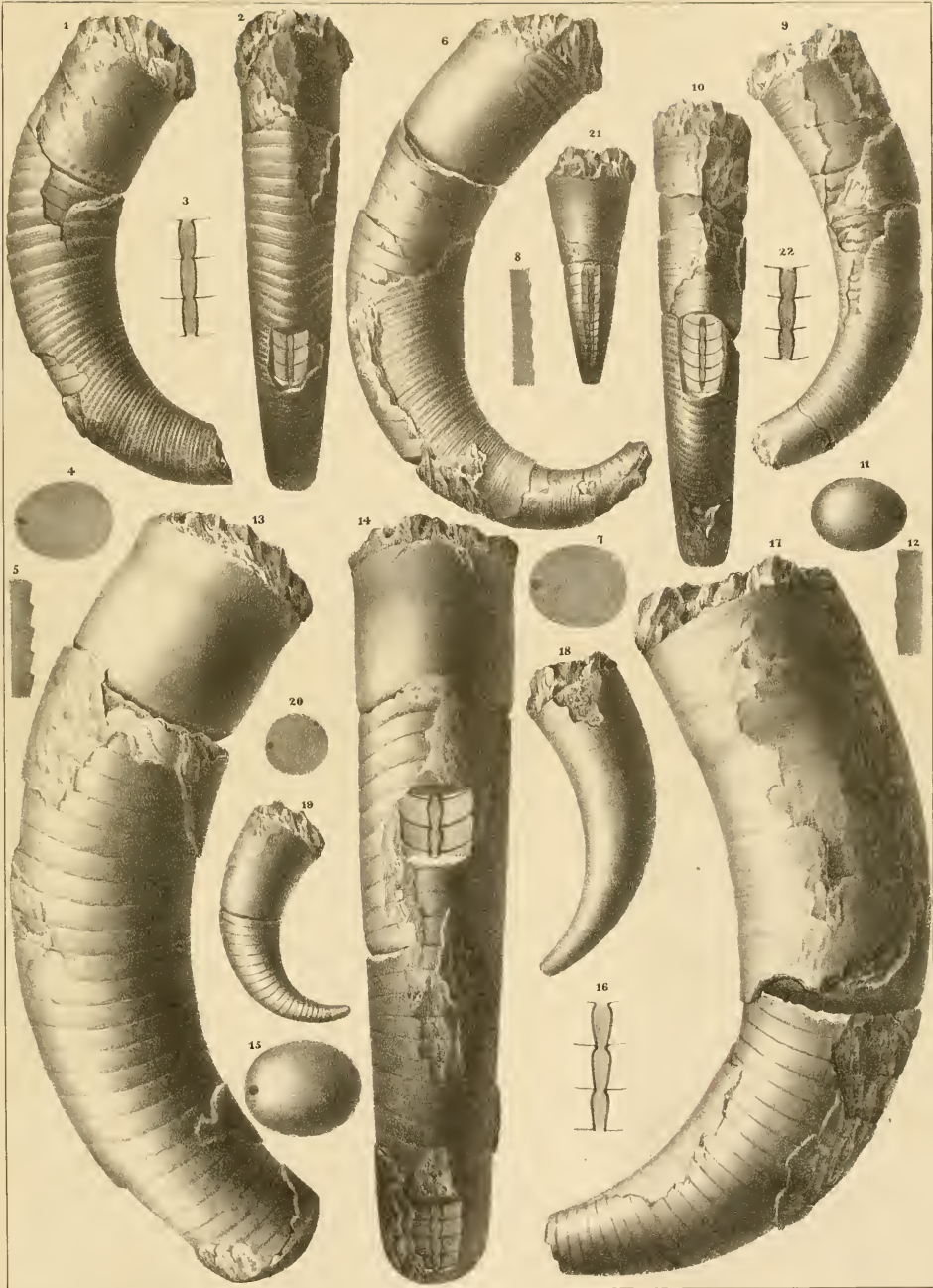






Fig.

**Cyrtoceras elongatum.** Barr. . . . . E  
(voir Pl. 117—157—202—205—208.)

1. Spécimen vu par la face latérale, montrant la grande chambre incomplète, toute la série des loges aériennes et une partie du test. *Lochkov.*
2. *id.* cloison vue par la face convexe. Elle est orientée comme la fig. 1 et montre la position du siphon.
3. Autre spécimen vu par la face latérale, montrant le bord de l'ouverture, la grande chambre et une longue série de loges aériennes, conservant une partie du test, dont la surface est altérée et privée de tout ornement. *Dlauba Hora.*
4. *id.* cloison orientée comme la fig. 3 et montrant la position du siphon.
5. *id.* vu par le côté concave.
6. Autre spécimen. Section longitudinale, suivant le plan médian, montrant les éléments du siphon bien conservés sur la majeure partie de la longueur, tandis que les cloisons ont presque entièrement disparu dans l'intérieur. *Dlauba Hora.*
7. Trois éléments du siphon grossis, avec la trace des cloisons.
8. Fragment vu par le côté convexe, montrant le siphon dégagé et en relief vers le haut, tandis qu'il est exposé dans une section longitudinale vers le bas du fossile.
9. *id.* trois éléments du siphon grossis et vus en relief, avec la trace des cloisons.
10. *id.* trois éléments du siphon grossis et vus dans la section longitudinale, idéale, suivant le plan médian, avec la trace des cloisons et du test.

**Cyrtoceras plebeium.** Barr. . . . . E  
(voir Pl. 157—208.)

11. Spécimen, vu par la face latérale, montrant la grande chambre et une série de loges aériennes, avec une partie du test. *Dlauba Hora.*
12. *id.* vu par le côté convexe ou ventral, montrant le sinus très distinct des stries au droit du siphon.
13. *id.* cloison terminale de la grande chambre, orientée comme la fig. 11 et montrant la position du siphon contre le bord convexe.
14. Autre spécimen, vu par le côté convexe, préparé de manière à montrer la section longitudinale du siphon. *Dlauba Hora.*
15. *id.* trois éléments du siphon grossis avec la trace des cloisons.
16. Autre spécimen plus jeune et presque complet, sauf quelques parties du test. Il est vu par la face latérale. *Karlstein.*

Etage.

Fig.

**Cyrtoceras derelictum.** Barr. . . . . E

17. Spécimen vu par la face latérale et représentant une série de loges aériennes conservant une partie de leur test. La largeur de la coquille augmente très lentement dans l'étendue de ce fragment. *Kozlov.*
18. *id.* vu par le côté convexe ou ventral, montrant le siphon mis à nu et en relief, dans la partie médiane, tandis qu'il est exposé dans une section longitudinale vers les deux extrémités.
19. *id.* cloison au droit de la brisure. Elle est orientée comme la fig. 17 et montre la position du siphon.
20. *id.* trois éléments du siphon vus en relief et grossis avec la trace des cloisons.
21. *id.* trois éléments du siphon pris dans la section longitudinale et grossis avec la trace des cloisons. On voit le faible étranglement au droit des goulots, aussi bien sur cette figure que sur la précédente.

**Cyrtoceras fraternum.** Barr. . . . . E

22. Spécimen presque complet, vu par la face latérale. Il montre le bord de l'ouverture, la grande chambre et la presque totalité des loges aériennes, conservant une partie du test. On voit une rangée de crénelures autour de la base de la grande chambre. *Lochkov.*
23. *id.* cloison orientée comme la fig. 22 et montrant la position du siphon.
24. Autre spécimen, vu par le côté concave ou dorsal, montrant la grande chambre, une série de loges aériennes et une partie du test. Il est à remarquer que le test se décompose en deux ou plusieurs lamelles, dont la surface présente les mêmes stries horizontales. *Viskočilka.*
25. *id.* vu par le côté convexe ou ventral, montrant le sinus des stries au droit du siphon.
26. Autre spécimen. Section longitudinale, montrant la grande chambre et une longue série de loges aériennes. Presque tous les éléments du siphon sont bien conservés, tandis que les cloisons ne sont représentées que par des fragments, dans le voisinage des parois de la coquille. On aperçoit d'autres morceaux des cloisons brisées, dans la masse calcaire qui remplit la cavité du fossile. *Lochkov.*
27. *id.* trois éléments du siphon grossis, avec la trace des cloisons et du test. On remarquera que la distance entre le siphon et la paroi voisine de la coquille est beaucoup plus considérable que dans la plupart des autres espèces de ce groupe. *Lochkov.*

Etage.

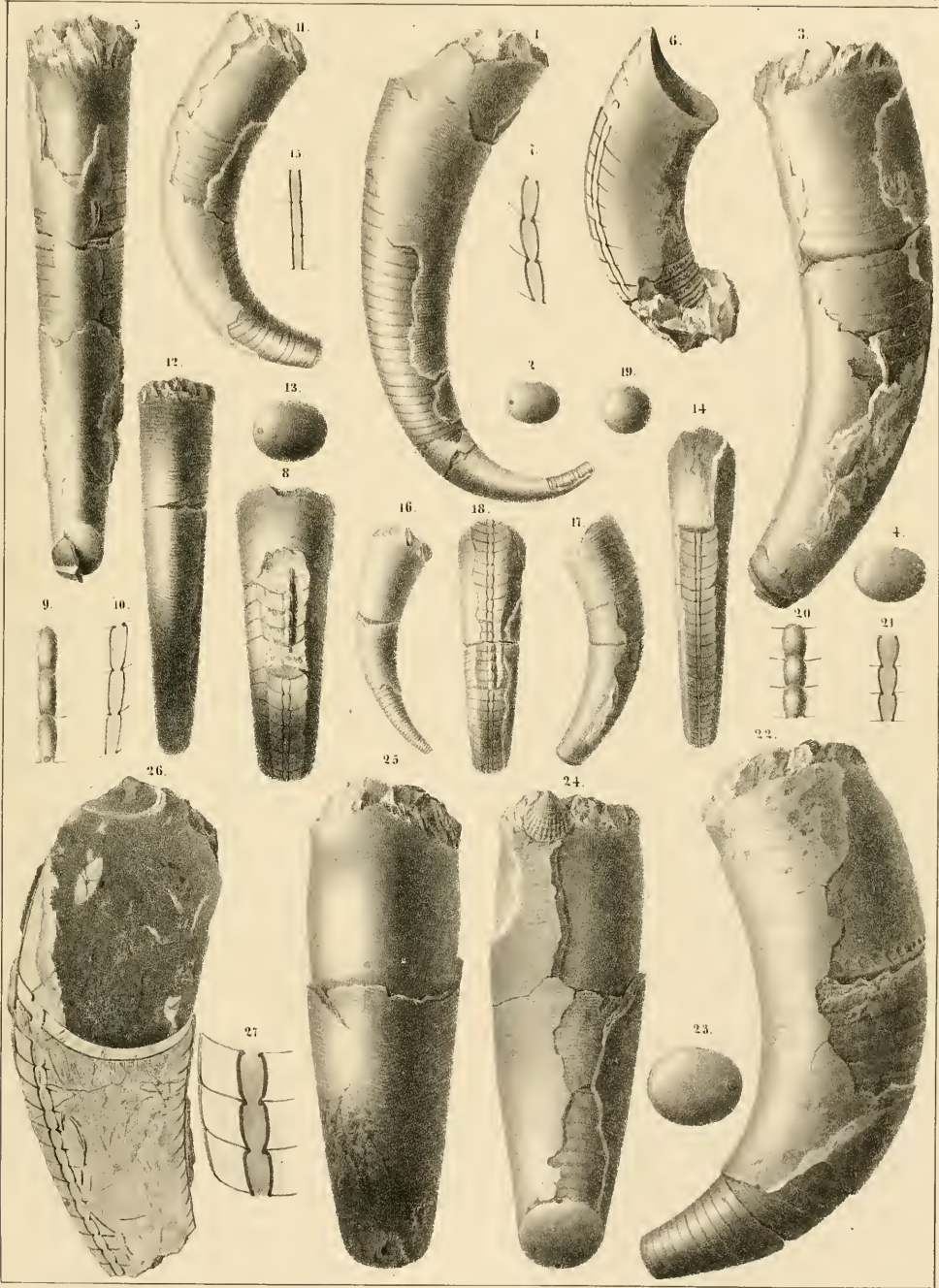






Fig.

**Cyrtoceras patulum.** Barr. . . . . E  
(voir Pl. 126—204.)

1. Spécimen vu par la face latérale, montrant la grande chambre un peu entommagée, la série presque complète des loges aériennes et une grande partie du test. — Cet exemplaire représente la forme courte et large de l'espèce. Près de *Zmrzlik*.
2. *id.* vu par le côté concave ou dorsal, montrant la direction horizontale des stries.
3. *id.* vu par le côté convexe ou ventral, montrant le siphon mis à nu dans les loges les plus élevées, suivant une section parallèle à l'axe.
4. *id.* cloison terminale de la grande chambre, orientée comme la fig. 1 et montrant la position du siphon
5. *id.* fragment du test, fortement grossi, pour montrer ses ornements.
6. *id.* section longitudinale du test, montrant l'imbrication directe des stries.

Etage.

Fig

**Cyrtoceras miles.** Barr. . . . . E

Etage.

7. Spécimen vu par la face latérale, conservant la majeure partie du test. Il montre la grande chambre avec le bord de l'ouverture et une série de cloisons. *Kozovz*.
8. *id.* vu par le côté concave ou dorsal, montrant la direction horizontale des ornements.
9. *id.* fragment du test pris vers le tiers inférieur et montrant la forme des ornements, dont le relief est très prononcé dans cette partie de la coquille.
10. *id.* section longitudinale du test, montrant le relief des stries sans imbrication sensible.
11. Autre spécimen, presque complet et vu par la face latérale. Il montre la grande chambre avec le bord de l'ouverture, une série de cloisons et la majeure partie du test. Les ornements s'effacent graduellement vers le haut, comme dans le spécimen précédent *Lochkov*.
12. *id.* vu par le côté convexe ou ventral. On voit le sinus des stries au droit du siphon, mis à nu sur la longueur de quelques loges aériennes, suivant une section parallèle à l'axe.
13. *id.* section transverse prise vers le milieu de la longueur et montrant la position du siphon

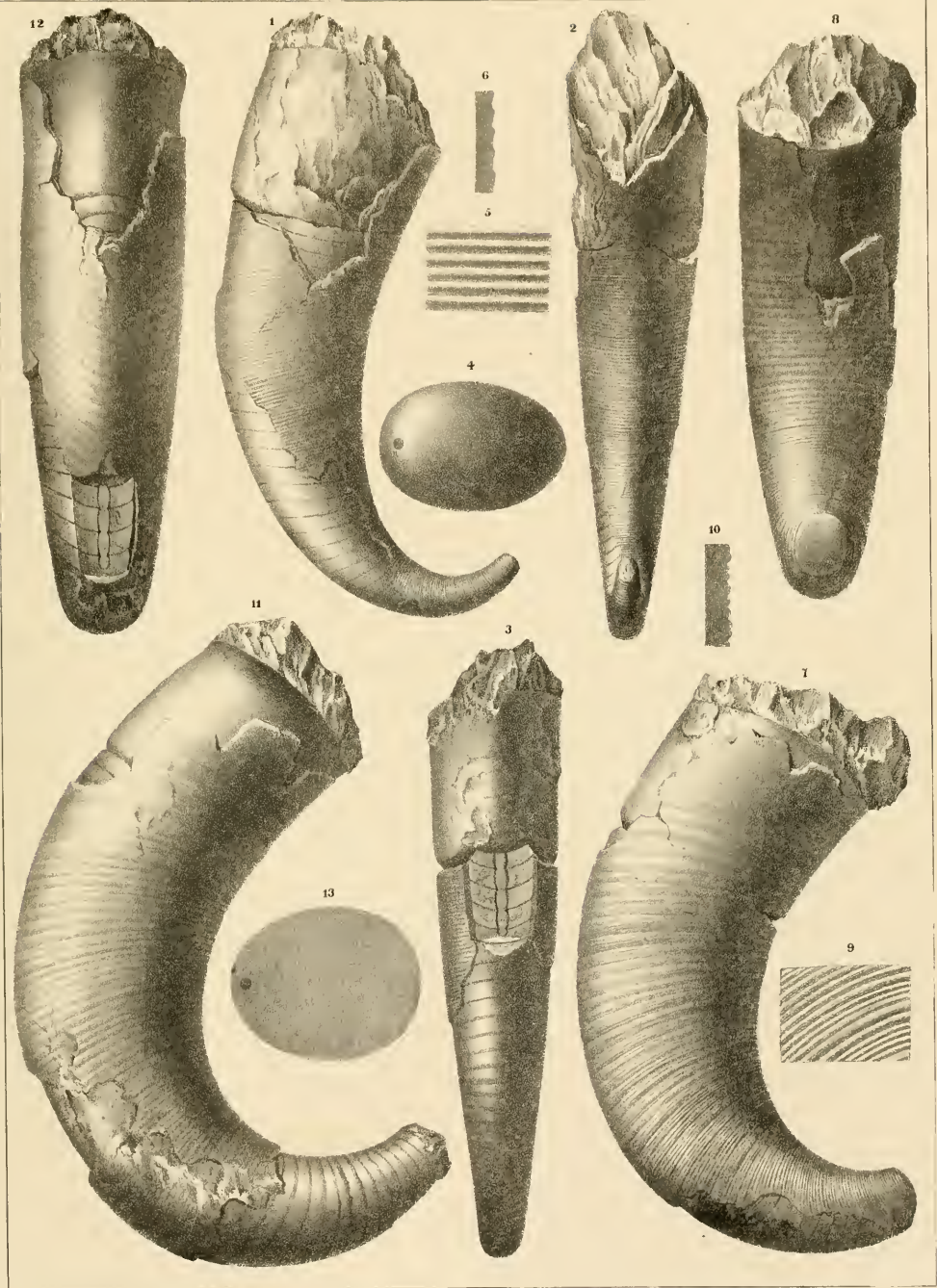






Fig.

Etage.

Fig.

Etage.

**Cyrtoceras imperiale.** Barr. . . . . E  
(voir Pl. 208.)

1. Spécimen adulte, vu par la face latérale. Il montre la grande chambre avec le bord de l'ouverture, une série de loges aériennes et une grande partie du test. *Butoritz.*
  2. *id.* vu par le côté concave ou dorsal, montrant la direction horizontale des ornements.
  3. Autre spécimen adulte, vu par la face latérale. Il montre le moule interne de la grande chambre, presque toutes les loges aériennes et une partie du test. *Lochkov.*
  4. *id.* vu par le côté convexe ou ventral, montrant le sinus des ornements au droit du siphon, visible vers le bas, dans une section parallèle à l'axe.
  5. *id.* cloison prise à peu de distance de la grande chambre et vue par le côté convexe. Elle montre la position du siphon, un peu éloigné du bord. Elle est orientée comme la fig. 3.
  6. *id.* fragment du test grossi, montrant ses ornements et le sinus au milieu du côté convexe.
  7. *id.* section longitudinale du test. La saillie des ornements ne montre aucune imbrication.
  8. Autre spécimen vu par le côté convexe ou ventral, conservant une partie du test. On voit le siphon exposé dans une section parallèle à l'axe, dans toute la longueur.
9. *id.* section transverse prise vers le petit bout et orientée comme la fig. 8.
  10. Autre spécimen vu par le côté convexe ou ventral, montrant la base de la grande chambre, une série de loges aériennes et une portion du test. Dans les loges supérieures, le siphon est mis à nu en relief, tandis que, dans les loges inférieures, il est exposé suivant une section parallèle à l'axe. On voit une notable diminution dans les dimensions de ses éléments, à mesure qu'ils approchent de la grande chambre, ce qui indique un individu complètement adulte. *Butoritz.*
  11. *id.* section idéale d'une portion du siphon, avec la trace du test et des cloisons suivant le plan médian. La figure est un peu grossie.
  12. Jeune spécimen presque complet, vu par la face latérale. Il montre la grande chambre, la majeure partie des loges aériennes et une portion du test. *Kozoriz.*
  13. *id.* vu par le côté concave ou dorsal.
  14. *id.* vu par le côté convexe ou ventral, montrant le sinus des ornements au droit du siphon.
  15. *id.* fragment du test fortement grossi, montrant les ornements et leur sinus.
  16. *id.* section transverse orientée comme la fig. 12 et montrant la position du siphon.

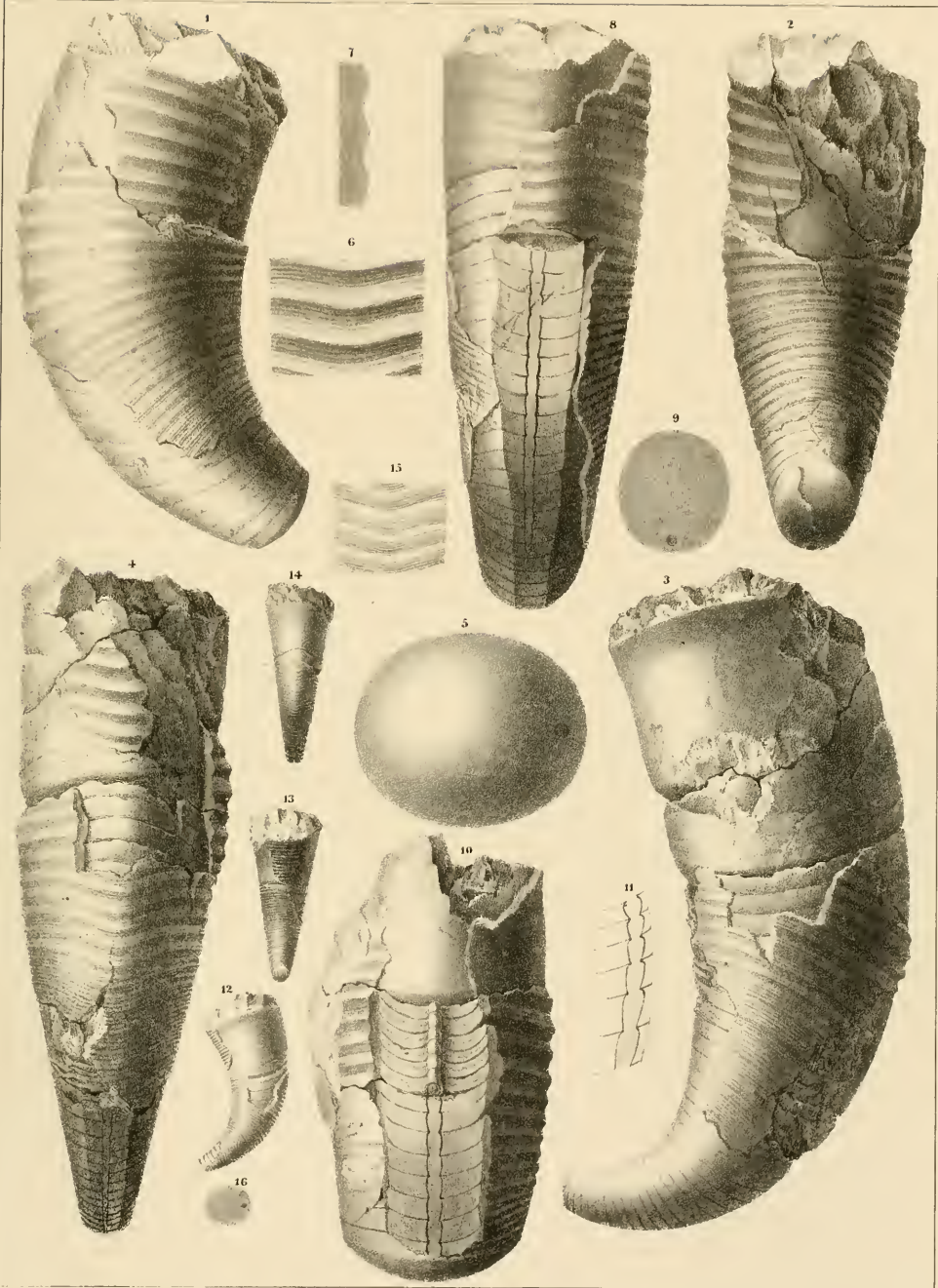






Fig.

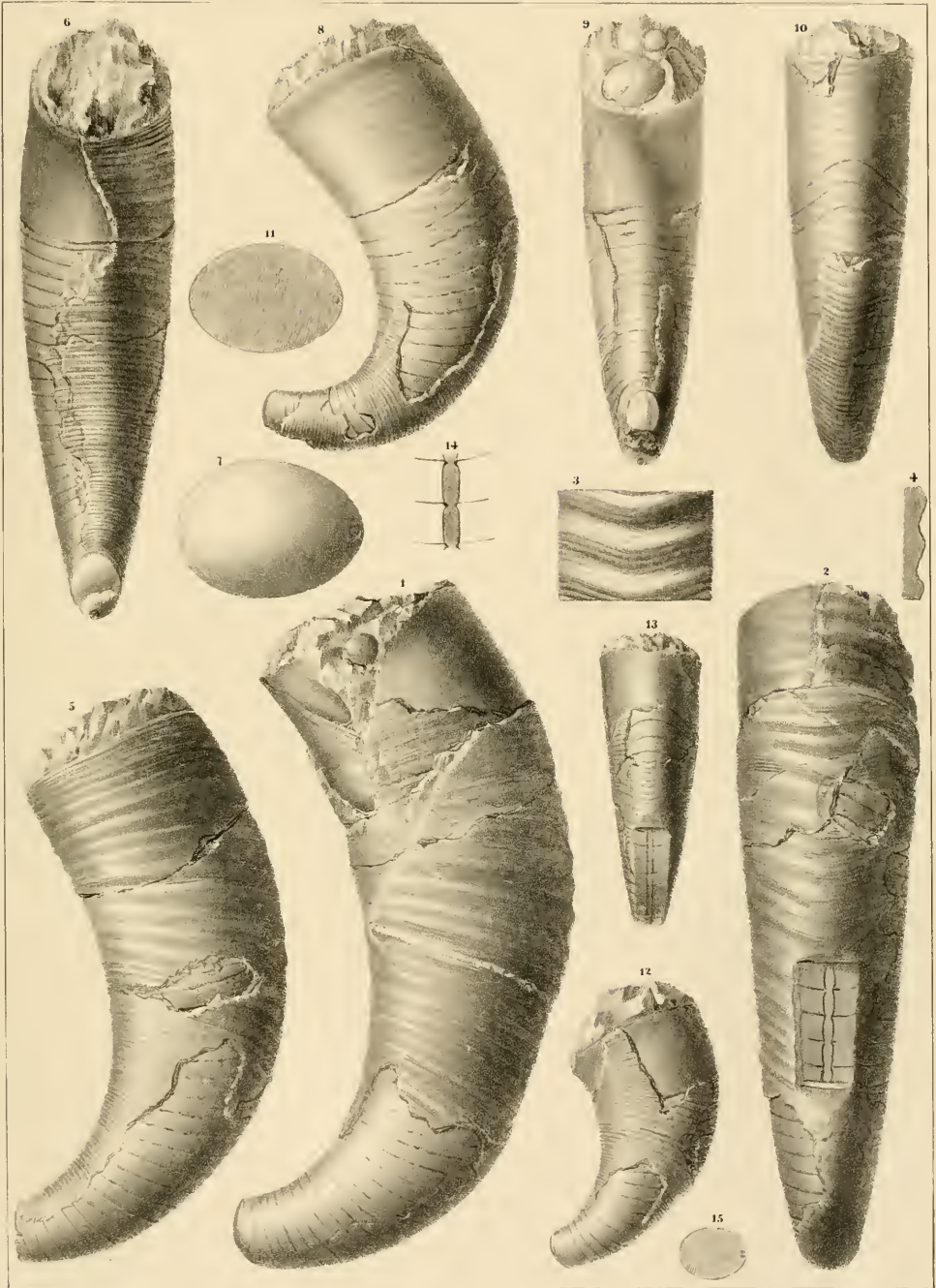
Etage.

Fig.

Etage.

**Cyrtoceras *Thetidis*.** Barr. . . . . E  
(voir Pl. 208.)

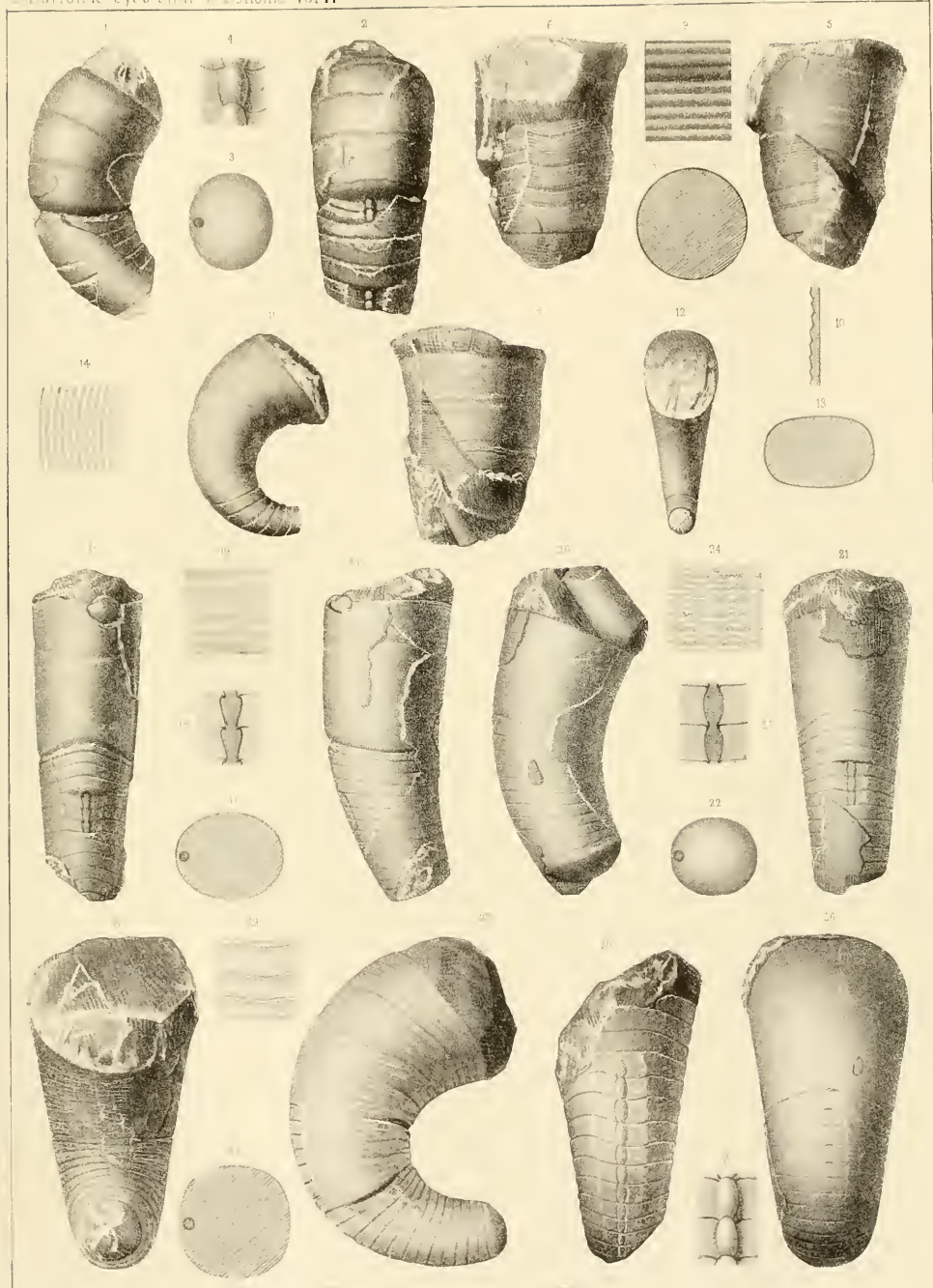
1. Spécimen adulte vu par la face latérale. Il montre la grande chambre un peu endommagée, une longue série de loges aériennes et une partie du test. *Kozořs*.
2. *id.* vu par le côté convexe ou ventral, montrant le sinus des ornements, au droit du siphon. Quelques éléments de celui-ci sont exposés dans une section normale au plan médian.
3. *id.* fragment du test grossi, montrant ses ornements et leur sinus.
4. *id.* section longitudinale du test, montrant la faible imbrication directe de ses ornements.
5. Autre spécimen vu par la face latérale, conservant la majeure partie de son test. Il montre le bord intact de l'ouverture, la limite de la grande chambre et une série de loges aériennes. *Kozořs*.
6. *id.* vu par le côté concave ou dorsal, montrant la direction horizontale des ornements.
7. *id.* cloison terminale de la grande chambre, vue par le côté convexe. Elle est orientée comme la fig. 5 et montre la position du siphon.
8. Autre spécimen plus jeune, vu par la face latérale, montrant le bord de l'ouverture, la grande chambre complète, la majeure partie des loges aériennes et des fragments du test. On reconnaît sur le moule interne l'impression des ornements. *Lochkov*.
9. *id.* vu par le côté concave ou dorsal.
10. *id.* vu par le côté convexe ou ventral, montrant la trace des ornements sur le moule interne, qui paraît lisse sur le côté concave.
11. *id.* section transverse prise vers le milieu de la longueur. Elle est orientée comme la fig. 8 et montre la position du siphon.
12. Autre spécimen plus jeune et vu par la face latérale. Il montre le bord de l'ouverture, la grande chambre, une série de loges aériennes et une partie du test. *Kozořs*.
13. *id.* vu par le côté convexe ou ventral, montrant la partie inférieure du siphon, exposée dans une section normale au plan médian.
14. *id.* 2 éléments du siphon grossis avec la trace des cloisons.
15. *id.* section transverse orientée comme la fig. 12 et montrant la position du siphon.







- | Fig  | Etage.  | Fig   | Etage.  |
|--|---|---|---|
| <b>Cyrtoceras inflectens.</b> Barr. . . . . E<br>(voir Pl. 240.) |   | <b>Cyrtoceras fortunatum.</b> Barr. . . . . E   |   |
| 1.   | Spécimen vu par la face latérale, montrant la grande chambre, une série de cloisons et une partie du test. <i>Kozorç.</i>   | 20.   | Spécimen vu par la face latérale, montrant la grande chambre, une série de loges aériennes et des fragments du test. <i>Butovitz.</i>   |
| 2.   | <i>id.</i> vu par le côté convexe, montrant le siphon mis à nu et en relief, sur deux points différents de la coquille.   | 21.   | <i>id.</i> vu par le côté convexe, montrant le siphon mis à nu par une section longitudinale.   |
| 3.   | <i>id.</i> section transverse, orientée comme la fig. 1, et montrant la position du siphon.   | 22.   | <i>id.</i> cloison terminale, orientée comme la fig. 20.  |
| 4.   | <i>id.</i> deux éléments du siphon, grossis et vus par le côté convexe.   | 23.   | <i>id.</i> deux éléments du siphon, grossis, avec la trace des cloisons.  |
| <b>Cyrtoceras fasciatum.</b> Barr. . . . . E<br>(voir Pl. 206.)  |   | 24.   | <i>id.</i> fragment du test grossi, montrant ses ornements. Les inflexions des stries figurent des lignes longitudinales.   |
| 5.   | Spécimen vu par la face latérale, montrant la grande chambre et une partie des cloisons, avec des fragments du test. <i>Karlstein.</i>  | <b>Cyrtoceras rotundum.</b> Barr. . . . . G-g 1   |   |
| 6.   | <i>id.</i> vu par le côté convexe, montrant le sinus des ornements.   | 25.   | Spécimen presque complet, vu par la face latérale, montrant la grande chambre et une série de cloisons. La lamelle externe du test a été enlevée, mais la lamelle interne couvre une partie du moule. <i>Lochkov.</i> |
| 7.   | <i>id.</i> vu par le côté concave, montrant de faibles stries longitudinales sur le moule interne.  | 26.   | <i>id.</i> vu par le côté convexe, montrant la trace des éléments du siphon, sur le bord des cloisons.  |
| 8.   | <i>id.</i> section transverse, sans apparence du siphon.  | 27.   | <i>id.</i> vu par le côté concave ou dorsal.  |
| 9.   | <i>id.</i> fragment du test, fortement grossi, montrant les stries de l'un des faisceaux.   | 28.   | <i>id.</i> section transverse, orientée comme la fig. 25.   |
| 10.  | <i>id.</i> section longitudinale du même fragment, montrant l'imbrication directe des stries.   | 29.   | <i>id.</i> fragment de la surface de la lamelle interne, grossi, pour montrer ses ornements.  |
| <b>Cyrtoceras rurum.</b> Barr. . . . . E                         |   | 30.   | Autre spécimen, vu par le côté convexe, montrant le siphon mis à nu et en relief.   |
| 11.  | Spécimen vu par la face latérale; moule interne montrant la grande chambre complète et une série de loges aériennes. La surface conserve les impressions du test, qui consistent principalement dans des stries longitudinales, serrées. <i>Butovitz.</i> | 31.   | <i>id.</i> deux éléments du siphon, grossis, avec la trace des cloisons.  |
| 12.  | <i>id.</i> vu par le côté concave.  | N. B. Nous ferons remarquer que cette espèce, quoique parfaitement symétrique dans les spécimens que nous figurons, se rapproche beaucoup par ses apparences de certains <i>Trochoceras</i> du même horizon, tels que <i>Troch. distortum</i> Pl. 28. |   |
| 13.  | <i>id.</i> section transverse, près de l'ouverture, orientée comme la fig. 11. Le siphon est invisible sur ce spécimen.   |   |   |
| 14.  | <i>id.</i> fragment de la surface du moule, fortement grossi, montrant les stries longitudinales.   |   |   |
| <b>Cyrtoceras orphanus.</b> Barr. . . . . E                      |   |   |   |
| 15.  | Spécimen vu par la face latérale, montrant la grande chambre, une série de loges aériennes et des fragments du test. L'étranglement, très prononcé sur le moule interne, est à une notable distance au dessous de l'ouverture. <i>Kozorç.</i>             |   |   |
| 16.  | <i>id.</i> vu par le côté convexe ou ventral, montrant le siphon mis à nu par une section longitudinale.  |   |   |
| 17.  | <i>id.</i> section transverse, orientée comme la fig. 15.   |   |   |
| 18.  | <i>id.</i> deux éléments du siphon, grossis, avec la trace des cloisons.  |   |   |
| 19.  | <i>id.</i> fragment du test grossi, montrant ses ornements.   |   |   |







- | Fig. | Étage.  | Fig. | Étage.  |
|------|---|------|---|
|      | <b>Cyrtoceras distentum.</b> Barr. . . . . F  |      | <b>Cyrtoceras validum.</b> Barr. . . . . E  |
| 1.   | Spécimen incomplet, vu par la face latérale, montrant la base de la grande chambre et une série de loges aériennes. <i>Lochkor.</i> | 13.  | Spécimen vu par la face latérale, montrant la grande chambre complète, une série de cloisons et un fragment du test. <i>Dlanha Hora.</i>      |
| 2.   | <i>id.</i> vu par le côté convexe, couvert par le test, dont la surface est altérée.  | 14.  | <i>id.</i> vu par le côté convexe, ou ventral.  |
| 3.   | Autre spécimen vu par le côté convexe, montrant le siphon mis à nu par une section longitudinale. <i>Lochkor.</i>                   | 15.  | <i>id.</i> cloison terminale orientée comme la fig. 13.   |
| 4.   | <i>id.</i> section transverse orientée comme la fig. 3.   | 16.  | <i>id.</i> fragment du test, grossi, montrant les ornements, très fins.   |
| 5.   | Autre spécimen plus jeune, vu par la face latérale, montrant la grande chambre et une série de loges aériennes. <i>Lochkor.</i>     | 17.  | Autre spécimen, presque complet, vu par la face latérale. <i>Butovitz.</i>  |
| 6.   | <i>id.</i> vu par le côté concave, ou dorsal.   | 18.  | <i>id.</i> vu par le côté convexe, montrant le sinus des ornements au droit du siphon, mis à nu vers le petit bout du spécimen.               |
| 7.   | <i>id.</i> vu par le côté convexe ou ventral.   | 19.  | <i>id.</i> cloison terminale orientée comme la fig. 17 et montrant la position du siphon.   |
|      | <b>Cyrtoceras mimicum.</b> Barr. . . . . E  | 20.  | <i>id.</i> trois éléments du siphon grossis avec la trace des cloisons.   |
| 8.   | Spécimen vu par la face latérale, entièrement convertie de son test. <i>Kozorz.</i>   | 21.  | <i>id.</i> fragment du test, grossi, montrant les ornements.  |
| 9.   | <i>id.</i> vu par le côté concave, ou dorsal.   |      | <b>Cyrtoceras obesum.</b> Barr. . . . . E   |
| 10.  | <i>id.</i> 4 éléments du siphon, grossis, avec la trace des cloisons, d'après le côté convexe non figuré.                           | 22.  | Spécimen vu par la face latérale, montrant la grande chambre et une série de loges aériennes avec une portion du test. <i>Butovitz.</i>       |
| 11.  | <i>id.</i> fragment du test, grossi, pour montrer ses ornements.  | 23.  | <i>id.</i> vu par le côté convexe ou ventral.   |
| 12.  | <i>id.</i> section longitudinale du même fragment, montrant l'imbrication directe des plis.   | 24.  | <i>id.</i> cloison terminale, orientée comme la fig. 22 et montrant la position du siphon.  |
|      |   | 25.  | <i>id.</i> fragment du test, fortement grossi, montrant les stries transverses, croisées par des stries longitudinales, très fines.           |
|      |   | 26.  | Autre spécimen, vu par le côté convexe, montrant le siphon mis à nu, par la décomposition de la surface. <i>Noy Myu, raton de St. Procop.</i> |

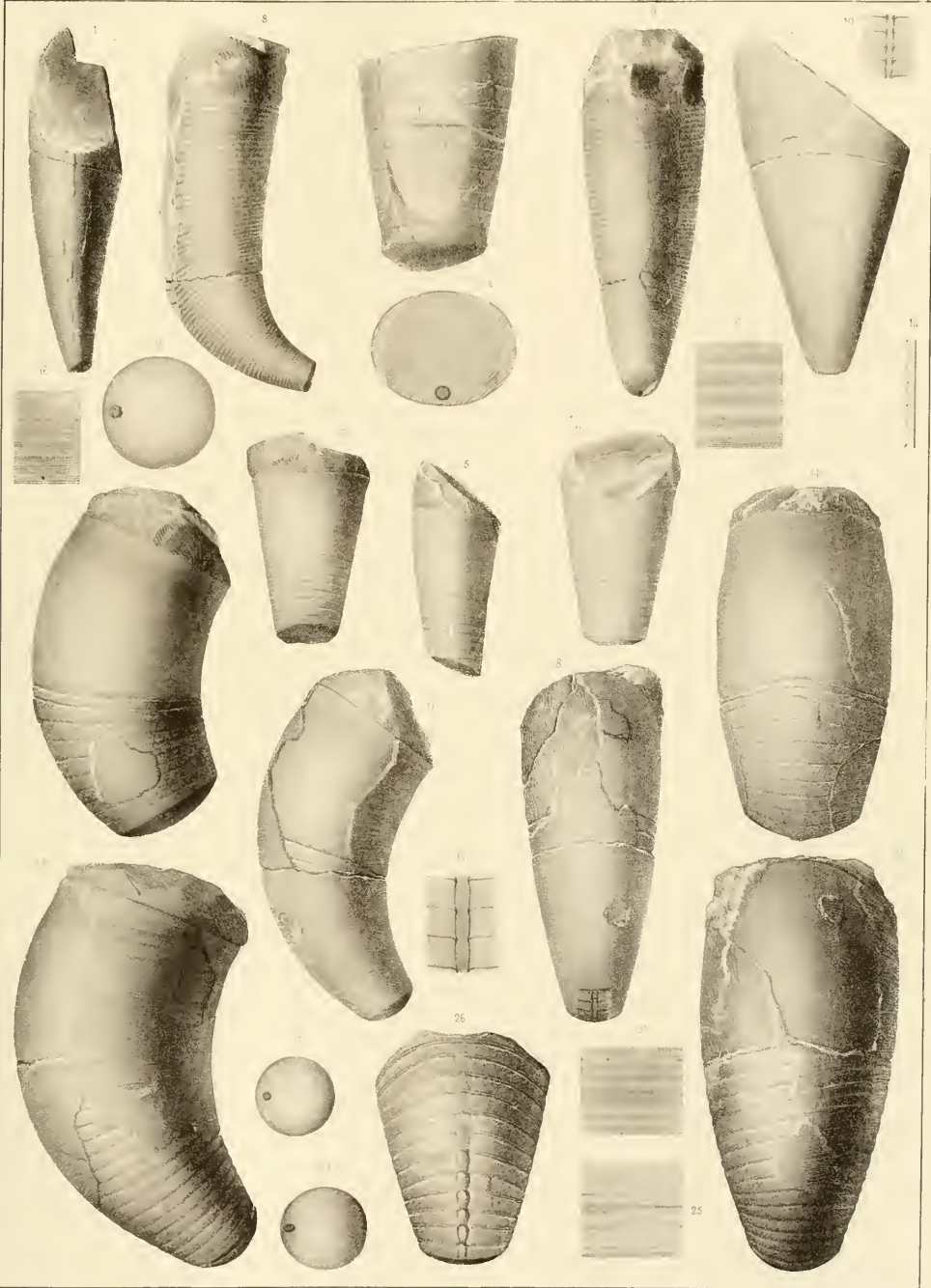






Fig.

**Cyrtoceras Forbesi.** Barr. . . . . E  
(voir Pl. 129.)

1. Spécimen presque complet, vu par la face latérale, conservant le bord intact de l'ouverture avec la majeure partie de son test et montrant une série de loges aériennes. *Diantha Hora*.
2. *id.* vu par le côté concave. L'enlèvement du test, sur la droite, permet de distinguer la longueur de la grande chambre.
3. *id.* vu par le côté convexe, montrant le sinus des stries, au droit du siphon.
4. *id.* cloison terminale de la grande chambre, orientée comme la fig. 1.
5. *id.* section transverse au petit bout, orientée comme la fig. 1.
6. *id.* fragment du test, grossi, montrant les ornements.
7. *id.* section longitudinale du même fragment, montrant l'imbrication directe des stries.

Etage.

Fig.

Etage.

**Cyrtoceras nautarum.** Barr. . . . . E

8. Spécimen dépourvu de son test et vu par la face latérale, montrant la grande chambre et une longue série de loges aériennes. *Droetz*.
9. *id.* vu par le côté concave. La cloison terminale, vue en face, se montre sous sa forme naturelle et expose le siphon.
10. *id.* vu par le côté convexe ou ventral.
11. *id.* extrémité inférieure, vue par le côté convexe et montrant le siphon mis à nu suivant une section longitudinale.

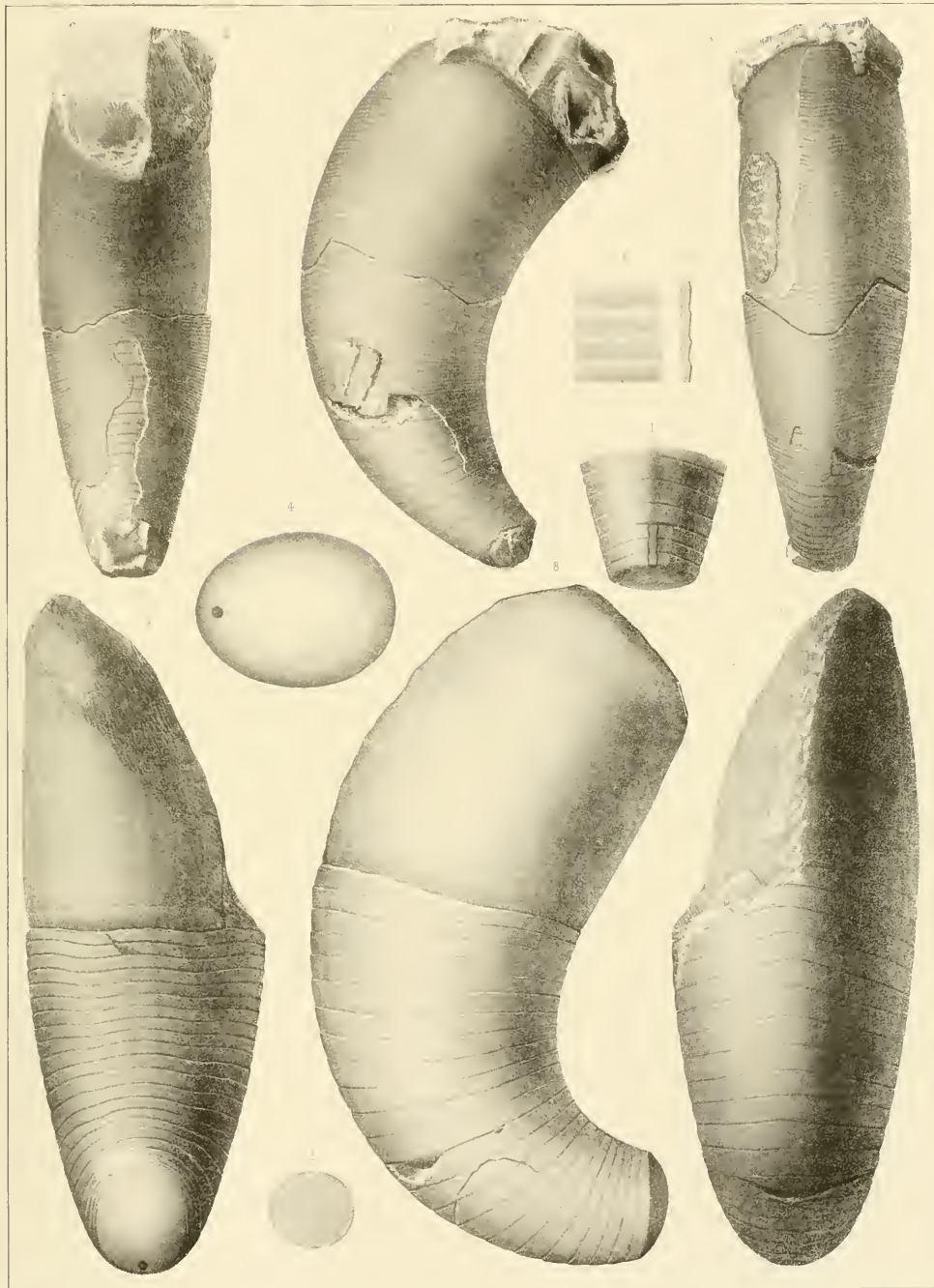






Fig.

Etage.

**Cyrtoceras problematicum.** Barr. . E  
(voir Pl. 206.)

1. Spécimen vu par la face latérale, presque entièrement recouverte de son test. *Droretz.*
2. *id.* vu par le côté convexe, montrant le sinus des ornements, au droit du siphon mis à nu vers le bas.
3. *id.* trois éléments du siphon, grossis, avec la trace des cloisons.
4. Autre spécimen de forme un peu plus large, vu par la face latérale, montrant l'étendue de la grande chambre et la majeure partie des loges aériennes, recouvertes du test. *Lochkov.*
5. *id.* fragment du test, grossi, montrant les ornements.
6. *id.* section longitudinale du même fragment, montrant l'imbrication directe des plis.
7. Autre spécimen, semblable par la forme au précédent, mais dépourvu de son test, sauf quelques fragments. Le moule interne présente quelques lignes longitudinales très faibles. *Lochkov.*
8. Autre spécimen, plus développé et vu par la face latérale, montrant l'étendue de la grande chambre et une série de cloisons, en partie recouvertes de leur test. *Lochkov.*
9. *id.* cloison terminale, orientée comme la fig. 8.

Fig.

Etage.

**Cyrtoceras tardum.** Barr. . . . . E  
(voir Pl. 147.)

10. Spécimen d'âge moyen, vu par la face latérale, montrant la grande chambre et la majeure partie des loges aériennes, recouvertes du test. *Karlstein.*
11. Autre spécimen, adulte, vu par la face latérale, montrant l'étendue de la grande chambre et toute la série des loges aériennes, sauf la pointe. Les dernières loges sont exposées suivant une section longitudinale. *Karlstein.*
12. *id.* vu par le côté convexe, montrant le sinus aigu des stries et la carène médiane, au droit du siphon.
13. *id.* également vu par le côté convexe, mais dans une position plus renversée, afin de montrer le siphon mis à nu et en relief, dans une grande partie de sa longueur.
14. *id.* cloison terminale de la grande chambre, orientée comme la fig. 11.
15. *id.* 5 éléments du siphon, vus de profil, avec la trace du test et des cloisons.
16. *id.* fragment du test, pris sur la face latérale et grossi, montrant les stries transverses saillantes et les stries longitudinales obscurément tracées.
17. *id.* section longitudinale du même fragment, montrant l'imbrication directe des stries, peu prononcée.
18. Autre spécimen, vu par le côté convexe, montrant le siphon mis à nu et en relief dans la partie supérieure des loges aériennes. On voit au dessous le sinus des stries. *Karlstein.*
19. *id.* 4 éléments du siphon, vus de profil avec la trace du test et des cloisons.
20. Autre spécimen, vu par la face latérale et représentant la partie inférieure de la coquille. *Karlstein.*
21. *id.* vu par le côté convexe, montrant une portion du test avec des stries très fines, formant un léger sinus au droit du siphon, mis à nu vers le petit bout, suivant une section longitudinale.
22. *id.* vu par le côté concave ou dorsal, dépourvu du test.

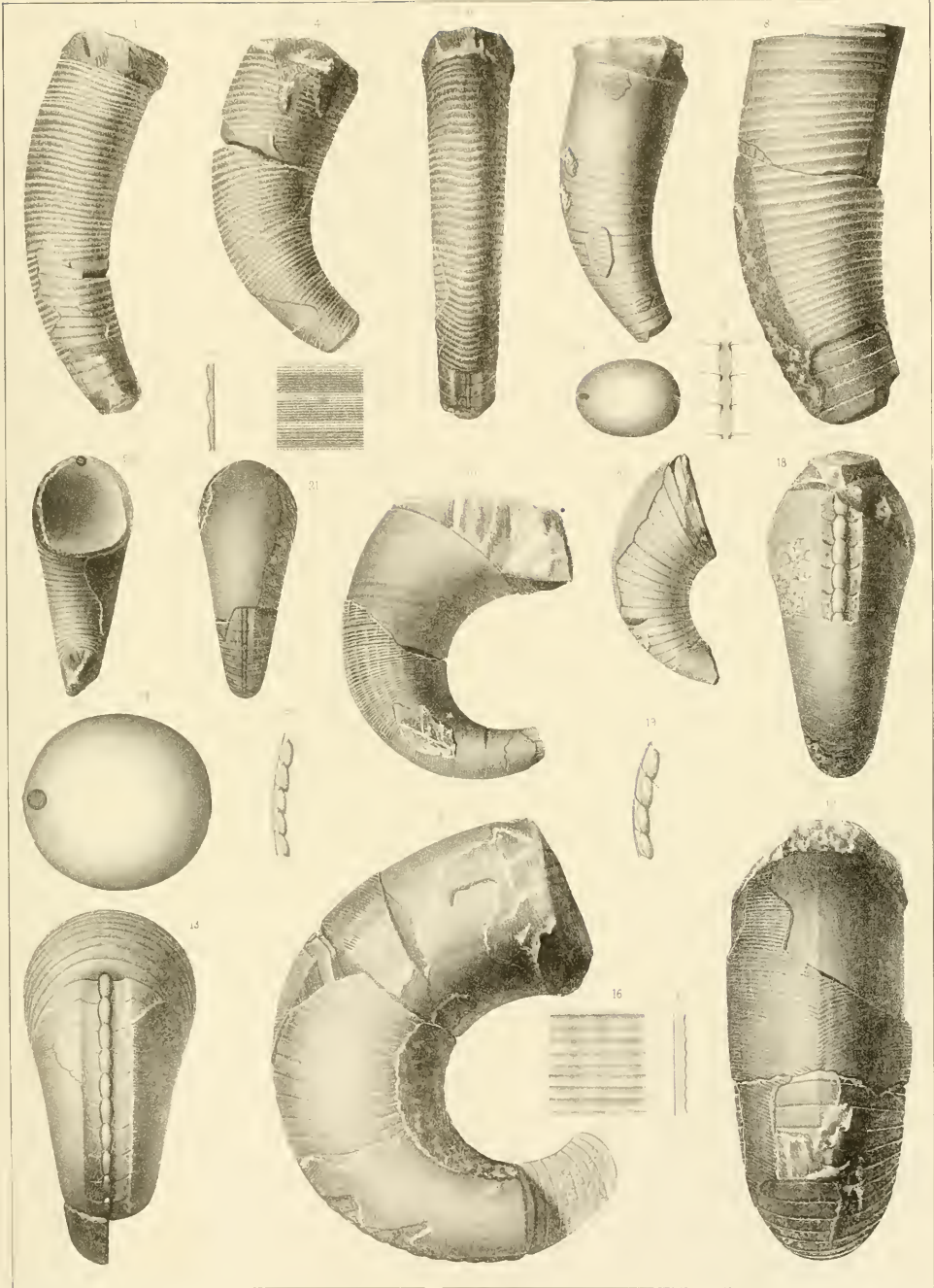






Fig. Etage. Fig. Etage.

**Cyrtoceras clava.** Barr. . . . . E

1. Spécimen vu par la face latérale, montrant la grande chambre complète, la presque totalité des loges aériennes et une partie du test. *Lochkov.*
2. *id.* vu par le côté ventral, montrant le siphon mis à nu en deux en droits, par une section parallèle à l'axe.
3. *id.* section transverse, orientée comme la fig. 1.
4. *id.* 2 éléments du siphon, grossis, avec la trace des cloisons.

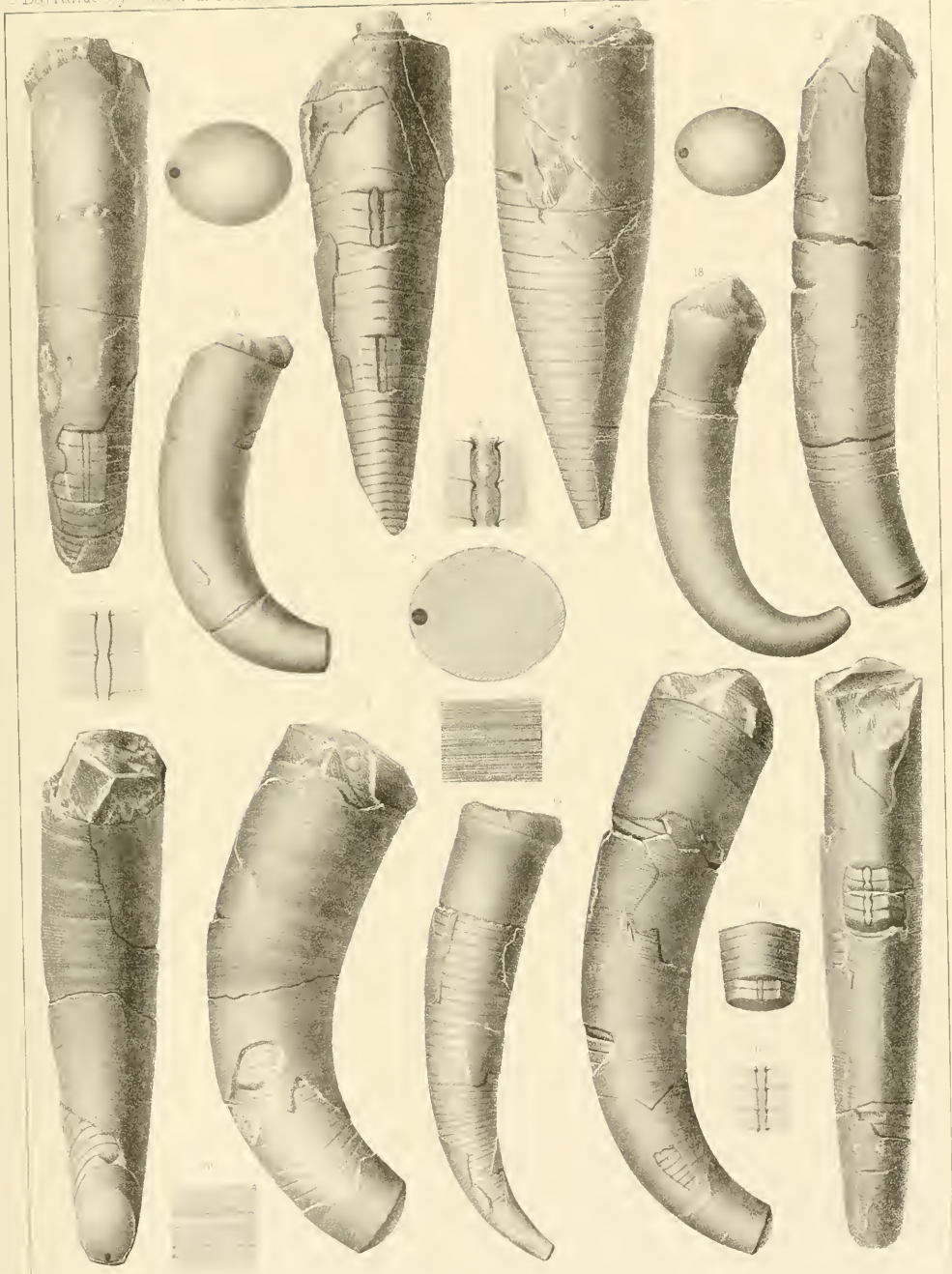
N. B. Malgré sa faible courbure, cette espèce présente les principaux caractères du genre *Cyrtoceras*.

**Cyrtoceras elongatum.** Barr. . . . . E  
(voir Pl. 109—157—202—205—208.)

5. Spécimen vu par la face latérale, en grande partie couverte du test. Il représente la grande chambre et une série de loges aériennes. *Lochkov.*
6. *id.* vu par le côté concave, montrant, à droite, l'étendue de la grande chambre, dépouillée du test.
7. *id.* vu par le côté convexe, montrant la grande chambre et le sinus des stries au droit du siphon, mis à nu par une section.
8. *id.* cloison prise vers le milieu de la longueur et orientée comme la fig. 5.
9. *id.* 2 éléments du siphon, grossis, avec la trace des cloisons.
10. *id.* fragment du test, grossi, pour montrer ses ornements, peu prononcés.
11. Autre spécimen, plus jeune, vu par la face latérale, recouverte de son test. *Hinter-Kopanina.*

**Cyrtoceras baculoïdes.** Barr. . . . . E  
(voir Pl. 204.)

12. Spécimen vu par la face latérale, montrant la grande chambre et presque toute la série des cloisons, recouvertes du test. *Kozorž.*
13. Autre spécimen, vu par la face latérale, montrant la grande chambre et la majeure partie des loges aériennes, recouvertes de leur test. *Kozorž.*
14. *id.* vu par le côté convexe, montrant le siphon mis à nu par une section longitudinale.
15. *id.* cloison orientée comme la fig. 13 et montrant la position du siphon.
16. *id.* 3 éléments du siphon, grossis, avec la trace des cloisons.
17. *id.* fragment du test, grossi, montrant ses ornements, peu prononcés.
18. Autre spécimen, plus jeune, vu par la face latérale, montrant le moule interne de la grande chambre et toute la partie cloisonnée, recouverte de son test. *Hinter-Kopanina.*
19. Autre spécimen, presque complet, vu par la face latérale, montrant la grande chambre et la partie cloisonnée, avec quelques fragments du test. *Lochkov.*
20. Fragment d'un autre spécimen non figuré, montrant une série de cloisons, vues par le côté convexe, avec le siphon mis à nu. *Lochkov.*





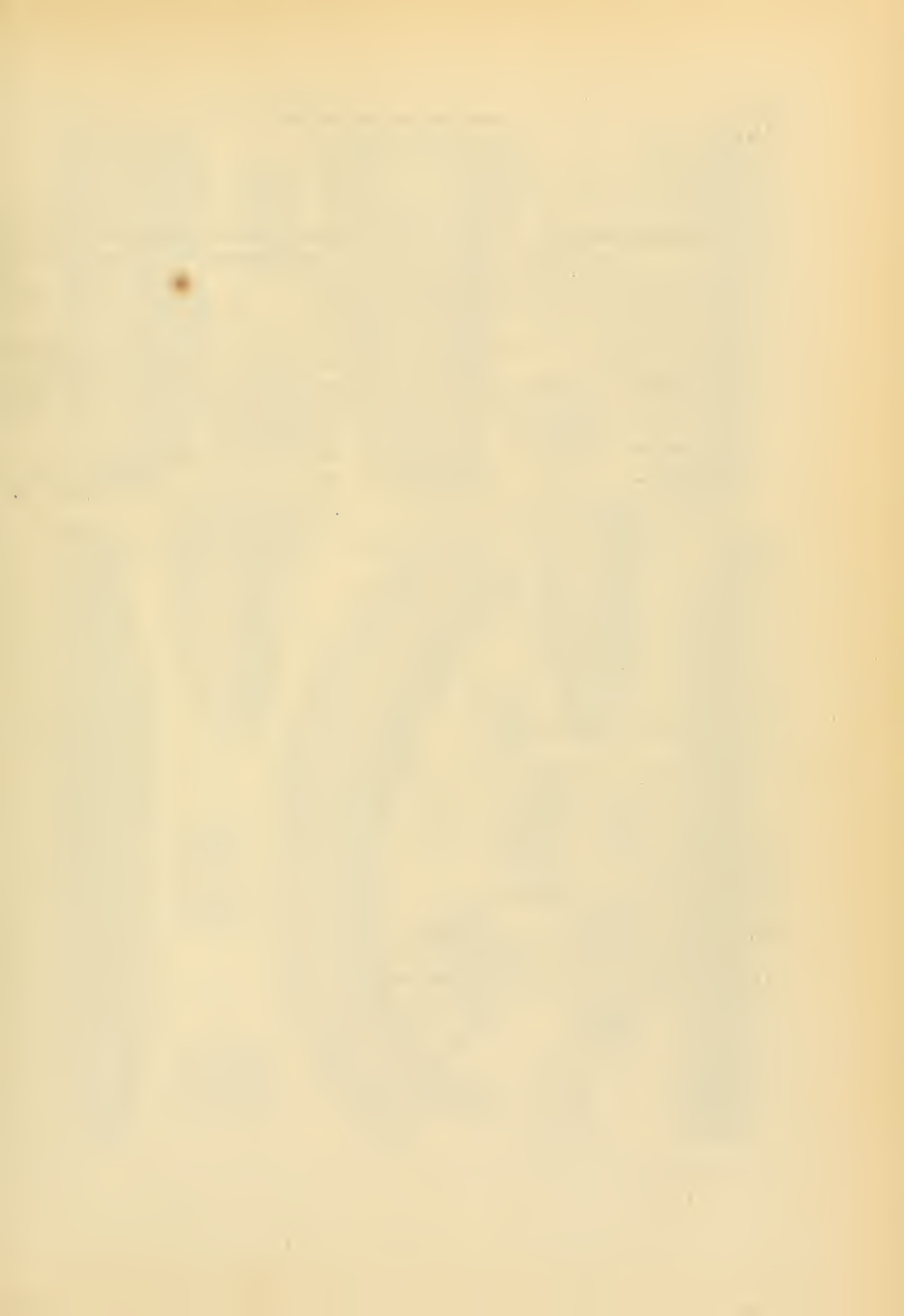


Fig. Etage. **Cyrtoceras Orion.** Barr. . . . . E  
(voir Pl. 140.)

1. Spécimen encore jeune, vu par la face latérale, montrant la grande chambre, une série de cloisons et une partie du test. On aperçoit la trace de quelques cicatrices sur les loges aériennes. *Butoritz.*
2. *id.* vu par le côté convexe, montrant le sinus très prononcé des ornements.
3. *id.* section transverse, orientée comme la fig. 1 et montrant l'épaisseur du test, très considérable dans cette espèce.

**Cyrtoceras advenu.** Barr. . . . . D-d4  
(colonie)

4. Spécimen vu par la face latérale, montrant la grande chambre complète, une série de loges aériennes et quelques fragments du test. Le moule interne présente une série de lignes longitudinales, peu marquées. *Colou. de Bérauka.*
5. *id.* vu par le côté convexe, montrant le sinus des ornements, au droit du siphon, dont un élément est mis à nu.
6. *id.* vu par le côté concave. On voit la trace des ornements transverses sur le moule interne.
7. *id.* section transverse, orientée comme la fig. 4 et montrant la position du siphon.
8. *id.* fragment du test, très fortement grossi, montrant les ornements.

**Cyrtoceras acinaces.** Barr. . . . . E  
(voir Pl. 124.)

9. Spécimen vu par la face latérale, montrant la grande chambre avec le bord de l'ouverture et une longue série de loges aériennes, en grande partie recouvertes de leur test. *Dlauha Hora.*
10. *id.* vu par le côté convexe, montrant le sinus des ornements, au droit du siphon, mis à nu par une section longitudinale.
11. *id.* vu par le côté concave.
12. *id.* section transverse, orientée comme la fig. 9 et montrant la position du siphon.
13. *id.* fragment du test, fortement grossi, montrant les ornements. Les stries sont très fines dans la nature, sur la surface des anneaux.
14. *id.* 3 éléments du siphon, grossis, avec la trace des cloisons.

Fig. Etage. **Cyrtoceras heteroclytium.** Barr. . . . F  
Forme intermédiaire entre les *Cyrtoceras* et les *Phragmoceras.*

15. Spécimen vu par la face latérale, recouverte du test, dont la surface est altérée. *Konieprus.*
16. *id.* vu par le côté convexe.
17. *id.* vu par le côté concave, montrant la cloison terminale, sur laquelle on aperçoit la trace du siphon.
18. *id.* cloison terminale de la grande chambre, d'après un autre spécimen non figuré. Elle est orientée comme la fig. 15. *Konieprus.*

**Cyrtoceras modicum.** Barr. . . . . F

19. Fragment d'un spécimen, vu par la face latérale, et conservant son test, d'une apparence lamelleuse. *Konieprus.*
20. *id.* cloison terminale, orientée comme la fig. 19.
21. *id.* grossi, pour montrer l'apparence du test.

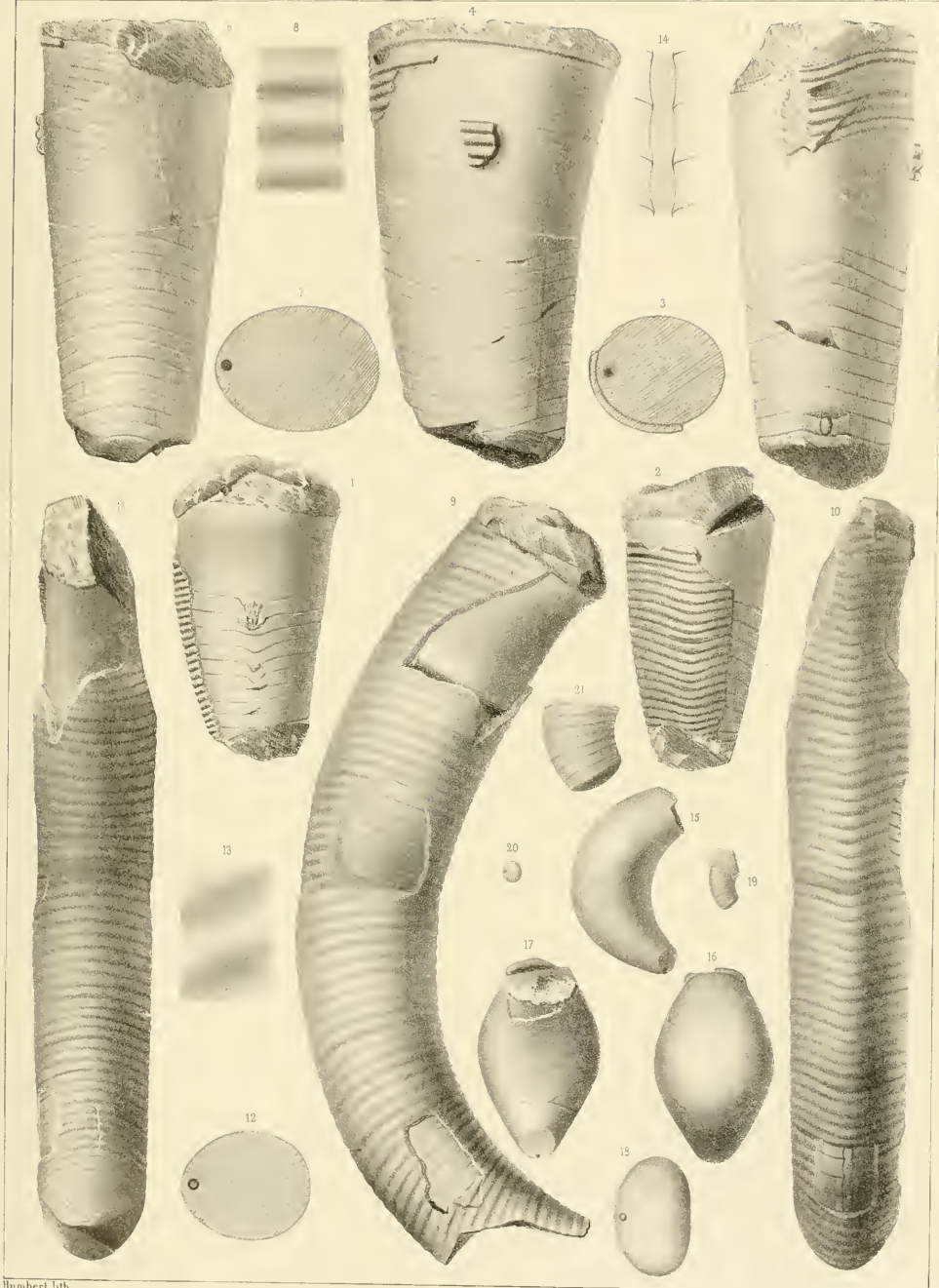






Fig. Etage. **Cyrtoceras vivax.** Barr. . . . . E

1. Spécimen vu par la face latérale. Il montre la grande chambre avec une apparence de contraction dans sa partie supérieure et une série de loges aériennes. Le test manque complètement. *Dlanha Hora.*
2. *id.* vu par le côté concave, montrant la contraction des bords de l'ouverture.
3. *id.* vu par le côté convexe, montrant les éléments nummuloides du siphon, encore à moitié couverts par la roche.
4. *id.* cloison terminale, orientée comme la fig. 1 et montrant la position du siphon.

**Cyrtoceras Bolli.** Barr. . . . . G-g 3  
(voir Pl. 145.)

5. Spécimen vu par la face latérale. Moule interne, montrant la grande chambre presque complète et une série de loges aériennes, conservant une partie du test vers le petit bout. *Hlubočep.*
6. *id.* vu par le côté convexe ou ventral, montrant une partie du siphon mis à nu, suivant une section longitudinale.
7. *id.* 3 éléments du siphon, grossis, avec la trace des cloisons.
8. *id.* section transverse orientée comme la fig. 3 et montrant la position du siphon.
9. *id.* fragment du test grossi et montrant les lignes ondulées, de couleur noire, existant dans son intérieur et visibles par transparence.

Fig. Etage. **Cyrtoceras Haueri.** Barr. . . . . E  
(voir Pl. 123.)

10. Spécimen à peu près complet, vu par la face latérale. Il montre le bord de l'ouverture, la grande chambre et la partie cloisonnée, également recouvertes par le test, sauf quelques lacunes. Une partie du fossile est détachée par un filon. *Zmrzlik.*
11. *id.* vu par le côté convexe ou ventral, montrant le sinus prononcé des ornements au droit du siphon.
12. *id.* vu par le côté concave.
13. *id.* section transverse, orientée comme la fig. 10.
14. *id.* fragment du test grossi, pour montrer ses ornements et leur imbrication directe.
15. *id.* section longitudinale du même fragment, montrant l'imbrication directe des stries.
16. Autre spécimen vu par le côté convexe, usé de manière à exposer la section longitudinale du siphon. *Zmrzlik.*
17. *id.* 3 éléments du siphon grossis, avec la trace des cloisons.

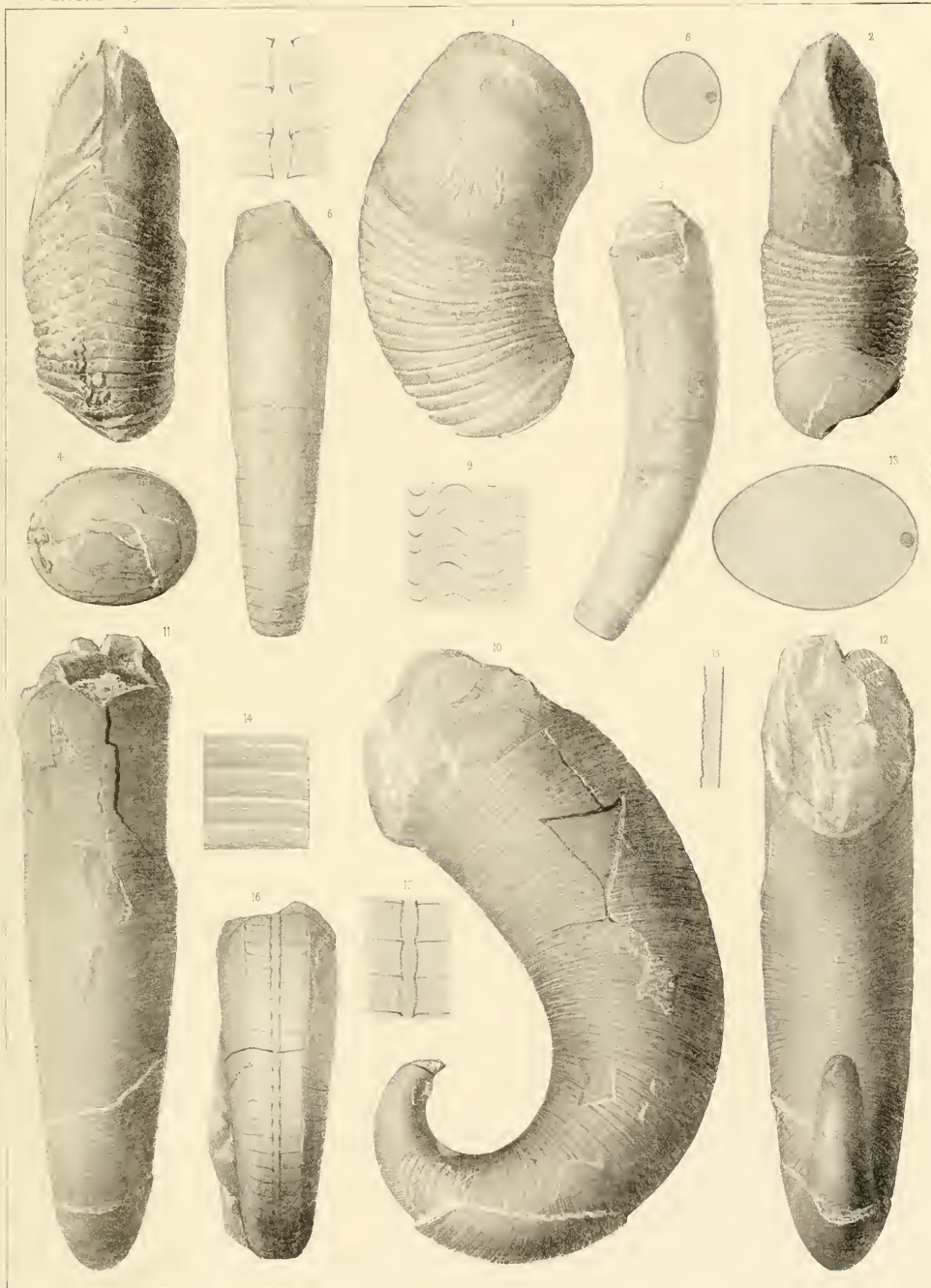






Fig.

**Cyrtoceras discretum.** Barr. . . . . E

1. Spécimen vu par la face latérale, montrant le moule de la grande chambre avec le bord de l'ouverture et une série de cloisons, conservant la majeure partie du test. *Kozobz.*
2. *id.* vu par le côté concave ou dorsal. Le bord de l'orifice est endommagé.
3. *id.* vu par le côté convexe ou ventral, montrant le sinus des ornements, au droit du siphon, partiellement mis à nu, sur deux points.
4. *id.* section transverse, orientée comme la fig. 1 et montrant la position du siphon.
5. *id.* 2 éléments du siphon grossis, avec la trace des cloisons.
6. *id.* fragment du test grossi, pour montrer ses ornements.
7. *id.* section longitudinale du même fragment, montrant l'imbrication directe des stries.

**Cyrtoceras circumflexum.** Barr. . . . . E  
(voir Pl. 208.)

8. Spécimen vu par la face latérale. Il montre la grande chambre avec le bord de l'ouverture, une longue série de loges aériennes et une partie du test. *Karlstein.*
9. *id.* vu par le côté convexe ou ventral, montrant une partie du siphon mis à nu par une section longitudinale.
10. *id.* cloison terminale de la grande chambre, vue par la face convexe et montrant la position du siphon. Elle est orientée comme la fig. 8.
11. *id.* fragment du test grossi, montrant ses stries peu distinctes.
12. *id.* section longitudinale du même fragment. Les stries ne montrent aucune imbrication.
13. *id.* 3 éléments du siphon grossis, avec la trace des cloisons.
14. Autre spécimen vu par la face latérale. Il est recouvert de son test, à travers lequel on distingue par transparence quelques unes des cloisons. *Karlstein.*
15. Autre spécimen vu par la face latérale, montrant la grande chambre et la partie cloisonnée presque complètes et conservant leur test. *Karlstein.*
16. Autre spécimen vu par le côté convexe, qui a été usé de manière à montrer la section longitudinale du siphon. *Karlstein.*
17. Fragment d'un autre spécimen, montrant quelques éléments du siphon en relief et vus de profil. *Karlstein.*

N. B. En comparant les 3 spécimens figurés sur cette planche et celui qui est représenté sur la Pl. 208 fig. 25, on reconnaîtra que leurs formes sont un peu différentes sous le rapport de la courbure et des dimensions de la coquille.

Etage.

Fig.

Etage.

**Cyrtoceras Alpheus.** Barr. . . . . E

18. Spécimen presque complet, vu par la face latérale. Il montre la grande chambre, le bord de l'ouverture, une série de loges aériennes et des parties du test. *Slivenetz.*
19. *id.* vu par le côté convexe, montrant le sinus des ornements, au droit du siphon, partiellement mis à nu, suivant une section longitudinale.
20. *id.* 3 éléments du siphon grossis, avec la trace des cloisons.
21. *id.* cloison terminale de la grande chambre, vue par la face convexe. Elle est orientée comme la fig. 18 et montre la position du siphon.
22. *id.* fragment du test, grossi, montrant ses ornements.
23. *id.* section longitudinale du même fragment, montrant l'imbrication directe, peu prononcée.

**Cyrtoceras impatiens.** Barr. . . . . E  
(voir Pl. 208.)

24. Spécimen presque complet, vu par la face latérale. Il montre le bord de l'ouverture, la grande chambre, la partie cloisonnée et une grande portion du test. *Slivenetz.*
25. *id.* vu par le côté convexe ou ventral, montrant le sinus des ornements au droit du siphon, mis à nu dans la partie supérieure, suivant une section longitudinale.
26. *id.* section transverse, orientée comme la fig. 24 et montrant la position du siphon.
27. *id.* 4 éléments du siphon grossis, avec la trace des cloisons.
28. *id.* fragment du test grossi, montrant ses ornements.
29. *id.* section longitudinale du même fragment, montrant l'imbrication directe.

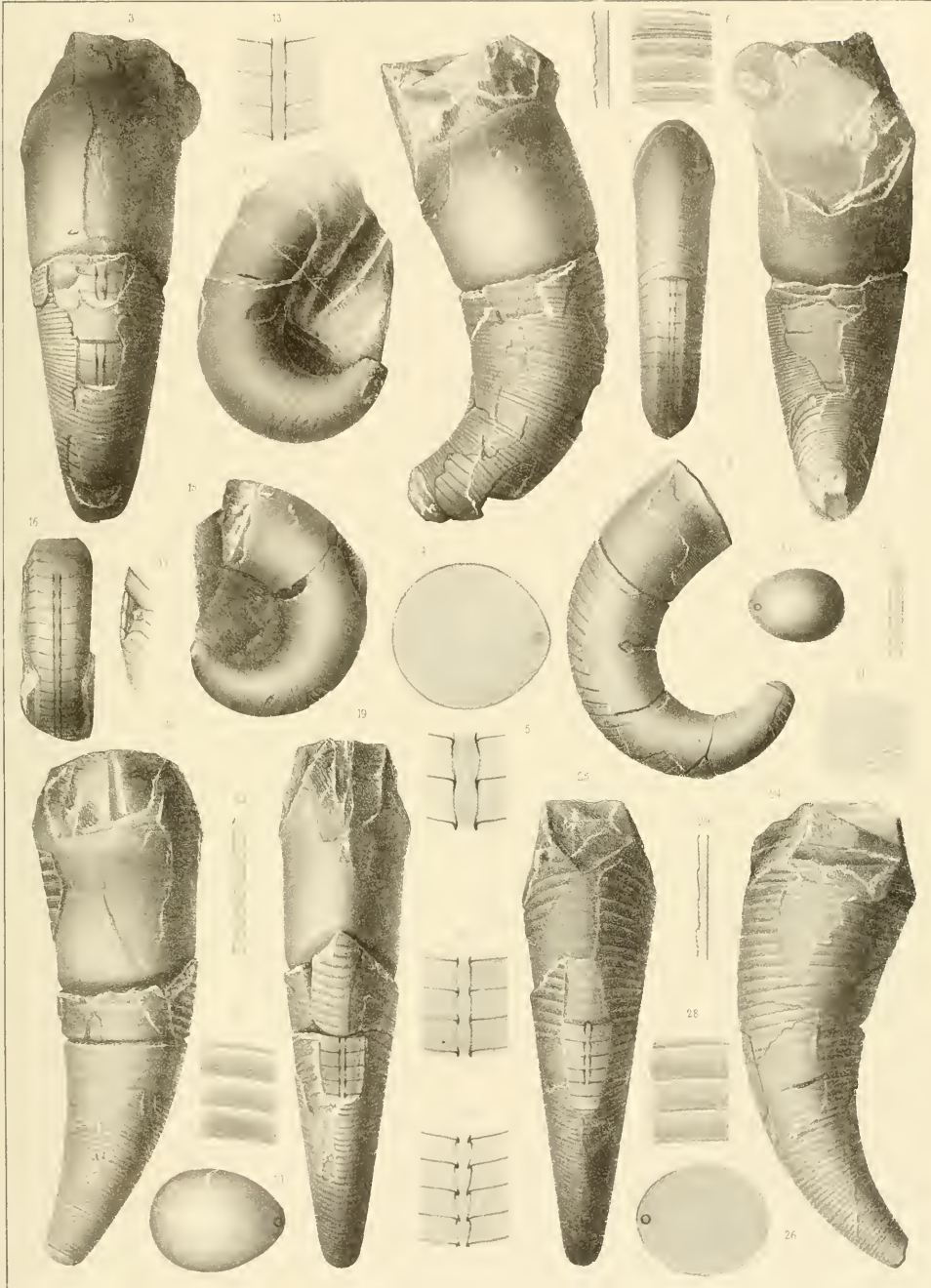






Fig.

Etage.

Fig.

Etage.

**Cyrtoceras corniculatum.** Barr. . . . E  
(voir Pl. 217.)

1. Spécimen adulte, vu par la face latérale. Il montre la grande chambre complète, avec le bord de l'ouverture et la majeure partie des loges aériennes. Le test, conservé presque en entier, présente des ornements très prononcés, dont le relief se reproduit sur le moule interne. Les plis offrent le maximum d'espacement, tandis qu'on les voit très-rapprochés sur le spécimen, fig. 7. *Kozořs.*
2. *id.* vu par le côté convexe ou ventral, montrant une faible échancrure au bord de l'ouverture et le sinus correspondant des ornements, au droit du siphon. Trois éléments de cet organe sont mis à nu, par une section longitudinale.
3. *id.* 3 éléments du siphon grossis, avec la trace des cloisons.
4. Autre spécimen adulte, vu par la face latérale. Il montre la grande chambre avec le bord de l'ouverture, la majeure partie des loges aériennes et des fragments du test. Bien que les ornements soient très-prononcés, sur la surface du test, on voit à peine leur trace sur le moule interne de la grande chambre, qui contraste par là avec le spécimen précédent. Fig. 2. *Kozořs.*
5. *id.* vu par le côté concave ou dorsal. Il montre les stries du test passant horizontalement sur ce côté et très serrées.
6. *id.* cloison prise un peu au dessous de la grande chambre. Elle est vue par la face convexe et orientée comme la fig. 4. Elle montre la position du siphon, à quelque distance du bord convexe.
7. Autre spécimen adulte, vu par la face latérale. Il montre la grande chambre, un peu endommagée et la presque totalité des loges aériennes, recouvertes de leur test. Les ornements de la surface sont plus serrés dans ce spécimen que dans les précédents. *Kozořs.*
8. Autre spécimen d'âge moyen, vu par la face latérale. Il montre la grande chambre, le bord de l'ouverture, la majeure partie des loges aériennes et de grands fragments du test. *Kozořs.*
9. Autre spécimen un peu plus jeune, vu par la face latérale. Il montre le bord de l'ouverture, la grande chambre, presque toutes les loges aériennes et la majeure partie du test. *Lochkor.*
10. *id.* fragment du test grossi, pour montrer ses ornements, très-bien conservés.

11. *id.* section longitudinale du même fragment, montrant l'imbrication directe des ornements.
12. Autre spécimen très jeune et vu par la face latérale. Il est presque complet et conserve la majeure partie de son test. *Lochkor.*
13. Autre spécimen d'âge moyen, vu par le côté convexe ou ventral. Sa surface a été usée de manière à montrer la section longitudinale du siphon, dans toute la longueur, à partir de la base de la grande chambre. *Lochkor.*
14. Autre spécimen, adulte, vu par le côté convexe ou ventral. Sa surface a été usée jusqu'à l'axe du siphon, dont les éléments sont bien conservés dans la partie inférieure, tandis que dans la partie supérieure, on ne voit que leur trace au droit des goulots. *Lochkor.*
15. Autre spécimen, vu par le côté convexe ou ventral. Il montre une partie des éléments du siphon mis à nu et en relief. Les autres sont indiqués par une légère trace sur le moule. *Kozořs.*
16. 3 éléments du siphon vus de profil, d'après un autre spécimen non figuré.
17. Autre spécimen, vu par le côté convexe ou ventral. Il montre quelques éléments du siphon mis à nu et en relief. Les ornements du test sont très prononcés, et l'on voit leur sinus au droit du siphon. *Kozořs.*
18. 3 éléments du siphon grossis et vus de face comme dans la fig. 17.
19. *id.* les mêmes éléments vus de profil, avec la trace des cloisons et du test, dont l'épaisseur a été trop réduite sur cette figure.

**Variet. sub-recta.** Barr. . . . . E

20. Spécimen vu par la face latérale, conservant presque tout son test. Il se distingue de tous les précédents par sa courbure moins prononcée, par sa section transversale un peu moins aplatie et par quelques légères différences dans ses ornements. *Lochkor.*
  21. *id.* fragment du test grossi, pour montrer ses ornements.
  22. *id.* section longitudinale du même fragment.
  23. *id.* section transversale, orientée comme la fig. 20 et montrant la position du siphon.
- N. B. Ce spécimen pourrait peut-être appartenir à *Cyrt. imperiale*. Pl. 111.

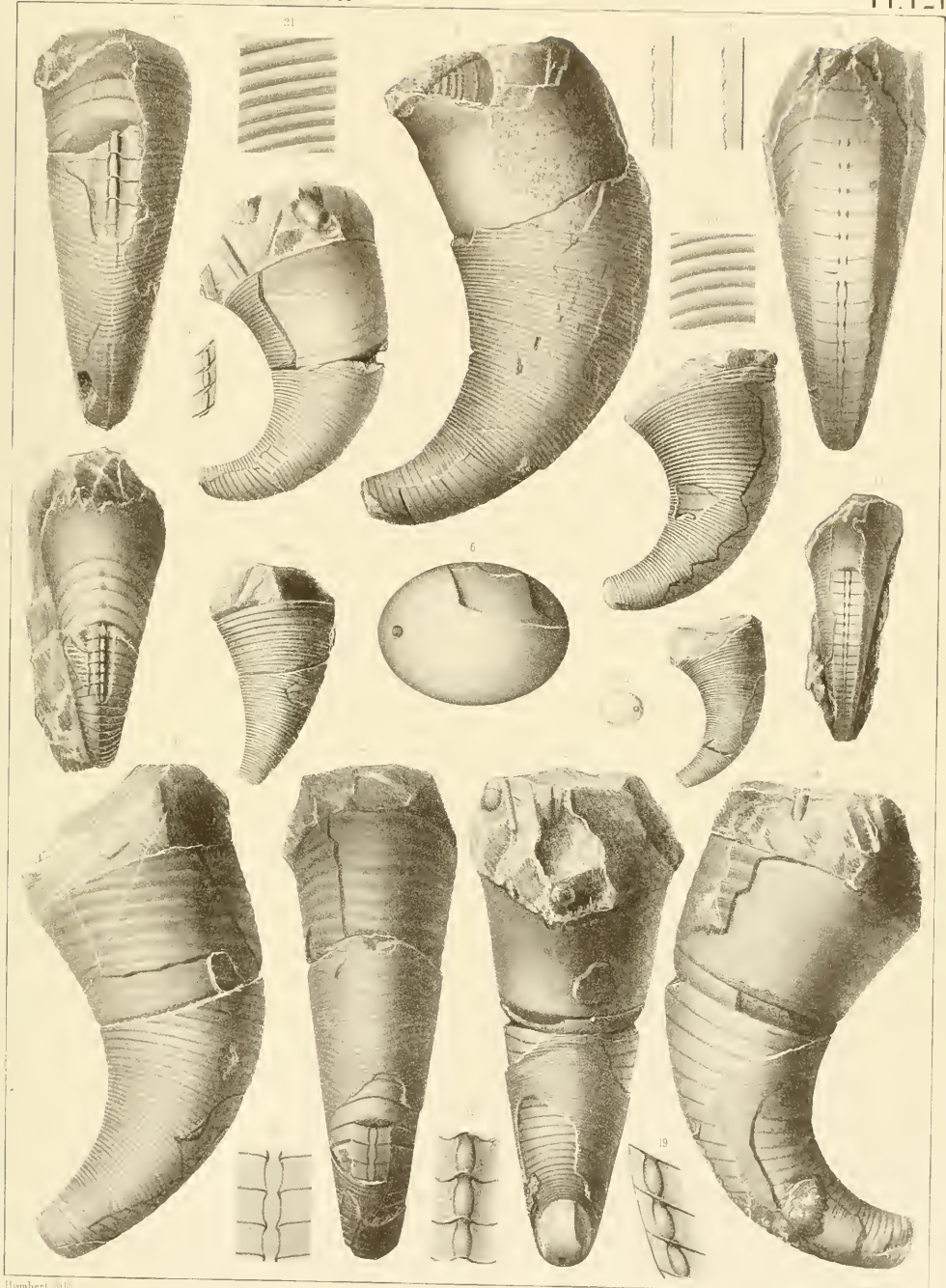






Fig.

Etage.

Fig.

Etage.

**Cyrtoceras Geinitzi.** Barr. . . . . E  
(voir Pl. 208.)

1. Spécimen presque complet vu par la face latérale. Il montre le bord de l'ouverture, le moule de la grande chambre et la partie cloisonnée presque complète et recouverte du test. *Kozořz.*
2. *id.* vu par le côté concave ou dorsal, montrant la direction horizontale des stries.
3. *id.* section transverse, orientée comme la fig. 1 et montrant la position du siphon.
4. *id.* fragment du test, grossi. Il\*montre les ornements et leur sinus sur le milieu du côté convexe. Les stries sont très faibles dans la nature.
5. Autre spécimen vu par le côté convexe ou ventral. Il montre le sinus des stries au droit du siphon exposé dans une section longitudinale. *Kozořz.*
6. *id.* trois éléments du siphon grossis, avec la trace des cloisons.
7. Autre spécimen vu par la face latérale. Il montre la grande chambre renfermant des fragments d'orthocères. La série des loges aériennes est presque complète et conserve une partie du test. *Kozořz.*
8. *id.* section horizontale orientée comme la fig. 7 et montrant la position du siphon.

**Cyrtoceras iners.** Barr. . . . . E

9. Spécimen vu par la face latérale. Il montre le bord de l'ouverture, la grande chambre, une longue série de loges aériennes et la majeure partie du test. *Lochkov.*
10. *id.* vu par le côté convexe ou ventral. Il montre le sinus des ornements au droit du siphon, exposé dans une section longitudinale.
11. *id.* section transverse orientée comme la fig. 9 et montrant la position du siphon.
12. *id.* 3 éléments du siphon grossis, avec la trace des cloisons.
13. *id.* fragment du test grossi et pris sur le côté convexe dans la partie inférieure de la coquille. Il montre les ornements très prononcés dans cette partie et leur sinus au droit du siphon.
14. *id.* section longitudinale du test, montrant l'imbrication directe des ornements.

**Cyrtoceras serum.** Barr. . . . . E  
(voir Pl. 137—138.)

15. Spécimen vu par la face latérale. Il montre le bord de l'ouverture, la grande chambre, la série presque complète des loges aériennes et une partie du test, mal conservée. On voit les éléments du siphon, en profil sur le bord convexe. *Kozořz.*
16. *id.* vu par le côté convexe. Dans la partie inférieure, les éléments du siphon sont mis à nu et en relief, tandisque, dans la partie supérieure, ils sont exposés dans une section longitudinale.
17. *id.* 3 éléments du siphon grossis avec la trace des cloisons.
18. *id.* section transverse orientée comme la fig. 15 et montrant la position du siphon.

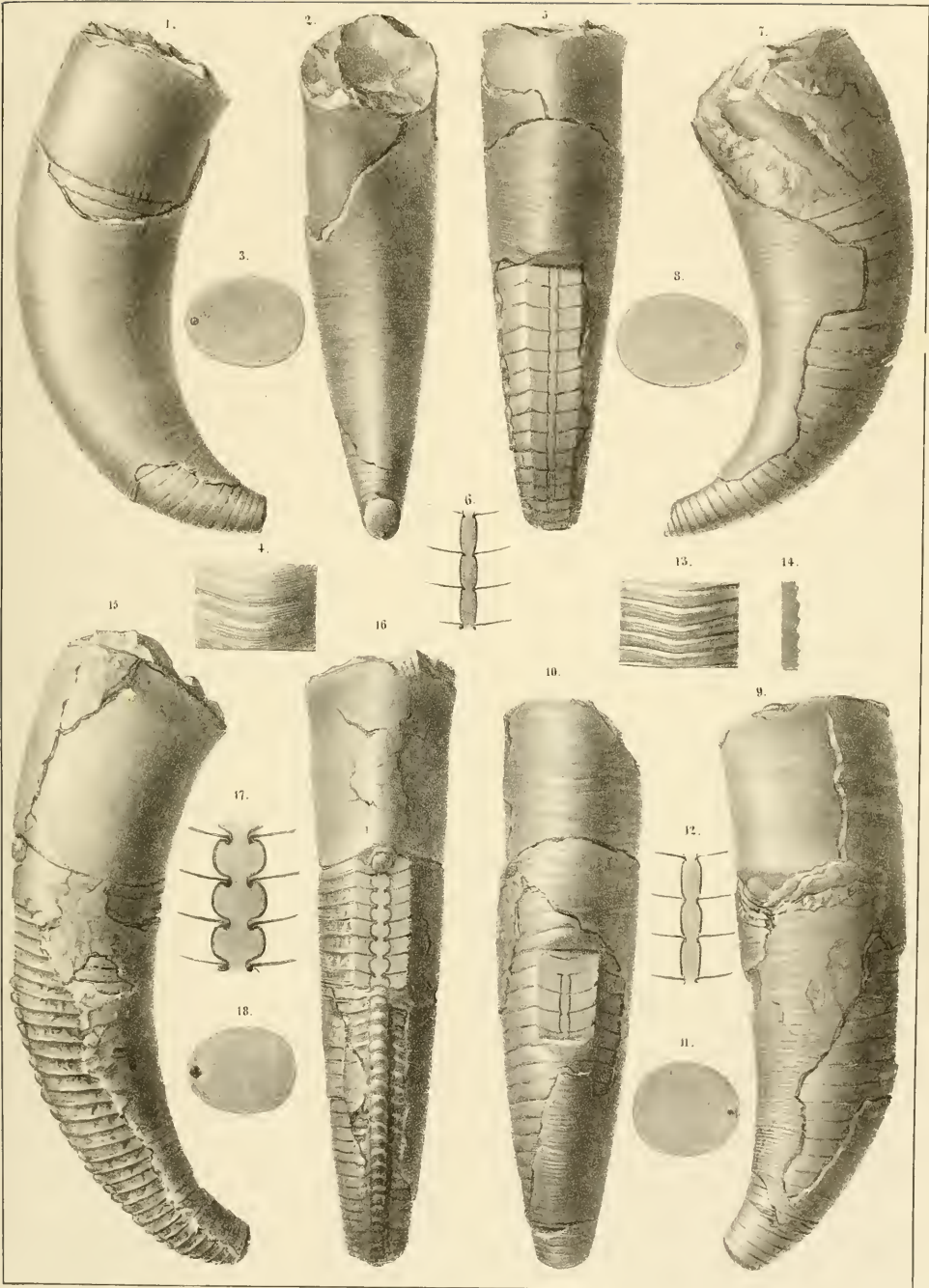






Fig.

Etage | Fig

Etage.

**Cyrtoceras dives.** Barr. . . . . E

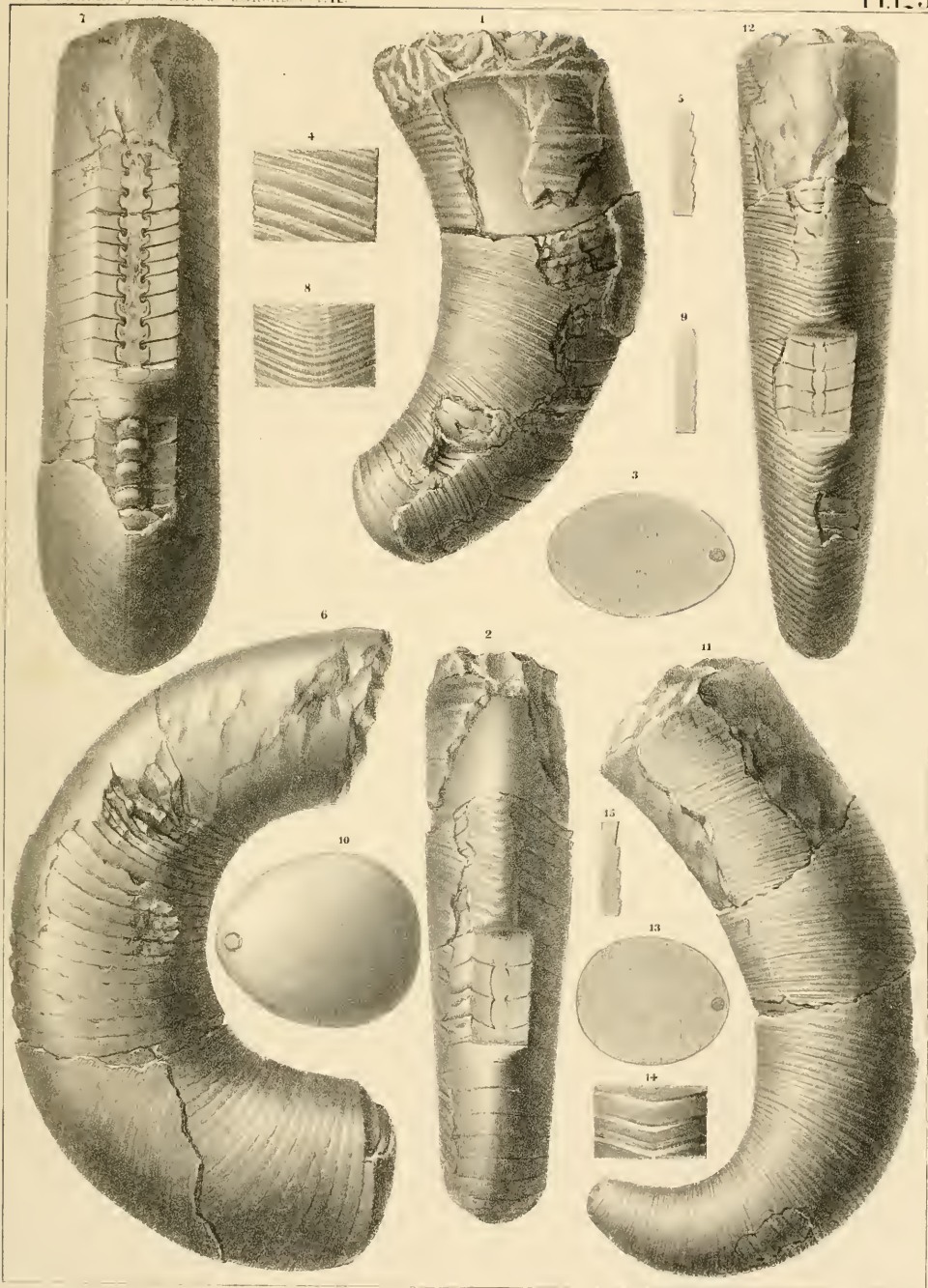
1. Spécimen vu par la face latérale, montrant le bord de l'ouverture, la grande chambre, une longue série de loges aériennes et une partie du test. *Dlauha Hora.*
2. *id.* vu par le côté convexe. Il montre le sinus des ornements au droit du siphon, exposé dans une section longitudinale.
3. *id.* section transverse, orientée comme la fig. 1 et montrant la position du siphon.
4. *id.* fragment du test pris sur la face latérale et grossi afin de montrer les ornements.
5. *id.* section longitudinale du test, montrant l'imbrication directe de ses ornements.

**Cyrtoceras Giebeli.** Barr. . . . . E

6. Spécimen vu par la face latérale. Il montre la grande chambre incomplète, une série de loges aériennes et une partie du test. *Kozořs.*
7. *id.* vu par le côté convexe ou ventral. Dans la partie inférieure, on voit le sinus des stries au droit du siphon mis à nu et en relief, tandis que, dans la partie supérieure, il est exposé dans une section longitudinale.
8. *id.* fragment du test grossi, pour montrer ses ornements et leur sinus au droit du siphon.
9. *id.* section longitudinale du test, montrant le faible relief de ses ornements, sans imbrication prononcée.
10. *id.* cloison terminale du spécimen, vue par le côté convexe et montrant la position du siphon. Elle est orientée comme la fig. 6.

**Cyrtoceras Haueri.** Barr. . . . . E  
(voir Pl. 119.)

11. Spécimen vu par la face latérale. Il montre le bord de l'ouverture, la grande chambre et la partie cloisonnée presque complète, sous son test. *Kozořs.*
12. *id.* vu par le côté convexe ou ventral, montrant le sinus des ornements au droit du siphon, exposé dans une section longitudinale.
13. *id.* section transverse orientée comme la fig. 11 et montrant la position du siphon.
14. *id.* fragment du test grossi, montrant ses ornements et leur sinus au droit du siphon.
15. *id.* section longitudinale du test, montrant l'imbrication directe de ses ornements.





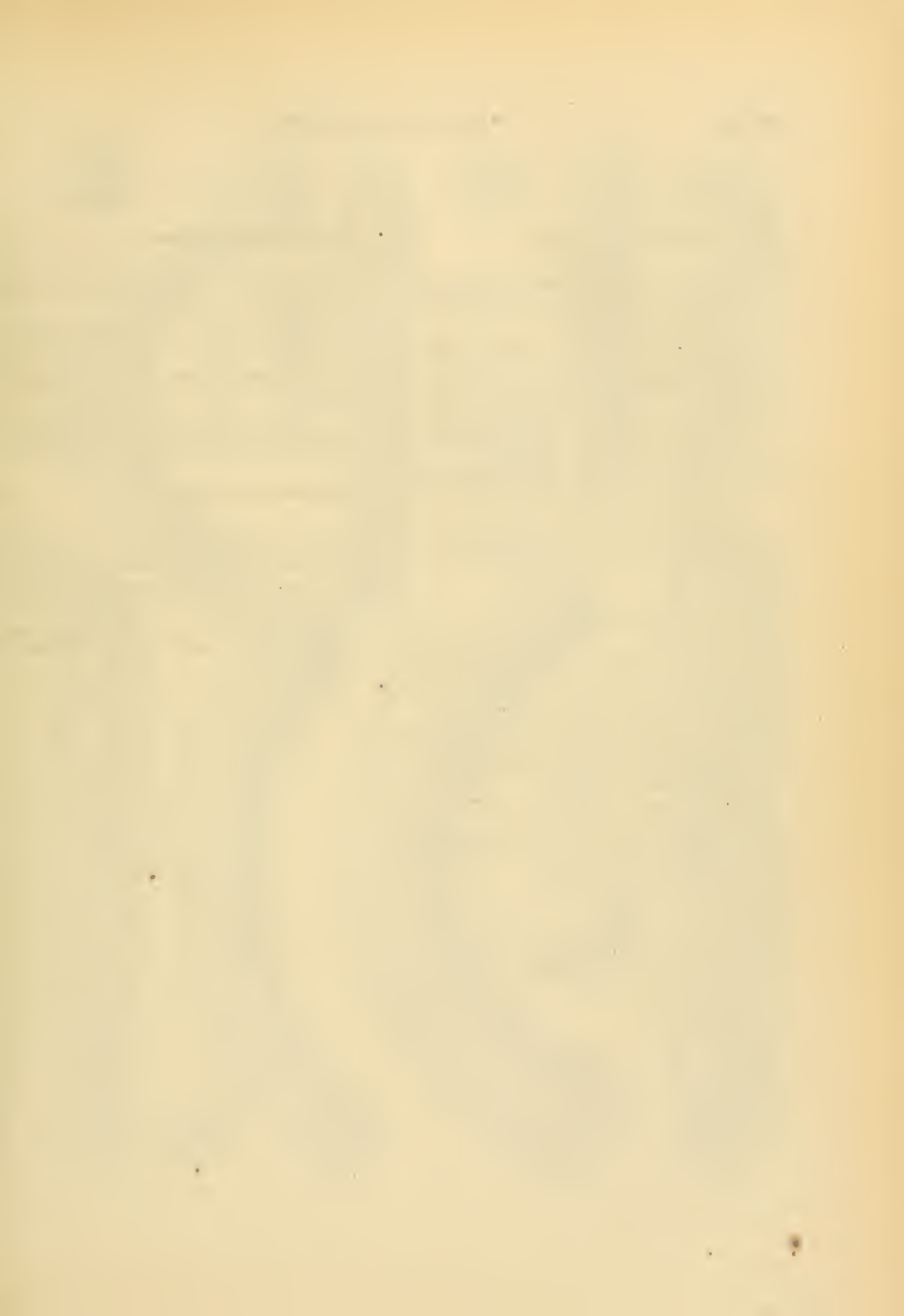


Fig.

Etage.

Fig.

Etage.

**Cyrtoceras exile.** Barr. . . . . E  
(voir Pl. 131.)

1. Spécimen vu par la face latérale. Il montre le bord de l'ouverture, la grande chambre et une longue série de loges aériennes, conservant une partie du test, dont la surface est altérée. *Lochkov.*
2. *id.* vu par le côté convexe, montrant le siphon sur la majeure partie de la longueur, soit en relief, soit dans une section longitudinale. La modification de cet organe, dans la forme et les dimensions de ses éléments se manifeste sur cette figure.
3. *id.* cloison prise vers le milieu de la longueur et orientée comme la fig. 1. Elle est vue par la face convexe et montre la position du siphon.
4. *id.* 7 éléments du siphon grossis. Les 3 plus élevés sont en relief et les 4 autres sont vus dans leur section. L'ensemble montre le décroissement sensible dans les dimensions de cet organe, en allant de bas en haut.
5. *id.* section idéale de la même portion du siphon, par le plan médian, avec la trace du test et des cloisons, pour montrer le même décroissement des éléments de cet organe.

**Cyrtoceras sica.** Barr. . . . . E

6. Spécimen vu par la face latérale, montrant le bord de l'ouverture, la grande chambre et la majeure partie des loges aériennes avec des fragments du test. Ce spécimen est traversé dans toute sa longueur par un filon de spath calcaire blanc. *Slivenetz.*
7. *id.* vu par le côté convexe ou ventral, montrant le sinus des ornements sur le moule interne, au droit du siphon, exposé dans une section longitudinale.
8. *id.* section transverse orientée comme la fig. 6 et montrant la position du siphon.
9. *id.* 3 éléments du siphon grossis, avec la trace des cloisons.
10. *id.* fragment du test grossi, pour montrer ses ornements.
11. *id.* section longitudinale du test, montrant le relief de ses ornements, sans imbrication.

**Cyrtoceras lethæum.** Barr. . . . . E

12. Spécimen vu par la face latérale. Il montre le bord de l'ouverture, la grande chambre, une longue série de loges aériennes et quelques fragments du test, dont la surface est altérée. *Lochkov.*
13. *id.* vu par le côté convexe ou ventral, montrant le siphon exposé dans deux parties différentes, suivant une section longitudinale.
14. *id.* cloison terminale orientée comme la fig. 12. Elle est vue par sa face convexe et montre la position du siphon.
15. *id.* 3 éléments du siphon grossis, avec la trace des cloisons. Dans leur intérieur on voit un faible dépôt organique, au droit des goulots.

**Cyrtoceras acinaces.** Barr. . . . . E  
(voir Pl. 118.)

16. Spécimen vu par la face latérale, montrant le bord de l'ouverture, la grande chambre et une longue série de loges aériennes avec divers fragments du test. *Bulovitz.*
17. *id.* vu par le côté convexe ou ventral. Il montre le sinus des ornements au droit du siphon, exposé dans une section longitudinale.
18. *id.* cloison terminale orientée comme la fig. 16. Elle est vue par la face convexe et montre la position du siphon.

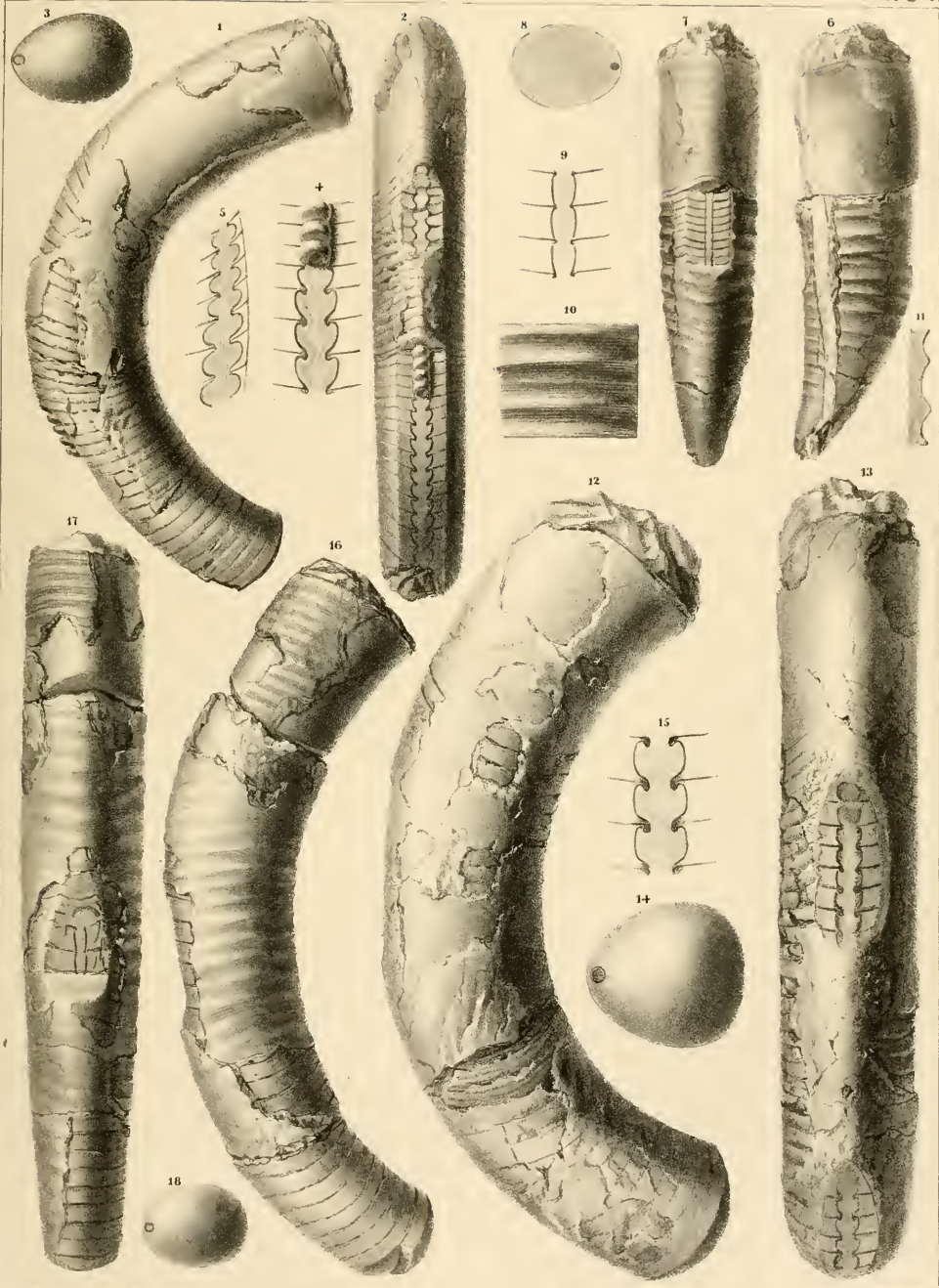






Fig.

Etage.

Fig.

Etage.

**Cyrtoceras corbulatum.** Barr. . . . E  
(voir Pl. 224.)

1. Spécimen vu par la face latérale et conservant la majeure partie de son test. Il montre la grande chambre à peu près complète et presque toutes les loges aériennes. Les ornements du test sont relativement plus serrés que sur d'autres individus. Ils sont d'ailleurs très distincts, quoique la surface ait été un peu altérée en quelques parties. *Dvoretz.*
  2. Autre spécimen vu par la face latérale, conservant la majeure partie du test. Il offre à la fois de plus fortes dimensions et un espacement plus considérable dans ses ornements, qu'on voit avec leur saillie presque intacte. *Dvoretz.*
  3. *id.* vu par le côté concave ou dorsal. Une partie du test manquant à droite, on voit la surface du moule interne, avec ses filets en relief, mais sans trace des ornements transverses.
  4. *id.* vu par le côté convexe ou ventral, montrant le sinus aigu que font les ornements transverses, au droit de l'arête médiane, c. à d. au droit du siphon.
  5. Autre spécimen vu par la face latérale. Moule interne, montrant les filets longitudinaux en relief sur sa surface et se terminant chacun par une fente, sur le bord de l'ouverture. Cette fente paraît être accidentelle et provenir de l'usure du moule. On voit à la base de la grande chambre une série de crénelures très marquées. Cette figure indique aussi le festonnement du bord des cloisons. *Dvoretz.*
  6. *id.* cloison terminale, vue par le côté convexe, montrant la position du siphon et la saillie des ornements de la surface, sur la circonférence. Elle est orientée comme la fig. 5.
7. Ornements du test, fortement grossis, d'après un fragment non figuré, qui montre les lamelles saillantes et leurs gouttières parfaitement intactes.
  8. Autre spécimen, vu par le côté concave ou dorsal. Le test est conservé, mais sa surface a été usée, de sorte qu'on ne voit que la trace de ses ornements. *Dvoretz.*
  9. *id.* fragment de la surface, grossi, pour montrer son apparence lorsque ses ornements ont été usés, au lieu d'être intacts comme dans la fig. 7.
  10. Autre spécimen, vu par le côté convexe ou ventral. Il a été préparé de manière à montrer la section longitudinale du siphon. Dans la partie supérieure, on voit les ornements du test avec leur sinus et l'arête médiane.
  11. *id.* 3 éléments du siphon grossis, avec la trace des cloisons.
  12. Autre spécimen. Moule interne, montrant un fort étranglement dans la grande chambre, incomplète vers le haut. *Dvoretz.*
  13. Autre spécimen encore jeune, vu par la face latérale et conservant son test à peu près intact. On distingue la majeure partie de la grande chambre et des loges aériennes. *Hunter-Kopanna.*
  14. *id.* fragment du test, grossi et choisi dans la région où il est intact, pour montrer tous ses ornements, savoir: les filets saillants, les lignes longitudinales, les stries fines horizontales et les lamelles naissantes.
  15. *id.* vu par le côté convexe ou ventral.
  16. *id.* fragment du test grossi, mais pris dans une région où les stries fines transverses sont à peine visibles, bien que les autres ornements soient très distincts.

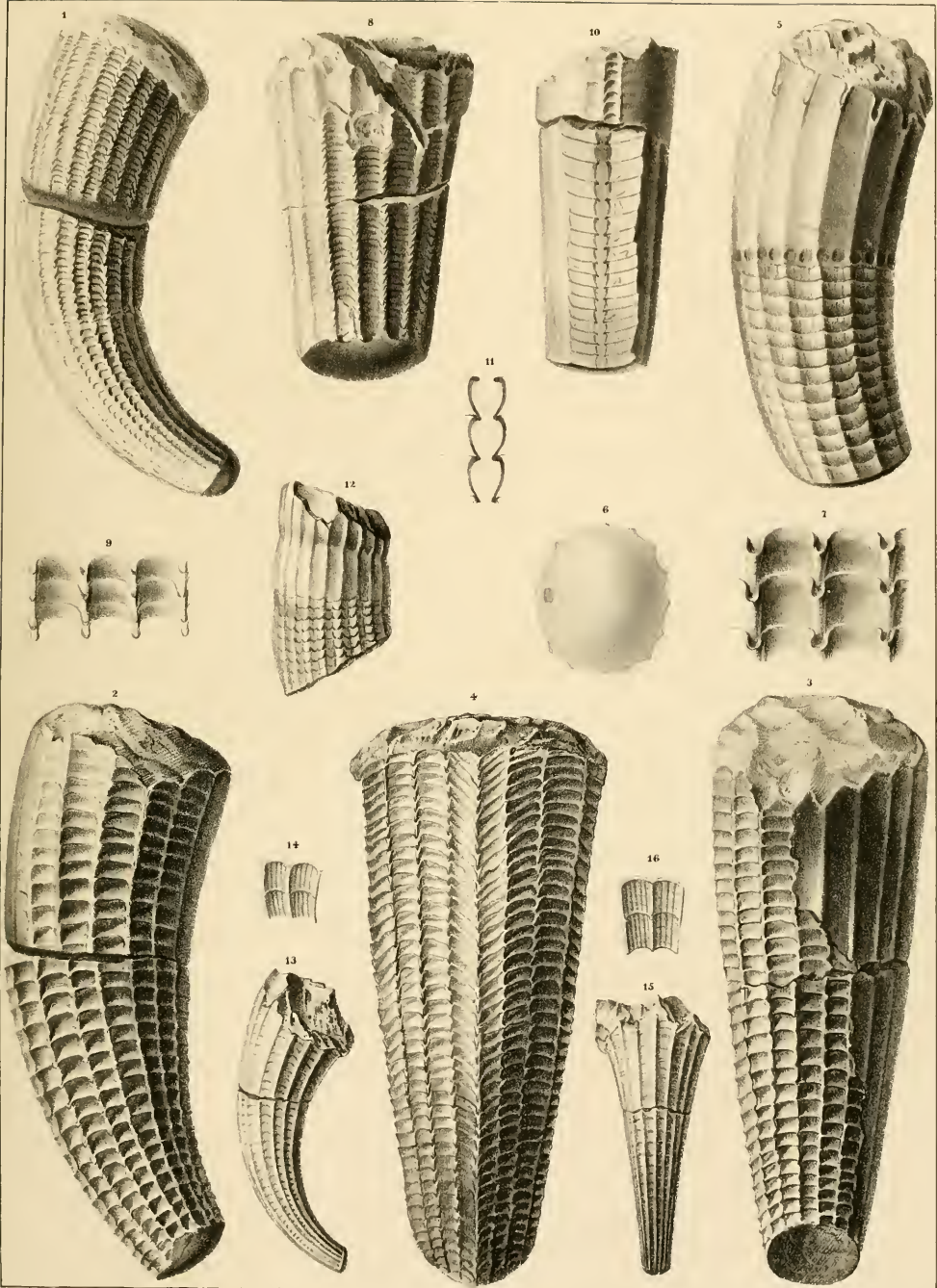






Fig.

**Cyrtoceras recurvum.** Barr. . . . . E  
(voir Pl. 139.)

1. Spécimen vu par la face latérale, montrant la grande chambre avec le bord de l'ouverture, une série de loges aériennes et une partie du test sans ornements. *Lochkov.*
2. *id.* vu par le côté convexe, préparé de manière à montrer la section longitudinale de la moitié supérieure du siphon. On remarque une variation notable dans la largeur et la hauteur des éléments de cet organe, en raison de la distance entre les cloisons.
3. *id.* cloison prise vers le milieu de la longueur et vue par la face convexe. Elle est orientée comme la fig. 1 et montre la position du siphon.
4. *id.* 4 éléments du siphon grossis, avec la trace des cloisons. Ils ont été choisis de manière à montrer la variation la plus sensible dans leur largeur.

**Cyrtoceras timidum.** Barr. . . . . E  
(voir Pl. 135—203.)

5. Spécimen vu par la face latérale, montrant la grande chambre incomplète, une série de loges aériennes et une partie du test, sans ornements. *Lochkov.*
6. *id.* vu par le côté convexe, dont une partie est préparée de manière à montrer la section longitudinale du siphon. On remarque la carène saillante sur la ligne médiane et presque aussi sensible sur le moule que sur le test.
7. *id.* cloison prise vers le milieu de la longueur et orientée comme la fig. 5. Elle est vue par la face convexe et montre la position du siphon.
8. *id.* 3 éléments du siphon grossis, avec la trace des cloisons.
9. Autre spécimen vu par la face latérale, montrant la base de la grande chambre, une série de loges aériennes et une partie du test. Sa courbure paraît moins forte que celle de l'individu fig. 5. *Lochkov.*
10. *id.* vu par le côté convexe, dont une partie a été préparée, pour montrer la section longitudinale du siphon. On voit, sur la ligne médiane, la trace d'une faible carène. La largeur du siphon est relativement moindre dans ce spécimen que dans le précédent, si l'on compare les parties de la coquille qui ont le même diamètre. Cet organe ne se trouve pas dans le plan médian, mais un peu à côté.
11. *id.* cloison prise vers le milieu de la longueur et orientée comme la fig. 9. Elle montre la position du siphon, un peu insymétrique par rapport au plan médian.
12. Quelques éléments du siphon grossis avec la trace des cloisons.

Etage.

Fig.

**Cyrtoceras patulum.** Barr. . . . . E  
(voir Pl. 110—204.)

13. Spécimen vu par la face latérale, montrant le bord de l'ouverture, la grande chambre, la série presque complète des loges aériennes et une partie du test, conservant ses ornements. *Kozoř.*
14. *id.* vu par le côté convexe, dont une partie a été préparée de manière à montrer la section longitudinale de quelques éléments du siphon. On voit l'irrégularité de leur largeur, tandis que la distance entre les cloisons reste constante.
15. *id.* section transverse, montrant la position du siphon à quelque distance du bord convexe de la coquille. Elle est orientée comme la fig. 13.
16. *id.* 3 éléments du siphon grossis, avec la trace des cloisons.

Etage.

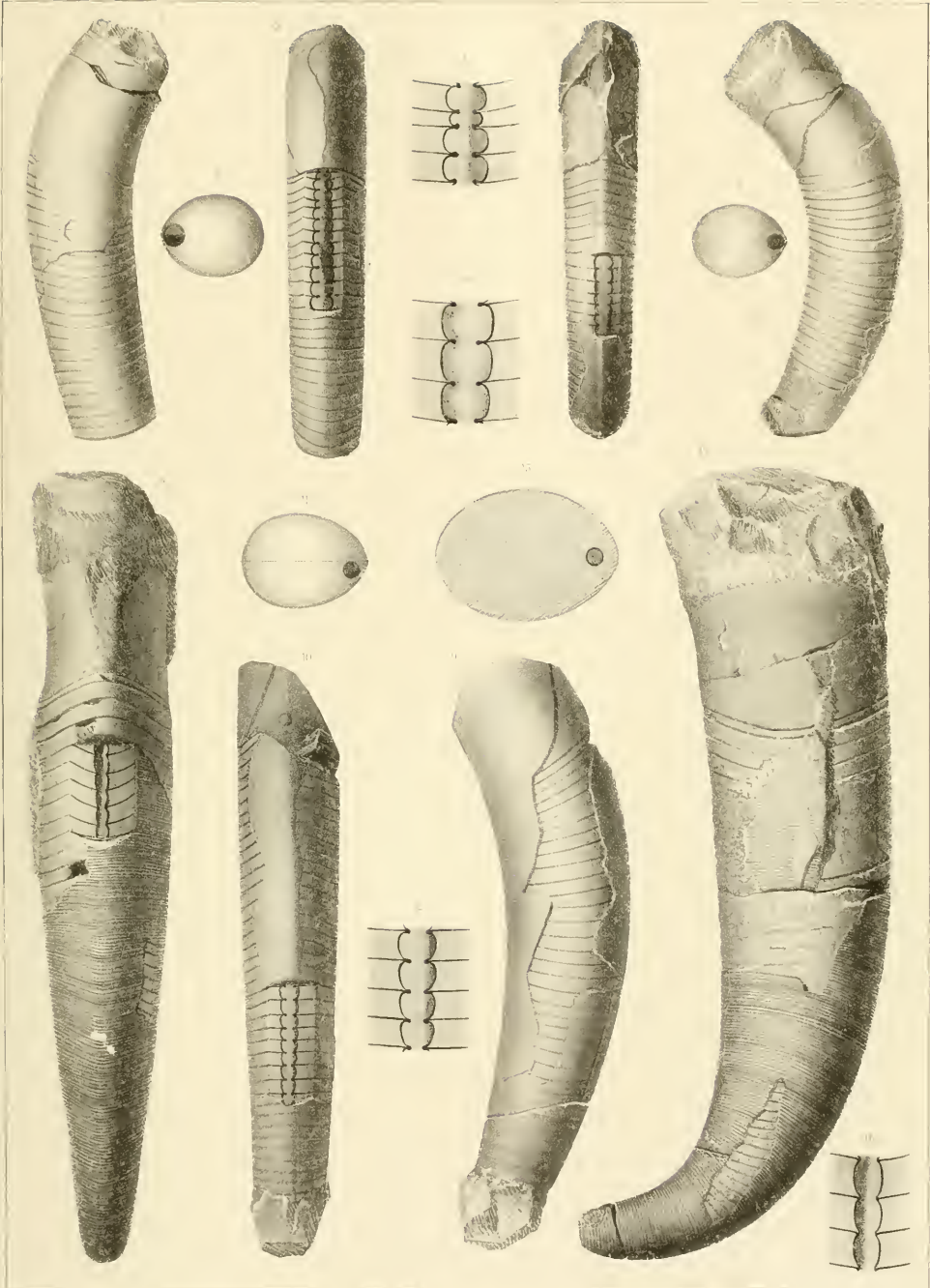






Fig.

Etag.

Fig.

Etag.

**Cyrtoceras alienum.** Barr. . . . G—g 1

1. Spécimen vu par la face latérale, montrant la base de la grande chambre et une série de loges aériennes. Il conserve une partie du test, qui a cependant perdu la lamelle externe. *Tetin.*
2. *id.* vu par le côté convexe, montrant le siphon mis à nu, jusqu'à l'axe.
3. *id.* section transverse, orientée comme la fig. 1.
4. *id.* trois éléments du siphon, grossis, avec la trace des cloisons.

N. B. Ce fossile, quoique présentant une coquille symétrique, rappelle beaucoup les apparences des *Trochoceras* du même horizon, savoir: *Tr. tardum* Pl. 26 et *Tr. flexum* Pl. 44, qui proviennent aussi de la même localité.

**Cyrtoceras Hoernesii.** Barr. . . . E

5. Spécimen vu par la face latérale, montrant la grande chambre, une partie du test et une longue série de loges aériennes. *Dlauha Hora.*
6. *id.* vu par le côté convexe, montrant le siphon mis à nu jusqu'à l'axe et les dilatations et contractions inégalement distribuées sur la longueur de la coquille.
7. *id.* cloison terminale orientée comme la fig. 5.
8. *id.* 5 éléments du siphon, dans leur grandeur naturelle, d'après la section longitudinale à l'extrémité inférieure du spécimen.
9. 3 éléments du siphon, vus par le côté convexe, d'après un autre spécimen non figuré.
10. *id.* vus de profil.

**Cyrtoceras nigrum** Barr. . . . E

11. Spécimen dépouillé de son test et vu par la face latérale, montrant la grande chambre et une longue série de loges aériennes. *Dvoretz.*
12. *id.* vu par le côté convexe.
13. *id.* vu par le côté concave. La cloison terminale vue en face montre la forme de la section transverse.
14. Autre spécimen, vu par le côté convexe et montrant le siphon mis à nu dans toute la longueur et jusqu'à l'axe. *Dvoretz.*
15. *id.* trois éléments du siphon, grossis, avec la trace des cloisons. On voit dans chacun d'eux la section d'un anneau obstructeur, au droit du goulot.

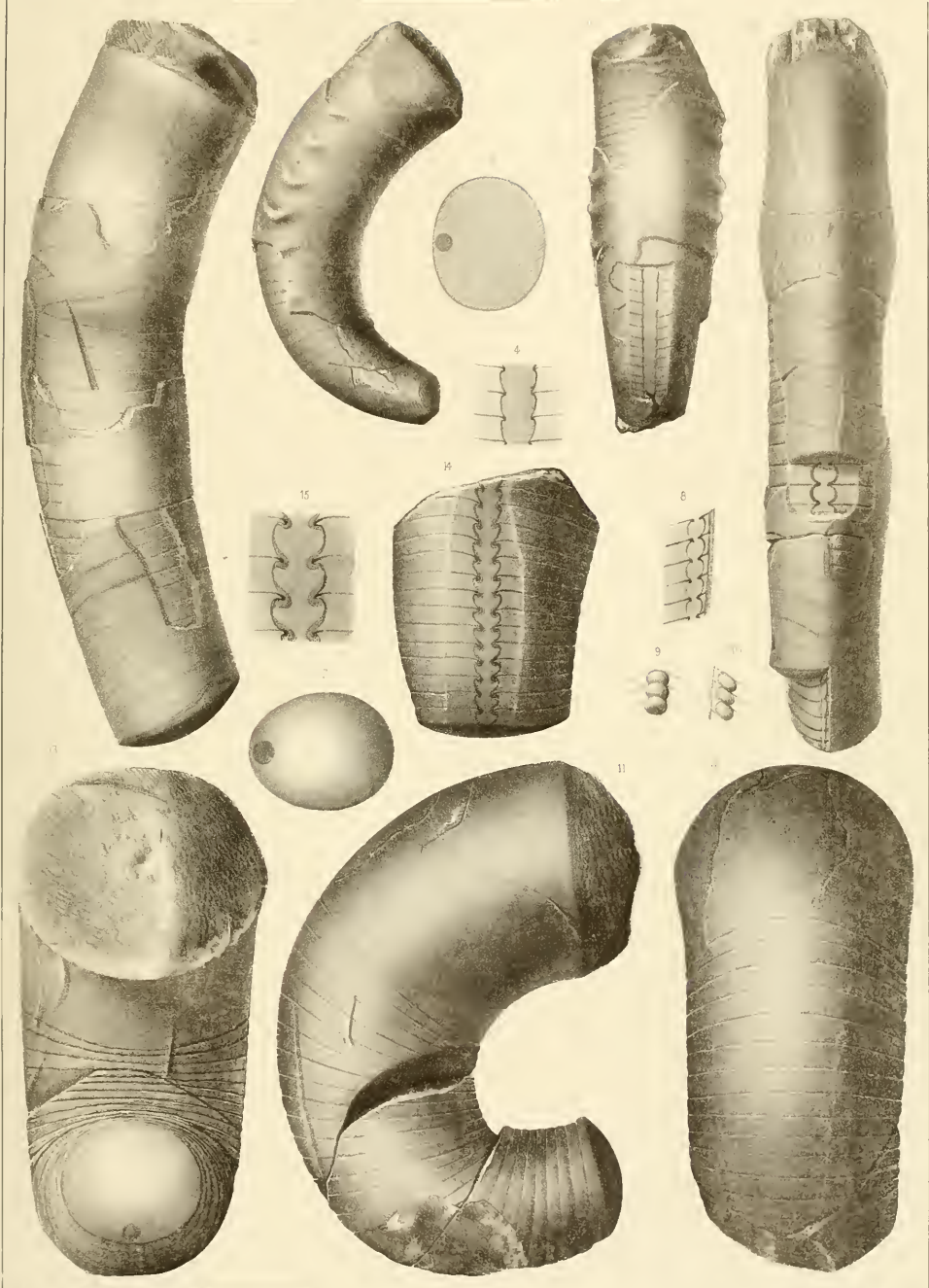






Fig.

Etag.

Fig.

Etag.

**Cyrtoceras superbum.** Barr. . . . . E

1. Spécimen dépouillé du test, montrant la grande chambre incomplète et une longue série de cloisons, dont les bords sont sinueux. *Droretz.*
2. *id.* vu par le côté convexe, montrant une partie du siphon mis à nu et en relief.
3. *id.* cloison terminale, orientée comme la fig. 1.
4. Autre spécimen, vu par le côté concave. Il appartient à un individu adulte de la plus grande taille. La grande chambre est complète et les cloisons très rapprochées. Il existe un filet longitudinal, sur la ligne médiane. Moule interne. *Droretz.*
5. Autre spécimen, dépouillé du test et vu par la face latérale. Il montre la grande chambre à peu près complète et une série de loges aériennes. On distingue sur celles-ci une trace longitudinale, qui paraît être celle d'une blessure. *Droretz.*

6. *id.* cloison terminale, orientée comme la fig. 5 et notablement plus arrondie que celle de la fig. 3.
7. Autre spécimen, vu par le côté convexe, montrant une série de loges aériennes. Il existe une faible carène sur la ligne médiane. *Droretz.*
8. Autre spécimen, vu par le côté convexe, montrant le siphon mis à nu jusqu'à l'axe, dans toute la longueur. *Droretz.*
9. *id.* trois éléments du siphon, grossis, avec la trace des cloisons.
10. Autre spécimen. Section longitudinale, montrant les cloisons et le siphon. *Droretz.*
11. *id.* 3 éléments du siphon, grossis, avec la trace des cloisons et du test supposé existant.

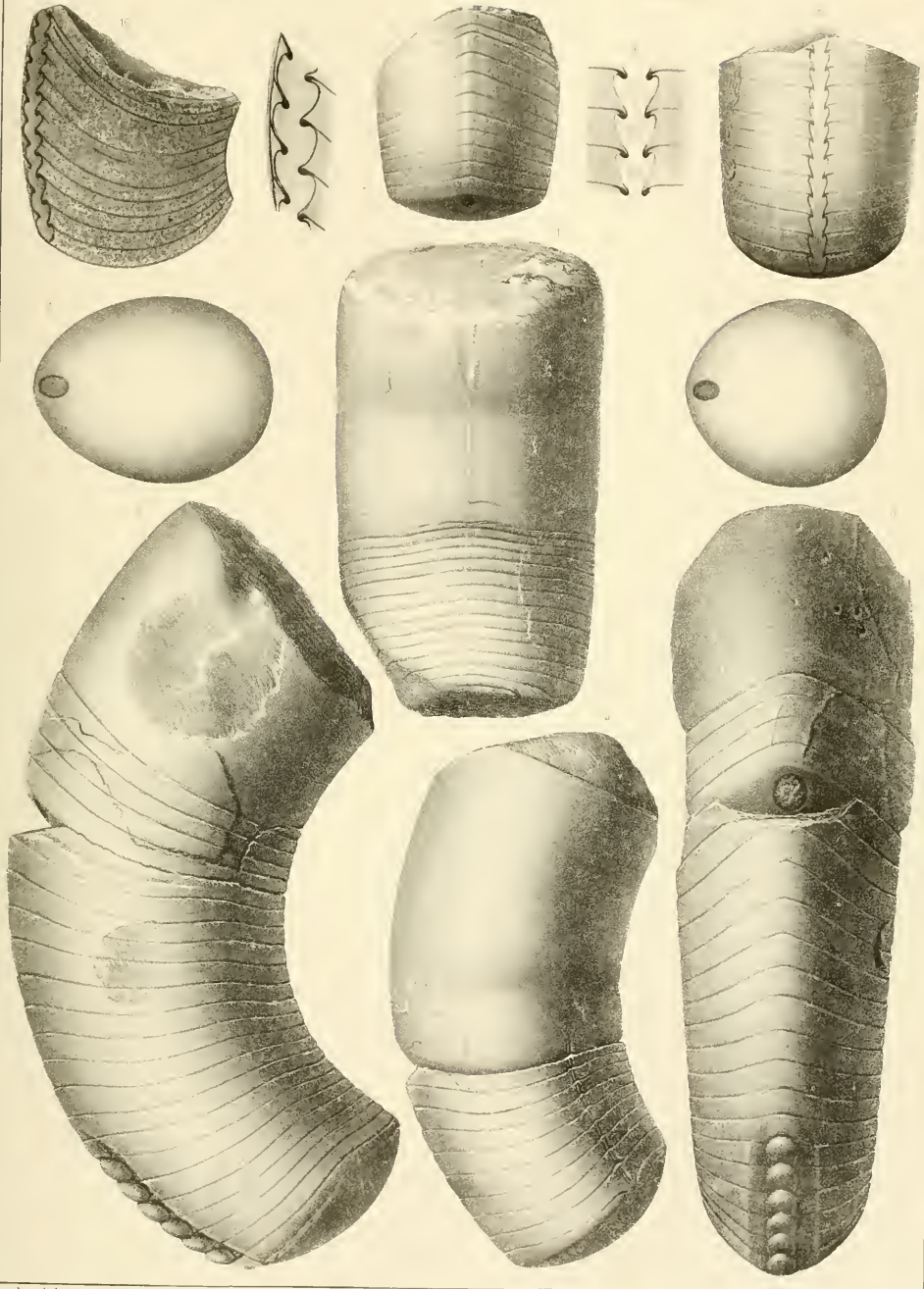






Fig.

Etage.

Fig.

Etage.

**Cyrtoceras? ultimum.** Barr. . . . . E

1. Spécimen vu par la face latérale, montrant la grande chambre presque complète, une longue série de loges aériennes, et une partie du test. Il n'y a pas de courbure sensible dans l'étendue figurée, mais l'analogie de forme avec *Cyrt. clava* Pl. 117 et *Cyrt. ambiguum*, Pl. 158—203, semble indiquer un *Cyrtoceras*, malgré l'apparence droite de la coquille. *Lochkov*.
2. *id.* cloison terminale de la grande chambre, orientée comme la fig. 1.
3. *id.* cloison terminale du spécimen, beaucoup plus arrondie.
4. Autre spécimen, vu par le côté ventral, montrant le siphon mis à nu sur toute la longueur et en relief dans la partie supérieure. *Kozorç*.
5. *id.* 3 éléments du siphon en relief, grossis et vus en face, avec la trace des cloisons.
6. *id.* Les mêmes éléments vus de profil, avec la section du test et des cloisons.
7. *id.* trois autres éléments du siphon, pris dans la partie inférieure, mis à nu jusqu'à l'axe et grossis avec la trace des cloisons.

**Cyrtoceras gibbum.** Barr. . . . . E

(voir Pl. 147.)

8. Chambre d'habitation isolée, vue par la face latérale, conservant une partie du test et montrant de fortes impressions longitudinales sur le moule interne. *Karlstein*.
9. *id.* vu par le côté convexe.
10. Autre spécimen. Chambre d'habitation isolée vue par le côté convexe, conservant une partie du test. Les impressions longitudinales ne paraissent presque pas sur le moule. *Karlstein*.
11. Autre spécimen. Chambre d'habitation isolée, entièrement recouverte de son test. Les filets longitudinaux sont à peine marqués sur ce morceau, tandis qu'ils sont très prononcés sur les précédents. *Karlstein*.
12. Spécimen vu par la face latérale, montrant la grande chambre, une partie du test et une longue série de loges aériennes. Ce spécimen est traversé par deux filons calcaires. *Karlstein*.
13. *id.* cloison, orientée comme la fig. 12.
14. *id.* fragment du test, fortement grossi, montrant les ornements sous leur forme la plus développée.
15. Autre spécimen, vu par le côté concave, montrant la grande chambre et une longue série de loges aériennes. *Karlstein*.
16. *id.* vu par le côté convexe, montrant une série d'éléments du siphon, en relief, dans la partie supérieure.
17. Autre spécimen. Section longitudinale, montrant la grande chambre, une série de cloisons et le siphon. *Karlstein*.
18. *id.* 4 éléments du siphon, grossis, avec la trace du test et des cloisons.

**Cyrtoceras Forbesi?** Barr. . . . . E

(voir Pl. 115.)

19. Spécimen vu par la face latérale, montrant la grande chambre incomplète et une série de cloisons dépouillées de leur test.

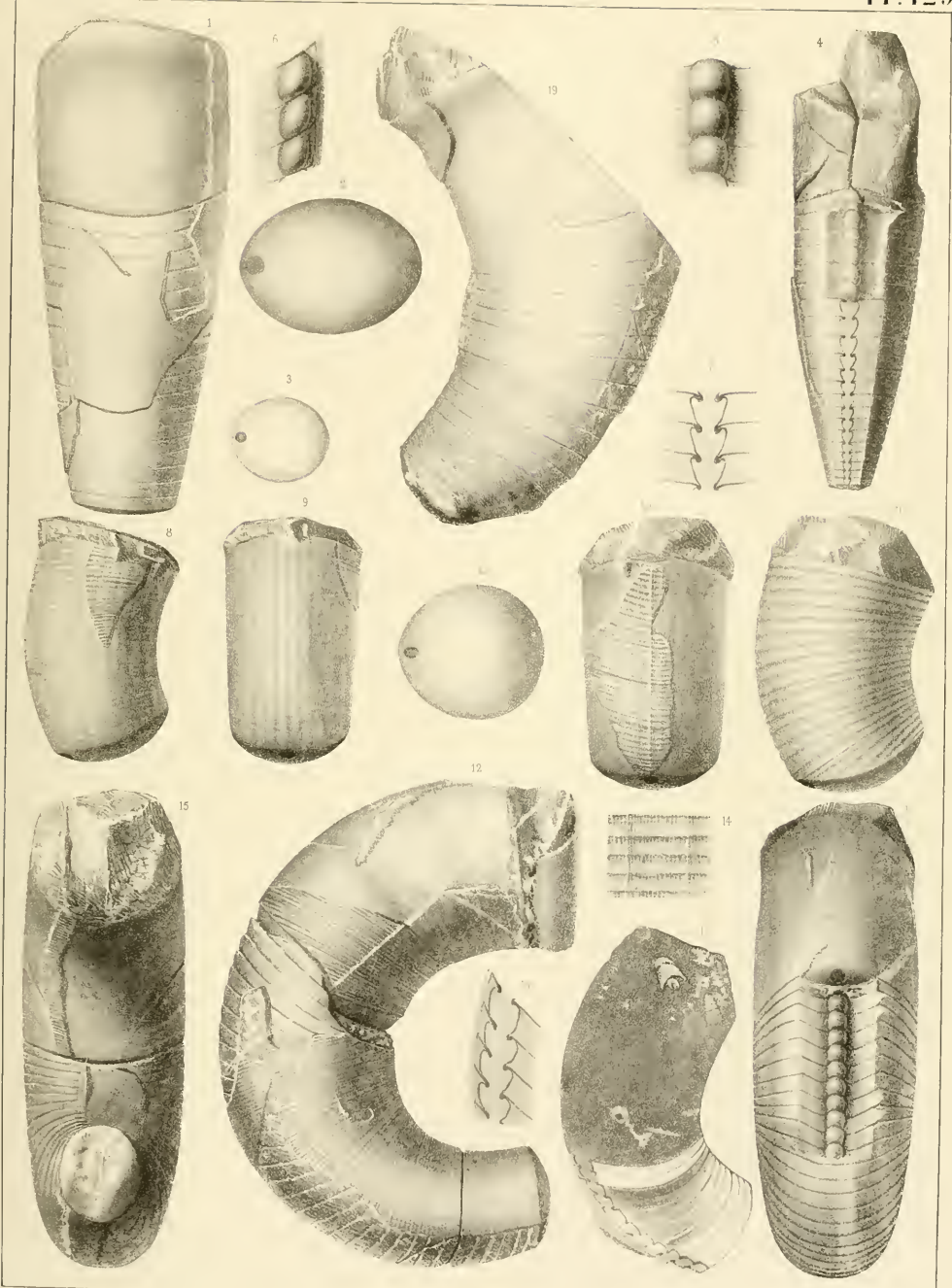






Fig.

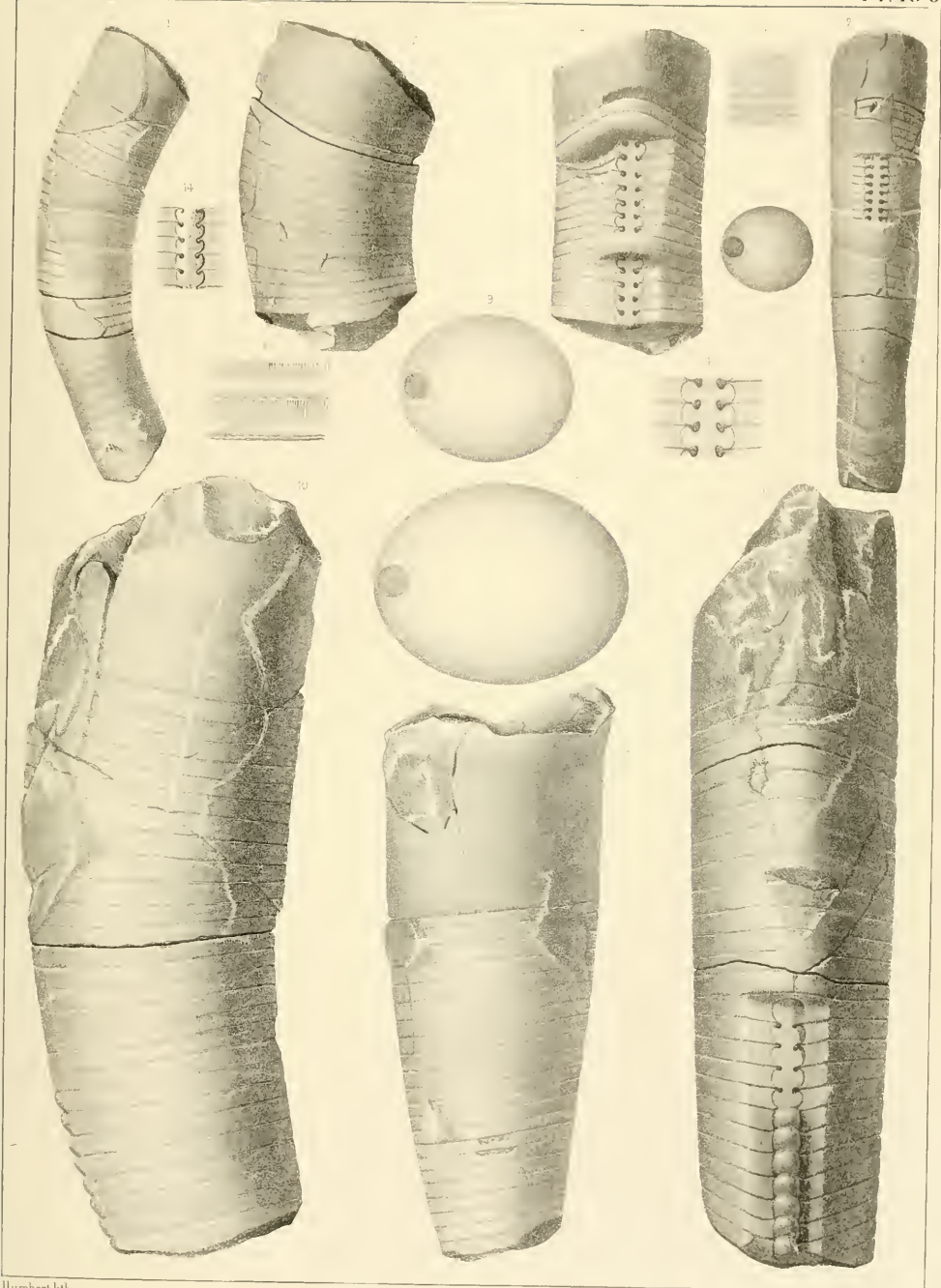
**Cyrtoceras selectum.** Barr. . . . . E

1. Spécimen vu par la face latérale, montrant une partie de la grande chambre et une longue série de loges aériennes, en partie recouvertes du test. *Lochkor.*
2. *id.* vu par le côté convexe, montrant les inégalités dans la dilatation de la coquille et le sinus des ornements, au droit du siphon mis à nu jusqu'à l'axe.
3. *id.* cloison, orientée comme la fig. 1.
4. *id.* 3 éléments du siphon, grossis, avec la trace des cloisons. On voit au droit de chaque goulot un anneau obstructeur peu développé.
5. *id.* fragment du test, grossi, montrant ses ornements, consistant en stries transverses prédominantes et en stries longitudinales subordonnées et très fines.
6. *id.* fragment du même test, plus fortement grossi, montrant la forme des stries dans les deux directions.
7. Autre spécimen supposé appartenir à la même espèce. Il est dépouillé du test, et vu par la face latérale, montrant la base de la grande chambre et une série de cloisons. *Kozořs.*
8. *id.* vu par le côté convexe, montrant le siphon mis à nu jusqu'à l'axe, dans presque toute la longueur.
9. *id.* cloison terminale, orientée comme la fig. 7. Elle a une forme plus elliptique que celle de la fig. 3.

Etage. Fig.

**Cyrtoceras longevum.** Barr. . . . . E

10. Spécimen vu par la face latérale, conservant quelques fragments du test et montrant une partie de la grande chambre avec une longue série de loges aériennes. *Kozořs.*
11. *id.* vu par le côté convexe, montrant le siphon mis à nu, en partie par une section et en partie en relief.
12. *id.* cloison, orientée comme la fig. 10.
13. Autre spécimen, vu par la face latérale, presque complètement dépouillée du test. Il montre la grande chambre presque complète et une longue série de loges aériennes.
14. *id.* 5 éléments du siphon, avec la trace des cloisons, en grandeur naturelle, d'après le côté convexe non figuré, du spécimen fig. 13.



Humbert lith.





Fig.

Etage. Fig.

Etage.

**Cyrtoceras exile.** Barr. . . . . E

(voir Pl. 124.)

1. Spécimen vu par la face latérale, montrant une longue série de loges aériennes et quelques fragments du test. La courbure est très faible dans cette partie de la coquille. *Kozořs.*
2. *id.* vu par le côté convexe, montrant une faible carène sur la ligne médiane, au droit du siphon, mis à nu jusqu'à l'axe au bout inférieur.
3. *id.* cloison supérieure, vue par le côté concave, et orientée comme la fig. 1. Elle montre l'épaisseur du test, ainsi que la saillie de la carène.
4. *id.* 3 éléments du siphon, grossis, avec la trace des cloisons.

**Cyrtoceras Stygiate.** Barr. . . . . E

5. Spécimen vu par la face latérale, montrant la grande chambre à peu près complète, une longue série de cloisons et quelques fragments du test. *Droevts.*
6. *id.* cloison, orientée comme la fig. 5.
7. *id.* quelques éléments du siphon mis à nu jusqu'à l'axe et dans leur grandeur naturelle, avec la trace des cloisons. Les lamelles internes du siphon ont été enlevées en grande partie, par la préparation du morceau.
8. Autre spécimen, vu par le côté convexe, montrant la grande chambre à peu près complète, une série de loges aériennes et les éléments du siphon mis à nu par la décomposition naturelle. La trace des lamelles rayonnantes est très-apparente, sur la surface. *Droevts.*
9. *id.* 3 éléments du siphon grossis et montrant la trace des lamelles rayonnantes, qui constituent le remplissage organique dans cette espèce.

**Cyrtoceras potens.** Barr. . . . . E

10. Spécimen vu par la face latérale, montrant la grande chambre complète et une longue série de cloisons, dépouillées du test. Les lignes transverses, tracées sur la grande chambre, paraissent être accidentelles. *Droevts.*
11. *id.* vu par le côté convexe.
12. *id.* vu par le côté concave.
13. *id.* cloison terminale, orientée comme la fig. 10.

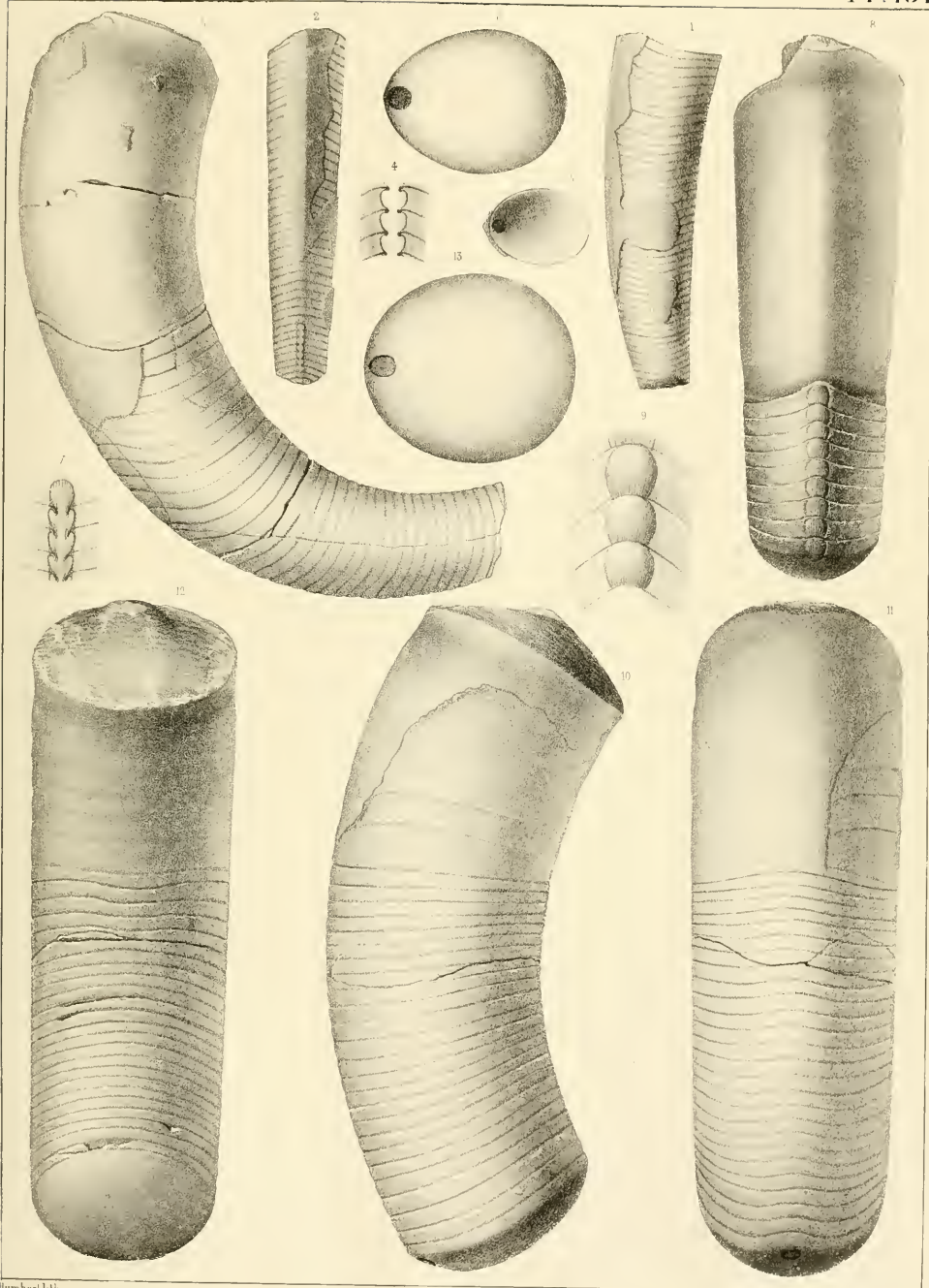






Fig.

Etage.

Fig.

Etage.

**Cyrtoceras nescium.** Barr. . . . . E  
(voir Pl. 143—144.)

1. Spécimen vu par la face latérale, montrant une longue série de cloisons et quelques fragments du test. *Butoritz.*
2. *id.* vu par le côté convexe, montrant une faible carène sur la ligne médiane et le siphon mis à nu jusqu'à l'axe, sur deux points. Dans la partie supérieure, on remarque de notables irrégularités dans la largeur de cet organe, sans que la hauteur des loges aériennes varie sensiblement.
3. *id.* section transverse, orientée comme la fig. 1.
4. *id.* 3 éléments du siphon, de forme régulière, pris dans la partie inférieure et grossis, avec la trace des cloisons.

**Cyrtoceras virale.** Barr. . . . . E

5. Spécimen vu par la face latérale, conservant quelques traces du test. Il montre la majeure partie de la grande chambre et une série de loges aériennes, dont quelques unes sont exposées dans une section. *Lochkov.*
6. *id.* vu par le côté convexe, montrant le siphon mis à nu sur deux plans différents. Les éléments les plus élevés ont été faiblement attaqués, tandis que dans la partie inférieure, la section passe par l'axe du siphon.
7. *id.* cloison, orientée comme la fig. 5.
8. *id.* 3 éléments du siphon, grossis, avec la trace des cloisons. Ils montrent un dépôt organique, sous la forme d'anneaux obstruteurs, au droit des goulots.

**Cyrtoceras victor.** Barr. . . . . E

9. Spécimen incomplet, vu par la face latérale, montrant la grande chambre, une série de loges aériennes et une partie du test. *Dvoretz.*
10. *id.* vu par le côté convexe, montrant le sinus très prononcé des ornements, au droit du siphon.
11. *id.* section transverse, orientée comme la fig. 9 et montrant la position du siphon.
12. Autre spécimen, très incomplet, vu par la face latérale, recouverte du test, dont les ornements sont très bien conservés.

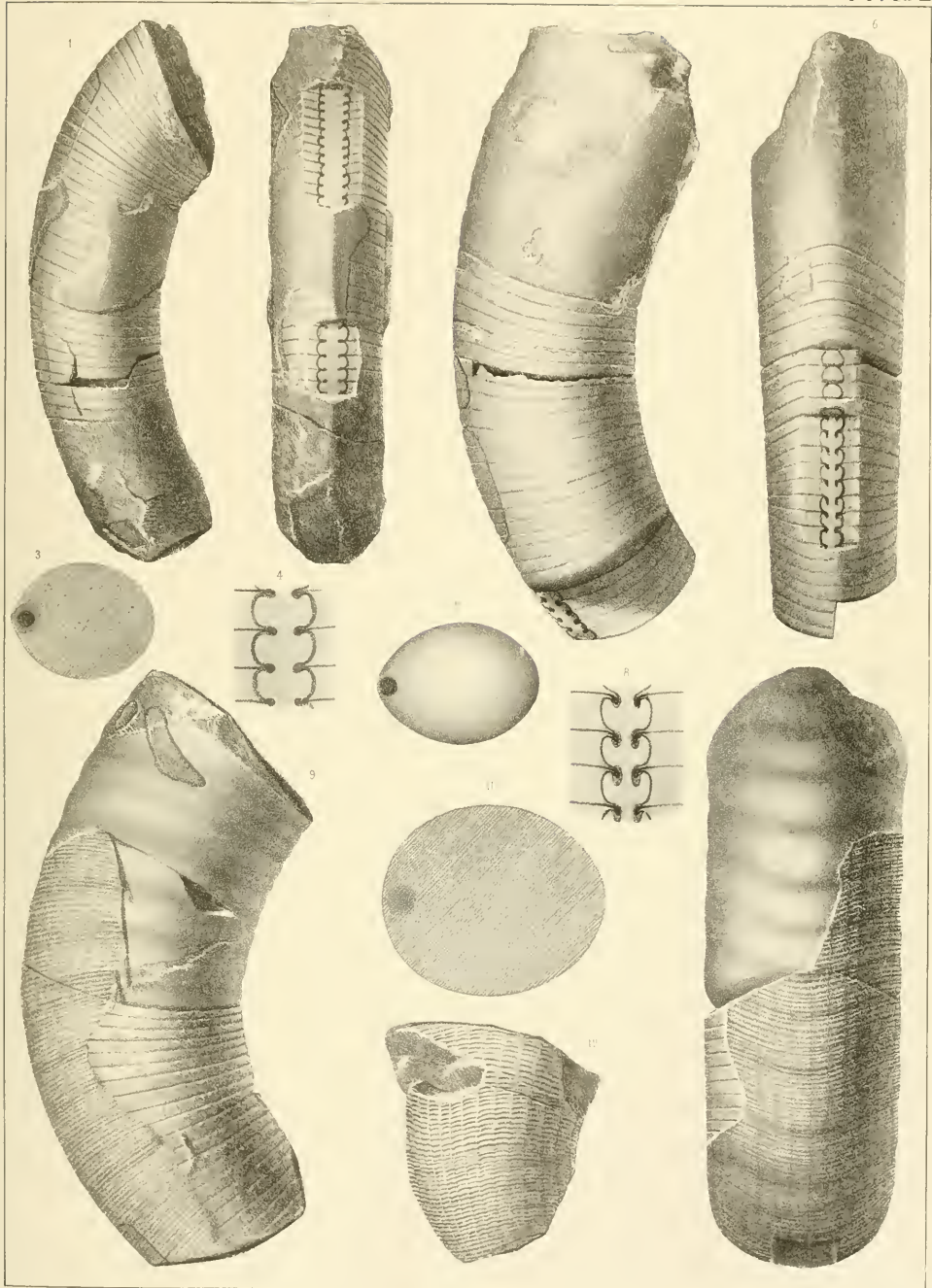






Fig.

Etage.

Fig.

Etage.

**Cyrtoceras errans.** Barr. . . . . E

1. Spécimen incomplet, vu par la face latérale, montrant une partie de la grande chambre, une série de loges aériennes et quelques fragments du test. *Butovitz*.
2. *id.* vu par le côté convexe, montrant une partie du siphon en relief, et l'autre suivant une section longitudinale.
3. *id.* cloison terminale, orientée comme la fig. 1. L'élément du siphon qui est en saillie, est entouré d'un cône tronqué, représentant la portion adhérente du dépôt inorganique.
4. *id.* section de 3 éléments du siphon, avec la trace des cloisons.
5. *id.* 3 éléments du siphon en relief et vus de profil, avec la trace du test et des cloisons.

**Cyrtoceras concors.** Barr. . . . . E

(voir Pl. 134.)

6. Spécimen vu par la face latérale, montrant la grande chambre complète, une longue série de cloisons et quelques restes du test, sans ornements. *Lochkov*.
7. *id.* vu par le côté convexe, montrant une partie du siphon mis à nu jusqu'à l'axe.
8. *id.* section transverse, orientée comme la fig. 6.
9. *id.* 3 éléments du siphon, grossis, avec la trace des cloisons.

**Cyrtoceras omissum.** Barr. . . . . E

10. Spécimen vu par la face latérale, montrant la grande chambre presque complète et une série de loges aériennes, dépouillées du test. *Butovitz*.
11. *id.* vu par le côté convexe, que la figure représente moins arrondi que dans la nature.
12. *id.* vu par l'autre face latérale, montrant la section longitudinale. Les éléments du siphon vont en décroissant dans leurs dimensions, à partir du bas vers le haut, en raison de la hauteur décroissante des loges aériennes.

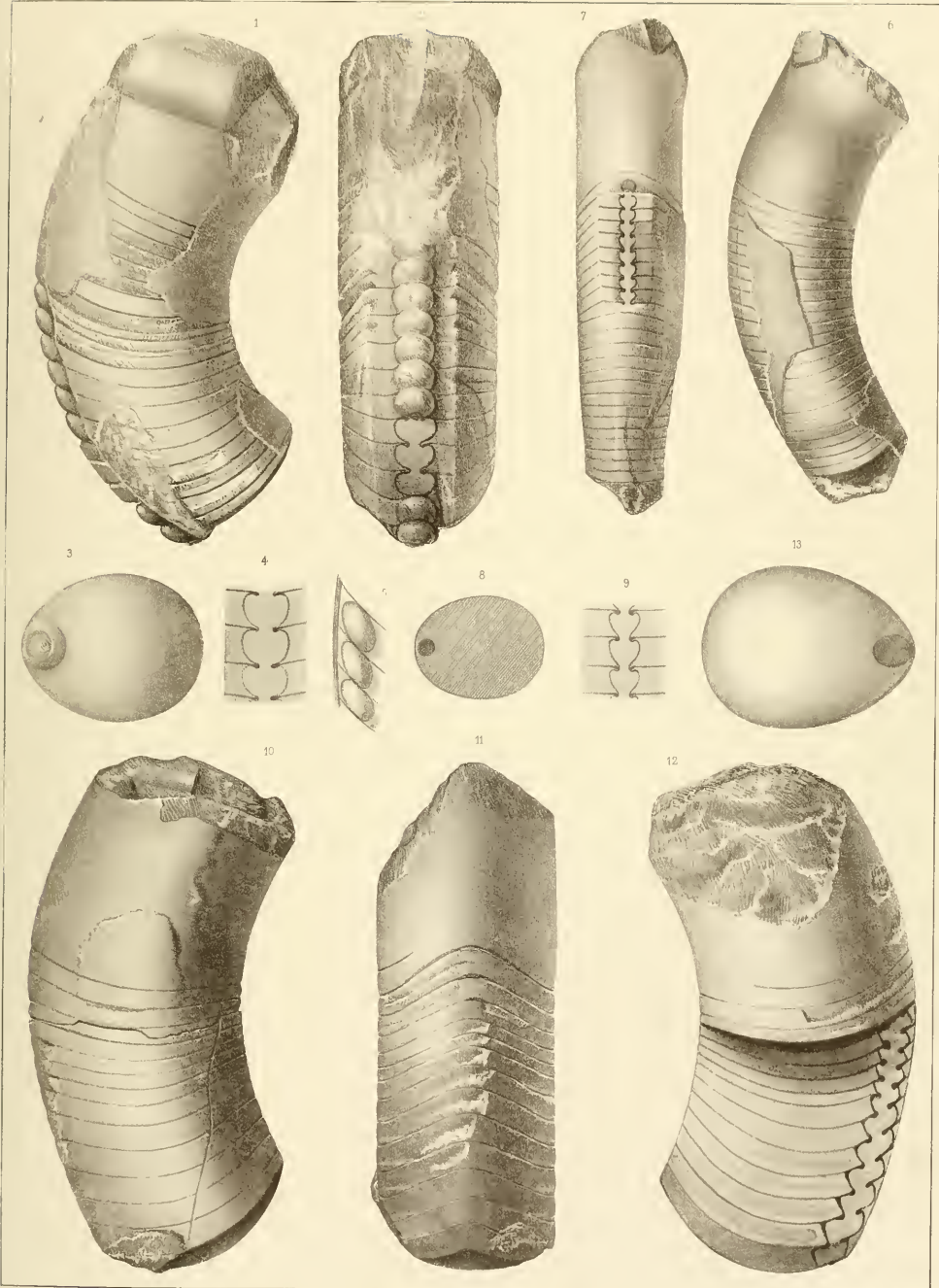






Fig.

Etage. Fig.

Etage.

**Cyrtoceras concors.** Barr. . . . . E

(voir Pl. 133.)

1. Spécimen vu par la face latérale, montrant la base de la grande chambre, une longue série de cloisons et quelques restes du test, sans ornements. *Kozořs.*
2. *id.* vu par le côté concave.
3. *id.* vu par le côté convexe, montrant le siphon mis à nu jusqu'à l'axe, en deux endroits, et uniforme dans l'apparence de ses éléments.
4. *id.* cloison, orientée comme la fig. 1.
5. *id.* 3 éléments du siphon, grossis, avec la trace des cloisons. On voit un très faible dépôt organique, au droit des goulots.

**Cyrtoceras medullosum.** Barr. . . . . E

(voir Pl. 144.)

6. Spécimen incomplet, vu par la face latérale, montrant une partie de la grande chambre et une série de cloisons. *Dlaaha Hora.*
7. *id.* vu par le côté convexe, montrant le siphon mis à nu jusqu'à l'axe.
8. *id.* cloison terminale, orientée comme la fig. 6.
9. *id.* 3 éléments du siphon, grossis, avec la trace des cloisons.

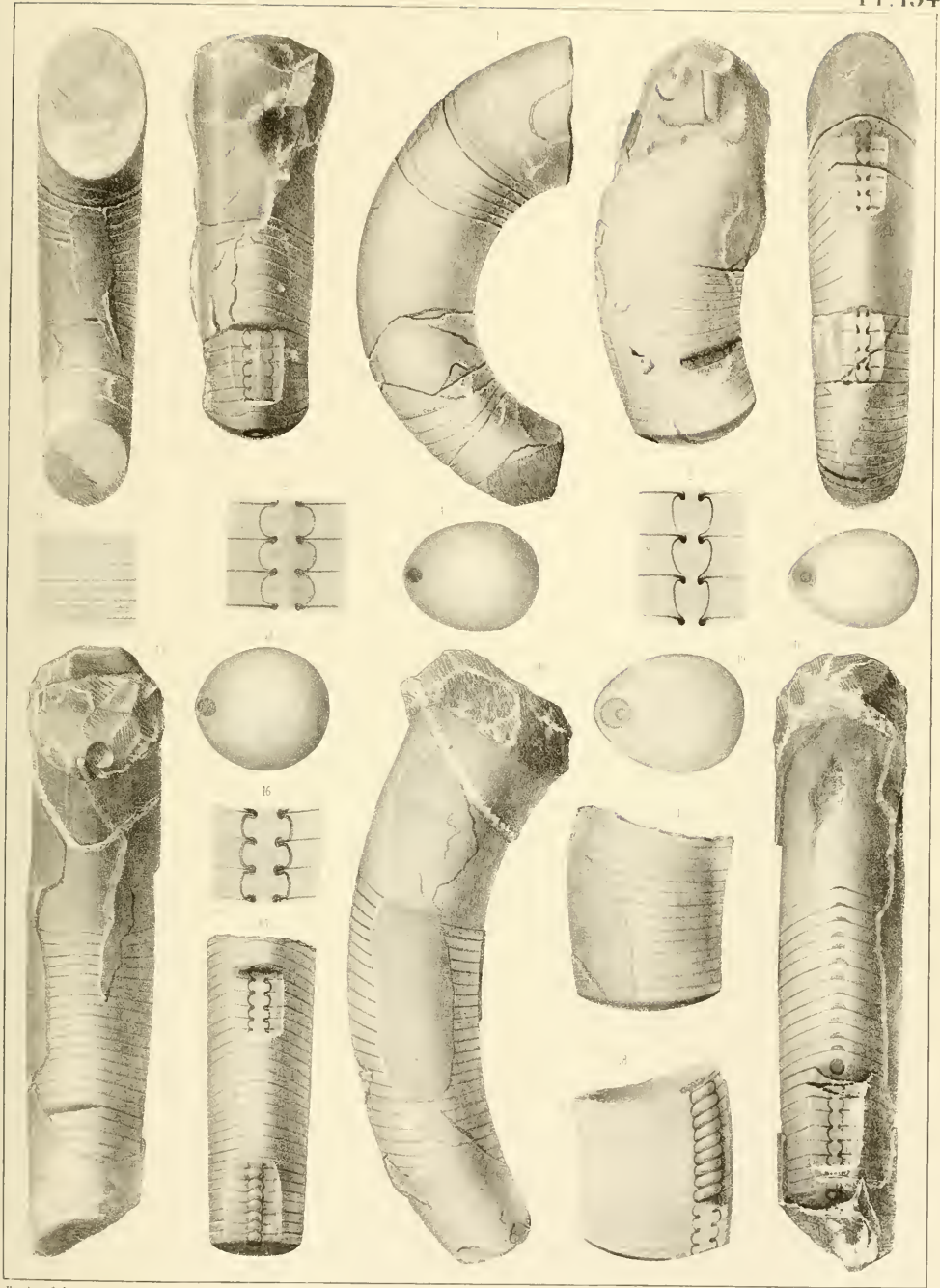
**Cyrtoceras Camilla.** Barr. . . . . E

10. Spécimen vu par la face latérale, montrant la grande chambre complète, une longue série de loges aériennes et une partie du test. La grande chambre est traversée par un filon calcaire. *Kozořs.*
11. *id.* vu par le côté convexe, montrant le siphon, dont une partie est mise à nu jusqu'à l'axe, vers l'extrémité inférieure.
12. *id.* vu par le côté concave.
13. *id.* cloison, orientée comme la fig. 10.
14. *id.* fragment du test, fortement grossi, montrant ses ornements très délicats.
15. Autre spécimen, vu par le côté convexe, montrant une série de loges aériennes. Le siphon est mis à nu jusqu'à l'axe, dans la partie supérieure, tandis qu'il est vu en relief dans la partie inférieure. *Kozořs.*
16. *id.* 3 éléments du siphon, pris dans la section et grossis, avec la trace des cloisons. Ils montrent une trace du dépôt organique, au droit des goulots.

**Cyrtoceras Scharji.** Barr. . . . . E

(voir Pl. 201.)

17. Fragment vu par la face latérale, montrant une série de cloisons et quelques restes du test. *Kozořs.*
18. *id.* section longitudinale, dans laquelle une partie du siphon est conservée en relief. La largeur diminue sensiblement à partir du bas vers le haut, un peu plus que sur la figure.





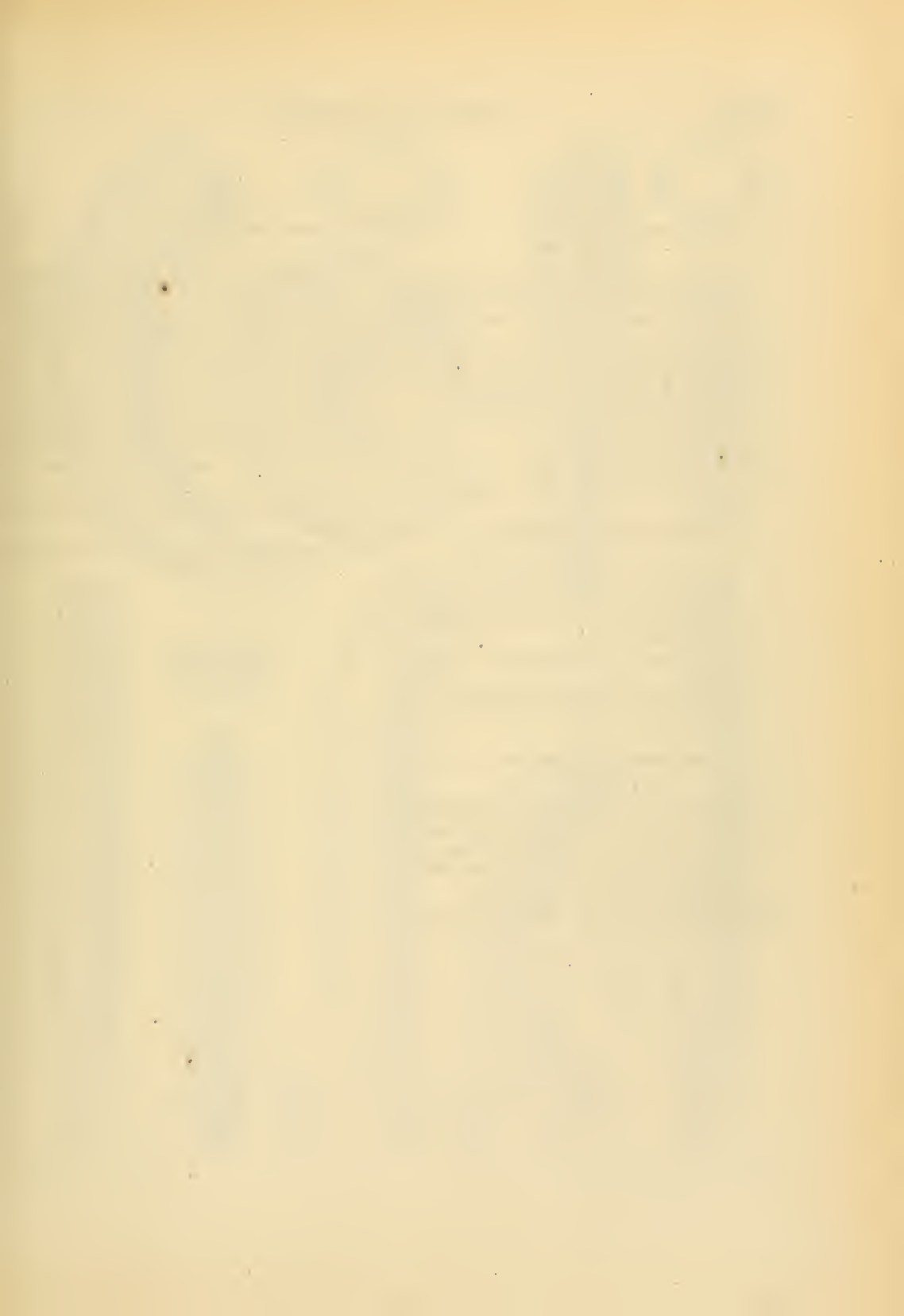


Fig.

Etage.

Fig.

Etage.

**Cyrtoceras Baylei.** Barr. . . . . E  
(voir Pl. 143.)

1. Spécimen presque complet vu par la face latérale, montrant une grande partie de la chambre d'habitation une longue série de loges aériennes et une portion du test. On aperçoit le profil de 5 éléments du siphon. *Viskočilka*.
2. *id.* vu par le côté convexe, montrant le siphon mis à nu en deux en droits. Dans la portion supérieure, ses éléments, usés jusqu'à l'axe, présentent une grande irrégularité, semblable à celle de la distance des cloisons. Dans la partie inférieure, au contraire, les éléments vus en relief sont parfaitement réguliers, comme la hauteur des loges aériennes.
3. *id.* cloison, orientée comme la fig. 1.
4. *id.* 6 éléments du siphon, grossis, avec la trace des cloisons. On voit dans l'intérieur deux petits gastéropodes.

**Cyrtoceras discoideum.** Barr. . . . . E

5. Spécimen vu par la face latérale, en grande partie recouverte du test. On reconnaît l'étendue de la grande chambre, séparée par une brisure. *Karlstein*.
6. *id.* vu par le côté concave, montrant en face l'ouverture, qui présente une tendance à se contracter comme celle des *Phragmoceras*.
7. Cloison terminale de la grande chambre, orientée comme la fig. 5.
8. *id.* fragment du test, très fortement grossi, afin de montrer les stries longitudinales, extrêmement fines, qui croisent les stries transverses.

**Cyrtoceras timidum.** Barr. . . . . E  
(voir Pl. 126—203.)

9. Spécimen vu par la face latérale, montrant une grande partie de la chambre d'habitation, une longue série de loges aériennes et une portion du test. *Kozorox*.
10. *id.* vu par le côté convexe, montrant le siphon mis à nu. Quelques éléments sont en relief, tandis que les autres sont usés jusqu'à l'axe.
11. *id.* cloison terminale, orientée comme la fig. 9.
12. *id.* 3 éléments du siphon, grossis, avec la trace des cloisons.

**Cyrtoceras Alinae.** Barr. . . . . E  
(voir Pl. 136.)

13. Spécimen à peu près complet, vu par la face latérale, montrant la grande chambre, presque toutes les loges aériennes et une portion du test. On remarque, sur le moule de la grande chambre, une impression particulière à cette espèce. *Lochkov*.
14. *id.* vu par le côté concave, montrant la même impression autour de la grande chambre.
15. *id.* section transverse, orientée comme la fig. 13.
16. *id.* vu par le côté convexe, montrant le siphon mis à nu dans la partie moyenne. Quelques éléments sont en relief, tandis que les autres sont usés jusqu'à l'axe. On voit la trace d'une carène, sur la grande chambre.
17. *id.* 3 éléments du siphon, grossis, avec la trace des cloisons.
18. *id.* fragment du test, pris vers la partie inférieure de la coquille et fortement grossi, pour montrer ses ornements.
19. *id.* section longitudinale du même fragment, montrant l'imbrication directe des stries.

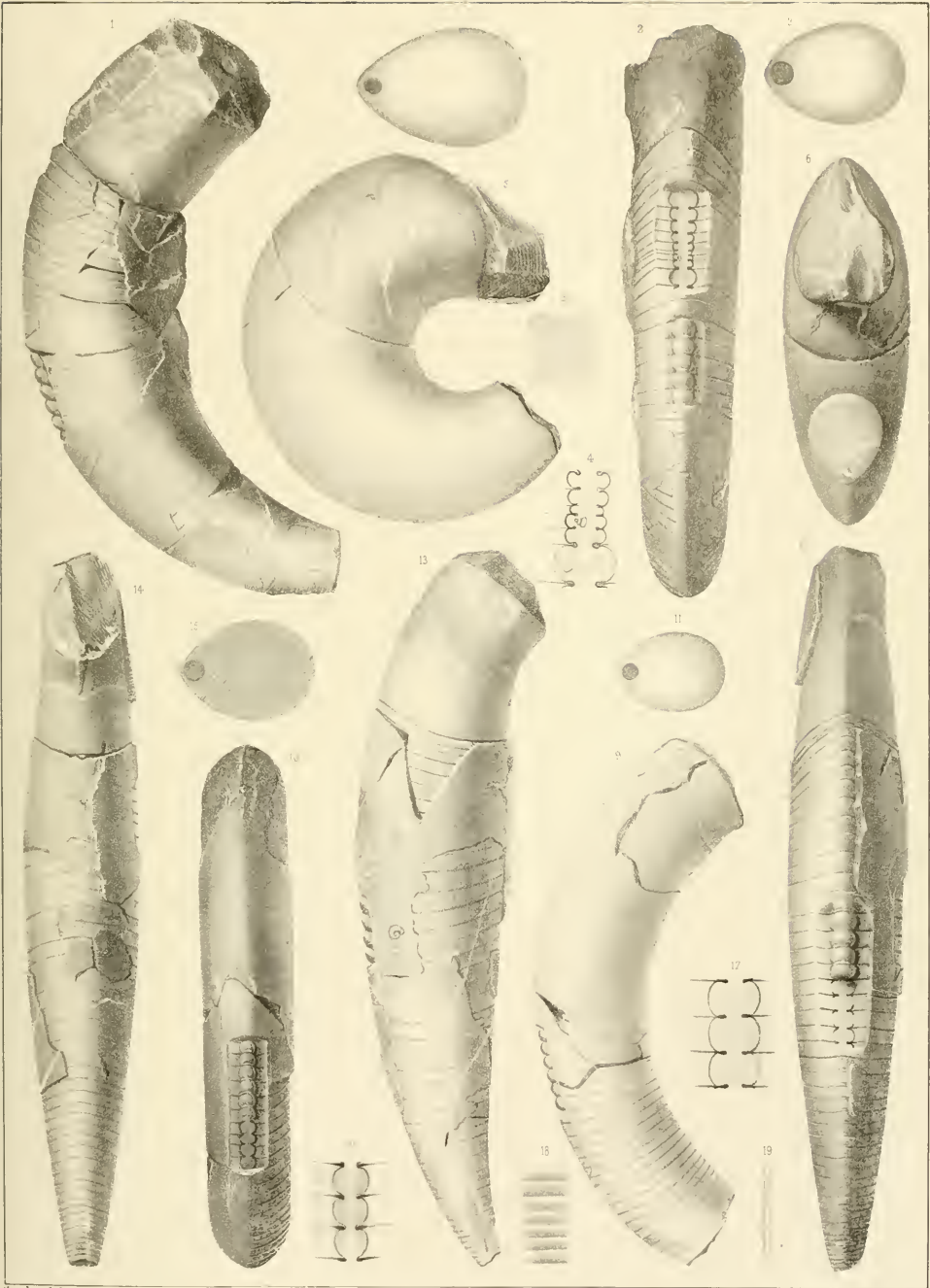






Fig. **Cyrtoceras Ajax.** Barr. . . . . E

1. Spécimen vu par la face latérale, montrant la grande chambre un peu endommagée, une longue série de loges aériennes et quelques fragments du test. *Lochkov.* (*Coll. Schary.*)
2. *id.* section longitudinale, montrant les cloisons et le siphon, dont la majeure partie est bien conservée. Le plan de la section se trouvant un peu oblique, les éléments du siphon, placés vers l'extrémité inférieure, ont été usés au delà du plan médian, de sorte que leurs apparences se trouvent amoindries. Malgré cet accident, on peut reconnaître que la forme de ces éléments se modifie graduellement et tend à devenir cylindroïde, vers la pointe de la coquille, tandisqu'elle est nummuloïde dans la partie supérieure.
3. *id.* section transverse, orientée comme la fig. 2 et montrant la position du siphon dans la partie supérieure de la coquille, à une distance considérable du bord convexe, comme vers la pointe du spécimen.

**Cyrtoceras Alina.** Barr. . . . . E  
(voir Pl. 135.)

4. Spécimen vu par le côté convexe, montrant une partie des éléments du siphon dégagés et en relief.
5. *id.* vu par la face latérale, il montre le bord de l'ouverture, la grande chambre, une série de loges aériennes et une partie du test. Quelques éléments du siphon ont été dégagés et se voient en relief sur le profil de la coquille. *Kozovz.*

On remarquera que la grande chambre de ce spécimen, dont le moule est intact, ne montre pas l'impression partielle qui a été figurée Pl. 135. fig. 13—14.

6. *id.* cloison vue par la face convexe. Elle est orientée comme la figure 5 et montre la position sub marginale du siphon.

Fig. **Cyrtoceras confue.** Barr. . . . . E  
(voir Pl. 138.)

7. Spécimen vu par la face latérale, montrant une série de loges aériennes. *Lochkov.*
8. *id.* vu par le côté convexe, montrant une partie du siphon mis à nu suivant une section longitudinale. Cette figure expose la position irrégulière du siphon, dont l'axe est placé en dehors du plan médian. C'est une anomalie individuelle, comme dans diverses autres espèces et notamment dans celle qui suit.
9. *id.* cloison terminale, montrant la position irrégulière du siphon, hors du plan médian.

**Cyrtoceras invisum.** Barr. . . . . E  
(voir Pl. 138.)

10. Spécimen vu par la face latérale, montrant une série de loges aériennes et quelques parties du test. *Lochkov.*
11. *id.* vu par le côté convexe. La surface est préparée de manière à montrer la section longitudinale du siphon, dont les éléments sont en partie détroits. La position du siphon est un peu insymétrique, par rapport au plan médian. Cette irrégularité est purement individuelle, comme dans l'espèce précédente.
12. *id.* cloison prise vers le milieu de la longueur et orientée comme la fig. 10. Elle montre la position du siphon en dehors du plan médian.

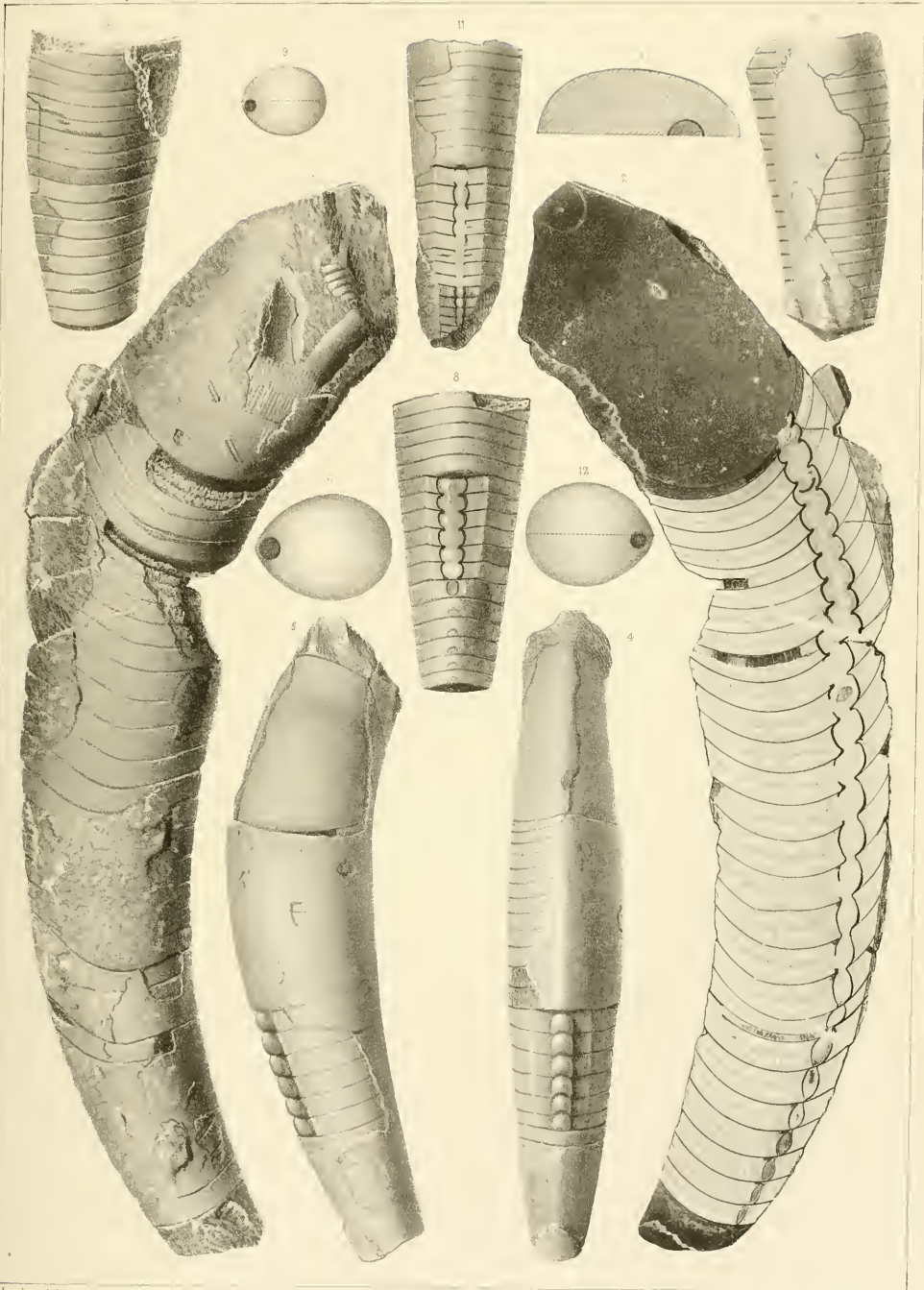






Fig.

Etage.

**Cyrtoceras lentigradum.** Barr. . . . E

1. Spécimen vu par la face latérale, complètement dépouillée du test. Il montre le bord un peu évasé de l'ouverture, la grande chambre, et une série de loges aériennes très peu élevées. Le moule présente des stries faibles, longitudinales, sur les faces latérales seulement. *Lochkov.*
2. *id.* vu par le côté convexe, dont la surface a été préparée de manière à montrer la section longitudinale d'une partie du siphon. L'extrémité inférieure permet de voir dans une brisure un fragment d'Orthocère, qui avait pénétré dans l'intérieur du fossile.
3. *id.* vu par le côté concave, montrant l'extrémité brisée et dérangée.
4. *id.* section transverse, orientée comme la fig. 1 et montrant la position du siphon.
5. *id.* 3 éléments du siphon grossis, avec la trace des cloisons. On voit dans chacun de ces éléments une série de lamelles qui, partant du goulot inférieur, n'atteignent pas le goulot supérieur, et offrent par conséquent une intermittence.

**Cyrtoceras serum.** Barr. . . . . E

(voir Pl. 122—138.)

6. Spécimen vu par la face latérale, presque complètement dépouillée du test. Il montre la grande chambre à peu près complète et la majeure partie des loges aériennes. *Kozořz.*
7. *id.* vu par le côté convexe, dont une partie a été préparée de manière à exposer la section longitudinale du siphon.
8. *id.* cloison vue par le côté convexe. Elle est orientée comme la fig. 6 et montre la position du siphon. Cette section est un peu plus arrondie que celle du spécimen Pl. 122. fig. 8. Elle est, au contraire semblable à celle d'un autre individu, Pl. 138. fig. 12.

Fig.

Etage.

**Cyrtoceras confertum.** Barr. . . . . E

9. Spécimen vu par la face latérale, montrant la grande chambre endommagée, une longue série de loges aériennes très serrées et quelques restes du test. *Lochkov.*
10. *id.* vu par le côté convexe, préparé de manière à montrer la section longitudinale d'une grande partie du siphon. On voit un faible dépôt organique, au droit des goulots.
11. *id.* section transverse, orientée comme la figure 9 et montrant la position du siphon.

**Cyrtoceras extenuatum.** Barr. . . . . E

12. Spécimen vu par la face latérale, montrant la base de la grande chambre, une série de loges aériennes et une partie du test. On remarque au dessous de la grande chambre une diminution notable dans les diamètres de la coquille. *Kozořz.*
13. *id.* vu par le côté convexe, sur lequel deux parties sont préparées de manière à montrer la section longitudinale du siphon, qui conserve les mêmes apparences sur toute la longueur du spécimen.
14. *id.* cloison terminale, orientée comme la figure 12 et montrant la position du siphon.

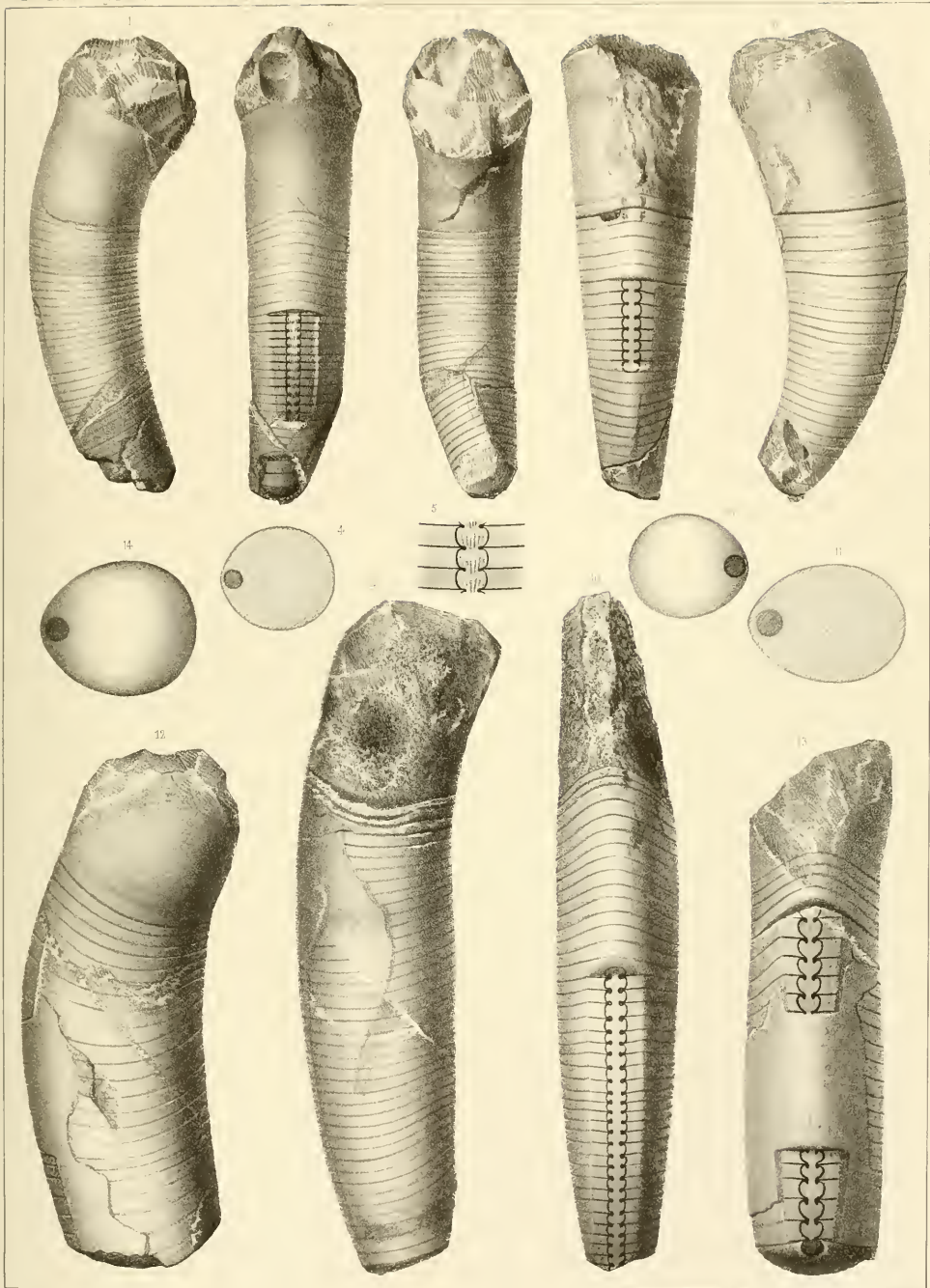






Fig. . . . . . Etage. Fig. . . . . . Etage.  
**Cyrtoceras agnatum.** Barr. . . . . E

1. Spécimen vu par la face latérale, montrant la grande chambre complète, une série des cloisons et quelques fragments du test. *Viskočitka.*
2. *id.* vu par le côté convexe, montrant le siphon mis à nu jusqu'à l'axe.
3. *id.* section transverse, orientée comme la fig. 1.
4. *id.* 3 éléments du siphon, grossis, montrant un dépôt organique, sous la forme d'anneaux obstructeurs, au droit des goulots.

**Cyrtoceras invisum.** Barr. . . . . E  
 (voir Pl. 136.)

5. Spécimen vu par la face latérale, montrant seulement une série de loges aériennes et des fragments du test. *Kozořz.*
6. *id.* vu par le côté convexe, montrant en deux endroits le siphon mis à nu jusqu'à l'axe, et offrant des apparences un peu différentes.
7. *id.* section transverse, orientée comme la fig. 5.
8. *id.* 3 éléments du siphon, de forme allongée, pris dans la portion supérieure et grossis avec la trace des cloisons.
9. *id.* 3 éléments du siphon plus dilatés, pris dans la partie inférieure et grossis avec la trace des cloisons.

**Cyrtoceras serum.** Barr. . . . . E  
 (voir Pl. 122—137.)

10. Spécimen vu par la face latérale, montrant la base de la grande chambre, une longue série de cloisons et une assez grande partie du test. *Lochkov.*
11. *id.* vu par le côté convexe, montrant, en deux endroits, le siphon mis à nu jusqu'à l'axe et conservant les mêmes apparences, sur toute sa longueur.
12. *id.* cloison terminale, orientée comme la fig. 10.
13. *id.* 3 éléments du siphon, grossis, avec la trace des cloisons. Ils montrent de faibles anneaux obstructeurs, au droit des goulots.

**Cyrtoceras confine.** Barr. . . . . E  
 (voir Pl. 136.)

14. Spécimen vu par la face latérale, montrant une partie de la grande chambre, une longue série de loges aériennes, et quelques fragments du test. *Kozořz.*
15. *id.* vu par le côté concave.
16. *id.* cloison terminale, orientée comme la fig. 14.
17. *id.* 4 éléments du siphon mis à nu jusqu'à l'axe, et en grandeur naturelle, d'après le côté convexe non figuré, du même spécimen.
18. Autre spécimen, vu par la face latérale, montrant l'étendue de la grande chambre et une longue série de loges aériennes. *Lochkov.*
19. *id.* vu par le côté convexe, montrant le siphon mis à nu sur presque toute la longueur. Vers le haut, les éléments sont usés jusqu'à l'axe, tandis qu'ils sont en relief dans la partie inférieure. Dans les éléments usés on voit de jeunes Gastéropodes.
20. *id.* cloison voisine de la grande chambre, orientée comme la fig. 18. On voit un élément du siphon en relief sur la surface convexe de cette cloison.
21. *id.* 5 éléments du siphon, grossis avec la trace des cloisons. On voit dans leur intérieur une assez grande nombre de petits Gastéropodes.

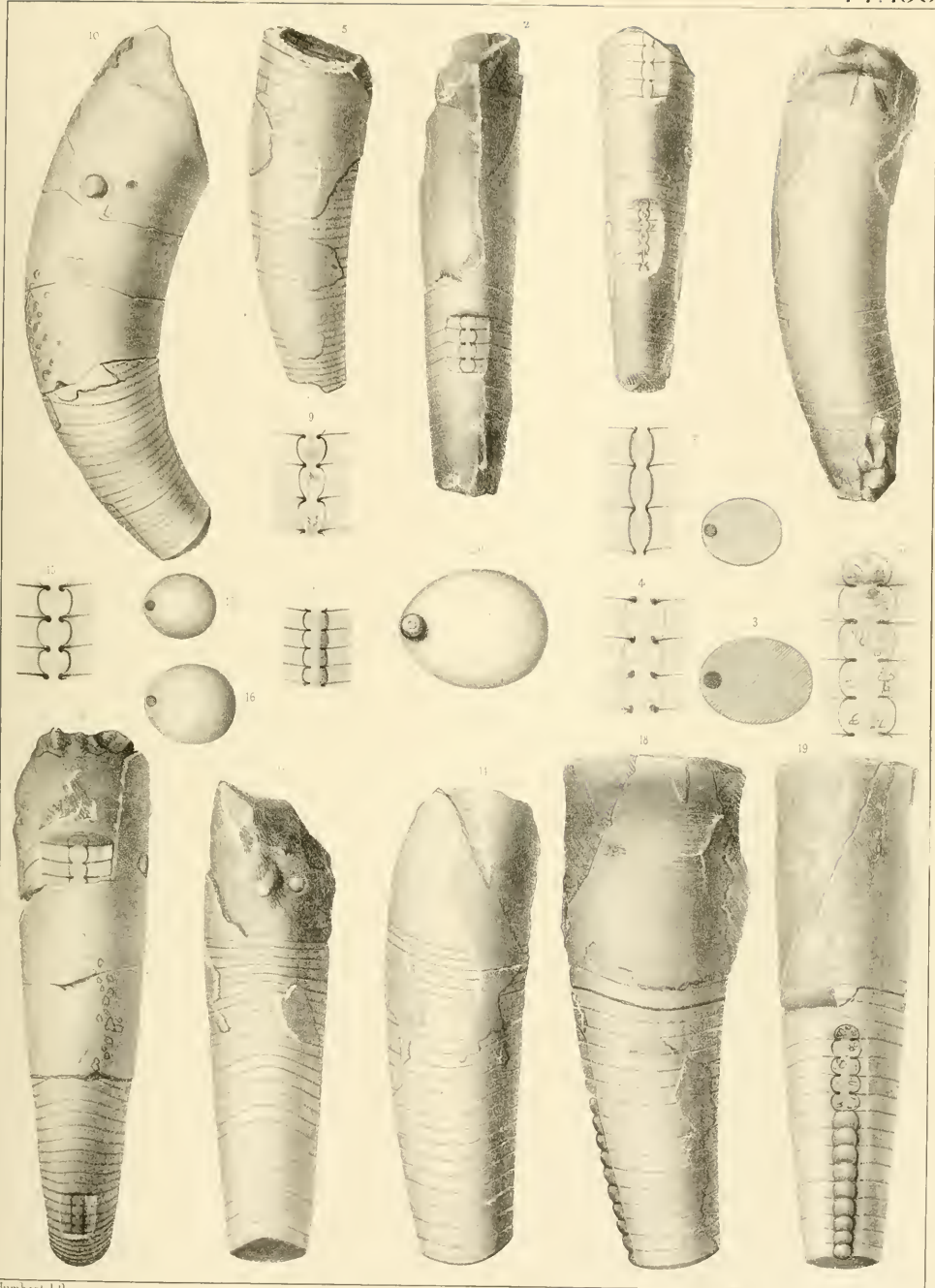






Fig.

Etage.

Fig.

Etage.

**Cyrtoceras recurvum.** Barr. . . . E  
(voir Pl. 126.)

1. Spécimen vu par la face latérale, montrant la grande chambre et une série de loges aériennes. La partie inférieure est exposée dans une section longitudinale. *Lochkor.*
2. *id.* vu par le côté convexe, montrant le siphon mis à nu jusqu'à l'axe.
3. *id.* section transverse, orientée comme la fig. 1.
4. *id.* 3 éléments du siphon, grossis, avec la trace des cloisons.

**Cyrtoceras bombyx.** Barr. . . . . E

5. Spécimen vu par la face latérale, montrant une série de loges aériennes, dépouillées du test. *Dvoretz.*
6. *id.* vu par la côté concave.
7. *id.* vu par le côté convexe, montrant la trace du siphon nummuloïde.
8. *id.* cloison terminale, orientée comme la fig. 6.

**Cyrtoceras formidandum.** Barr. . . E

9. Spécimen vu par la face latérale, montrant une série de loges aériennes, dépouillées du test. *Dvoretz.*
10. *id.* vu par le côté convexe, montrant les traces du siphon nummuloïde.
11. *id.* cloison terminale, orientée comme la fig. 9.

**Cyrtoceras cylindraceum.** Barr. . . . E

12. Spécimen vu par le côté concave, montrant une série de loges aériennes, dépouillées du test. *Dvoretz.*
13. *id.* vu par la face latérale, montrant l'inflexion remarquable que fait le bord des cloisons, entre la face latérale et le bord concave.
14. *id.* vu par le côté convexe.
15. *id.* cloison terminale, orientée comme la fig. 13.

**Cyrtoceras anormale.** Barr. . . . . E

16. Spécimen vu par la face latérale, montrant une série de loges aériennes, dépouillées du test. *Dvoretz.*
17. *id.* vu par le côté convexe, montrant les traces du siphon.
18. *id.* vu par le côté concave.
19. *id.* cloison terminale, orientée comme la fig. 16. Elle se fait remarquer par la prédominance du diamètre transverse.
20. Autre spécimen, vu par la face latérale, dépouillée du test. Il montre une partie de la grande chambre et une série de loges aériennes. *Dvoretz.*

N. B. On doit reconnaître une grande analogie de forme entre le spécimen fig. 16 à 19 et celui qui est figuré sur la même planche, sous le nom de *C. bombyx* fig. 5 à 8. Cependant, il serait hasardeux de prononcer leur identité, jusqu'à ce qu'on trouve un exemplaire plus complet.

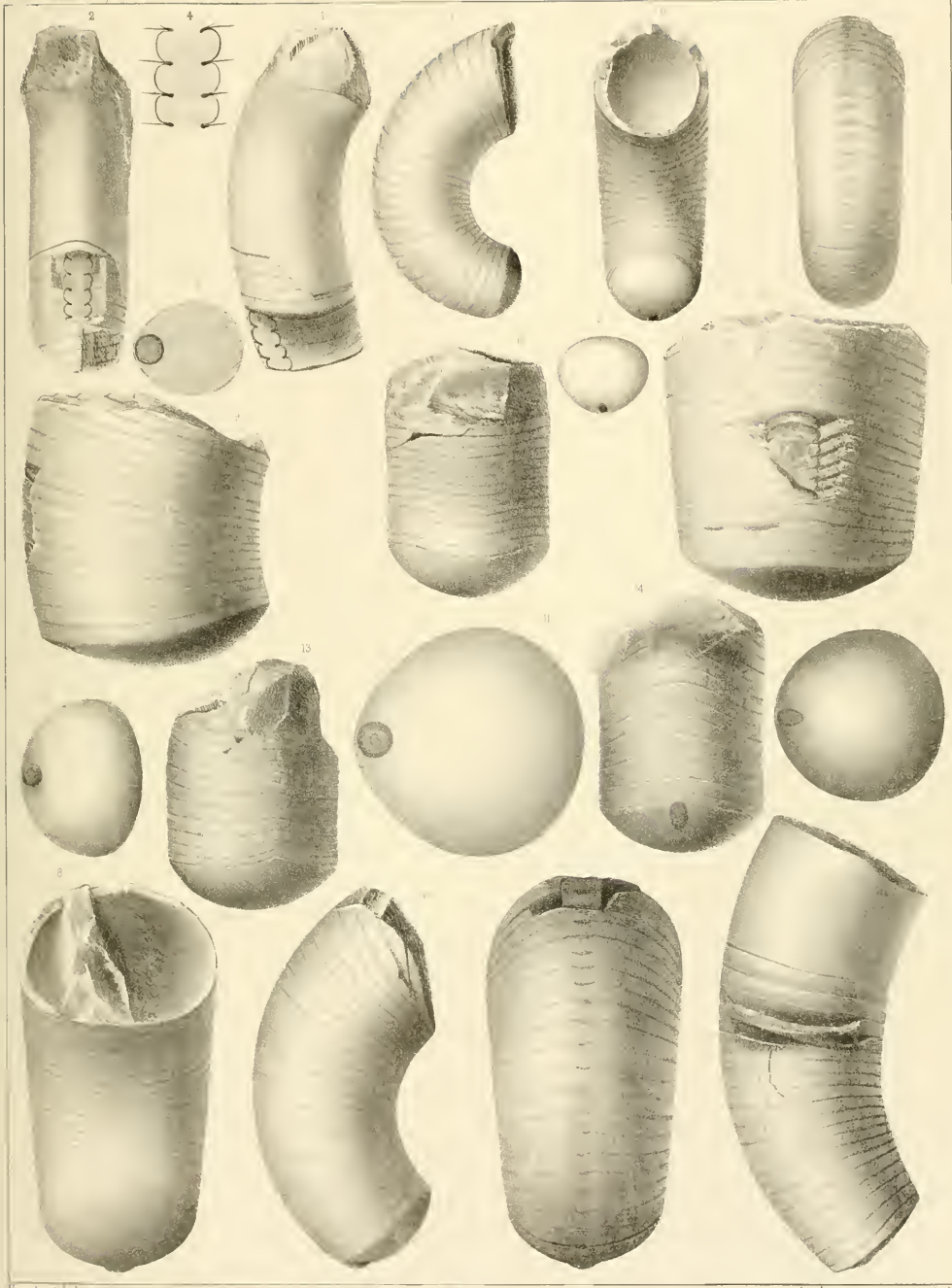






Fig.

**Cyrtoceras Sosia.** Barr. . . . . E

1. Spécimen vu par la face latérale, dépouillée du test. Il montre la grande chambre complète et une série de loges aériennes sur lesquelles on voit une suite de lignes longitudinales. *Jaror.*
2. *id.* vu par le côté concave.
3. *id.* vu par le côté convexe.
4. *id.* section transverse, orientée comme la fig. 1.

**Cyrtoceras strangulatum.** Barr. . . . E

5. Chambre d'habitation isolée, complète, vue par le côté convexe, montrant le sinus de l'étranglement, au droit du siphon. *Dvoretz.*
6. *id.* vu par la face latérale.
7. *id.* cloison terminale, orientée comme la fig. 6.

Etage. Fig.

**Cyrtoceras Orion.** Barr. . . . . E

(voir Pl. 118.)

8. Spécimen vu par la face latérale, montrant une partie de la grande chambre, une série de loges aériennes et un fragment du test. Sa courbure est très sensible. *Bubovitz.*
9. *id.* vu par le côté concave, montrant l'inflexion arrondie des ornements, sur la ligne médiane.
10. *id.* vu par le côté convexe, montrant le sinus très prononcé des ornements, au droit du siphon.
11. *id.* section transverse, orientée comme la fig. 8.
12. Autre spécimen vu par la face latérale, montrant la grande chambre et une série de cloisons. Il présente au milieu la trace d'une cicatrice. Sa courbure est relativement très faible par rapport à celle du spécimen précédent. Le test manque. *Collines de Listice.*
13. *id.* vu par le côté concave.
14. *id.* section transverse, orientée comme la fig. 12.
15. Autre spécimen, vu par le côté convexe, montrant le siphon mis à nu et en relief. *Lužetz.*
16. *id.* 6 éléments du siphon en grandeur naturelle, vus de profil avec la trace du test et des cloisons.
17. Autre spécimen incomplet et presque rectiligne, vu par le côté concave, montrant les ornements du test, extrêmement prononcés. *Collines de Listice.*

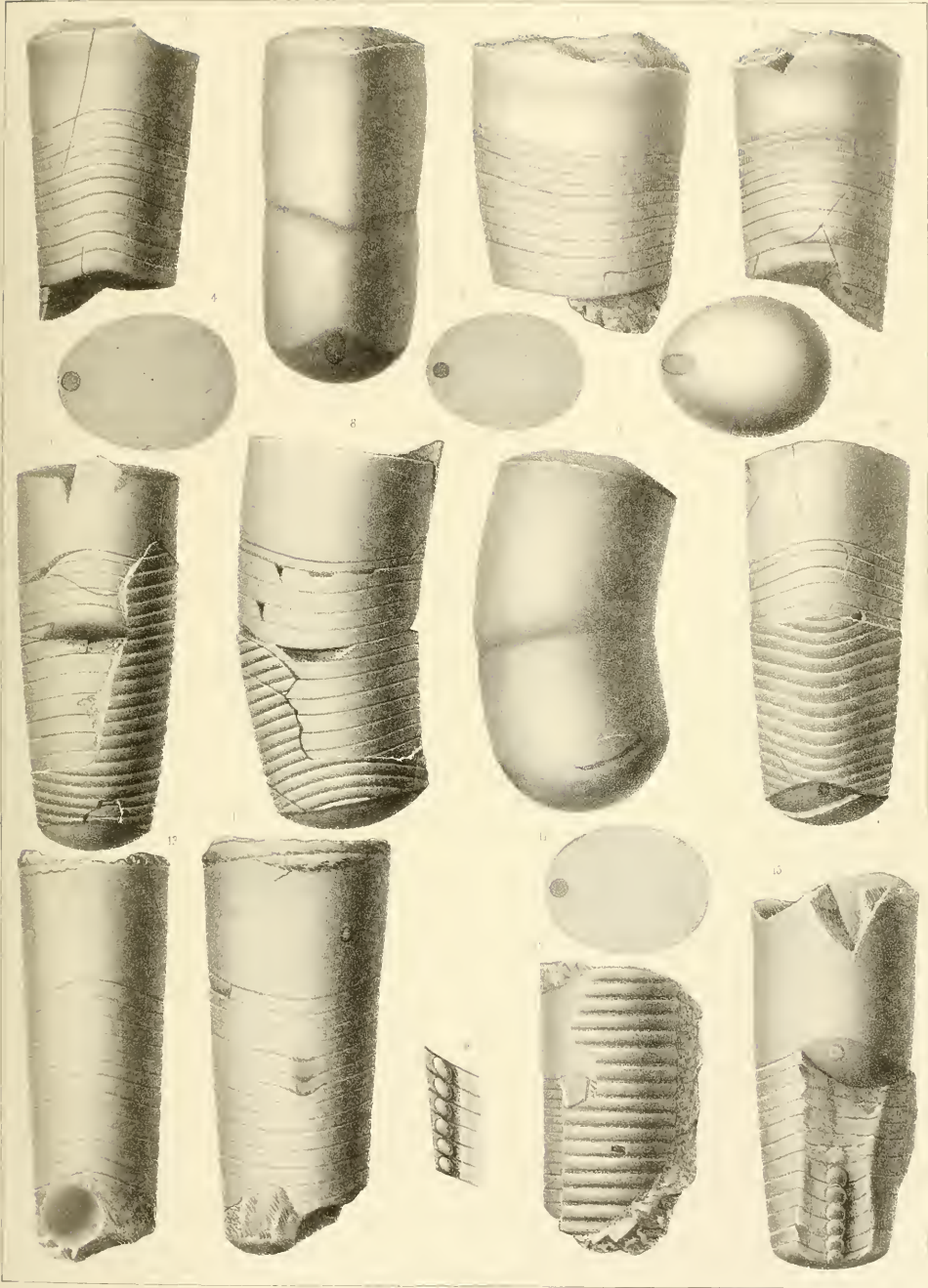






Fig. *Cyrtoceras lutens*. Barr. . . . . E

1. Spécimen vu par la face latérale, montrant une série de cloisons. Le siphon est mis à nu et en relief. *Lužetz*.
2. *id.* vu par le côté convexe, montrant les éléments du siphon.
3. *id.* vu par le côté concave.
4. *id.* section transverse, orientée comme la fig. 1.
5. *id.* 4 éléments du siphon, grossis et vus par le côté convexe, avec la trace des cloisons.
6. *id.* vus de profil, avec la trace du test et des cloisons.

*Cyrtoceras nuntius*. Barr. . . . . E  
(voir Pl. 202.)

7. Spécimen vu par la face latérale, dépouillée du test. Il montre la grande chambre et une série de cloisons. *Butovitz*.
8. *id.* vu par le côté convexe, montrant la trace du siphon, dans une brisure.
9. *id.* section transverse, orientée comme la fig. 7.
10. Autre spécimen, vu par le côté concave. Sa grande chambre est relativement plus longue et présente le *maximum*. Cette face est recouverte de son test. *Butovitz*.
11. Autre spécimen, vu par la face latérale, montrant la grande chambre, une série de loges aériennes et une partie du test. *Butovitz*.
12. *id.* cloison terminale, orientée comme la fig. 11.
13. *id.* fragment du test, fortement grossi, pour montrer les lignes longitudinales, très faibles, qui ornent sa surface.
14. Autre spécimen, vu par le côté convexe, montrant la trace d'une ligne médiane, très faible, dans la nature. *Butovitz*.
15. Autre spécimen, plus jeune et vu par la face latérale, montrant la grande chambre et une série de cloisons. *Butovitz*.

Etage. Fig. *Cyrtoceras cycloïdeum*. Barr. . . . . E

16. Spécimen incomplet, montrant la grande chambre et une partie des loges aériennes, recouvertes du test. *Karlstein*.
17. *id.* section transverse, orientée comme la fig. 16.
18. Autre spécimen, vu par la face latérale, montrant la grande chambre et une série de cloisons, avec quelques fragments du test. Sur la face latérale de la grande chambre, on voit une série de petits plis, en écharpe. Ils ne sont point visibles sur les autres faces. *Karlstein*.
19. Autre spécimen, vu par la face latérale, montrant la grande chambre, une longue série de cloisons et une partie du test. *Dlauha Hora*.
20. Autre spécimen plus jeune et presque complet, vu par la face latérale. *Lochkov*.
21. Autre spécimen, vu par la face latérale. *Dlauha Hora*.
22. Autre spécimen, vu par le côté convexe, montrant une longue série de cloisons et la trace du siphon. *Dlauha Hora*.
23. *id.* vu par le côté concave. La dernière cloison montre la place du siphon.
24. Autre spécimen, vu par le côté convexe, montrant le siphon mis à nu jusqu'à l'axe. *Lochkov*.
25. *id.* 4 éléments du siphon, grossis, avec la trace des cloisons.

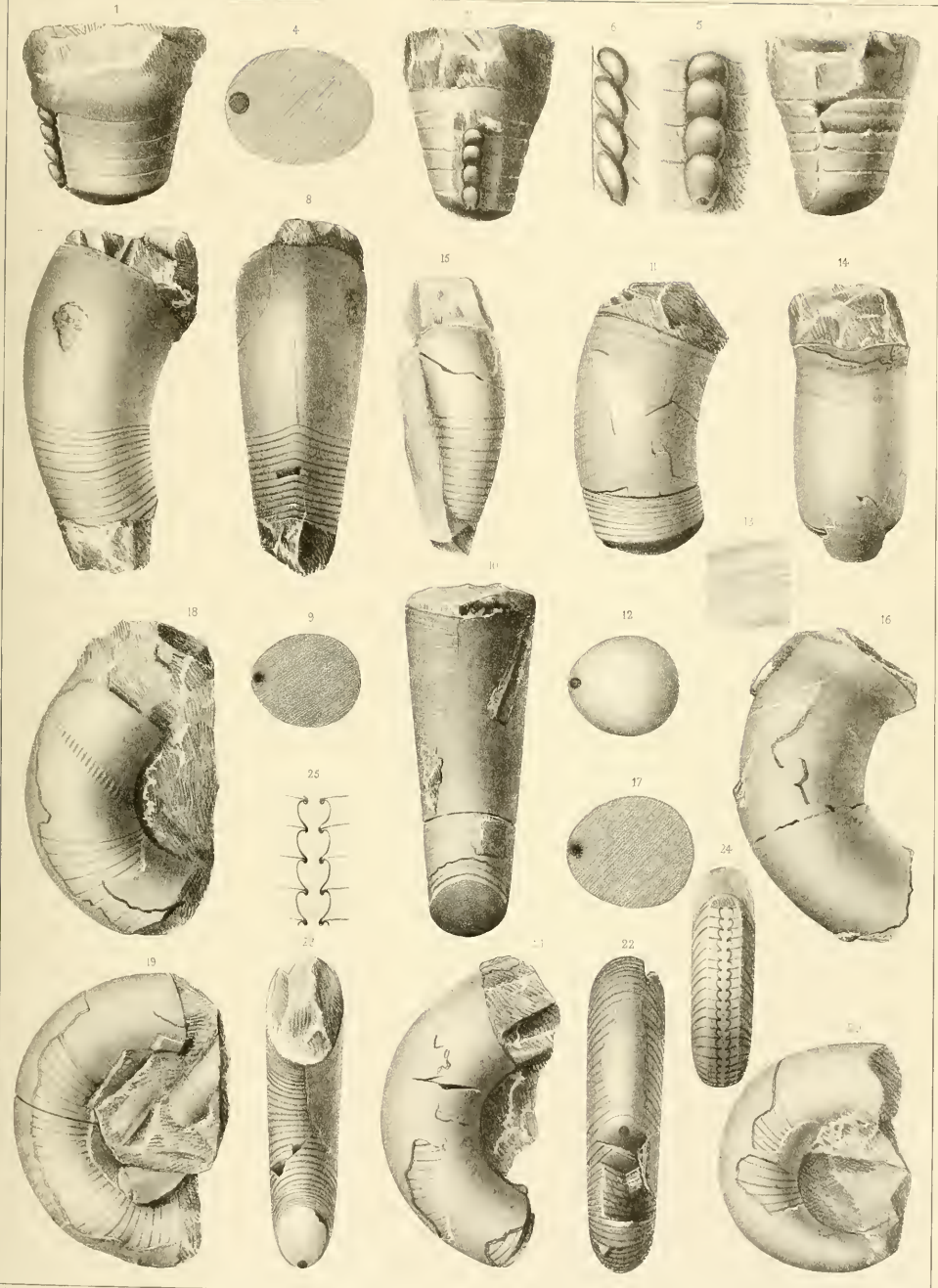






Fig.

Etage.

Fig.

Etage.

**Cyrtoceras nocturnum.** Barr. . . . E

1. Spécimen vu par la face latérale. Il montre la grande chambre, dont la partie supérieure est un peu endommagée, une série de loges aériennes, le profil d'une portion du siphon et quelques fragments du test. *Kozoriz.*
2. *id.* vu par le côté concave ou dorsal.
3. *id.* vu par le côté convexe ou ventral, montrant une partie du siphon à nu et en relief, tandis que sa partie supérieure est exposée dans une section longitudinale.
4. *id.* cloison vue par la face convexe. Elle est orientée comme la fig. 1 et montre la position du siphon.
5. *id.* 3 éléments du siphon grossis, d'après leur section longitudinale. On y voit la trace d'un faible anneau obstruteur, au droit des goulots.
6. *id.* 3 éléments du même siphon en relief et vus de face, avec la trace des cloisons.
7. *id.* les mêmes éléments vus de profil.

**Cyrtoceras cordigerum.** Barr. . . . E

8. Spécimen vu par la face latérale, montrant une partie de la grande chambre, une série de loges aériennes et des fragments du test. *Lochkov.*
9. *id.* vu par le côté convexe ou ventral, montrant le siphon mis à nu, sur une partie de sa longueur, par une section longitudinale.
10. *id.* 4 éléments du siphon grossis, avec la trace des cloisons. On y voit un faible anneau obstruteur, au droit des goulots.
11. *id.* cloison vue par la face convexe. Elle est orientée comme la fig. 8 et montre la position du siphon.
12. *id.* le même spécimen vu par le côté concave ou dorsal.
13. *id.* fragment du test grossi, pour montrer ses ornements.

**Cyrtoceras Pluto.** Barr. . . . . E

14. Spécimen vu par la face latérale. Moule interne, montrant la grande chambre et une longue série de loges aériennes, présentant des impressions transverses sur leur surface. *Dvoretz.*
15. *id.* vu par le côté concave ou dorsal.
16. *id.* vu par le côté convexe ou ventral, montrant une partie du siphon mis à nu par une section longitudinale.
17. *id.* 3 éléments du siphon grossis, avec la trace des cloisons. On voit dans leur intérieur un anneau obstruteur, au droit de chaque goulot.
18. *id.* cloison terminale, orientée comme la fig. 14.

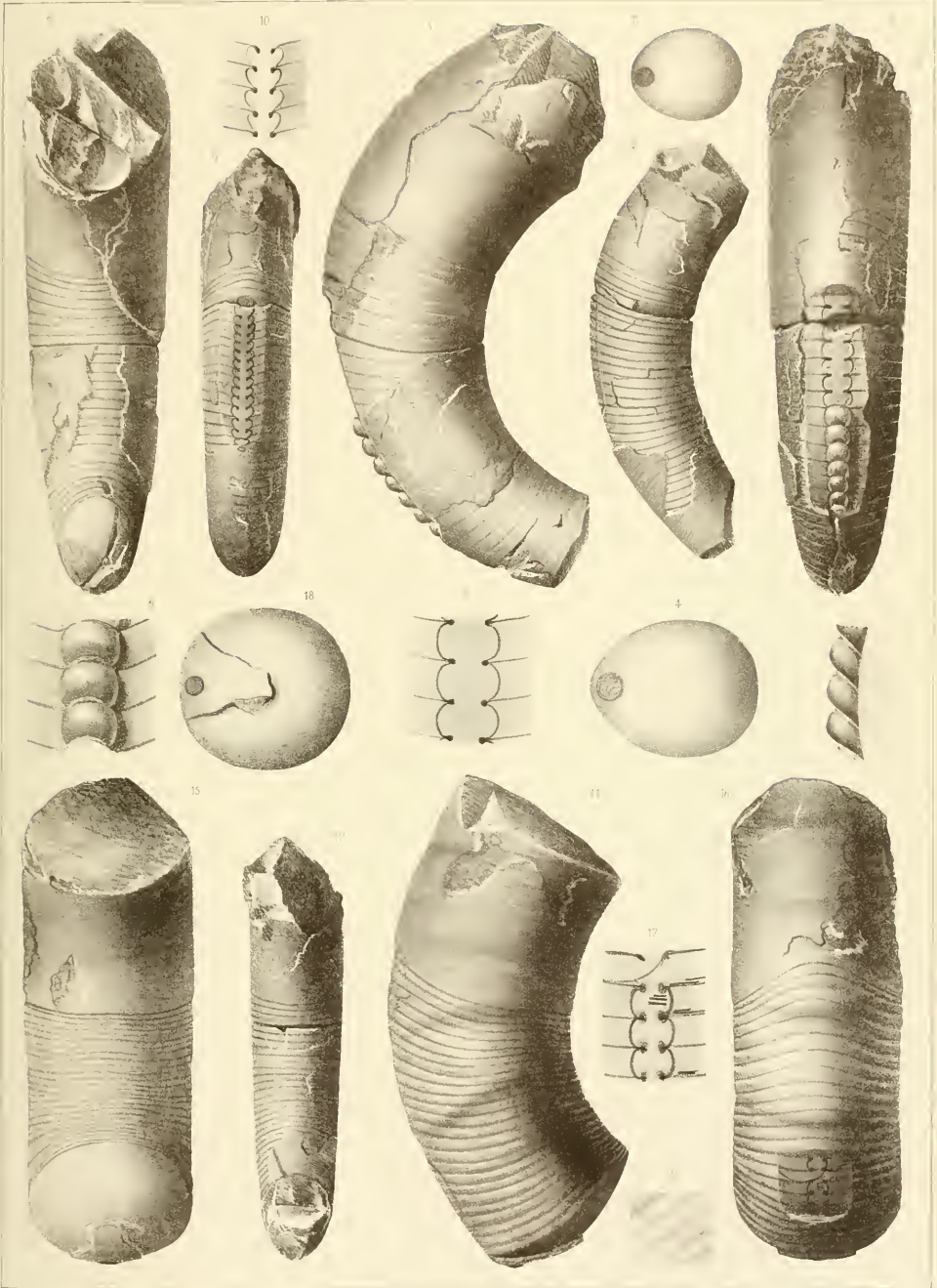






Fig.

Etage.

Fig.

Etage.

**Cyrtoceras Icarus.** Barr. . . . . E

1. Spécimen vu par la face latérale, montrant la grande chambre avec le bord contracté de l'ouverture, une série de loges aériennes et quelques fragments du test. *Lochkov.*
2. *id.* vu par le côté convexe, dont la surface a été préparée de manière à montrer la majeure partie du siphon, suivant une section longitudinale.
3. *id.* cloison terminale, vue par la face convexe. Elle est orientée comme la fig. 1 et montre la position du siphon, un peu insymétrique par rapport au plan médian.

**Cyrtoceras Baylei.** Barr. . . . . E  
(voir Pl. 135.)

4. Spécimen présentant une section longitudinale, dans laquelle on voit la grande chambre et une série de loges aériennes, dont les cloisons et le siphon sont, en général, bien conservés. La partie supérieure du siphon, coupée exactement suivant le plan médian, montre la variation dans la largeur de ses éléments, suivant la hauteur des loges aériennes. Dans la partie moyenne, l'apparence des éléments a été défigurée, parce que le siphon ne se trouvait pas symétriquement placé, par rapport au plan de la section, comme aux deux extrémités du spécimen. *Lochkov. (Coll. Schary.)*

**Cyrtoceras nescium.** Barr. . . . . E  
(voir Pl. 132—144.)

5. Spécimen vu par la face latérale, montrant la grande chambre à peu près complète, une série de loges aériennes et une partie du test. *Lochkov.*
6. *id.* cloison terminale, orientée comme la fig. 5 et montrant la position du siphon.
7. *id.* vu par le côté convexe, dont une partie a été préparée de manière à montrer la section longitudinale du siphon.
8. Autre spécimen vu par la face latérale, montrant la base de la grande chambre, une série de loges aériennes et quelques fragments du test. *Lochkov.*
9. *id.* vu par le côté convexe. La surface a été préparée de manière à montrer une partie du siphon en relief et l'autre suivant une section longitudinale.
10. *id.* section transverse, orientée comme la figure 8 et montrant la position du siphon.

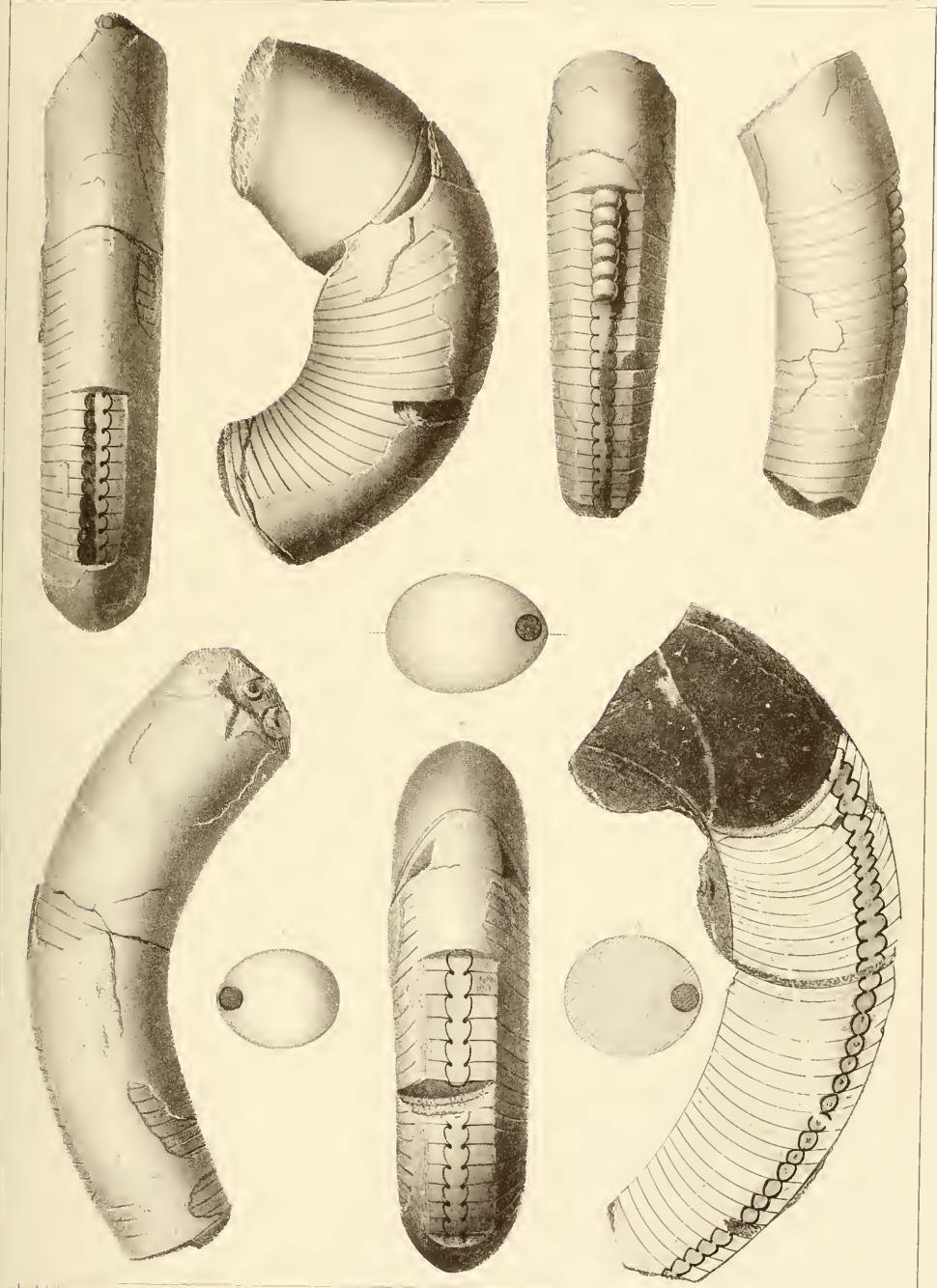






Fig.

Etage.

Fig.

Etage.

**Cyrtoceras *Sinon.*** Barr. . . . . E  
(voir Pl. 157.)

1. Spécimen vu par la face latérale, montrant le bord de l'ouverture, la grande chambre et la majeure partie des loges aériennes, dont les divisions sont cachées par le test. On voit une rainure très prononcée, sur le moule interne de la grande chambre, vers le tiers de sa longueur, au dessous de l'orifice. *Kozořz.*
2. *id.* vu par le côté convexe, dont une partie a été préparée, de manière à montrer la section longitudinale du siphon.
3. *id.* section transverse, orientée comme la figure 1 et montrant la position du siphon.
4. Autre spécimen, vu par la face latérale, montrant le moule complet de la grande chambre et une série de loges aériennes, recouvertes par le test. *Lochkov.*
5. *id.* vu par le côté convexe, dont une partie a été préparée de manière à montrer la section longitudinale du siphon.
6. *id.* section transverse, orientée comme la figure 4 et montrant la position du siphon.
7. Fragment vu par la face latérale, montrant une série de loges aériennes dépouillées du test. *Kozořz.*
8. *id.* vu par le côté convexe, préparé de manière à montrer la section longitudinale d'une partie du siphon.
9. *id.* section transverse, orientée comme la figure 7 et montrant la position du siphon. Elle paraît un peu moins ovale que dans les deux spécimens précédens.

**Cyrtoceras *nescium.*** Barr. . . . . E  
(voir Pl. 132—143.)

10. Spécimen vu par la face latérale, montrant une série de loges aériennes dépouillées du test. *Kozořz.*
11. *id.* vu par le côté convexe, sur lequel on distingue une carène prononcée. Une partie a été préparée de manière à montrer la section longitudinale du siphon.
12. *id.* section transverse, orientée comme la figure 10 et montrant la position du siphon.

**Cyrtoceras *medulosum.*** Barr. . . . . E  
(voir Pl. 134.)

13. Spécimen vu par la face latérale, montrant la grande chambre endommagée, une longue série de loges aériennes et quelques fragments du test. *Kozořz.*
14. *id.* vu par le côté convexe, préparé de manière à montrer la section longitudinale du siphon, en deux parties différentes. On peut remarquer la variation de largeur qu'éprouvent les éléments de cet organe, en raison de la distance entre les cloisons.
15. *id.* cloison terminale, orientée comme la figure 13 et montrant la position du siphon.

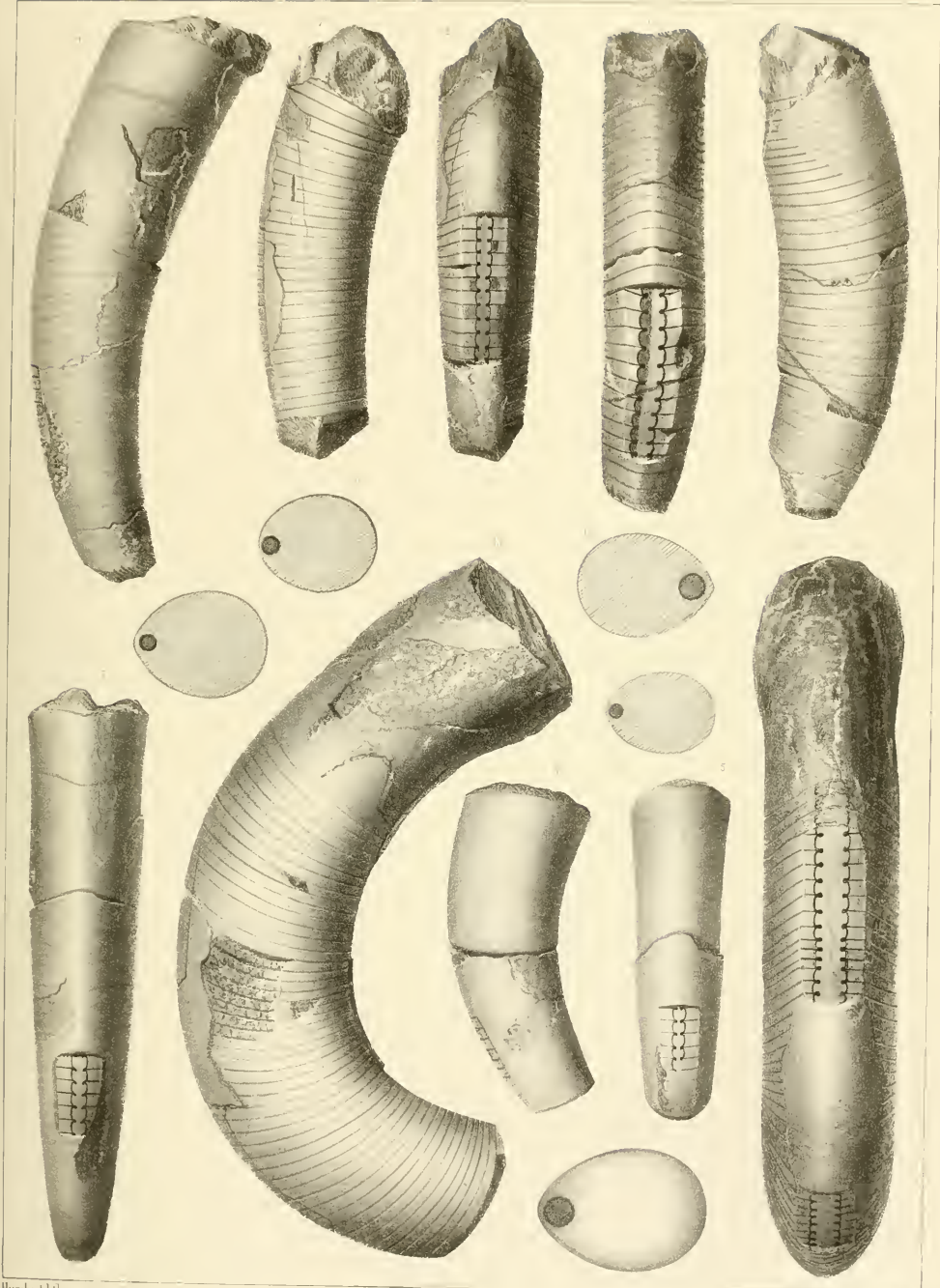






Fig. Etage. **Cyrtoceras samum.** Barr. . . . G-g 3

1. Spécimen vu par la face latérale, montrant la grande chambre un peu endommagée et une série de loges aériennes, sans aucune trace du test. *Илубоџеп.*
2. *id.* vu par le côté convexe, montrant le siphon sub-marginal.
3. *id.* cloison terminale de la grande chambre, orientée comme la fig. 1 et montrant la position du siphon.
4. *id.* fragment de la surface convexe, grossi, montrant le siphon, dont les éléments sont en partie recouverts par la roche.

**Cyrtoceras crassiusculum.**  
Barr. . . . G-g 3

5. Spécimen vu par la face latérale, montrant la base de la grande chambre et une série de loges aériennes, sans aucune trace du test. *Илубоџеп.*
6. *id.* vu par le bord convexe, préparé de manière à montrer la section longitudinale du siphon.
7. *id.* section transverse, prise à la base de la grande chambre et orientée comme la fig. 5.
8. *id.* 3 éléments du siphon, grossis avec la trace des cloisons.

**Cyrtoceras Angelini.** Barr. . . . E  
(voir Pl. 157—200.)

9. Spécimen vu par la face latérale, montrant la grande chambre endommagée et une série de loges aériennes, sans aucune trace du test. *Илтер-Копанина.*
10. *id.* vu par le côté concave, montrant le siphon, représenté par les lentilles de calcaire, moulées dans ses éléments, dont l'enveloppe a été dissoute.
11. *id.* section au petit bout, orientée comme la fig. 9 et montrant la position du siphon.
12. *id.* 3 éléments du siphon, grossis avec la trace des cloisons.
13. *id.* les mêmes éléments vus de profil, avec la trace des cloisons. On a aussi figuré le test, comme s'il existait.

Fig. Etage. **Cyrtoceras negutum.** Barr. . . . G-g 3

14. Spécimen vu par la face latérale, montrant la grande chambre endommagée et une série de loges aériennes, sans aucune trace du test. *Илубоџеп.*
15. *id.* section transverse.

**Cyrtoceras Bolli.** Barr. . . . G-g 3  
(voir Pl. 119.)

16. Spécimen vu par la face latérale, montrant une partie de la grande chambre et une série de loges aériennes, sans aucune trace du test. *Илубоџеп.*
17. *id.* vu par le côté convexe, dont la surface a été usée, de manière à exposer la section longitudinale du siphon. On remarquera que cet organe, au lieu de se trouver dans le plan médian, est rejeté vers la gauche, et occupe, par conséquent, une position anormale. Cette irrégularité est purement individuelle, puisque le siphon se voit dans sa place habituelle, c. à d. sur la ligne médiane, dans le spécimen figuré, Pl. 119.
18. *id.* section transverse, orientée comme la figure 16 et montrant la position anormale du siphon, hors du plan médian.
19. *id.* 3 éléments du siphon, grossis, avec la trace des cloisons.

**Cyrtoceras botulus.** Barr. . . . G-g 3

20. Spécimen représentant la grande chambre et une loge aérienne. Il est vu par la face latérale et ne conserve aucune trace du test. *Илубоџеп.*
21. Autre spécimen vu par la face latérale. Il montre la base de la grande chambre et une série de loges aériennes, également dépouillées du test. *Илубоџеп.*
22. *id.* cloison terminale, montrant la position du siphon et les lamelles rayonnantes dont il est partiellement rempli.

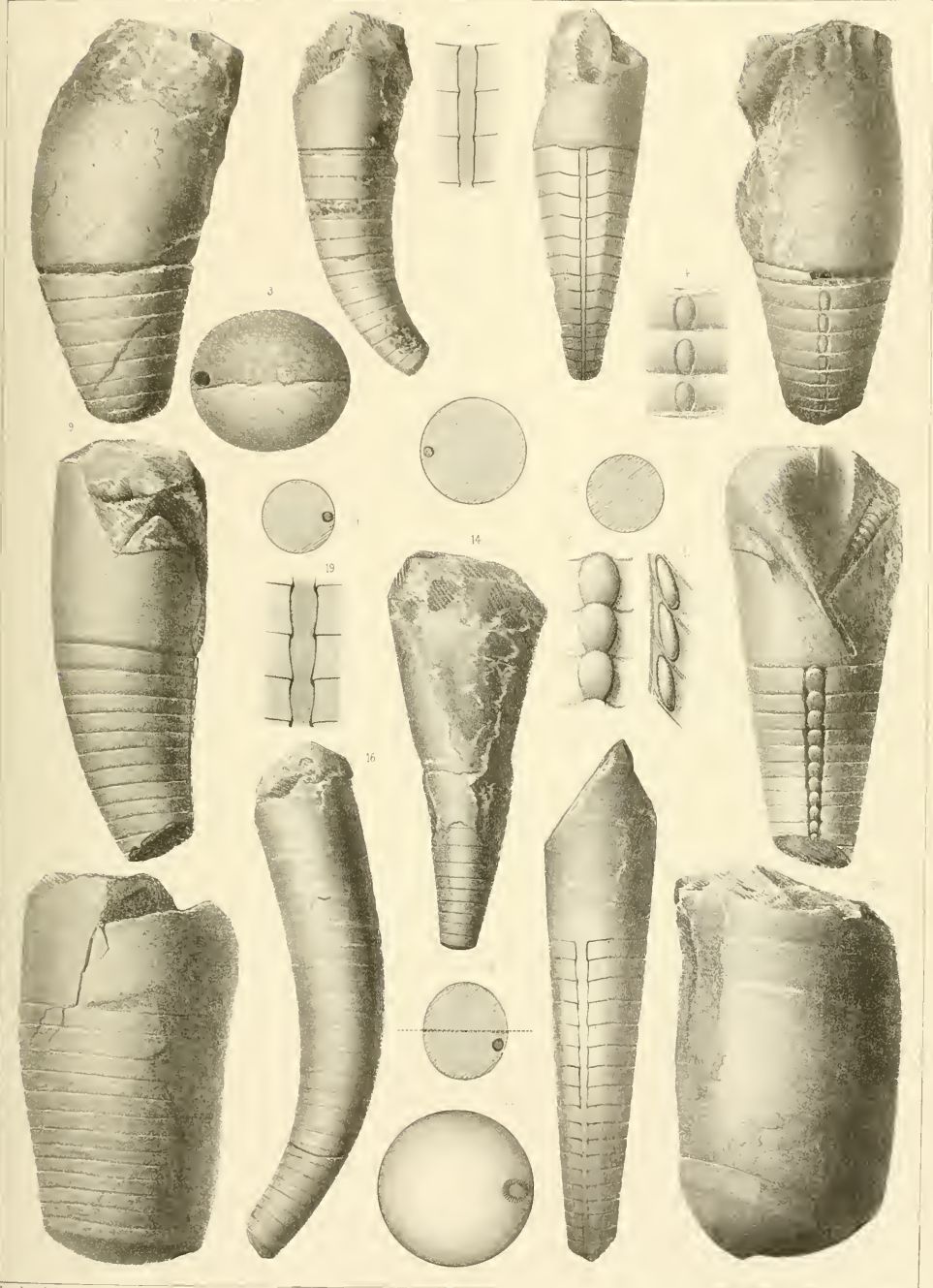






Fig.

Etage.

**Cyrtoceras quidam.** Barr. . . . . E

1. Spécimen vu par la face latérale, montrant le bord intact de l'ouverture, la grande chambre, une série de loges aériennes et la plus grande partie du test. *Hinter-Kopania*.
2. *id.* vu par le côté sub-rectiligne, ou ventral, montrant une échancrure marquée au bord de l'ouverture et le sinus correspondant des ornements, au droit du siphon.
3. *id.* cloison terminale de la grande chambre, orientée comme la fig. 1 et montrant la position du siphon, contre le bord sub-rectiligne ou concave.
4. *id.* fragment du test grossi, pour montrer ses ornements et leur sinus, au droit du siphon.

**Cyrtoceras patiens.** Barr. . . . . E

5. Spécimen vu par la face latérale, montrant une partie de la grande chambre, une série de loges aériennes et une partie du test. *Viskočitka*.
6. *id.* vu par le côté convexe. L'extrémité a été usée de manière à exposer la section de 3 éléments du siphon, qui sont vus dans une direction oblique.
7. *id.* vu par le côté concave. La figure montre en même temps la cloison terminale, ou section de la coquille.
8. *id.* 3 éléments du siphon vus de face, avec la trace des cloisons.

**Cyrtoceras apertum.** Barr. . . G—g 3

9. Fragment vu par la face latérale, montrant la grande chambre incomplète vers le haut et quelques loges aériennes. *Ilubočep*.
10. *id.* vu par le côté concave, montrant la trace des ornements, formant un sinus sur la ligne médiane, et indiquant la position du siphon.
11. *id.* cloison terminale, orientée comme la fig. 10. La trace du siphon est invisible.

Fig.

Etage.

**Cyrtoceras quasi-rectum.** Barr. . . . . E

(voir Pl. 160—163—223.)

12. Spécimen vu par la face latérale, montrant le bord de l'ouverture, la grande chambre, une série de loges aériennes et une partie du test. Ce spécimen se distingue par une courbure relativement très prononcée. *Lochkov*.
13. *id.* vu par le côté concave, ou ventral. La partie cloisonnée a été usée de manière à exposer la section longitudinale du siphon.
14. *id.* section transverse, montrant la position du siphon et orientée comme la fig. 13.
15. *id.* fragment du test grossi, pour montrer ses ornements, qui sont très bien conservés.

N. B. La courbure de cette espèce paraît tantôt endogastrique, comme dans le spécimen qui précède, tantôt exogastrique comme dans celui qui suit. Cette dernière conformation est relativement la plus rare, et nous la considérons comme une variété.

**Variet. contraria.** Barr. . . . . E

16. Spécimen vu par la face latérale, montrant le bord de l'ouverture, la grande chambre, une série de loges aériennes et une partie du test. La forme presque droite de ce spécimen contraste doublement avec l'apparence de celui qui est placé au dessous, fig. 12. En effet, le bord sur lequel il montre une courbure convexe est le côté du siphon. En outre, la section transverse est notablement ovale. *Kozorž*.
17. *id.* vu par le côté dorsal rectiligne et opposé au siphon.
18. *id.* cloison terminale orientée comme la fig. 16 et montrant la position du siphon.
19. *id.* fragment du test grossi, montrant ses ornements un peu effacés par la décomposition.

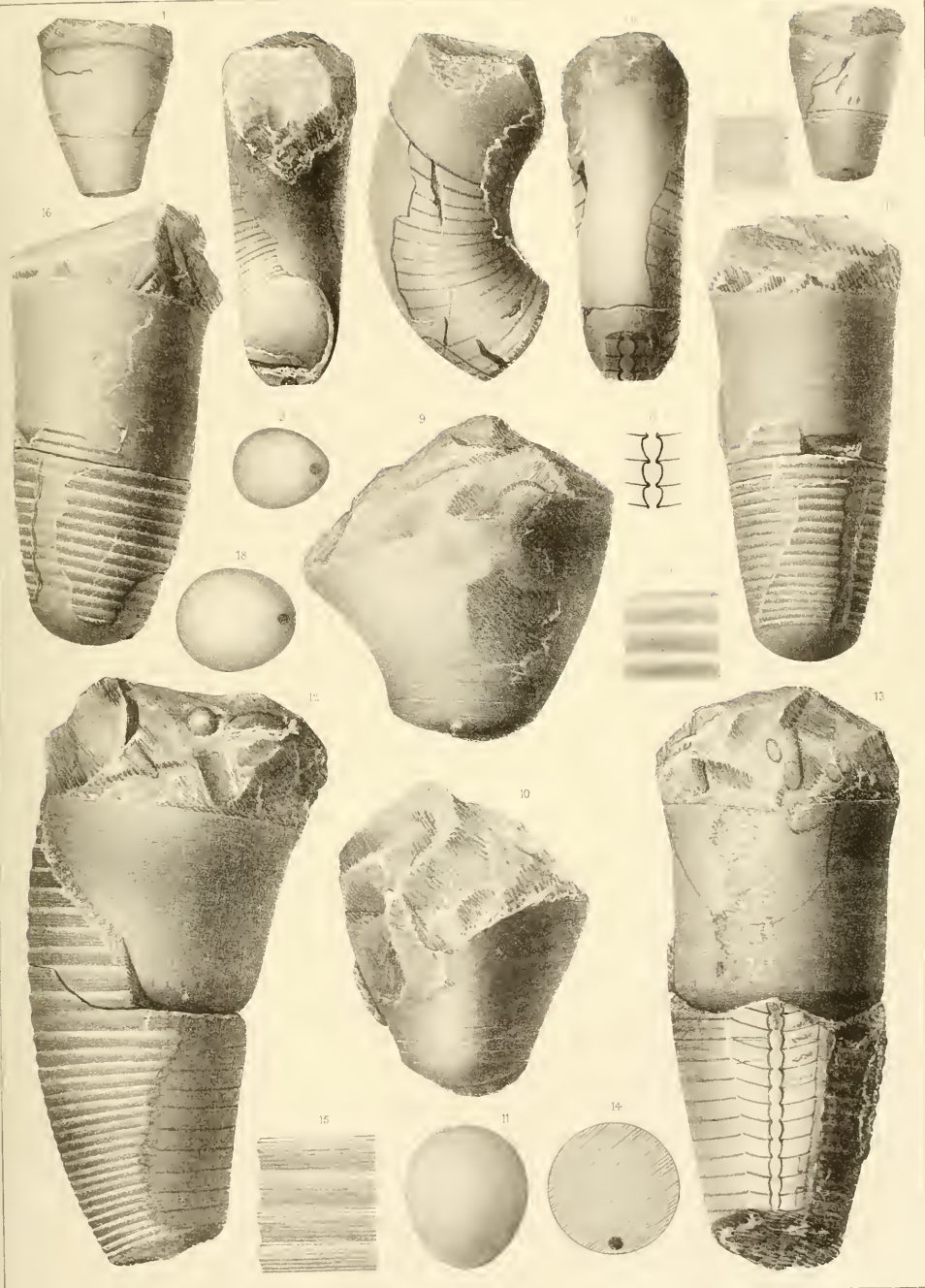






Fig.

Etage.

X. B. Les fossiles figurés sur cette planche sont principalement ceux qui montrent distinctement la pointe ou calotte initiale de la coquille dans diverses espèces.

**Cyrtoceras preposterum.** Barr. . . . E  
(voir Pl. 153.)

1. Jeune spécimen vu par la face latérale. Il est complet et montre à la fois la grande chambre et les loges aériennes, recouvertes par le test. La calotte initiale est parfaitement conservée. *Karlstein.*
2. *id.* vu par le côté convexe, montrant le sinus au droit du siphon.
3. *id.* Calotte initiale, fortement grossie, pour montrer les ornements, avec le sinus du côté convexe ou ventral.
4. *id.* surface de la calotte, montrant une impression elliptique au sommet.
5. Autre spécimen complet et conservant son test. *Karlstein.*
6. *id.* vu par le bord convexe, montrant le sinus des stries au droit du siphon.
7. *id.* extrémité grossie pour montrer les ornements de la calotte initiale, plus prononcés que sur le spécimen précédent, surtout dans le sens longitudinal.
8. *id.* calotte initiale, montrant au sommet l'impression elliptique, à partir de laquelle rayonnent les stries longitudinales.
9. Autre spécimen, vu par le côté convexe, dépoilé du test. On voit la grande chambre, une série de loges aériennes et quelques éléments du siphon, mis à jour par une entaille. *Karlstein.*
10. *id.* section transverse, orientée comme la fig. 9 et montrant la position submarginale du siphon.
11. *id.* quatre éléments du siphon grossis avec la trace des cloisons.

**Cyrtoceras perversum.** Barr. . . . E  
(voir Pl. 157.)

12. Spécimen vu par la face latérale, montrant la grande chambre et une série de loges aériennes, dépoilées de la calotte, qui n'est conservé que sur la calotte initiale. *Butoritz.*
13. *id.* vu par le côté convexe, montrant quelques éléments du siphon mis à nu par une entaille.
14. *id.* cloison terminale de la grande chambre, orientée comme la fig. 12 et montrant la position du siphon.
15. *id.* trois éléments du siphon grossis, avec la trace des cloisons.
16. *id.* partie inférieure du fossile, grossie pour montrer les ornements de la calotte initiale.
17. *id.* vu par l'extrémité et montrant au sommet une impression elliptique.

**Trochoceras priscum?** Barr. . . . E  
(voir Pl. 12—15—19—157.)

18. Jeune spécimen, vu par la face latérale, recouverte par le test. La grande chambre occupe une longueur un peu supérieure à celle des loges aériennes. *Lochkov.*
19. *id.* Extrémité grossie pour montrer les ornements de la calotte initiale.
20. *id.* vu par la face inférieure.
21. *id.* section transverse de grandeur naturelle, à la base de la grande chambre.
22. *id.* fragment du test grossi pour montrer ses ornements.

**Cyrtoceras verna.** Barr. . . . . E  
(voir Pl. 108.)

23. Spécimen à peu près complet vu par la face latérale, conservant le test. *Hinter-Kopauina.*
24. *id.* vu par le côté convexe, montrant le sinus des stries au droit du siphon.
25. *id.* extrémité du bord convexe, grossie, montrant les ornements du test, sur lequel les stries longitudinales couvrent régulièrement les intervalles entre les stries transverses.
26. *id.* calotte initiale montrant une faible impression au sommet.

Fig.

Etage.

**Cyrtoceras intermedium.** Barr. . . . E  
(voir Pl. 150.)

27. Jeune spécimen vu par la face latérale conservant la majeure partie du test. *Karlstein.*
28. *id.* extrémité inférieure grossie pour montrer ses ornements. Elle est vue par la face latérale.
29. *id.* calotte initiale, montrant une légère impression au sommet.

**Cyrtoceras decipiens.** Barr. . . . . E  
(voir Pl. 154.)

30. Jeune spécimen vu par la face latérale, montrant la grande chambre complète, ainsi que les loges aériennes et une partie du test. *Karlstein.*
31. *id.* vu par le côté convexe, montrant quelques éléments du siphon mis à nu par une entaille.
32. *id.* extrémité inférieure grossie, pour montrer ses ornements, sur le bord convexe.
33. *id.* calotte initiale au sommet de laquelle on distingue une impression, d'où rayonnent des stries longitudinales très fines.
34. *id.* éléments du siphon grossis avec la trace des cloisons.
35. Autre spécimen vu par la face latérale, montrant la base de la grande chambre et la série complète des loges aériennes avec leur test. *Karlstein.*
36. *id.* vu par le côté convexe, montrant le sinus des stries au droit du siphon.
37. *id.* partie inférieure du bord convexe, grossie, pour montrer ses ornements. Les stries transverses disparaissent sur la calotte initiale qui ne présente que des stries longitudinales très fines.
38. *id.* calotte initiale au sommet de laquelle on voit l'impression, d'où rayonnent les stries longitudinales.

**Cyrtoceras tardum.** Barr. . . . . E  
(voir Pl. 116.)

39. Spécimen vu par la face latérale, montrant la grande chambre incomplète et une série de loges aériennes, recouvertes par le test. *Hinter-Kopauina.*
  40. *id.* vu par le côté convexe, montrant une série d'éléments du siphon mis à nu par une section longitudinale.
  41. *id.* section transverse vers la base de la grande chambre. Elle est orientée comme la fig. 39 et montre la position submarginale du siphon.
  42. *id.* deux éléments du siphon, grossis avec la trace des cloisons. Leur apparence cordiforme est très prononcée.
  43. Autre spécimen plus jeune, vu par la face latérale, montrant la grande chambre et la série complète des loges aériennes, conservant leur test. *Karlstein.*
  44. *id.* vu par le côté convexe, montrant les éléments du siphon mis à nu par une section longitudinale.
  45. *id.* éléments du siphon, grossis avec la trace des cloisons. Ils offrent l'apparence cordiforme, dès le jeune âge.
  46. *id.* partie inférieure de la face latérale, grossie, pour montrer ses ornements transverses et dépourvus de stries longitudinales.
  47. *id.* calotte initiale, montrant ses ornements concentriques.
  48. Autre spécimen un peu plus jeune que le précédent et vu par la face latérale. Il montre la grande chambre et une série de loges aériennes dépoilées du test. *Karlstein.*
- Cyrtoceras gibbum.** Barr. . . . . E  
(voir Pl. 129.)
49. Jeune spécimen vu par la face latérale, montrant la grande chambre complète et la série entière des loges aériennes, recouvertes par le test. La calotte initiale présente des stries transverses jusqu'à une petite distance de son sommet, qui paraît lisse. *Karlstein.*
  50. *id.* section transverse à la base de la grande chambre. Elle est orientée comme la figure 49 et montre la position submarginale du siphon.

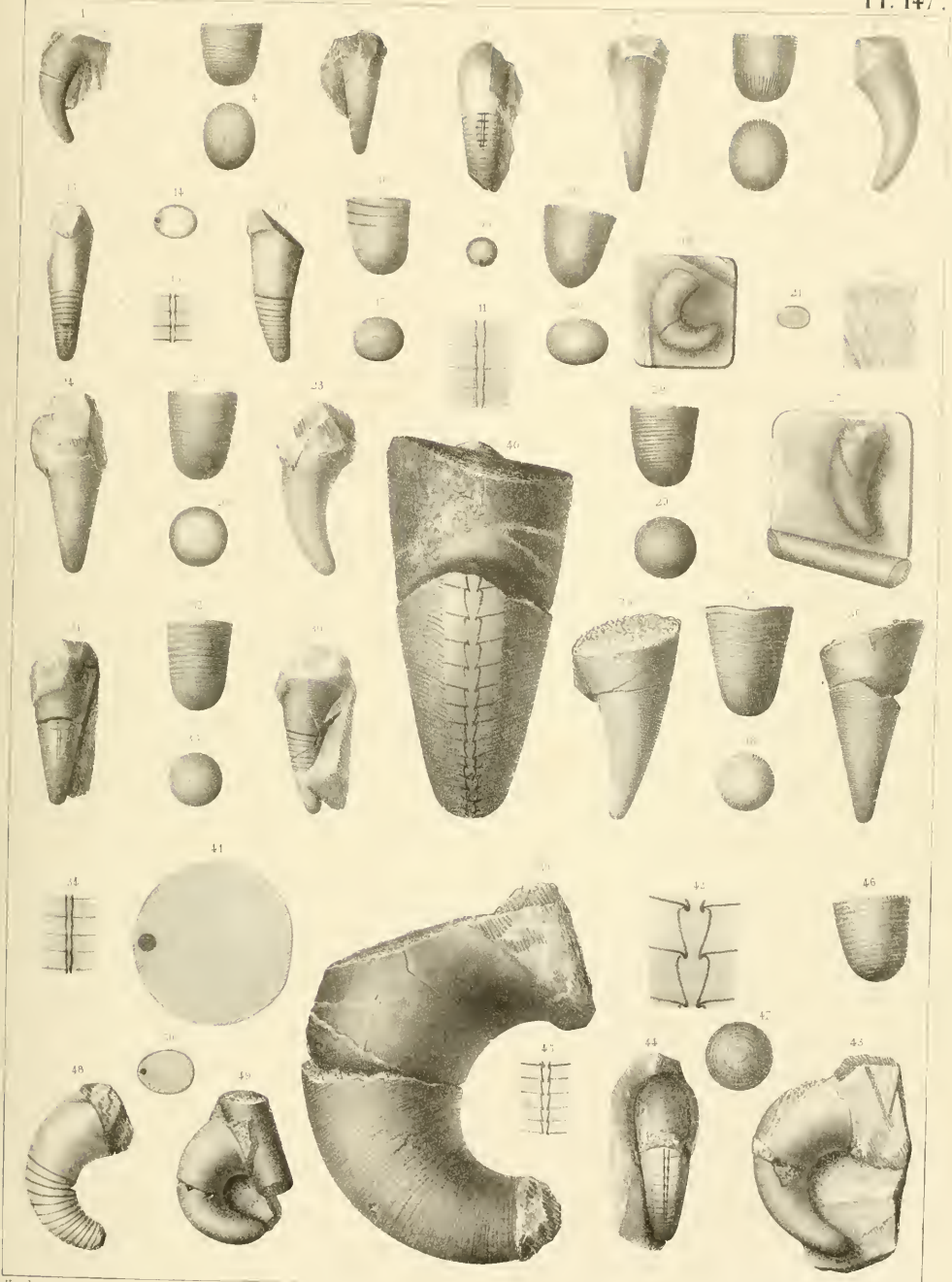






Fig.

Etage.

**Phragmoceras Panderi.** Barr. . . . E

(voir Pl. 48—50.)

1. Spécimen mal conservé et vu par la face latérale, montrant la grande chambre et une série de loges aériennes. *Deoretz.*
2. *id.* vu par le côté du petit orifice, on côté ventral.
3. *id.* cloison terminale de la grande chambre, montrant la position du siphon hors du plan médian du fossile, par suite d'une anomalie individuelle.

**Trochoceras? mancum.** Barr. . . . F

4. Spécimen incomplet vu par la face latérale dépouillée du test. Il montre une partie de la grande chambre et quelques loges aériennes. *Koziéprus.*
5. *id.* vu par le côté concave, montrant le défaut de symétrie de la coquille.
6. *id.* section transversale vers le petit bout. La position du siphon est inconnue.

**Cyrtoceras Murchisoni.** Barr. . . . E

(voir Pl. 160—165—176—200.)

7. Fragment vu par la face latérale et représentant une série de loges aériennes, en partie rerouvertes du test. *Viskočilka.*
8. *id.* vu par le côté concave, montrant le siphon mis à nu. Cet organe est placé hors du plan médian de la coquille, par une anomalie individuelle.
9. *id.* cloison supérieure montrant la position du siphon en dehors de l'axe principal de la section.

**Cyrtoceras insociale.** Barr. . . . E

(voir Pl. 159—166.)

10. Spécimen vu par la face latérale, montrant la grande chambre et la majeure partie des loges aériennes. On voit la trace du siphon hors du plan médian. *Kozorž.*
11. *id.* vu par le bord rectiligne, montrant également la position insymétrique du siphon.
12. *id.* vu par le côté convexe, montrant une grande échancrure au bord de l'orifice.
13. *id.* cloison terminale orientée comme la fig. 10 et montrant la position du siphon hors du plan médian.
14. *id.* fragment du test grossi, montrant les stries plus prononcées et plus régulières vers la pointe du fossile.
15. *id.* autre fragment du test grossi, montrant les stries moins prononcées et moins régulières vers le bord de l'ouverture.

Fig.

Etage.

**Cyrtoceras Pottur.** Barr. . . . . E

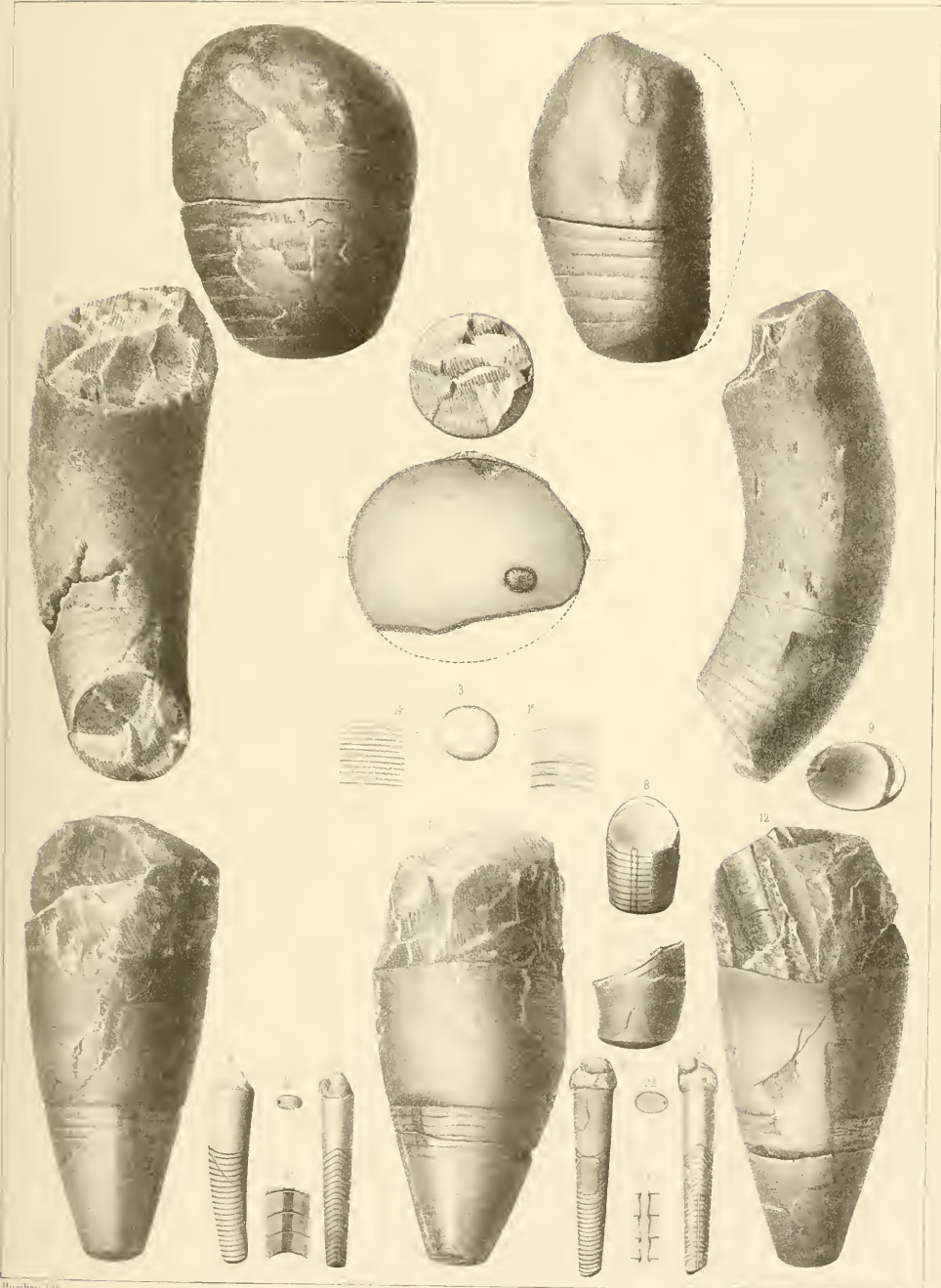
16. Spécimen vu par la face latérale, dépouillée du test. Il montre le moule de la grande chambre complète, et une série de loges aériennes. *Viskočilka.*
17. *id.* vu par le bord convexe, montrant la trace du siphon, par transparence.
18. *id.* cloison terminale orientée comme la figure 16 et montrant la position marginale du siphon.
19. *id.* trois loges aériennes grossies et vues par le bord convexe. On aperçoit le siphon, dont les éléments se distinguent par leur couleur noire, contrastant avec la teinte grise de la roche.

Variété rectiligne.

**Cyrtoceras Castor.** Barr. . . . . E

20. Spécimen vu par la face latérale, montrant le bord de l'ouverture, la grande chambre, une série de loges aériennes et quelques fragments du test. *Butovitz.*
21. *id.* vu par le côté du siphon. Une partie de cet organe a été mise à nu par une section longitudinale.
22. *id.* section transversale, orientée comme la figure 20 et montrant la position marginale du siphon.
23. *id.* trois éléments du siphon grossis, avec la trace des cloisons.

N. B. Cette espèce pourrait être rangée parmi les *Orthoceras*, et dans ce cas elle présenterait une variété courbe, *Pottur*. Nous avons cru devoir adjoindre ces formes au genre *Cyrtoceras*, à cause de la position marginale du siphon, qu'on ne rencontre presque jamais dans les *Orthocères* de notre faune troisième. Le seul exemple que nous en connaissons est *Orth. exoticum* Pl. 216, représenté par un seul exemplaire.







- | Fig.   | Etage. | Fig.  | Etage. |
|--|--------|---|--------|
| <b>Cyrtoceras fidum.</b> Barr. . . . . E   |        | <b>Cyrtoceras intermedium.</b> Barr. . . E<br>(voir Pl. 147—150—151.)   |        |
| 1.   |        | 13.   |        |
| Spécimen un peu endommagé et dépourvu de son test. Il est vu par la face latérale, montrant la grande chambre et une série de cloisons. On reconnaît sur le moule une série de faibles impressions longitudinales. <i>Droretz.</i>   |        | Spécimen vu par le côté concave, montrant la grande chambre et la partie cloisonnée presque entière. Moule interne. <i>Tobolka.</i>   |        |
| 2.   |        | 14.   |        |
| <i>id.</i> vu par le côté convexe. Le siphon apparaît sur la partie inférieure, qui a été usée jusqu'à l'axe de cet organe.  |        | <i>id.</i> vu par la face latérale.   |        |
| 3.   |        | 15.   |        |
| <i>id.</i> quatre éléments du siphon, grossis, avec la trace des cloisons.   |        | <i>id.</i> vu par le côté convexe. Le siphon apparaît sur une partie de la surface, qui a été usée.   |        |
| 4.   |        | 16.   |        |
| <i>id.</i> cloison terminale du spécimen, vue par le côté convexe, montrant la position du siphon. Elle est orientée comme la fig. 1.  |        | <i>id.</i> section transverse, vers le milieu de la longueur, montrant le siphon mis à nu jusqu'à l'axe, et orientée comme la fig. 14.  |        |
| <b>Cyrtoceras fallax.</b> Barr. . . . . E<br>(voir Pl. 193—208.)   |        | 17.   |        |
|  |        | <i>id.</i> quatre éléments du siphon, grossis avec la trace des cloisons.   |        |
| <b>Cyrtoceras Salleri.</b> Barr. . . . . E   |        |   |        |
| 5.   |        | 18.   |        |
| Spécimen incomplet, vu par la face latérale. Il montre la grande chambre et une partie des loges aériennes, avec quelques fragments du test. La section est circulaire, et la coquille paraît rectiligne dans l'étendue visible, tandis que les autres spécimens fig. 6 et 11 présentent une courbure très sensible et exogastrique. <i>Lochkov.</i> |        | Spécimen vu par le côté concave, montrant la grande chambre et la partie cloisonnée presque entière. <i>Lochkov.</i>  |        |
| 6.   |        | 19.   |        |
| Autre spécimen, vu par le côté convexe. Il montre la grande chambre, la partie cloisonnée presque entière et des fragments du test. On aperçoit deux éléments du siphon mis à nu par des entailles. <i>Viskočilka.</i>   |        | <i>id.</i> vu par la face latérale, conservant quelques fragments du test, avec ses ornements.  |        |
| 7.   |        | 20.   |        |
| <i>id.</i> cloison terminale de la grande chambre, vue par le côté convexe et montrant la position du siphon, contre le bord convexe de la coquille.   |        | <i>id.</i> vu par le côté convexe, montrant le bord de l'ouverture, avec son échancrure. Le siphon apparaît sur la partie inférieure, qui a été usée jusqu'à l'axe de cet organe. |        |
| 8.   |        | 21.   |        |
| <i>id.</i> deux éléments du siphon grossis, avec la trace des cloisons.  |        | <i>id.</i> trois éléments du siphon, grossis, avec la trace des cloisons.   |        |
| 9.   |        | 22.   |        |
| Chambre d'habitation isolée, conservant des fragments du test. <i>Lochkov.</i>   |        | <i>id.</i> section transverse, près de l'extrémité inférieure, montrant la position du siphon et orientée comme la fig. 19.   |        |
| 10.  |        |   |        |
| fragment du test grossi, montrant ses ornements. Les plis transverses sont croisés par des stries faibles, longitudinales.   |        |   |        |
| 11.  |        |   |        |
| Spécimen presque complet, vu par la face latérale, montrant la grande chambre, la partie cloisonnée presque entière et la majeure partie du test, avec ses ornements. <i>Kozořz.</i>   |        |   |        |
| 12.  |        |   |        |
| <i>id.</i> section transverse, orientée comme la fig. 11 et montrant la place du siphon, vers la pointe de la coquille.  |        |   |        |

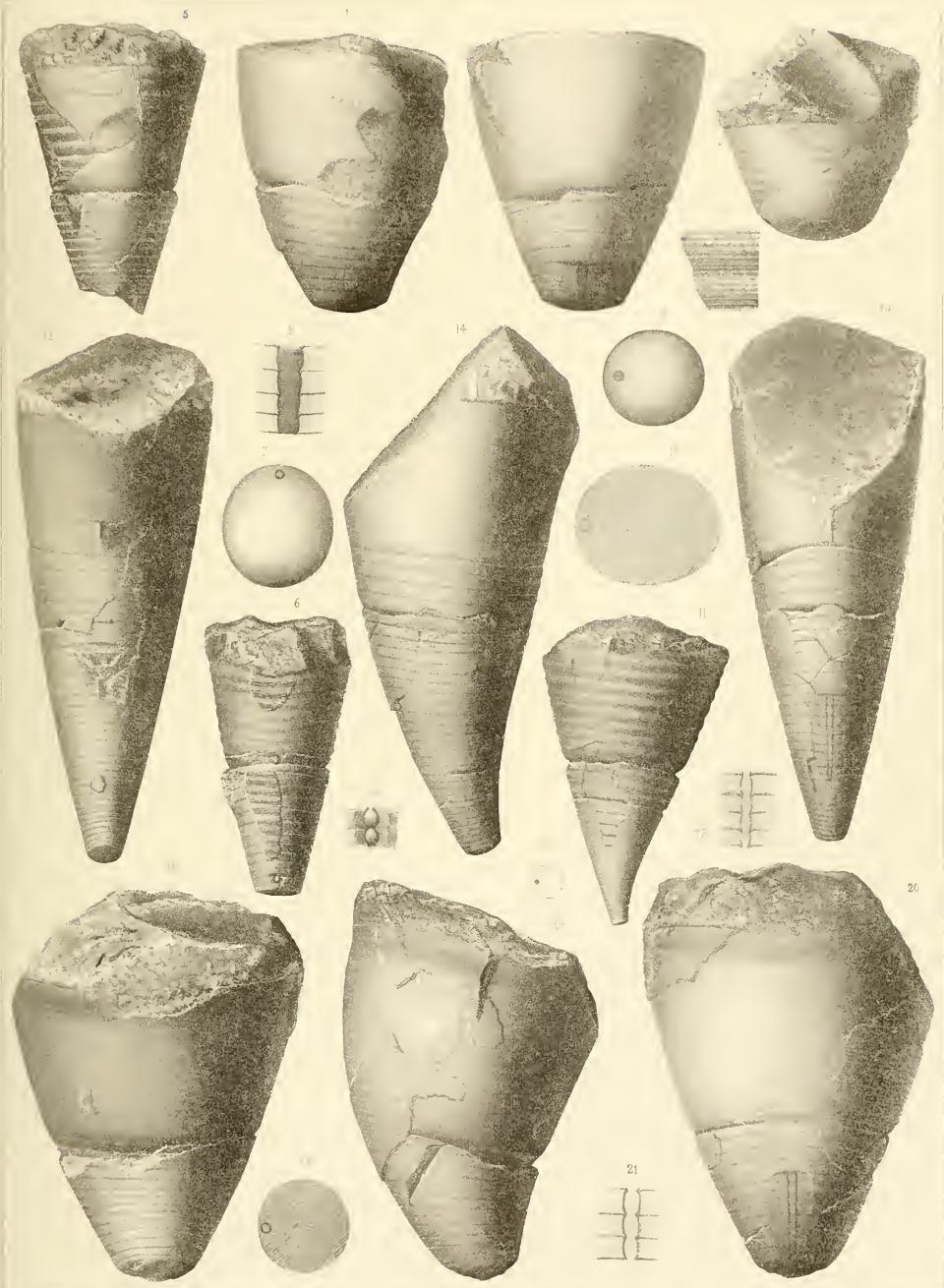






Fig.

Etage.

**Cyrtoceras *intermedium*.** Barr. . . E  
(voir Pl. 147—149—151.)

1. Spécimen incomplet, vu par la face latérale. Il est assez fortement arqué, et il conserve des fragments du test, sur lesquels on ne voit que des stries saillantes, transverses. *Közörs*.
2. *id.* vu par le côté convexe, montrant le siphon dégagé de manière à paraître en relief.
3. *id.* fragment du test fortement grossi, montrant les ornements.
4. *id.* section longitudinale du même fragment, montrant l'imbrication directe.
5. *id.* trois éléments du siphon grossis et vus par le côté convexe, avec la trace des cloisons.
6. *id.* vus par la face latérale, avec la trace du test.
7. Autre spécimen vu par la face latérale, montrant la grande chambre et la partie cloisonnée presque entière, avec des fragments du test. Sa courbure est prononcée. *Karlstein*.
8. Autre spécimen vu par le côté concave, montrant la grande chambre et la partie cloisonnée presque entière. La partie du test qui est conservée présente, outre les stries transverses, quelques lignes longitudinales d'un faible relief, qui ne se voient pas sur les autres faces du fossile. *Karlstein*.
9. *id.* fragment du test fortement grossi, montrant ses ornements.
10. *id.* section longitudinale du même fragment, montrant l'imbrication directe des stries.
11. Autre spécimen conservant la majeure partie de son test. Il est vu par la face latérale. *Karlstein*.
12. *id.* vu par le côté convexe, montrant le sinus des stries transverses au droit du siphon et quelques lignes longitudinales, sur la partie supérieure, dans le voisinage de l'échancre.
13. Autre spécimen. Section longitudinale montrant les cloisons et le siphon. Les cloisons étant très rapprochées dans cet individu, les éléments du siphon paraissent plus larges et plus courts. *Karlstein*.
14. Spécimen d'âge moyen, vu par le côté convexe. Il est presque complet et montre l'échancre du bord de l'ouverture, la limite de la grande chambre, la majeure partie des loges aériennes, et quelques fragments du test. *Kolednik*.
15. *id.* fragment du test grossi, montrant ses ornements.

Etage.

16. *id.* section longitudinale du même fragment, montrant l'imbrication directe des stries.
17. Jeune spécimen à peu près complet et vu par la face latérale, recouverte de son test. On voit la limite entre la grande chambre et les loges aériennes. *Karlstein*.
18. Autre spécimen un peu plus développé et presque complet. Il est vu par le côté convexe, montrant l'échancre au bord de l'ouverture, les stries transverses avec leur sinus et quelques lignes longitudinales en relief sur la surface. *Karlstein*.
19. Grande chambre isolée d'un spécimen d'âge moyen, vue par la face latérale. Elle montre, sur les fragments du test et sur le moule interne, outre les stries transverses, des lignes longitudinales qui existent sur toute la périphérie. *Karlstein*.
20. *id.* vu par le côté convexe, montrant l'échancre au bord de l'ouverture, et le sinus correspondant des stries transverses, au droit du siphon.
21. *id.* fragment du test fortement grossi, montrant ses ornements. Il existe des stries longitudinales très fines, entre les stries transverses. Ces stries fines n'ont pas été indiquées sur cette figure, mais elles sont marquées distinctement sur la fig. 27.
22. Spécimen adulte, vu par le côté concave. Il est presque complet sauf quelques parties du test. *Karlstein*.
23. *id.* vu par la face latérale, montrant la forme de la coquille très peu arquée et presque droite sur le côté concave, sauf l'extrémité inférieure.
24. *id.* vu par le côté convexe, montrant le sinus des stries transverses au droit du siphon.
25. *id.* section transverse au dessous de la grande chambre. Elle orientée comme la fig. 23 et montre la position du siphon.
26. Autre spécimen, incomplet, vu par le côté concave. Il montre les stries transverses passant à peu près horizontalement sur ce côté.
27. *id.* fragment du test fortement grossi, montrant une série de stries longitudinales très fines entre les stries transverses. Ce fragment est pris sur le milieu du côté convexe et il montre par conséquent quelques lignes longitudinales qui ne se trouvent pas ordinairement sur le côté concave.

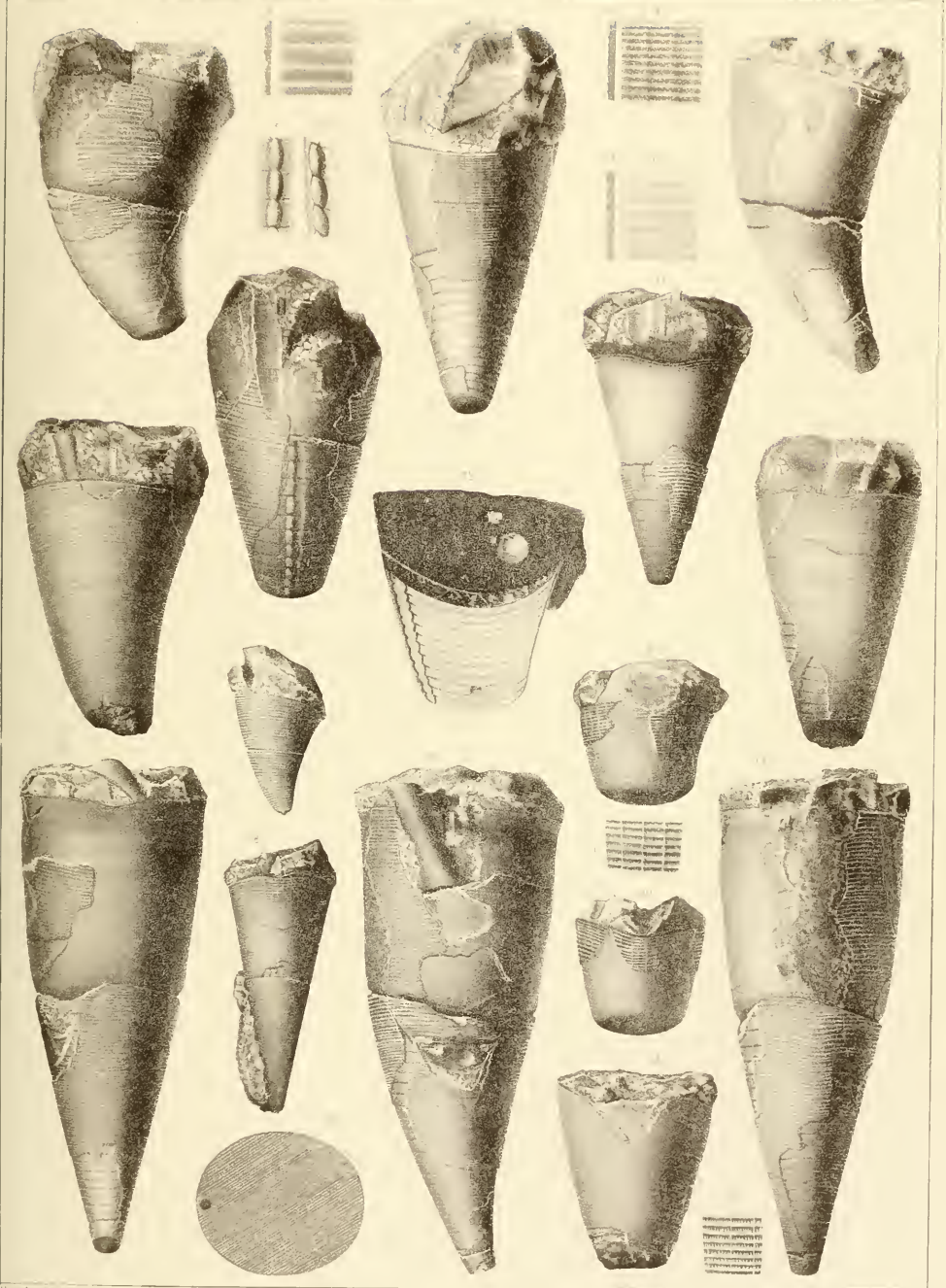






Fig.

Étage.

Fig.

Étage.

**Cyrtoceras acutum.** Barr. . . . . E

1. Spécimen à peu près complet, vu par la face latérale, conservant quelques fragments du test. *Kozorx.*
2. *id.* vu par le côté convexe, montrant la grande chambre et les traces du siphon, sur deux points.
3. *id.* cloison vue par le côté convexe. Elle est orientée comme la fig. 1.
4. *id.* deux éléments du siphon fortement grossis et vus par le côté convexe, avec la trace des cloisons.
5. *id.* fragment du test pris sur la grande chambre et fortement grossi. Il ne montre que des stries transverses, inégalement groupées.
6. *id.* section longitudinale du même fragment.
7. Autre spécimen vu par la face latérale et conservant une grande partie de son test. *Karlstein.*
8. *id.* fragment du test pris sur la partie cloisonnée. Il est fortement grossi afin de montrer les stries longitudinales qui croisent les stries transverses, groupées sous la forme de petits plis.
9. *id.* section longitudinale du même segment, montrant l'imbrication directe des petits plis.
10. Autre spécimen beaucoup plus jeune, couvert de son test et vu par le côté convexe. *Karlstein.*

**Cyrtoceras pileolus.** Barr. . . . . E

11. Spécimen vu par la face latérale, montrant la grande chambre presque complète et une grande partie des loges aériennes, recouvertes de leur test. *Karlstein.*
12. *id.* vu par le côté convexe, montrant le sinus des stries, au droit du siphon, mis à nu jusqu'à l'axe.
13. *id.* cloison terminale orientée comme la fig. 11.
14. *id.* deux éléments du siphon grossis, avec la trace des cloisons.
15. *id.* fragment du test, fortement grossi, montrant les stries transverses, croisées par des séries de stries longitudinales très serrées.
16. *id.* section longitudinale du même fragment, montrant l'imbrication directe des ornements transverses.

**Cyrtoceras sporadicum.** Barr. . . . F

(voir Pl. 205.)

17. Spécimen presque complet, conservant la majeure partie de son test et vu par la face latérale, montrant la trace des cloisons. *Konieprus.*
18. *id.* section transverse, circulaire et sans trace du siphon.
19. *id.* vu par le côté convexe, entièrement recouvert par le test.
20. *id.* fragment du test, fortement grossi montrant les ornements, très caractérisés.
21. *id.* section longitudinale du même fragment, montrant l'absence de toute imbrication des stries.

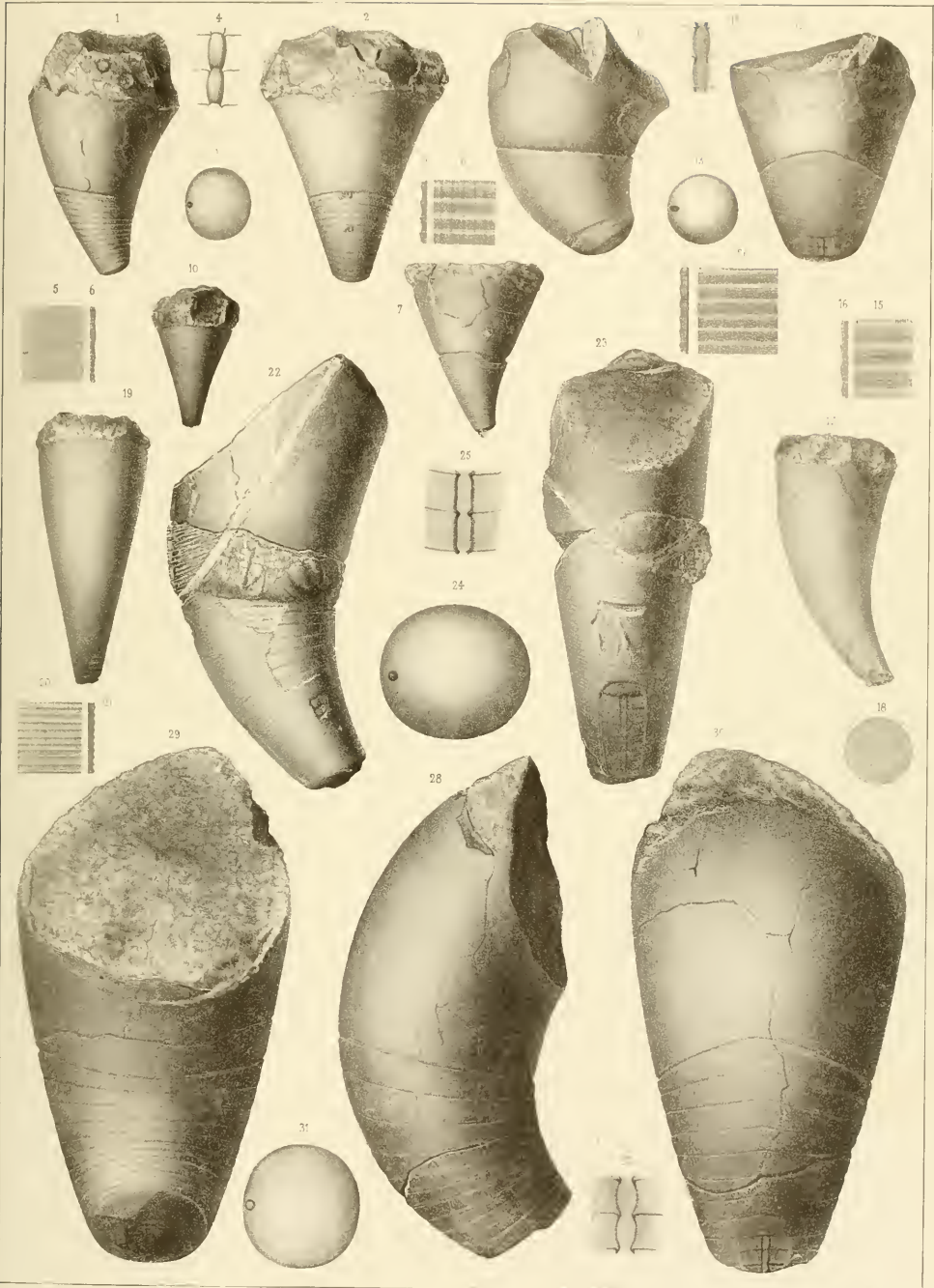
**Cyrtoceras intermedium.** Barr. . . . E

(voir Pl. 147—149—150.)

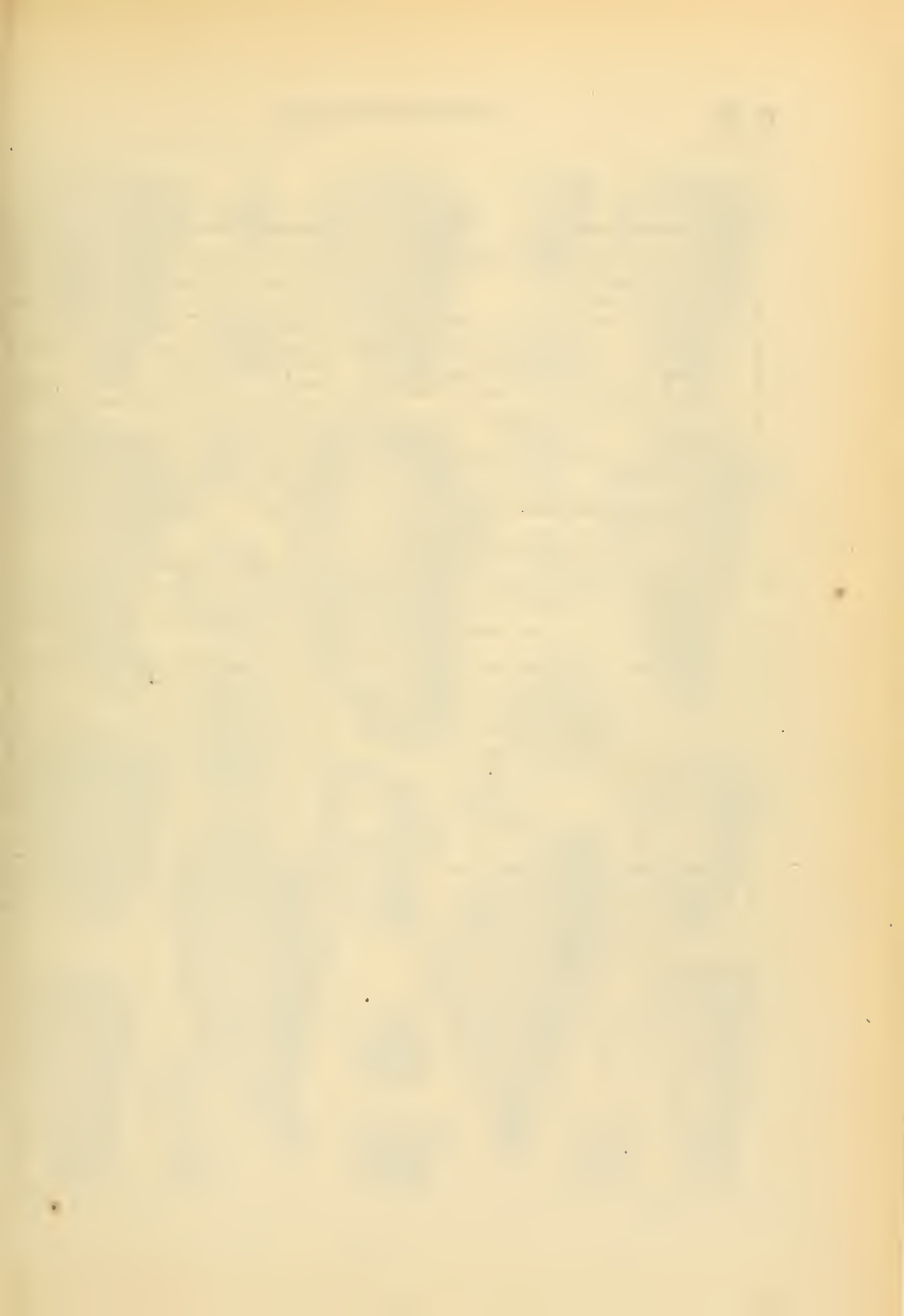
22. Spécimen vu par la face latérale, montrant une partie de la chambre d'habitation et des loges aériennes. *Bartovitz.*
23. *id.* vu par le côté convexe, montrant le sinus des stries au droit du siphon mis à nu jusqu'à l'axe.
24. *id.* cloison terminale de la grande chambre, vue par la paroi convexe et orientée comme la fig. 22.
25. *id.* deux éléments du siphon grossis, avec la trace des cloisons.
26. *id.* fragment du test, fortement grossi, montrant ses ornements.
27. *id.* section longitudinale du même fragment, montrant l'imbrication directe des petits plis.

**Cyrtoceras hospitale.** Barr. . . . . E

28. Spécimen vu par la face latérale, dépourvée du test. Il montre la grande chambre et une série de loges aériennes. *Lužets.*
29. *id.* vu par le côté concave. Le bord de l'ouverture est un peu endommagé.
30. *id.* vu par le côté convexe. Le bord de l'ouverture est à peu près complet. Le siphon est mis à nu jusqu'à l'axe, au petit bout.
31. *id.* cloison terminale convexe, orientée comme la fig. 28.
32. *id.* deux éléments du siphon grossis, avec la trace des cloisons.







Fig

**Cyrtoceras sequax.** Barr. . . . . E

1. Spécimen presque complet, vu par la face concave, montrant la grande chambre, les loges aériennes et une partie du test. *Winter-Kopauina*.
2. *id.* vu par la face latérale.
3. *id.* vu par le côté convexe, montrant le siphon mis à nu jusqu'à l'axe.
4. *id.* section transverse, orientée comme la fig. 2.
5. *id.* fragment du test, grossi, montrant les ornements.
6. *id.* section longitudinale du même fragment, montrant l'imbrication directe des stries.
7. *id.* deux éléments du siphon, grossis, avec la trace des cloisons.
8. Jeune spécimen couvert de son test et vu par la face convexe. *Karlstein*.

**Cyrtoceras dorsuosum.** Barr. . . . . E

9. Spécimen vu par la face latérale, montrant la grande chambre et la majeure partie des loges aériennes, recouvertes de leur test. *Lochkov*.
10. *id.* vu par le côté convexe, montrant un léger sinus des stries au droit du siphon, mis à nu vers le petit bout du fossile.
11. *id.* cloison terminale de la grande chambre, orientée comme la fig. 9.
12. *id.* deux éléments du siphon grossis, avec la trace des cloisons.
13. *id.* fragment du test, fortement grossi, montrant ses ornements. Les stries longitudinales sont un peu plus fortes sur cette figure que dans la réalité.
14. *id.* section longitudinale du même fragment, montrant l'imbrication directe des petits plis du test.
15. Autre spécimen plus développé et vu par la face latérale. *Viskočitka*.
16. *id.* cloison terminale du spécimen, orientée comme la fig. 15 et montrant la position du siphon.

**Cyrtoceras minusculum.** Barr. . . . . E

17. Spécimen vu par la face latérale, montrant la plus grande partie de la chambre d'habitation et des loges aériennes avec un fragment du test. *Lužetz*.
18. *id.* vu par le côté concave, montrant la dilatation de la grande chambre.
19. *id.* vu par le côté convexe, montrant le siphon mis à nu jusqu'à l'axe.
20. *id.* section transverse, orientée comme la fig. 17 et prise près de la base de la grande chambre.
21. *id.* deux éléments du siphon grossis, avec la trace des cloisons.

Etage.

Fig

**Cyrtoceras carum.** Barr. . . . . E

22. Spécimen presque droit, vu par la face latérale, montrant la grande chambre, une série de loges aériennes et un fragment du test bien conservé. *Vohrada*.
23. *id.* vu par le côté convexe, montrant la trace du siphon et le sinus correspondant des stries, indiqué sur le moule interne comme sur le test.
24. *id.* section transverse, orientée comme la fig. 22 et montrant la position du siphon.
25. *id.* fragment du test grossi, pour montrer les ornements.
26. *id.* section longitudinale du même fragment, montrant l'imbrication directe des petits plis.

N. B. Malgré la forme presque droite de ce spécimen, en considérant sa section transverse elliptique, la position marginale du siphon et l'analogie avec diverses espèces dont la courbure n'est bien marquée que vers la pointe, comme *Cyrt. ambiguum* Pl. 158, nous croyons devoir le rapporter provisoirement au genre *Cyrtoceras*.

**Cyrtoceras obtusum.** Barr. . . . . E

27. Spécimen vu par la face latérale. Il est revêtu de son test, dans toute la longueur. Son bord supérieur est endommagé et on ne voit pas la limite de la grande chambre. *Vohrada*.
28. *id.* vu par le côté convexe, montrant le sinus des stries au droit du siphon, et la rapide dilatation de la coquille.
29. *id.* cloison vers le petit bout, orientée comme la fig. 27 et montrant la position du siphon.
30. *id.* fragment du test, pris dans la partie inférieure du fossile, un peu au dessus de la brisure, dans la région où les stries longitudinales disparaissent, tandis que les stries horizontales persistent.
31. *id.* extrémité inférieure du fossile, fortement grossie, afin de montrer sa forme et ses ornements. Elle est vue par le bord convexe.
32. *id.* vu par la face inférieure ou calotte initiale, montrant au centre une profonde cavité arrondie, vers laquelle convergent les stries longitudinales et qui semble représenter l'origine du siphon. Voir les apparences semblables figurées pour plusieurs espèces du même genre Pl. 147.

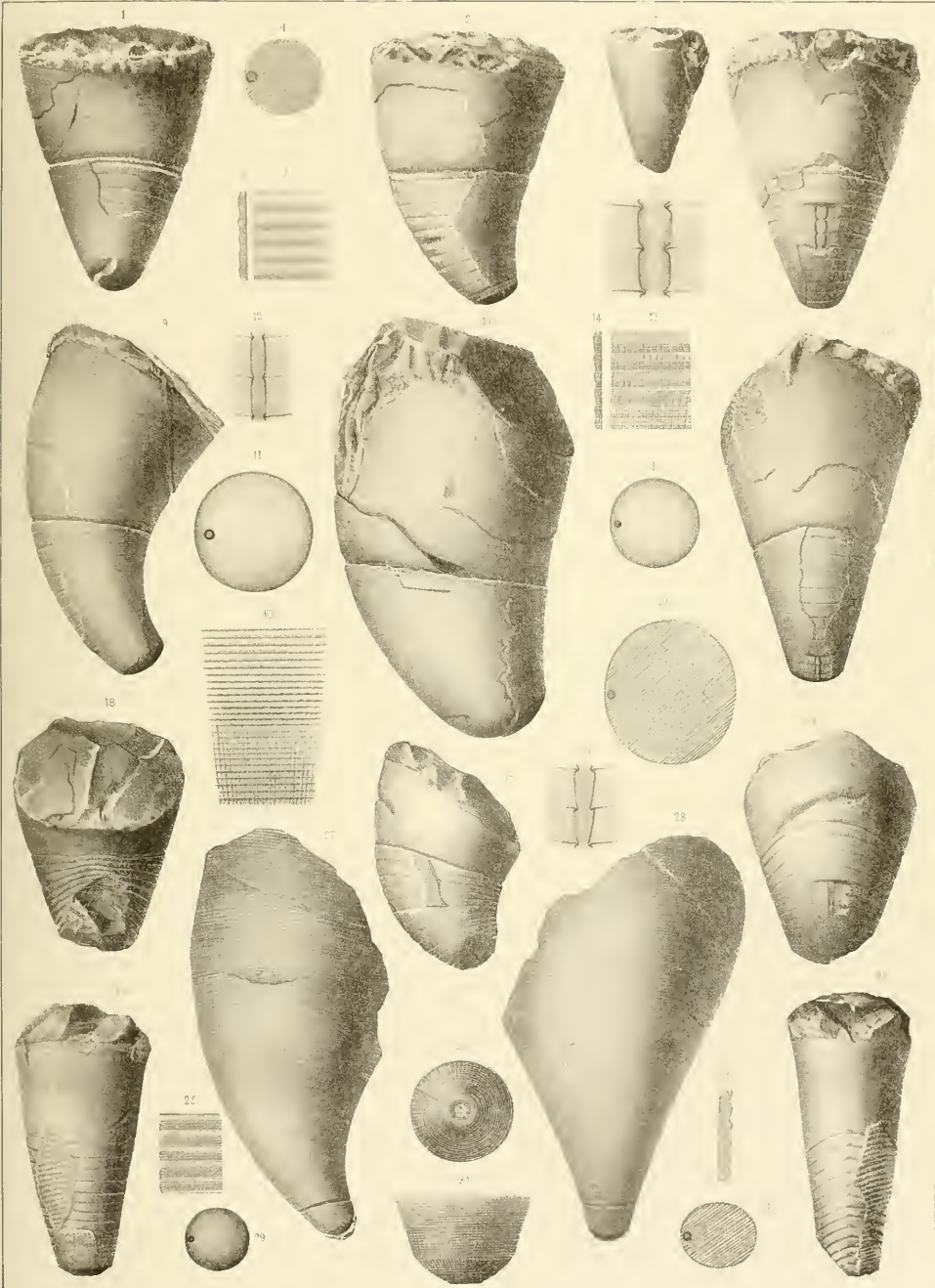






Fig.

Etage.

Fig.

Etage.

**Cyrtoceras vittatum.** Barr. . . . . E

1. Spécimen vu par la face latérale, montrant la grande chambre et la majeure partie des loges aériennes, sur lesquelles le test se trouve conservé. *Kontieprus.*
2. *id.* vu par le côté convexe, montrant le siphon mis à nu jusqu'à l'axe, vers le petit bout du fossile.
3. *id.* section transverse, orientée comme la fig. 1.
4. *id.* trois éléments du siphon grossis, avec la trace des cloisons.
5. *id.* fragment du test, grossi, montrant une des bandelletes de couleur blanche, visibles dans l'intérieur du test, sur la face latérale exposée, fig. 1. On y distingue en même temps les stries transverses de la surface externe.

**Cyrtoceras preposterum.** Barr. . . . . E  
(voir Pl. 147.)

6. Spécimen presque complet, vu par la face latérale, montrant le bord de l'ouverture, la grande chambre et presque toutes les loges aériennes. *Butovitz.*
7. *id.* section transverse, orientée comme la fig. 6.
8. *id.* vu par le côté convexe.

**Cyrtoceras sinuatulum.** Barr. . . . . E

9. Spécimen vu par la face latérale, montrant une grande partie de la chambre d'habitation et des loges aériennes, avec des fragments du test. *Kontieprus.*
10. *id.* section transverse, orientée comme la fig. 9.
11. *id.* vu par le côté concave.
12. *id.* partie médiane du côté convexe, montrant le siphon mis à nu, jusqu'à l'axe, avec la trace des cloisons.
13. *id.* trois éléments du siphon grossis, avec la trace des cloisons.
14. *id.* fragment du test, pris vers le haut de la grande chambre et montrant les stries horizontales de la surface.
15. *id.* autre fragment du test, pris sur les loges aériennes, montrant à la fois les stries de la surface et les lignes blanches sinuées vues par transparence dans l'intérieur.

**Cyrtoceras Iridis.** Barr. . . . . E

16. Spécimen vu par le côté convexe, en grande partie recouvert de son test. *Karlstein.*
17. Autre spécimen vu par la face latérale, montrant la grande chambre tronquée, une série de loges aériennes et une partie du test. *Karlstein.*
18. *id.* cloison terminale de la grande chambre, orientée comme la fig. 17.
19. *id.* trois éléments du siphon, grossis, avec la trace des cloisons, d'après une section faite sur le côté convexe, non figuré.
20. *id.* fragment du test pris vers le haut de la grande chambre et fortement grossi, pour montrer ses ornements extérieurs.
21. *id.* fragment du test, pris sur les loges aériennes, au droit du siphon, montrant à la fois les stries de la surface et les arcs tracés en blanc dans l'intérieur, où on les voit par transparence.
22. *id.* autre fragment du test, pris sur les loges aériennes et plus fortement grossi, pour montrer les stries de la surface et le sommet des angles tracés en blanc dans l'intérieur.
23. *id.* section longitudinale du même fragment, montrant l'imbrication directe des ornements de la surface externe.

**Cyrtoceras cyathus.** Barr. . . . . E

24. Spécimen vu par la face latérale, montrant la grande chambre et une partie des loges aériennes, avec leur test. *Dlaucha Hora.*
25. *id.* cloison terminale du spécimen, orientée comme la fig. 24.
26. *id.* vu par le côté convexe, montrant le siphon mis à nu jusqu'à l'axe.
27. *id.* deux éléments du siphon grossis, avec la trace des cloisons.
28. *id.* fragment du test pris vers le haut de la grande chambre et grossi pour montrer ses ornements extérieurs.
29. *id.* autre fragment du test, pris sur les loges aériennes et grossi pour montrer à la fois les stries transverses de la surface et les lignes noires sinuées, tracées dans l'intérieur du test, où elles s'aperçoivent par transparence.
30. Autre spécimen moins développé, vu par le côté convexe. Il montre les mêmes ornements à l'intérieur et à l'extérieur du test, mais ils sont plus fins. *Kozoriz.*

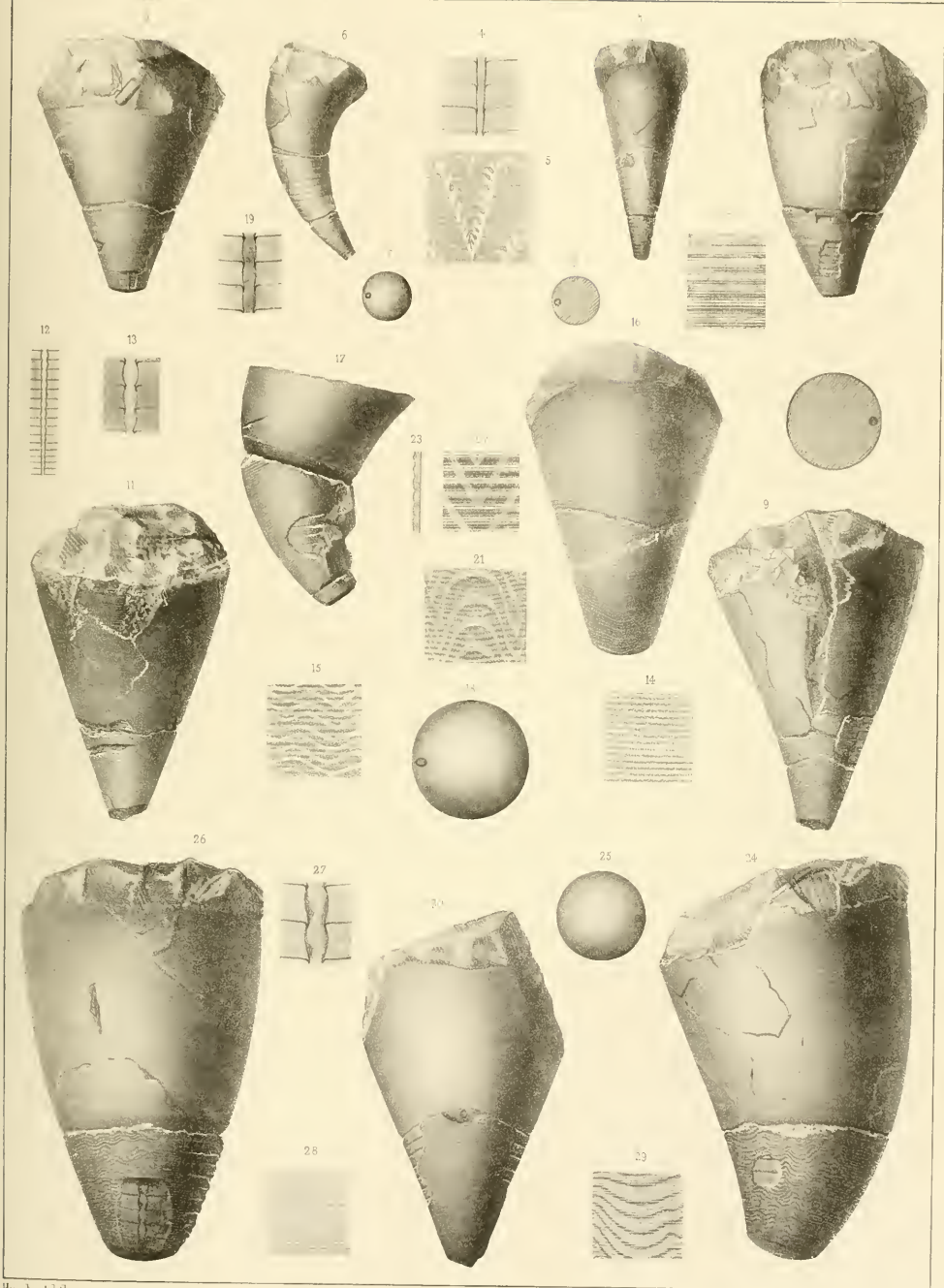






Fig.

Étage.

Fig.

Étage.

**Cyrtoceras cyclostomum.** Barr. . . . E  
(voir Pl. 157.)

1. Spécimen presque complet et conservant la majeure partie de son test. Il est vu par la face latérale. *Butovitz.*
2. *id.* section transverse, orientée comme la fig. 1.
3. *id.* vu par le côté convexe, montrant le léger sinus des stries au droit du siphon.
4. *id.* fragment du test, grossi, pour montrer les ornements, un peu irréguliers et très fins.
5. Autre spécimen à peu près complet, vu par le côté concave, conservant des fragments du test. Cette forme est très svelte. *Viskočilka.*
6. Autre spécimen de forme encore plus svelte et remarquable par l'absence presque complète de encurbure. Il est figuré par la face latérale. On voit sur le moule de très légères stries longitudinales. *Viskočilka.*
7. *id.* cloison terminale de la grande chambre, orientée comme la fig. 6.
8. *id.* vu par le côté du siphon indiqué sur le bord des cloisons.
9. Autre spécimen vu par la face latérale. Il est remarquable par sa forme plus dilatée que celle de tous les autres individus. *Butovitz.*
10. Autre spécimen incomplet. Il est vu par le côté du siphon, qui a été mis à nu jusqu'à l'axe. *Butovitz.*

**Cyrtoceras superstes.** Barr. . . G—g 3

11. Spécimen vu par la face latérale, dépouillée du test. Il montre la grande chambre et une série de loges aériennes. *Ilubočep.*
12. *id.* vu par le côté convexe. La trace du siphon paraît indiquée, à la base de la grande chambre.
13. *id.* section transverse, orientée comme la fig. 11.

**Cyrtoceras retox.** Barr. . . . . E  
(voir Pl. 157—223—240 bis.)

14. Spécimen vu par la face latérale, montrant la grande chambre, une partie du test et une série de cloisons. *Butovitz.*
15. *id.* vu par le côté convexe, montrant la limite de la grande chambre.
16. *id.* cloison terminale de la grande chambre, orientée comme la fig. 14.
17. Autre spécimen plus jeune, vu par la face latérale, presque totalement recouverte du test. *Kozorž.*
18. Autre spécimen vu par le côté concave, conservant une partie du test. *Viskočilka.*
19. Autre spécimen vu par la face latérale, conservant un fragment du test et montrant des lignes longitudinales sur le moule interne. *Butovitz.*
20. *id.* fragment du test, grossi, pour montrer les ornements.
21. *id.* section longitudinale du même fragment, montrant l'imbrication directe des petits plis.
22. Fragment d'un spécimen non figuré. Section longitudinale montrant la position et la forme du siphon. *Viskočilka.*
23. *id.* trois éléments du siphon grossis et vus en relief par le côté externe avec la trace des cloisons, d'après le même spécimen.
24. Autre spécimen très jeune, presque complet, vu par la face latérale, montrant la grande chambre, une série de cloisons et une partie du test. *Lochkov.*

**Cyrtoceras decipiens.** Barr. . . . . E  
(voir Pl. 147.)

25. Spécimen presque complet, vu par la face latérale, montrant la grande chambre, une longue série de loges aériennes et une partie du test. *Lochkov.*
26. *id.* vu par le côté concave, montrant la direction horizontale des stries.
27. *id.* vu par le côté convexe, montrant le sinus des ornements, au droit du siphon mis à nu jusqu'à l'axe, vers le petit bout du fossile.
28. *id.* trois éléments du siphon, grossis, avec la trace des cloisons.
29. *id.* cloison, orientée comme la fig. 25.
30. Autre spécimen moins développé, vu par la face latérale. Il montre la grande chambre complète et la plus grande partie des loges aériennes, recouvertes de leur test. *Kozorž.*
31. *id.* vu par le côté convexe, montrant le siphon mis à nu jusqu'à l'axe, par une section longitudinale.
32. *id.* fragment du test, grossi, pour montrer ses ornements.
33. *id.* section longitudinale du même fragment, montrant l'imbrication directe des petits plis.







Fig.

Étage.

Fig.

Étage.

**Cyrtoceras inversum.** Barr. . . . . E  
(voir Pl. 217.)

1. Spécimen vu par la face latérale, très peu arquée. Il montre la grande chambre, une série de loges aériennes et une partie du test. *Lochkov.*
2. *id.* vu par le côté convexe, montrant le léger sinus des stries au droit du siphon, qui est mis à nu jusqu'à l'axe.
3. *id.* trois éléments du siphon, grossis, avec la trace des cloisons.
4. *id.* section transverse, orientée comme la fig. 1.
5. *id.* fragment du test, grossi, pour montrer ses ornements, un peu irréguliers.

**Cyrtoceras maculosum.** Barr. . . . . E

6. Spécimen incomplet, vu par la face latérale. Elle est en grande partie recouverte du test, qui présente des taches noires irrégulières. *Dvoretz.*
7. *id.* vu par le côté convexe, montrant le bord de l'ouverture et le sinus des ornements.
8. *id.* section transverse. Siphon invisible.
9. *id.* fragment du test, grossi, pour montrer ses ornements, sur la surface externe.
10. *id.* section longitudinale du même fragment, montrant l'imbrication directe.

**Cyrtoceras imbricans.** Barr. . . . . E

11. Spécimen presque complet, vu par la face latérale, conservant une partie de son test, sur les loges aériennes. *Lochkov.*
12. *id.* vu par le côté convexe, montrant le siphon mis à nu jusqu'à l'axe. Les ornements du test ne font point de sinus au droit du siphon, ce qui constitue une rare anomalie.
13. *id.* section transverse, orientée comme la fig. 11.
14. *id.* fragment du test, grossi, pour montrer les bandes et stries de sa surface.
15. *id.* section longitudinale du même fragment, montrant l'imbrication directe des bandes.
16. *id.* trois éléments du siphon, grossis, avec la trace des cloisons.

**Cyrtoceras canna.** Barr. . . . . E

17. Spécimen représentant une longue série de loges aériennes recouvertes par le test. Il est vu par la face latérale. *Winter-Kopanina.*

X. B. Cette forme très peu arquée se rapproche beaucoup de celle des *Orthoceras*; mais comme elle possède un siphon marginal et une section elliptique, nous avons cru plus convenable de la ranger parmi les *Cyrtoceras*.

18. *id.* vu par le côté convexe, montrant le siphon mis à nu et en relief, au petit bout.
19. *id.* cloison, prise au droit de la brisure, et orientée comme la fig. 17.
20. *id.* quatre éléments du siphon, grossis, vus par le côté convexe.
21. *id.* les mêmes éléments, vus de profil dans la section longitudinale, avec la trace du test et des cloisons.
22. *id.* fragment du test, grossi, pour montrer les ornements.

**Cyrtoceras solitarium.** Barr. . . . . E

23. Fragment dépoillé du test et vu par la face latérale, montrant une série de loges aériennes. *Dvoretz.*
24. *id.* vu par le côté convexe, montrant le siphon dénudé par la décomposition. On reconnaît dans chaque élément la trace des lamelles rayonnantes, qui remplissent cet organe.
25. *id.* vu par le haut, et orienté comme la fig. 23.

X. B. La remarque qui vient d'être faite au sujet de la forme presque droite de *Cyrt. canna* s'applique également à *Cyrt. solitarium*, dont la courbure n'est pas sensible sur le fragment figuré, le seul que nous connaissons.

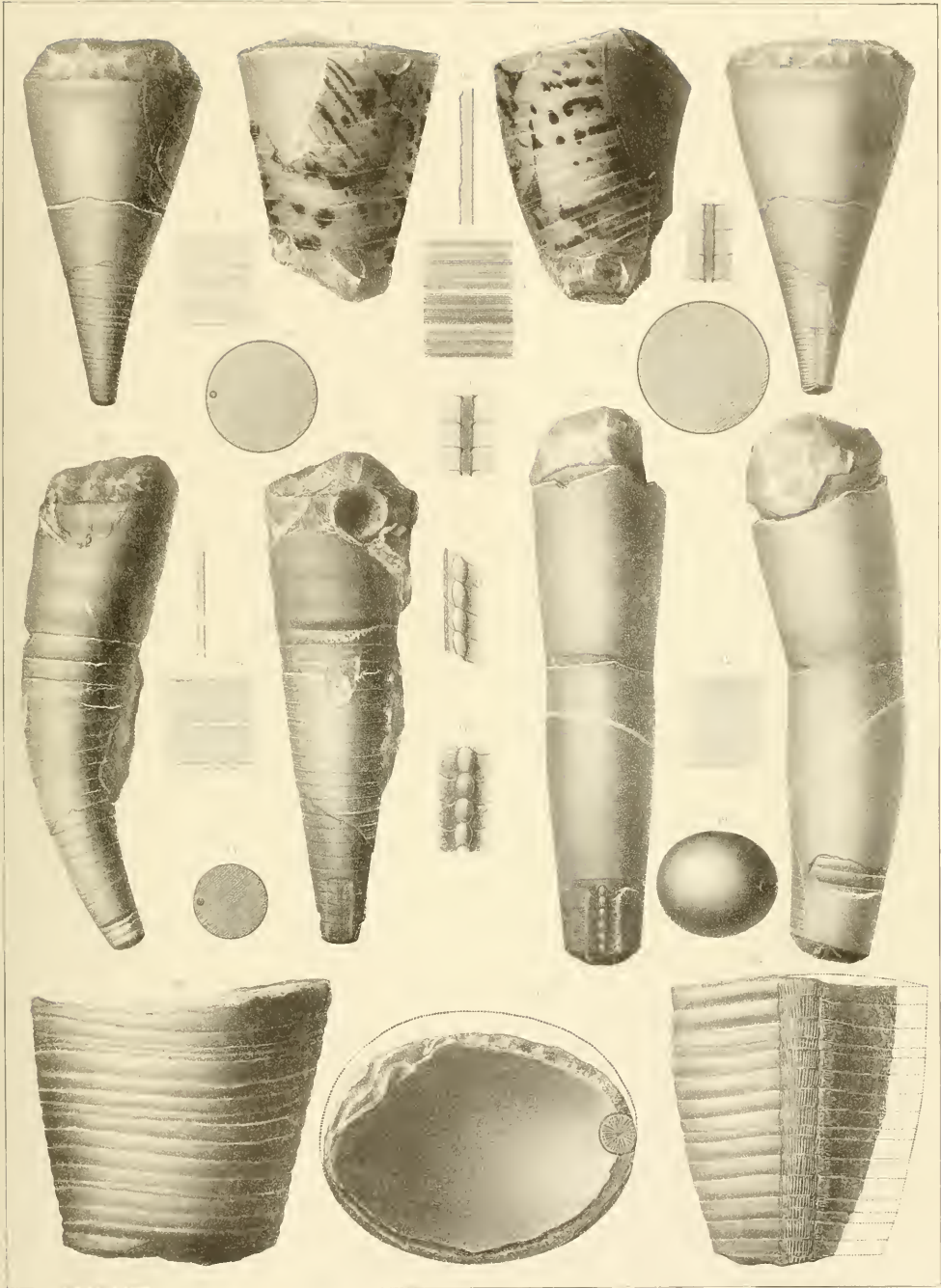






Fig. Etage. **Cyrtoceras constringens.** Barr. . . . E

1. Spécimen vu par la face latérale, montrant la grande chambre, la majeure partie des loges aériennes et du test. On distingue trois étranglements, régulièrement espacés, sur la partie cloisonnée. *Kozor's.*
2. *id.* vu par le côté convexe, montrant, au petit bout, le siphon mis à nu jusqu'à l'axe.
3. *id.* fragment du test, grossi, montrant les ornements et les étranglements.
4. *id.* section longitudinale du même fragment, montrant l'absence de toute imbrication.
5. *id.* cloison terminale, orientée comme la fig. 1.
6. *id.* deux éléments du siphon grossis, avec la trace des cloisons.

**Cyrtoceras rugatum.** Barr. . . . E

7. Spécimen vu par la face latérale, montrant la grande chambre, la majeure partie des loges aériennes et des fragments du test. *Kozor's.*
8. *id.* vu par le côté convexe, montrant, au petit bout, le siphon mis à nu jusqu'à l'axe, et une série de petits plis ou crénelures, à la base de la grande chambre.
9. *id.* cloison terminale, orientée comme la fig. 7.
10. *id.* deux éléments du siphon, grossis, avec la trace des cloisons.
11. *id.* fragment du test, fortement grossi, pour montrer ses ornements, dans lesquels les stries transverses prédominent sur les stries longitudinales.

**Cyrtoceras miserum.** Barr. . . . G-g 1

12. Spécimen incomplet, vu par la face latérale, montrant la base de la grande chambre et quelques loges aériennes. *Dvoretz.*
13. *id.* vu par le côté convexe.
14. *id.* cloison terminale. Siphon invisible.

Fig. Etage. **Cyrtoceras limosum.** Barr. . . . . E

15. Spécimen vu par la face latérale, montrant la grande chambre complète et une série de loges aériennes. Le test manque, mais on aperçoit sur le monté une série de lignes longitudinales prononcées, qui semblent indiquer la forme des ornements de cette espèce. La surface est en partie recouverte d'un petit Bryozoaire. *Dvoretz.*
16. *id.* vu par le côté concave, montrant les mêmes apparences.
17. *id.* section transverse, orientée comme la fig. 15. Le siphon est invisible.

**Cyrtoceras pugio.** Barr. . . . . F  
(voir Pl. 308.)

18. Spécimen vu par la face latérale, presque complètement recouverte de son test, de sorte qu'on ne peut apercevoir aucune cloison. *Lochkov.*
19. *id.* vu par le côté concave.
20. *id.* section transverse, orientée comme la fig. 18. Le siphon à peu près central est figuré sur un autre spécimen, Pl. 308.
21. *id.* section transverse au petit bout. Elle est circulaire et contraste avec la fig. 20.
22. *id.* fragment du test, grossi, montrant les ornements.
23. Fragment d'un autre spécimen, montrant le sommet de la coquille, sur lequel les anneaux disparaissent, et qui se termine par une pointe lisse et obtuse.

**Variet. juncea.** Barr. . . . . F

24. Spécimen vu par la face latérale, couverte de son test, sans aucune indication des cloisons.
25. *id.* vu par le côté concave, offrant la même apparence.
26. *id.* section transverse, ovulaire, orientée comme la fig. 24. Le siphon est invisible.
27. *id.* section transverse au petit bout. Elle est circulaire et contraste avec la fig. 26.
28. *id.* fragment du test, fortement grossi, montrant les ornements.

N. B. Cette variété se distingue par les ornements de son test.

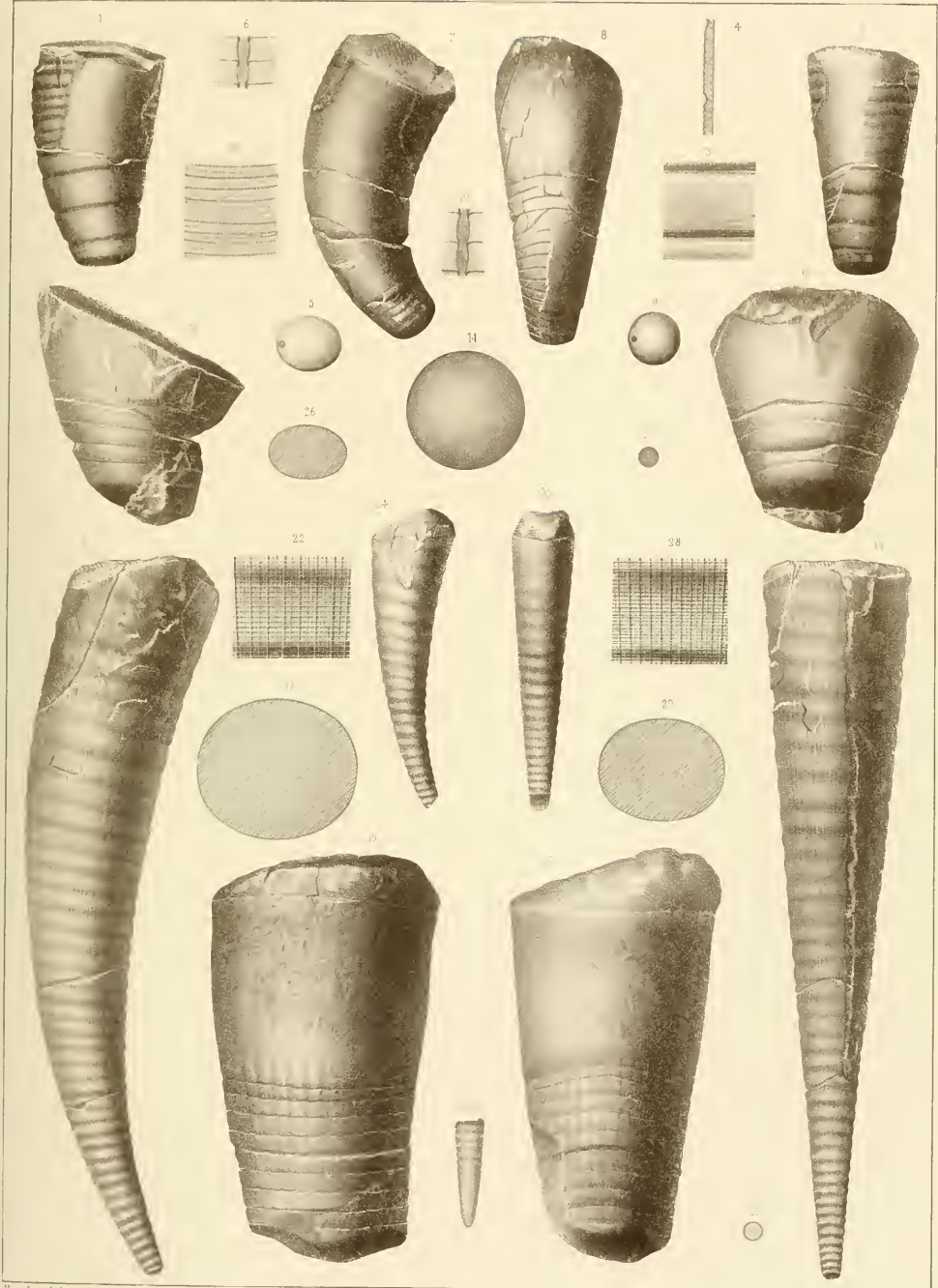




Fig. Etage. **Cyrtoceras clavulus.** Barr. . . . . E  
(voir Pl. 197.)

1. Spécimen vu par la face latérale, montrant le bord de l'ouverture, le moule interne de la grande chambre et d'une grande partie des loges aériennes, avec quelques fragments du test. *Butovitz.*
2. *id.* vu par le côté convexe, préparé de manière à montrer la section longitudinale d'une partie des éléments du siphon.
3. *id.* cloison terminale de la grande chambre, orientée comme la figure 1 et montrant la position du siphon.
4. *id.* trois éléments du siphon grossis, avec la trace des cloisons.

**Cyrtoceras perversum.** Barr. . . . . E  
(voir Pl. 147.)

5. Spécimen vu par la face latérale, montrant le bord de l'ouverture très distinct, la grande chambre, une série de loges aériennes et une partie du test. *Butovitz.*
6. *id.* vu par le côté concave, montrant des lignes longitudinales sur le moule interne.
7. *id.* vu par le côté convexe, montrant le sinus des stries au droit du siphon.
8. *id.* cloison orientée comme la figure 5 et montrant la position du siphon.

**Cyrtoceras cyclostomum.** Barr. . . . . E  
(voir Pl. 154.)

9. Spécimen vu par la face latérale, montrant le moule interne de la grande chambre et d'une série de loges aériennes avec quelques fragments du test. Ce spécimen ne montre pas la contraction habituelle de la grande chambre près de l'ouverture. *Butovitz.*
10. *id.* vu par le côté convexe, montrant quelques éléments du siphon mis à nu par une section longitudinale, et le sinus des stries au droit de cet organe.
11. *id.* cloison orientée comme la figure 9 et montrant la position du siphon.
12. *id.* trois éléments du siphon grossis, avec la trace des cloisons.

Fig. Etage. **Cyrtoceras obscurum.** Barr. . . . . E

13. Spécimen vu par la face latérale, montrant le bord de l'ouverture et le moule interne de la grande chambre, très prolongée, sans aucune trace des cloisons. *Butovitz.*
14. *id.* vu par le côté convexe, montrant les mêmes apparences.
15. *id.* section transverse circulaire, sans aucune trace du siphon.
16. *id.* fragment du moule interne grossi, pour montrer les stries creuses dont il est orné, et qu'on ne rencontre pas habituellement sur les *Cyrtoceras.*

**Cyrtoceras plebeium?** Barr. . . . . E  
(voir Pl. 109—208.)

17. Spécimen jeune, vu par la face latérale, montrant le bord de l'ouverture, le moule interne de la grande chambre et la série des loges aériennes, conservant son test. *Hinter-Kopanina.*
18. *id.* extrémité grossie pour montrer la calotte initiale à peu près lisse, tandis que des stries transverses très marquées apparaissent immédiatement au dessus.
19. *id.* calotte terminale grossie, montrant une cicatrice au centre, comme celle de diverses espèces figurées Pl. 147.

**Cyrtoceras relax?** Barr. . . . . E  
(voir Pl. 154—223—240—bis.)

20. Spécimen vu par la face latérale, montrant le bord de l'ouverture, la grande chambre, et la série des loges aériennes conservant son test, avec la calotte initiale. *Hinter-Kopanina.*
21. *id.* vu par le côté convexe.
22. *id.* cloison prise vers le milieu de la longueur et montrant la position marginale du siphon. Elle est orientée comme la fig. 20.
23. Autre spécimen paraissant appartenir à la même espèce, dont il représenterait le plus jeune âge. Il est vu par la face latérale montrant la grande chambre, les loges aériennes et une partie du test. *Butovitz.*
24. *id.* extrémité inférieure grossie pour montrer la calotte initiale et les stries transverses très marquées, dont elle est ornée, jusqu'à la région centrale.

Fig. 25. *id.* calotte initiale dont le sommet est endommagé et ne permet pas de distinguer la cicatrice.

**Cyrtocerus Panteri.** Barr. . . . . E

26. Spécimen vu par la face latérale, montrant le bord de l'ouverture, la grande chambre et une série de loges aériennes, qu'on ne peut distinguer à cause de la conservation du test. *Zmraztk.*

27. *id.* vu par le côté convexe, montrant les mêmes apparences.

28. *id.* section transverse, sans trace du siphon.

29. *id.* fragment de la surface, grossi, pour montrer ses ornements, figurant des mailles étroites et à peu près carrées.

30. *id.* fragment du moule interne grossi, pour montrer les stries creuses dont il est orné. Ce caractère très rare dans les *Cyrtoceras*, rapproche cette espèce de *Orthoc. dulce*, avec lequel elle montre la plus grande affinité, par toutes ses apparences, sauf le test.

**Cyrtocerus lepidum.** Barr. . . . . E  
(voir Pl. 168.)

31. Spécimen vu par la face latérale, montrant la base de la grande chambre, une série de loges aériennes et une partie du test. *Butoritz.*

32. *id.* cloison terminale montrant la position centrale du siphon.

33. *id.* fragment du test grossi, pour montrer ses ornements.

34. *id.* fragment du moule interne grossi, pour montrer les stries creuses qui ornent sa surface, caractère rare dans les *Cyrtoceras*.

**Cyrtocerus Angelini?** Barr. . . . . E  
(voir Pl. 145—200.)

35. Spécimen représentant la coquille au jeune âge. On distingue la grande chambre et la calotte initiale. Il est vu par la face latérale et il conserve son test orné de stries transverses et de stries longitudinales, souvent coexistantes vers la pointe des coquilles.

36. *id.* calotte initiale grossie, vue par le côté du siphon, dont le premier élément est mis à nu.

37. *id.* calotte initiale vue par le bout du fossile et montrant la trace du siphon.

**Trochocerus priscum?** Barr. . . . . E  
(voir Pl. 12—15—19—147.)

38. Jeune spécimen vu par la face latérale et conservant tout son test avec la pointe initiale. *Lochkor.*

39. *id.* vu par le côté convexe.

**Cyrtocerus Trilby.** Barr. . . . . E

40. Spécimen vu par la face latérale, montrant le bord de l'ouverture, la grande chambre, une série de loges aériennes et une partie du test. *Lochkor.*

41. *id.* vu par le côté convexe.

42. *id.* section transverse, sans trace du siphon.

43. *id.* fragment du test fortement grossi pour montrer ses ornements.

Fig. Lésions à la surface des loges aériennes dans diverses espèces.

**Cyrtocerus plebeium?** Barr. . . . . E  
(voir Pl. 109—208.)

44. Fragment représentant quelques loges aériennes vues par la face latérale.

45. *id.* vu par le côté convexe, montrant une profonde rainure qui longe le siphon. Dans une brisure vers le bas, on aperçoit un des éléments cylindroïdes de cet organe.

46. *id.* cloison terminale orientée comme la figure 44 et montrant la position de la rainure, à côté du siphon.

**Cyrtocerus Sinou?** Barr. . . . . E  
(voir Pl. 144.)

47. Spécimen vu par la face latérale, montrant la base de la grande chambre et une série de loges aériennes, dépourvues du test. Sur la surface des loges aériennes, on voit une bande longitudinale, d'environ 2mm. de largeur et qui se distingue par une teinte brune foncée. Au droit de cette bande, les affleurements de toutes les cloisons font un sinus brusque, dont le sommet est dirigé vers l'ouverture de la coquille. Cette bande ne présente d'ailleurs ni relief ni cavité. Sa largeur diminue sensiblement en allant vers le sommet des loges aériennes. *Kozors.*

48. *id.* cloison orientée comme la figure 47 et montrant la position du siphon. Nous avons indiqué sur le bord la place qu'occupe la bande brune.

49. *id.* quatre éléments du siphon, en grandeur naturelle, d'après une section faite sur le bord convexe du spécimen.

**Cyrtocerus elongatum.** Barr. . . . . E  
(voir Pl. 109—117—202—205—208.)

50. Spécimen vu par la face latérale, montrant la base de la grande chambre et une série de loges aériennes, avec quelques fragments du test. A peu de distance du bord convexe, on voit une rainure d'environ 2mm. de largeur sur un millimètre de profondeur, à travers laquelle se prolongent les affleurements des cloisons. De chaque côté de cette rainure, il existe quelques stries longitudinales, creuses, sur le moule interne des loges aériennes. *Lochkor.*

51. *id.* cloison orientée comme la figure 50 et montrant la position marginale du siphon. Nous avons indiqué sur le bord la position de la rainure.

52. *id.* 5 éléments du siphon de grandeur naturelle, observés dans une section faite sur le bord convexe du fossile.

53. Autre spécimen vu par la face latérale, montrant la grande chambre avec une série de loges aériennes et quelques fragments du test. Presque sur le bord convexe, on voit une rainure de 2mm. de largeur, et dont la profondeur s'efface peu à peu en remontant vers la grande chambre. Cette rainure est moins régulière que celle que nous venons d'indiquer sur l'exemplaire précédent. Elle est placée de manière à toucher presque le siphon par l'un de ses bords. *Lochkor.*

54. *id.* vu par le côté convexe.

55. *id.* cloison terminale, orientée comme la figure 53, et montrant la position de la rainure près du siphon.

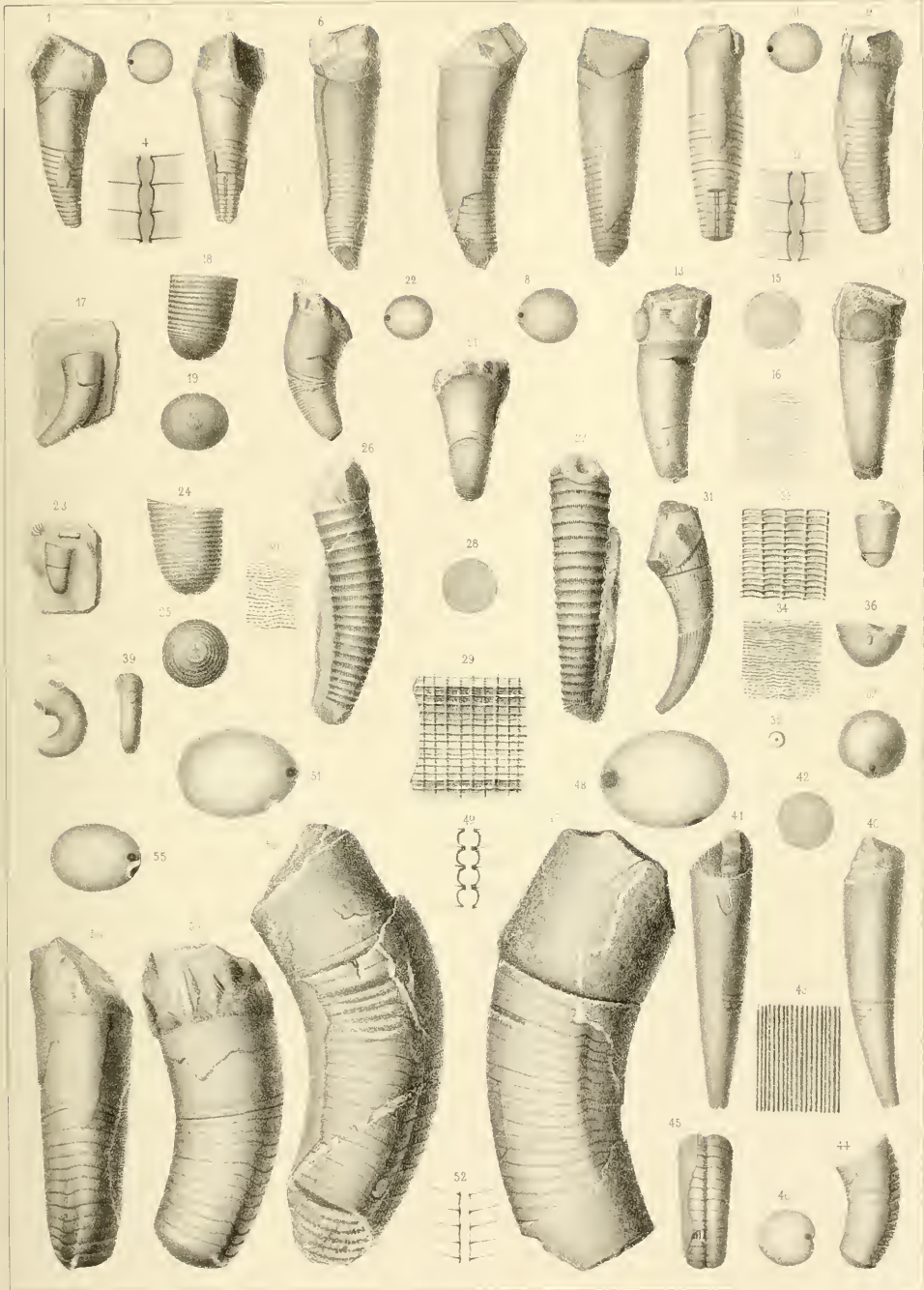






Fig.

Etage.

**Cyrtoceras ambiguum.** Barr. . . . . E  
(voir Pl. 203.)

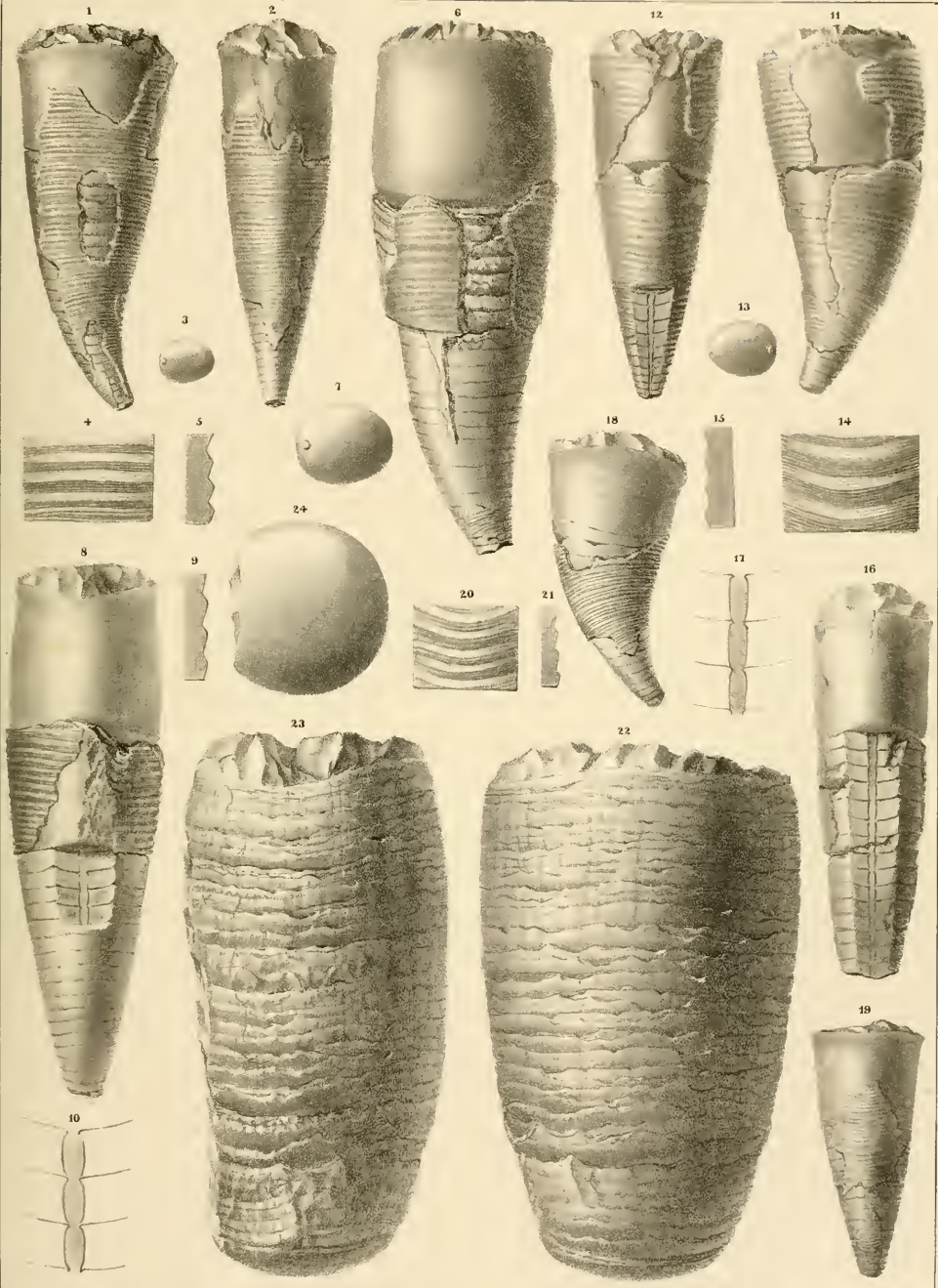
1. Spécimen presque complet, vu par la face latérale, montrant le bord de l'ouverture, la grande chambre et presque toutes les loges aériennes, avec une grande partie du test. La courbure ne se montre que vers la pointe de la coquille. *Butovitz*.
2. *id.* vu par le côté concave, montrant les mêmes apparences. Les ornements ne présentent aucun sinus et sont horizontaux.
3. *id.* cloison vue par la face convexe et orientée comme la fig. 1.
4. *id.* fragment du test grossi pour montrer ses ornements.
5. *id.* section longitudinale du test montrant l'absence d'imbrication sur la surface.
6. Autre spécimen plus développé, vu par la face latérale montrant le moule complet de la grande chambre et la presque totalité des loges aériennes, conservant une partie du test. *Lochkov*.
7. *id.* cloison orientée comme la fig. 6 et montrant la position du siphon.
8. *id.* vu par le côté convexe ou ventral, montrant une partie du siphon mis à nu par une section longitudinale.
9. *id.* section grossie d'un fragment du test, montrant la tendance des ornements à l'imbrication directe.
10. *id.* trois éléments du siphon grossis, avec la trace des cloisons.
11. Autre spécimen relativement plus large que les précédents. Il est vu par la face latérale, montrant la coquille presque complète, sauf quelques fragments du test. *Viskočilka*.
12. *id.* vu par le côté convexe, montrant le siphon en partie mis à nu par une section longitudinale, et le sinus correspondant des ornements.
13. *id.* cloison orientée comme la fig. 11.
14. *id.* fragment du test grossi pour montrer ses ornements, au droit du sinus.
15. *id.* section longitudinale du test, montrant la forme arrondie des plis ou anneaux, contrastant avec leur profil angulaire sur les fig. 5—9.
16. Autre spécimen vu par le côté convexe, montrant le siphon mis à nu par une section longitudinale. *Lochkov*.
17. *id.* 3 éléments du siphon grossis avec la trace des cloisons.
18. Jeune individu, vu par la face latérale, montrant la coquille presque complète, sauf une partie du test. *Kozors*.
19. Autre spécimen plus jeune, vu par le côté convexe, montrant le faible sinus des ornements au droit du siphon. *Lochkov*.
20. *id.* fragment du test grossi, montrant le sinus des ornements.
21. *id.* section longitudinale du test, montrant l'imbrication directe des plis.

Fig.

Etage.

**Cyrtoceras grande.** Barr. . . . . E

22. Spécimen vu par le côté convexe, dépouillé du test et montrant une longue série de loges aériennes, dont la surface est sillonnée par des lignes creuses, longitudinales. *Lochkov*.
23. *id.* vu par la face latérale, montrant les mêmes apparences. Le côté concave est endommagé par la décomposition.
24. *id.* cloison terminale, orientée comme la fig. 23. Le siphon invisible se trouvait sans doute contre le bord endommagé.





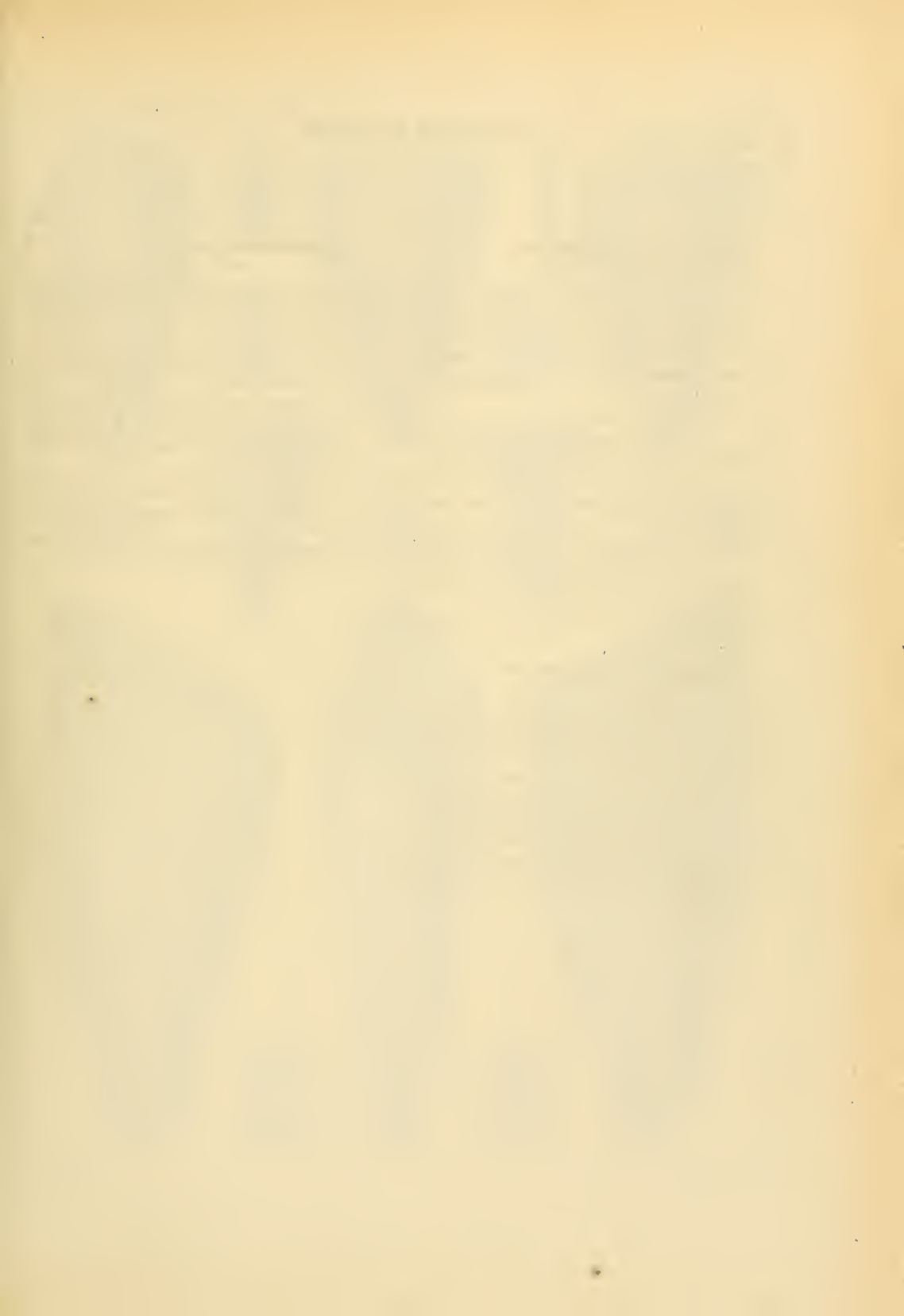


Fig.

**Cyrtoceras insociate.** Barr. . . . . E  
(voir Pl. 148—166.)

1. Spécimen vu par la face latérale. Il montre la grande chambre presque complète et la majeure partie des loges aériennes, avec des fragments du test. On voit le profil du siphon mis à nu et en relief. *Lockkov.*
2. *id.* vu par le côté rectiligne ou ventral, montrant une faible échancrure au bord de l'ouverture. Le siphon est mis à nu et en relief, dans toute l'étendue des loges aériennes.
3. *id.* section transverse orientée comme la fig. 1.
4. *id.* 4 éléments du siphon grossis, avec la trace des cloisons. Ils sont vus de face comme dans la fig. 2.
5. *id.* les mêmes éléments vus de profil, pour montrer leur imbrication.
6. *id.* fragment du test, fortement grossi, pour montrer ses ornements.
7. Autre spécimen, vu par le côté rectiligne ou ventral. Il montre la grande chambre, à peu près complète et la majeure partie des loges aériennes. La surface de celles-ci a été usée de manière à exposer la section longitudinale du siphon. *Lockkov.*
8. *id.* 4 éléments du siphon, grossis, avec la trace des cloisons.

**Orthoceras robustum.** Barr. . . . . E  
(voir Pl. 187—188—193.)

9. Spécimen vu de profil et montrant une très faible courbure. On voit la grande chambre un peu endommagée et la majeure partie des loges aériennes, recouvertes de leur test. *Lockkov.*
10. *id.* vu par le côté rectiligne ou ventral. On aperçoit la trace du siphon, à la base de la grande chambre et le sinus très faible des stries, qui lui correspond.
11. *id.* cloison terminale de la grande chambre, orientée comme la fig. 9 et montrant la position du siphon.
12. *id.* fragment du test, fortement grossi, pour montrer ses ornements, qu'on distingue à peine, sans le secours de la loupe.

Etage. Fig

**Cyrtoceras secans.** Barr. . . . . E  
(voir Pl. 181.)

13. Spécimen vu par la face latérale. Il montre une grande partie de la chambre d'habitation et des loges aériennes. Il conserve une portion du test, avec ses ornements. *Hinter-Kopaniaa.*
14. *id.* vu par la face latérale opposée, montrant une série de cloisons, avec les impressions longitudinales, qui ornent le moule interne.
15. *id.* vu par le côté rectiligne ou ventral. Il montre la convexité du bord des cloisons sur la ligne médiane. Le siphon a été mis à nu par une section longitudinale, parallèle à l'axe, sur la longueur de quelques loges aériennes.
16. *id.* section transverse, près du petit bout. Elle est orientée comme la fig. 14 et montre la position du siphon.
17. *id.* 3 éléments du siphon, grossis, avec la trace des cloisons.
18. *id.* fragment du test grossi, pour montrer ses ornements, qui sont un peu irréguliers.

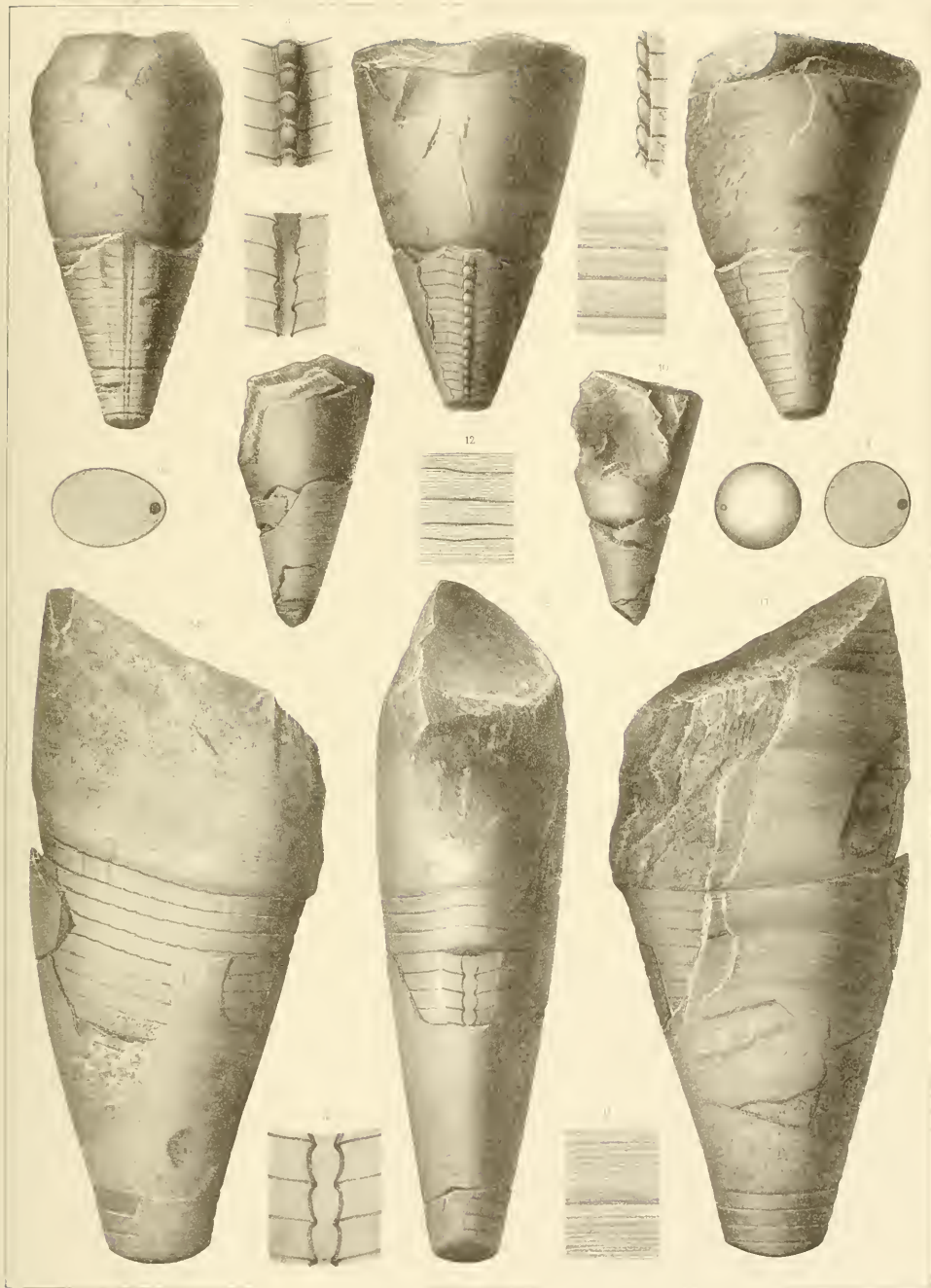






Fig.

**Cyrtoceras quasi-rectum.** Barr. . . E  
(voir Pl. 146—163—223.)

1. Spécimen vu par la face latérale. Il montre la moitié inférieure de la grande chambre et la majeure partie des loges aériennes, avec les impressions longitudinales qui ornent le moule interne. On voit aussi quelques fragments du test. *Dianka Hora.*
2. *id.* vu par le côté rectiligne ou ventral. Il montre le siphon mis à nu, dans une section longitudinale, normale au plan médian.
3. *id.* 3 éléments du siphon grossis, avec la trace des cloisons.
4. *id.* cloison terminale vue par la face convexe. Elle est orientée comme la fig. 1 et montre la position du siphon.
5. Autre spécimen vu par le côté rectiligne ou ventral. Il montre la grande chambre avec le bord de l'ouverture et la majeure partie des loges aériennes. Le siphon a été mis à nu et en relief dans toute la longueur du morceau. *Dianka Hora.*
6. *id.* 3 éléments du siphon grossis, avec la trace des cloisons et vus de face comme dans la fig. 5.
7. *id.* les mêmes éléments vus de profil et montrant leur imbrication.
8. Autre spécimen, présentant une série de loges aériennes. Section longitudinale par le plan médian, montrant le siphon bien conservé dans toute la longueur, tandis que la plupart des cloisons sont détruites. On reconnaît cependant la position de chacune d'elles, par des fragments attachés, soit aux parois de la coquille, soit au siphon. *Dianka Hora.*
9. Autre spécimen, représentant une série de loges aériennes, appartenant à un des individus les plus développés que nous connaissons. Section longitudinale par le plan médian, montrant le siphon et les cloisons presque intégralement conservés. *Lochkov.*

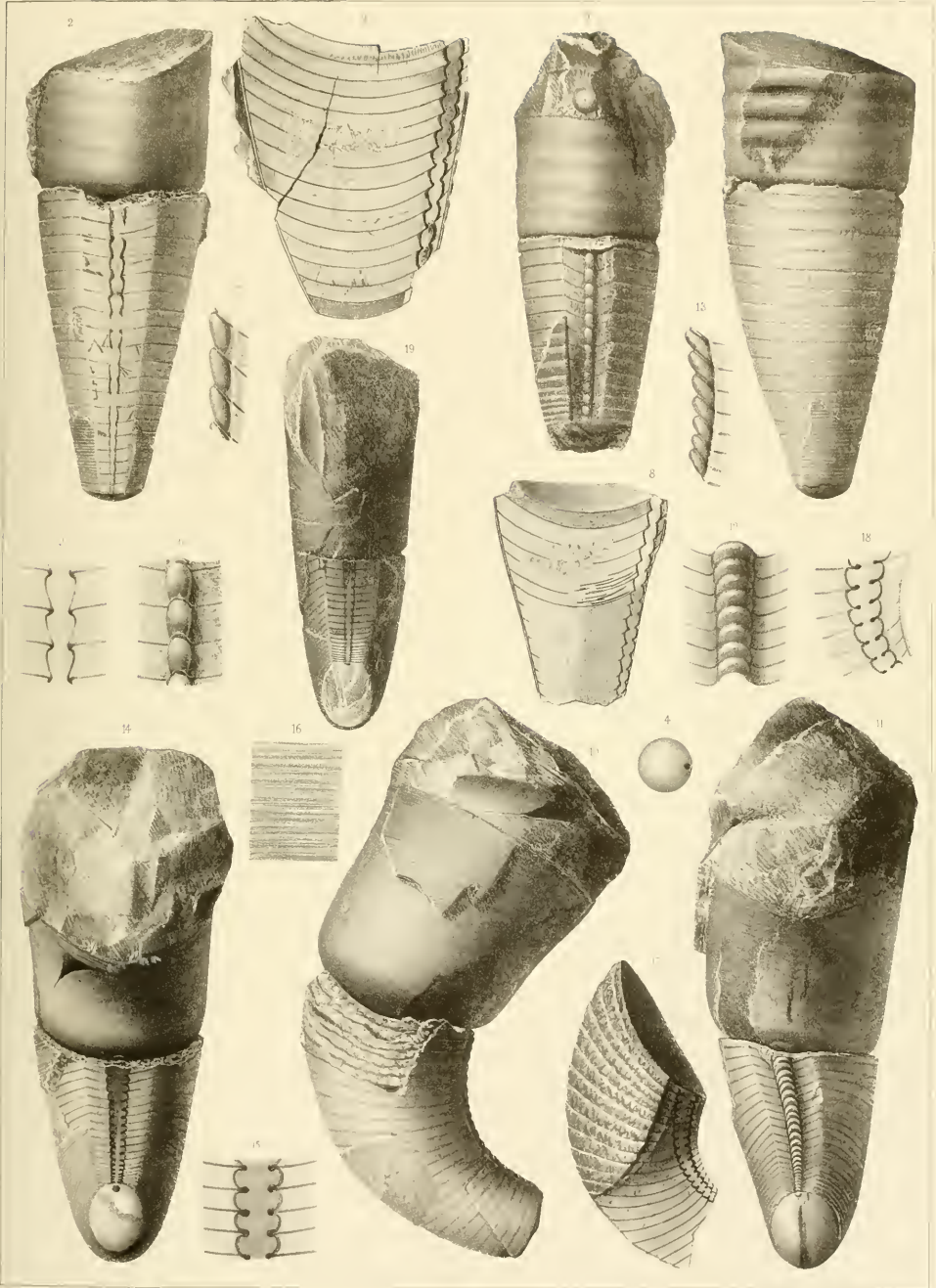
Etage.

Fig.

**Cyrtoceras Murchisoni.** Barr. . . E  
(voir Pl. 148—165—176—200.)

Etage.

10. Spécimen vu par la face latérale. Il montre la grande chambre avec le bord de l'ouverture, la majeure partie des loges aériennes et quelques fragments du test. On voit le profil du siphon qui a été mis à nu. *Lochkov.*
11. *id.* vu par le côté concave ou ventral. On remarquera que ce spécimen présente un défaut notable de symétrie. Ce défaut paraît avoir existé du vivant de l'animal, car toutes les cloisons paraissent parfaitement conservées. Le siphon a été mis à nu et en relief dans toute la longueur du morceau.
12. *id.* quelques éléments du siphon grossis et vus de face, comme dans la figure 11.
13. *id.* les mêmes éléments du siphon vus de profil.
14. Autre spécimen vu par le côté concave ou ventral. Il est fort incliné vers l'avant, de sorte que la grande chambre paraît très raccourcie. On voit le siphon mis à nu par une section longitudinale, normale au plan médian. *Viskočilka.*
15. *id.* 4 éléments du siphon grossis avec la trace des cloisons.
16. *id.* fragment du test grossi, montrant ses ornements.
17. Autre spécimen représentant une série de loges aériennes. Ce fragment est usé partiellement, de manière à montrer la section longitudinale du siphon, suivant le plan médian.
18. *id.* quelques éléments du siphon grossis, avec la trace des cloisons.
19. Autre spécimen vu par le côté concave ou ventral. Il montre la grande chambre et la majeure partie des loges aériennes. On voit le siphon mis à nu suivant une section longitudinale, normale au plan médian. *Kožov.*



Humbert lith

Imp Lemercier r.de Seine 5- Paris





- | Fig | Etage  | Fig | Etage  |
|-----|--|-----|--|
|     | <b>Cyrtoceras forte.</b> Barr. . . . . E   |     |  |
|     | (voir Pl. 174—176.)  |     |  |
| 1.  | Spécimen presque adulte, vu par la face latérale. Il montre la grande chambre complète et presque toutes les loges aériennes, avec quelques fragments du test. <i>Lochkov.</i>   | 7.  | <i>id.</i> spécimen vu par le côté concave. Le bord a été usé, de manière à montrer le siphon, par une section longitudinale, suivant l'axe. La section transverse de ce spécimen est presque circulaire. <i>Kozovs.</i>       |
| 2.  | <i>id.</i> section transverse, au bas de la grande chambre. Elle est orientée comme la figure 1 et montre la place du siphon.  | 8.  | <i>id.</i> autre spécimen d'âge moyen, vu par la face latérale. Il montre le bord intact de l'ouverture, la grande chambre recouverte de son test, les loges aériennes avec les impressions longitudinales &c. <i>Lochkov.</i> |
| 3.  | <i>id.</i> autre spécimen moins développé, vu par le côté concave. Il montre la grande chambre, une grande partie des loges aériennes, l'échancrure du bord de l'ouverture, le sinus des ornements au droit du siphon et les impressions longitudinales sur le moule &c. <i>Lochkov.</i> | 9.  | <i>id.</i> section transverse, sub circulaire, montrant la position du siphon, et orientée comme la fig. 8.  |
| 4.  | <i>id.</i> vu par le côté convexe, montrant l'échancrure largement arrondie du bord de l'ouverture et l'inflexion correspondante des stries, beaucoup plus large que le sinus sur le bord opposé.  | 10. | <i>id.</i> autre spécimen plus jeune, vu par le côté concave. Il montre la grande chambre et les loges aériennes, avec des fragments du test. Il a été préparé de manière à exposer le siphon en relief. <i>Lochkov.</i>       |
| 5.  | <i>id.</i> vu par la face latérale, montrant l'obliquité des ornements et les crénelures au bas de la grande chambre.  | 11. | <i>id.</i> trois éléments du siphon, grossis, et dans la même position que sur la figure 10. On voit leur imbrication.   |
| 6.  | <i>id.</i> cloison terminale, orientée comme la fig. 5. Sa forme est circulaire et elle montre la position du siphon.  | 12. | <i>id.</i> les mêmes éléments, vus de profil. Le bord concave du fossile est indiqué à gauche.   |
|     |  | 13. | <i>id.</i> fragment du test, fortement grossi, pour montrer les ornements un peu irréguliers de sa surface.  |
|     |  | 14. | <i>id.</i> section longitudinale de ce fragment, montrant l'imbrication directe des stries.  |

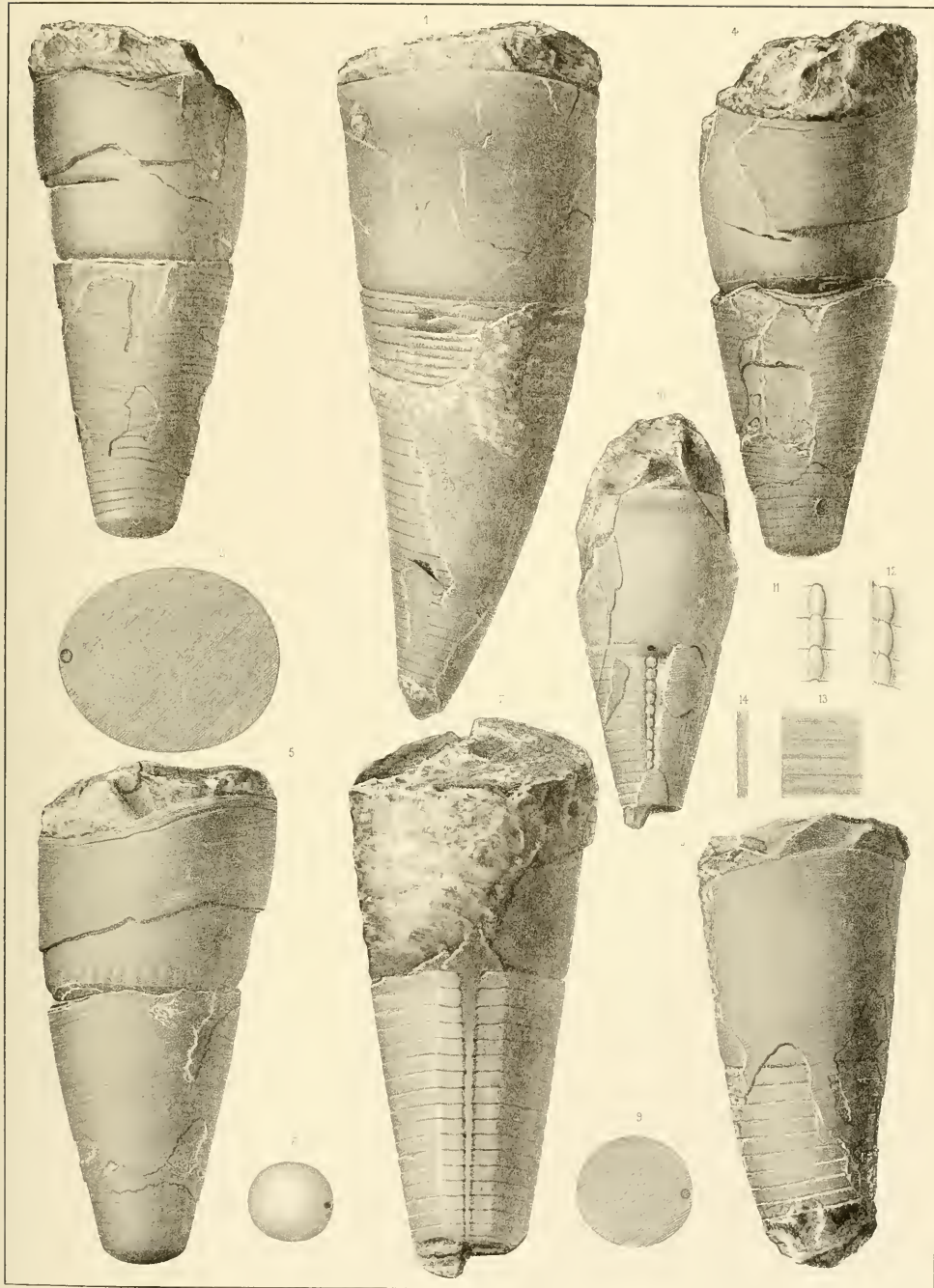






Fig.

Etage.

**Cyrtoceras indomitum.** Barr. . . . E

1. Spécimen adulte, vu par la face latérale. Il montre la grande chambre, avec le bord de l'ouverture et la plus grande partie des loges aériennes. Le test couvre presque toute la surface. *Lochkov.*
2. *id.* vu par le côté concave, montrant le sinus prononcé que forment les stries.
3. *id.* vu par le côté convexe, montrant la direction presque horizontale des stries.
4. *id.* cloison terminale de la chambre d'habitation. Le siphon rempli de lamelles rayonnantes est placé contre le centre, dans cet individu adulte.
5. *id.* section longitudinale de la partie cloisonnée. Elle montre la direction du siphon, qui se rapproche graduellement du centre, et dont les trois éléments les plus élevés sont beaucoup plus dilatés que les autres.
6. Autre spécimen d'âge moyen, vu par le côté concave. Il montre la grande chambre presque complète, la majeure partie des loges aériennes et le sinus des stries. *Lochkov.*

Fig.

Etage.

7. *id.* vu par la face latérale, recouverte par le test.
8. *id.* cloison à la base de la grande chambre, montrant le siphon très rapproché du centre.
9. Autre spécimen plus jeune, vu par la face latérale, montrant la grande chambre et une partie des loges aériennes. *Lochkov.*
10. *id.* cloison à la base de la grande chambre. Elle montre le siphon à mi-distance entre le centre et le bord concave.
11. Autre spécimen vu par la face latérale. On distingue la grande chambre et les loges aériennes. *Lochkov.*
12. *id.* cloison à la base de la grande chambre. Elle montre le siphon, à peu-près à mi-distance entre le centre et le bord concave.
13. Spécimen douteux, paraissant appartenir à la même espèce. Moule interne dépourvu du test et ne permettant pas de voir le siphon. *Lochkov.*
14. *id.* vu par le côté convexe, montrant les affleurements des cloisons.

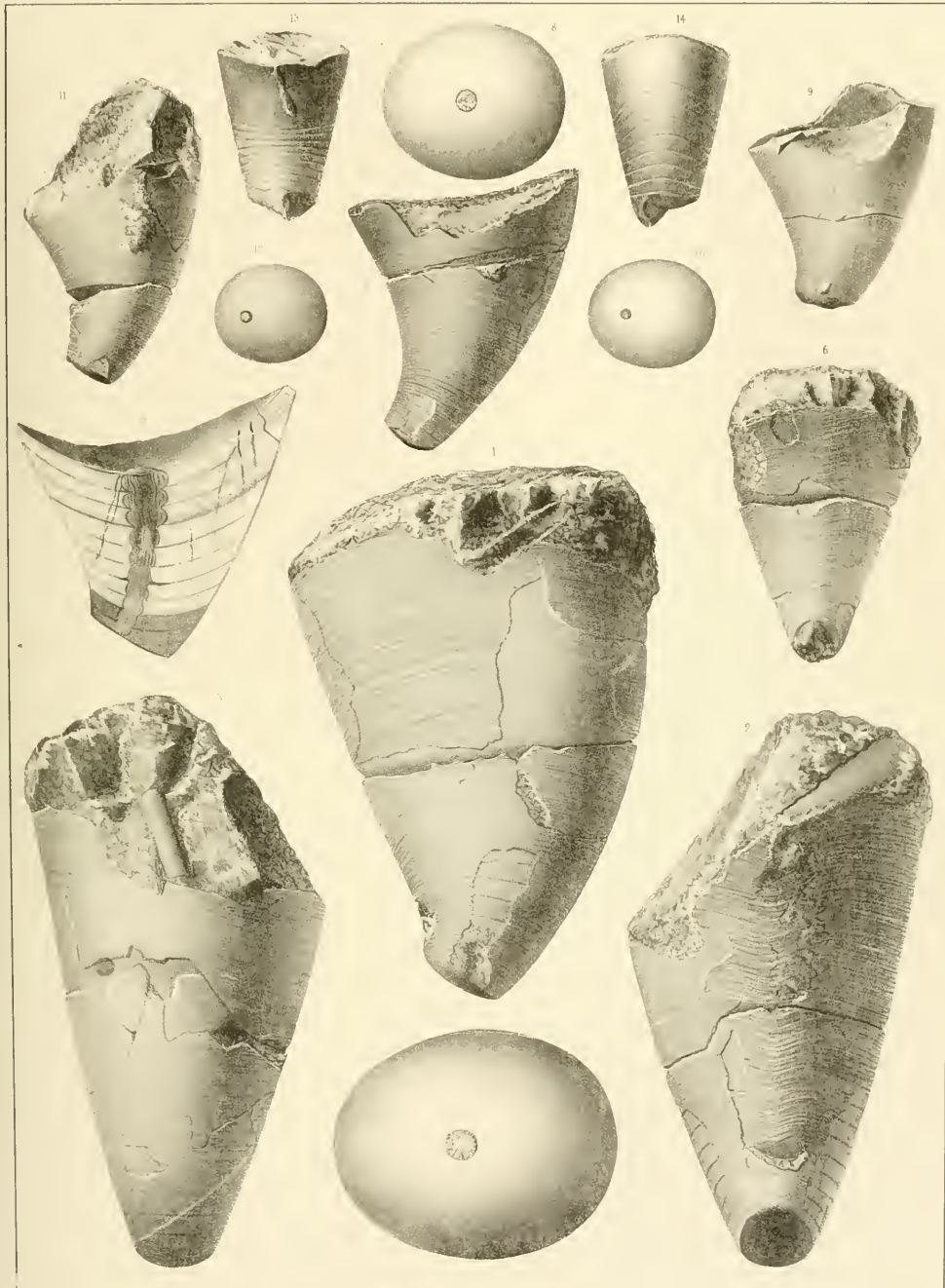






Fig.

Etage.

**Cyrtoceras quasi-rectum.** Barr. . . E

(voir Pl. 146—160—223.)

1. Spécimen d'âge moyen, vu par la face latérale. Il montre la grande chambre, avec le bord intact de l'ouverture. La partie cloisonnée est presque entière, avec une partie du test. *Kozorž.*
2. *id.* vu par le côté concave, montrant l'échancrure du bord de l'ouverture et le sinus correspondant des ornements, au droit du siphon.
3. *id.* cloison prise vers le milieu de la partie cloisonnée, montrant la position du siphon, et orientée comme la fig. 1.
4. Spécimen adulte, vu par le côté concave. Il montre la grande chambre avec le bord intact de l'ouverture; la majeure partie des loges aériennes, une grande portion du test, avec le sinus des ornements, au droit du siphon. *Dlauha Hora.*
5. *id.* vu par la face latérale.
6. *id.* vu par le côté convexe.

Fig.

Etage.

7. *id.* cloison terminale du spécimen, montrant la position du siphon et orientée comme la fig. 5.
8. Autre spécimen adulte, vu par le côté concave. La grande chambre manque. Les cloisons supérieures sont très rapprochées. Une partie de ce morceau a été préparée, de manière à montrer le siphon en relief. *Ravin entre Smichov et Stichov, près Prague.*
9. *id.* fragment du test grossi, montrant les ornements.
10. *id.* profil de ce fragment, montrant la forme des plis, et leur imbrication directe.
11. Autre spécimen, vu par la face latérale. C'est un fragment de nature douteuse, parce que ses ornements ont moins de relief et que sa section transverse est circulaire. *Lochkov.*
12. *id.* section transverse, montrant la position du siphon et orientée comme la fig. 11.
13. *id.* vu par le côté convexe, montrant l'inflexion des stries.

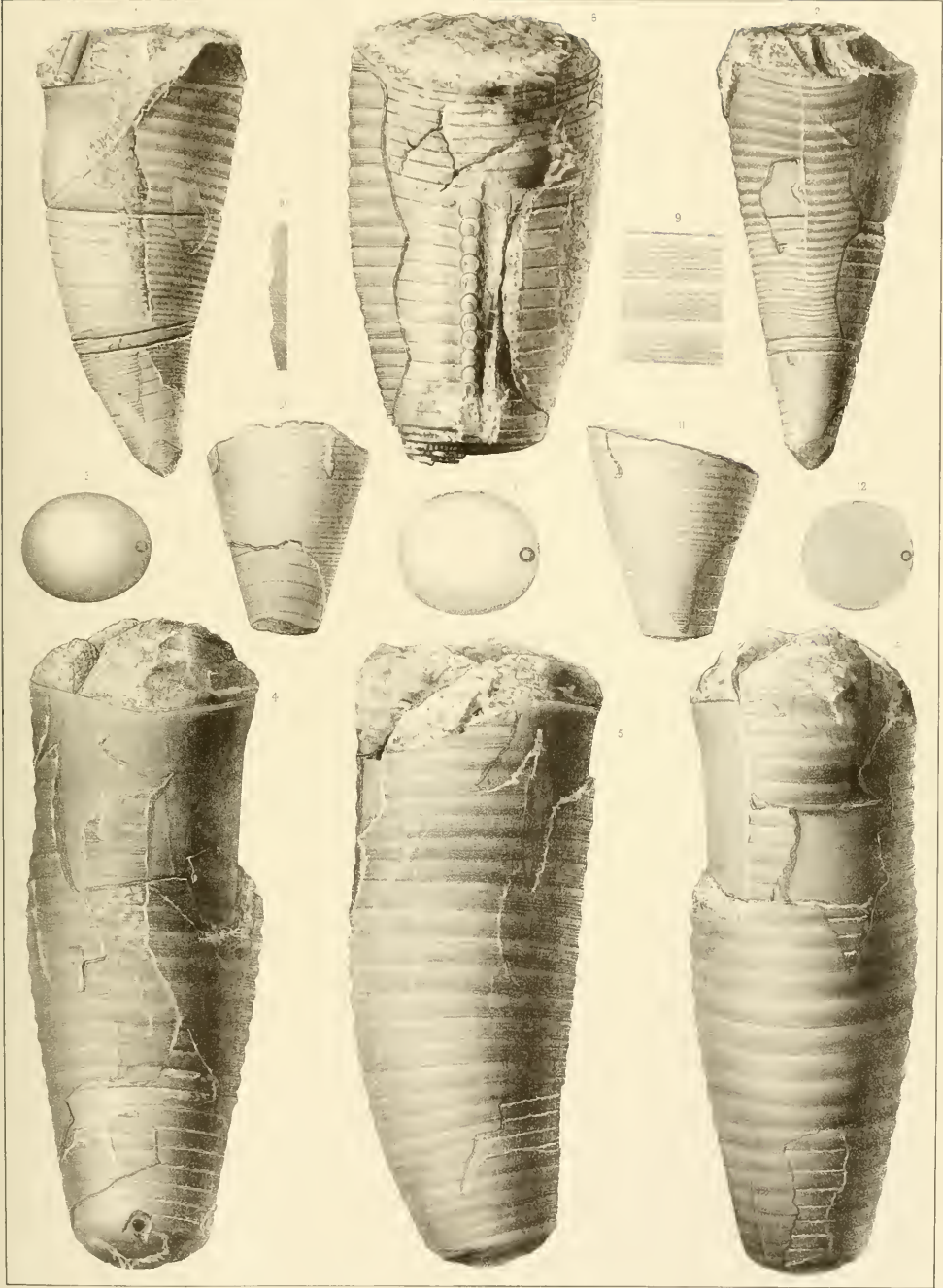






Fig.

Etage.

Fig.

Etage.

**Orthoceras calamoides.** Barr. . . . . E

1. Spécimen vu par la face latérale. Il montre la grande chambre presque complète, une série de loges aériennes et une grande partie du test. *Lochkov.*
2. *id.* vu par le côté convexe.
3. *id.* vu par le côté concave, montrant le bord de l'ouverture.
4. *id.* cloison terminale montrant la position du siphon et orientée comme la fig. 1.

**Cyrtoceras rebelle.** Barr. . . . . E

5. Spécimen incomplet, vu par la face latérale. Il montre la base de la grande chambre et la majeure partie des loges aériennes. On aperçoit le siphon, vers l'extrémité inférieure, par suite d'une section. *Bubovitz.*
6. *id.* section transverse, au dessous de la grande chambre. Elle est orientée comme la fig. 5 et montre la place du siphon au droit de la loge aérienne la plus élevée.
7. *id.* section longitudinale suivant le plan médian. Elle montre la position et la forme du siphon, qui varient à la fois dans la longueur du fossile.
8. *id.* cloison terminale orientée comme la fig. 7 et montrant la position du siphon.
9. *id.* les trois éléments du siphon au dessus du dernier, grossis pour montrer la forme du dépôt organique. La section des anneaux obstrucleurs est indiquée par les surfaces dont la teinte est foncée.
10. Fragment de la même espèce, représentant la grande chambre isolée et vue par le côté convexe. On voit au bas une rainure prononcée. *Bubovitz.*
11. *id.* vu par la face latérale, montrant le bord de l'ouverture.
12. *id.* cloison terminale, orientée comme la fig. 11 et montrant la trace du siphon.

**Cyrtoceras pulchellum.** Barr. . . . . E

13. Fragment représentant la grande chambre isolée et conservant une partie de son test. *Konieprus.*
14. *id.* cloison terminale, montrant la position du siphon.
15. *id.* Le même fragment vu par le côté convexe.
16. Autre fragment montrant la grande chambre incomplète. *Konieprus.*
17. *id.* cloison terminale avec l'indication du siphon.
18. Partie cloisonnée d'un autre individu, dépouillée du test. *Konieprus.*
19. *id.* cloison la plus élevée, montrant le siphon légèrement excentrique.

**Cyrtoceras simulans.** Barr. . . . . E

20. Spécimen vu par la face latérale. Il montre la grande chambre complète, quelques loges aériennes et une partie du test. *Hinter-Kopaniua.*
21. *id.* vu par le côté concave, montrant le sinus des stries au droit du siphon.
22. *id.* vu par le côté convexe, montrant une inflexion des stries, largement arrondie.
23. *id.* cloison terminale de la grande chambre, montrant la position du siphon. Elle est orientée comme la fig. 20.

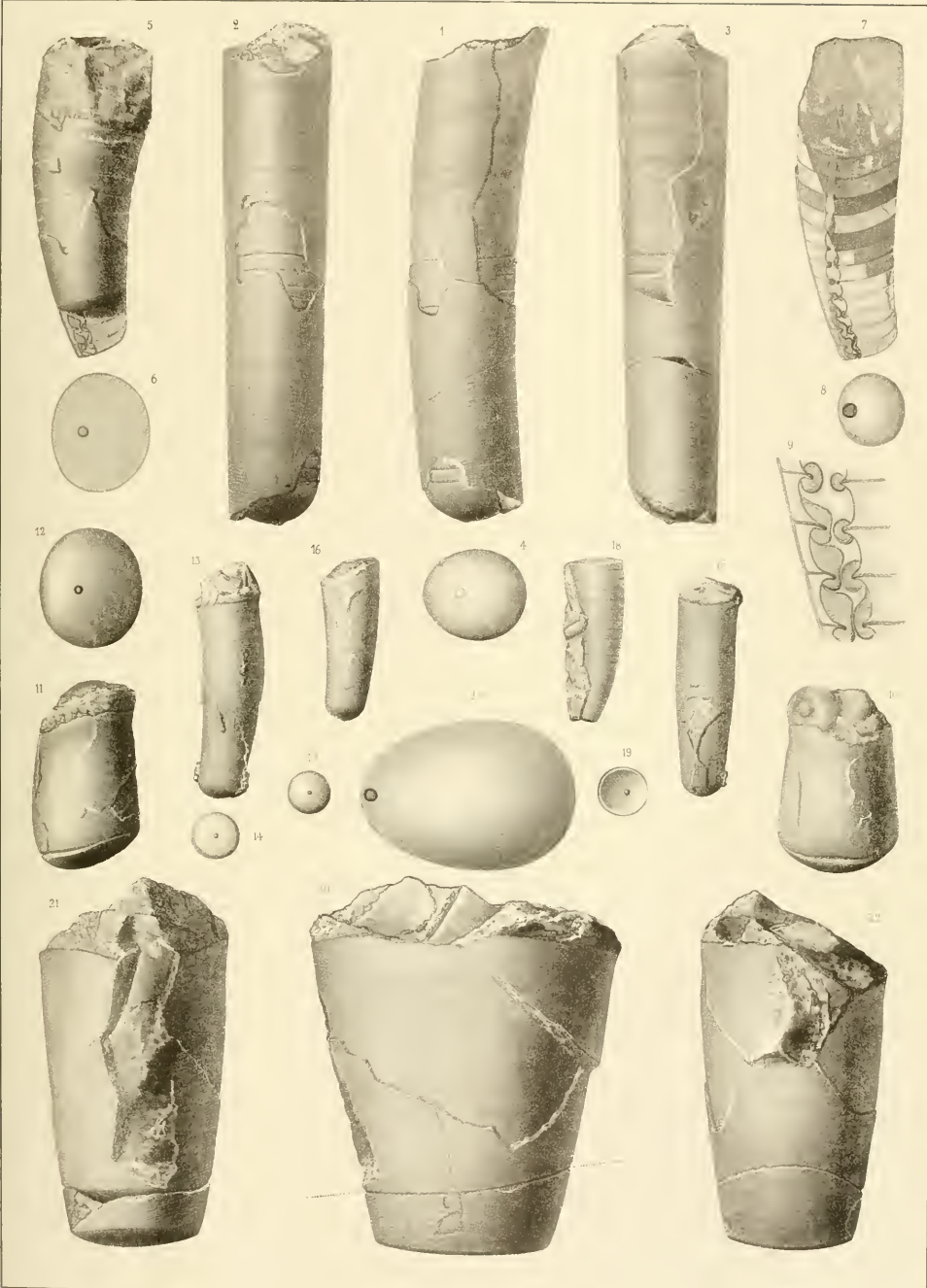






Fig.

Etage.

**Cyrtoceras neutrum.** Barr. . . . . E

(voir Pl. 200.)

1. Spécimen vu par la face latérale, montrant le bord intact de l'ouverture. La coquille étant recouverte de son test, on ne distingue ni la limite de la grande chambre, ni les loges aériennes. *Lochkov.*
2. *id.* vu par le côté convexe, montrant la grande chambre et quelques loges aériennes, dans les lacunes du test.
3. *id.* vu par le côté concave, montrant la position du siphon contre le bord et le sinus correspondant des stries.
4. Autre spécimen, vu par la face latérale. Il montre le moule de la grande chambre complet, mais dépouillé du test sur cette face; les loges aériennes, une partie du test &c. *Kozořz.*
5. *id.* cloison montrant le siphon. Elle est orientée comme la fig. 1.
6. Autre spécimen. Section longitudinale, montrant la grande chambre, une partie des loges aériennes et le siphon. *Hinter-Kopauina.*
7. *id.* trois éléments du siphon grossis, avec la trace des cloisons.

**Cyrtoceras Murchisoni.** Barr. . . . . E

(voir Pl. 148—160—176—200.)

8. Jeune spécimen vu par le côté convexe, montrant l'inflexion arrondie des stries. La grande chambre est complète. *Dlauha Hora.*
9. *id.* vu par la face latérale, presque entièrement couverte de son test, excepté vers le petit bout, qui montre quelques loges aériennes.
10. *id.* section transverse vers l'extrémité et orientée comme la fig. 9.
11. Autre spécimen presque complet, vu par la face latérale. Il est un peu moins large que le précédent. La grande chambre est entière, mais dépouillée du test. *Dlauha Hora.*
12. *id.* section transverse, orientée comme la fig. 11.
13. *id.* vu par le côté concave et montrant le sinus des stries, au droit du siphon, visible au petit bout.
14. Spécimen à peu près complet, vu par la face latérale. Il montre le bord de l'ouverture, la grande chambre, les loges aériennes, le test &c. *Dlauha Hora.*
15. *id.* vu par le côté convexe, montrant l'inflexion arrondie des stries.
16. Autre spécimen, vu par le côté concave, montrant le sinus plus prononcé des stries, au droit du siphon visible au petit bout. *Dlauha Hora.*
17. *id.* cloison terminale, indiquant la position du siphon, et orientée comme la fig. 14.
18. *id.* section longitudinale du test, montrant l'imbrication directe des stries, un peu grossies.
19. Autre spécimen, un peu moins arqué. Section longitudinale, montrant la grande chambre, le siphon et une partie des cloisons qui persiste, tandis que l'autre partie est détruite. *Lochkov.*
20. *id.* trois éléments du siphon, grossis, avec la trace des cloisons.

Fig.

Etage.

**Cyrtoceras Beaumonti.** Barr. . . . . E

21. Spécimen presque complet, vu par la face latérale. Un filon horizontal de calcaire spathique traverse la base de la grande chambre. On voit le bout arrondi c. à d. la calotte initiale de la coquille, toutes les loges aériennes et une partie du test. *Kozořz.*
22. Autre spécimen, vu par le côté convexe, montrant l'inflexion arrondie des stries. *Lochkov.*
23. *id.* cloison vers le milieu de la partie inférieure, orientée comme la fig. 21.
24. *id.* vu par le côté concave, montrant le sinus prononcé des stries au droit du siphon, visible au petit bout.
25. Autre spécimen. Section longitudinale, montrant la grande chambre, la partie cloisonnée et le siphon. *Kozořz.*
26. *id.* quatre éléments du siphon, grossis, montrant la disposition particulière des lamelles du dépôt organique, par lequel leur cavité intérieure est obstruée.

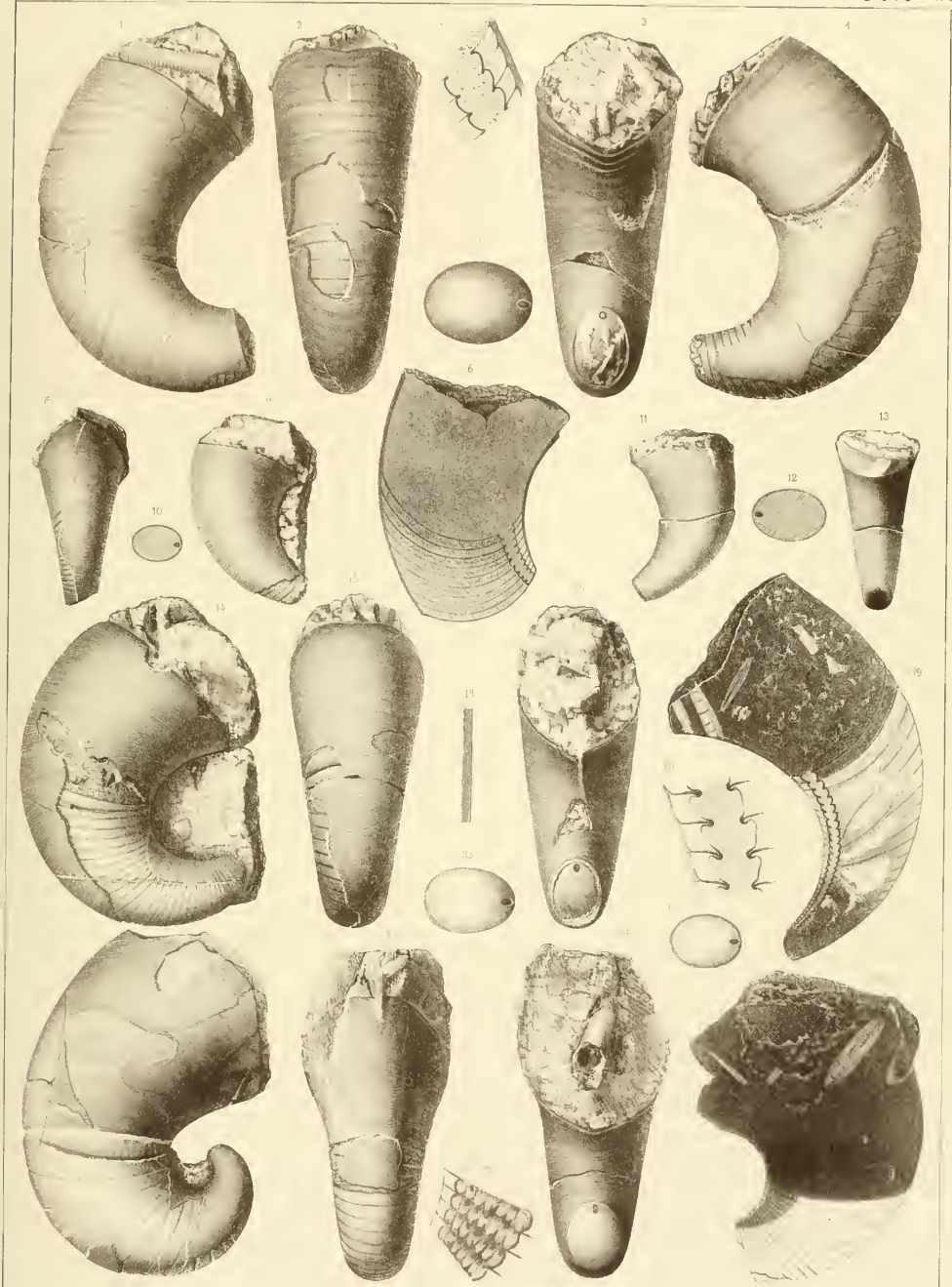






Fig.

Etage.

**Cyrtoceras esuriens.** Barr. . . . . E

1. Spécimen vu par le côté convexe, montrant une échancrure légère au bord de l'ouverture. *Dianha Hora.*
2. *id.* vu par le côté concave, montrant le siphon mis à nu jusqu'à l'axe de cet organe. On voit une partie du test, orné de stries faisant un sinus arrondi au droit du siphon. Le bord de l'ouverture est endommagé.
3. *id.* vu par la face latérale, montrant la limite de la grande chambre, une partie des loges aériennes et du test.
4. *id.* section transverse, près de l'extrémité inférieure. Elle est orientée comme la fig. 3.
5. *id.* trois éléments du siphon grossis, avec la trace des cloisons.

**Cyrtoceras insociale.** Barr. . . . . E

(voir Pl. 148—159.)

6. Spécimen vu par le côté convexe. Il montre la limite de la grande chambre et la presque totalité des loges aériennes, avec une partie du test. Le bord de l'ouverture, intact sur ce côté, présente une échancrure largement arrondie. *Lochkov.*
7. *id.* vu par le côté concave, montrant quelques éléments du siphon, dégagés en relief.
8. Autre spécimen plus développé, vu par le côté concave, montrant la grande chambre et la partie cloisonnée presque complète. Le siphon apparaît, parce qu'on a usé le fossile, jusqu'à l'axe de cet organe. Le bord de l'ouverture montre un sinus beaucoup moins large que celui du côté convexe. *Lochkov.*
9. *id.* vu par la face latérale.
10. *id.* trois éléments du siphon, grossis, avec la trace des cloisons.
11. *id.* section transverse, montrant la position du siphon. Elle est orientée comme la fig. 9.
12. Autre spécimen moins développé. Moule interne, vu par la face latérale, montrant la grande chambre avec le bord intact de l'ouverture et la partie cloisonnée presque entière, couverte de faibles impressions longitudinales. *Lochkov.*
13. *id.* vu par le côté convexe, montrant l'échancrure largement arrondie, au bord de l'ouverture.
14. *id.* section transverse, orientée comme la fig. 12.

Fig.

Etage.

**Cyrtoceras capuloides.** Barr. . . . . E

15. Spécimen vu par la face latérale. Il montre la grande chambre avec une partie du bord de l'ouverture, quelques fragments du test et une série de loges aériennes. *Kozlov.*
16. *id.* vu par le côté concave. La surface a été préparée de manière à montrer en relief quelques uns des éléments du siphon.
17. *id.* section transverse, orientée comme la fig. 15.
18. *id.* trois éléments du siphon, grossis, et vus comme dans la fig. 16. Ces éléments se recouvrent par leurs extrémités, suivant une imbrication directe, peu étendue.
19. *id.* les mêmes éléments vus dans une section longitudinale, par la plan médian de la coquille.

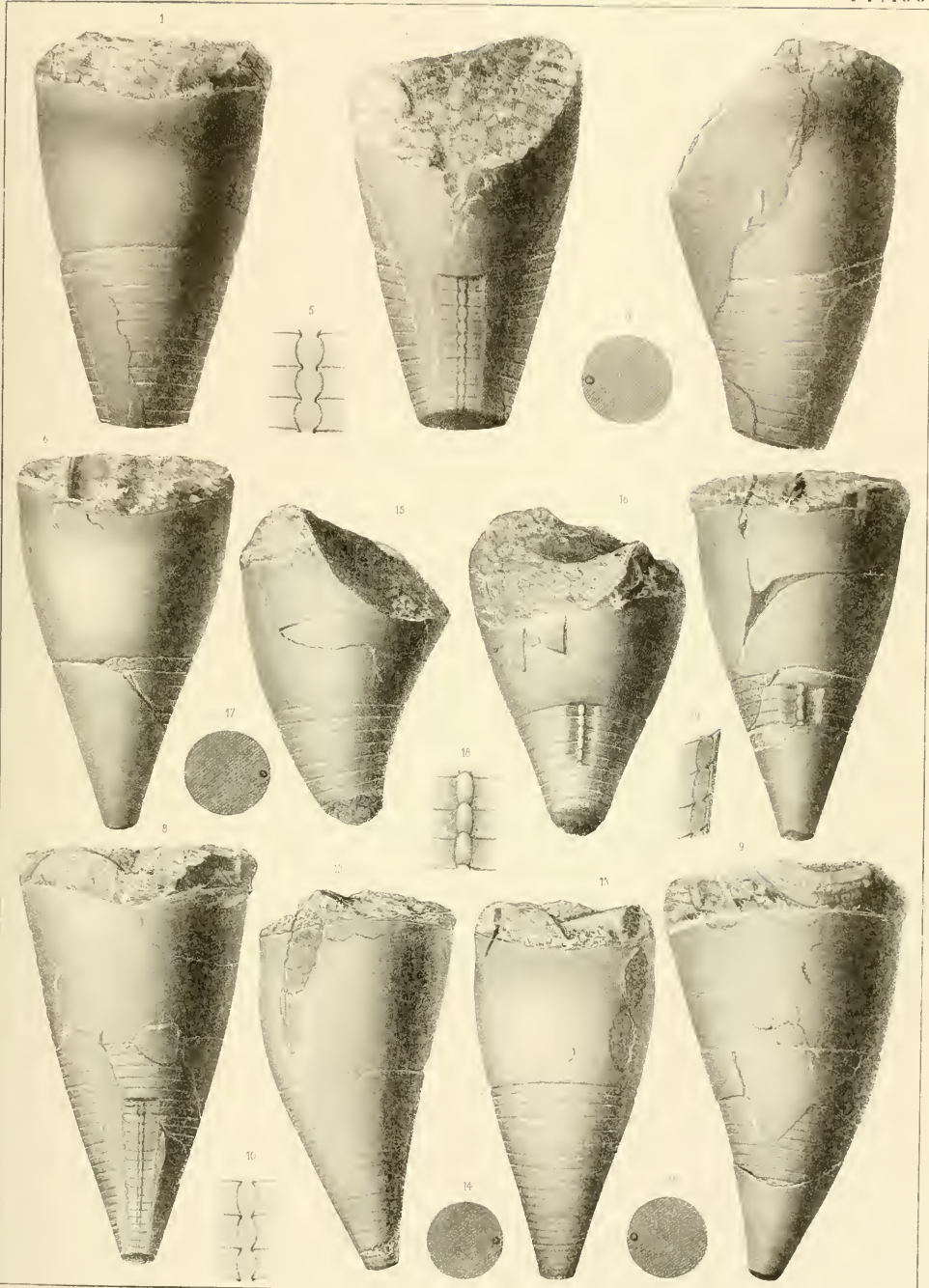






Fig.

Etage.

Fig.

Etage.

**Cyrtoceras imbelle.** Barr. . . . . E

(voir Pl. 175.)

1. Spécimen vu par la face latérale. Il montre la grande chambre avec le bord de l'ouverture intact, la presque totalité des loges aériennes et une partie du test. *Lochkov.*
2. *id.* vu par le côté convexe. Le bord de l'ouverture présente une échancrure largement arrondie.
3. *id.* fragment du test, fortement grossi, pour montrer les stries longitudinales très fines, qui croisent les petits plis transversaux, dans la partie inférieure du fossile.
4. *id.* cloison prise vers le milieu de la partie inférieure du fossile, montrant la position du siphon. Elle est orientée comme la fig. 1.

**Cyrtoceras innoxium.** Barr. . . . . E

5. Spécimen presque complet, vu par le côté concave. Il montre la grande chambre, avec le bord de l'ouverture intact et la partie cloisonnée presque complète. Le siphon est indiqué par une ligne blanche. Il est aussi mis à nu sur l'une des loges aériennes. *Lochkov.*
6. *id.* vu par le côté convexe, montrant une grande partie du test, dont les ornements tendent à former des anneaux horizontaux et prononcés sur la grande chambre.
7. *id.* vu par la face latérale, montrant les principaux éléments de la coquille.
8. *id.* section transverse, montrant la position du siphon. Elle est orientée comme la fig. 7.
9. *id.* fragment du test, pris sur la grande chambre et grossi, pour montrer la forme des ornements, anneaux et stries.
10. *id.* section longitudinale de ce fragment, montrant le profil des ornements du test, qui présentent l'imbrication directe.

**Cyrtoceras expaudens.** Barr. . . . . E

11. Spécimen presque complet, vu par le côté concave. Il montre la grande chambre avec le bord de l'ouverture et la partie cloisonnée presque entière avec des fragments du test. La surface a été usée de manière à montrer la section du siphon suivant son axe, aux deux extrémités opposées de sa longueur. *Lochkov.*
12. *id.* vu par la face latérale, montrant quelques fragments du test avec les ornements.
13. *id.* trois éléments du siphon grossis, avec la trace des cloisons.
14. *id.* cloison prise un peu au dessus de l'extrémité inférieure et montrant le siphon. Elle est orientée comme la fig. 12.

**Cyrtoceras prudens.** Barr. . . . . E

15. Spécimen presque complet, vu par la face latérale. Il montre la grande chambre avec le bord de l'ouverture et la partie cloisonnée presque entière, avec un fragment du test. *Kozovz.*
16. *id.* vu par le côté concave. La surface a été usée de manière à montrer sur la majeure partie de la longueur, le siphon mis à nu jusqu'à son axe.
17. *id.* cloison prise vers le milieu de la partie inférieure et montrant le siphon. Elle est orientée comme la fig. 15.
18. *id.* fragment du test grossi, montrant la disposition un peu irrégulière de ses stries, groupées par faisceaux inégaux.
19. *id.* trois éléments du siphon, grossis, avec la trace des cloisons.

**Cyrtoceras bonum.** Barr. . . . . E

20. Spécimen vu par le côté concave. Il montre la grande chambre et une grande partie des loges aériennes. Le siphon a été dégagé en relief. *Lochkov.*
21. *id.* vu par la face latérale, montrant, vers le bas, une partie du test, sur lequel on voit, par transparence, des bandes blanches, formant une série de chevrons.
22. *id.* fragment du test, grossi, montrant à la fois les stries transverses de la surface et le sommet de l'un des chevrons.
23. *id.* section transverse, montrant la position du siphon. Elle est orientée comme la fig. 21.
24. *id.* trois éléments du siphon, grossis et vus de profil, avec l'indication du test et des cloisons.

**Cyrtoceras discrepans.** Barr. . . . . E

(voir Pl. 196.)

25. Spécimen adulte, presque complet, vu par la face latérale. Il montre la grande chambre, le bord de l'ouverture, la partie cloisonnée presque complète et de grands fragments du test. *Lochkov.*
26. *id.* vu par le côté concave, montrant le sinus des stries au droit du siphon. La surface est usée de manière à exposer le siphon, suivant une section longitudinale par son axe.
27. *id.* vu par le côté convexe, sur lequel il reste une grande partie du test, montrant une large inflexion des stries.
28. *id.* trois éléments du siphon grossis, avec la trace des cloisons.
29. *id.* fragment du test, pris sur la surface de la grande chambre et grossi pour montrer ses ornements.
30. *id.* section longitudinale, montrant le profil des ornements et leur imbrication directe.
31. *id.* cloison orientée comme la fig. 25 et indiquant la place du siphon.
32. Autre spécimen plus jeune, vu par le côté concave, montrant la grande chambre un peu endommagée et la partie cloisonnée presque complète. On voit aussi le siphon et le sinus correspondant des stries. *Lochkov.*
33. *id.* vu par la face latérale.
34. *id.* cloison, orientée comme la fig. 33 et montrant la position du siphon.

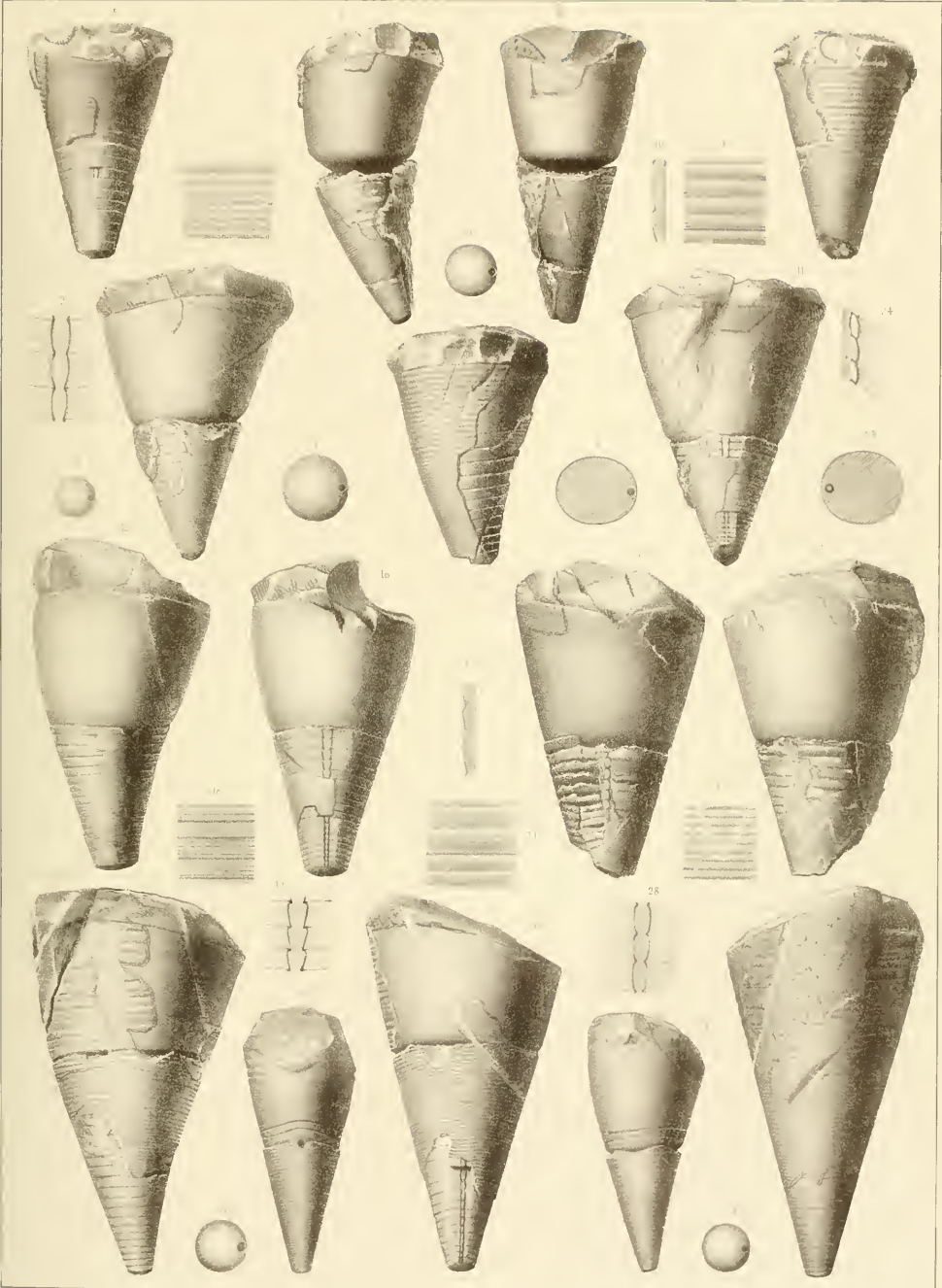






Fig.

Etage.

Fig.

Etage.

**Cyrtoceras lepidum.** Barr. . . . . E  
(voir Pl. 157.)

1. Spécimen fortement arqué, vu par la face latérale. La partie supérieure manque avec l'ouverture. Toute la partie visible est recouverte de son test très bien conservé. *Lochkor.*
2. *id.* section transverse vers la partie inférieure. Le siphon est invisible.
3. *id.* fragment du test fortement grossi, pour montrer les ornements. Les filets longitudinaux sont larges et leur surface est divisée par une petite rainure. Les stries longitudinales sont presque nulles dans les intervalles des filets.
4. Autre spécimen vu par la face latérale. Il est moins développé et moins arqué que le précédent. Il montre l'étendue de la grande chambre. *Vobrada.*
5. *id.* fragment de la surface fortement grossi, pour montrer les ornements. Dans l'intervalle des filets longitudinaux, on voit un réseau des stries dans les deux sens.
6. Autre spécimen vu par le côté concave. Il montre l'ouverture, la grande chambre et toute la partie cloisonnée, sauf la pointe. *Batorvitz.*
7. *id.* extrémité inférieure, grossie, présentant la section suivant le plan médian et montrant la position et la forme du siphon.
8. *id.* fragment du test fortement grossi, pour montrer les ornements. Les stries transverses prédominent entre les filets, sur les stries longitudinales.
9. *id.* fragment de la surface du moule interne, grossi et montrant les stries creuses, qui représentent le manteau du mollusque.
10. Autre spécimen vu par la face latérale. Il montre la grande chambre complète et toute la partie cloisonnée, sauf la pointe. Le test est conservé par fragments. *Batorvitz.*
11. *id.* cloison vue par le côté convexe et montrant la position du siphon.

**Cyrtoceras acies.** Barr. . . . . E

12. Spécimen complet sauf l'extrême pointe. Il est vu par la face latérale, montrant le bord de l'ouverture, la grande chambre et la série des cloisons couvertes de leur test. *Batorvitz.*
13. *id.* vu par le côté convexe, montrant l'étranglement du moule, au dessous de l'ouverture.
14. *id.* cloison terminale de la grande chambre, vue par la face convexe et montrant la position du siphon. Elle est orientée comme la figure 12.
15. *id.* fragment du test fortement grossi, pour montrer les ornements.

**Cyrtoceras fragile.** Barr. . . . . E

16. Spécimen vu par le côté convexe. Il montre la grande chambre complète et la partie cloisonnée sauf la pointe, avec divers fragments du test. *Knieprus.*
17. *id.* vu par la face latérale.
18. *id.* cloison terminale de la grande chambre, montrant la position du siphon un peu excentrique. Elle est orientée comme la fig. 17.
19. *id.* fragment du test, pris immédiatement au dessous de l'ouverture et fortement grossi, montrant seulement des stries transverses, obliques, très fines.
20. *id.* fragment du test, pris vers le milieu de la partie cloisonnée et fortement grossi, montrant à la fois des filets longitudinaux et des stries obliques.
21. *id.* fragment du moule de la grande chambre, fortement grossi et montrant les stries creuses qui représentent la surface du manteau.

**Cyrtoceras inexpectatum.** Barr. . . . . E  
(voir Pl. 174.)

22. Spécimen vu par la face concave, montrant la grande chambre complète et la partie cloisonnée, sauf la pointe, avec le test. Les stries font un faible sinus au droit du siphon. *Kozoriz.*
23. *id.* vu par la face latérale, montrant l'obliquité du bord de l'orifice.
24. Cloison terminale de la grande chambre, orientée comme la fig. 23 et montrant la position du siphon contre le bord concave. Son grand axe est transverse.

**Cyrtoceras debile.** Barr. . . . . E  
(voir Pl. 177.)

25. Spécimen vu par la face latérale, montrant la grande chambre et la partie cloisonnée sauf la pointe, avec une partie du test. *Kozoriz.*
26. *id.* vu par le côté concave, montrant le léger sinus des stries, au droit du siphon, mis à nu vers la pointe.
27. *id.* vu par le côté convexe.
28. *id.* trois éléments du siphon grossis, avec la trace des cloisons.
29. *id.* section transverse, circulaire, montrant la position du siphon. Elle est orientée comme la fig. 23.

**Cyrtoceras tumefactum.** Barr. . . . . E

30. Spécimen vu par la face latérale, montrant la grande chambre et une grande partie des loges aériennes. Moule interne. *Lochkor.*
31. *id.* cloison vers l'extrémité du spécimen, orientée comme la fig. 30. Elle montre la position du siphon.
32. *id.* vu par le côté convexe. La partie inférieure est usée de manière à montrer la section longitudinale du siphon.
33. *id.* deux éléments du siphon grossis, avec la trace des cloisons.

**Cyrtoceras zebra.** Barr. . . . . E

34. Spécimen vu par le côté concave, montrant le fossile presque complet, sauf la pointe de la partie cloisonnée. Il conserve une partie du test avec ses stries externes et ses bandes colorées, internes. *Lochkor.*
35. *id.* vu par le côté convexe. La partie inférieure étant usée, on voit la section longitudinale du siphon, mis à nu jusqu'à son axe.
36. *id.* vu par la face latérale.
37. *id.* section transverse à l'extrémité inférieure, montrant la place du siphon. Elle est orientée comme la fig. 36.
38. *id.* trois éléments du siphon grossis, avec la trace des cloisons.
39. Autre spécimen vu par le côté convexe. La grande chambre est restaurée sur le côté gauche. La partie cloisonnée conserve des fragments du test, montrant les stries de la surface et les bandes colorées de l'intérieur. Le siphon est mis à nu vers la pointe. *Lochkor.*
40. *id.* section transverse, vers l'extrémité, montrant la place du siphon, et orientée comme la fig. 36.
41. *id.* fragment du test grossi, montrant seulement les stries transverses de la surface.
42. *id.* autre fragment du test, montrant à la fois les stries de la superficie et les bandes colorées de l'intérieur du test. Il est pris sur la face latérale.
43. *id.* autre fragment du test, montrant les mêmes ornements, au droit du siphon, fig. 39.

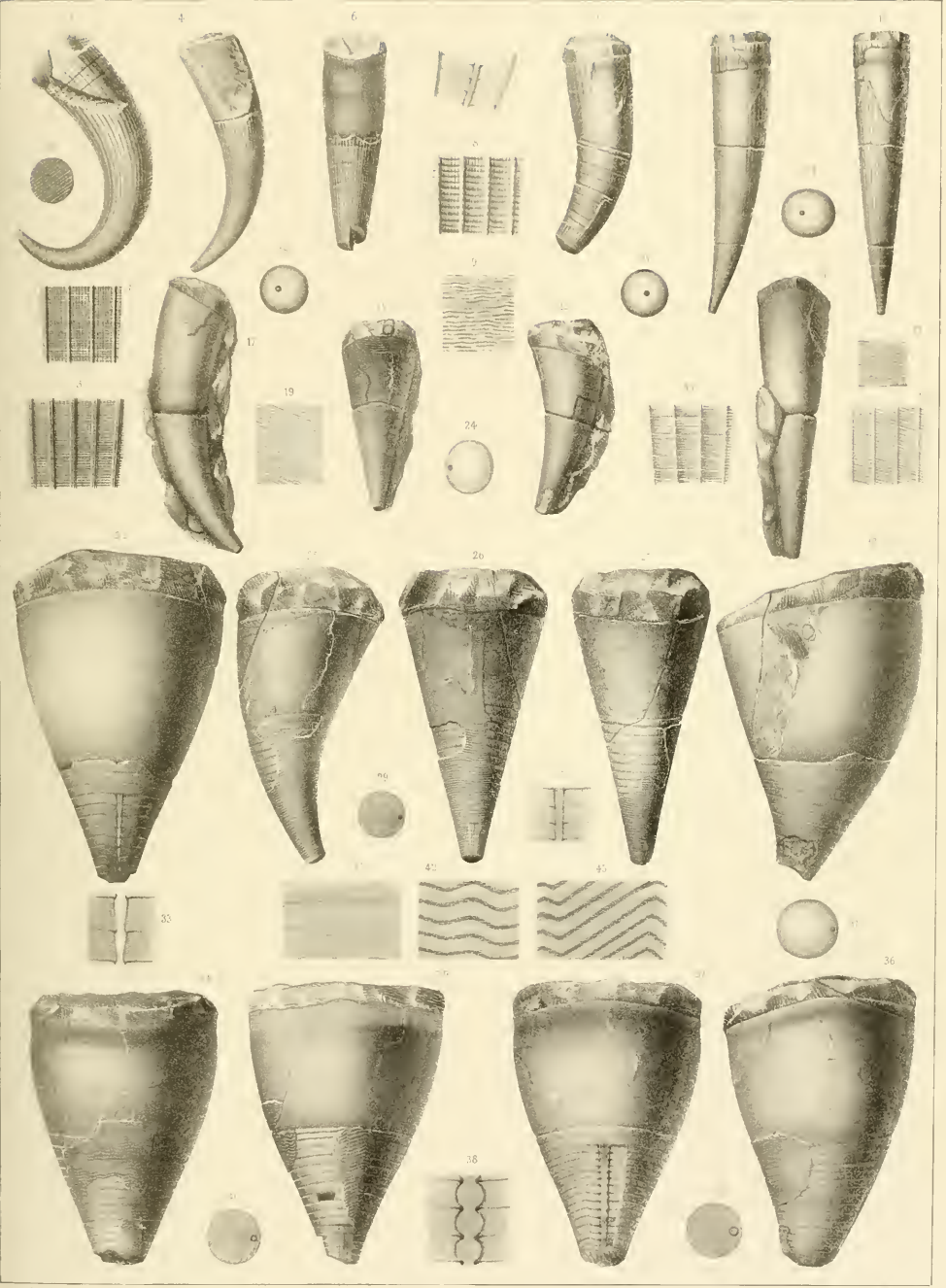






Fig.

Etage.

**Cyrtoceras cuneiforme.** Barr. . . . E  
(voir Pl. 182.)

1. Spécimen vu par la face latérale. Il montre la grande chambre presque complète, la plus grande partie des loges aériennes et des fragments du test. *Hinter-Kopania*.
2. *id.* vu par le côté concave, presque rectiligne. On voit le sinus des stries et le siphon sur une surface usée, vers la pointe.
3. *id.* section transverse, montrant la position du siphon.
4. *id.* trois éléments du siphon, grossis, pour montrer leur forme cylindroïde, avec la trace des cloisons.

**Cyrtoceras fractum.** Barr. . . . E

5. Spécimen tronqué par les deux extrémités et montrant seulement la portion supérieure des loges aériennes. Il est vu de profil. *Dvoretz*.
6. *id.* vu par le côté concave, presque rectiligne. Il montre la plupart des éléments du siphon, en relief.
7. *id.* quatre éléments du siphon grossis, pour montrer leur forme nummuloïde, aplatie et l'ouverture par laquelle ils communiquent.
8. *id.* section longitudinale des mêmes éléments, par le plan médian.

Fig.

Etage.

**Cyrtoceras aduncum.** Barr. . . . F  
(voir Pl. 181.)

9. Spécimen vu par la face latérale. Il montre la grande chambre, la plus grande partie des loges aériennes, et de grands fragments du test. *Konieprus*.
10. *id.* vu par le côté concave, montrant les rainures transverses, subrégulières, que présente la surface du test et le sinus qu'elles forment, au droit du siphon.
11. *id.* section transverse, subcirculaire, montrant la position du siphon. Elle est orientée comme la fig. 9.
12. *id.* fragment du test, grossi, d'après un spécimen non figuré, montrant les bandes du test, avec leurs stries.
13. *id.* section longitudinale, montrant le profil de ce fragment du test, et l'absence de toute imbrication.
14. *id.* section longitudinale d'un autre fragment, montrant les loges aériennes et le siphon. La communication entre les éléments de celui-ci est visible dans la moitié supérieure, mais disparaît dans la moitié inférieure, par suite d'une légère déviation du plan sécant. *Konieprus*.

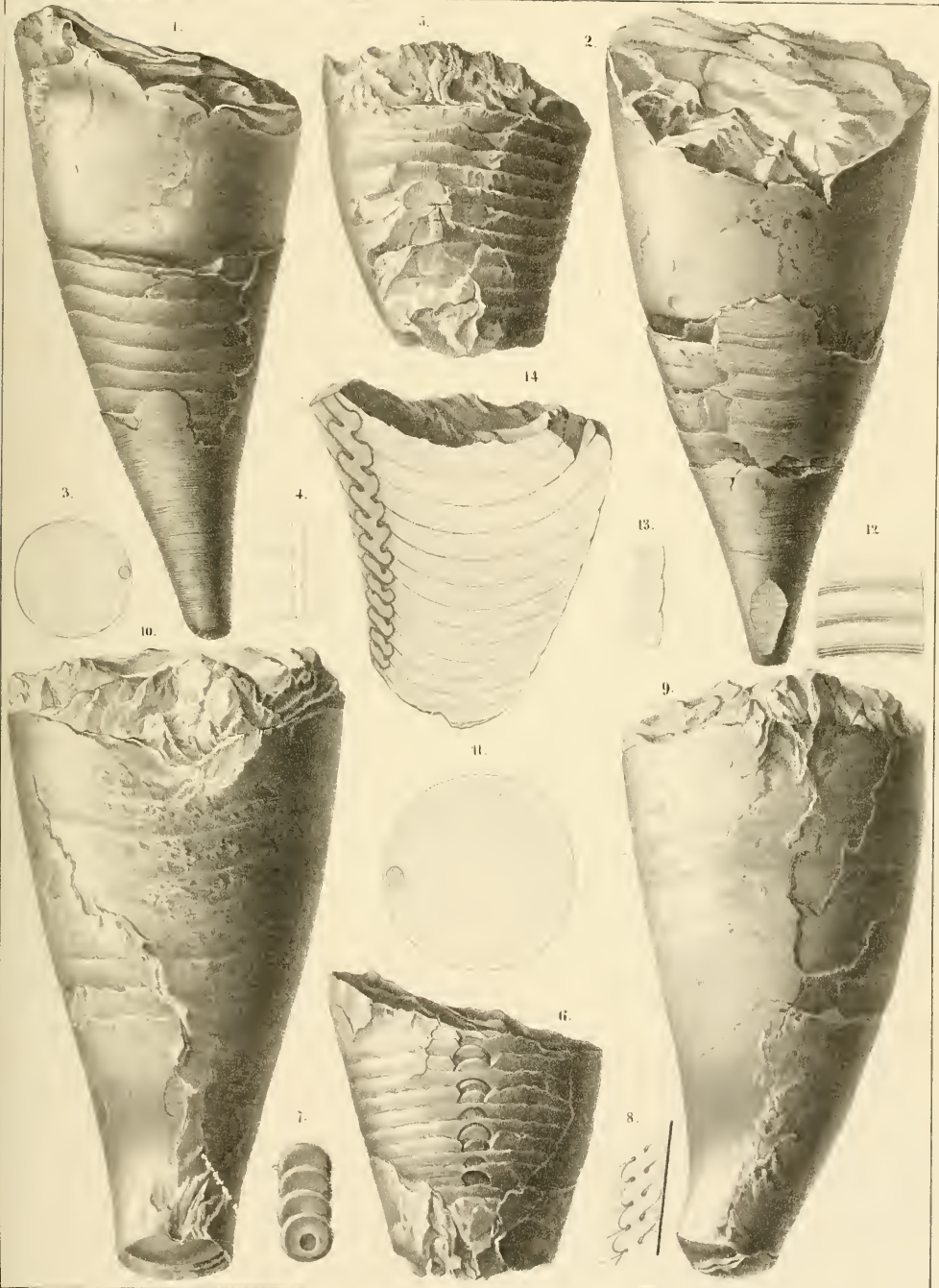






Fig.

Etage. Fig.

Etage.

**Cyrtoceras speciosum.** Barr. . . . . E  
(voir Pl. 178—217.)

1. Spécimen vu par le côté convexe ou dorsal, montrant le bord de l'ouverture, la grande chambre, la majeure partie des loges aériennes et une portion du test. *Lochkov.*
2. *id.* vu par le côté concave ou ventral, montrant le sinus des ornements, au droit du siphon, mis à nu dans la partie inférieure.
3. *id.* vu par la face latérale.
4. *id.* cloison terminale de la grande chambre, orientée comme la fig. 3 et montrant la position du siphon contre le bord ventral.
5. *id.* fragment du test grossi, pris sur le milieu du côté ventral et montrant le sinus des ornements, au droit du siphon.
6. *id.* trois éléments du siphon, grossis avec la trace des cloisons. La figure est oblique par suite d'une erreur du dessinateur.
7. *id.* section longitudinale des mêmes éléments, suivant le plan médian.

**Cyrtoceras bigener.** Barr. . . . . E

8. Spécimen vu par la face latérale, montrant le bord de l'ouverture, la grande chambre, une série de cloisons et une partie du test. *Dlauha Hora.*
9. *id.* vu par le côté dorsal ou convexe, montrant la direction horizontale des stries.
10. *id.* cloison terminale de la grande chambre, orientée comme la fig. 8, et montrant le siphon placé contre le bord concave ou ventral.
11. *id.* vu par le côté ventral, montrant le siphon mis à nu par une section longitudinale.

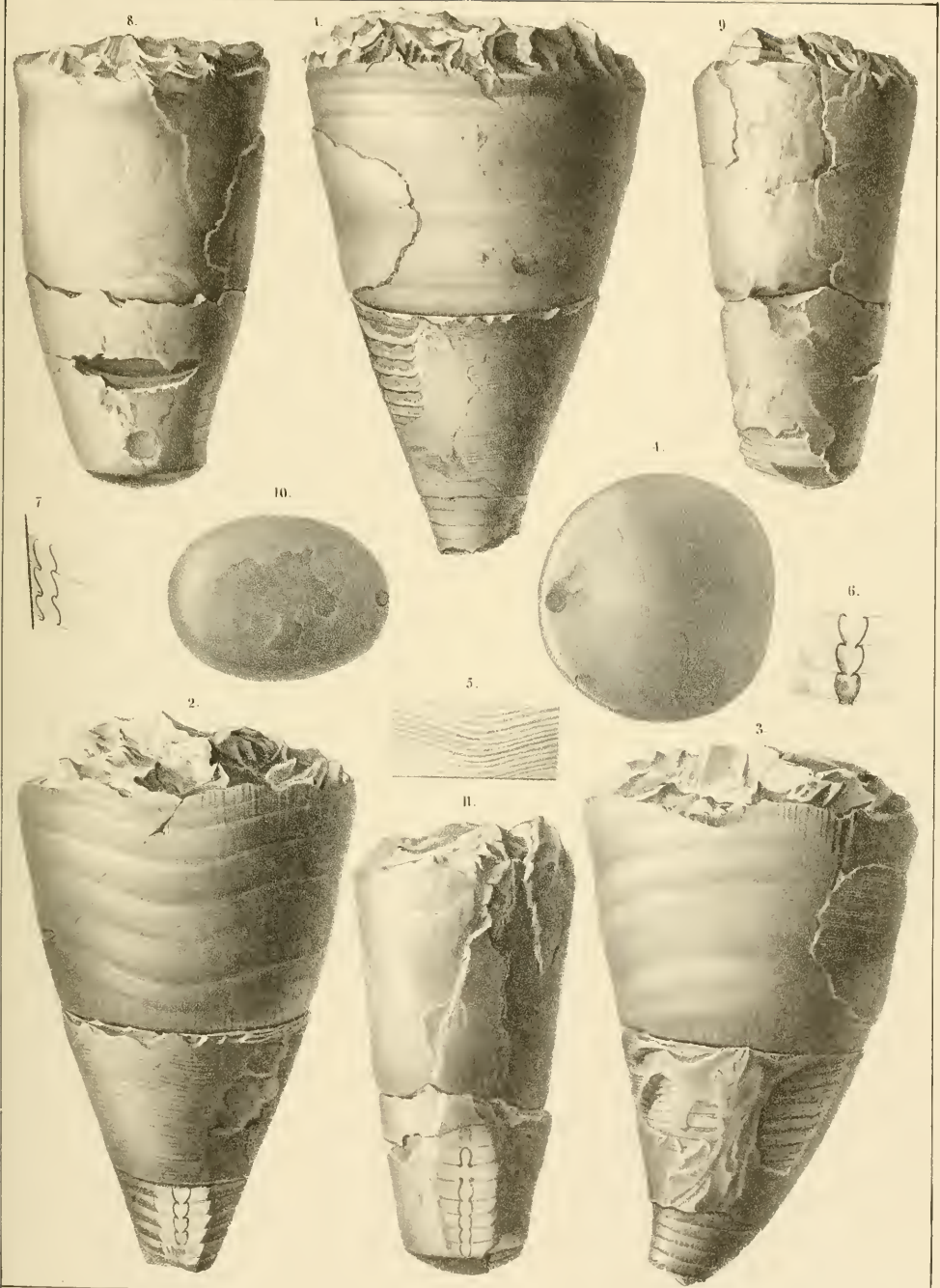






Fig.

Etage. Fig.

Etage.

**Cyrtoceras maestum.** Barr. . . . . E

1. Spécimen vu par la face latérale. Il montre la grande chambre dont la partie supérieure est endommagée; une série de loges aériennes et une partie du test. Le siphon, mis à nu et en relief, apparaît à cause de sa position insymétrique par rapport au plan médian. *Lochkov.*
2. *id.* vu par le côté convexe ou dorsal.
3. *id.* vu par le côté concave ou ventral, montrant le siphon placé à côté du plan médian, vers la gauche.
4. *id.* 3 éléments du siphon, suivant une section idéale, longitudinale, et un peu grossis.
5. *id.* cloison terminale de la grande chambre, vue par le côté convexe et montrant la position du siphon à côté du plan médian.

**Cyrtoceras Danaï.** Barr. . . . . E

6. Spécimen vu par la face latérale, montrant la grande chambre très-développée, une série de loges aériennes et un fragment du test. *Kozlov.*
7. *id.* vu par le côté concave ou ventral, montrant le siphon mis à nu, par la décomposition de la surface, et paraissant rempli par des lamelles intérieures.
8. *id.* cloison vue par le côté convexe et montrant la position du siphon contre le bord ventral. Elle est orientée comme la fig. 6.

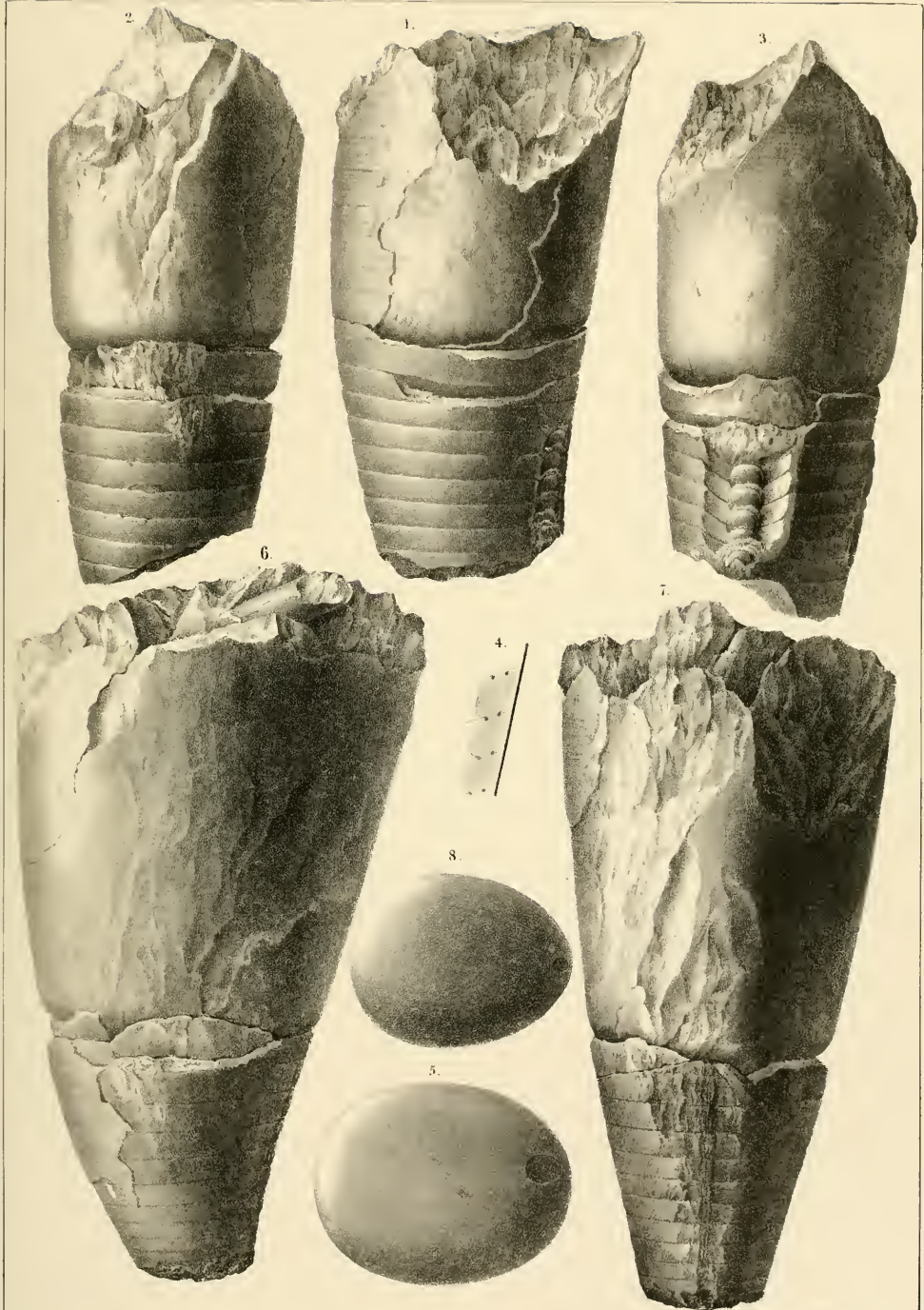






Fig.

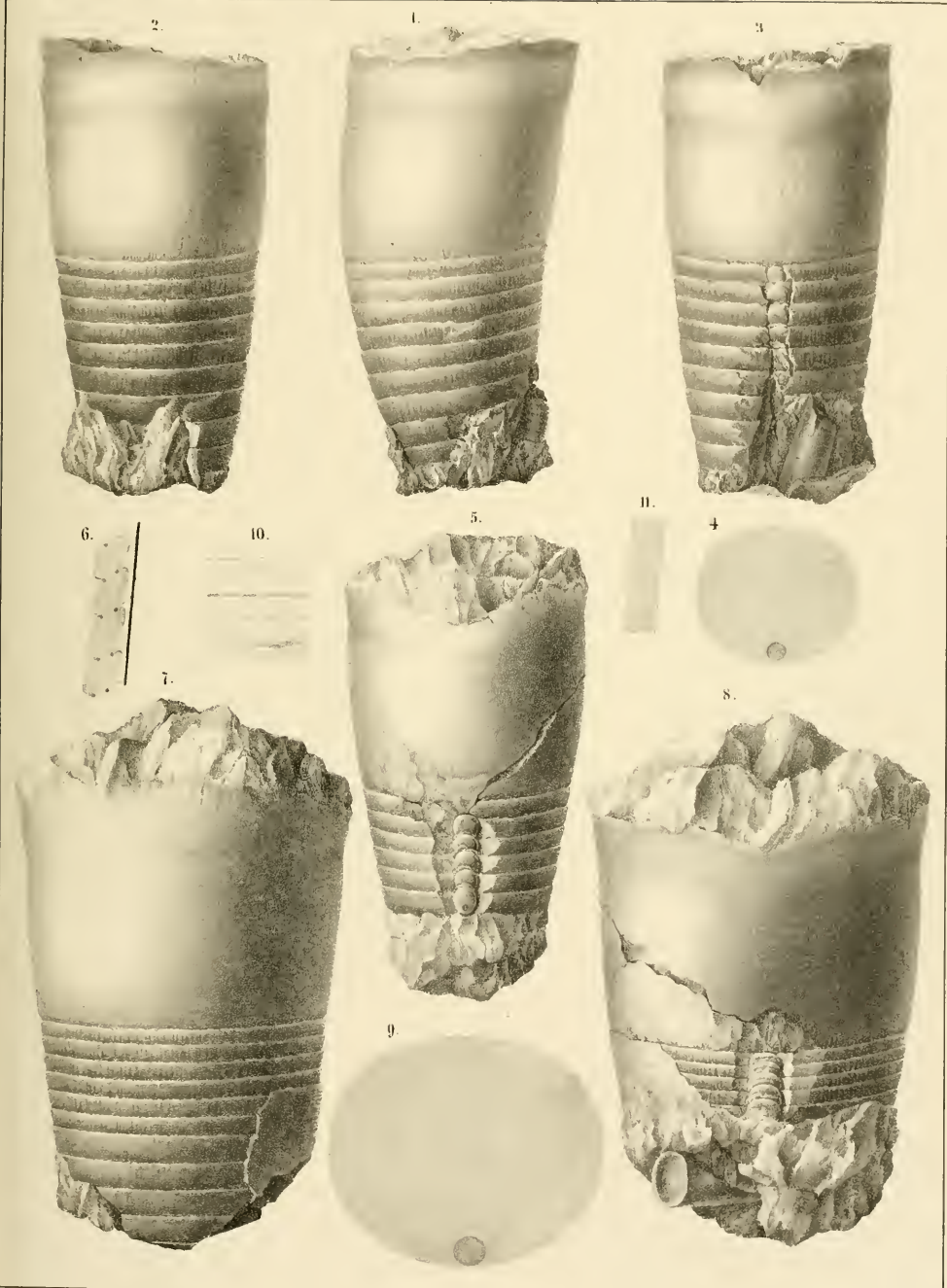
Etage.

Fig.

Etage.

**Cyrtoceras nobile.** Barr. . . . . E

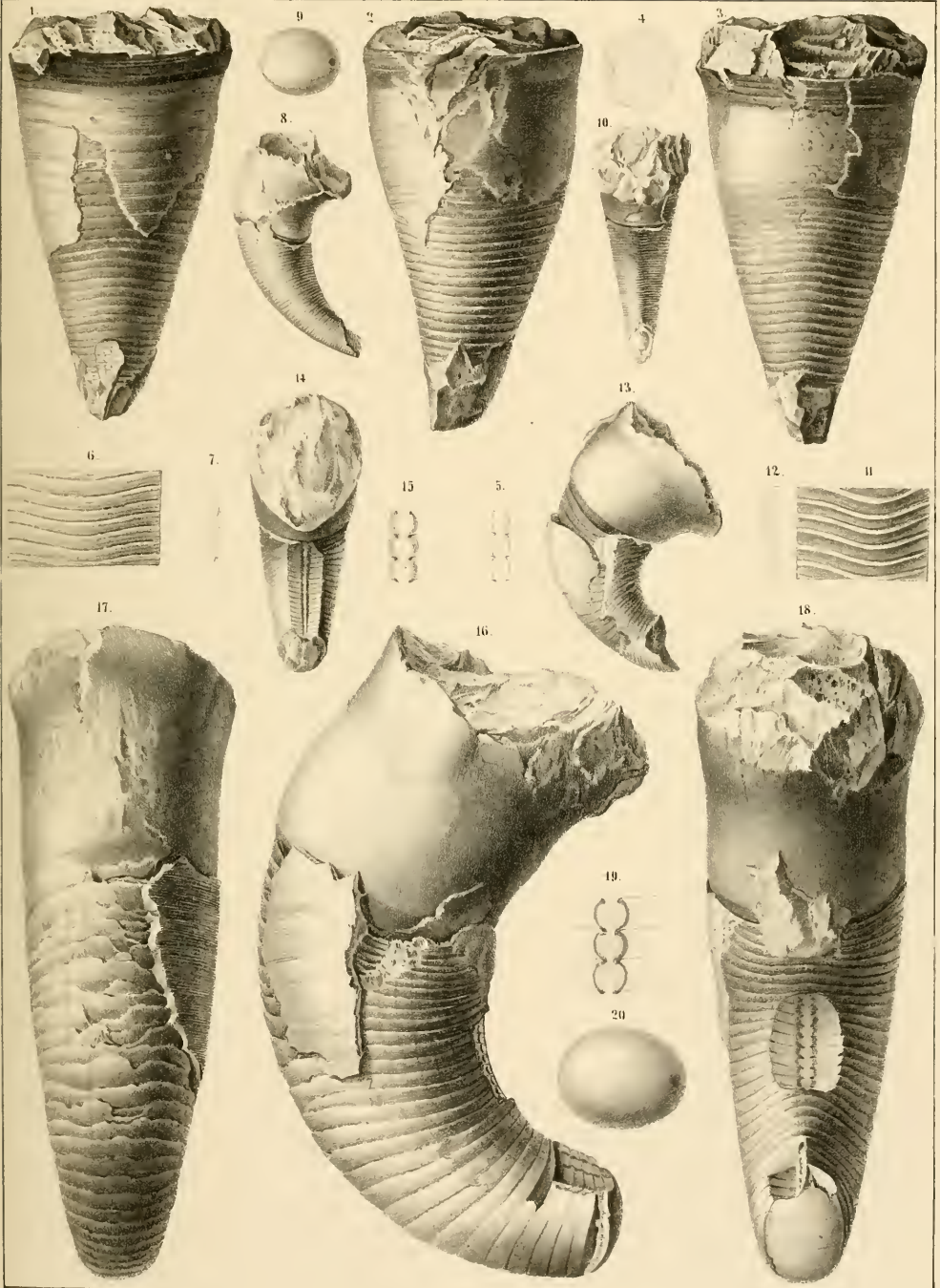
1. Spécimen vu par la face latérale. Moule interne, montrant la grande chambre complète avec un double étranglement au dessous des bords de l'ouverture, un peu endommagée; une série de loges aériennes et des stries longitudinales très faibles, sur toute la surface. *Lochkov.*
  2. *id.* vu par le côté convexe ou dorsal.
  3. *id.* vu par le côté concave ou ventral. Le siphon est partiellement mis à découvert et en relief. On aperçoit sur la grande chambre une ligne longitudinale légèrement saillante et qui correspond au milieu du siphon, dont les éléments sont en partie mis à nu par la décomposition.
  4. *id.* section horizontale, orientée comme la fig. 3 et montrant la position du siphon. Son plus grand diamètre est transverse.
  5. Autre spécimen, vu par le côté concave ou ventral. Moule interne, montrant la grande chambre complète, l'échancre au bord de l'ouverture, une série de loges aériennes et le siphon mis à nu et en relief. *Lochkov.*
- 
6. *id.* 4 éléments du siphon grossis et vus dans une section idéale, suivant le plan médian.
  7. Autre spécimen, vu par le côté convexe. Moule interne, montrant la grande chambre avec un étranglement très distinct; une série de loges aériennes et un fragment du test. *Lochkov.*
  8. *id.* vu par le côté concave ou ventral, montrant l'échancre au bord de l'ouverture et le siphon mis à nu et en relief.
  9. *id.* section horizontale, orientée comme la fig. 8, et montrant la position du siphon. Le plus grand diamètre est transverse.
  10. *id.* fragment du test, grossi, montrant ses ornements, irréguliers.
  11. *id.* section longitudinale du test, indiquant le relief des stries principales, qui offrent une imbrication inverse.







- | Fig.  | Etage. | Fig.  | Etage.  |
|---|--------|---|---|
| <b>Cyrtoceras restitum.</b> Barr. . . . . E |        | <b>Cyrtoceras conspicuum.</b> Barr. . . . . E |   |
| 1.  |        | 16.   | Spécimen vu par la face latérale. Il montre la grande chambre presque complète, une longue série de loges aériennes, une partie du siphon mis à nu et un fragment du test. On distingue sur le moule interne quelques légères impressions longitudinales. <i>Lochkor.</i> |
| 2.  |        | 17.   | <i>id.</i> vu par le côté convexe ou dorsal.  |
| 3.  |        | 18.   | <i>id.</i> vu par le côté concave ou ventral, montrant le siphon mis à nu sur une partie de la longueur, suivant une section longitudinale, perpendiculaire au plan médian.   |
| 4.  |        | 19.   | <i>id.</i> 3 éléments du siphon grossis, avec la trace des cloisons.  |
| 5.  |        | 20.   | <i>id.</i> cloison vue par le côté convexe et orientée comme la fig. 16. Elle montre la position du siphon.   |
| 6.  |        |   |   |
| 7.  |        |   |   |
| <b>Cyrtoceras virgula.</b> Barr. . . . . E  |        |   |   |
| 8.  |        |   | Spécimen d'âge moyen, vu par la face latérale, montrant la grande chambre avec le bord de l'ouverture et la majeure partie des loges aériennes, recouvertes de leur test. <i>Konicprus.</i>   |
| 9.  |        |   | <i>id.</i> cloison terminale de la grande chambre, vue par le côté convexe, orientée comme la fig. 8 et montrant la position du siphon, contre le bord concave.   |
| 10.   |        |   | <i>id.</i> vu par le côté concave ou ventral, montrant le faible sinus des ornements, au droit du siphon.   |
| 11.   |        |   | <i>id.</i> fragment du test fortement grossi, montrant le sinus des ornements et leur imbrication très-prononcée.   |
| 12.   |        |   | <i>id.</i> section longitudinale du test, montrant l'imbrication directe des plis de sa surface.  |
| 13.   |        |   | Autre spécimen plus développé et vu par la face latérale. Il montre la grande chambre presque complète, une série de loges aériennes et une partie du test. <i>Konicprus.</i>   |
| 14.   |        |   | <i>id.</i> vu par le côté concave ou ventral, montrant le siphon exposé dans une section longitudinale.   |
| 15.   |        |   | <i>id.</i> 3 éléments du siphon, grossis, avec la trace des cloisons.   |







- Fig. Etage. Fig. Etage.
- Cyrtoceras forte.** Barr. . . . . E  
(voir Pl. 161—176.)
1. Spécimen adulte, vu par la face latérale. Il montre la grande chambre complète, une série de loges aériennes et une partie du test avec ses ornements obliques. Ce spécimen se distingue de ceux qui sont figurés sur les planches citées, par la grande largeur de sa face latérale. *Hinter-Kopanina*.
  2. *id.* vu par le côté convexe ou dorsal, montrant la faible inflexion que font les stries, en passant sur cette face de la coquille.
  3. *id.* cloison terminale vue par le côté convexe et orientée comme la fig. 1. Elle montre la position du siphon.
  4. Autre spécimen, vu par le côté concave ou ventral. Il montre la grande chambre, une série de loges aériennes, et quelques éléments du siphon mis à nu et en relief. Le test bien conservé permet de reconnaître le sinus prononcé que font les stries, au droit du siphon.
  5. Autre spécimen vu par le côté concave ou ventral. Il montre la grande chambre complète, une série de loges aériennes, quelques éléments du siphon mis à nu et en relief, et un fragment du test, dont la surface est altérée. On aperçoit sur le moule interne des loges aériennes de faibles impressions longitudinales. *Hinter-Kopanina*.
  6. *id.* 3 éléments du siphon, en relief, grossis, montrant leur disposition imbriquée et la trace des cloisons.
  7. 3 éléments du siphon, grossis, d'après un autre spécimen non figuré. Ils sont vus dans une section longitudinale, perpendiculaire au plan médian, et ils sont figurés avec la trace des cloisons. On reconnaît un petit corps étranger dans leur intérieur. *Hinter-Kopanina*.
  8. Section idéale des 3 éléments, fig. 6, suivant le plan médian.

- Cyrtoceras eremita.** Barr. . . . . E
9. Spécimen vu par la face latérale. Il montre la grande chambre avec le bord de l'ouverture, une série de loges aériennes et une partie du test, avec ses ornements. *Kontieprus*.
  10. *id.* vu par le côté concave ou ventral, montrant le siphon mis à nu, vers l'extrémité inférieure, par une section longitudinale.
  11. *id.* cloison vue par le côté convexe et montrant la position du siphon. Elle est orientée d'une manière inverse par rapport à la fig. 10.
  12. *id.* 3 éléments du siphon grossis, avec la trace des cloisons.
- Cyrtoceras inexpectatum.** Barr. . . . . E  
(voir Pl. 168.)
13. Spécimen presque complet, vu par la face latérale. Il montre le moule de la grande chambre et la majeure partie des loges aériennes, recouvertes de leur test. *Lochkor*.
  14. *id.* section horizontale, orientée comme la fig. 13 et montrant la position du siphon. Son plus grand axe est transverse.
  15. *id.* vu par le côté concave ou ventral, montrant la section du siphon mis à nu sur toute la longueur, suivant une section perpendiculaire au plan médian.
  16. *id.* 2 éléments du siphon grossis, avec la trace des cloisons.

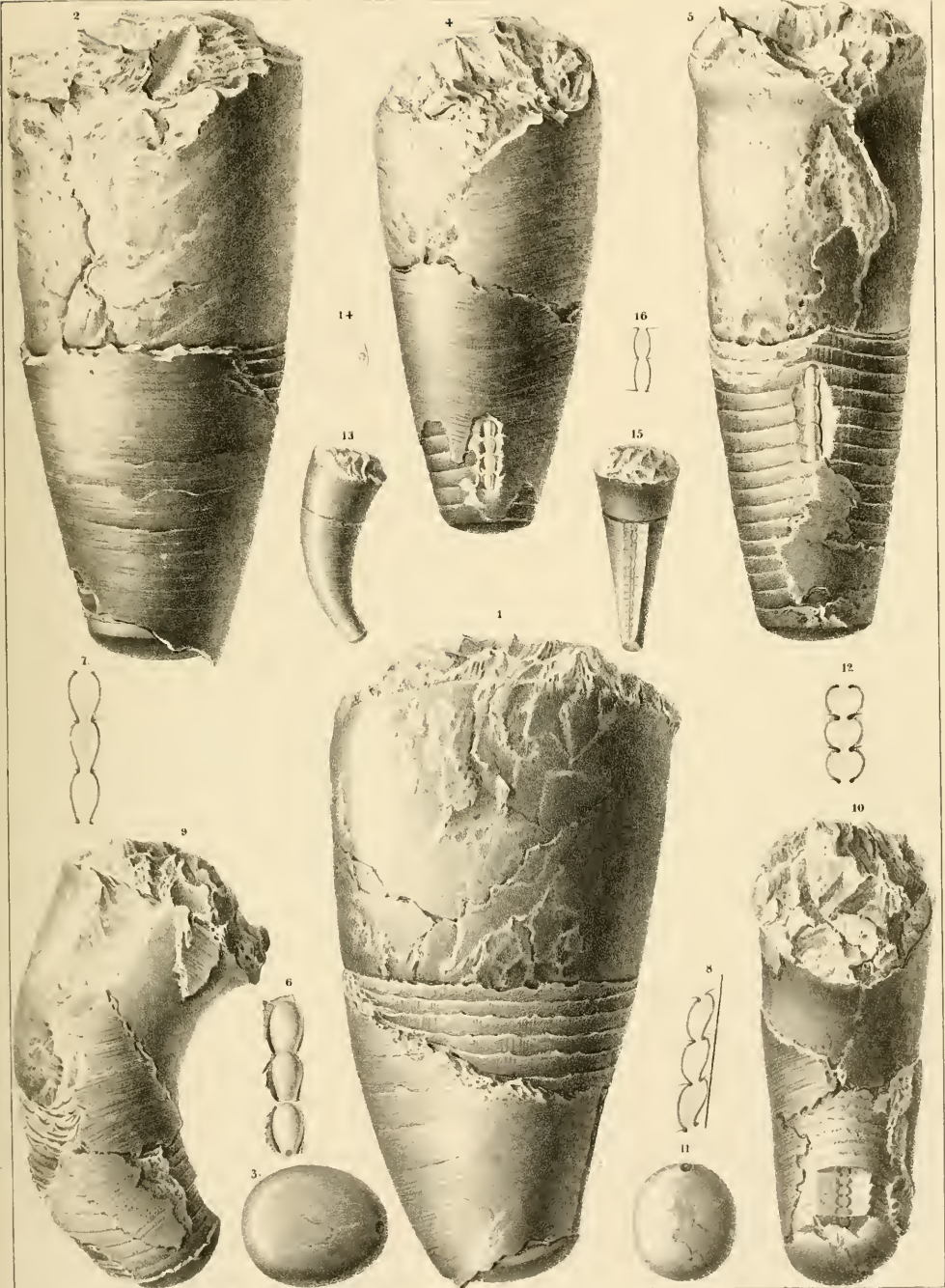






Fig.

Étage.

**Phragmoceras imbricatum.** Barr. E

(voir Pl. 46.) 0 244 477

N. B. Nous avions primitivement donné le nom de *Cyrtoc. Volborthi* aux fossiles représentés par les fig. 1 à 15 qui suivent. Mais, malgré l'apparence d'une ouverture bien conservée, qu'offrent plusieurs d'entr'eux, il nous semble que leurs principaux caractères nous obligent à les réunir spécifiquement avec *Phragm. imbricatum* figuré dans la première série de nos Céphalopodes, Pl. 46. On pourrait peut-être penser, que dans cette espèce la contraction des bords de l'ouverture n'avait lieu qu'à l'époque de l'âge adulte.

1. Spécimen vu par la face latérale. Il montre la grande chambre incomplète, une série de loges aériennes et la majeure partie du test bien conservé avec ses ornements. *Butovitz.*
2. *id.* vu par le côté convexe, ou dorsal, montrant l'inflexion aplatie des ornements.
3. *id.* vu par le côté concave, ou ventral. Il montre l'ouverture, avec son échancrure et la faible rainure qui lui correspond dans toute la longueur, au droit du siphon. Cette rainure contient le sinus des stries très prononcé.
4. *id.* cloison vue par le côté convexe et orientée comme la fig. 1. Elle montre la position du siphon.
5. Autre spécimen plus jeune, vu par la face latérale et recouvert de son test. Le bord de l'ouverture est endommagé. *Butovitz.*
6. *id.* vu par le côté concave ou ventral, montrant la rainure longitudinale, au droit du siphon, ainsi que le sinus des stries.
7. *id.* fragment du test grossi et pris sur le milieu du côté ventral. Il montre la rainure longitudinale et les lamelles du test, avec leur imbrication.
8. *id.* section longitudinale du test, montrant l'imbrication directe très prononcée des lamelles de sa surface.
9. Autre spécimen très-jeune et complet. Il montre la grande chambre, le bord en apparence intact de l'ouverture et la partie cloisonnée, terminée par la calotte initiale de la coquille. *Butovitz.*
10. *id.* vu par le côté concave ou ventral, montrant l'orifice, la rainure longitudinale et la calotte qui termine la partie cloisonnée.
11. calotte initiale vue de face et grossie, pour montrer ses ornements concentriques.
12. Autre spécimen, vu par la face latérale. Sa partie inférieure a été préparée de manière à montrer la section du siphon, suivant le plan médian. *Butovitz.*
13. *id.* 3 éléments du siphon grossis, avec la trace des cloisons et du test.
14. Autre spécimen, de même taille et vu par la face latérale. Il montre la grande chambre complète, une série de loges aériennes et une partie du test. Le petit bout est arrondi et recouvert par le test ou calotte initiale, brisée sur le côté exposé. *Butovitz.*
15. *id.* vu par le côté convexe ou dorsal.

Fig.

Étage.

**Cyrtoceras imbelle.** Barr. . . . . E

(voir Pl. 167.)

16. Spécimen presque complet vu par la face latérale. Il montre le moule de la grande chambre et toute la partie cloisonnée, recouverte de son test. Le petit bout est arrondi et recouvert par une calotte initiale. *Kozoff.*
  17. *id.* vu par le côté concave ou ventral.
  18. *id.* extrémité inférieure grossie, pour montrer les doubles ornements du test, savoir les stries transverses croisées par des stries longitudinales très-fines.
  19. *id.* section transverse, orientée comme la fig. 16 et montrant la position du siphon, contre le bord concave.
- Cyrtoceras primitium.** Barr. . . . . E
20. Spécimen vu par la face latérale. Il montre la grande chambre avec le bord de l'ouverture, une longue série de loges aériennes et quelques fragments du test. *Lochkor.*
  21. *id.* vu par le côté convexe ou dorsal, montrant une faible échancrure au bord de l'orifice.
  22. *id.* vu par le côté concave ou ventral, montrant l'échancrure au bord de l'orifice et une grande partie du siphon, exposé dans sa section longitudinale, perpendiculaire au plan médian.
  23. *id.* cloison terminale de la grande chambre, vue par le côté convexe et orientée comme la fig. 20. Elle montre la position du siphon, contre le bord concave.

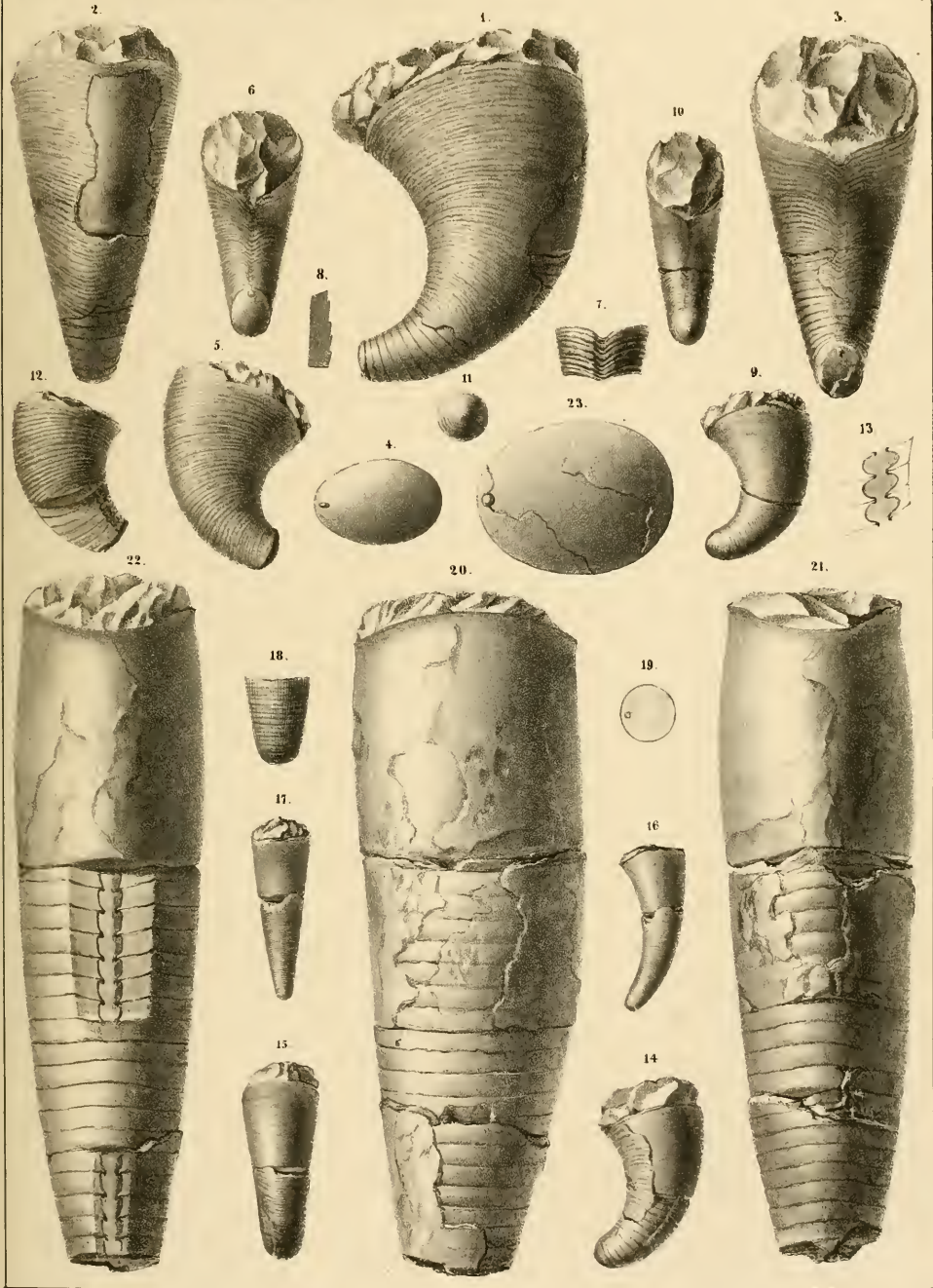






Fig.

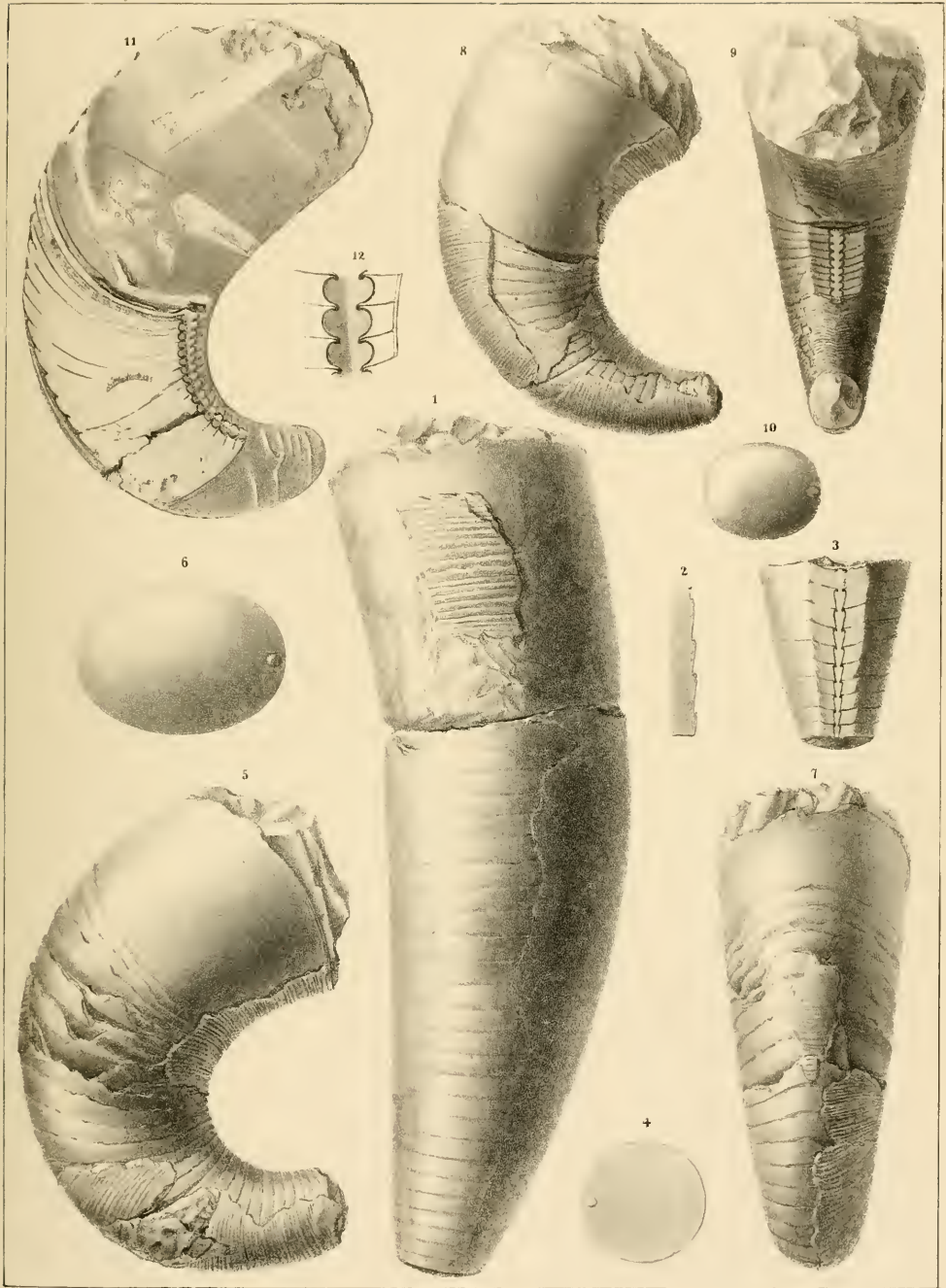
**Cyrtoceras forte.** Barr. . . . . E  
(voir Pl. 161—174.)

1. Spécimen très-développé, vu par la face latérale. Il montre la grande chambre avec le bord de l'ouverture, une longue série de loges aériennes et un fragment du test, conservé avec ses ornements. *Lochkov.*
2. *id.* section longitudinale du test, montrant l'imbrication directe des lamelles de sa surface, fortement grossie.
3. *id.* partie inférieure du spécimen, vue par le côté concave ou ventral et montrant la section longitudinale du siphon, suivant un plan perpendiculaire au plan médian. On voit un dépôt organique peu prononcé, au droit des goulots.
4. *id.* section transverse, orientée comme la fig. 1 et montrant la position du siphon.

Etage. Fig.

**Cyrtoceras Murchisoni.** Barr. . . . . E  
(voir Pl. 148—160—165—200.)

5. Spécimen vu par la face latérale. Il montre la grande chambre avec le bord de l'ouverture presque intact, une longue série de loges aériennes et des fragments du test, avec ses ornements. *Konieprus.*
6. *id.* cloison terminale de la grande chambre, vue par le côté convexe. Elle est orientée comme la fig. 5, et montre la position du siphon.
7. *id.* vu par le côté convexe ou dorsal, montrant l'inflexion que font les stries, sur la ligne médiane.
8. Autre spécimen, vu par la face latérale. Il montre la grande chambre avec le bord intact de l'ouverture, la majeure partie des loges aériennes et une portion du test. *Lochkov.*
9. *id.* vu par le côté concave ou ventral. Il montre l'orifice, le sinus étroit, mais prononcé, que font les stries sur la ligne médiane et une partie du siphon mis à nu par une section perpendiculaire au plan médian. On voit, au droit des goulots, l'indication d'un faible dépôt organique.
10. *id.* cloison vue par le côté convexe et montrant la position du siphon. Elle est orientée comme la fig. 8.
11. Autre spécimen, section longitudinale, suivant le plan médian. Elle montre la grande chambre, les restes des cloisons brisées et une grande partie du siphon. *Dtauha Hora.*
12. *id.* 3 éléments du siphon grossis, avec la trace des cloisons et du test.



Feine Becken u. d. Nat. gez. u. lith. Wien.

Lith. u. gedr. d. k. k. Hof- u. Staatsdruckerei.





Fig.

Etage.

Fig.

Etage.

**Cyrtoceras hybridu.** Barr. . . . . E

1. Spécimen vu par la face latérale. Il montre la grande chambre, la majeure partie des loges aériennes et des fragments du test. *Blauha Hora.*
2. *id.* vu par le côté convexe, montrant la direction horizontale des stries, sur la ligne médiane.
3. *id.* vu par le côté concave ou ventral, montrant le faible sinus des stries au droit du siphon, dont quelques éléments sont mis à nu, dans une section partielle, longitudinale.
4. *id.* 3 éléments du siphon grossis, avec la trace des cloisons et un faible dépôt organique au droit des goulots.
5. *id.* cloison vue par la face convexe. Elle est orientée comme la fig. 1 et montre la position du siphon.
6. *id.* profil longitudinal du test, montrant l'imbrication directe de ses ornements.
7. Autre spécimen vu par la face latérale, montrant la grande chambre, dont le bord est endommagé, une série de loges aériennes et une partie du test. *Lochkov.*
8. *id.* section transverse, orientée comme la fig. 7 et montrant la position anormale du siphon, hors du plan médian de la coquille.
9. *id.* vu par le côté concave ou ventral, montrant une faible échancrure au bord de l'orifice et le sinus correspondant des ornements, au droit du siphon.
10. *id.* fragment du test grossi, montrant ses plis, ses stries et leur sinus.
11. *id.* section longitudinale du test, montrant l'imbrication directe de ses ornements, beaucoup plus prononcés que dans le spécimen précédent.

**Cyrtoceras parvulum.** Barr. . . . . E

12. Spécimen presque complet, vu par la face latérale. Il montre le moule de la grande chambre, avec le bord de l'ouverture, très-échancré au droit du côté convexe, une série de loges aériennes et une partie du test. *Kozovz.*
13. *id.* cloison vue par le côté convexe. Elle est orientée comme la fig. 12 et montre la position du siphon.
14. *id.* vu par le côté concave ou ventral. Il montre une légère échancrure au bord de l'orifice et le sinus correspondant des stries, au droit du siphon mis à nu, dans sa partie supérieure.
15. *id.* 3 éléments du siphon grossis, avec la trace des cloisons.
16. *id.* fragment du test grossi avec ses ornements et leur sinus.
17. *id.* section longitudinale du test, montrant l'imbrication directe de ses ornements.
18. Autre spécimen vu par le côté convexe ou dorsal. Il montre une large échancrure au bord de l'orifice et le sinus correspondant des stries. *Lochkov.*

**Cyrtoceras debile.** Barr. . . . . E

(voir Pl. 168.)

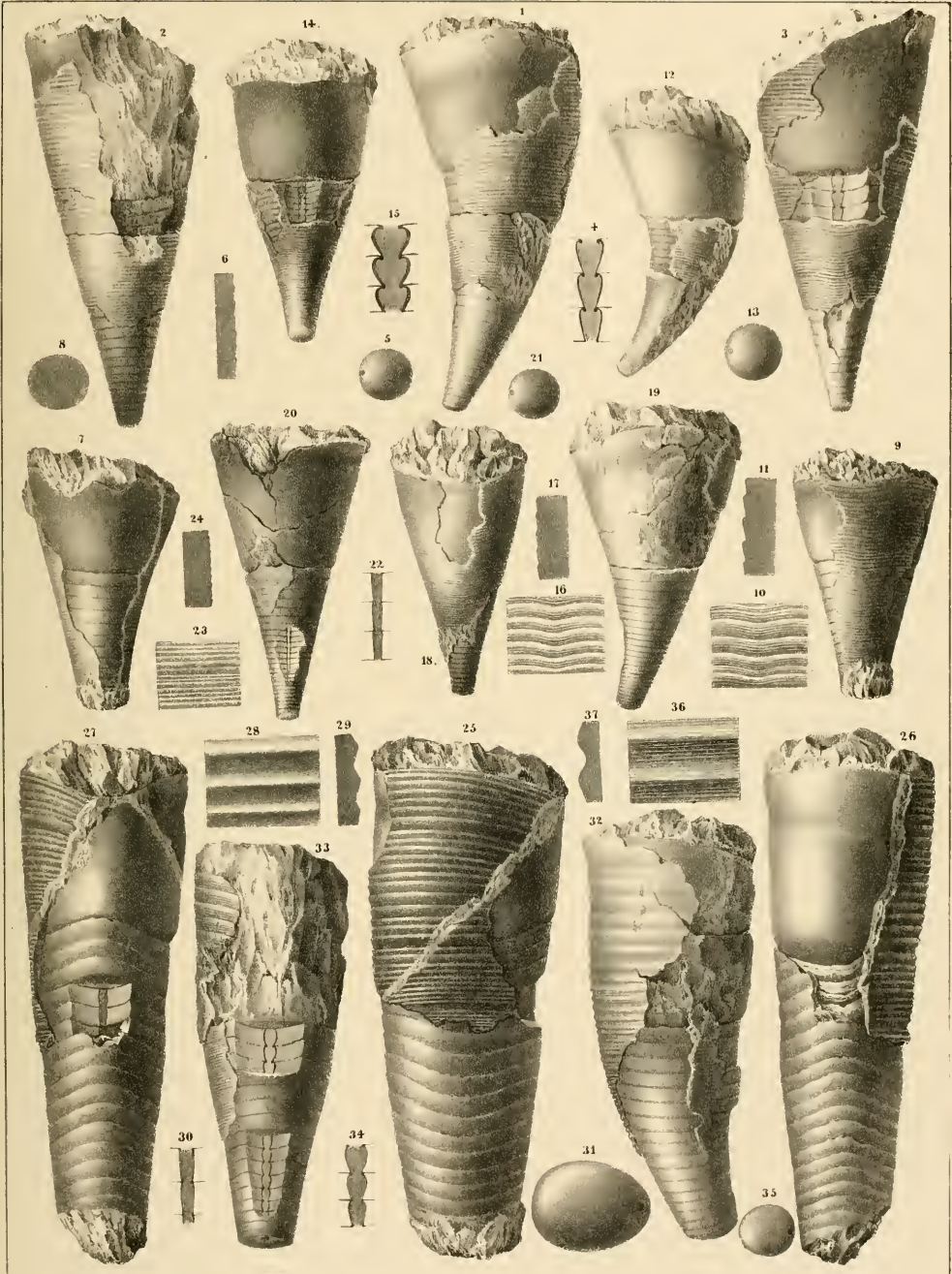
19. Spécimen vu par la face latérale. Il montre la grande chambre avec le bord de l'ouverture, une série de cloisons et quelques fragments du test. *Lochkov.*
20. *id.* vu par le côté concave ou ventral, montrant le siphon mis à nu par une section perpendiculaire au plan médian.
21. *id.* cloison vue par le côté convexe, montrant la position du siphon et orientée comme la fig. 19.
22. *id.* 3 éléments du siphon grossis avec la trace des cloisons.
23. *id.* fragment du test grossi avec ses stries.
24. *id.* section longitudinale du test, montrant l'imbrication directe des ornements.

**Cyrtoceras Süssi.** Barr. . . . . E

25. Spécimen vu par la face latérale, montrant le bord de l'ouverture, la grande chambre, une série de cloisons, une partie du test et des impressions longitudinales sur le moule interne. *Lochkov.*
26. *id.* vu par le côté convexe ou dorsal, montrant l'étranglement du moule au dessous de l'ouverture.
27. *id.* vu par le côté concave ou ventral, montrant l'échancrure au bord de l'orifice et le siphon mis à nu par la section longitudinale de quelques éléments.
28. *id.* fragment du test, fortement grossi, montrant les plis, à surface lisse, dont il est orné.
29. *id.* section longitudinale du même fragment.
30. *id.* 2 éléments du siphon grossis, avec la trace des cloisons.
31. *id.* cloison vue par le côté convexe, montrant la position du siphon et orientée comme la fig. 25.

**Cyrtoceras electum.** Barr. . . . . E

32. Spécimen vu par la face latérale, montrant la grande chambre, le bord de l'ouverture, une série de cloisons et une partie du test. *Lochkov.*
33. *id.* vu par le côté concave ou ventral, montrant le siphon mis à nu, suivant un plan normal au plan médian.
34. *id.* 3 éléments du siphon grossis, avec la trace des cloisons. Ils sont pris dans la partie supérieure du fossile.
35. *id.* cloison terminale, orientée comme la fig. 32 et montrant la place du siphon.
36. *id.* fragment du test grossi, montrant ses plis ornés de stries.
37. *id.* section longitudinale du même fragment.



Bad. Schömm n 4 Nat. gez. u. lith. Wies

Lith. angez. d. k. k. Hof- u. Staatsdruckerei.





Fig.

Etage.

**Cyrtoceras speciosum.** Barr. . . . . E  
(voir Pl. 170—217.)

1. Spécimen vu par le côté concave ou ventral. Moule interne, montrant la grande chambre un peu endommagée et la majeure partie des loges aériennes. Le siphon se voit à nu et en relief, dans la partie inférieure, tandis que sa partie supérieure est exposée dans une section normale au plan médian. *Lochkov.*
2. *id.* section transverse orientée comme la fig. 1 et montrant la position du siphon.
3. *id.* 3 éléments du siphon grossis et vus en relief, comme dans la partie inférieure du fossile.
4. *id.* les mêmes éléments vus de profil, avec la trace des cloisons et du test.
5. Autre spécimen plus jeune, vu par la face latérale. Il montre le moule de la grande chambre, le bord de l'ouverture, la majeure partie des loges aériennes et des fragments du test. *Lochkov.*
6. *id.* vu par le côté concave ou ventral. Il montre le faible sinus des stries au droit du siphon, qui est mis à nu dans sa partie inférieure, suivant un plan normal au plan médian.
7. *id.* 3 éléments du siphon, grossis. Ils sont pris vers le bout inférieur et leur forme est plus allongée que dans le spécimen, fig. 1, qui représente un âge plus avancé.

Fig.

Etage.

**Cyrtoceras dolium.** Barr. . . . . E

8. Spécimen incomplet, vu par la face latérale. Il montre la base de la grande chambre et une série de loges aériennes, qui ont été usées le long du bord à gauche, pour la recherche du siphon. *Kozorç.*
9. *id.* vu par le côté rectiligne ou ventral, montrant le siphon mis à nu, suivant un plan normal au plan médian.
10. *id.* cloison terminale, orientée comme la figure 8 et montrant la position du siphon.
11. *id.* 3 éléments du siphon grossis, avec la trace des cloisons.

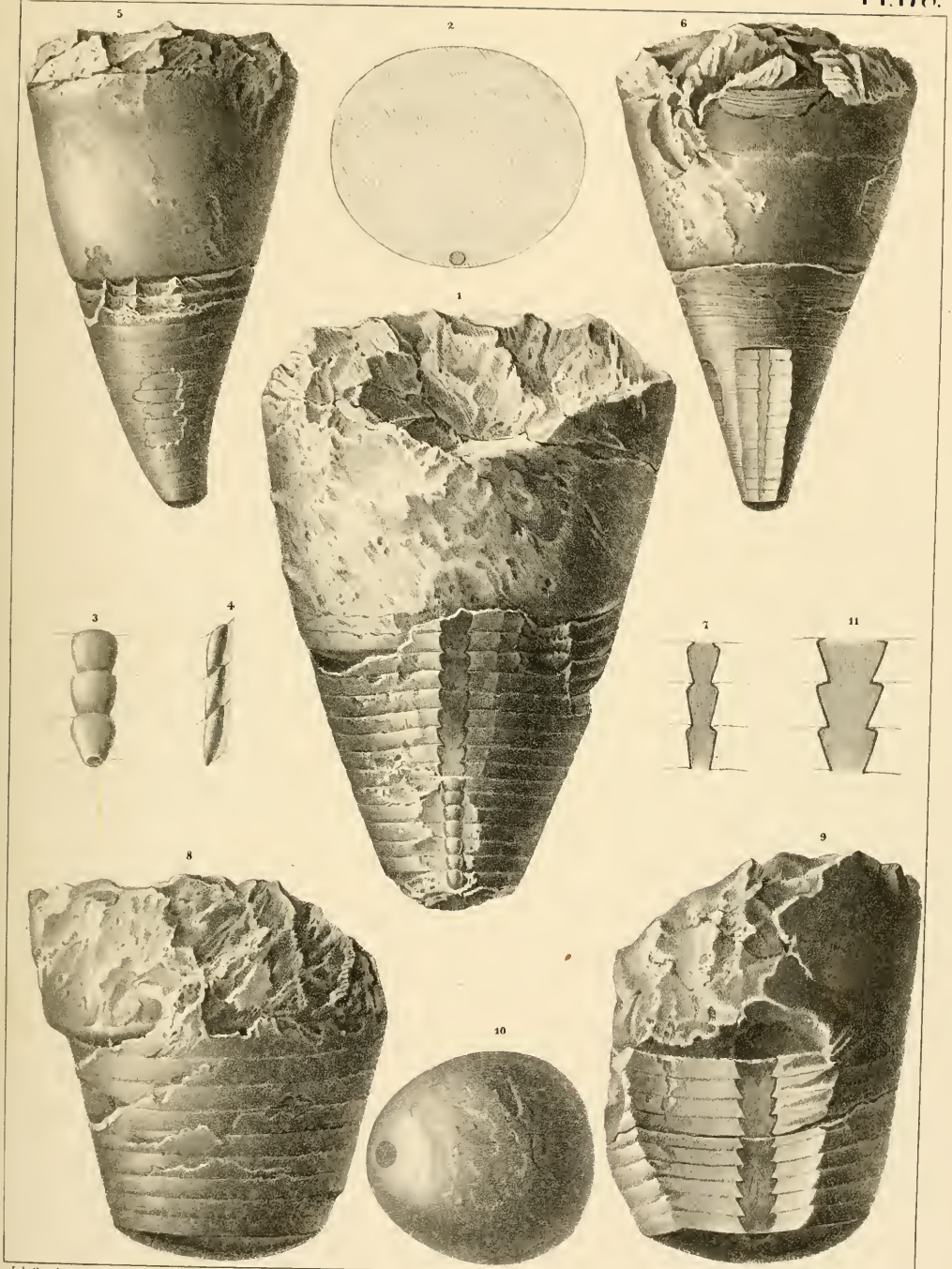






Fig.

**Cyrtoceras Silenus.** Barr. . . . . E

1. Fragment de la partie cloisonnée; moule interne montrant une série de loges aériennes, dont la surface est plus ou moins brisée. *Konieprus*.
2. *id.* section longitudinale, suivant le plan médian. Elle montre les cloisons et le siphon, bien conservés.
3. *id.* cloison vue par le côté convexe et montrant la position du siphon vers le petit bout de l'ovale. Elle est orientée comme les fig. 1—2.

Etage. Fig.

**Cyrtoceras Rausaji.** Barr. . . . . E

4. Spécimen vu par la face latérale. Il montre le moule interne de la grande chambre, avec une partie du bord de l'ouverture et l'étranglement habituel au dessous de celui-ci. On aperçoit divers fragments d'Orthocères et d'autres fossiles dans l'orifice du spécimen. La partie cloisonnée conserve une série de loges aériennes et une partie du test. *Kozořs*.
5. *id.* section horizontale vers l'extrémité de la partie cloisonnée, montrant la position du siphon près du gros bout de l'ovale, ce qui contraste avec l'espèce précédente et avec beaucoup d'autres formes déjà figurées de cette subdivision du genre *Cyrtoceras*.
6. *id.* fragment du test grossi pour montrer ses ornements, qui sont très prononcés.
7. *id.* section longitudinale du test, montrant le recouvrement direct et la saillie des ornements.
8. Autre spécimen vu par le côté ventral. La grande chambre est en partie brisée, mais on reconnaît cependant une portion du bord de l'ouverture. La partie cloisonnée a été préparée de manière à montrer une section longitudinale du siphon, suivant un plan normal au plan médian. *Hinter-Kopanina*.

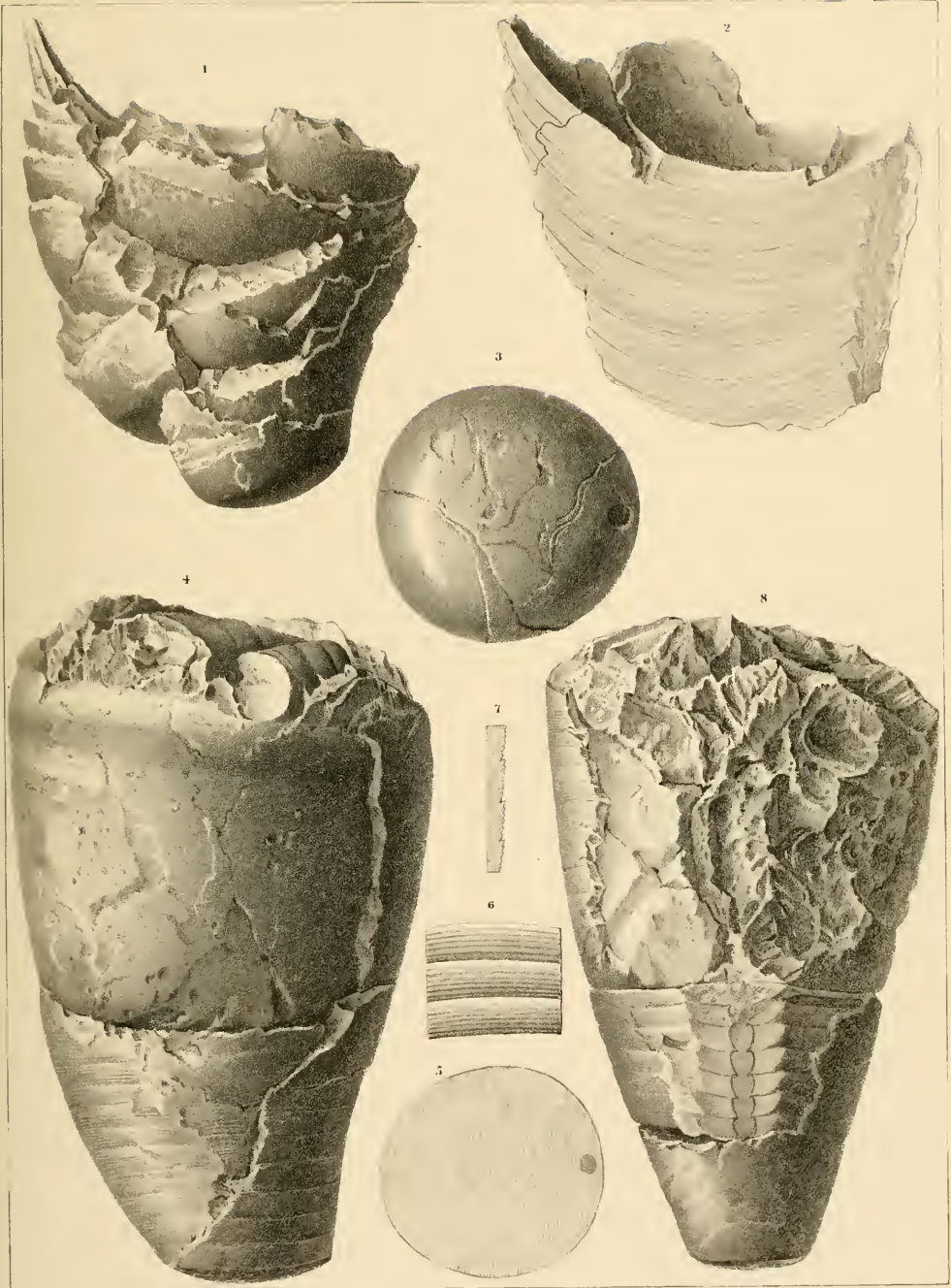






Fig.

Etage.

Fig.

Etage.

**Orthoceras Schumi.** Barr. . . . . E

1. Spécimen presque complet, vu par la face latérale. On voit le bord intact de l'ouverture, la limite de la grande chambre, au droit de la seconde brisure à partir du haut et une série de loges aériennes, mises à nu vers la pointe. *Slivenetz.*
2. *id.* vu par le côté convexe ou dorsal.
3. *id.* vu par le côté concave ou ventral. Le bord de l'ouverture présente un sinus, qui se reproduit sur chacune des stries ou petites bandes, formant les ornements de la surface. On voit aussi dans une lacune du test, la limite intérieure de la grande chambre et quelques cloisons.
4. *id.* cloison terminale de la grande chambre, grossie presque du double et montrant la position du siphon contre le petit bout de la fig. ovulaire.
5. *id.* fragment du test grossi, pour montrer la disposition des ornements.
6. *id.* section longitudinale du test montrant le recouvrement direct des ornements.

**Cyrtoceras Halli.** Barr. . . . . G-g I

7. Spécimen vu par le côté ventral ou concave. Il montre le bord de l'ouverture, la grande chambre et une portion des loges aériennes. Le test est conservé en grande partie sur cette face et empêche de reconnaître les cloisons. *Chotečz.*
8. *id.* vu par la face latérale, montrant une courbure distincte vers le bas.
9. *id.* section transversale, prise vers le milieu supposé de la grande chambre et orientée comme la fig. 7; le côté le plus convexe correspondant au côté ventral, est déterminé par le sinus des ornements. Ce sinus indique la position du siphon, qui est invisible sur ce spécimen.

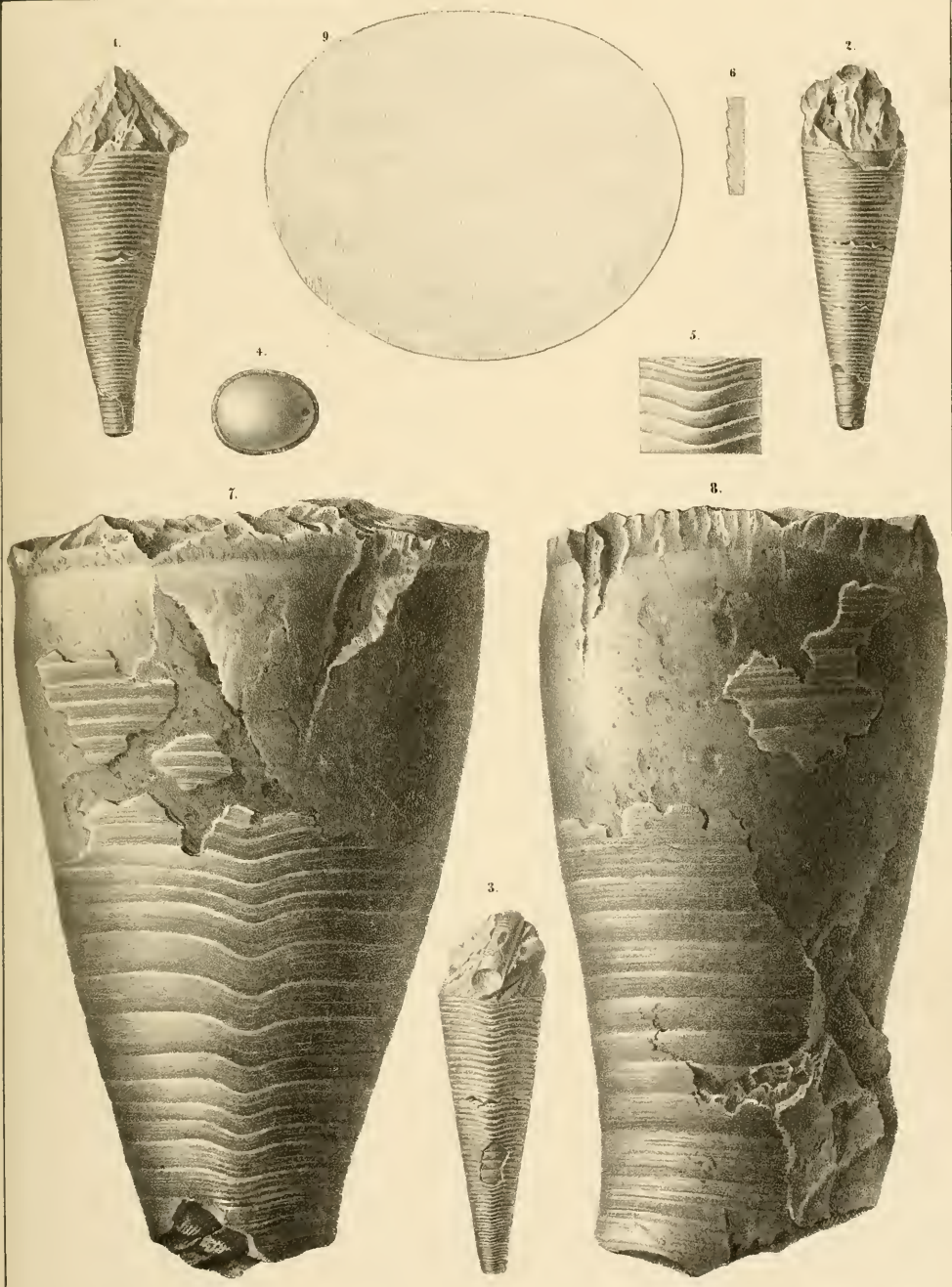






Fig.

Etage.

**Cyrtoceras secans.** Barr. . . . . E  
(voir Pl. 159.)

1. Spécimen de taille moyenne, vu par la face latérale. Il montre la grande chambre avec le bord intact de l'ouverture, la majeure partie des loges aériennes et un fragment du test. *Zurzik près Hinter-Kopana.*
2. *id.* vu par le côté ventral, montrant le sinus du bord de l'orifice au droit du siphon. Celui-ci est mis à nu dans deux loges aériennes, par une section longitudinale.
3. *id.* vu par le côté dorsal, montrant une légère inflexion sur le bord de l'orifice. Cette figure présente le fossile comme moins arrondi qu'il ne l'est réellement dans la nature. On jugera mieux sa forme d'après la section horizontale.
4. *id.* section transverse prise vers le milieu de la partie cloisonnée et montrant la position du siphon, qui ne devrait pas toucher le bord. Elle est orientée comme la fig. 1.
5. *id.* deux éléments du siphon grossis avec la trace des cloisons.
6. Autre spécimen plus jeune et vu par le côté ventral. Il montre la grande chambre à peu près complète, une série de loges aériennes et une partie du test. Le siphon a été mis à nu dans la longueur des 4 loges aériennes les plus élevées et on voit qu'il correspond au sinus des stries. *Zurzik.*
7. *id.* vu par la face latérale, montrant les stries presque horizontales.
8. *id.* 2 éléments du siphon grossis avec la trace des cloisons.
9. *id.* cloison prise vers le milieu de la longueur de la partie cloisonnée et vue par le côté concave. Elle est orientée comme la fig. 7 et montre la position du siphon.

Etage.

**Cyrtoceras aduncum.** Barr. . . . . F  
(voir Pl. 169.)

10. Spécimen vu par la face latérale, conservant une partie du test. Il montre la grande chambre complète avec le bord intact de l'ouverture et une série de loges aériennes un peu endommagées. A la base de la grande chambre et sur la loge aérienne contigue, le moule interne montre une série d'impressions longitudinales. *Konieprus.*
11. *id.* vu par le côté concave ou ventral, montrant le sinus au bord de l'orifice et l'impression du siphon à la base de la grande chambre.

II

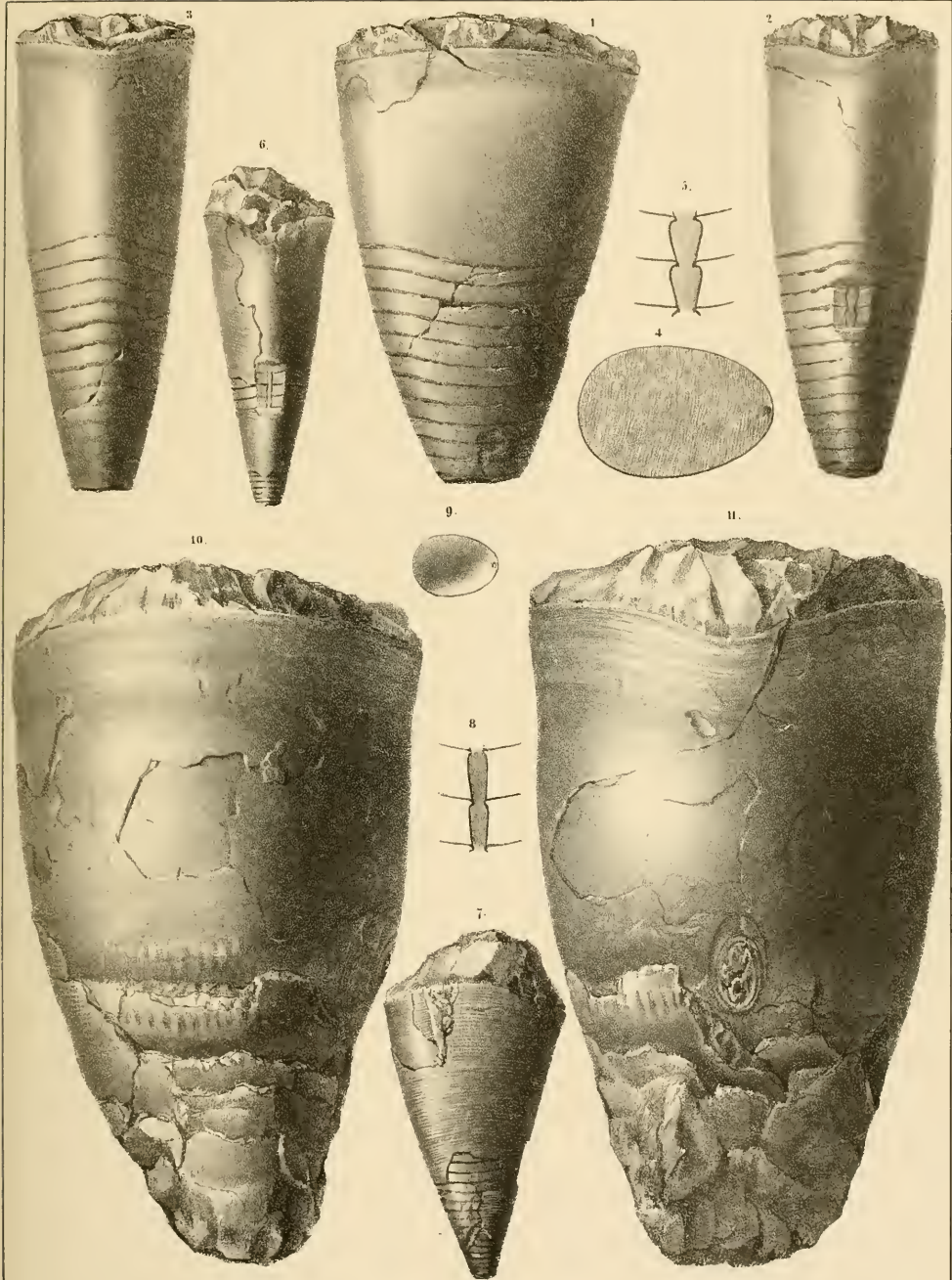






Fig.

Etage.

Fig.

Etage.

**Cyrtoceras Logani.** Barr. . . . . E

1. Spécimen presque complet sauf la pointe. Il est vu par la face latérale, montrant la grande chambre, une série de loges aériennes et une partie du test. *Lochkor.*
2. *id.* vu par le côté concave. La surface a été usée de manière à montrer une section longitudinale du siphon, sur toute la partie cloisonnée.
3. *id.* section transverse, prise un peu au dessous de la grande chambre et orientée comme la fig. 1. Elle montre la position sub marginale du siphon.
4. *id.* trois éléments du siphon grossis avec la trace des cloisons. Ils sont pris vers le milieu de la partie cloisonnée.
5. *id.* fragment du test grossi, pour montrer ses ornements. Les stries figurées sont un peu trop prononcées.

**Cyrtoceras cuneiforme.** Barr. . . . . E

(voir Pl. 169.)

6. Spécimen presque complet, vu par la face latérale. Il montre la grande chambre, une longue série de loges aériennes et une partie du test. On remarque sur la surface de ce test de fortes stries transverses, sub-régulièrement espacées et qu'on pourrait prendre pour l'affleurement des cloisons, avec lesquelles elles ne correspondent pas. Vers la pointe du fossile, on ne voit que des stries fines et serrées. Dans la partie à droite de la figure, où le test manque, on aperçoit les véritables affleurements des cloisons. *Hinter-Kopanina.*
7. *id.* section transverse, orientée comme la fig. 6 et montrant la position sub marginale du siphon.
8. *id.* vu par le côté ventral, sub rectiligne. La surface a été usée de manière à montrer une section longitudinale du siphon. Les éléments de cet organe contrastent par leur forme avec ceux de *Cyrt. Logani* fig. 2 et 4.
9. Autre spécimen vu par la face latérale, montrant la grande chambre endommagée, une série de loges aériennes et quelques fragments du test. *Hinter-Kopanina.*
10. *id.* vu par le côté ventral. La surface a été usée de manière à montrer la section longitudinale du siphon.
11. *id.* section transverse, orientée comme la fig. 9. Elle est légèrement elliptique, et montre la position sub marginale du siphon.

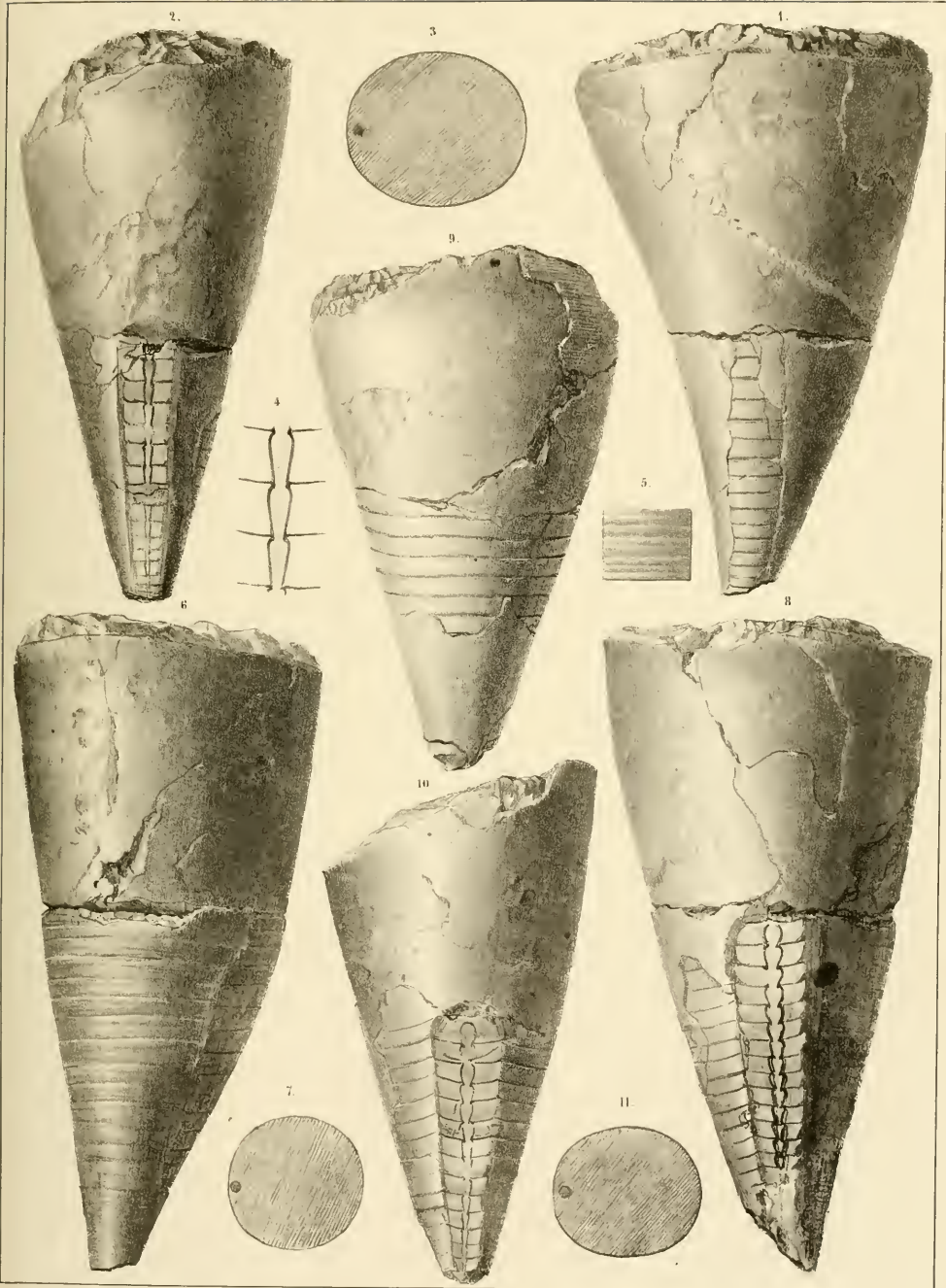






Fig.

**Cyrtoceras Beranense.** Barr. . . E

1. Spécimen vu par la face latérale, montrant la grande chambre, une série de loges aériennes et une partie du test. Le bord dorsal montre une courbure distincte, tandis que le bord ventral est presque rectiligne. *Dianha Hora.*
2. *id.* section transverse orientée comme la fig. 1. Elle est circulaire et montre la position sub marginale du siphon, contre le bord rectiligne ou ventral.
3. Autre spécimen vu par la face latérale. Moule interne, montrant la grande chambre et une série de loges aériennes. La courbure prononcée du bord dorsal contraste avec la forme rectiligne du bord ventral. *Dianha Hora.*
4. *id.* vu par le côté ventral. Le bord de l'orifice présente un sinus sur la ligne médiane. La partie cloisonnée a été usée de manière à montrer une section longitudinale du siphon.
5. *id.* section transverse légèrement ovale et orientée comme la fig. 3. Elle montre la position sub marginale du siphon, au bout amaigri.
6. Autre spécimen vu par la face latérale. Le bord dorsal et le bord ventral, offrant à peu près la même courbure, la coquille paraît presque droite. Elle se compose de la grande chambre, d'une série de loges aériennes et d'une partie du test. *Dianha Hora.*
7. *id.* vu par le côté ventral. Le bord de l'orifice montre un léger sinus sur la ligne médiane. Le siphon a été mis à nu par une section longitudinale. Le moule interne présente quelques impressions rectilignes, vers le milieu du spécimen. Elles sont dirigées dans le sens de la longueur.
8. *id.* vu par le côté dorsal. Les stries présentent une concavité prononcée vers le haut du fossile et qui reproduit celle du bord de l'orifice. Cette large courbure diffère notablement du sinus qu'offre le bord du même orifice, sur le côté ventral.
9. *id.* trois éléments du siphon grossis avec la trace des cloisons. Ils sont pris vers le milieu de la longueur et ont une apparence cordiforme très-prononcée.
10. *id.* section transverse circulaire, orientée comme la fig. 6.
11. *id.* fragment du test grossi, montrant ses ornements.
12. *id.* section longitudinale du test, indiquant l'imbrication des stries, qui est directe, mais plus faible dans la nature.

Etage

Fig.

Etage.

13. Autre spécimen vu par la face latérale. Le côté dorsal et le côté ventral sont presque rectilignes. Le bord de l'orifice est conservé avec le test. *Dianha Hora.*
14. *id.* vu par le côté ventral. Le bord de l'orifice présente, sur la ligne médiane, un sinus qui se reproduit sur les stries. La partie inférieure a été usée de manière à montrer une section longitudinale du siphon.
15. *id.* section transverse elliptique. Elle est orientée comme la fig. 13 et montre le siphon submarginale vers le bout amaigri.
16. Autre spécimen, représentant le jeune âge. Il est vu par la face latérale. Les deux bords ventral et dorsal sont presque rectilignes. On distingue la grande chambre, une série de loges aériennes et une partie du test. *Dianha Hora.*
17. *id.* vu par le côté ventral, entièrement recouvert par le test. Les stries font un léger sinus sur la ligne médiane.
18. *id.* section transverse, un peu elliptique, orientée comme la fig. 16 et montrant la position submarginale du siphon.
19. Autre spécimen, plus jeune et vu par la face latérale. Il montre la grande chambre, une série de loges aériennes et un fragment du test. *Dianha Hora.*
20. *id.* vu par le bord ventral. La partie cloisonnée a été usée de manière à montrer le siphon.
21. *id.* deux éléments du siphon grossis. Leur forme est presque cylindrique et contraste avec celle des éléments de l'âge adulte, fig. 9.
22. *id.* section transverse un peu elliptique et orientée comme la fig. 12. Le siphon a été oublié.
23. Autre spécimen, vu par la face latérale et montrant la série presque complète des loges aériennes. Ce fragment est presque sans courbure. On voit à la partie supérieure la base de la grande chambre. *Dianha Hora.*
24. *id.* section transverse un peu elliptique. Elle est orientée comme la fig. 23 et montre la position submarginale du siphon.
25. *id.* trois éléments du siphon grossis avec la trace des cloisons. Ils sont vus en relief d'après un spécimen non figuré. *Dianha Hora.*
26. *id.* section idéale des mêmes éléments du siphon, suivant le plan médian, avec la trace du test et des cloisons.

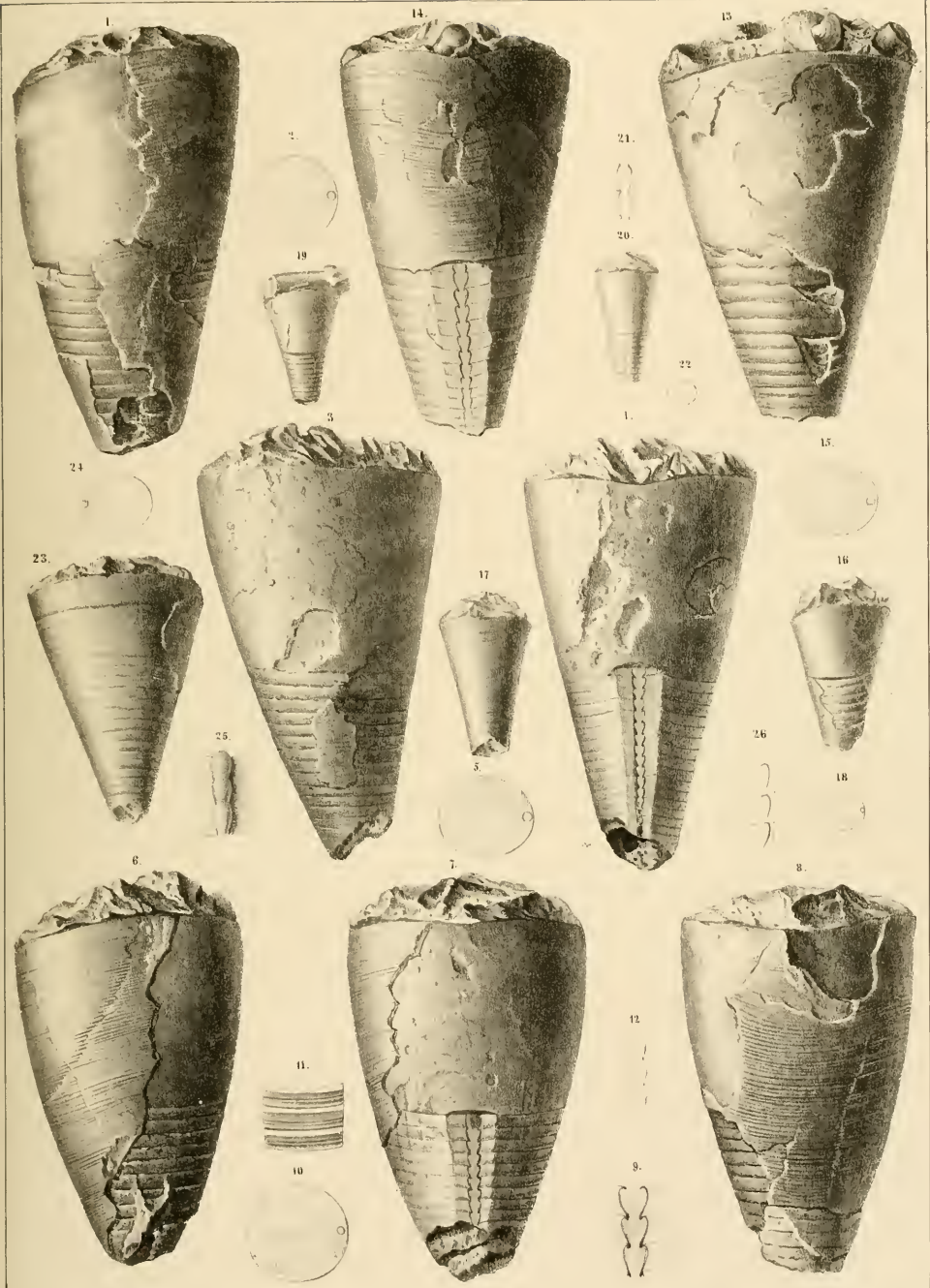






Fig.

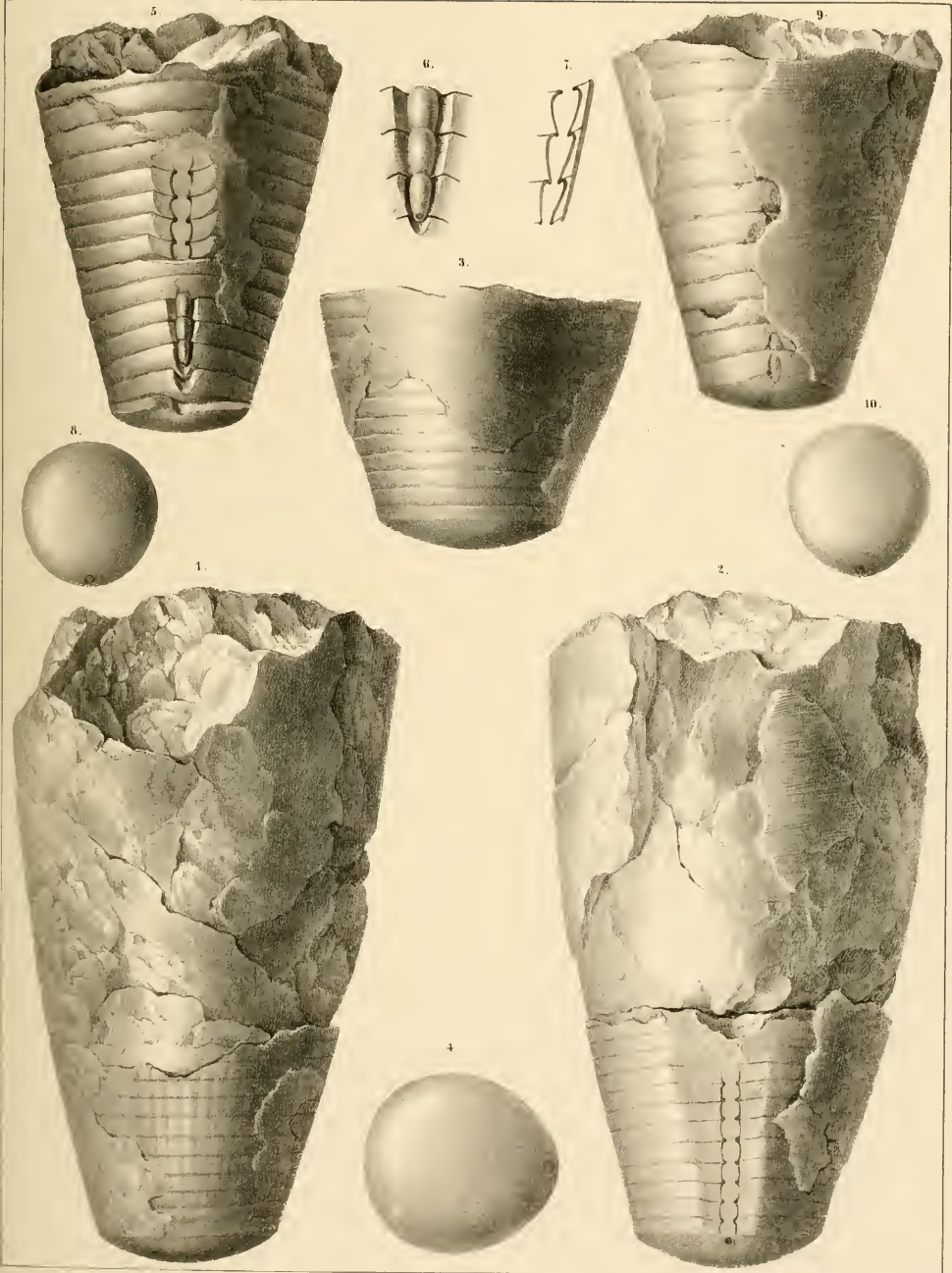
Etage. Fig.

Etage.

**Cyrtoceras Heberti**. Barr. . . . . E

1. Spécimen vu par la face latérale, montrant la grande chambre endommagée et une série de loges aériennes. Sur la partie cloisonnée, on voit quelques impressions longitudinales qui n'existent, ni sur la face dorsale, ni sur la face ventrale. *Viskočilka*.
2. *id.* vu par le côté ventral. Un fragment du test, conservé sur la grande chambre, montre des stries fines et obliques, qui doivent figurer un sinus sur la ligne médiane. La partie cloisonnée a été usée de manière à montrer une section longitudinale du siphon. Dans l'intérieur de cet organe, on voit la trace du dépôt organique, sous la forme de points noirs au droit des gonioles.
3. *id.* partie cloisonnée vue par la face latérale opposée à celle de la fig. 1. Elle est destinée à montrer une partie du test, orné de stries transverses, très fines et obliques.
4. *id.* cloison terminale, ovalaire. Elle est vue par la face convexe et montre le siphon placé près du bord amaigri. Elle est orientée comme la fig. 1.

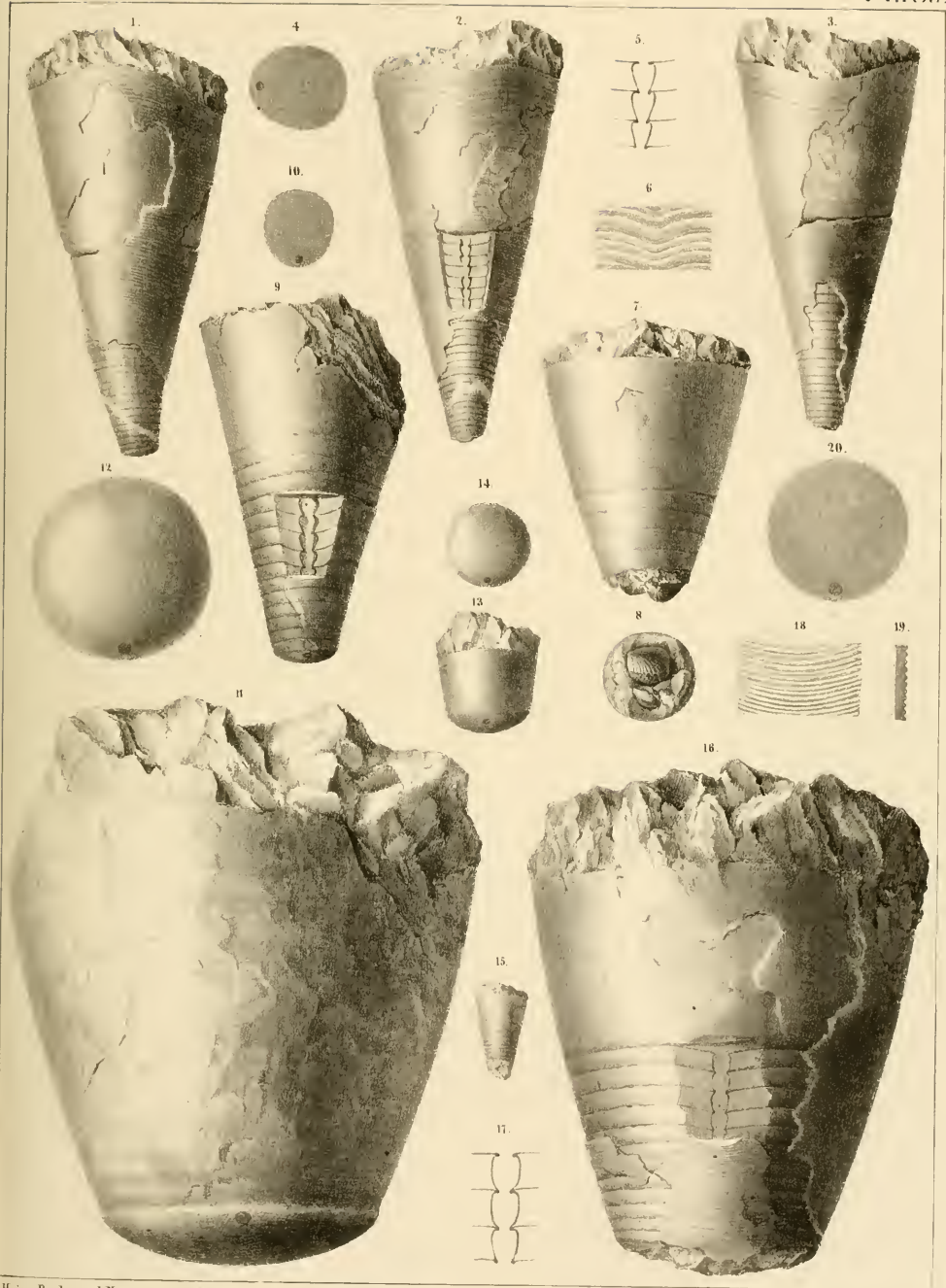
5. Autre spécimen présentant une série de loges aériennes, vue par le côté ventral. Sur une partie de la longueur, le siphon est mis à nu par une section longitudinale. Vers le bout, trois éléments de cet organe sont exposés en relief. *Hinter-Kopanina*.
6. *id.* les trois éléments du siphon en relief sont grossis, avec la trace des cloisons.
7. *id.* section idéale des trois mêmes éléments avec les cloisons et le test, par le plan médian de la coquille.
8. *id.* cloison terminale, orientée comme la fig. 5, et montrant la position sub-marginale du siphon.
9. Autre spécimen, représentant une série de loges aériennes et une partie du test. Il est vu par le côté ventral et les stries du test font une large sinus au droit du siphon. *Hinter-Kopanina*.
10. *id.* cloison terminale orientée comme la fig. 9. Elle est un peu ovalaire et montre le siphon placé près du bout amaigri.







- | Fig. | Etage.  | Fig. | Etage.   |
|------|---|------|--|
|      | <b>Orthoceras indocile.</b> Barr. . . . . E   |      | <b>Orthoceras excussum.</b> Barr. . . . . F  |
| 1.   | Spécimen vu par la face latérale, montrant le bord de l'orifice, la grande chambre, une série de loges aériennes et une partie du test. Le bord ventral, situé à gauche de la figure, présente une échancrure, provenant de la recherche du siphon. <i>Kozoëz</i> . | 13.  | Spécimen représentant la grande chambre d'un jeune individu, vue par le côté ventral. Son angle apical est faible et elle pourrait appartenir à une espèce longicône. <i>Konieprus</i> .   |
| 2.   | <i>id.</i> vu par le côté ventral, qui est un peu convexe. Le bord de l'ouverture présente un léger sinus médian, qui se reproduit sur les stries, au droit du siphon. Cet organe a été mis à nu sur une partie de sa longueur, par une section longitudinale.      | 14.  | <i>id.</i> cloison terminale orientée comme la fig. 13 et montrant la position sub-marginale du siphon.  |
| 3.   | <i>id.</i> vu par le côté dorsal, qui est légèrement concave. Le bord de l'orifice montre une large échancrure avec laquelle les stries sont concentriques.   |      | <b>Orthoceras citum?</b> Barr. . . . . F   |
| 4.   | <i>id.</i> section transverse, orientée comme la fig. 1 et montrant la position sub-marginale du siphon, au bout amaigri.   | 15.  | Spécimen très jeune, montrant la grande chambre, une série de loges aériennes et une partie du test qui paraît lisse. <i>Bois de Suchomast</i> .   |
| 5.   | <i>id.</i> trois éléments du siphon grossis avec la trace des cloisons.   |      | <b>Orthoceras prosperum.</b> Barr. . . . . E   |
| 6.   | <i>id.</i> fragment du test grossi, montrant les ornements avec leur sinus au droit du siphon.  | 16.  | Spécimen vu par le côté ventral, montrant la grande chambre, dont le bord est à peu près complet, une série de loges aériennes et une partie du test. Le siphon est mis à nu par une section longitudinale, dans les loges voisines de la grande chambre. <i>Lochkov</i> . |
|      | <b>Orthoceras homologum.</b> Barr. . . . . F  | 17.  | <i>id.</i> trois éléments du siphon grossis avec la trace des cloisons.  |
| 7.   | Moule interne montrant le bord de l'ouverture, la grande chambre et quatre loges aériennes. Cette forme ressemble à celle de <i>Orth. Tetinense</i> Pl. 192, mais l'absence du test et du siphon nous empêche de prononcer l'identité. <i>Müncian</i> .             | 18.  | <i>id.</i> fragment du test grossi, montrant le sinus des stries au droit du siphon.   |
| 8.   | <i>id.</i> vu par l'extrémité inférieure, dans laquelle ont pénétré deux brachiopodes.  | 19.  | <i>id.</i> section longitudinale du test, montrant les stries sans imbrication sensible.   |
|      | <b>Orthoceras citum.</b> Barr. . . . . F  | 20.  | <i>id.</i> section transverse, montrant la position sub marginale du siphon. Elle est orientée comme la fig. 16 et son diamètre est réduit aux deux tiers.   |
| 9.   | Spécimen vu par le côté ventral. Il montre la grande chambre incomplète, une série de loges aériennes et une partie du siphon, mise à nu par une section longitudinale. <i>Konieprus</i> .  |      |  |
| 10.  | <i>id.</i> section horizontale elliptique. Elle est orientée comme la fig. 9 et montre la position sub-marginale du siphon.   |      |  |
|      | <b>Orthoceras prepotens.</b> Barr. . . . . F  |      |  |
| 11.  | Spécimen représentant le moule interne de la chambre d'habitation d'un grand individu. Le bord de l'orifice est endommagé. On voit sur la surface du moule l'impression de stries faisant un sinus au droit du siphon. <i>Konieprus</i> .                           |      |  |
| 12.  | <i>id.</i> cloison terminale, orientée comme la fig. 11 et montrant la position sub-marginale du siphon. Son diamètre est réduit aux deux tiers.  |      |  |



Heinr. Becker n. d. Nat. gez. u. lith. Wien

Lith. u. gedr. d. k. k. Hof u. Staatsdruckerei.





Fig.

Etage.

Fig.

Etage.

**Orthoceras mundum.** Barr. . . . . E

1. Spécimen du plus jeune âge connu. Il est à peu près complet et conserve son test. La grande chambre, remplie par le calcaire compacte noir, contraste par sa couleur avec la partie cloisonnée, remplie de calcaire spathique blanc. La présence du test empêche de distinguer la trace des cloisons. On voit la pointe obtuse ou calotte initiale de la coquille. *Karlstein. Budnian.*
2. Autre spécimen représentant la partie cloisonnée conservant son test. Il est vu par la face latérale, qui montre une courbure sensible. Le siphon est placé près du bord concave. *Karlstein.*
3. *id.* extrémité inférieure grossie pour montrer les ornements du test, aux environs de la calotte initiale de la coquille. Stries dans les deux sens.
4. *id.* cloison supérieure vue par le côté concave. Elle est orientée comme la fig. 2 et montre la position du siphon, près du bord concave de la coquille.
5. Autre spécimen encore jeune. Il montre le bord de l'ouverture, la grande chambre, la série complète des loges aériennes et un fragment du test. *Karlstein.*
6. *id.* extrémité inférieure grossie, pour montrer la forme de la première loge aérienne formant le petit bout, ou calotte initiale de la coquille.
7. Autre spécimen. Partie cloisonnée, recouverte de son test. On reconnaît une légère courbure dans ce morceau, qui est vu par la face latérale. Le siphon correspond au côté convexe. *Karlstein.*
8. *id.* cloison supérieure, vue par le côté concave. Elle est orientée comme la fig. 7 et montre la position du siphon, près du bord convexe, c. à d. à l'opposé de sa position dans le spécimen fig. 2-4.
9. Autre spécimen parfaitement droit et dont l'angle apical est moyennement ouvert. Il montre la grande chambre et une série de loges aériennes, recouvertes par le test. Son siphon est sub central à la base de la grande chambre. *Karlstein.*
10. Autre spécimen parfaitement droit et dont l'angle apical offre le minimum connu. On voit une partie de la grande chambre et des loges aériennes. Le siphon est placé à peu de distance du bord. *Karlstein.*
11. *id.* cloison terminale vue par la face convexe et montrant la position du siphon.
12. Autre spécimen dont l'angle est un peu plus ouvert. Il montre le bord de l'ouverture, la grande chambre et la partie cloisonnée recouverte par le test. On distingue très bien, au milieu de la calotte initiale, la trace du siphon, comme dans la fig. 30.
13. Autre spécimen représentant une série de cloisons, en partie recouvertes de leur test. Il est vu par la face latérale. *Karlstein.*
14. *id.* cloison supérieure vue par le côté concave. Elle est orientée comme la fig. 13 et montre la position sub-centrale du siphon.
15. Autre spécimen complètement droit. Il montre la grande chambre, une série de loges aériennes et une partie du test. Sa section transverse, non figurée, est circulaire et son siphon est central à la base de la grande chambre. *Karlstein.*
16. Autre spécimen dont l'angle apical est très ouvert. Il montre le bord de l'ouverture, la grande chambre, la majeure partie des loges aériennes et quelques fragments du test. *Karlstein.*
17. *id.* cloison terminale vue par la face convexe. Elle est orientée comme la fig. 16 et montre le siphon près du bord.
18. Autre spécimen légèrement courbe. Il montre le bord de l'ouverture, la grande chambre, la majeure partie des loges aériennes et une grande portion du test. *Hinter-Kopania.*
19. *id.* cloison terminale, vue par la face convexe. Elle est orientée comme la fig. 18 et montre le siphon à mi-distance entre le centre et le bord.
20. Autre spécimen vu par la face latérale, montrant une courbure très sensible. La section est elliptique et son

grand axe est ventro-dorsal. On voit le bord de l'ouverture, la grande chambre et la série complète des cloisons. *Hinter-Kopania.*

21. *id.* cloison terminale de la grande chambre, vue par la face convexe. Elle est orientée comme la fig. 20 et montre la position excentrique du siphon.
22. Autre spécimen vu par la face latérale. Il représente une série de cloisons conservant une partie de leur test, sur lequel les ornements longitudinaux sont très prononcés. *Karlstein.*
23. *id.* cloison supérieure vue par la face concave. Elle est orientée comme la fig. 22 et montre la position du siphon, à mi-distance entre le centre et le bord.
24. *id.* partie inférieure grossie pour montrer les ornements du test.
25. Autre spécimen montrant le bord de l'ouverture, la grande chambre et une section des loges aériennes suivant le plan méridien. La forme de cet individu est droite et sa section transverse, non figurée, est circulaire. Le siphon est central et on distingue sa trace sur la section longitudinale. *Karlstein.*
26. Autre spécimen dont l'angle est très ouvert. Sa forme est droite, sa section circulaire et son siphon est central à la base de la grande chambre. Il montre le bord de l'ouverture, la grande chambre, une partie des loges aériennes et il conserve presque tout son test. *Karlstein.*
27. *id.* cloison terminale de la grande chambre, vue par la face convexe et montrant la position centrale du siphon.
28. Autre spécimen vu par le côté ventral. Il montre le bord de l'ouverture avec une échancreture très marquée, la grande chambre, une série de loges aériennes et une partie du test. Les ornements de la surface sont remarquables par leur saillie et par l'apparence très lamelleuse du test. *Karlstein.*
29. Autre spécimen vu par le côté ventral. Il montre le bord de l'ouverture légèrement échanuré, la grande chambre, la série complète des loges aériennes et la majeure partie du test. La saillie des ornements est faiblement prononcée. *Karlstein.*
30. *id.* calotte terminale vue par la face inférieure, telle qu'on l'observe dans divers spécimens figurés et notamment dans celui qui est représenté fig. 12. Le siphon est central à son origine.
31. Fragment du test grossi, montrant ses ornements dans le cas où ils sont le plus faiblement prononcés, comme dans les spécimens fig. 9, 15, 26 &c.
32. Fragment du test grossi, pour montrer ses ornements, dans le cas où ils sont le plus fortement prononcés et où la surface du test est lamelleuse, comme dans le spécimen fig. 28.
33. Fragment du test fortement grossi, pour montrer ses ornements dans le cas où les stries longitudinales sont plus prononcées que les stries horizontales, comme dans les spécimens fig. 20, &c.
34. Fragment du test fortement grossi pour montrer ses ornements, dans le cas où ils sont très prononcés dans les deux sens, comme dans les spécimens, fig. 22, &c.

**Orthoceras particeps.** Barr. . . . . E

35. Spécimen de nature douteuse. Il se rapproche de *Orth. mundum* par son test, dont l'apparence est semblable à celle des fig. 33 et 34. Mais il diffère par d'autres caractères, notamment par les lignes longitudinales tracées sur la surface de son moule interne et par le développement beaucoup plus grand de la partie cloisonnée. *Droets.*
36. *id.* cloison supérieure, vue par la face concave. Elle est orientée comme la figure 35 et montre la position sub-marginale du siphon.
37. *id.* fragment de la surface du moule interne grossi, pour montrer les stries fines longitudinales, qui couvrent les intervalles entre les lignes saillantes.

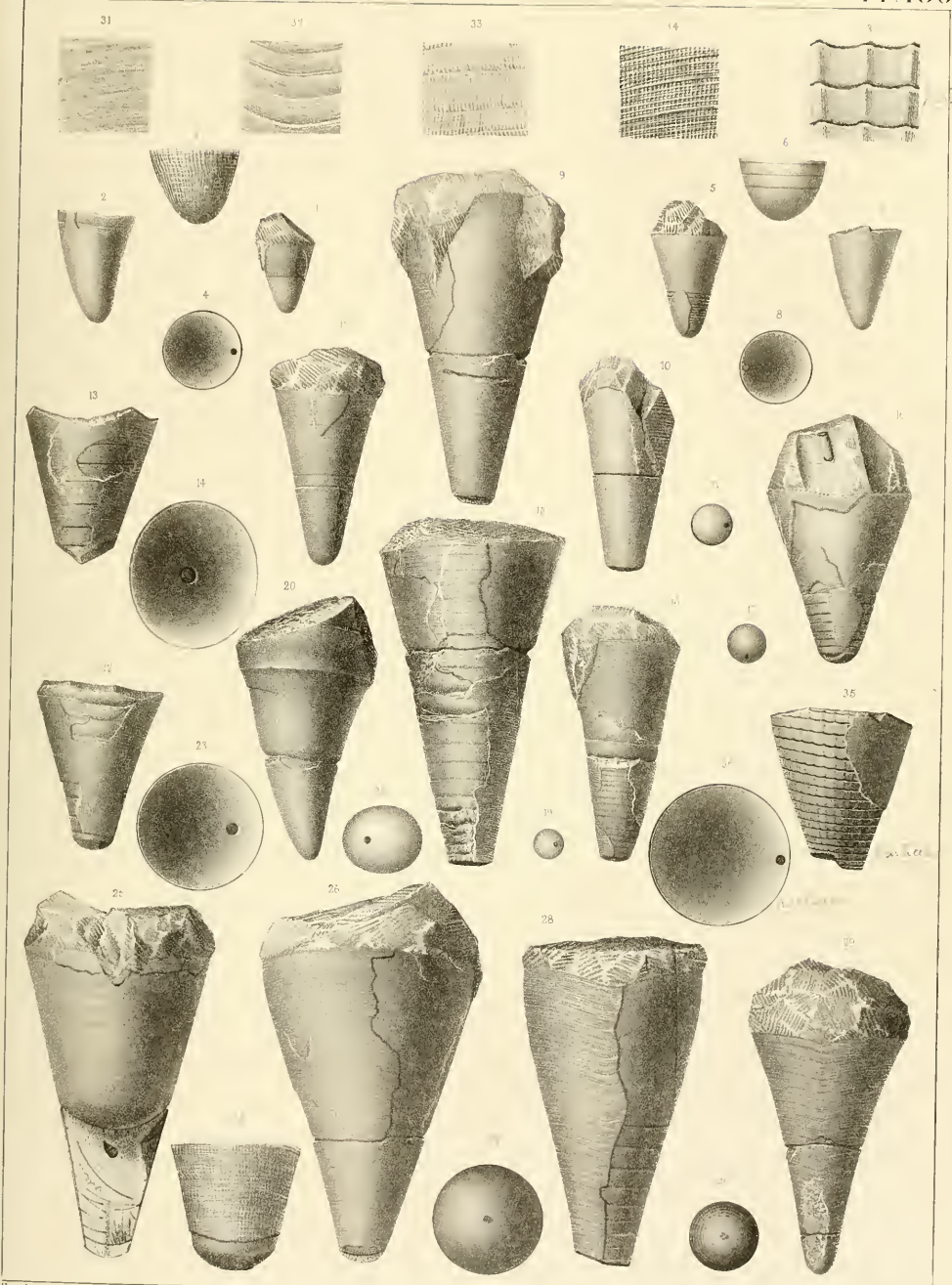






Fig.

Etage.

Fig.

Etage.

**Orthoceras pocutum.** Barr. . . . . E

1. Spécimen vu par la face latérale, montrant la grande chambre avec le bord de l'ouverture, une série de loges aériennes et quelques fragments du test. On voit les lignes longitudinales, qui ornent le moule de la partie cloisonnée. *Dvoretz.*
2. *id.* vu par le côté ventral, montrant les éléments du siphon, par de petites brisures éprouvées par le moule.
3. *id.* cloison vue par la face convexe. Elle est orientée comme la fig. 1 et montre la position du siphon.
4. Autre spécimen vu par le côté dorsal, sur le milieu duquel disparaissent les lignes longitudinales. *Dvoretz.*

**Orthoceras robustum.** Barr. . . . . E

(voir Pl. 159—188—193.)

5. Spécimen très jeune vu par le côté dorsal, c. à d. opposé au siphon. Il montre la grande chambre et une série de loges aériennes conservant la majeure partie du test avec la calotte initiale. *Hinter-Kopanina.*
6. *id.* section transverse au petit bout, montrant la position sub-marginale du siphon. Elle est orientée comme la fig. 5.
7. *id.* fragment du test grossi pour montrer ses ornements. Il est pris dans le voisinage de la calotte terminale et il montre à la fois les stries transverses et les stries longitudinales.
8. *id.* section longitudinale du test, montrant l'imbrication directe des ornements.
9. Autre spécimen très jeune. Il montre la grande chambre et la série des loges aériennes, conservant une grande partie de leur test, avec la calotte initiale. *Hinter-Kopanina.*
10. *id.* extrémité inférieure grossie, pour montrer la calotte initiale et ses ornements figurant un réseau.
11. *id.* vu par l'extrémité inférieure, montrant la calotte dont la partie centrale devient lisse et présente la trace très faible d'une cicatrice.

**Orthoceras longutum.** Barr. . . . . E

12. Moule interne, montrant la grande chambre et une série de loges aériennes, offrant des impressions longitudinales. *Hinter-Kopanina.*
13. Autre spécimen, montrant la grande chambre avec le bord de l'ouverture, une série de loges aériennes et une grande partie du test. *Zwvztk.*
14. Autre spécimen. Moule interne, montrant la grande chambre et une série de loges aériennes. On voit la section longitudinale du siphon, suivant un plan normal au plan médian. *Hinter-Kopanina.*
15. Autre spécimen, montrant la grande chambre, une série de cloisons et une partie du test. La partie inférieure du siphon est exposée dans une section longitudinale. *Hinter-Kopanina.*
16. *id.* 3 éléments du siphon grossis, avec la trace des cloisons.
17. Autre spécimen, montrant la grande chambre, une série de loges aériennes et quelques fragments du test. Le siphon est exposé en relief. *Hinter-Kopanina.*
18. *id.* 3 éléments du siphon en relief, grossis avec la trace des cloisons.
19. *id.* les mêmes éléments vus de profil.
20. *id.* cloison terminale, vue par la face convexe et montrant la position du siphon. Le chiffre indicateur manque à cette figure.

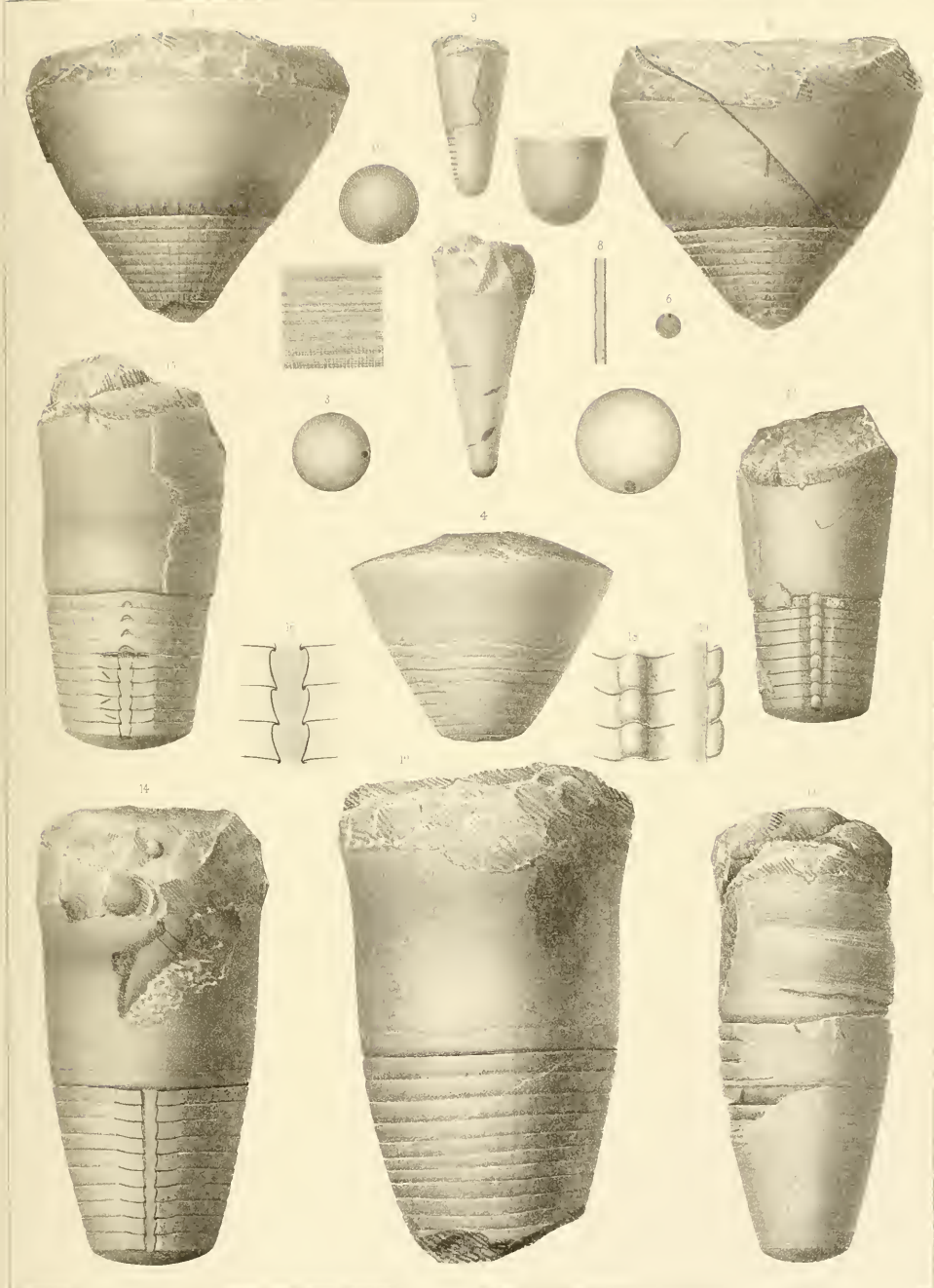






Fig.

Etage. Fig.

Etage.

**Orthoceras robustum.** Barr. . . . E  
(voir Pl. 159—187—193.)

1. Jeune spécimen, montrant la grande chambre et la série des loges aériennes complète. Le test n'est représenté que par un fragment. On voit la pointe arrondie ou calotte initiale de la coquille. *Butoritz.*
2. Autre spécimen plus développé, montrant le bord de l'ouverture, la grande chambre, la série complète des loges aériennes et une partie du test. La surface a été préparée de manière à exposer en relief quelques-uns des éléments du siphon. Au droit de cet organe on voit, sur le moule de la grande chambre, une ligne d'un faible relief et une échancrure au bord de l'ouverture. *Butoritz.*
3. partie inférieure fortement grossie, pour montrer les ornements et la calotte initiale de la coquille.
4. Autre spécimen d'âge moyen et distingué de tous les autres par un étranglement prononcé au dessous du bord de l'orifice. Il montre la grande chambre et la série incomplète des loges aériennes. On voit sur les loges les plus élevées une ligne creuse qui pourrait être la ligne normale, mais qui ne se retrouve dans aucun autre individu. *Butoritz.*
5. Autre spécimen dont l'angle apical est moins ouvert. Il montre la grande chambre, une série de loges aériennes et un fragment du test. *Butoritz.*
6. Autre spécimen contrastant avec le précédent par l'ouverture plus grande de son angle apical. Il montre une partie de la grande chambre, une série de loges aériennes et des fragments du test. *Butoritz.*
7. *id.* cloison terminale de la grande chambre, montrant la position du siphon et orientée comme la fig. 6.
8. Autre spécimen, représentant les plus grandes dimensions connues de l'âge adulte. Il montre le bord de l'ouverture, la grande chambre, une partie des loges aériennes et de grands fragments du test. *Butoritz.*
9. *id.* fragment du test pris sur la grande chambre et grossi, pour montrer son apparence très lamelleuse dans l'âge adulte, ainsi que l'imbrication directe des lamelles.
10. Autre spécimen moins développé, montrant le bord de l'ouverture, la grande chambre, une série de cloisons et une partie du test. *Butoritz.*
11. *id.* fragment du test pris sur les loges aériennes où la structure lamelleuse est encore peu développée, tandis que les stries paraissent groupées par faisceaux inégaux.
12. Autre spécimen, moule interne, montrant la grande chambre et une partie des loges aériennes. Il a été préparé de manière à exposer en relief les éléments du siphon. *Butoritz.*
13. *id.* 3 éléments du siphon grossis avec la trace des cloisons.
14. *id.* les mêmes éléments vus de profil, pour montrer leur imbrication directe.
15. Autre spécimen représentant la série presque complète des loges aériennes d'un adulte très développé. La surface a été préparée de manière à exposer la section longitudinale du siphon, par un plan normal au plan médian. *Butoritz.*
16. *id.* 3 éléments du siphon pris dans la partie supérieure et grossis, avec la trace des cloisons.
17. Autre spécimen, montrant la grande chambre et une série de loges aériennes. La surface complètement dépolie du test montre une ligne saillante qui paraît indiquer le siphon et le bord ventral comme dans la fig. 2. On voit en outre des lignes plus faibles et sub-régulièrement espacées, qui suivent la même direction, sur les loges aériennes et sur la grande chambre. *Butoritz.*
18. *id.* section transverse orientée comme la fig. 17. La forme elliptique de cette section contraste avec l'apparence circulaire que nous observons dans la section de la plupart des autres individus. Cependant, nous trouvons aussi une section un peu aplatie dans le spécimen qui va suivre.
19. *id.* fragment de la surface du moule, fortement grossi, pour montrer les stries très fines et sub-régulières dont elle est ornée entre les sutures des cloisons.
20. Autre spécimen vu par la face latérale, montrant la grande chambre, une série de loges aériennes et une partie du test. La section transverse est elliptique et n'a pas été figurée parce qu'elle se trouve représentée à peu près exactement par la fig. 18, appartenant au spécimen précédent. *Butoritz.*
21. Autre spécimen vu par la face latérale, montrant le bord de l'ouverture, la grande chambre, une série de loges aériennes et une partie du test. Ce morceau présente une courbure distincte et nous constatons que son siphon est placé contre le bord convexe. *Butoritz.*
22. *id.* cloison prise vers le milieu de la partie cloisonnée et vue par la face convexe. Elle est orientée comme la fig. 21 et montre la position du siphon.
23. Autre spécimen vu par la face latérale, montrant le bord de l'ouverture, la grande chambre, une série de loges aériennes et une partie du test. On reconnaît sur le profil de ce morceau, une courbure sensible, mais elle est dirigée dans un sens inverse par rapport à celle du spécimen fig. 21, car le siphon est placé contre le bord concave. *Butoritz.*
24. *id.* cloison terminale de la grande chambre vue par la face convexe. Elle est orientée comme la fig. 23 et montre la position du siphon, inverse par rapport à celle qui est indiquée sur la fig. 22.

N. B. Les deux spécimens à section elliptique, fig. 17 à 20 peuvent être considérés comme une variété, que nous nommons Var. *debitata*.

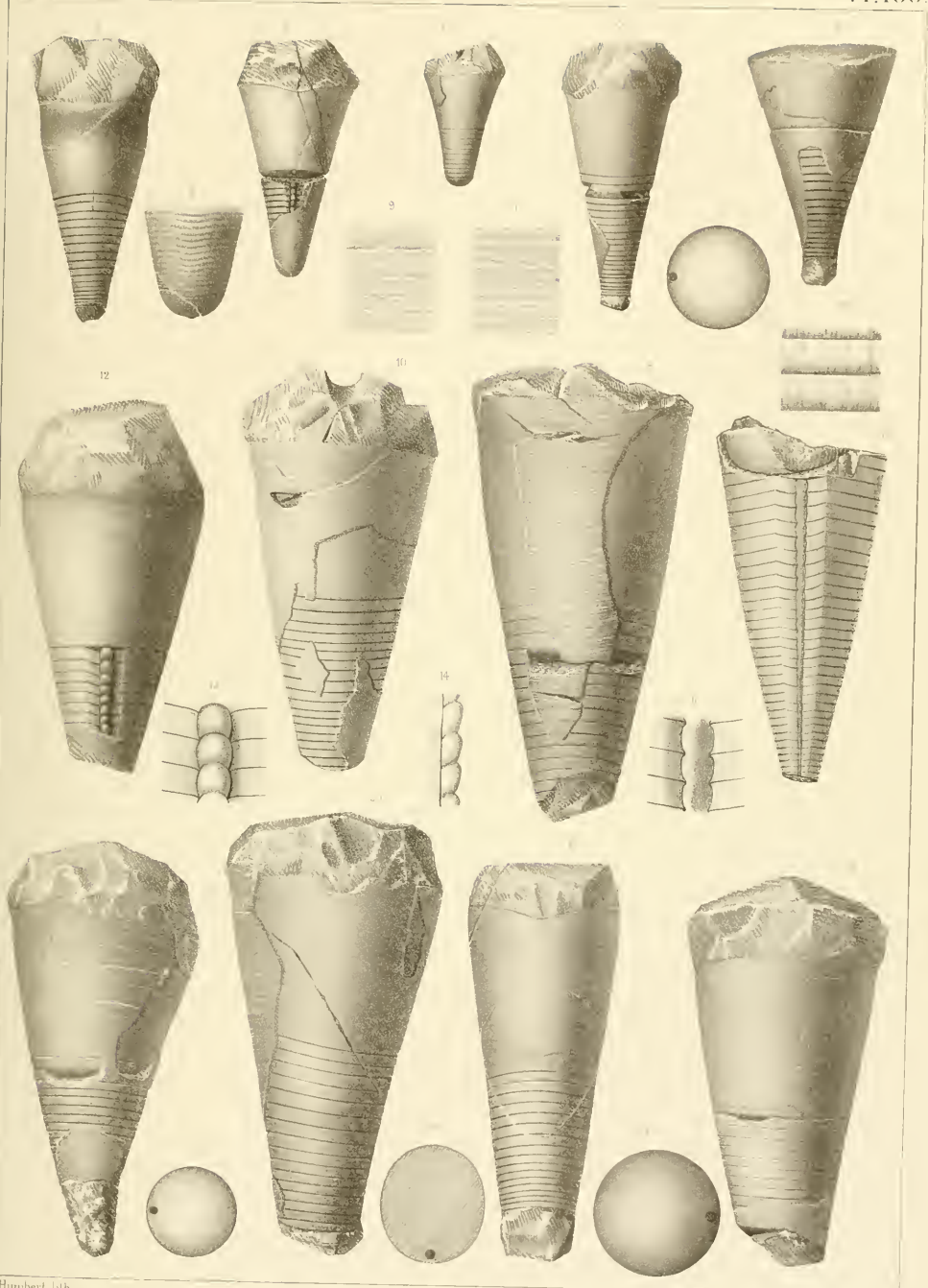






Fig.

Etag.

**Orthoceras Sternbergi.** Barr. . . . E

1. Spécimen de taille moyenne, vu par la face latérale, montrant la grande chambre, une série de loges aériennes et une partie du test. *Konicprus.*
2. *id.* vu par le côté ventral. Le siphon est exposé dans une section longitudinale, suivant un plan normal au plan médian.
3. *id.* 4 éléments du siphon grossis, avec la trace des cloisons.
4. *id.* section transverse orientée comme la fig. 1 et montrant la position du siphon.
5. Autre spécimen, adulte, vu par la face latérale, montrant la grande chambre, une série de loges aériennes et une grande partie du test. On voit des impressions longitudinales au bas de la grande chambre et sur les loges aériennes les plus voisines. *Konicprus.*
6. *id.* vu par le côté ventral, montrant le sinus des ornements au droit du siphon, dont une partie est exposée dans une section longitudinale.
7. *id.* fragment du test, pris sur la grande chambre, montrant son apparence lamellaire et les stries fines dont il est orné. L'imbrication des lamelles est directe.
8. *id.* section transverse beaucoup moins aplatie que celles des autres spécimens. Elle est orientée comme la fig. 5. Elle indique la grande épaisseur du test.

Fig.

Etag.

9. Autre spécimen adulte. Moule interne complètement dépouillé du test. Il montre le bord de l'ouverture, la grande chambre et une série de loges aériennes. Le siphon est exposé dans toute la longueur de l'exemplaire, suivant une section normale au plan médian. *Slivenetz.*
10. *id.* 4 éléments du siphon pris dans la partie supérieure et grossis. Ils montrent une forme un peu variable des éléments, en raison de la distance des cloisons.
11. Autre spécimen représentant la série presque complète des loges aériennes. Le siphon est exposé dans toute la longueur. *Lochkov.*
12. *id.* section transverse, orientée comme la fig. 11 et montrant la position du siphon.
13. *id.* fragment du test grossi montrant les stries sub-régulières, sans imbrication sensible.
14. Autre spécimen, vu par la face latérale. Il montre le bord de l'ouverture, la grande chambre et la majeure partie du test. Il contraste avec les autres individus par son angle apical beaucoup plus ouvert. *Karlstein.*
15. *id.* section transverse montrant la position du siphon et orientée comme la fig. 14.

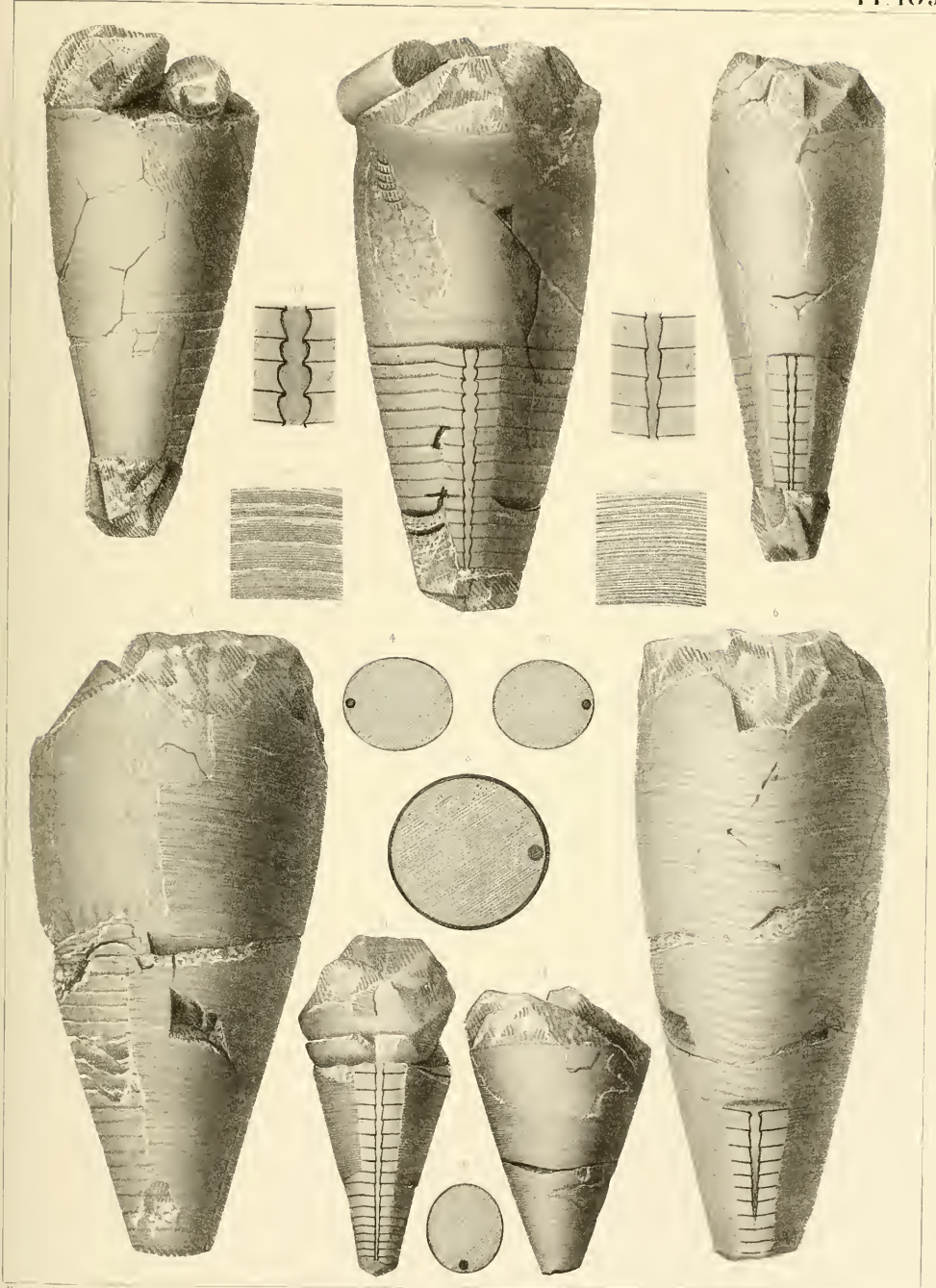






Fig.

Etage.

Fig.

Etage.

**Orthoceras semi-plumum.** Barr. . . E

1. Spécimen vu par la face latérale, montrant la grande chambre, une série de loges aériennes et une partie du test. *Lochkov.*
2. *id.* vu par le côté ventral un peu convexe. Le siphon est exposé dans une section longitudinale, normale au plan médian.
3. *id.* vu par le côté dorsal, dont la surface est notablement aplatie, dans l'étendue de la grande chambre.
4. *id.* section transverse orientée comme la fig. 1 et montrant la position du siphon.
5. *id.* 4 éléments du siphon grossis avec la trace des cloisons.

**Orthoceras infundibulum.** Barr. . E  
(voir Pl. 191.)

6. Spécimen vu par la face latérale, montrant le bord de l'ouverture, le moule de la grande chambre et une série de loges aériennes recouvertes par leur test. *Lochkov.*
7. *id.* cloison terminale, vue par la face convexe. Elle est orientée comme la fig. 6 et montre la position du siphon.
8. *id.* fragment du test fortement grossi, pour montrer ses ornements, offrant l'imbrication directe.
9. *id.* section longitudinale du test.
10. Autre spécimen vu par le côté ventral. Le moule interne de la grande chambre est orné d'une faible carène, au droit du siphon. Celui-ci est exposé dans une section longitudinale, normale au plan médian. *Lochkov.*
11. *id.* cloison terminale, orientée comme la fig. 10 et montrant la position du siphon.
12. *id.* portion du siphon grossie avec la trace des cloisons.
13. Autre spécimen, montrant la partie inférieure de la coquille, privée de sa pointe et recouverte par son test. *Lochkov.*
14. *id.* cloison terminale orientée comme la fig. 13 et montrant la position du siphon.
15. *id.* fragment du test fortement grossi pour montrer ses ornements et leur sinus au droit du siphon.
15. a. Section longitudinale du test, montrant l'imbrication directe des ornements.
16. Autre spécimen, très jeune. Moule interne montrant le bord de l'ouverture, la grande chambre et la série entière des cloisons, avec la calotte initiale. *Rochers de Kozel.*
17. Autre spécimen également jeune et complet sur la face exposée. Cette face étant recouverte par le test, empêche de distinguer les divers éléments de la coquille. *Karlstein.*
18. *id.* partie inférieure grossie pour montrer ses ornements et la calotte initiale de la coquille.
19. *id.* vu par l'extrémité inférieure, montrant la surface de la calotte, dont la partie centrale est lisse.

**Orthoceras pileus.** Barr. . . . . E

20. Spécimen vu par le côté ventral, montrant la grande chambre incomplète, une série de loges aériennes et une partie du test. Le siphon est exposé dans une section longitudinale, normale au plan médian. *Viskočilka.*
21. *id.* 3 éléments du siphon grossis avec la trace des cloisons.
22. *id.* section idéale suivant le plan médian et destinée à montrer que le siphon s'éloigne graduellement du bord et s'avance vers l'axe de la coquille. Cette particularité se retrouve aussi dans le spécimen, fig. 26.
23. Autre spécimen vu par la face latérale, montrant le bord de l'ouverture, la grande chambre, une série de loges aériennes et une partie du test. *Hinter-Kopanina.*
24. *id.* fragment du test fortement grossi pour montrer ses ornements transverses, recouverts par des stries longitudinales très faibles.
25. *id.* section transverse orientée comme la fig. 23 et montrant la position du siphon.
26. Autre spécimen vu par le côté ventral. Il montre le bord de l'ouverture, la grande chambre un peu écrasée, une série de loges aériennes et une partie du test. Le siphon est exposé dans une section longitudinale, normale au plan médian. Sa partie supérieure s'éloigne graduellement du bord comme dans le spécimen, fig. 20 et 22. *Hinter-Kopanina.*

**Orthoceras rectissimum.** Barr. . . . E

27. Spécimen vu par le côté ventral. Moule interne montrant la grande chambre dont le bord est un peu endommagé et une série de loges aériennes. Le siphon est exposé dans une section longitudinale, normale au plan médian. *Vohrada.*
28. *id.* 3 éléments du siphon grossis, avec la trace des cloisons. On voit, au droit des gonflats, de faibles anneaux obstruteurs.
29. *id.* section transverse, orientée comme la fig. 27 et montrant la position du siphon.

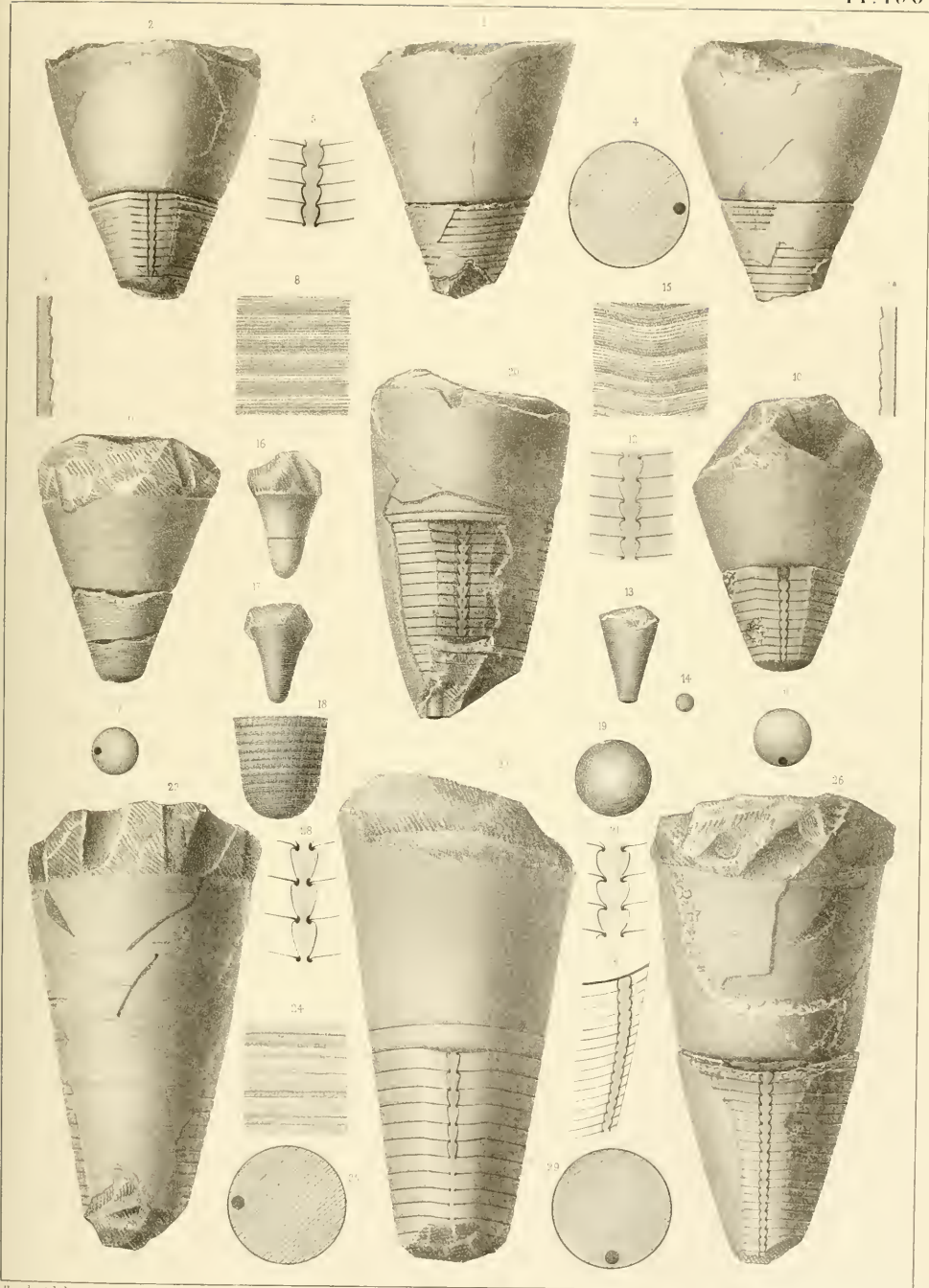






Fig.

**Orthoceras infundibulum.** Barr. . . E  
(voir Pl. 190.)

1. Spécimen vu par la face latérale, montrant le bord de l'ouverture, la grande chambre, une série de loges aériennes et une partie du test. *Karlstein.*

**Orthoceras minoratum.** Barr. . . . E

2. Spécimen vu par le côté ventral. Il montre le bord de l'ouverture, la grande chambre, une série de loges aériennes et une partie du test. Le siphon est exposé dans une section longitudinale, normale au plan médian. *Lochkov.*
3. *id.* cloison terminale vue par le côté convexe. Elle est orientée comme la fig. 2 et montre la position du siphon.
4. *id.* 4 éléments du siphon grossis avec la trace des cloisons. Leur forme est un peu irrégulière, en raison de l'espacement variable des cloisons.
5. *id.* fragment du test grossi, pour montrer la forme de ses ornements.
6. *id.* section longitudinale du test, montrant l'imbrication directe des stries.

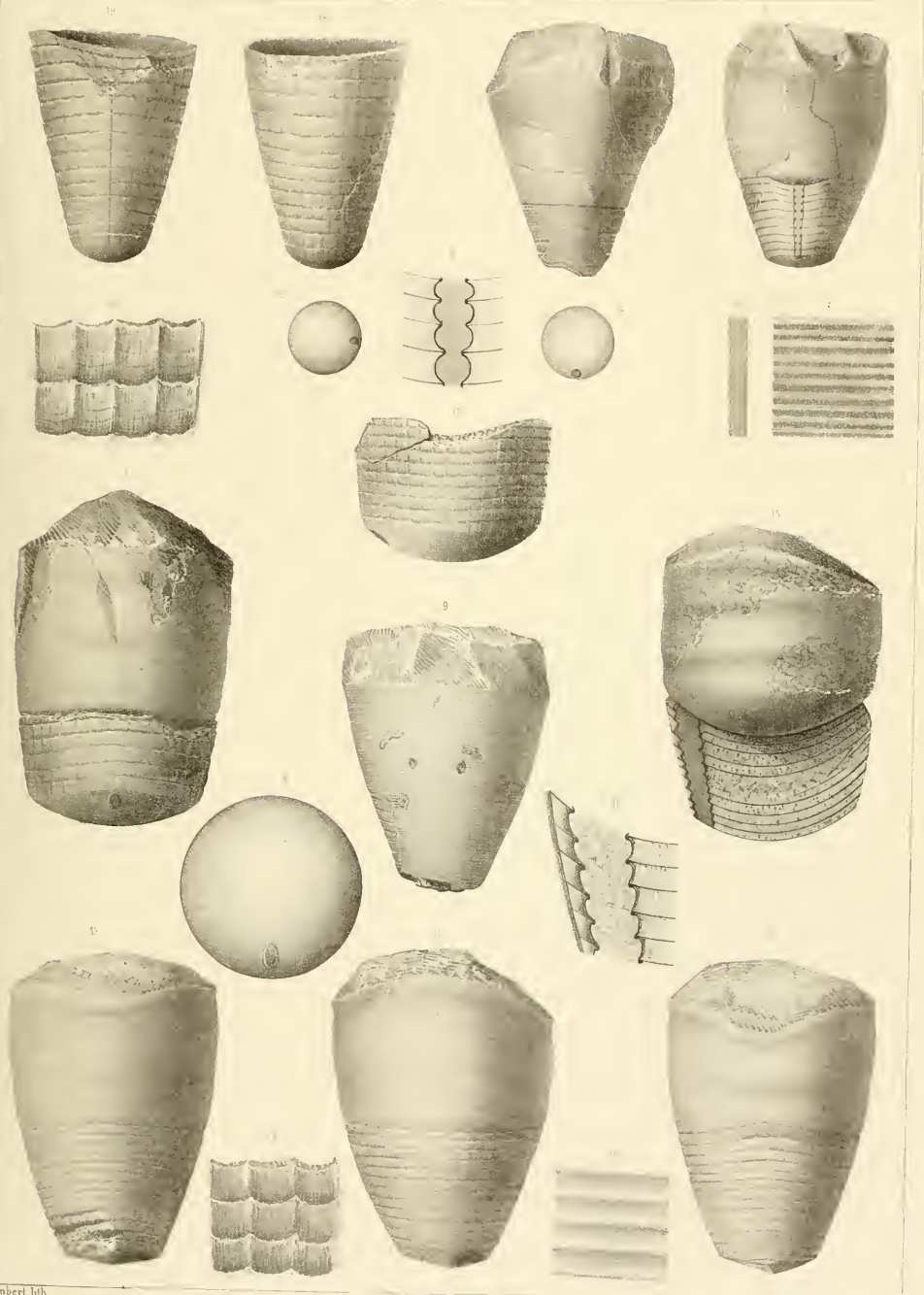
Etage.

Fig.

**Orthoceras compulsum.** Barr. . . . E  
(voir Pl. 78 = *Orth. tennicinctum.*)

7. Spécimen vu par le côté ventral. Moule interne montrant la grande chambre et une série de loges aériennes, sur lesquelles on voit des lignes longitudinales. *Dvoretz.*
8. *id.* cloison terminale vue par la face convexe, montrant la position et l'ouverture elliptique du siphon. Elle est orientée comme la fig. 7.
9. Autre spécimen moins développé, mais conservant la majeure partie de son test. Il est vu par la face latérale, montrant le bord de l'ouverture, la grande chambre et une série de loges aériennes, avec les lignes longitudinales. *Dvoretz.*
10. *id.* fragment du test très fortement grossi, montrant ses ornements sans iambriation.
11. Autre spécimen vu par la face latérale. Moule interne montrant le bord de l'ouverture, la grande chambre et une série de loges aériennes. On voit sur la surface de la partie cloisonnée les lignes longitudinales saillantes, qui convergent vers la pointe. *Dvoretz.*
12. *id.* vu par le côté ventral, montrant une forte échancrure au bord de l'orifice. Le bord des cloisons présente un arc convexe en sens opposé. Les lignes longitudinales s'effacent sur la partie médiane.
13. *id.* vu par le côté dorsal. Le bord de l'orifice montre une faible échancrure, tandis que le bord des cloisons est horizontal. Les lignes longitudinales s'effacent sur la partie médiane, comme sur le bord ventral.
14. *id.* fragment de la surface du moule, fortement grossi, pour montrer les stries fines longitudinales dont elle est couverte, entre les lignes principales, saillantes sur le moule.
15. Autre spécimen vu par la face latérale. Il montre la grande chambre incomplète et la section longitudinale d'une série de loges aériennes, dont les cloisons et le siphon sont bien conservés. *Dvoretz.*
16. *id.* 5 éléments du siphon grossis, avec la trace des cloisons.
17. *id.* partie cloisonnée, vue par l'extérieur. Elle est orientée comme dans la fig. 15 et montre les lignes longitudinales très marquées sur le moule.
18. Spécimen vu par la face latérale. Il représente une série de loges aériennes dépouillées du test. Les lignes longitudinales sont très apparentes. *Dvoretz.*
19. *id.* vu par le côté dorsal, montrant la ligne normale, tracée en creux sur toute la longueur du spécimen.
20. *id.* cloison terminale, orientée comme la fig. 18 et montrant la position du siphon. On remarquera que la trace du siphon est arrondie, au lieu d'être elliptique, comme dans la fig. 8. Cependant, cette différence ne paraît pas indiquer une autre espèce.
21. *id.* fragment de la surface du moule, grossie, pour montrer les stries fines, longitudinales et transverses dont elle est ornée, dans les intervalles entre les lignes saillantes sur le moule.

Etage.





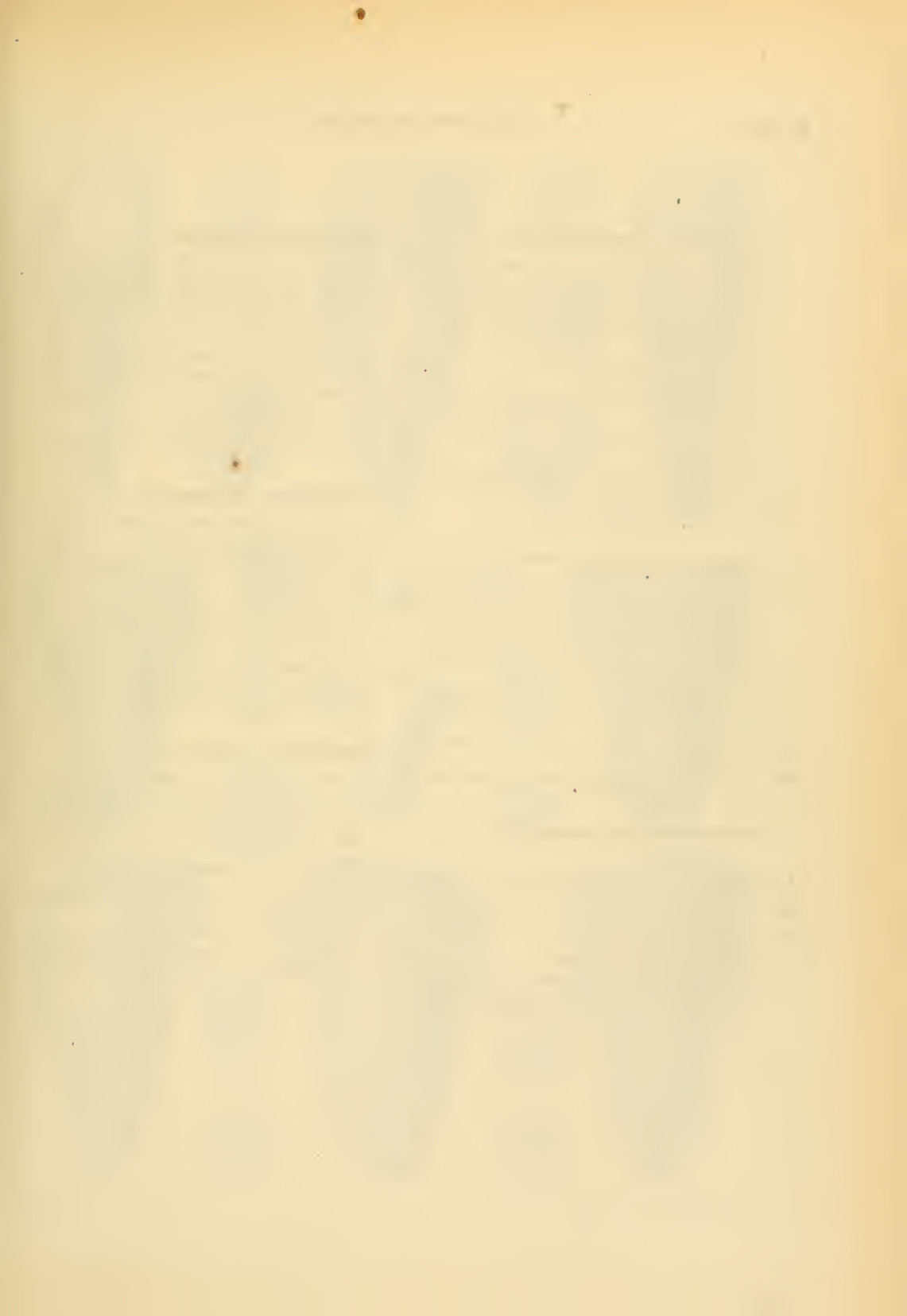


Fig.

Etage.

Fig.

Etage.

**Orthoceras proclinans.** Barr. . . . E

1. Spécimen vu par le côté ventral. Il montre la grande chambre endommagée, tandis que la série des loges aériennes est presque complète et conserve un fragment du test. La surface est préparée de manière à exposer la section longitudinale du siphon, dans quelques loges aériennes. *Viskočilka*.
2. *id.* vu par la face latérale, qui montre la forme notablement insymétrique de la coquille.
3. *id.* cloison terminale, vue par la face convexe. Elle est orientée comme la fig. 1 et montre la position sub-marginale du siphon.
4. *id.* 3 éléments du siphon grossis, avec la trace des cloisons.
5. *id.* fragment du test grossi, montrant l'apparence de ses ornements, un peu moins régulière dans la nature que sur cette figure.
6. *id.* section longitudinale du test.

**Orthoceras incongruens.** Barr. . . . E

7. Spécimen vu par le côté ventral. Montre interne, montrant le bord de l'ouverture, la grande chambre et la série presque complète des cloisons. On voit des crénelures très-marquées, à la base de la grande chambre. Le siphon est exposé dans une section longitudinale et il est bien conservé dans toute sa longueur. *Stivenetz*.
8. *id.* cloison vue par la face convexe. Elle est orientée comme la fig. 7 et montre la position marginale du siphon.
9. *id.* 3 éléments du siphon grossis, avec la trace des cloisons.
10. *id.* fragment du test grossi, pour montrer son apparence, d'après un fragment resté sur le moule.

**Phragmoceras Ponderi?** Barr. . . . E  
(voir Pl. 48—50.)

11. Fragment vu par le côté ventral, montrant une partie de la grande chambre et deux loges aériennes. *Lochkov*.
12. *id.* vu par la face latérale.
13. *id.* fragment du test pris sur le côté ventral et montrant le sinus des ornements.
14. *id.* section longitudinale du test.
15. *id.* cloison terminale de la grande chambre, vue par la face convexe. Elle est orientée comme la fig. 12 et montre la position sub-marginale du siphon.

**Orthoceras comezum.** Barr. . . . E

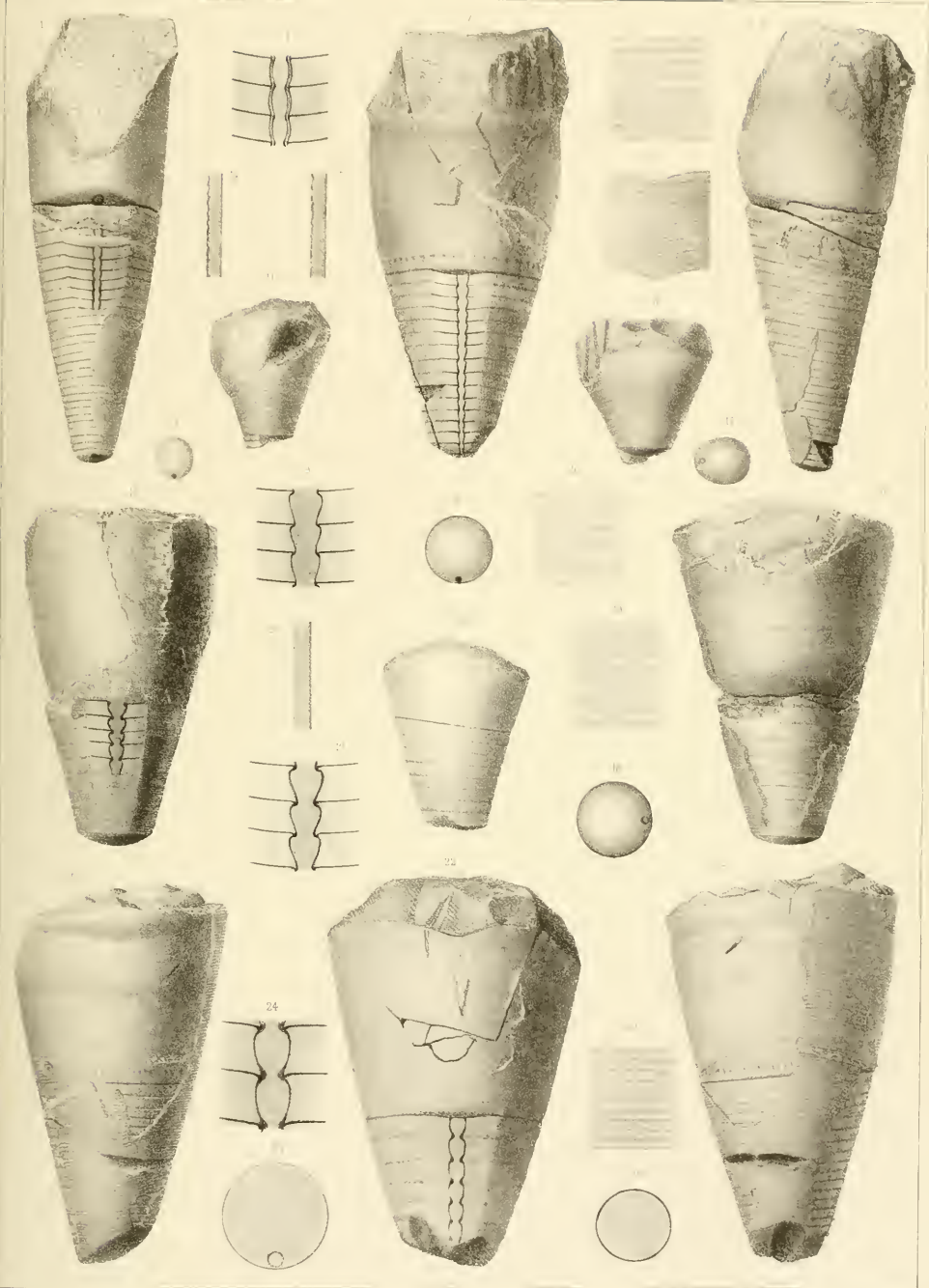
16. Spécimen vu par le côté ventral. Il montre la grande chambre un peu endommagée et une série de loges aériennes, conservant une partie du test. La surface a été préparée de manière à exposer la section longitudinale de quelques éléments du siphon. *Lochkov*.
17. *id.* vu par la face latérale.
18. *id.* cloison terminale, orientée comme la fig. 17 et montrant la position sub-marginale du siphon.
19. *id.* fragment du test grossi pour montrer l'apparence de ses ornements peu distincts.
20. *id.* section longitudinale du test.
21. *id.* 3 éléments du siphon grossis, avec la trace des cloisons.

**Orthoceras Tetinense.** Barr. . . . G—g 1

22. Spécimen vu par le côté ventral. Il montre le bord de l'ouverture, la grande chambre et une série de loges aériennes, sans aucun fragment du test. La surface a été préparée de manière à montrer la section longitudinale du siphon. *Tetin*.
23. *id.* section transverse, orientée comme la fig. 22 et montrant la position sub-marginale du siphon.
24. *id.* 2 éléments du siphon grossis, montrant des anneaux obstrucateurs rudimentaires, au droit des gonfles.
25. Autre spécimen plus jeune et vu par la face latérale, dépouillée du test. Sa forme est légèrement arquée tandis que celle du spécimen précédent, auquel nous l'associons, est parfaitement droite. *Tetin*.

**Orthoceras mitra.** Barr. . . . . E

26. Spécimen vu par le côté supposé ventral, d'après le sinus des ornements. Il montre le bord presque complet de l'ouverture, la grande chambre, une série de loges aériennes et une partie du test. Une ligne saillante existe sur toute la longueur du moule de la grande chambre et on voit sur le test des loges aériennes une autre ligne dans son prolongement. *Viskočilka*.
27. *id.* vu par la face latérale, montrant une série de crénelures à la base de la grande chambre et la convexité des stries vers l'ouverture.
28. *id.* section transverse, siphon invisible.
29. *id.* fragment du test grossi, montrant l'apparence de ses ornements, sans imbrication prononcée.





CHAPTER I

OF THE

REIGN OF

CHARLES I.

1625-1649

1625-1649

1625-1649

1625-1649

1625-1649

1625-1649

1625-1649

1625-1649

1625-1649

1625-1649

1625-1649

1625-1649

1625-1649

1625-1649

1625-1649

1625-1649

1625-1649

1625-1649

1625-1649

1625-1649

1625-1649

1625-1649

1625-1649

1625-1649

1625-1649

1625-1649

1625-1649

1625-1649

1625-1649

1625-1649

1625-1649

1625-1649

1625-1649

1625-1649

1625-1649

1625-1649

1625-1649

1625-1649

1625-1649

1625-1649

1625-1649

1625-1649

1625-1649

1625-1649

1625-1649

1625-1649

1625-1649

1625-1649

Fig.

**Orthoceras alternans.** Barr. . . . . E

1. Spécimen vu par le côté ventral. Il montre le bord de l'ouverture, la grande chambre, une série de loges aériennes et une partie du test. Les ornements de la surface sont reproduits sur le moule interne. *Vohrada*.
2. *id.* section transverse, montrant la position centrale du siphon.
3. *id.* vu par le côté dorsal.
4. Autre spécimen vu par le côté ventral. Il est plus jeune que le précédent et montre les mêmes éléments. *Kozel*.
5. Autre spécimen plus développé et vu par la face latérale. Il montre le bord intact de l'ouverture, la grande chambre, une série de loges aériennes et une partie du test. *Collines entre Lužetz et Lodenitz*.
6. *id.* vu par le côté dorsal.
7. *id.* cloison terminale, montrant la position centrale du siphon.
8. *id.* fragment du test grossi. Il est pris sur le milieu du côté ventral et montre l'alternance des stries, fortes et faibles.
9. *id.* section longitudinale du test, montrant la saillie relative de ses ornements. Les stries faibles ne sont indiquées que par un point.

**Orthoceras robustum.** Barr. . . . . E  
(voir Pl. 159—187—188.)

10. Spécimen imparfaitement conservé dans sa partie supérieure. Il est vu par la face latérale, en partie recouverte par le test. *Lochkov*.
11. *id.* vu par une des faces étroites.
12. *id.* extrémité inférieure, fortement grossie, conservant une partie de la calotte initiale et vue par la pointe. Elle montre le siphon central.
13. *id.* vue par la face latérale, montrant les stries longitudinales sur le moule interne.
14. *id.* surface du test, fortement grossie, pour montrer ses ornements.
15. *id.* section longitudinale du test, sans imbrication prononcée des stries.

Etage. Fig.

**Orthoceras decurtatum.** Barr. . . . . E

16. Spécimen vu par le côté ventral. Il montre la grande chambre, une série de loges aériennes et une partie du test. On aperçoit sur le moule de la partie cloisonnée une ligne longitudinale creuse, qui pourrait être considérée comme la ligne normale, si elle était au droit du siphon. *Butovitz*.
17. *id.* vu par la face latérale.
18. *id.* cloison terminale, orientée comme la fig. 17 et montrant la position sub-marginale du siphon.

**Cyrtoceras fallax.** Barr. . . . . E  
(voir Pl. 149—208.)

19. Spécimen vu par le côté ventral, montrant le bord de l'ouverture, la grande chambre, une série de loges aériennes et une partie du test. Le siphon est exposé dans une section longitudinale. L'angle apical de cet exemplaire représente le minimum connu. *Lochkov*.
20. Autre spécimen, vu par la face latérale, montrant le bord de l'ouverture, la grande chambre, une série presque complète de loges aériennes et une partie du test. *Viskočilka*.
21. Autre spécimen, vu par le côté ventral, montrant la plupart des éléments de la coquille et 2 éléments du siphon en relief. *Lochkov*.
22. *id.* 2 éléments du siphon grossis et vus de profil, avec la trace des cloisons et du test.
23. Autre spécimen, vu par le côté ventral et conservant la majeure partie du test. Son angle apical très-ouvert contraste avec celui de la fig. 19. *Lochkov*.
24. *id.* cloison terminale de la grande chambre, orientée comme la fig. 23 et montrant la position sub-marginale du siphon.
25. Autre spécimen, vu par le côté ventral. La surface des loges aériennes est préparée de manière à montrer la section longitudinale du siphon. *Lochkov*.
26. *id.* vu par la face latérale.
27. *id.* 4 éléments du siphon grossis, avec la trace des cloisons.
28. *id.* fragment du test grossi, pour montrer ses ornements, figurant l'imbrication directe.

Etage.

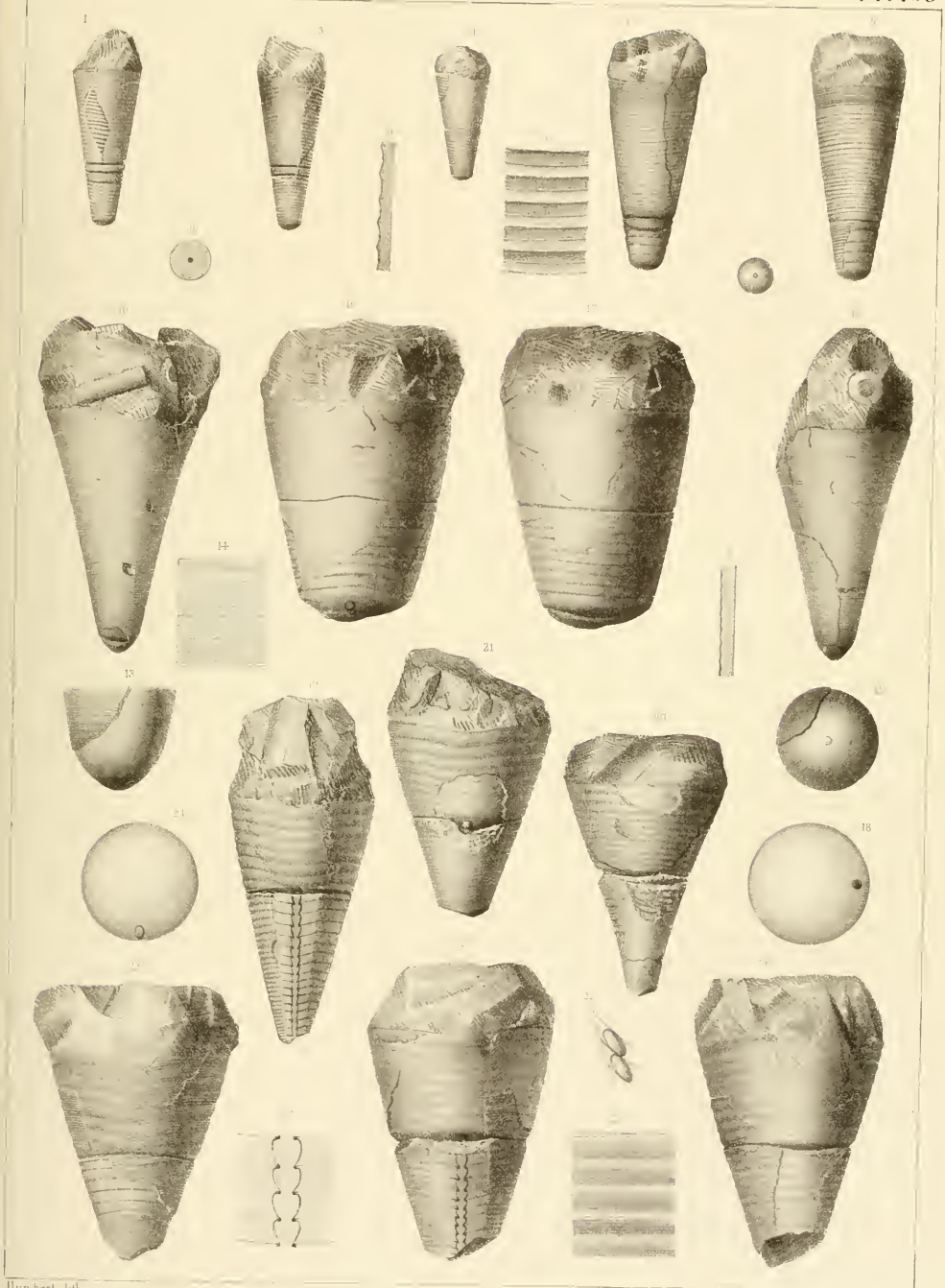






Fig.

Etage.

Fig.

Etage.

**Orthoceras discors.** Barr. . . . . E

1. Fragment représentant une série de loges aériennes, vu par le côté ventral. La surface médiane a été usée de manière à montrer une section longitudinale du siphon. *Hinter-Kopaniua.*
2. *id.* section transverse, orientée comme la fig. 1 et montrant la position sub-marginale du siphon.
3. Autre spécimen vu par la face latérale, montrant la grande chambre incomplète, une série de loges aériennes et quelques fragments du test. On voit des impressions longitudinales sub-régulières à la base de la grande chambre. *Hinter-Kopaniua.*
4. *id.* section transverse réduite aux deux tiers et montrant la position sub-marginale du siphon. Elle est orientée comme la fig. 3.
5. Autre spécimen vu par le côté ventral, montrant une série de loges aériennes et une partie du test. Le siphon a été mis à nu vers le petit bout. *Hinter-Kopaniua.*
6. *id.* cloison terminale orientée comme la fig. 3 et montrant la position sub-marginale du siphon.
7. Autre spécimen de la plus grande taille, mais endommagé. Il est vu par le côté ventral. On distingue la longueur de la grande chambre et une partie du bord de l'ouverture. Une série de cloisons a été conservée avec la plupart des éléments correspondants du siphon. Mais, dans l'espace immédiatement au dessous de la grande chambre, les cloisons et le siphon ont également disparu. *Hinter-Kopaniua.*

8. *id.* cloison terminale, orientée comme la fig. 7 et montrant la position sub-marginale du siphon. Son diamètre est réduit aux deux tiers.
9. Autre spécimen. La grande chambre est incomplète. Elle montre, sur le moule interne, un étranglement prononcé et plus voisin de la base que de l'orifice. Le sinus figuré par cet étranglement ne correspond point au siphon. Cet organe est mis à nu sur une partie de sa longueur par une section longitudinale. Ses éléments présentent des différences notables de largeur, qui sont en relation avec l'espacement variable des cloisons, dans le voisinage de la grande chambre. *Hinter-Kopaniua.*
10. *id.* cloison terminale, orientée comme la fig. 9 et montrant la position sub-marginale du siphon. Le diamètre est réduit aux deux tiers.







Fig.

Étage.

**Orthoceras conjugatum.** Barr. . . . E

1. Spécimen vu par la face latérale, montrant des courbures peu différentes sur le bord dorsal et le bord ventral. Moule interne, représentant la base de la grande chambre et une série de loges aériennes. Sur celles-ci, on distingue des lignes longitudinales, offrant un faible relief. Elles sont sub-régulièrement espacées, entre deux limites AA, et ne paraissent ni sur le côté dorsal ni sur le côté ventral. L'affleurement des cloisons est festonné par la rencontre de ces lignes. *Dvoretz.*
2. *id.* vu par le côté ventral. La partie supérieure a été supprimée, faute d'espace. La surface ventrale a été usée de manière à montrer une section longitudinale du siphon, dont les éléments ont été inégalement atteints.
3. Autre spécimen vu par la face latérale, montrant la grande chambre presque complète et une série de loges aériennes. Sur la surface de celles-ci, on voit des lignes longitudinales, comme sur le spécimen précédent. Elles sont de même comprises entre deux limites AA et elles s'étendent sur la base de la grande chambre. *Dvoretz.*
4. *id.* partie cloisonnée vue par le côté ventral, montrant les traces du siphon. Les lignes longitudinales, qui devraient paraître à droite et à gauche près des bords de cette figure, sont trop faiblement marquées.
5. *id.* cloison terminale, orientée comme la fig. 3 et montrant la position sub-marginale du siphon.
6. Autre spécimen représentant un jeune individu. Moule interne montrant la grande chambre incomplète et une série de loges aériennes, vues par la face latérale. On observe sur le milieu de cette face quelques lignes longitudinales saillantes, comme sur les figures 1 et 3. *Dvoretz.*
7. *id.* cloison terminale, orientée comme la fig. 6 et montrant la position sub-marginale du siphon.

Fig.

Étage.

**Orthoceras grave.** Barr. . . . . E

8. Spécimen vu par la face latérale, montrant la grande chambre incomplète, quelques loges aériennes et une partie du test. Celui-ci est très épais et se compose de plusieurs lamelles ornées de stries transverses, qui se reproduisent sur le moule interne. *Dvoretz.*
9. *id.* vu par le côté dorsal, sur lequel les stries font un sinus aplati.
10. *id.* section longitudinale des loges aériennes, montrant quelques cloisons bien conservées, avec leurs goulots, tandis que les éléments du siphon sub-marginal ont disparu.
11. *id.* cloison terminale, orientée comme la fig. 8, et montrant le siphon, qui est un peu trop éloigné du bord. Les diamètres de cette figure sont réduits à moitié.

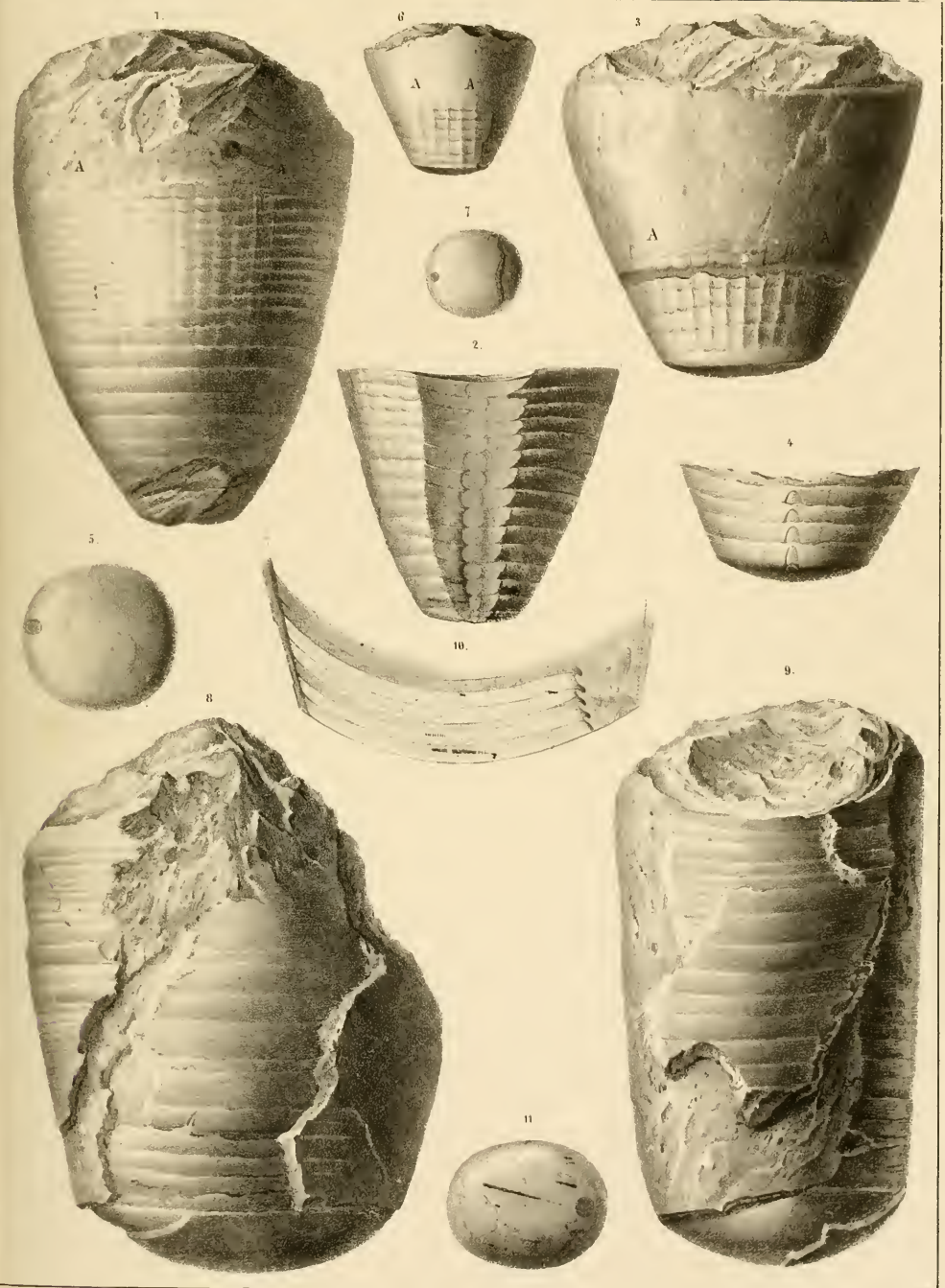






Fig.

Etage.

**Cyrtoceras discrepans.** Barr. . . . . E  
(voir Pl. 167.)

1. Spécimen vu par la face latérale, montrant la grande chambre et une partie des loges aériennes. Il conserve son test. *Lochkor.*
2. *id.* vu par le côté concave, montrant le sinus des ornements et la position du siphon.
3. *id.* vu par le côté convexe, montrant l'inflexion arrondie des ornements.
4. *id.* cloison placée à l'extrémité du spécimen et orientée comme la figure 1.
5. *id.* fragment du test, grossi, montrant la forme des ornements.
6. *id.* section longitudinale du test, montrant la saillie et le profil des plis.

**Cyrtoceras delicatum.** Barr. . . . . E

7. Spécimen vu par la face latérale. Il montre la base de la grande chambre et plus de la moitié des loges aériennes, recouvertes de leur test. *Lochkor.*
8. *id.* section transverse vers le milieu de la longueur, indiquant la position du siphon.
9. *id.* fragment du test fortement grossi, montrant les ornements. Les stries longitudinales prédominent sur les stries transverses.

**Cyrtoceras truncum.** Barr. . . . . E

10. Spécimen représentant la grande chambre isolée et vue par la face latérale. *Kaukolava Hora.*
11. *id.* cloison terminale, orientée comme la figure 10 et montrant la place du siphon, un peu excentrique.

Etage.

**Cyrtoceras Uranus.** Barr. . . . . E

12. Spécimen d'âge moyen, montrant la grande chambre presque complète, plusieurs loges aériennes et divers fragments du test. *Tachtovitz.*
13. *id.* fragment du test, fortement grossi, montrant les ornements. Les stries longitudinales prédominent beaucoup par leur relief, sur les stries transverses.
14. *id.* spécimen adulte, montrant la base de la grande chambre, une série de loges aériennes et quelques fragments du test. *Tachtovitz.*
15. *id.* section longitudinale, montrant la forme des cloisons et du siphon. L'intérieur du siphon est partiellement rempli par la roche ambiante, qui a envahi la grande chambre.
16. *id.* section transverse, orientée comme la figure 14 et prise suivant la ligne ponctuée fig. 15. Elle montre la position du siphon.
17. *id.* fragment du test, fortement grossi. Les stries transverses sont très apparentes, tandis que les stries longitudinales sont presque effacées.
18. *id.* fragment de la superficie du moule de la grande chambre, montrant les stries creusées, très fines, du manteau du mollusque.

N. B. Cette coquille offre beaucoup d'analogie avec celle des Nautilus figurés sur nos planches 32 à 40. Mais les fragments ci-dessus ne montrant aucune trace des tours internes, nous avons dû les rapporter provisoirement au genre *Cyrtoceras*, d'après leur forme visible.

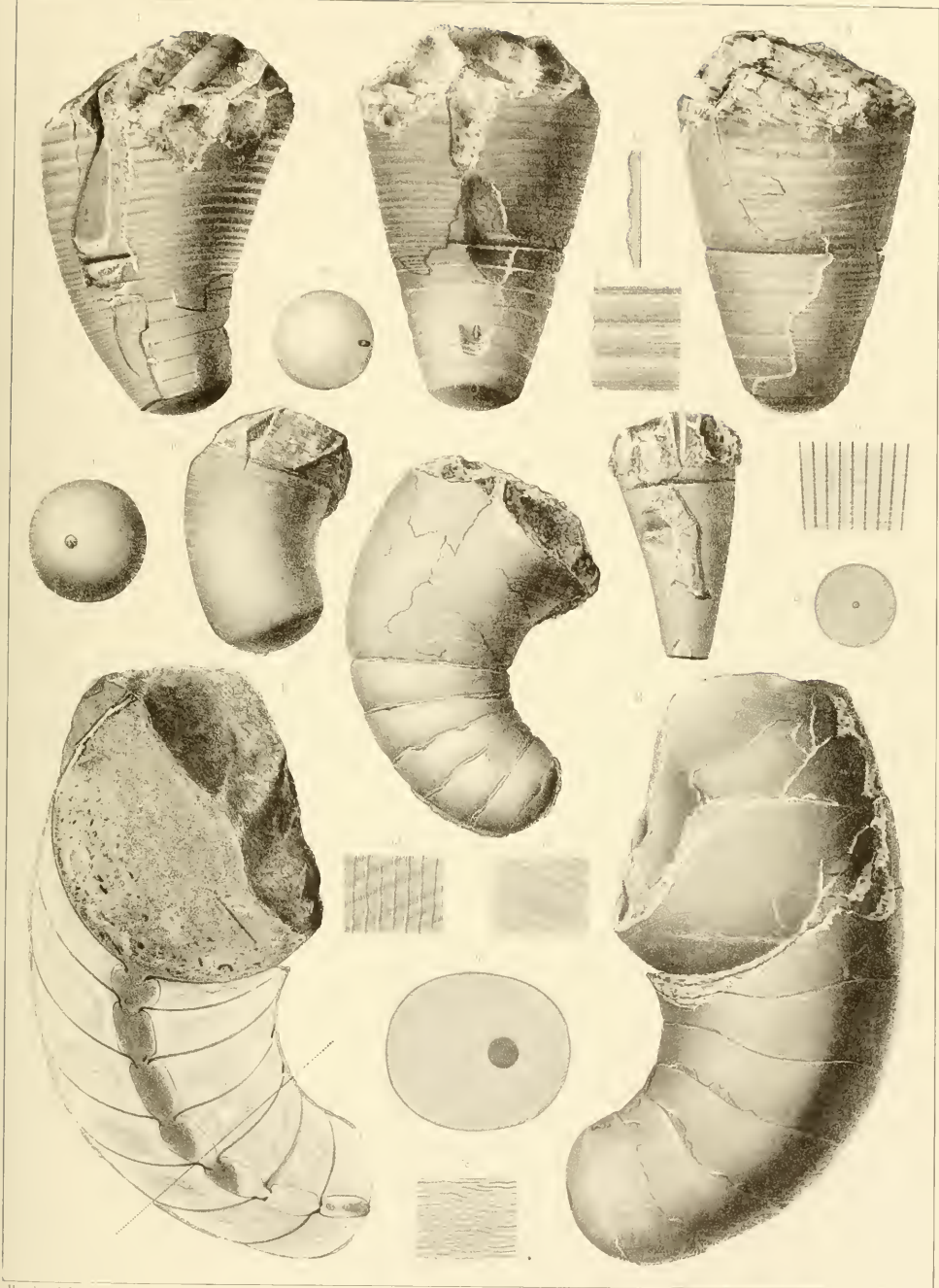






Fig.

**Cyrtocerus clavulus.** Barr. . . . . E  
(voir Pl. 157.)

1. Spécimen vu par la face latérale, montrant la grande chambre complète et une série de loges aériennes, conservant une partie du test. *Butoritz.*
2. *id.* cloison terminale de la grande chambre, orientée comme la fig. 1 et montrant la position du siphon.
3. Autre spécimen, vu par le côté convexe, montrant le siphon mis à nu dans la plus grande partie de sa longueur. *Butoritz.*
4. *id.* 3 éléments du siphon grossis, avec la trace des cloisons.
5. Autre spécimen plus jeune, vu par le côté convexe, montrant la grande chambre à peu près complète et la partie cloisonnée recouverte de son test. *Butoritz.*
6. *id.* fragment du test fortement grossi, pour montrer ses ornements, dont le relief est un peu exagéré dans cette figure et la suivante.
7. *id.* section longitudinale du même fragment, montrant l'imbrication directe des stries.

**Cyrtocerus fuxax.** Barr. . . . . E

8. Spécimen vu par la face latérale. Il montre le moule de la grande chambre, avec le bord de l'ouverture et une série de cloisons, conservant une partie du test. L'extrémité inférieure montre la calotte initiale. *Butoritz.*
9. *id.* vu par le côté convexe, montrant une partie du siphon mis à nu.
10. *id.* extrémité inférieure, fortement grossie, pour montrer l'apparence que présente le test orné de stries longitudinales, qui disparaissent à une certaine hauteur au dessus de la calotte initiale. On voit la trace des cloisons, là où le test manque.
11. *id.* calotte initiale, vue par la face inférieure et convexe, avec le même grossissement. La partie centrale est lisse.
12. *id.* section transverse, orientée comme la fig. 8 et montrant la position du siphon.
13. *id.* 3 éléments du siphon grossis, avec la trace des cloisons.
14. *id.* fragment du test, fortement grossi, pour montrer ses ornements.
15. *id.* section longitudinale du même fragment, montrant l'imbrication directe des stries.
16. Autre spécimen, vu par la face latérale. Il est moins complet que le précédent, mais il permet cependant de reconnaître la calotte initiale à son extrémité inférieure. *Butoritz.*

Etage. Fig.

**Cyrtocerus mirum.** Barr. . . . . E

17. Spécimen vu par la face latérale. Il montre la grande chambre, dans laquelle le bord de l'ouverture est un peu endommagé. La partie cloisonnée, presque complète, conserve son test. *Stivenetz.*
18. *id.* vu par le côté convexe, montrant l'obliquité de l'étranglement très-prononcé, au dessous du bord de l'ouverture.
19. *id.* partie inférieure du spécimen, grossie, afin de montrer les apparences de la surface du test. On voit, au bas, quelques stries écartées et horizontales. Puis en remontant, une surface lisse, avec de légères rainures transverses. Au dessus de cette surface, commencent brusquement des stries régulières et très-prononcées.
20. *id.* cloison terminale de la grande chambre, vue par le côté convexe et montrant la position centrale du siphon.
21. *id.* fragment du test, fortement grossi, pour montrer la forme des stries, qui orientent la surface au dessus de la partie lisse.
22. *id.* section longitudinale du même fragment, montrant l'imbrication directe des stries.

**Cyrtocerus consimile.** Barr. . . . . E

23. Spécimen vu par la face latérale, montrant la grande chambre, le bord de l'ouverture et la majeure partie des loges aériennes, avec des fragments du test. *Lochkov.*
24. *id.* vu par le côté convexe, montrant le siphon mis à nu, sur presque toute sa longueur.
25. *id.* section transverse, à la base de la grande chambre, orientée comme la fig. 23 et montrant la position du siphon.
26. *id.* fragment du test, grossi, montrant les ornements.
27. *id.* 4 éléments du siphon, grossis, avec la trace des cloisons.
28. Autre spécimen vu par la face latérale. Il montre la grande chambre, le bord de l'ouverture et la partie cloisonnée presque complète. *Kozoriz.*
29. Spécimen fig. 23—24, vu par le côté convexe.

**Cyrtocerus sulcatulum.** Barr. . . . . E

(voir Pl. 207—240 bis.)

30. Spécimen vu par la face latérale, recouverte de son test. *Vohrada.*
31. *id.* vu par le côté convexe, montrant les lignes longitudinales, au droit du siphon mis à nu à l'extrémité inférieure.
32. *id.* cloison terminale vue par la face convexe. Elle est orientée comme la fig. 30 et montre la position du siphon.
33. *id.* fragment du test grossi pour montrer ses ornements. Les stries horizontales passent par dessus les stries longitudinales dans la nature, ce qui n'est pas suffisamment indiqué sur cette figure.

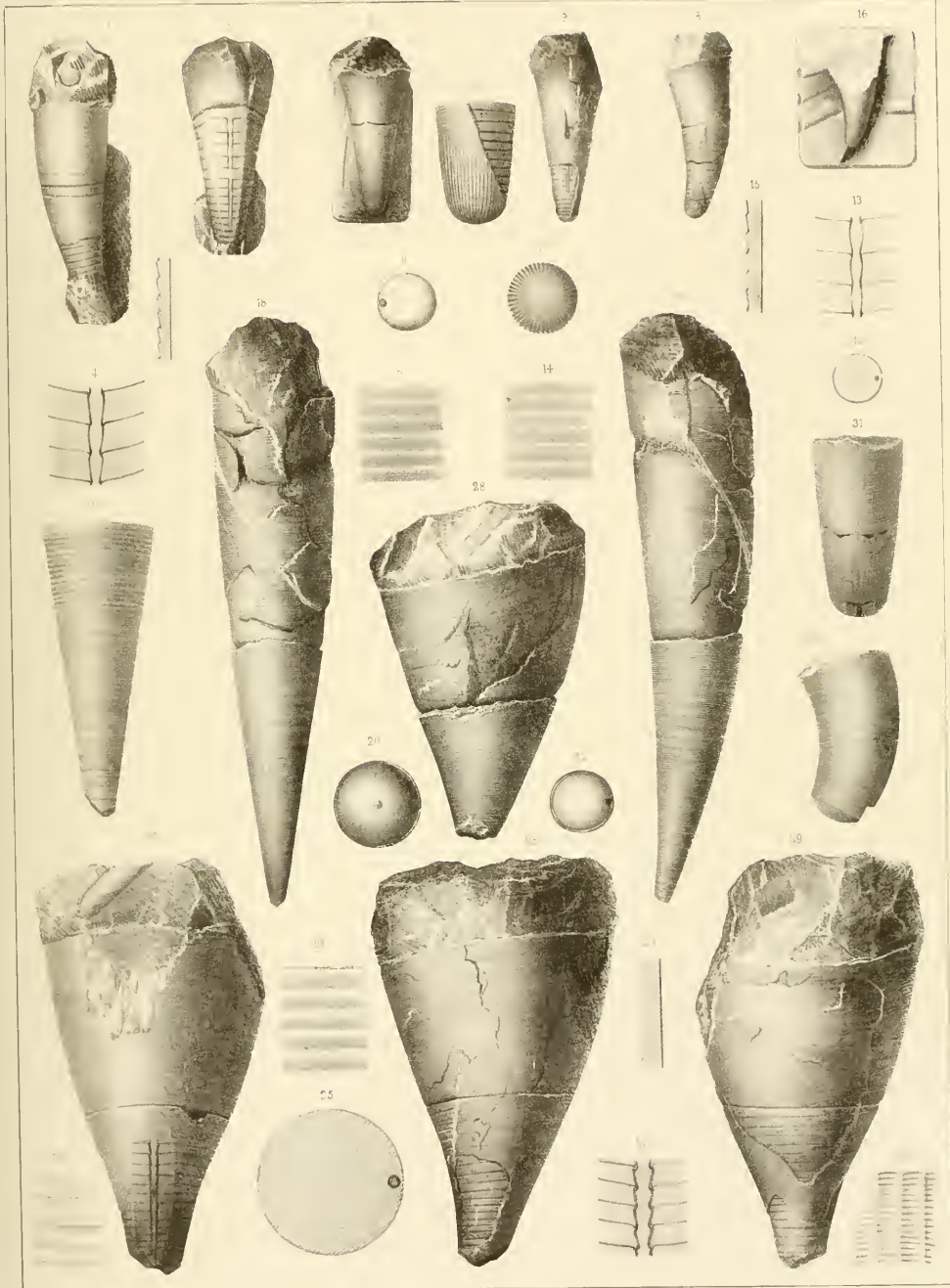






Fig. Etage. Fig. Etage.  
**Cyrtoceras semi-tectum.** Barr. . . . . E

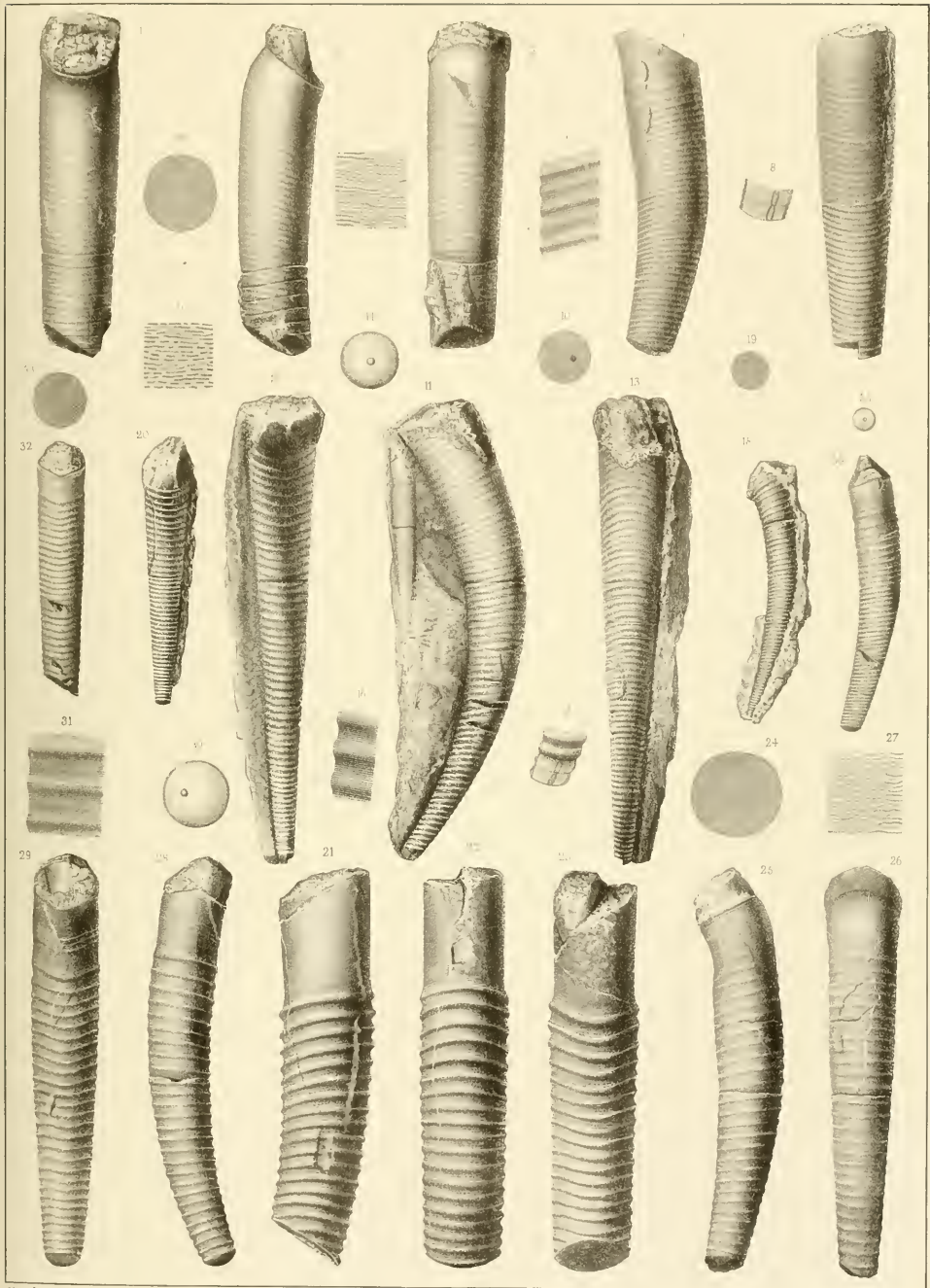
1. Spécimen vu par le côté concave. Il montre le bord de l'ouverture, la grande chambre et plusieurs loges aériennes. Moule interne dépeillé du test. *Dlanha Hora.*
2. *id.* vu par la face latérale, montrant la forme du bord de l'ouverture, notablement oblique.
3. *id.* vu par le côté convexe.
4. *id.* section transverse, vers le milieu de la longueur de la grande chambre.
5. *id.* fragment de la surface du moule interne, fortement grossi, pour montrer les stries creuses qui représentent le manteau du mollusque.
6. Autre spécimen, vu par la face latérale et conservant la majeure partie de son test. *Dlanha Hora.*
7. *id.* vu par le côté concave. Il montre une partie du bord de l'ouverture.
8. *id.* section longitudinale, suivant le plan médian, montrant la position du siphon à l'extrémité inférieure du fossile.
9. *id.* fragment du test, grossi, pour montrer les ornements.
10. *id.* section transverse vers le bout inférieur, montrant la position du siphon. Elle est orientée comme la fig. 6.

**Cyrtoceras urbanum.** Barr. . . . . E

11. Spécimen presque complet, vu par la face latérale, montrant les anneaux jusqu'au bord de l'orifice, la grande chambre et presque toute la série des loges aériennes, conservant une partie de son test. *Vohrada.*
12. *id.* vu par le côté concave. On distingue la longueur de la grande chambre et le sinus formé par les anneaux.
13. *id.* vu par le côté convexe, montrant la direction horizontale des ornements.
14. *id.* cloison à la base de la grande chambre, montrant la position centrale du siphon, à cette hauteur du fossile.
15. *id.* extrémité inférieure du fossile, grossie et montrant la section de deux cloisons par le plan médian. Le siphon est un peu excentrique.
16. *id.* fragment de la surface, grossi, pour montrer ses ornements.
17. *id.* fragment de la surface du moule interne, grossi, montrant les stries creuses qui représentent le manteau du mollusque.
18. Jeune spécimen, vu par la face latérale; la grande chambre est incomplète. *Slivenetz.*
19. *id.* section transverse. Le siphon est invisible.
20. Autre spécimen, vu par le côté concave. *Karlstein.*

Fig. Etage. Fig. Etage.  
**Cyrtoceras nitidum.** Barr. . . . . E

21. Spécimen du plus grand diamètre connu, vu par la face latérale. Il est dépeillé d'une partie de son test et ne représente que la grande chambre, incomplète vers le bas. Les anneaux ne s'étendent pas jusqu'au bord de l'ouverture, au dessous de laquelle il existe un espace lisse. *Hinte-Kopanina.*
22. *id.* vu par le côté convexe.
23. *id.* vu par le côté concave et montrant le sinus des anneaux.
24. *id.* section transverse.
25. Autre spécimen, d'âge moyen, vu par la face latérale et conservant une partie de son test. Il montre le bord de l'ouverture, la grande chambre complète et une grande partie des loges aériennes. *Hinte-Kopanina.*
26. *id.* vu par le côté convexe.
27. *id.* fragment de la surface du moule de la grande chambre, grossi, montrant les stries creuses qui représentent le manteau du mollusque.
28. Autre spécimen, d'âge moyen, vu par la face latérale, montrant le bord de l'ouverture un peu endommagée, la grande chambre, la partie cloisonnée &c. *Hinte-Kopanina.*
29. *id.* vu par le côté concave, montrant le sinus des anneaux, correspondant à l'échancrure du bord de l'ouverture.
30. *id.* cloison terminale de la grande chambre, montrant le siphon. Cette figure est orientée comme la fig. 28.
31. *id.* fragment de la surface, grossi, pour montrer les ornements.
32. Jeune individu, vu par le côté concave, montrant le sinus des anneaux, correspondant à l'échancrure de l'ouverture. Ce spécimen est presque droit. *Dlanha Hora.*
33. *id.* section transverse.
34. Autre spécimen de même âge, vu par la face latérale. *Kozorç.*
35. *id.* cloison terminale, montrant le siphon presque central.







- Fig. Etage. Fig. Etage.
- Cyrtoceras pergratum.** Barr. . . . E
1. Spécimen adulte vu par la face latérale. Il montre la grande chambre avec le bord de l'ouverture, la plus grande partie des loges aériennes et du test. *Lochkor.*
  2. *id.* vu par le côté convexe.
  3. *id.* section transverse, montrant la position un peu excentrique du siphon.
  4. *id.* fragment du test grossi, pour montrer ses ornements. Il est pris un peu au dessous de la grande chambre, dans la région où les stries longitudinales commencent à se montrer.
  5. *id.* autre fragment du test grossi et pris plus près de la pointe, où les stries longitudinales deviennent régulières.
  6. Autre spécimen beaucoup plus jeune. Il montre au dessous de l'ouverture, une partie notable de la grande chambre, dont la surface est dépourvue d'anneaux. *Lochkor.*
  7. *id.* vu par le côté concave.
  8. *id.* vu par le côté convexe.
  9. *id.* cloison terminale de la grande chambre, orientée comme la fig. 6 et montrant la position du siphon.
  10. Autre spécimen vu par la face latérale. La grande chambre est incomplète à son extrémité supérieure. Vers le petit bout, les loges aériennes ont été usées pour montrer la position du siphon. On voit la trace des cloisons, dans les rainures entre les anneaux. *Viskocilka.*
  11. *id.* extrémité inférieure grossie pour montrer l'apparence du siphon.
  12. Autre spécimen voisin de l'âge adulte et vu par la face latérale. Il montre au dessous de l'ouverture une surface sur laquelle les anneaux sont très peu prononcés. *Lochkor.*
  13. Autre spécimen un peu plus développé et vu par la face latérale. Les anneaux s'étendent presque jusqu'au bord de l'ouverture. Les loges aériennes étant dépourvues du test, permettent d'observer les affleurements des cloisons au fond des rainures, entre les anneaux. *Lochkor.*
  14. *id.* cloison orientée comme la fig. 13 et montrant la position un peu excentrique du siphon.
  15. Autre spécimen encore jeune et vu par la face latérale. Il montre au dessous du bord de l'ouverture, une longueur notable sans anneaux. *Kozovs.*
  16. *id.* cloison terminale de la grande chambre orientée comme la fig. 15.
  17. *id.* fragment du test grossi, montrant les stries transverses et les stries longitudinales très prononcées.
  18. Autre spécimen de la plus grande taille connue. Il est vu par la face latérale, montrant la grande chambre couverte d'anneaux dans toute sa longueur, une partie des loges aériennes et quelques fragments du test. *Lochkor.*
  19. *id.* vu par le côté convexe.
  20. *id.* vu par le côté concave.
  21. *id.* section transverse près le petit bout. Le siphon est invisible.
  22. *id.* fragment du test grossi. Il est pris sur les loges aériennes et montre les deux systèmes de stries également développés.
  23. *id.* fragment du moule interne de la grande chambre grossi et montrant les stries creuses dont il est orné.
- Cyrtoceras consanguine.** Barr. . . . E
24. Spécimen vu par la face latérale, montrant la grande chambre à peu près complète et la majeure partie des loges aériennes recouvertes par le test. *Kozovs.*
  25. *id.* vu par le côté concave.
  26. *id.* vu par le côté convexe.
  27. *id.* fragment du test grossi. Il est pris vers l'extrémité inférieure du fossile et ne présente que des stries transverses.
  28. *id.* section transverse montrant la position sub centrale du siphon. Elle est orientée comme la fig. 24.
29. *id.* fragment du moule interne grossi. Il est pris sur la grande chambre et montre les stries creuses qui ornent la surface.
30. Autre spécimen vu par la face latérale. Il montre la grande chambre presque complète et une série de loges aériennes. La pointe du fossile a été préparée de manière à exposer quelques éléments du siphon. *Stivenets.*
31. *id.* vu par le côté concave.
32. *id.* vu par le côté convexe.
33. *id.* deux éléments du siphon grossis avec la trace des cloisons.
34. *id.* cloison orientée comme la figure 30 et montrant la position sub centrale du siphon.
- Cyrtoceras cognatum.** Barr. . . . E
35. Spécimen vu par la face latérale, montrant la grande chambre et une série de loges aériennes dépouillées du test. On voit les affleurements des cloisons au fond des rainures entre les anneaux. Le siphon a été mis à nu vers l'extrémité. *Lochkor.*
  36. *id.* vu par le côté convexe, montrant un fragment du test.
  37. *id.* section transverse orientée comme la fig. 35 et montrant le siphon sub central.
  38. Autre spécimen vu par la face latérale, montrant la grande chambre à peu près complète et une série de loges aériennes, dépouillées du test. *Lochkor.*
  39. *id.* vu par le côté concave.
  40. *id.* section transverse montrant la position sub centrale du siphon. Elle est orientée comme la fig. 38.
  41. *id.* fragment du test grossi pour montrer ses ornements. Ce fragment est pris près de l'ouverture.
  42. Autre spécimen plus jeune, vu par la face latérale, montrant le bord de l'ouverture intact, la grande chambre et une série de loges aériennes, dépouillées du test. On voit l'affleurement des cloisons au fond des rainures entre les anneaux. *Kozovs.*
  43. *id.* vu par le côté convexe.
  44. Autre spécimen très jeune. La grande chambre est complète, ainsi que la série de loges aériennes, qui conserve son test. *Lochkor.*
  45. *id.* partie cloisonnée grossie, pour montrer les stries longitudinales dont elle est ornée, tandis que les anneaux ou ornements transverses sont à peine indiqués sur sa surface. La pointe est arrondie par une calotte initiale.
- Cyrtoceras tessellatum.** Barr. . . . E
46. Fragment vu par la face latérale. Il montre une partie de la grande chambre et le bord de l'ouverture, sous laquelle on voit un lambeau du test. *Dlaha Hora.*
  47. *id.* vu par le côté concave.
  48. *id.* fragment du test grossi, pour montrer ses ornements. Les stries longitudinales prédominent de beaucoup sur les stries transverses, qui sont très fines et très serrées.
- Cyrtoceras fenestratum.** Barr. . . . E
49. Fragment vu par la face latérale, montrant le bord de l'ouverture et une partie de la grande chambre, conservant des lambeaux du test. *Bubovits.*
  50. *id.* vu par le côté convexe, montrant le sinus des anneaux. Il reste un long espace lisse entre ces ornements et le bord de l'ouverture.
  51. *id.* section transverse, siphon invisible.
  52. *id.* fragment du test grossi, montrant les stries sub-régulières et également développées dans les deux sens.
  53. *id.* grossissement plus fort du test, pour montrer la disposition des stries, figurant des mailles carrées.
- N. B. Ces deux dernières espèces présentent, par leurs ornements, une grande analogie avec les *Tractoceras*, mais les fragments figurés ne permettent pas de reconnaître sûrement si la coquille entière est insymétrique. Nous les avons donc provisoirement rapportés au genre *Cyrtoceras*.

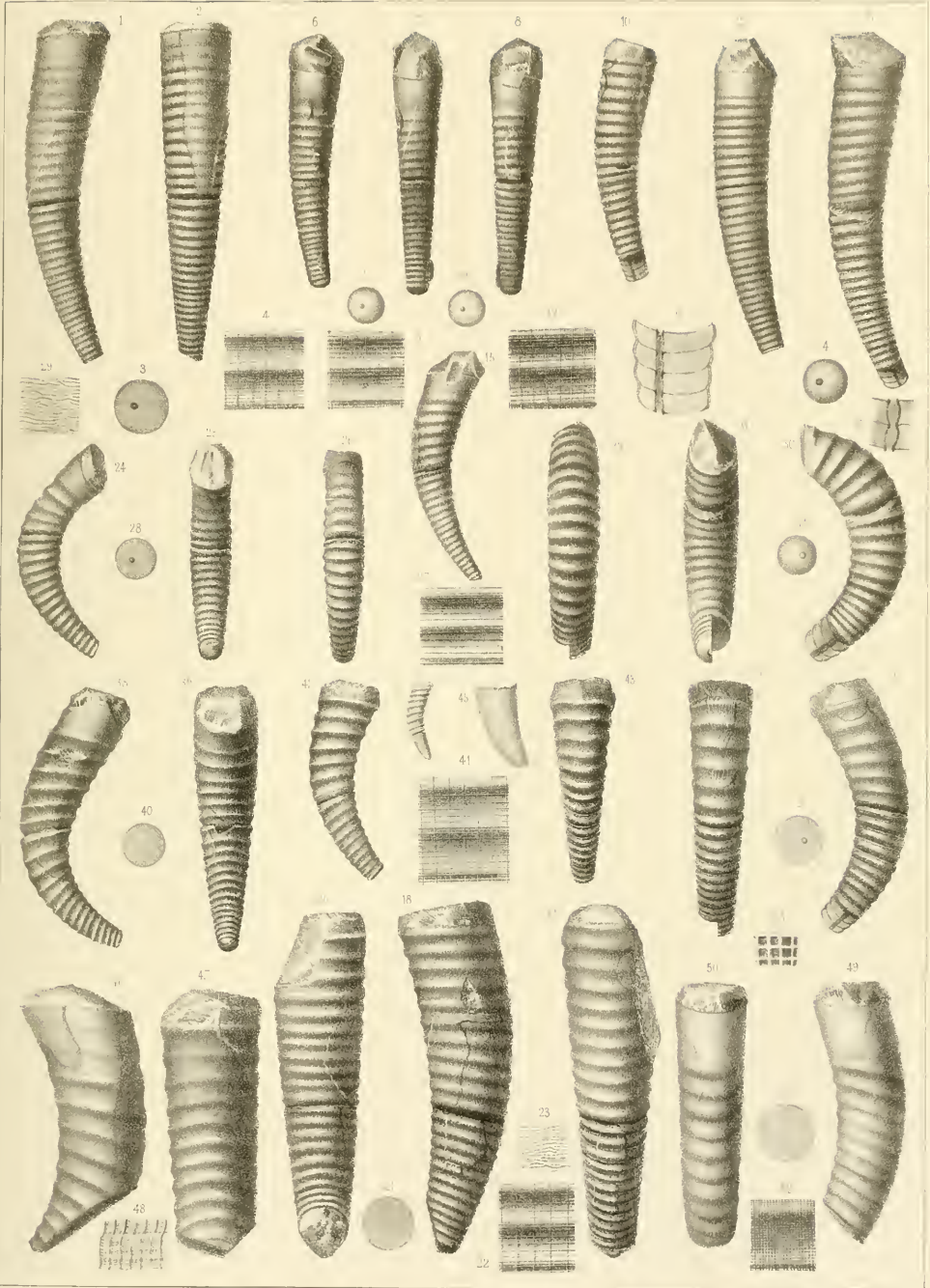






Fig.

Etage.

Fig.

Etage.

**Cyrtoceras Angelini.** Barr. . . . . E  
(voir Pl. 145—157?)

1. Spécimen vu par la face latérale, montrant le bord de l'ouverture, la grande chambre, une série de loges aériennes, quelques éléments du siphon et des fragments du test. *Konvarka, près Prague.*
2. *id.* vu par le côté concave, montrant les mêmes éléments.
3. *id.* cloison terminale, orientée comme la fig. 1 et montrant la position du siphon, contre le bord concave.
4. Autre spécimen, présentant une série de loges aériennes. La surface concave a été préparée de manière à exposer les éléments du siphon en relief. *Konvarka.*

**Cyrtoceras neutrum.** Barr. . . . . E  
(voir Pl. 165.)

5. Spécimen vu par la face latérale presque totalement recouverte par son test, mais montrant la trace des loges aériennes. Le bord de l'ouverture est endommagé. *Hinter-Kopanina.*
6. *id.* cloison prise vers le milieu de la longueur. Elle est orientée comme la figure 5 et montre le siphon placé contre le bord concave.
7. Autre spécimen de grande taille et vu par la face latérale. Il montre le bord de l'ouverture, le moule interne de la grande chambre et une série de loges aériennes, conservant leur test. *Viskočilka.*
8. *id.* cloison terminale, orientée comme la fig. 7 et montrant la position du siphon contre le bord concave.

**Cyrtoceras Murchisoni.** Barr. . . . . E  
(voir Pl. 148—160—165—176.)

9. Spécimen de la plus grande taille connue, vu par la face latérale, montrant la grande chambre à peu près complète, une longue série de loges aériennes et la majeure partie du test. *Kozorš.*
10. *id.* cloison terminale, orientée comme la fig. 9 et montrant la position du siphon contre le bord concave.
11. Autre spécimen de moyenne taille, moins arqué, vu par la face latérale, montrant le moule interne de la grande chambre et une série de loges aériennes, avec une partie du test. *Dlauha Hora.*
12. *id.* cloison terminale de la grande chambre, orientée comme la figure 11 et montrant la position du siphon contre le bord concave.

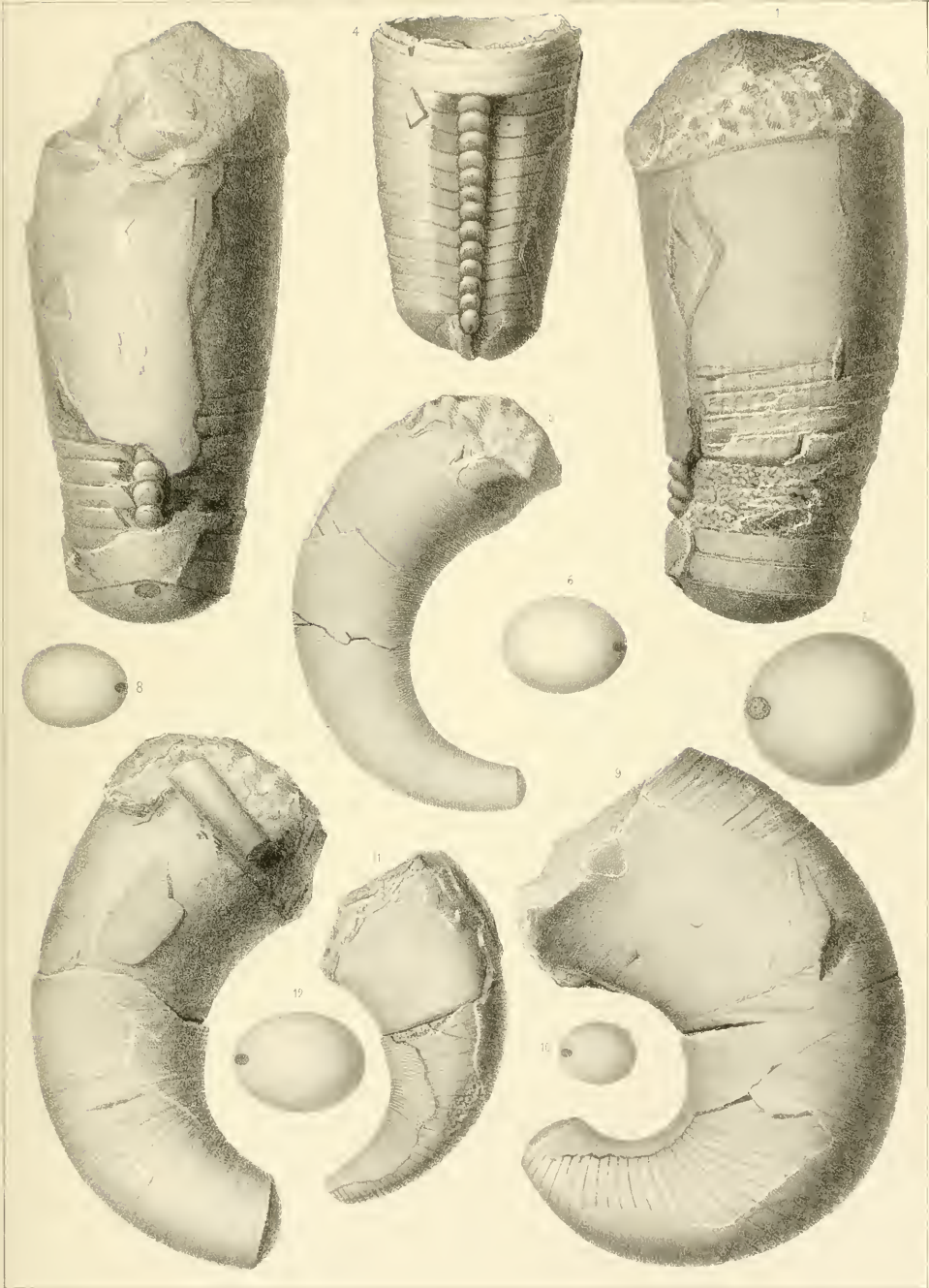






Fig.

Etage.

Fig.

Etage.

**Cyrtoceras Marcouï.** Barr. . . . . E

1. Spécimen vu par la face latérale, montrant le moule interne de la grande chambre un peu déformé, une série de loges aériennes et quelques fragments du test, dont la surface est allérée. On aperçoit sur le bord convexe le profil des éléments du siphon. *Viskočilka.*
2. *id.* vu par le côté convexe, montrant une série des éléments du siphon mis à nu et en relief.
3. *id.* cloison terminale de la grande chambre, orientée comme la figure 1 et montrant la position du siphon.

**Cyrtoceras Schuryi.** Barr. . . . . E

(voir Pl. 134.)

4. Spécimen vu par la face latérale. Moule interne montrant la base de la grande chambre et une série de loges aériennes, sans aucune trace du test. *Lochkov. (Coll. Schary.)*
5. *id.* section longitudinale, montrant le siphon bien conservé ainsi que la plupart des cloisons. Tous les vides ont été généralement remplis par le spath calcaire, dans les loges aériennes et dans le siphon. Le calcaire compacte noir, qui remplit la grande chambre, n'a pénétré que dans quelques loges aériennes brisées et il n'apparaît que comme une légère couche sur le bord interne du siphon.
6. *id.* cloison terminale orientée comme la figure 4 et montrant la position sub-marginale du siphon.

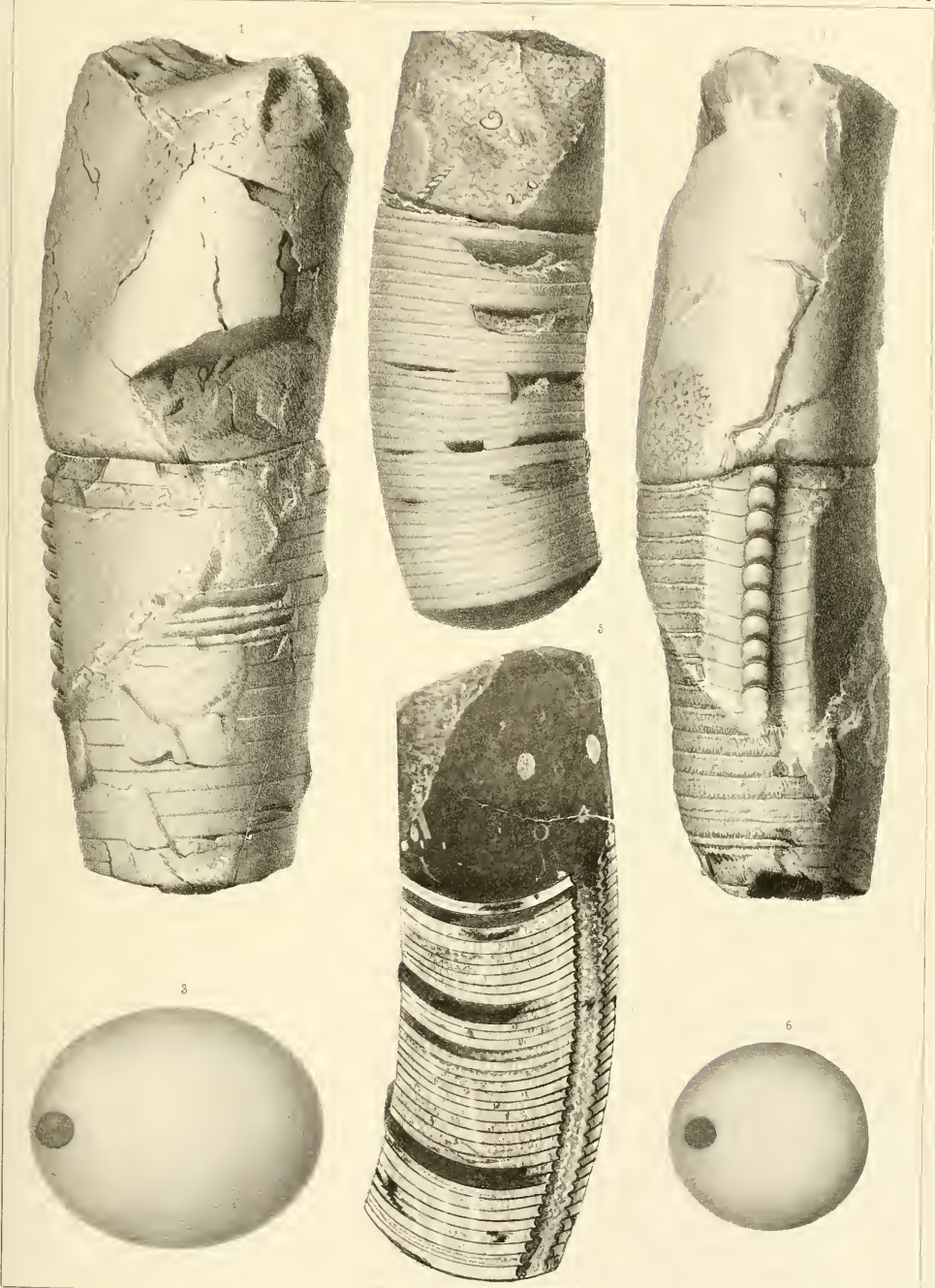






Fig.

Etage.

Fig.

Etage.

**Cyrtoceras bryozoon.** Barr. . . . . G—g 1

1. Spécimen vu par la face latérale, montrant la grande chambre incomplète vers le bord de l'ouverture et une partie des loges aériennes, conservant leur test. *Choteaux.*
2. *id.* vu par le côté convexe, montrant le sinus peu prononcé des stries, au droit du siphon.
3. *id.* cloison terminale de la grande chambre, orientée comme la fig. 1 et montrant la position marginale du siphon.
4. *id.* fragment du test grossi, pour montrer ses ornements. On remarquera que les stries longitudinales sont irrégulières et qu'elles s'anastomosent comme les branches de certains bryozoaires.

**Cyrtoceras nuntius.** Barr. . . . . E  
(voir Pl. 141.)

5. Spécimen de grande taille, incomplet, vu par la face latérale, montrant la grande chambre un peu endommagée vers le haut et une série de loges aériennes, conservant une partie du test. *Butoritz.*
6. *id.* vu par le côté convexe. Les loges de l'extrémité inférieure ont été usées de manière à montrer la section longitudinale des éléments du siphon, vers le petit bout, qui est vu très obliquement.
7. *id.* cloison terminale, orientée comme la figure 5 et montrant la position du siphon.
8. *id.* trois éléments du siphon grossis avec la trace des cloisons.
9. Autre spécimen de taille moyenne, vu par la face latérale, montrant le bord de l'ouverture, la grande chambre, une série de loges aériennes et une partie du test. *Butoritz.*
10. *id.* cloison terminale de la grande chambre, orientée comme la figure 9 et montrant la position du siphon.
11. *id.* trois éléments du siphon grossis, avec la trace des cloisons. Ces éléments sont pris vers la partie inférieure du spécimen, figure 9, dont la surface a été usée dans ce but. Leur forme indique une différence en rapport avec l'âge, si on la compare avec celle de la fig. 8.
12. Autre individu plus jeune et vu par la face latérale. Ce spécimen presque complet montre les éléments principaux de la coquille. *Butoritz.*
13. *id.* cloison terminale, orientée comme la figure 12 et montrant la position du siphon, presque linéaire à cet âge. On remarquera que le contour de cette cloison est à peu près circulaire, tandis qu'elle devient ovale dans l'âge adulte.

**Cyrtoceras aequale.** Barr. . . . . E  
(voir Pl. 108.)

14. Spécimen de grande taille, vu par la face latérale, montrant la grande chambre à peu près complète, une longue série de loges aériennes et des fragments du test, conservant leurs ornements. *Kozorcz.*
15. *id.* cloison prise vers le milieu de la longueur et orientée comme la fig. 14, pour montrer la position du siphon, contre le bord convexe de la coquille.

**Cyrtoceras elongatum.** Barr. . . . . E  
(voir Pl. 109—117—157—205—208.)

16. Spécimen vu par la face latérale, montrant la grande chambre mal conservée et une longue série de loges aériennes, également dépourvues de leur test. *Lochkov.*
17. *id.* vu par le côté convexe, dont la surface a été usée de manière à montrer la série des éléments du siphon, suivant une section longitudinale.
18. *id.* cloison prise vers le milieu de la longueur et orientée comme la figure 16, pour montrer la position du siphon.

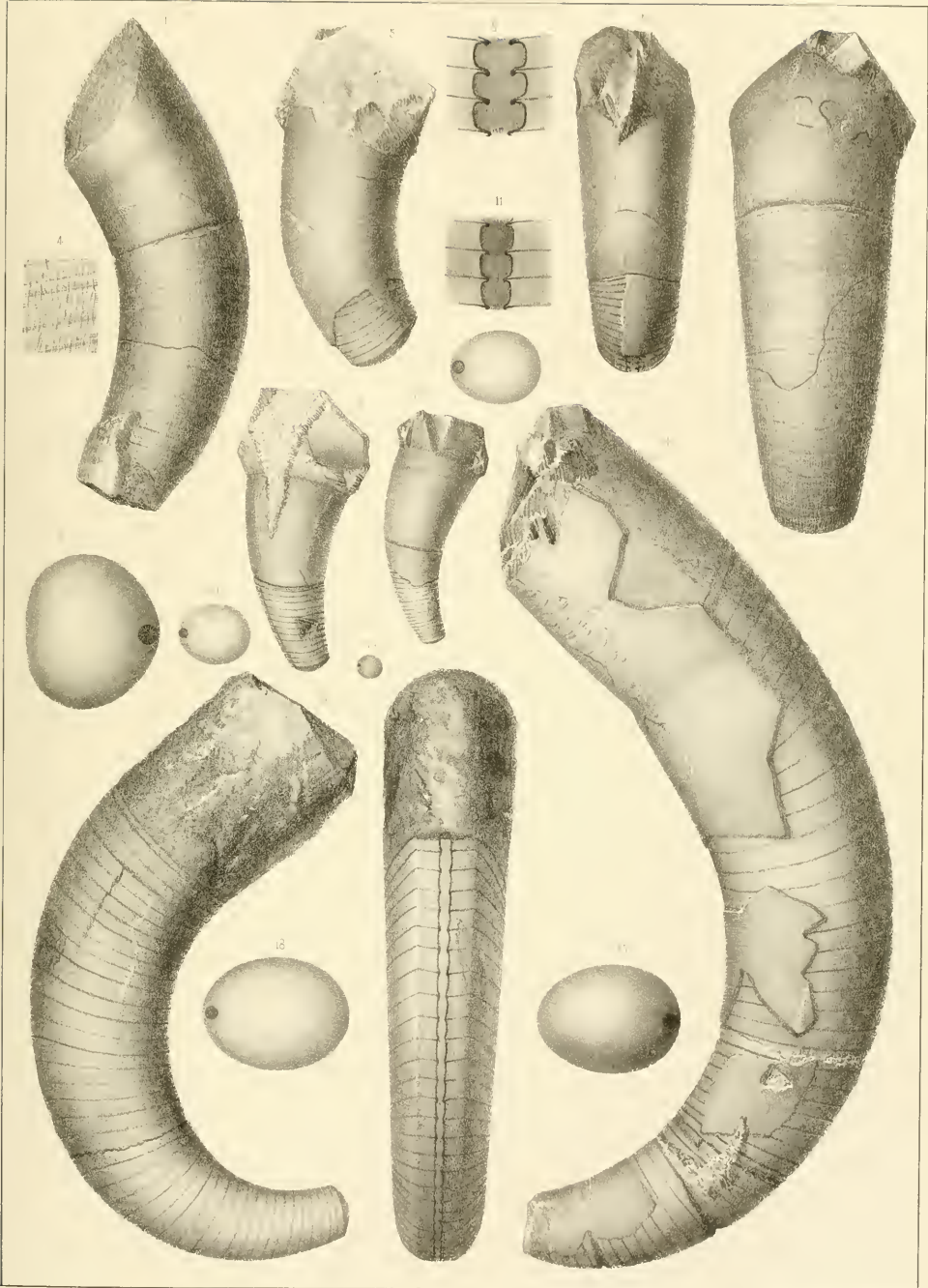






Fig.

Etage.

**Cyrtoceras Ruemeri.** Barr. . . . . E

1. Spécimen vu par la face latérale, montrant la grande chambre un peu endommagée vers le haut, une longue série de loges aériennes et quelques fragments du test, dont la surface est altérée. *Kozořz.*
2. *id.* vu par le côté convexe. La surface a été usée de manière à montrer la section longitudinale de quelques éléments du siphon. Dans chacun d'eux, on remarque un léger dépôt organique, au droit des goulots.
3. *id.* cloison prise vers le milieu de la longueur et orientée comme la figure 1. pour montrer la position du siphon.

**Cyrtoceras timidum.** Barr. . . . . E  
(voir Pl. 126—135.)

4. Spécimen vu par la face latérale, montrant la grande chambre à peu près complète, une longue série de loges aériennes et quelques fragments du test, dont la surface est altérée. *Kozořz.*
5. *id.* vu par le côté convexe, montrant, à diverses hauteurs, deux séries des éléments du siphon, mis à nu par une section longitudinale. On voit à peine la trace du dépôt organique, au droit des goulots.
6. *id.* cloison prise vers le milieu de la longueur et orientée comme la figure 4, pour montrer la position du siphon.

Fig.

Etage.

**Cyrtoceras ambiguum.** Barr. . . . . E  
(voir Pl. 158.)

7. Spécimen de grande taille, vu par la face latérale. Il montre le bord intact de l'ouverture, la grande chambre, une série de loges aériennes et une partie du test bien conservé. *Kozořz.*
8. Autre spécimen vu par le côté convexe, montrant une partie de la grande chambre, une série de loges aériennes et une partie du test. Sa surface a été usée de manière à mettre à nu les éléments du siphon, dans la moitié inférieure du fossile. *Kozořz.*
9. *id.* cloison terminale de la grande chambre, orientée comme la fig. 8 et montrant la position marginale du siphon.
10. Autre spécimen. Section longitudinale suivant le plan médian. Elle est orientée comme la figure 7 et montre la base de la grande chambre, remplie de calcaire noir, avec divers débris de fossiles, tandis que toutes les loges aériennes sont occupées par du spath calcaire blanc. On voit la plupart des éléments du siphon bien conservés. Au contraire, la plupart des cloisons ont été brisées et leurs fragments ont été entassés vers le bas du fossile. *Kozořz.*

**Cyrtoceras longiventris.** Barr. . . . . E

11. Spécimen vu par la face latérale, montrant le bord de l'ouverture, la grande chambre, une série de loges aériennes et une partie du test. La grande chambre se fait remarquer par son étendue. *Karlstein.*
12. *id.* vu par le côté convexe. Quelques éléments du siphon ont été mis à nu vers le petit bout, par une section longitudinale.
13. *id.* section longitudinale vers le petit bout, montrant quelques éléments du siphon avec la trace des cloisons. Les éléments intermédiaires entre ceux qui sont figurés, ont été détruits isolément, tandis que les cloisons persistent.
14. *id.* cloison terminale, orientée comme la fig. 11 et montrant la position du siphon.
15. *id.* fragment du test grossi, pour montrer les stries sub-régulières dont il est orné.

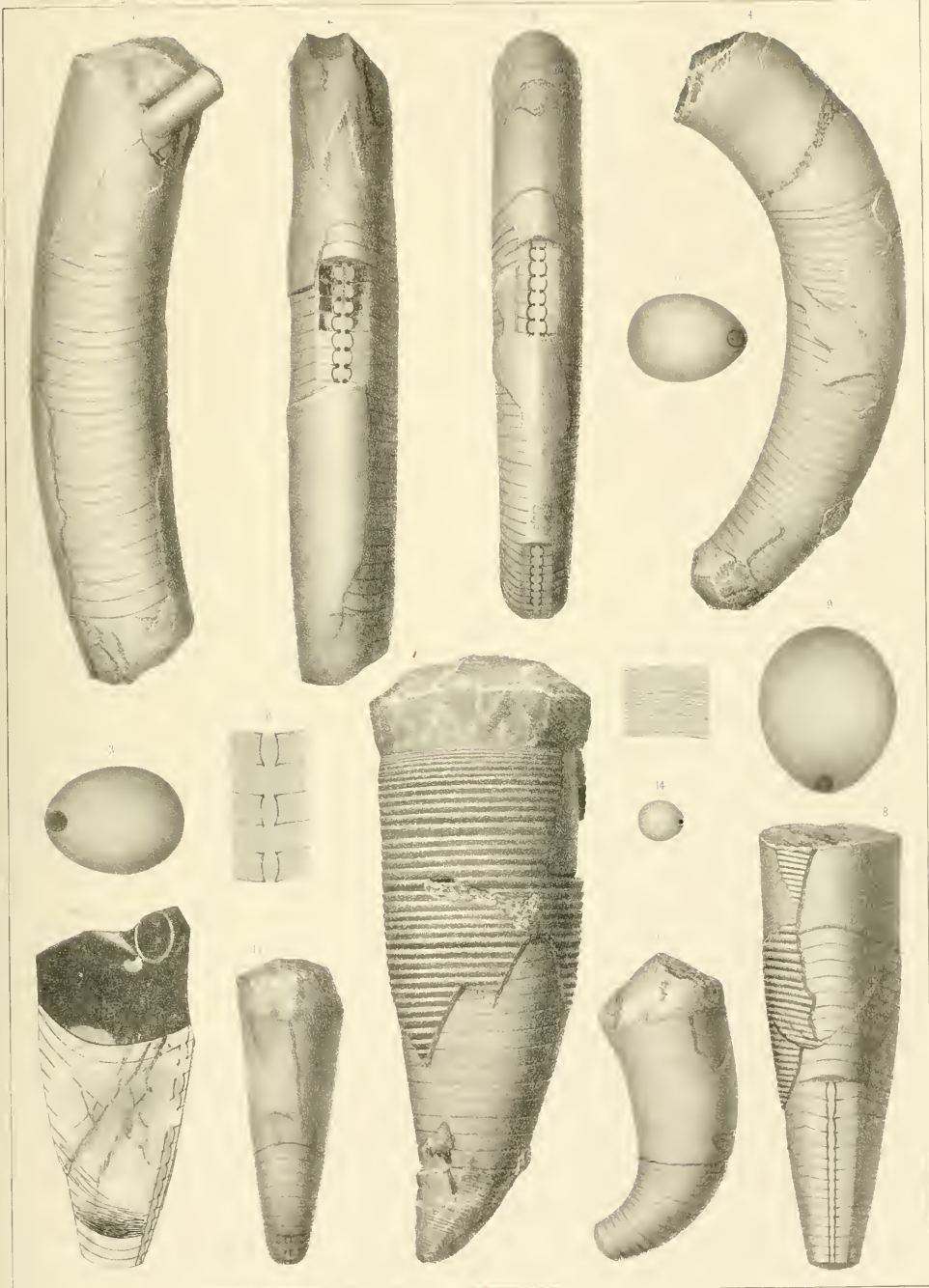






Fig.

Étage.

Fig.

Étage.

**Cyrtoceras adjutor.** Barr. . . . . E

1. Spécimen vu par la face latérale, montrant le bord de l'ouverture, la grande chambre, la série presque complète des loges aériennes et une grande partie du test. La lamelle externe du test présente des ornements ou plis transverses, dont le relief est très prononcé. Au contraire, la lamelle interne, qui est seule visible vers la pointe de la coquille, ne présente que des stries faibles et serrées. *Lochkov.*
2. *id.* vu par le côté convexe, montrant le sinus des ornements, au droit du siphon.
3. *id.* cloison prise vers le milieu de la longueur et orientée comme la figure 1, pour montrer la position marginale du siphon.
4. *id.* vu par le côté concave, montrant la direction horizontale des ornements.
5. *id.* fragment du test grossi, pour montrer ses ornements, c. à d. les plus ornés de stries fines, parallèles.
6. Autre spécimen vu par le bord convexe, montrant les principaux éléments de la coquille. La surface a été usée de manière à exposer la section longitudinale de quelques éléments du siphon. *Kozorç.*
7. *id.* trois éléments du siphon grossis, avec la trace des cloisons.

**Cyrtoceras patulum.** Barr. . . . . E

(voir Pl. 110—126.)

8. Jeune spécimen vu par la face latérale, montrant la grande chambre presque complète et la série des loges aériennes, conservant la plus grande partie du test avec ses ornements. *Kozorç.*
9. *id.* cloison orientée comme la figure 9 et montrant la position sub-marginale du siphon.
10. *id.* fragment du test, fortement grossi, pour montrer les stries régulières dont il est orné.
11. Autre spécimen de plus grande taille vu par la face latérale, montrant le bord de l'ouverture, le moule interne de la grande chambre, une série de loges aériennes et une partie du test. *Kozorç.*
12. *id.* cloison orientée comme la figure 11 et montrant la position du siphon.
13. *id.* éléments du siphon avec la trace des cloisons. Ces éléments sont figurés d'après leur grandeur naturelle, observée dans une section sur le bord convexe du même fossile.
14. Autre spécimen plus développé et vu par la face latérale, montrant le bord de l'ouverture, la grande chambre, la série presque complète des loges aériennes et la plus grande partie du test. *Kozorç.*
15. *id.* cloison prise vers le milieu de la longueur et orientée comme la figure 14, pour montrer la position du siphon.

**Cyrtoceras baculoides.** Barr. . . . . E

(voir Pl. 117.)

16. Spécimen vu par la face latérale, montrant une partie du bord de l'ouverture, la grande chambre, presque toute la série des loges aériennes et la plus grande partie du test. La chambre d'habitation se fait remarquer par son peu d'étendue. *Kozorç.*
17. *id.* cloison prise vers le milieu de la longueur, et orientée comme la figure 16, pour montrer la position marginale du siphon.
18. Spécimen vu par la face latérale, montrant le bord de l'ouverture, le moule de la grande chambre, une série de loges aériennes et une partie du test. *Lochkov.*
19. *id.* vu par le côté convexe. La surface a été usée de manière à montrer la section longitudinale d'une partie des éléments du siphon.
20. *id.* cloison terminale de la grande chambre, orientée comme la figure 18 et montrant la position marginale du siphon.

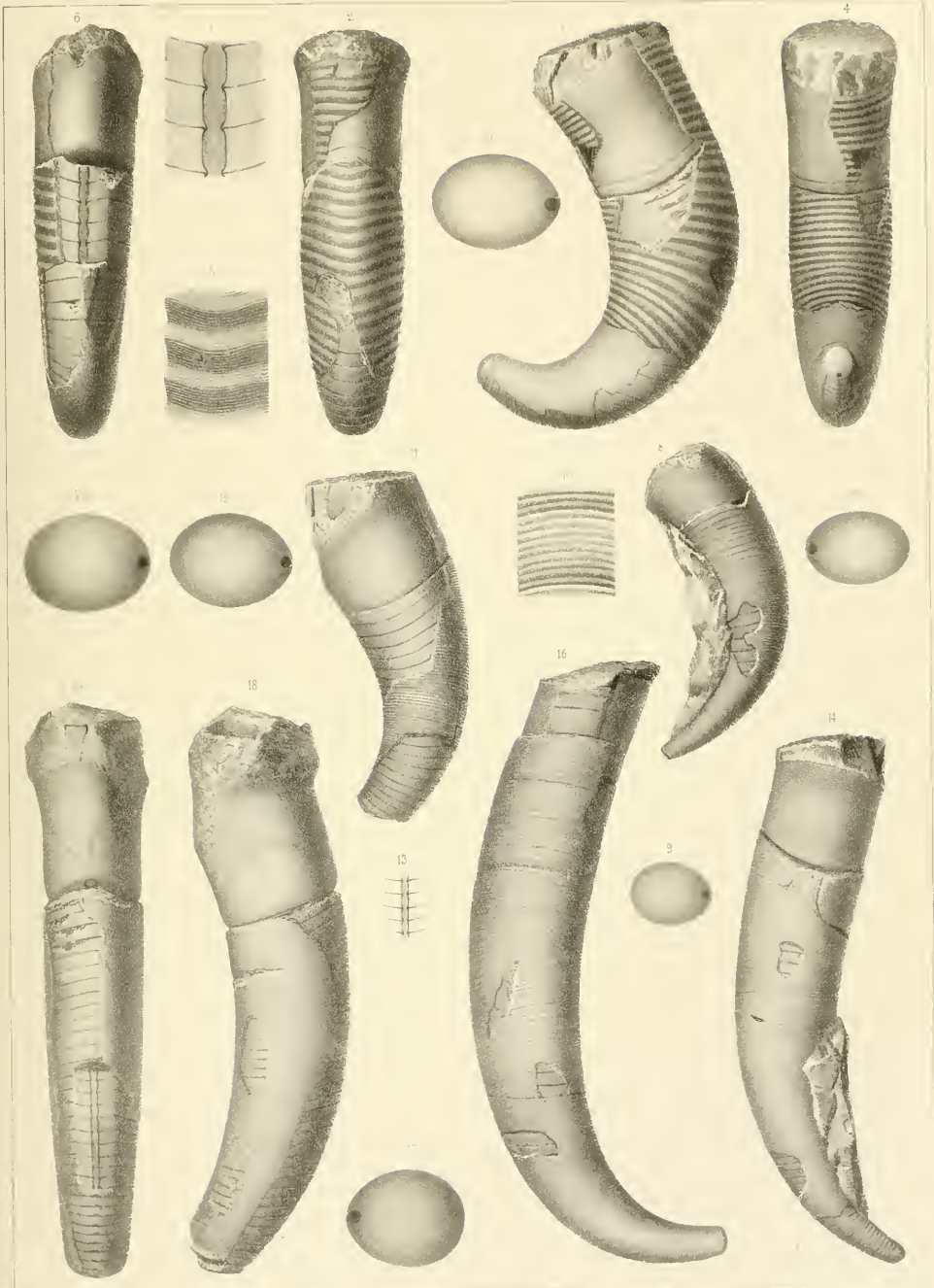






Fig.

Etage.

Fig.

Etage.

**Cyrtoceras sociule.** Barr. . . . . E  
(voir Pl. 108.)

1. Spécimen presque complet, vu par la face latérale. Il montre le bord de l'ouverture, le moule interne de la grande chambre et la série presque complète des loges aériennes, conservant leur test. *Dlaucha Hora.*
2. *id.* vu par le côté convexe ou ventral, montrant le siphon mis à nu par une section longitudinale. Une partie des éléments de cet organe a été détruite, avec les cloisons correspondantes.
3. *id.* cloison terminale de la grande chambre, orientée comme la fig. 1 et montrant la position du siphon.
4. *id.* fragment du test fortement grossi, pour montrer les plis et les stries qui ornent sa surface.
5. Autre spécimen, vu par la face latérale et notablement plus large que le précédent. Il montre d'ailleurs les mêmes éléments, plus la trace de quelques cloisons dans une lacune du test. *Dlaucha Hora.*
6. *id.* vu par le côté convexe, montrant le sinus des ornements au droit du siphon.
7. *id.* cloison terminale de la grande chambre, vue par la face convexe et montrant la position du siphon. Elle est orientée comme la fig. 5.

N. B. Voir ci-après les figures 13—14—15.

**Cyrtoceras humile.** Barr. . . . . E

8. Spécimen vu par la face latérale, montrant une partie de la grande chambre, la série presque complète des loges aériennes et des fragments du test, orné de larges bandes transverses et striées horizontalement. *Butovitz.*
9. *id.* vu par le côté convexe, montrant quelques éléments du siphon mis à nu par une section longitudinale.
10. *id.* quatre éléments du siphon grossis, avec la trace des cloisons.

**Cyrtoceras sporadicum.** Barr. . . . F  
(voir Pl. 151.)

11. Spécimen vu par la face latérale, montrant le moule incomplet de la grande chambre et presque toute la série des loges aériennes recouvertes par leur test. *Lachkov.*

N. B. Nous faisons observer que ce spécimen reproduit exactement la forme de celui qui est figuré sous le même nom Pl. 151, mais il offre des stries notablement plus prononcées.

12. *id.* cloison terminale de la grande chambre, orientée comme la fig. 11 et montrant la position du siphon.

**Cyrtoceras sociule.** Barr. . . . . E  
(voir Pl. 108.)

**Var. *lenta.*** Barr.

13. Spécimen vu par la face latérale, montrant une longue série de loges aériennes, conservant la majeure partie du test. Cet individu, très allongé, se fait remarquer par l'uniformité de sa section transverse, dont la largeur augmente très lentement. *Dlaucha Hora.*
14. *id.* vu par le côté convexe ou dorsal, montrant le sinus très étroit que font les ornements au droit du siphon, adjacent à ce côté.
15. *id.* cloison vue par la face convexe. Elle est orientée comme la fig. 13 et montre la position du siphon, contre le bord convexe.

**Cyrtoceras elongutum.** Barr. . . . . E  
(voir Pl. 109—117—157—202—208.)

16. Spécimen incomplet vu par la face latérale, montrant la base de la grande chambre et une longue série de loges aériennes conservant une partie du test. *Dlaucha Hora.*
17. *id.* vu par le côté convexe ou ventral, montrant le siphon mis à nu par une section longitudinale.
18. *id.* cloison, orientée comme la fig. 16 et montrant la position marginale du siphon.

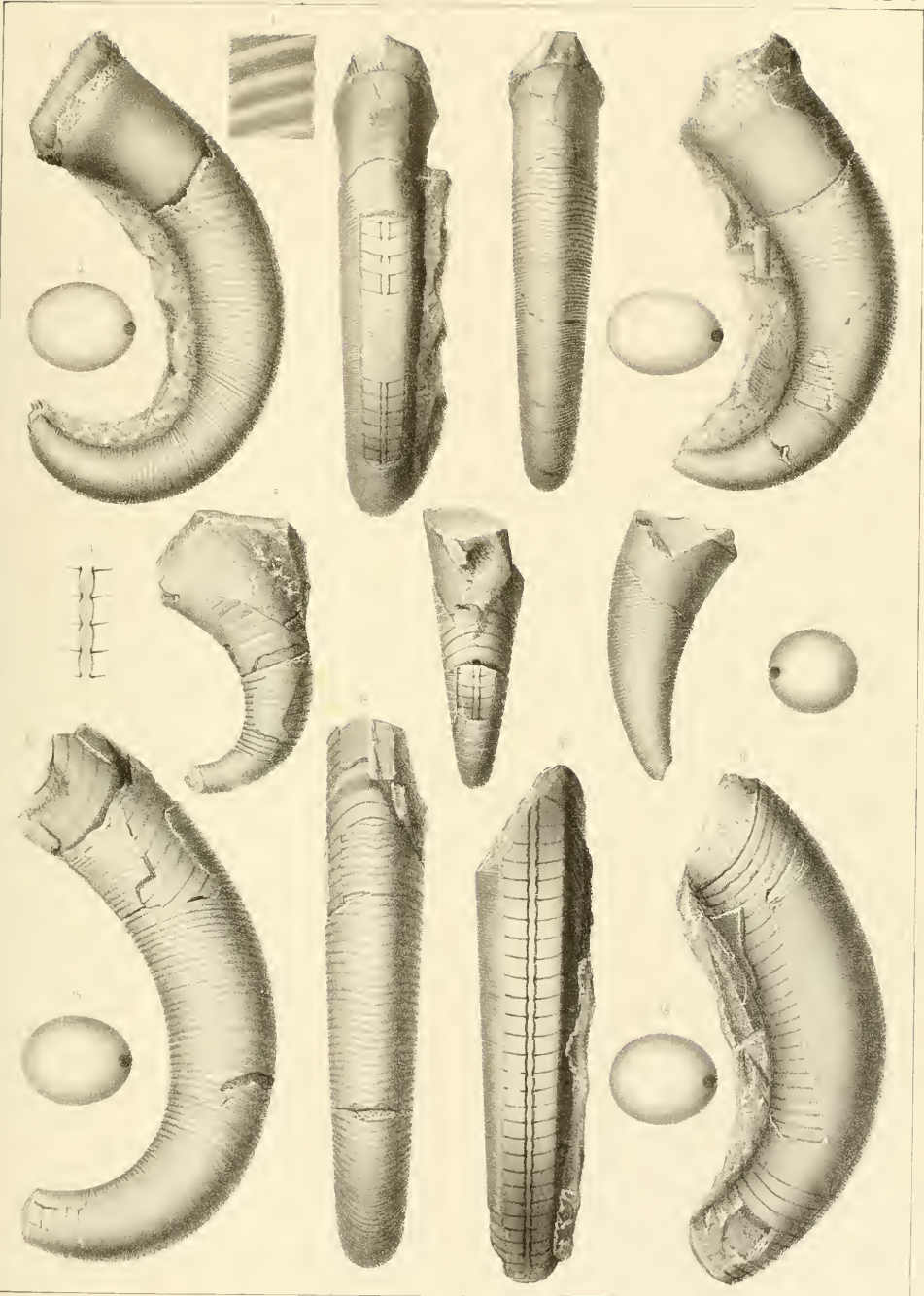






Fig.

Etage.

Fig.

Etage.

**Cyrtoceras ancillans.** Barr. . . . . E  
(voir Pl. 207.)

1. Spécimen vu par la face latérale, montrant le bord de l'ouverture, le moule de la grande chambre et une série de loges aériennes conservant leur test. *Butoritz.*
2. *id.* vu par le côté convexe, montrant le sinus des stries au droit du siphon mis à nu sur une partie de sa longueur, par une section longitudinale.
3. *id.* cloison terminale, orientée comme la fig. 1 et montrant la position du siphon.

**Cyrtoceras fasciatum.** Barr. . . . . E  
(voir Pl. 113.)

4. Fragment vu par la face latérale recouverte par le test, qui empêche de distinguer les cloisons. *Butoritz.*
5. *id.* vu par le côté convexe. Vers le bas on aperçoit une loge aérienne, ainsi que la trace du siphon, au droit duquel les ornements font un sinus très prononcé.
6. *id.* cloison terminale, orientée comme la fig. 4 et montrant la position du siphon.
7. *id.* fragment du test grossi, pour montrer la disposition régulière des stries par faisceaux, séparés par des rainures et présentant l'imbrication directe. Ce fragment est pris au droit du siphon.
8. Spécimen vu par le côté concave, montrant la grande chambre, une série de loges aériennes et une partie du test. *Butoritz.*
9. *id.* cloison terminale de la grande chambre, orientée comme la fig. 8 et montrant la position du siphon, contre le bord convexe de la coquille.

**Cyrtoceras infidum.** Barr. . . . . E  
(voir Pl. 240—bis.)

10. Spécimen très jeune vu par la face latérale, montrant le bord de l'ouverture, la grande chambre et la plus grande partie des loges aériennes conservant leur test. Les ornements offrent des bandes distinctes vers le gros bout, sur la grande chambre, tandis que sur la partie cloisonnée on ne voit que des stries fines. Dans toute la longueur, les ornements transverses sont croisés par des stries longitudinales, creuses mais très faibles, figurées sur la Pl. 240 bis. fig. 4. *Butoritz.*
11. *id.* vu par le côté convexe, montrant quelques cloisons dans une lacune du test.
12. *id.* cloison terminale de la grande chambre, orientée comme la fig. 10 et montrant la position du siphon.

**Cyrtoceras Ibis.** Barr. . . . . E

13. Spécimen vu par la face latérale, montrant le bord de l'ouverture, le moule de la grande chambre, une série de loges aériennes et un petit fragment du test. *Lochkor.*
14. *id.* vu par le côté convexe, conservant une plus grande partie du test. Le siphon est exposé dans une section longitudinale, et on peut reconnaître le sinus correspondant des stries.
15. *id.* cloison terminale de la grande chambre, orientée comme la fig. 13 et montrant la position du siphon.
16. *id.* trois éléments du siphon grossis, avec la trace des cloisons.

**Cyrtoceras problematicum.** Barr. . . . . E  
(voir Pl. 116.)

17. Spécimen de grande taille, vu par la face latérale, montrant le bord de l'ouverture, la grande chambre, une longue série de loges aériennes et une partie du test. *Lochkor.*
18. *id.* vu par le côté convexe ou ventral, montrant le siphon exposé dans une section longitudinale. Le petit bout du spécimen a été supprimé, faute d'espace.
19. *id.* cloison terminale de la grande chambre, orientée comme la fig. 18 et montrant la position du siphon.
20. Autre spécimen, d'âge moyen, presque complet, sauf la pointe initiale et quelques lacunes dans le test. *Kozor's.*
21. *id.* cloison terminale de la grande chambre, orientée comme la fig. 20 et montrant la position du siphon.
22. *id.* fragment du test, fortement grossi, pour montrer les ornements de sa surface, c. à d. les faibles anneaux et les stries, qui coexistent dans la moitié supérieure de la coquille.
23. Spécimen très jeune, vu par la face latérale, montrant la coquille presque complète, sauf l'extrême pointe et quelques lacunes dans le test. *Butoritz.*
24. *id.* cloison terminale de la grande chambre, orientée comme la fig. 23 et montrant la position du siphon.
25. *id.* fragment du test pris vers la pointe et grossi pour montrer ses ornements, qui consistent en stries fines, sans anneaux. Ceux-ci ne se montrent que plus haut sur la coquille.

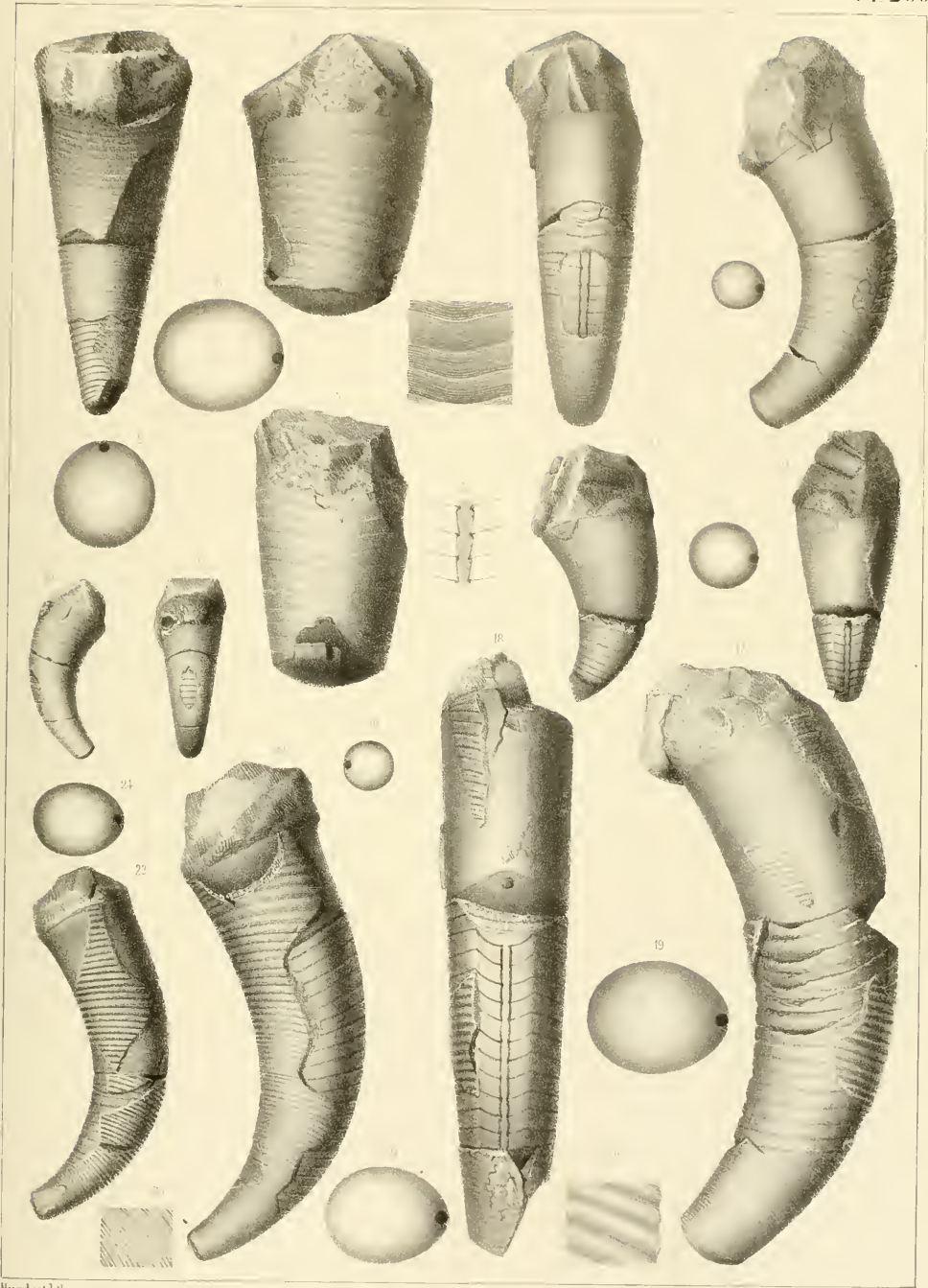






Fig.

Etage.

Fig.

Etage.

**Cyrtoceras plebeium.** Barr. . . . . E  
(voir Pl. 109—157—208.)

1. Spécimen presque complet, vu par la face latérale, montrant le bord de l'ouverture, la grande chambre et presque toute la partie cloisonnée recouverte par le test. Sa forme est plus svelte que celle des autres spécimens figurés. *Kozor's*.
2. *id.* cloison terminale de la grande chambre, orientée comme la fig. 1 et montrant la position du siphon.
3. *id.* fragment du test grossi, pour montrer ses stries irrégulières et très faibles.
4. Autre spécimen de la plus grande taille. Il est vu par la face latérale, montrant la base de la grande chambre et la série presque complète des loges aériennes, avec une partie du test. *Kozor's*.
5. *id.* cloison terminale de la grande chambre, orientée comme la fig. 4 et montrant la position du siphon.  
Le siphon visible, mais non figuré, ressemble à celui de la fig. 9.

**Cyrtoceras ancillans.** Barr. . . . . E  
(voir Pl. 206.)

6. Spécimen vu par la face latérale, montrant le bord de l'ouverture, la grande chambre et la partie cloisonnée presque complète avec son test. Les fortes stries irrégulièrement distribuées sur la surface, ont été oubliées sur cette figure. Voir Pl. 206 fig. 1. *Valton de Stivenetz*.
7. *id.* vu par le côté convexe ou ventral, montrant le sinus des stries, au droit du siphon, dont une partie est exposée dans une section longitudinale.
8. *id.* cloison terminale de la grande chambre, orientée comme la fig. 6 et montrant la position du siphon.
9. *id.* trois éléments du siphon grossis, avec la trace des cloisons.

**Cyrtoceras exesum.** Barr. . . . . F

10. Spécimen vu par la face latérale, montrant la base de la grande chambre, avec la majeure partie des loges aériennes et des restes du test. *Lochkor*.
11. *id.* cloison terminale, orientée comme la fig. 10 et montrant la position du siphon.
12. *id.* trois éléments du siphon grossis, avec la trace des cloisons.

**Cyrtoceras fortiusculum.** Barr. . . . . E

13. Spécimen vu par la face latérale, montrant le bord de l'ouverture, la grande chambre, un peu évasée et presque toutes les loges aériennes, conservant une partie du test. *Butovitz*.
14. *id.* vu par le côté convexe ou ventral, montrant le faible sinus des stries au droit du siphon, mis à nu sur deux points, par une section longitudinale.
15. *id.* cloison prise vers le milieu de la longueur et orientée comme la fig. 13. Elle indique la position du siphon.
16. *id.* trois éléments du siphon grossis, avec la trace des cloisons.

**Cyrtoceras Numu.** Barr. . . . . E

17. Spécimen presque complet, vu par la face latérale, montrant le bord de l'ouverture, la grande chambre et la majeure partie des loges aériennes, avec des fragments du test.
18. *id.* vu par le côté convexe ou ventral, montrant le sinus des stries au droit du siphon, exposé sur deux points par une section longitudinale.
19. *id.* cloison terminale de la grande chambre, orientée comme la fig. 17 et montrant la position du siphon.
20. *id.* trois éléments du siphon grossis, avec la trace des cloisons. Ils se distinguent par leur forme amincie vers le haut, c. à d. contrastant avec celle qu'on observe dans la plupart des autres espèces du même groupe.

**Cyrtoceras uniforme.** Barr. . . . . E

21. Spécimen vu par la face latérale, montrant le bord de l'ouverture, le moule de la grande chambre, la série presque complète des loges aériennes et une partie du test.
22. *id.* vu par le côté convexe, montrant le sinus des stries au droit du siphon, mis à nu par une section longitudinale, dans la région voisine de la grande chambre.
23. *id.* cloison terminale de la grande chambre, orientée comme la fig. 21 et indiquant la position du siphon.

**Cyrtoceras sulcatulum.** Barr. . . . . E  
(voir Pl. 197—240—bis.)

24. Spécimen vu par la face latérale. Moule interne montrant la grande chambre et une série de loges aériennes, avec de petits fragments du test. *Butovitz*.
25. *id.* vu par le côté convexe, montrant le siphon exposé dans une section longitudinale.
26. *id.* cloison terminale de la grande chambre, orientée comme la fig. 24 et montrant la position du siphon.
27. *id.* trois éléments du siphon grossis, avec la trace des cloisons. Leur forme dilatée vers le haut contraste avec celle des éléments de la fig. 20.

**Cyrtoceras fanelicum.** Barr. . . . . E

28. Spécimen vu par la face latérale. Moule interne montrant la grande chambre complète et relativement allongée. Sa base est entourée d'une rangée de petites cavités ou crénelures. La série des loges aériennes est tronquée vers la pointe. *Ilater-Kopaniua*.
29. *id.* vu par le côté convexe, montrant la rangée des crénelures à la base de la grande chambre et le siphon exposé dans une section longitudinale.
30. *id.* cloison terminale de la grande chambre, orientée comme la fig. 28 et montrant la position du siphon.
31. *id.* trois éléments du siphon grossis, avec la trace des cloisons. Ils sont dilatés vers le haut mais plus sveltes que ceux de la fig. 27.

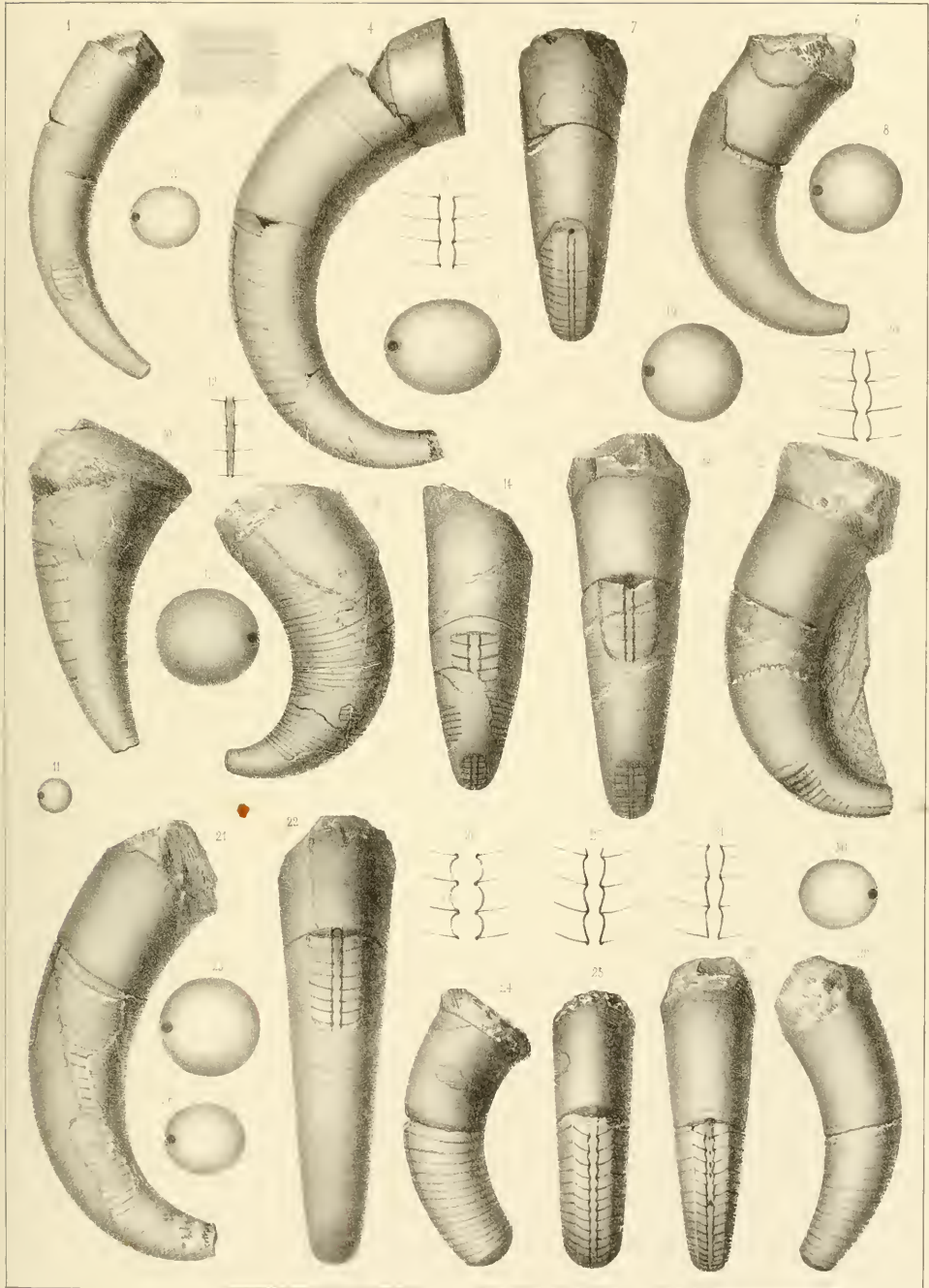






Fig.

Etage.

Fig.

Etag.

**Cyrtoceras impatiens.** Barr. . . . . E  
(voir Pl. 120.)

1. Spécimen vu par la face latérale. Moule interne montrant le bord de l'ouverture, la grande chambre et une série de loges aériennes. Les ornements du test ont laissé leur trace sur la grande chambre. *Kozořz.*
2. *id.* cloison prise vers le petit bout et orientée comme la fig. 1 pour montrer la position du siphon.

**Cyrtoceras Thetidis.** Barr. . . . . E  
(voir Pl. 112.)

3. Spécimen d'âge moyen, vu par la face latérale, conservant presque tout son test sur les loges aériennes et montrant le moule complet de la grande chambre. *Kozořz.*
4. *id.* vu par le côté convexe, montrant le sinus des ornements au droit du siphon. Les ornements sont plus fins que sur les autres individus.
5. Autre spécimen un peu plus développé et vu par la face latérale, conservant presque tout son test. *Kozořz.*
6. *id.* cloison terminale de la grande chambre, orientée comme la fig. 5 et montrant la position du siphon.
7. Autre spécimen très jeune, vu par le côté convexe, montrant le siphon exposé dans une section longitudinale. *Lochkov.*
8. *id.* fragment du test, fortement grossi, pour montrer ses plis et ses stries, d'après le spécimen fig. 5.
9. *id.* trois éléments du siphon, d'après la fig. 7, grossis avec la trace des cloisons.

**Cyrtoceras plebeium.** Barr. . . . . E  
(voir Pl. 109—157—207.)

10. Spécimen presque complet, vu par la face latérale. *Hinter-Kopanima.*
11. *id.* vu par le côté convexe, montrant le siphon exposé dans une section longitudinale.
12. *id.* cloison terminale de la grande chambre, orientée comme la fig. 10 et montrant la position du siphon.
13. *id.* trois éléments du siphon grossis avec la trace des cloisons.
14. Autre spécimen plus jeune et vu par la face latérale, montrant le bord de l'ouverture, le moule de la grande chambre et la série presque complète des loges aériennes, conservant le test. *Lochkov.*
15. Autre spécimen très jeune, vu par la face latérale, montrant la grande chambre, une partie des loges aériennes et un fragment du test. *Kozořz.*
16. *id.* cloison terminale, orientée comme la fig. 15 et montrant la position du siphon.

**Cyrtoceras imperiale.** Barr. . . . . E  
(voir Pl. 111.)

17. Jeune spécimen vu par la face latérale, montrant la grande chambre, une série de loges aériennes et une partie du test. *Kozořz.*
18. *id.* vu par le côté convexe, montrant le siphon exposé dans une section longitudinale.
19. *id.* cloison terminale de la grande chambre, orientée comme la fig. 17 et indiquant la position du siphon.

20. *id.* trois éléments du siphon grossis, avec la trace des cloisons.

**Cyrtoceras veteranum.** Barr. . . . . E

21. Spécimen vu par le côté convexe, montrant la grande chambre un peu endommagée et la partie cloisonnée conservant son test. On voit dans celui-ci, par transparence, des chevrons d'une teinte plus foncée que le reste de la coquille. *Kozořz.*

**Cyrtoceras fallax.** Barr. . . . . E  
(voir Pl. 149—193.)

22. Spécimen presque complet, vu par la face latérale, montrant le bord de l'ouverture, la grande chambre et la série presque entière des loges aériennes, conservant leur test. *Kozořz.*

**Cyrtoceras accessor.** Barr. . . . . E

23. Spécimen vu par la face latérale, montrant le moule incomplet de la grande chambre et une série de loges aériennes conservant une partie du test. *Butovitz.*
24. *id.* cloison orientée comme la fig. 23 et montrant la position du siphon.

**Cyrtoceras circumflexum.** Barr. . . . . E  
(voir Pl. 120.)

25. Spécimen presque complet, vu par la face latérale, montrant le bord de l'ouverture, la grande chambre et la série presque entière des loges aériennes, conservant leur test, sauf quelques lacunes. *Zmrzlik.*
26. *id.* cloison terminale de la grande chambre, orientée comme la fig. 25 et montrant la position du siphon.
27. Autre spécimen vu par le côté convexe, montrant le siphon mis à nu par une section longitudinale. *Karlstein.*
28. *id.* trois éléments du siphon grossis, avec la trace des cloisons.

**Cyrtoceras elongatum.** Barr. . . . . E  
(voir Pl. 109—117—157—202—205.)

29. Spécimen vu par la face latérale, montrant le moule de la grande chambre, dont la base est entourée d'une rangée de crénelures et une série de loges aériennes, avec un fragment du test. *Lochkov.*
30. *id.* cloison orientée comme la fig. 29 et indiquant la position du siphon.

**Cyrtoceras Geinitzi.** Barr. . . . . E  
(voir Pl. 122.)

31. Spécimen vu par la face latérale, montrant le bord de l'ouverture, la grande chambre et la majeure partie des loges aériennes, avec des fragments du test. *Lochkov.*
32. *id.* vu par le côté convexe, montrant le siphon mis à nu par une section longitudinale, dans le voisinage de la grande chambre.
33. *id.* cloison orientée comme la fig. 31 et montrant la position du siphon.
34. *id.* quatre éléments du siphon grossis, avec la trace des cloisons.

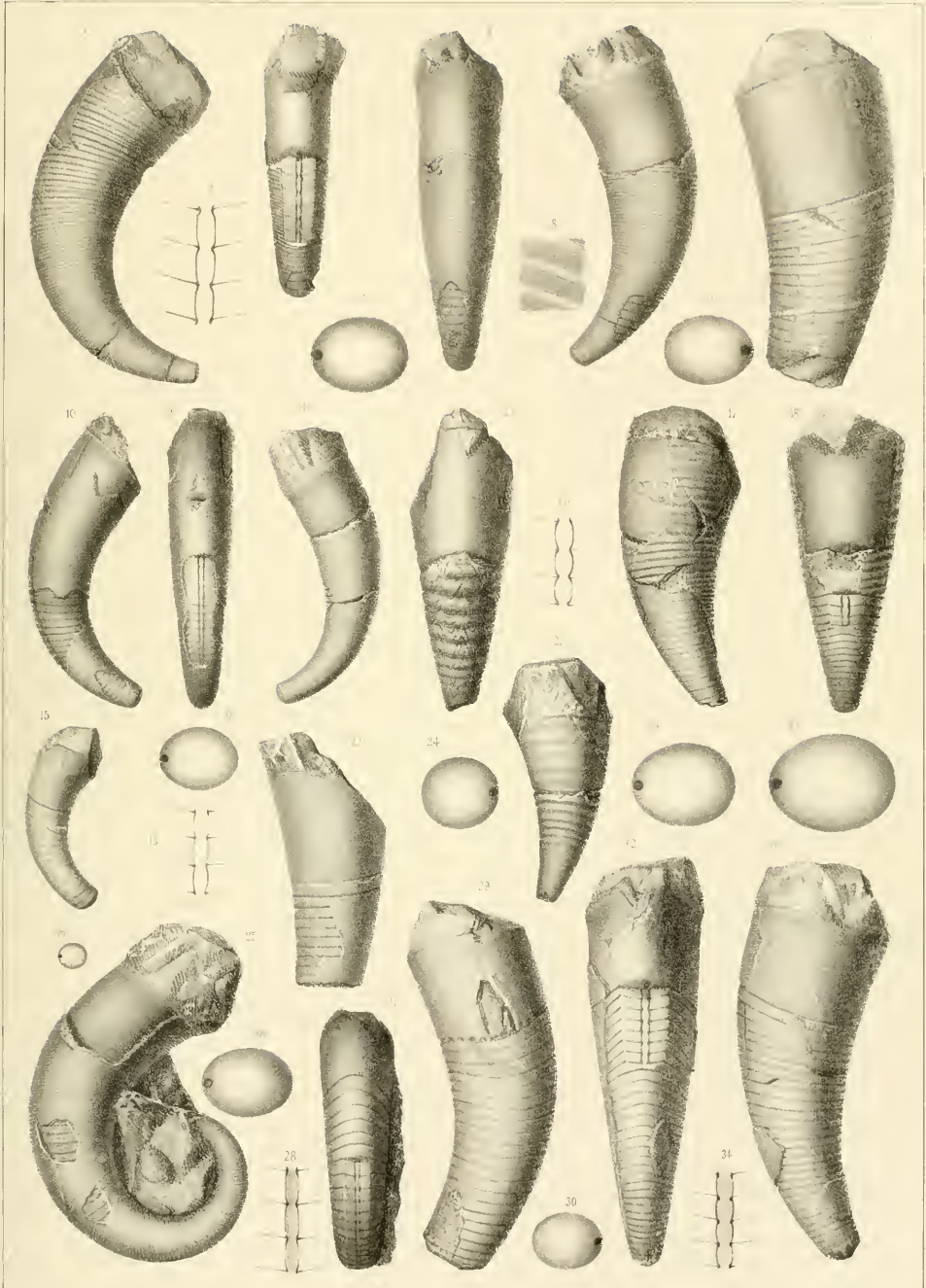






Fig.

Etage.

Remplissage des loges aériennes et du siphon par les dépôts organiques et inorganiques.

**Orthoceras rivale.** Barr. . . . . E  
(voir Pl. 216—374.)

1. Spécimen vu par l'extérieur. Il conserve la plus grande partie de son test avec les ornements. Vers le haut, le test ayant perdu sa couche externe, il ne reste que la lamelle interne, qui paraît lisse. *Kozořs.*
2. *id.* section longitudinale suivant l'axe. On y reconnaît les cloisons bien conservées, ainsi que plusieurs des éléments du siphon, tandis que les autres sont détruits. Le dépôt organique, peu développé, se voit au droit des goulots. Dans chaque loge, le dépôt organique ou primitif est indiqué par une teinte grise et couvre immédiatement les deux faces des cloisons. Son étendue augmente graduellement vers le bas, et sa surface est irrégulière. Ce dépôt primitif est recouvert par le calcaire noir, qui a pénétré dans quelques loges à gauche et dans une portion du siphon. Tout le reste des cavités est rempli par le dépôt secondaire ou chimique, sous la forme de spath calcaire blanc.
3. *id.* section transverse, montrant la position excentrique du siphon, l'épaisseur du test et l'étendue horizontale des trois dépôts successifs d'origine et d'apparence très-différentes, constituant le remplissage dans l'intérieur de ce spécimen.
4. *id.* fragment du test, fortement grossi, montrant ses ornements.
5. *id.* profil de ce fragment, indiquant l'imbrication directe des ornements du test.
6. Autre spécimen. Section longitudinale, montrant les cloisons bien conservées, tandis que les éléments du siphon sont presque complètement détruits. On voit dans le siphon trois jeunes *Orthocères* adventices, emboîtés l'un dans l'autre. Dans chaque loge, le dépôt organique ou primitif, très peu développé, se montre seulement à droite, recouvrant immédiatement les deux parois des cloisons. Sur sa surface, repose le calcaire noir, partiellement injecté dans toutes les loges. Le reste des cavités est rempli par le dépôt secondaire, ou chimique, consistant en calcaire spathique blanc. *Dlauha Hora.*
7. Autre spécimen. Section longitudinale, montrant les cloisons bien conservées, ainsi que les éléments du siphon, excepté le plus élevé. Le second et le troisième, en descendant, ont subi une petite brisure. Au droit des goulots, on voit le dépôt organique, dont l'étendue augmente sensiblement en allant vers le bas. Dans chaque loge, le dépôt primitif est figuré par une teinte grise et se trouve presque totalement à gauche du siphon. Il vu en croissant de haut en bas. Sa surface est recouverte, dans les loges supérieures, par une petite quantité de calcaire noir. Tout le reste des cavités est rempli par le dépôt secondaire, consistant en calcaire spathique plus ou moins pur. *Dlauha Hora.*

X. B. D'après les apparences qu'offre l'intérieur de ce spécimen, nous l'avons assimilé à *Orth. rivale*, mais comme la surface de son test est très altérée, cette détermination laisse quelques doutes et il pourrait appartenir à l'une des espèces voisines, telles que *O. severum* Barr. *xc. xc.*

Etage.

**Orthoceras inchoatum.** Barr. . . . . E  
(voir Pl. 210—336—339.)

8. Fragment vu par la face externe, montrant le test assez bien conservé, mais s'exfoliant par lamelles. *Lochkov.*
9. *id.* section longitudinale, montrant les cloisons bien conservées, ainsi que la plupart des éléments du siphon. Le dépôt organique se voit au droit des goulots. Dans les loges, le dépôt primitif, indiqué par une teinte grise, forme une couche irrégulière, sur les deux parois des cloisons. Le reste des cavités est rempli par le dépôt secondaire, composé de calcaire spathique blanc.
10. *id.* section transverse montrant le siphon légèrement excentrique et l'étendue des deux dépôts qui remplissent les cavités.
11. *id.* fragment du test, fortement grossi, montrant les ornements, avec leur apparence lamelleuse.
12. *id.* profil de ce fragment.

X. B. On remarquera dans les spécimens figurés sur cette planche, comme dans ceux qui sont représentés sur les planches suivantes, que le dépôt organique ou primitif dans les loges aériennes est principalement accumulé dans leur partie la plus large, entre la paroi de la coquille et le siphon.

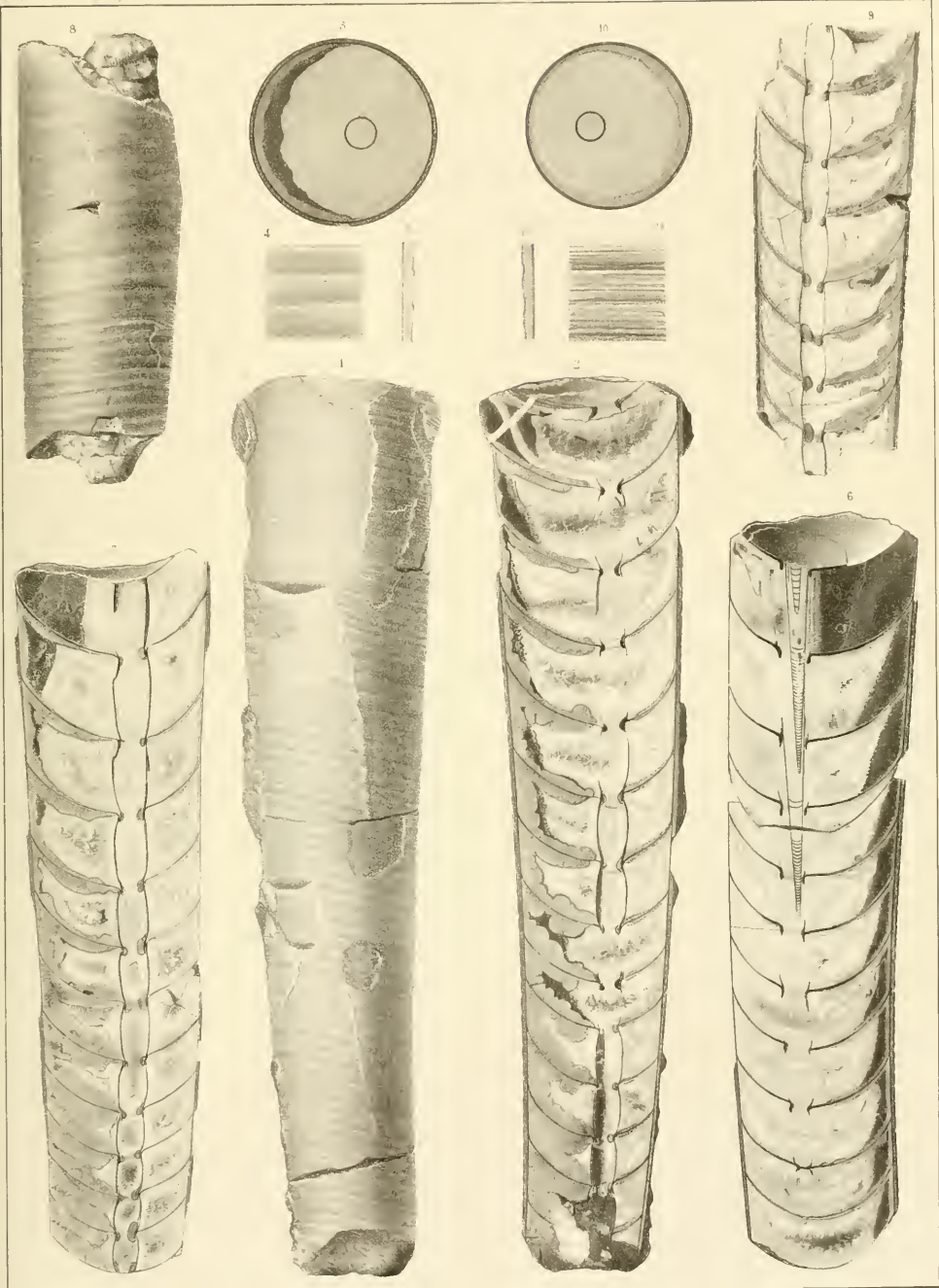






Fig.

Remplissage des loges aériennes et du siphon par les dépôts organiques et inorganiques.

**Orthoceras Fibrayei**. Barr. . . . . E  
(voir Pl. 214—227.)

1. Spécimen vu par la surface externe, montrant une partie du test et une série de loges aériennes. *Butovitz*.
2. *id.* section longitudinale, montrant les cloisons bien conservées, ainsi que les éléments du siphon, sauf quelques légères brisures. Au droit des goulots, on voit les anneaux obstruteurs régulièrement développés, sans que l'obstruction soit complète. Le siphon est central. Dans chaque loge, on reconnaît le dépôt organique ou primitif, sous la forme d'une couche mince, un peu inégale, sur la paroi interne de la coquille et sur les deux faces des cloisons. Il est plus prononcé sur la moitié à droite que sur la moitié à gauche de l'orthocère. Le reste des cavités est rempli par le dépôt chimique ou secondaire, composé de calcaire spathique. La vase noire s'est introduite partiellement au bas du siphon.
3. *id.* section transverse montrant la position centrale du siphon et l'étendue relative des divers dépôts.

**Orthoceras intermixtum**. Barr. . . . . E  
(voir Pl. 211.)

4. Spécimen vu par la surface externe, montrant le test lamelleux et les stries de sa surface. *Lochkor*.
5. *id.* section longitudinale, montrant les cloisons et les éléments du siphon très bien conservés. Les anneaux obstruteurs, peu volumineux, apparaissent au droit des goulots. Dans chaque loge, le dépôt primitif est très développé sur le côté gauche, tandis qu'il est faible sur le côté droit. Le dépôt secondaire, sous la forme de spath calcaire blanc, plus ou moins pur, remplit le reste des cavités, à l'exception des loges extrêmes, dans lesquelles la vase noire a été injectée.
6. *id.* section transverse, montrant le siphon légèrement excentrique et l'étendue relative des divers dépôts.
7. *id.* fragment du test fortement grossi, montrant les ornements.

Etage.

Fig.

Etage.

**Orthoceras sub-annulare**. Münst. . . . . E  
(voir Pl. 212—283.)

8. Spécimen vu par la surface externe, conservant la lamelle interne du test et une partie de la lamelle externe qui porte les ornements. *Butovitz*.
9. *id.* section longitudinale, montrant les cloisons et le siphon bien conservés, sauf quelques légères brisures. Au droit des goulots, on voit les anneaux obstruteurs peu volumineux. Dans chaque loge, le dépôt primitif se montre bien développé à droite, tandis qu'il est très faible à gauche. Le reste des cavités des loges et du siphon est rempli par un dépôt secondaire, composé de spath calcaire. Il reste cependant un vide au milieu des deux loges les plus élevées.
10. *id.* section transverse, montrant le siphon un peu excentrique et l'étendue relative des deux dépôts, organique et inorganique.

**Orthoceras Gryphus**. Barr. . . . . E  
(voir Pl. 221—370.)

11. Spécimen vu par la surface externe, couverte de son test. Celui-ci est orné de stries horizontales, extrêmement fines et serrées, presque invisibles à l'œil nu. *Dlanha Hora*.
12. *id.* section longitudinale, montrant les cloisons et le siphon bien conservés. Les anneaux obstruteurs, peu développés, se voient au droit des goulots. Dans toutes les loges aériennes, le dépôt primitif est très développé à droite et beaucoup moins à gauche. Le reste de leurs cavités est rempli par le dépôt secondaire, ou spath calcaire plus ou moins pur. La vase noire, injectée dans le siphon, recouvre seulement un de ses côtés dans toute la longueur. Il est à remarquer que c'est le côté voisin de la plus grande masse du dépôt organique.
13. *id.* section transverse, montrant la position un peu excentrique du siphon et l'étendue relative des divers dépôts.
14. *id.* fragment du test très fortement grossi pour montrer ses ornements.

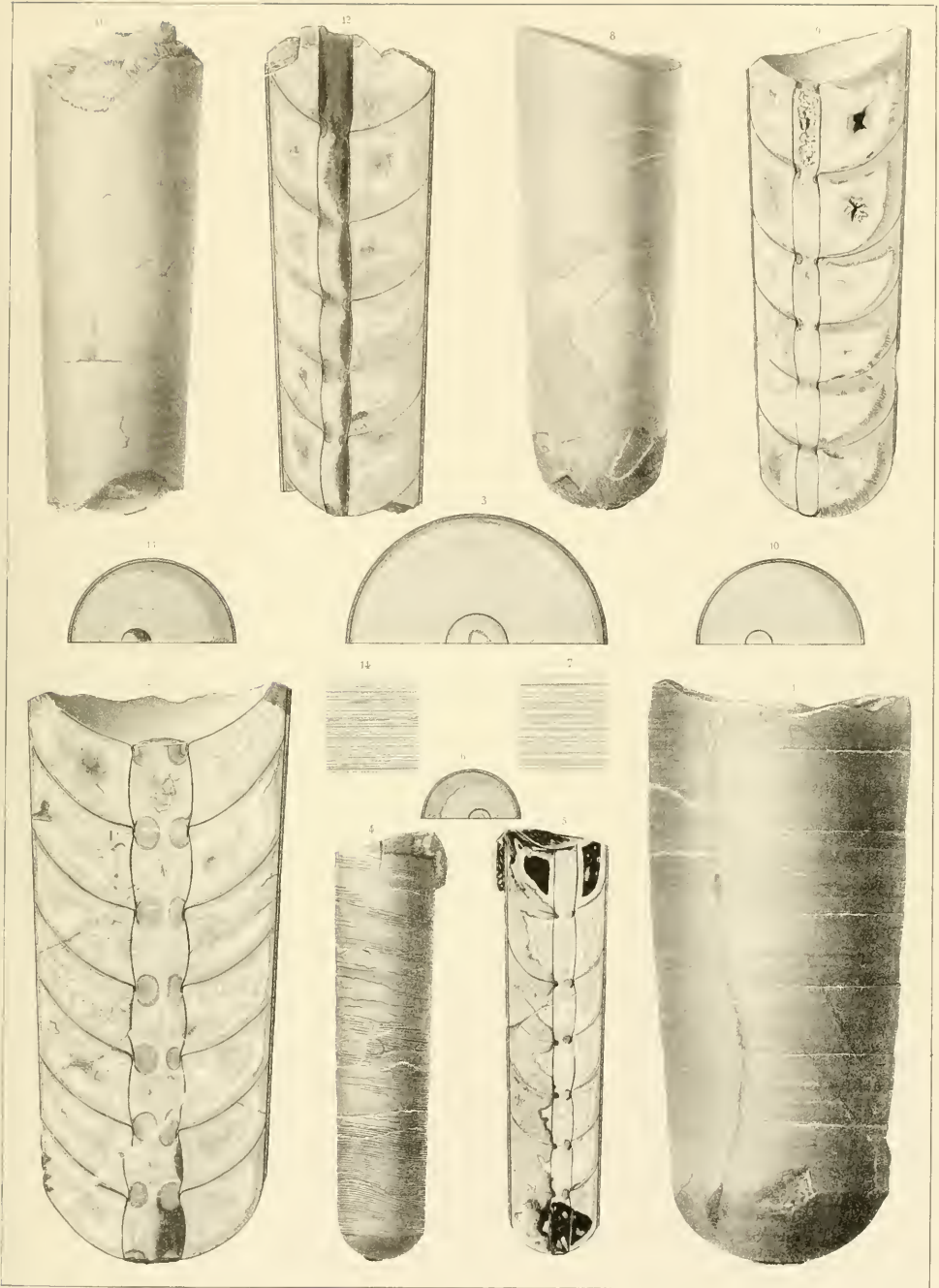






Fig.

Etage.

Fig.

Etage.

Remplissage des loges aériennes et du siphon par les dépôts organiques et inorganiques.

**Orthoceras Billingsi.** Barr. . . . . E  
(voir Pl. 257-263.)

1. Spécimen montrant la surface externe. On y voit une série de loges aériennes, en partie recouvertes du test. Celui-ci ne conserve que quelques fragments de sa lamelle extérieure, qui porte les ornements. *Slivenetz.*
2. *id.* section longitudinale, montrant toutes les cloisons bien conservées, tandis que l'enveloppe externe de tous les éléments du siphon a disparu. Cependant, le dépôt organique persiste dans les cinq loges inférieures, sous la forme d'anneaux obstrueteurs, parvenus au maximum de leur développement. Dans ces mêmes loges, le dépôt primitif existe, mais seulement sur le côté gauche, et il n'atteint qu'une faible épaisseur. Tout le reste des cavités de ces loges et de toutes les autres est rempli par un dépôt secondaire de spath calcaire, plus ou moins pur. La vase noire n'a pénétré que dans une petite partie des deux loges les plus élevées.
3. Section transverse, montrant la position du siphon et l'étendue relative des divers dépôts.
4. *id.* fragment du test, fortement grossi, montrant les stries longitudinales de la lamelle externe. Ces ornements sont très faibles mais distincts dans la nature.

**Orthoceras Puzosi.** Barr. . . . .  
(voir Pl. 235.)

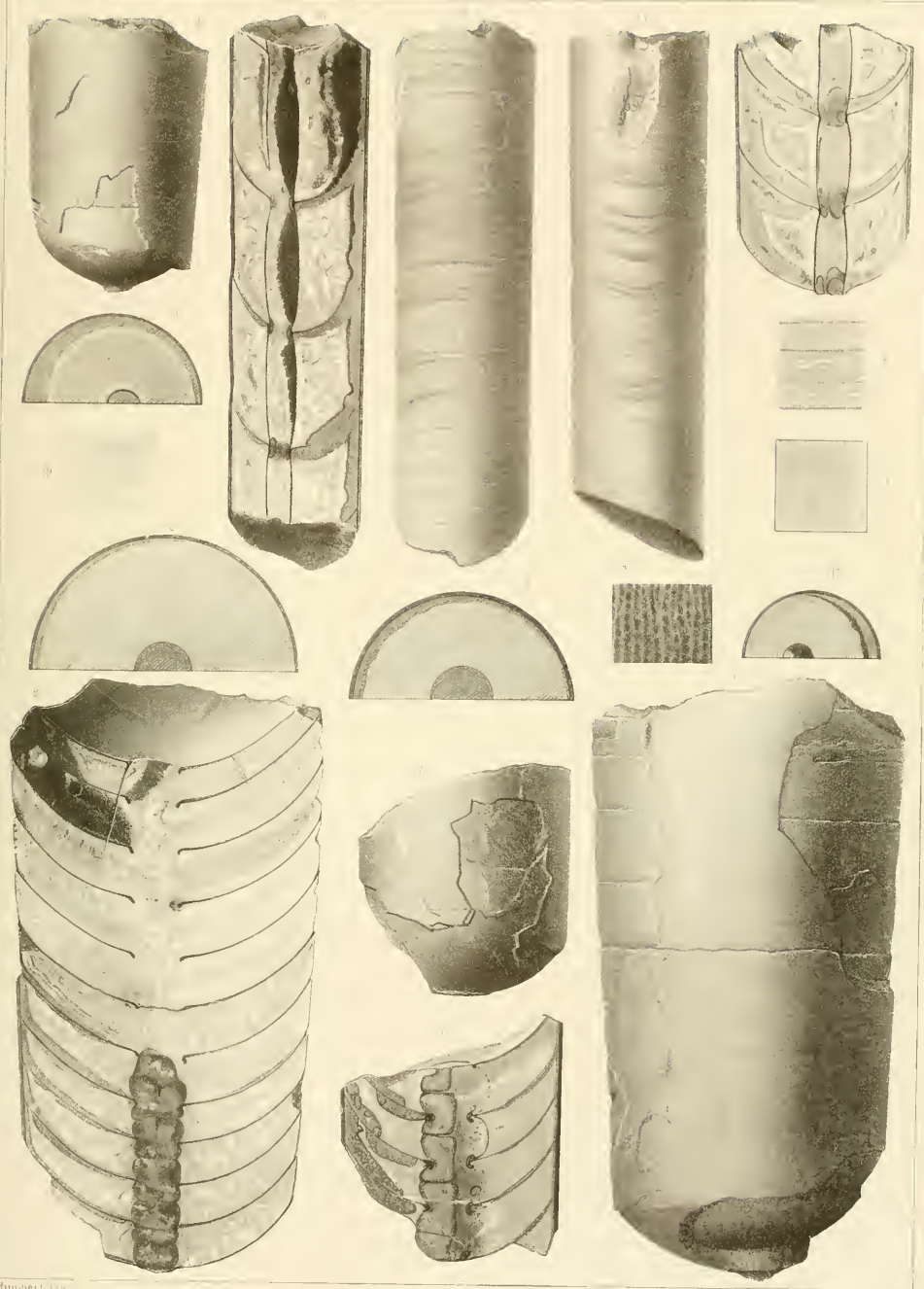
5. Fragment vu par la surface externe, conservant une partie du test. *Néhou, en Normandie, dans le terrain Dévonien.*
6. *id.* section longitudinale, montrant les cloisons bien conservées, tandis que tous les éléments du siphon sont dissous, à l'exception d'un seul. Les anneaux obstrueteurs très développés d'un côté du siphon et très faibles sur le côté opposé, ont résisté à la dissolution. Dans chaque loge, le dépôt primitif, affectant une forme très irrégulière, et presque allongée sur les deux parois de chaque cloison, se montre assez épais à gauche, tandis qu'il est très faible à droite. Le reste des cavités est rempli par le calcaire compacte de couleur grise.
7. *id.* section transverse, sensiblement elliptique, montrant la position du siphon et l'étendue des divers dépôts. La figure ne montre pas suffisamment la forme aplatie de cette section, qui est cependant moins prononcée que sur la Pl. 235 fig. 5.
8. *id.* fragment de la surface du test, fortement grossi, et montrant des ornements qui ne paraissent pas appartenir à la lamelle externe, mais à une lamelle intérieure.

**Orthoceras mactum.** Barr. . . . . E

9. Fragment recouvert de son test. *Konieprus.*
10. *id.* section longitudinale, montrant les cloisons bien conservées ainsi que le siphon. Au droit des goulots, les anneaux obstrueteurs ferment complètement le passage. Dans les trois loges, le dépôt primitif est fortement développé à gauche, sur la surface interne de la coquille et sur les deux parois des cloisons, tandis qu'à droite il ne paraît que sur la paroi concave. Le reste des cavités des loges et du siphon est rempli par du spath calcaire, plus ou moins pur, constituant le dépôt secondaire ou inorganique.
11. *id.* section transverse, montrant la position presque centrale du siphon et l'étendue relative des divers dépôts.
12. *id.* fragment de la surface du moule interne, fortement grossi, montrant les stries creuses qui représentent le manteau du mollusque.

**Orthoceras intermixtum.** Barr. . . . E  
(voir Pl. 210.)

13. Spécimen revêtu de son test. Il est vu par le côté où les stries de la surface font un profond sinus. *Kozofz.*
14. *id.* vu par la face à angle droit par rapport à celle de la figure précédente.
15. *id.* section longitudinale, montrant les cloisons et le siphon parfaitement conservés, sauf une petite brisure à la paroi siphonale. Les anneaux obstrueteurs, peu développés, se voient au droit des goulots. Dans chaque loge, le dépôt primitif est beaucoup plus épais sur la partie droite que sur la partie gauche. Il est recouvert à droite seulement, par une petite couche de calcaire noir, qu'on voit aussi sur le côté correspondant du siphon. Le reste des cavités, soit des loges soit du siphon, est rempli par du calcaire spathique, formant le dépôt secondaire plus ou moins pur.
16. *id.* fragment du test, fortement grossi, pour montrer les ornements.
17. *id.* section transverse, montrant la position du siphon et l'étendue relative des divers dépôts formant le remplissage.







Fig

Etage.

Remplissage des loges aériennes et du siphon par les dépôts organiques et inorganiques.

**Orthoceras migrans.** Barr. . . . . E  
(voir Pl. 309—348.)

1. Spécimen vu par la face externe, en partie recouverte du test, qui paraît dépouillé de sa lamelle externe. *Slivenetz.*
2. *id.* section transverse orientée comme la fig. 1 montrant la position sub-centrale du siphon.
3. *id.* section longitudinale, montrant les cloisons et le siphon parfaitement conservés. Il existe à peine une trace de dépôt organique, au droit des goulots. Le dépôt primitif est très faiblement représenté sur quelques cloisons. Tout le reste de la cavité des loges aériennes est rempli par le calcaire spathique, constituant le dépôt secondaire. Il en est de même de la cavité du siphon, à l'exception de la partie supérieure, dans laquelle a pénétré une petite quantité de calcaire compacte noir.
4. *id.* fragment de la surface fortement grossi. Le test se décompose en plusieurs lamelles, qui montrent, soit des séries horizontales de petites cavités, soit au contraire, des séries de petites aspérités linéaires, qui rappellent l'apparence de la peau de chagrin et qui représentent la surface du manteau du mollusque.

**Orthoceras Dupontii.** Barr. . . . . E  
(voir Pl. 324.)

5. Spécimen vu par la face extérieure, conservant la lamelle interne du test. *Butovitz.*
6. *id.* section longitudinale, montrant les cloisons bien conservées sauf quelques brisures, qui ont eu lieu après les dépôts cristallins immédiatement superposés. Deux éléments du siphon sont intacts, tandis que les autres sont plus ou moins détruits. Les anneaux obstruc-teurs sont peu développés. Le dépôt primitif se montre avec une faible épaisseur sur la partie droite des cloisons, tandis qu'il manque sur la partie gauche. Le reste des cavités est rempli, en grande partie, par du calcaire spathique, constituant le dépôt secondaire. Mais il reste d'assez grands vides dans deux loges consécutives. Le calcaire compacte noir occupe les deux extrémités du spécimen.
7. *id.* section transverse, montrant la position sub-centrale du siphon et l'étendue relative des divers dépôts.
8. *id.* fragment du test fortement grossi, montrant les or-nements de la lamelle externe.

Fig.

Etage.

9. Autre spécimen. Section longitudinale, montrant les cloisons et le siphon conservés, sauf quelques légères brisures. Les anneaux obstruc-teurs sont à peine marqués au droit des goulots. Dans chaque loge, on reconnaît à droite, le dépôt primitif très faible, recouvrant presque uniquement la paroi concave des cloisons et celle du test. Il ne paraît pas sur la partie gauche des cloisons. Le dépôt primitif est immédiatement recouvert par le dépôt secondaire, composé de spath calcaire, plus ou moins pur. Ce second dépôt remplit totalement certaines loges, tandis que dans d'autres il reste au centre un vide plus ou moins grand. Dans les loges inférieures, ces vides sont remplis par du calcaire compacte noir. *Butovitz.*
10. *id.* fragment du test fortement grossi, montrant les or-nements, sur la partie inférieure du fossile.
11. *id.* autre fragment du test, pris vers la partie supérieure et montrant les stries presque effacées.
12. *id.* profil longitudinal du test, fig. 10.
13. *id.* section transverse, montrant la position excentrique du siphon et l'étendue relative des divers dépôts.

**Orthoceras sub-annulure?** Münst. . E  
(voir Pl. 210—283.)

14. Fragment vu par la face externe, recouverte de son test. *Dlauha Hora.*
15. *id.* section longitudinale, montrant les cloisons bien con-servées, ainsi que les éléments du siphon. Des anneaux obstruc-teurs, peu volumineux, existent au droit des goulots. Dans chaque loge, le dépôt primitif est très développé à gauche, tandis qu'il n'existe pas à droite. Le reste des cavités des loges et du siphon est rempli par le calcaire spathique, constituant le dépôt secon-daire. Une petite partie de calcaire compacte noir a pénétré dans le haut du siphon.
16. *id.* fragment du test, fortement grossi, montrant les ornements.
17. *id.* section longitudinale du test.
18. *id.* section transverse du fossile, montrant la position un peu excentrique du siphon et l'étendue relative des divers dépôts formant le remplissage.

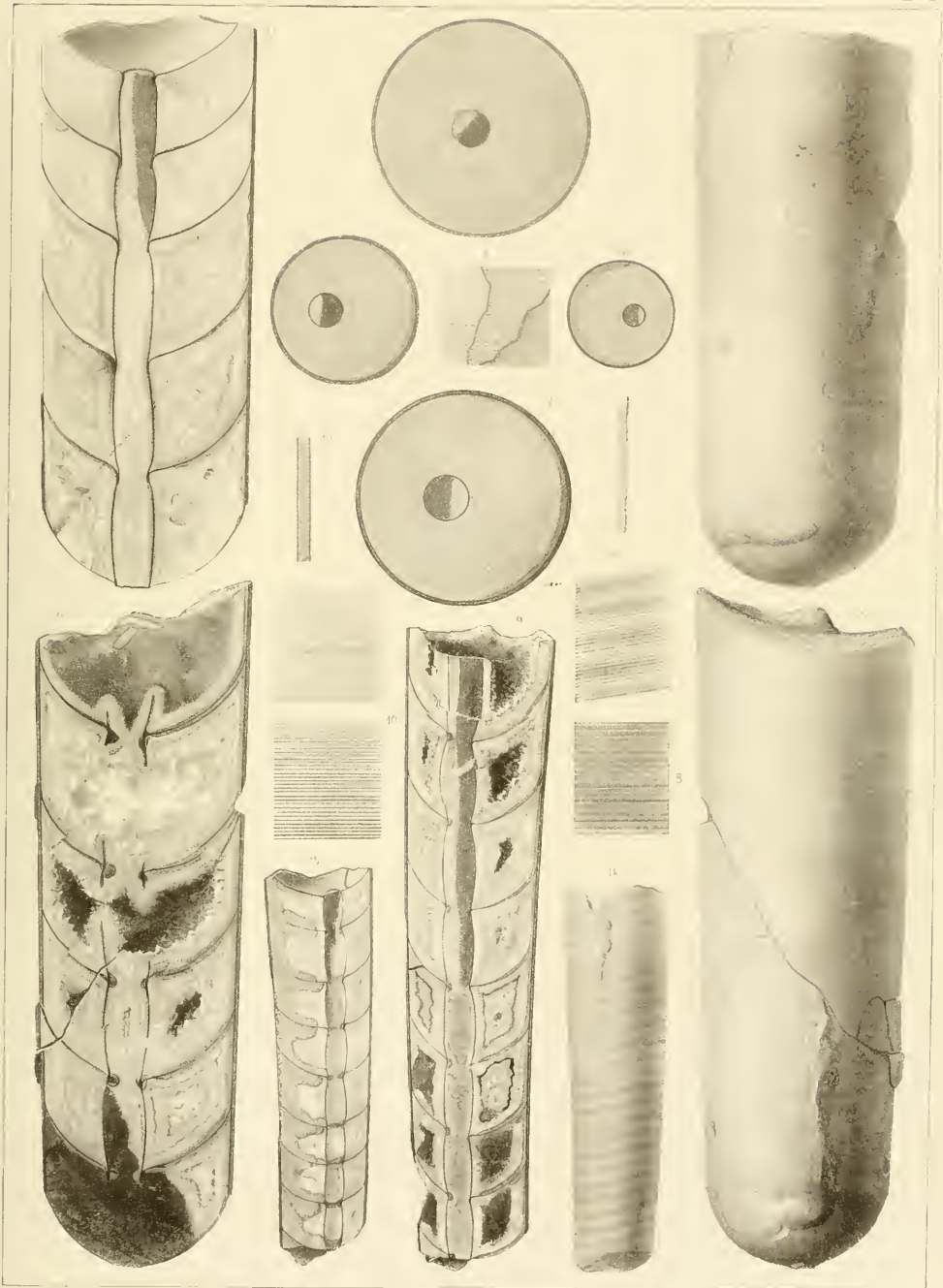






Fig.

Etage. Fig.

Etage.

Remplissage des loges aériennes et du siphon par les dépôts inorganiques seuls, sans trace du dépôt organique.

**Orthoceras explanans.** Barr. . . . . E  
(voir Pl. 318-349.)

1. Spécimen vu par la face externe, montrant les bords des cloisons et une partie du test. *Kozorx.*
2. *id.* section longitudinale, montrant dans la partie inférieure, quelques cloisons et le siphon bien conservés. Dans la partie supérieure, au contraire, il ne reste que les extrémités latérales des cloisons. Un premier dépôt chimique, cristallin, s'est appliqué sur toutes les surfaces en se ployant à leurs contours. Tout le reste de la grande cavité est aussi rempli de calcaire spathique à plus gros cristaux. Les loges aériennes conservées ainsi que les éléments du siphon sont entièrement occupés par les mêmes dépôts chimiques.
3. *id.* section transverse, montrant la position un peu excentrique du siphon.

**Orthoceras Hoernesii.** Barr. . . . . E  
(voir Pl. 333.)

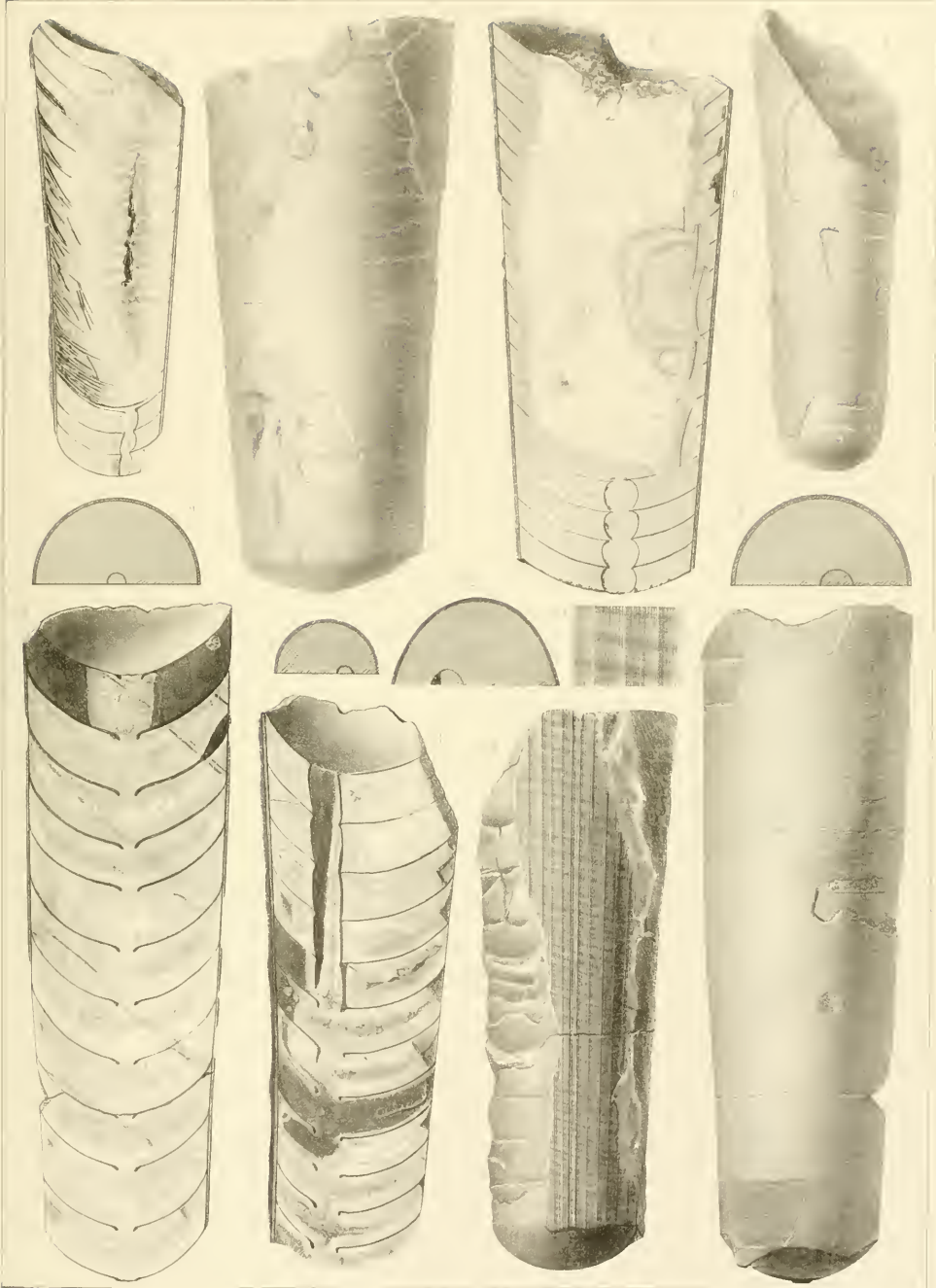
4. Fragment vu par la face externe, conservant la plus grande partie du test. *Kozorx.*
5. *id.* section longitudinale, montrant vers le bas quelques cloisons bien conservées, ainsi que les éléments correspondants du siphon. Dans tout le reste du spécimen, les cloisons et le siphon sont détruits. On voit en place l'extrémité des cloisons, adhérente au test. Leurs débris sont accumulés contre le bord de l'orthocère, à gauche. Le remplissage consiste en spath calcaire blanc, laissant un vide allongé, près de l'axe. Le même dépôt chimique remplit les loges et les éléments du siphon au bas du fossile.
6. *id.* section transverse, montrant la position excentrique du siphon.\*

**Orthoceras socium.** Barr. . . . . E  
(voir Pl. 307 &c. &c.)

7. Spécimen vu par la face externe, presque complètement couverte de son test très bien conservé. *Kozorx.*
8. *id.* section longitudinale, montrant les cloisons bien conservées, tandis que tous les éléments du siphon sont détruits. Le calcaire compacte noir a pénétré partiellement dans les deux loges les plus élevées. Toutes les autres sont remplies par du spath calcaire, plus ou moins blanc, dont les couches distinctes montrent l'ordre de succession de ce dépôt, à partir de la surface des cloisons, jusqu'au centre de chaque loge aérienne.
9. *id.* section transverse, montrant la position centrale du siphon.

**Orthoceras Bacchus.** Barr. . . . . E  
(voir Pl. 262-270-271.)

10. Spécimen vu par la face externe, conservant une grande partie de son test. *Dlauha Hora.*
11. *id.* section longitudinale, montrant toutes les cloisons bien conservées, tandis que les éléments du siphon ont disparu dans toute la moitié inférieure. Le calcaire compacte noir a été injecté dans quelques loges et dans une partie du siphon. Tout le reste des cavités est rempli par du calcaire spathique, plus ou moins pur, et dont les couches distinctes montrent l'ordre de succession de ce dépôt, comme sur la fig. 8.
12. *id.* section transverse, sensiblement elliptique, montrant la position excentrique du siphon.
13. *id.* fragment du test, grossi, pour montrer ses ornements. Nous ferons remarquer que les stries transverses, ou rides, dans les intervalles entre les filets longitudinaux, sont beaucoup plus obliques que dans tous les autres spécimens figurés.



11. 1000/1000

12. 1000/1000





Fig. Remplissage des loges aériennes et du siphon par les dépôts organiques et inorganiques.

**Orthoceras Vibrayei.** Barr. . . . . E  
(voir Pl. 210—227 &c.)

1. Spécimen vu par l'extérieur, dépouillé du test et montrant le bord des cloisons. Le bord à gauche est incomplet. *Butoritz.*
2. *id.* section longitudinale, montrant les cloisons et le siphon bien conservés. Dans celui-ci, on voit les anneaux obstrueteurs très développés, au droit des goulots. Dans les loges aériennes, le dépôt organique primitif, figuré par une teinte grise, se montre en petite quantité, sur les cloisons à droite. Le dépôt secondaire, formé de spath calcaire blanc, incruste toutes les surfaces, par une couche sub-régulière mais notablement mamelonnée. L'espace qui reste au centre est rempli par le calcaire compacte gris, injecté par quelques fissures, qu'on ne peut distinguer sur la paroi externe du fossile.
3. *id.* section transverse, montrant la position du siphon et l'étendue des dépôts de diverse nature.

**Orthoceras Thomsoni.** Barr. . . . .

4. Fragment vu par la face externe, montrant trois loges aériennes. *Terrain siliurien d'Ecosse.* Nous devons ce spécimen à la complaisance de M. le Prof. Wyville Thomson.
5. Section longitudinale, montrant les cloisons bien conservées, avec leurs goulots allongés, tandis que l'enveloppe siphonale a disparu. Les loges aériennes sont remplies par du spath calcaire blanc, dans lequel on distingue les traces des surfaces de moindre résistance. L'intérieur du siphon et des goulots a été d'abord tapissé par le même dépôt chimique, avant la disparition de l'enveloppe siphonale. Puis le vide ou canal central a été injecté par la vase noire, qui a pénétré dans les vides encore existants, mais très réduits, au milieu de la masse cristalline, occupant les loges aériennes.
6. *id.* section transverse, montrant la position du siphon.

**Orthoceras Sphinx.** Barr. . . . . E

7. Spécimen vu par la face latérale, dépouillée du test. Les apparences rappellent celles de diverses formes plus ou moins arquées, comme *Orth. neptunicum* Pl. 272 à 274 et *Orth. araneosum* Pl. 337 à 340. Comme son siphon est central, nous le réunissons au genre *Orthoceras*, ainsi que les espèces citées, en faisant remarquer la difficulté qu'on éprouve à établir une limite certaine entre ce type et *Cyrtoceras*. Notre fossile montre la grande chambre presque complète et une longue série de loges aériennes. La moitié inférieure est exposée suivant une section longitudinale, où l'on voit presque toutes les cloisons bien conservées, avec leurs goulots très courts, tandis que l'enveloppe siphonale est détruite, sauf un fragment dans la loge inférieure. Les loges aériennes sont remplies par du spath calcaire cristallin, qui permet de reconnaître les traces des surfaces de moindre résistance, vers le milieu de l'intervalle entre les cloisons. *Viskočitka.*
8. *id.* cloison indiquant la place du siphon. Elle est orientée comme la fig. 7 et elle montre que le grand axe est transverse, ce qui est rare dans nos espèces de ce genre.

Fig. Etage.

**Orthoceras Dupontii?** Barr. . . . . E  
(voir Pl. 212—324.)

9. Section longitudinale, montrant les cloisons en partie conservées et en partie brisées, avec le dépôt cristallin, qui avait antérieurement tapissé leur surface. Les cavités sont remplies par un calcaire compacte noir, tandis que la roche ambiante est un calcaire compacte gris, qu'on voit à droite. La surface blanche, sur le bord à gauche, indique un filon de spath calcaire blanc, qui a traversé la coquille obliquement, dans le sens de sa longueur. Ces diverses circonstances, dûment appréciées, tendent à nous faire concevoir, que ce fossile avait changé plusieurs fois de position et de milieu ambiant, avant d'être définitivement enseveli dans la couche où nous l'avons recueilli, à *Butoritz.*
10. *id.* section transverse, indiquant approximativement la position du siphon.

**Orthoceras Bohemicum.** Barr. . . . . E  
(voir Pl. 215—288—289—310.)

11. Spécimen vu par la face externe, dépouillée du test et montrant une série de loges aériennes. *Lochkov.*
12. *id.* section longitudinale, montrant les cloisons et le siphon bien conservés. Toutes les parois sont tapissées par une couche de spath calcaire blanc, un peu irrégulière et mamelonnée. Tout le reste des cavités est rempli par le calcaire compacte noir. Il n'existe aucune trace de dépôt organique.
13. *id.* section transverse, montrant la position du siphon et l'étendue relative des deux dépôts inorganiques.

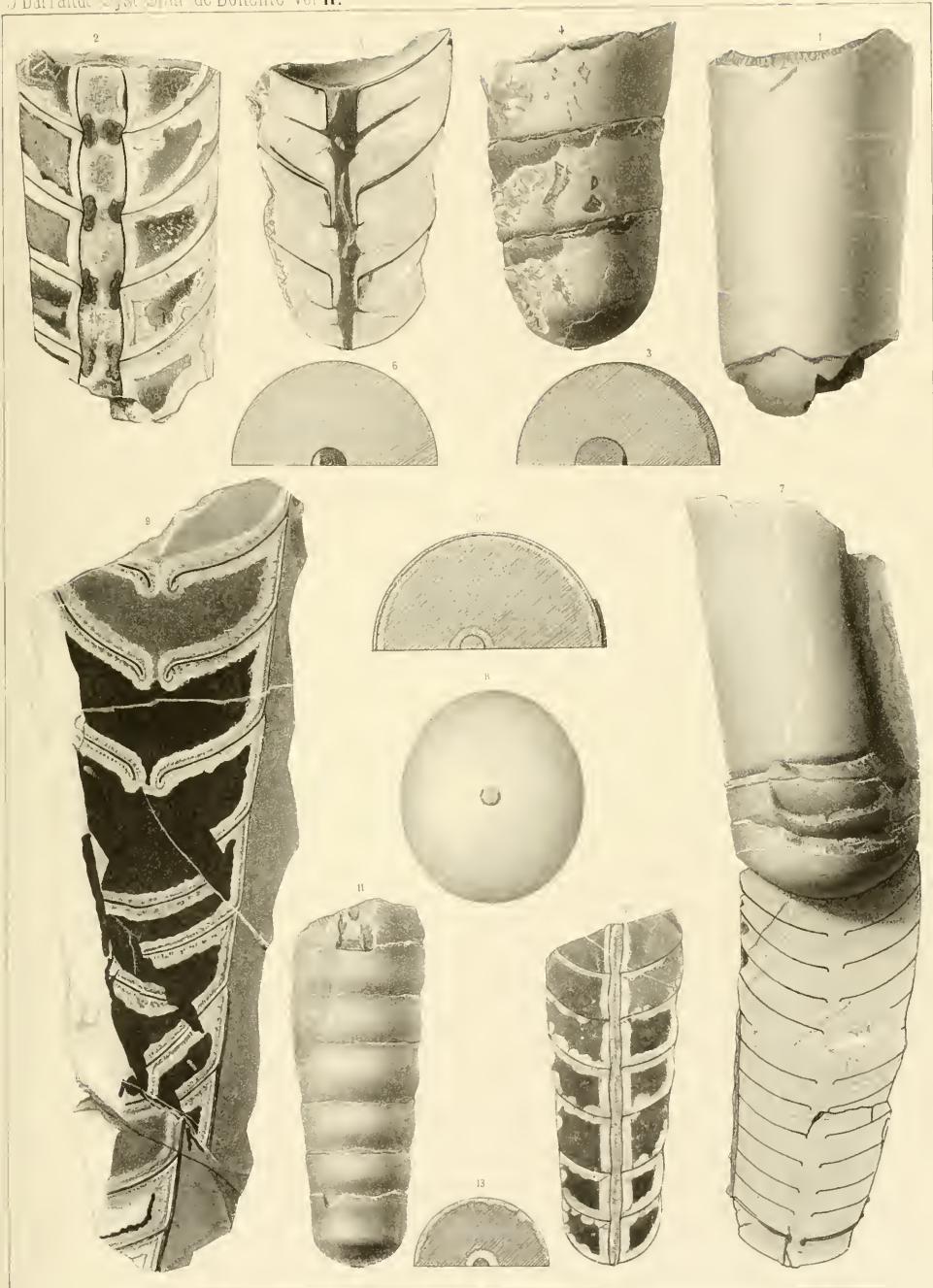






Fig.

Etage.

Remplissage des loges aériennes et du siphon par les dépôts organiques et inorganiques.

**Orthoceras omnium.** Barr. . . . . E

1. Spécimen vu par la face externe, en grande partie recouverte par son test, dont la surface est altérée. *Konieprus.*
2. *id.* section longitudinale, montrant les cloisons bien conservées, tandis que plusieurs éléments du siphon ont été détruits. On voit, au droit des goulots, des anneaux obstruteurs peu développés. Dans les loges aériennes, le dépôt organique s'étend sur presque toutes les surfaces des cloisons. Cependant, il est un peu plus développé à droite, où il est recouvert par la vase noire. Le reste des cavités est rempli par un dépôt secondaire de spath calcaire blanc.
3. *id.* autre section longitudinale, à angle droit sur la précédente. Le dépôt primitif est un peu plus développé à gauche qu'à droite et il s'étend inégalement sur certaines cloisons.
4. *id.* section transverse, montrant la position presque centrale du siphon et l'étendue des divers dépôts.

**Orthoceras vulgare.** Barr. . . . . E

5. Spécimen vu par la face externe, montrant une série de loges aériennes. *Environs de Kozotup.*
6. *id.* section longitudinale, montrant les cloisons bien conservées, tandis que presque tous les éléments du siphon sont détruits. Les anneaux obstruteurs, peu développés, se voient au droit des goulots. Dans les loges aériennes, le dépôt primitif ou organique paraît sous la forme d'une couche presque régulière, tapissant toutes les parois, excepté celles du siphon. Le reste des cavités est rempli par le dépôt chimique ou secondaire, formé par du spath calcaire plus ou moins pur, dont les couches distinctes indiquent l'ordre de succession.
7. *id.* section transverse, montrant la position centrale du siphon.

Fig.

Etage.

**Orthoceras Bohemicum.** Barr. . . . . E  
(voir Pl. 214—288—289—310.)

8. Spécimen vu par la face externe, montrant une série de loges aériennes dépouillées du test. *Karlstein.*
9. *id.* section longitudinale, montrant les cloisons presque toutes détruites, tandis que l'enveloppe siphonale est bien conservée, dans la moitié inférieure. La vase noire a pénétré partiellement dans les cavités, qui ont été ensuite remplies par du spath calcaire, plus ou moins impur. Il n'y a point de dépôt organique, ni dans le siphon, ni dans les loges aériennes.
10. *id.* section transverse, montrant la position du siphon et l'étendue relative des dépôts.
11. *id.* fragment du test, fortement grossi, montrant les ornements.

**Orthoceras innotatum.** Barr. . . . . E  
(voir Pl. 307.)

12. Fragment vu par la face externe, montrant une partie du test, dont la surface est altérée. *Tachlovitz.*
13. *id.* section longitudinale, montrant certaines cloisons conservées, tandis que la seconde à partir du haut est détruite. Les trois éléments du siphon paraissent intacts et sont injectés par la roche compacte noire. Cette roche occupe une partie de la loge inférieure, dont le reste est rempli par du spath calcaire de diverses nuances. La cavité supérieure, comprenant 2 loges aériennes, présente sur toutes les parois une couche grise, cristalline, formée avant la destruction de la cloison. Une petite portion de vase recouvre immédiatement la partie la plus basse de cette couche et le reste de la cavité est rempli par du calcaire spathique blanc. Il n'y a point de dépôt primitif, ou organique dans ce fossile.
14. *id.* section transverse, montrant l'étendue des dépôts inorganiques.

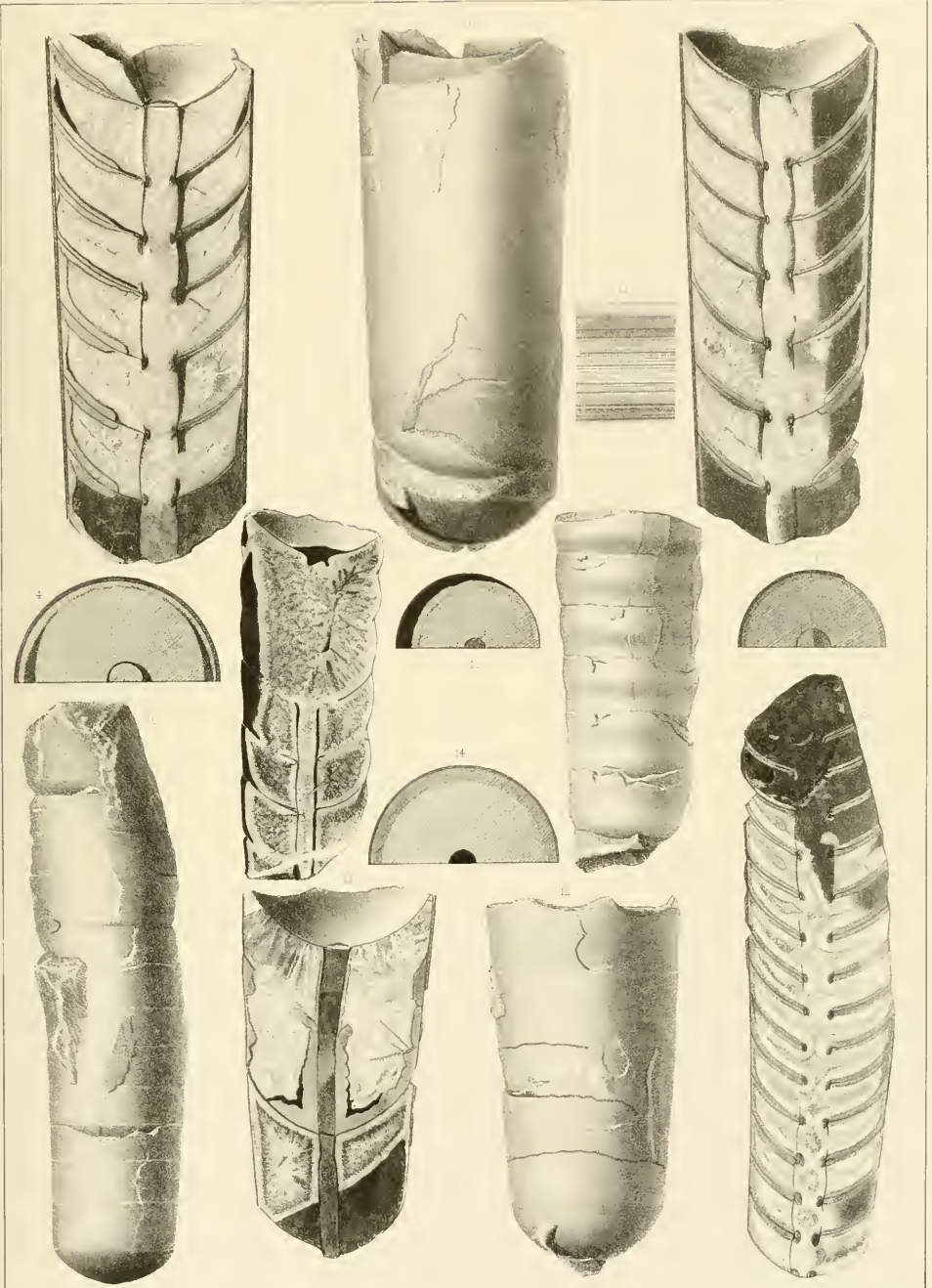






Fig.

Etage.

Introduction accidentelle d'Orthocères dans d'autres coquilles du même genre. Voir Pl. 209—217—218—239.

**Orthoceras indéterminé.**

1. Spécimen de la collection de Breyn, montrant un orthocère qui a pénétré dans la grande chambre d'un autre. *Localité inconnue.* Ce spécimen a été d'abord figuré par Klein (*Descript. tubul. mariu. Pl. 2, Fig. 1 A, 1731*) et ensuite par Breyn (*Dissert. phys. de Polythal. Pl. 6., Fig. 6. 1732*).

**Orthoceras indéterminé.**

2. Spécimen appartenant à M. de Verneuil et provenant des formations Siluriennes des bords de l'Ohio, aux Etats-Unis. Il montre un orthocère engagé un peu obliquement dans un autre, qui paraît être de la même espèce. Les cloisons sont intactes sur presque toute la longueur du spécimen pénétrant, dont on voit aussi en partie le siphon. Au contraire, dans le spécimen pénétré, les cloisons ont été brisées et ne persistent que sur leurs bords. La roche compacte remplit une partie des cavités de cet individu, tandis que le reste a été comblé par des dépôts chimiques de spath calcaire, comme dans l'individu accidentellement introduit dans ce fossile.
3. *id.* section transverse prise vers le haut du spécimen et montrant la position non symétrique de la coquille introduite.

**Orthoceras rivale.** Barr. . . . . E  
(voir Pl. 209.)

4. Section longitudinale d'un spécimen dont les cloisons sont bien conservées, tandis que le siphon est détruit sur plusieurs points. On voit dans son intérieur un jeune orthocère adventice, avec quelques autres fragments. Dans les loges aériennes, le dépôt organique ou primitif est médiocrement développé, du côté gauche, tandis qu'il manque à droite. Il est reconvert immédiatement par la roche compacte noire. Le reste des cavités est rempli par le dépôt chimique ou secondaire, de spath calcaire blanc. *Kozolup.*
5. *id.* section transverse montrant l'étendue relative des dépôts indiqués.
6. Autre spécimen vu par la face externe, conservant la plus grande partie du test. *Dlauha Hora.*
7. *id.* section longitudinale, montrant les cloisons bien conservées, tandis que le siphon est en partie détruit. Dans l'intérieur de celui-ci, on voit trois jeunes orthocères adventices, emboîtés l'un dans l'autre et qui paraissent complets. En outre, 2 petits fragment se voient dans la partie supérieure. L'un deux est renversé. On reconnaît de plus, à l'extrémité inférieure, la section de la grande chambre d'un autre orthocère, enfoncé dans la partie du siphon qui manque. Ainsi, nous constatons, dans ce seul siphon, l'introduction successive de 6 coquilles étrangères, entières ou fragmentaires. Les loges aériennes ont été partiellement envahies par la vase noire et le reste des cavités a été rempli par le spath calcaire blanc, ou dépôt secondaire.

Fig.

Etage.

8. *id.* portion du siphon grossie, montrant la forme des jeunes orthocères emboîtés.
9. *id.* section transverse, montrant la position du siphon.
10. *id.* fragment du test, fortement grossi, montrant les deux lamelles dont il se compose. La lamelle externe présente de fortes rainures transverses, sans stries distinctes, tandis que la lamelle interne est recouverte de stries creuses très fines, irrégulières et presque horizontales, représentant la surface du manteau du mollusque.

**Orthoceras exoticum.** Barr. . . . . E

11. Spécimen vu par la face externe, montrant une série de loges aériennes et quelques restes du test. *Kozolup.*
12. *id.* section longitudinale, montrant les cloisons bien conservées, dans presque toute la longueur, ainsi que le siphon. Dans l'intérieur de celui-ci, on voit à droite, le dépôt organique diminuant graduellement vers le haut et représenté par une teinte grise. Un fragment d'orthocère adventice a pénétré dans le canal vide, dont les parois ont été tapissées par une couche de calcaire spathique blanc. Tout le reste a été rempli par la vase noire, qui a été aussi injectée dans quelques loges aériennes. Les autres loges sont remplies par le spath calcaire blanc.
13. *id.* section transverse, montrant la trace des divers dépôts indiqués.
14. *id.* portion du siphon grossie, montrant les détails indiqués ci-dessus.

N. B. Cette espèce est la seule de notre faune troisième qui possède un large siphon sub-marginal, et elle n'est représentée, à notre connaissance, que par le spécimen figuré, bien que nous ayons fait travailler pendant plus de vingt ans dans la localité où nous l'avons trouvé.

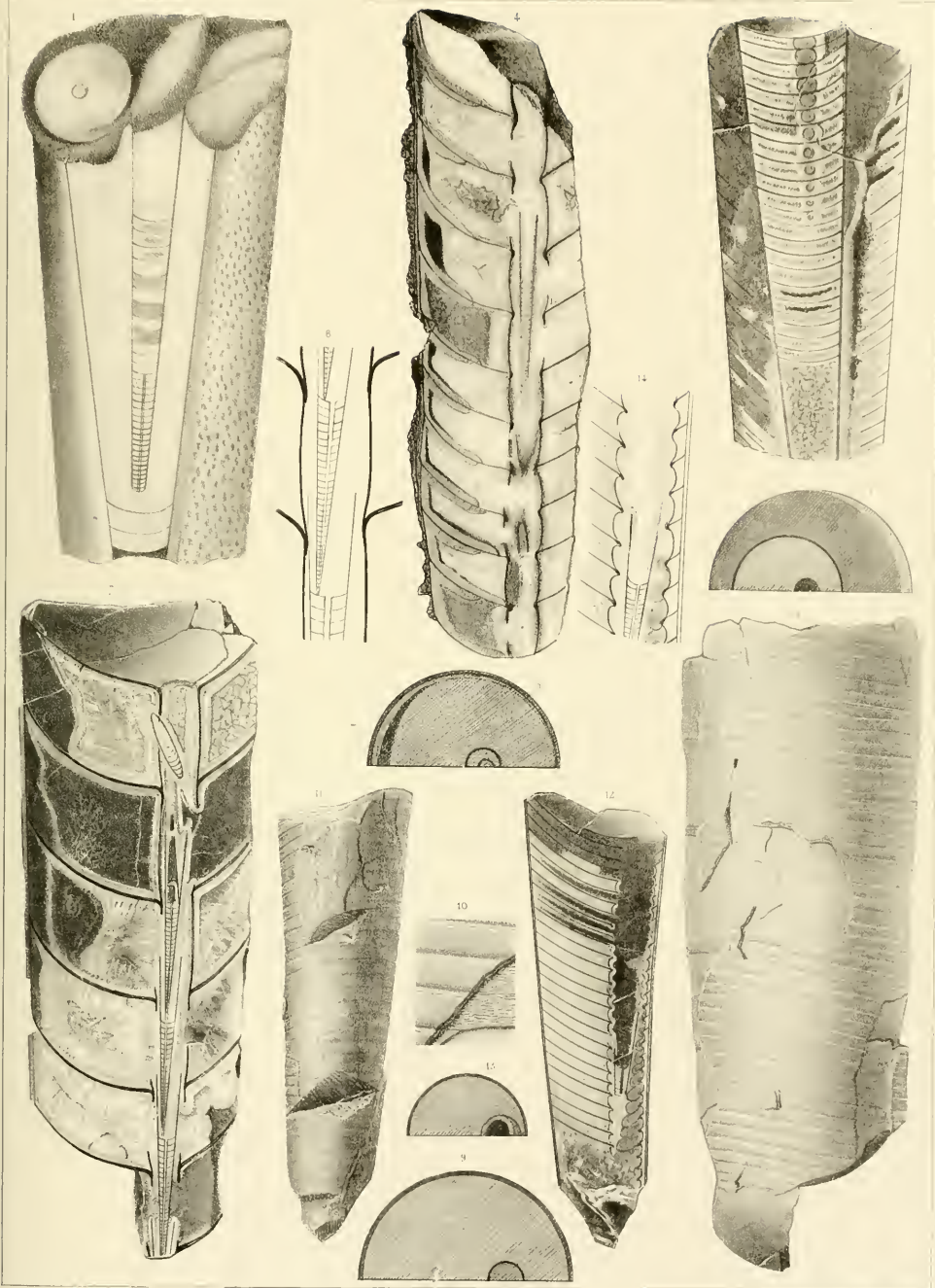






Fig.

Étage.

Les spécimens figurés sur cette planche sont destinés à montrer des exemples variés de pénétration fortuite d'une coquille par une autre. Tous ces fossiles proviennent de l'horizon principal des Céphalopodes dans notre étage E, à l'exception de celui de la fig. 8 qui appartient à notre étage F. Comparer les Pl. 209—216—218—239.

1. **Cyrtoceras inversum?** Barr. pénétré par un orthocère qui s'est engagé dans l'intérieur, par la pointe de cette coquille. *Lochkor.*
2. *id.* section transverse vers le bas du *Cyrtoceras*, montrant la position occupée par l'orthocère adventice.
3. Exemple très jeune de **Cyrt. corniculum?** Barr. traversé dans le sens longitudinal par un orthocère, qu'on voit saillant aux deux extrémités. *Karlstein.*
4. *id.* section transverse montrant la position relative des deux fossiles.
5. **Cyrtoceras speciosum.** Barr. dans lequel un orthocère d'un assez gros volume a pénétré par la partie inférieure. *Viskočítka.*
6. **Orthoceras timidum.** Barr. Grande chambre renfermant un fragment d'un *Trochoceras* indéterminé. *Lochkor.*
7. *id.* section transverse montrant la position relative des deux coquilles.
8. **Orthoceras pseudo-calamitem.** Barr. Grande chambre dans laquelle a pénétré un fragment de la même espèce. *Konieprus.* . . . . F
9. *id.* section transverse montrant la position relative des deux coquilles.
10. **Orthoceras mutabile.** Barr. Grande chambre dans laquelle a pénétré profondément un autre spécimen de la même espèce. Cette grande chambre a été vraisemblablement brisée, lorsque la pénétration a eu lieu, puisque le spécimen pénétrant fait saillie en dehors de la coquille qui le renferme. *Dravets.*
11. *id.* section transverse prise vers le haut et montrant la position relative des deux spécimens vers le haut du fossile.
12. Fragment représentant une série de loges aériennes d'un grand orthocère, dont la nature spécifique ne peut être déterminée. Section longitudinale, dans laquelle a disparu la trace des cloisons, qui reste visible sur la surface externe. L'intérieur présente une multitude de fragments d'orthocères, disposés sans ordre dans le calcaire compacte, qui forme la masse. Le plus volumineux de ces fragments est pénétré lui-même par plusieurs autres. *Dravets.*
13. *id.* section transverse montrant la disposition réciproque du grand orthocère et des coquilles qu'il renferme.
14. **Orthoceras decipiens.** Barr. Renfermant un orthocère d'une autre espèce, qui contient lui-même, dans sa grande chambre, un autre fragment. On voit que les cloisons de *Orth. decipiens* ont été brisées, peut-être avant la pénétration, peut-être aussi par le choc du spécimen pénétrant. *Dlauha Hora.*
15. *id.* section transverse, montrant la position réciproque des 3 spécimens emboîtés l'un dans l'autre.
16. **Orthoceras decipiens.** Barr. Renfermant un fragment de *Orthoceras dulce*. On voit, à côté de ce fragment, la trace de deux autres fragments d'orthocères, qui avaient pénétré dans le même espace. La trace des cloisons, visible à l'extérieur dans cette partie, a disparu dans l'intérieur. *Dlauha Hora.*
17. *id.* section transverse montrant la position relative des 3 orthocères qui ont pénétré dans cette coquille.
18. **Orthoceras Gruenewaldti.** Barr. Grande chambre suivie de quelques loges aériennes. Un autre orthocère a pénétré dans l'intérieur, non par l'ouverture de la grande chambre, mais par le petit bout, dont les cloisons sont brisées. *Lochkor.*
19. *id.* section transverse, montrant la position réciproque des deux coquilles.

Étage.

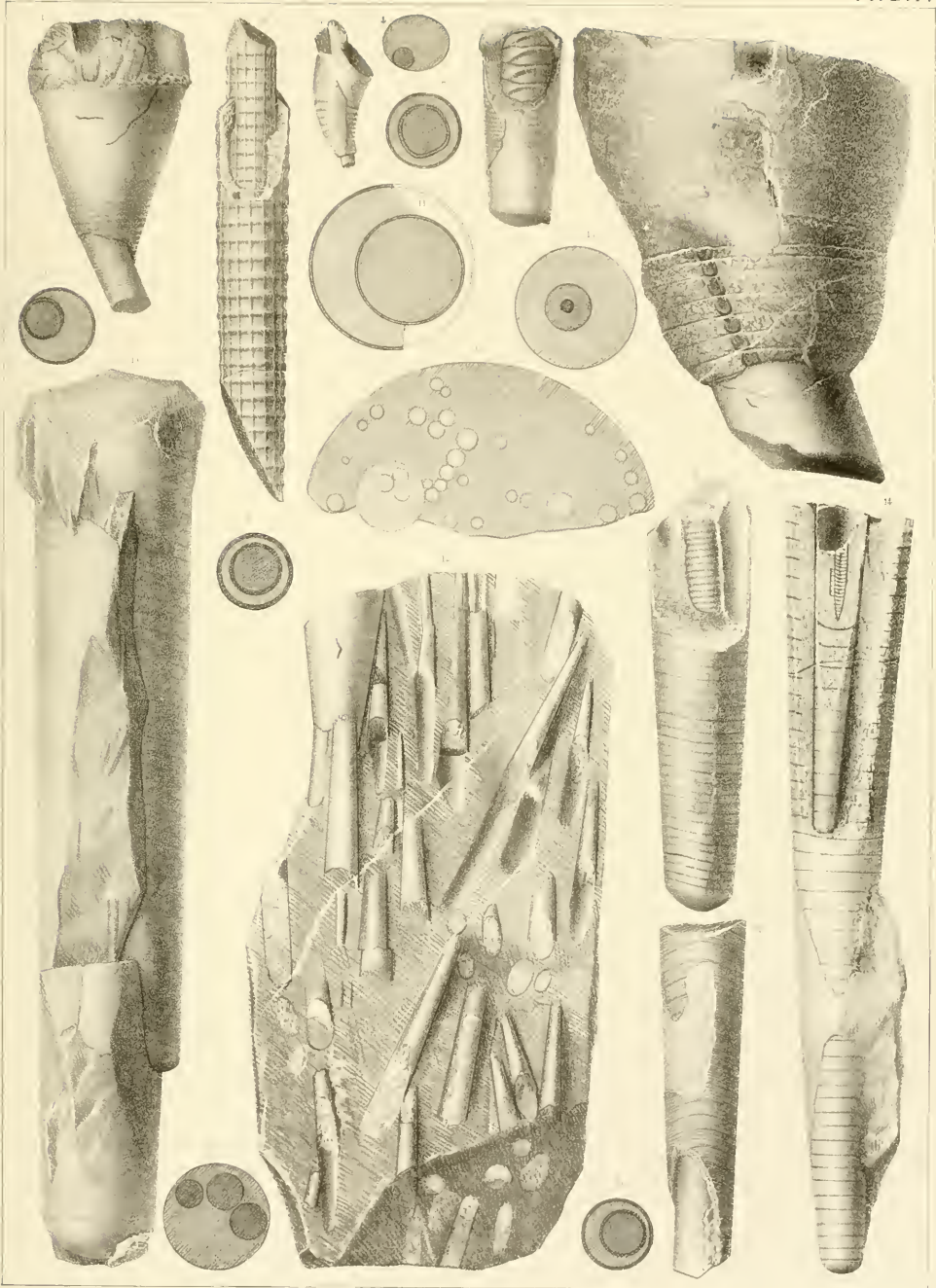






Fig.

Etage.

Les spécimens figurés sur cette planche sont destinés à montrer diverses particularités relatives à l'état de conservation des fossiles.

**Orthoceras imperficens.** Barr. . . . E

1. Spécimen vu par la face aplatie, montrant la suture incomplète de divers cloisons et quelques fragments du test. *Butoritz.*
2. *id.* vu par la face étroite, sur laquelle les sutures des cloisons sont presque totalement effacées. Cette disparition des sutures a également lieu, presque complètement, sur les deux autres faces non figurées du même fossile.
3. *id.* section transverse, orientée comme la fig. 2. La position du siphon est inconnue.
4. *id.* fragment du test grossi, montrant ses ornements, extrêmement délicats et réguliers.

**Orthoceras probum.** Barr. . . . E

5. Spécimen dépouillé du test et montrant une série de 4 loges aériennes. *Droretz.*
6. *id.* vu par le côté opposé, montrant l'intérieur de la coquille exposé par une section longitudinale, partielle. La trace des cloisons a disparu. L'espace interne a été rempli par un dépôt calcaire cristallin incomplet, qui laisse au milieu un espace cylindrique, beaucoup plus large que le siphon qui a été dissous. Cet espace a été rempli par une substance charbonneuse noire, dont l'analyse, faite par M. Delesse, sera donnée dans nos études générales.
7. *id.* cloison terminale, vue par la face convexe. Elle est orientée comme la fig. 5 et montre la position du siphon, ainsi que le faible diamètre du goulot.

**Orthoceras transiens.** Barr. . . . E  
(voir Pl. 224—292—293.)

8. Spécimen dont la grande chambre a été écrasée par la compression, dans un calcaire argileux. La partie cloisonnée a résisté à la compression. *Rochers de Kozel, près Béraun.*
9. *id.* section transverse de la grande chambre, montrant l'effet de la compression.
10. Autre spécimen de la même espèce, provenant de la même couche et montrant également la grande chambre écrasée, tandis que les loges aériennes ont maintenu leur forme.
11. *id.* section transverse, montrant l'effet de la compression sur la grande chambre.

Fig.

Etage.

**Gomphoceras accedens?** Barr. . . . E  
(voir Pl. 78.)

12. Spécimen presque complet, mais écrasé par la compression, dont l'effet est aussi apparent sur la partie cloisonnée que sur la grande chambre. *Ratinka près Béraun.*
13. *id.* vu par la face latérale.
14. *id.* section transverse, montrant l'effet de la compression.

**Orthoceras novellum?** Barr. . . . E  
(voir Pl. 396.)

15. Spécimen qui en renferme un autre à peu près de même taille. La pénétration a eu lieu par la grande chambre. *Dlanha Hora.*
16. *id.* section transverse, montrant la position relative des deux fossiles.
17. Autre spécimen qui en renferme un second dans sa grande chambre. *Dlanha Hora.*
18. *id.* section transverse, montrant la position relative des deux coquilles.







Fig.

Etage.

Les spécimens figurés sur cette planche sont destinés à montrer les apparences diverses, qui résultent de la cristallisation du spath calcaire dans les loges aériennes et principalement autour des éléments du siphon.

**Orthoceras severum.** Barr. . . . . E  
(voir Pl. 301—302.)

1. Spécimen présentant une section longitudinale. Dans l'étendue des 3 loges inférieures, les cloisons et les éléments du siphon sont bien conservés, ainsi que les anneaux obstructeurs au droit des goulots. Ces 3 loges étant presque complètement remplies par du spath calcaire blanc, on reconnaît les divisions ou lignes de disjonction, tendant à produire l'apparence bi-conique autour de chacun des éléments du siphon. Au contraire, dans la loge supérieure, la disjonction des surfaces cristallines a eu lieu de telle sorte que l'enveloppe bi-conique autour du siphon se montre en relief. *Dlauha Hora.*
2. *id.* section transverse montrant la position du siphon et les diverses surfaces produites par la disjonction.
3. Autre spécimen de la même espèce, exposant aussi l'intérieur du fossile et le dépôt bi-conique de spath calcaire restant en relief autour des éléments du siphon, dans chacune des loges aériennes. On distingue aussi les lignes de disjonction entre les surfaces cristallines, vers le milieu de l'intervalle entre les cloisons. *Dlauha Hora.*
4. *id.* section transverse montrant la position du siphon.

**Orthoceras potens.** Barr. . . . . E  
(voir Pl. 385—386—387.)

5. Spécimen montrant l'intérieur de la coquille avec les diverses apparences du siphon et du remplissage chimique ou cristallin des loges aériennes. Dans les 3 loges supérieures, les éléments du siphon sont mis à nu et l'on reconnaît autour d'eux le dépôt bi-conique, ainsi que les lignes de disjonction de la masse cristalline. Dans la loge suivante, le siphon étant brisé, on aperçoit dans son intérieur un fossile adventice, qui paraît être un Orthocère. Dans les 3 loges suivantes, le dépôt bi-conique se montre en relief, soit en totalité, soit en partie. Enfin, dans la loge extrême, le fossile se trouve brisé de manière à exposer non seulement la surface du dépôt bi-conique, mais encore celle du dépôt cristallin remplissant le reste de la cavité. Il n'y a dans ce fossile aucune trace du dépôt organique et la couche régulière qui tapisse les deux parois de chacune des cloisons est aussi un dépôt chimique. *Vallon de Stivenetz.*
6. *id.* section transverse montrant la position excentrique du siphon. On reconnaît, d'après cette section, que la surface exposée dans la fig. 5 n'est pas dans le plan médian de la coquille.

Fig.

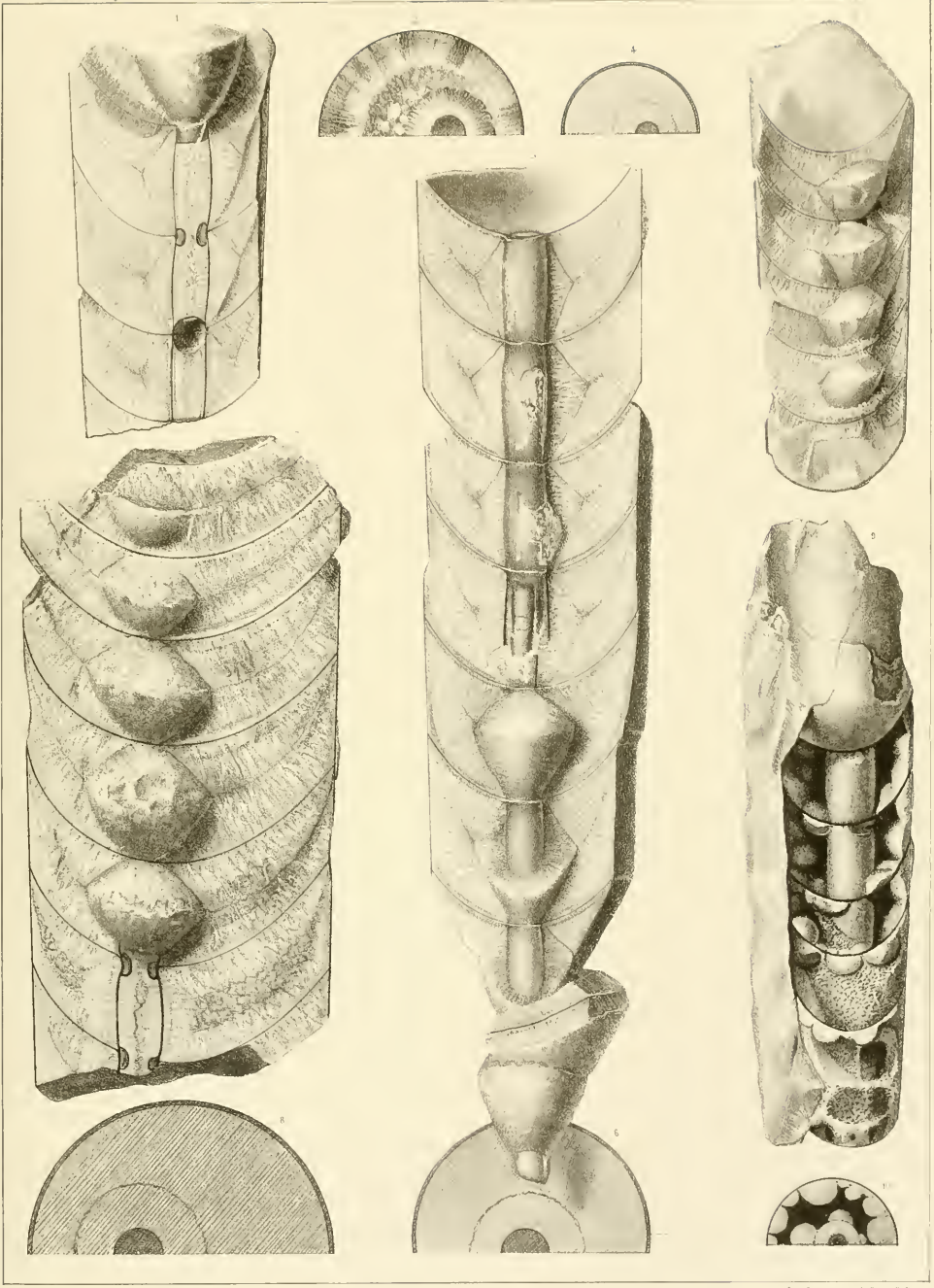
Etage.

**Orthoceras severum.** Barr. . . . . E  
(voir Pl. 301—302.)

7. Spécimen montrant l'intérieur du fossile avec les apparences de la cristallisation. Dans les 5 loges supérieures, on voit le dépôt bi-conique en relief autour de chacun des éléments du siphon. On reconnaît aussi les lignes de disjonction de la masse cristalline dans chacune des loges. A l'extrémité inférieure, on a pratiqué une section longitudinale, qui montre un élément du siphon bien conservé, ainsi que les anneaux obstructeurs au droit des goulots. *Dlauha Hora.*
8. *id.* section transverse montrant la position du siphon, notablement excentrique.

**Orthoceras potens?** Barr. . . . . E

9. Spécimen ouvert de manière à montrer l'intérieur de la coquille. On y reconnaît que, dans toutes les loges, excepté les deux plus élevées, le remplissage par le spath calcaire a été incomplet. On voit autour du siphon un dépôt chimique, de forme cylindrique, qui en augmente beaucoup le volume, en conservant une forme semblable. Sur les cloisons, le dépôt cristallin a été encore moins complet et il se présente sous une apparence mamelonnée, très irrégulière. Il reste dans chaque loge un espace plus ou moins considérable, entre ces dépôts. Cet espace a été rempli postérieurement par une substance terreuse et très friable, qu'on voit en grande partie dans les 3 loges inférieures, mais que nous avons vidée dans les 3 loges suivantes. Il faut remarquer, que l'apparence cylindrique du dépôt cristallin, incomplet, autour du siphon est précisément la même que celle que nous avons produite par la disjonction dans divers exemplaires figurés sur la planche 222. On voit d'ailleurs, sur la même planche, divers spécimens dans lesquels le dépôt cristallin autour du siphon a été arrêté dans son développement, comme dans celui que nous décrivons. *Autovitz.*
10. *id.* section transverse montrant la position et le diamètre du siphon, ainsi que l'épaisseur des dépôts cristallins.





1. Introduction

2. Méthodologie

3. Résultats

4. Conclusion

5. Bibliographie

6. Annexes

7. Références

8. Résumé

9. Index

Fig.

Etage.

Les spécimens figurés sur cette planche sont destinés à montrer quelques particularités relatives, soit à la structure interne, soit au remplissage inorganique des cavités de la coquille.

**Orthoceras praeses.** Barr. . . . . E  
(voir Pl. 389—390—391.)

1. Fragment vu par l'extérieur et montrant une partie du test. *Butoritis*.
2. *id.* section longitudinale par un plan parallèle au plan médian. On voit les cloisons de deux loges aériennes bien conservées. Elles sont recouvertes, ainsi que le siphon, par quelques couches concentriques de spath calcaire blanc. Mais ce dépôt chimique ayant été interrompu, il est resté un vide, occupant une grande partie de chaque loge. Dans la loge la plus élevée, l'enveloppe du siphon est presque cylindrique. Cependant, on voit qu'elle tend à prendre la forme bi-conique, figurée dans diverses planches qui précèdent. Dans la loge inférieure, le siphon a été détruit en ouvrant le fossile et il n'en reste que des débris. Les couches du dépôt chimique sur les cloisons sont très distinctes.
3. *id.* moitié du fossile vue par la partie supérieure et supposée coupée par le plan médian. On voit la position excentrique du siphon.

**Orthoceras. Espèce indéterminée.**

4. Spécimen décomposé de manière à montrer l'intérieur, dans lequel on reconnaît la trace des loges aériennes et du siphon. Ce fossile a été trouvé à Olawa, dans le Haut-Canada, sur l'horizon du calcaire de Trenlon, et nous a été donné par M. Billings. Il est entièrement transformé en silice et cette substance, partiellement dissoute, donne lieu aux apparences que montre la figure.
5. *id.* section transverse montrant la position centrale du siphon.

Etage.

Fig.

**Cyrtoceras. Espèce indéterminée.**

6. Fragment provenant de Mingun Island, dans le Canada et appartenant à l'horizon du *Calceiferous Sandstone*. Il nous a été donné par M. Billings. Il mérite l'attention, parcequ'il représente une des formes les plus anciennes de ce genre, et bien antérieure à toutes les espèces congénères de la Bohême.
7. *id.* section longitudinale, montrant au milieu une sorte de canal, qui pourrait avoir été le siphon. Cependant, comme il n'existe dans ce fragment aucune trace des cloisons, on pourrait croire, qu'il représente la grande chambre et que l'apparence dont nous parlons résulte simplement d'un vide interne, laissé par les dépôts siliceux, successivement appliqués par couches plus ou moins régulières, sur les parois internes de la coquille. Dans la partie supérieure, le grès calcifère se montre dans un espace de forme conique.
8. *id.* section transverse, indiquant l'apparence irrégulière des dépôts.

**Orthoceras (Endoceras) Rottermundt.** Barr.

9. Spécimen représentant une série de loges aériennes. Moutle interne, complètement dépourvu du test et vu par la face latérale. Ce fossile a été trouvé par le comte de Rottermundt, dans les îles du lac Huron, au Canada, c. à d. dans les dépôts renfermant la faune seconde. La moitié figurée est déposée à l'Ecole des Mines, à Paris, tandis que l'autre doit se trouver au jardin des Plantes de la même ville.
10. *id.* section longitudinale montrant le large siphon marginal, dans lequel on reconnaît aisément diverses gaines invaginées et sub concentriques. Tous les espaces sont remplis presque totalement par du spath calcaire cristallin. La même substance remplit également les loges aériennes, dont les cloisons sont bien conservées ainsi que leurs goulots invaginés, qui paraissent s'étendre d'une cloison jusqu'à la cloison immédiatement inférieure.
11. *id.* cloison terminale, vue par le côté convexe et orientée comme la fig. 10.

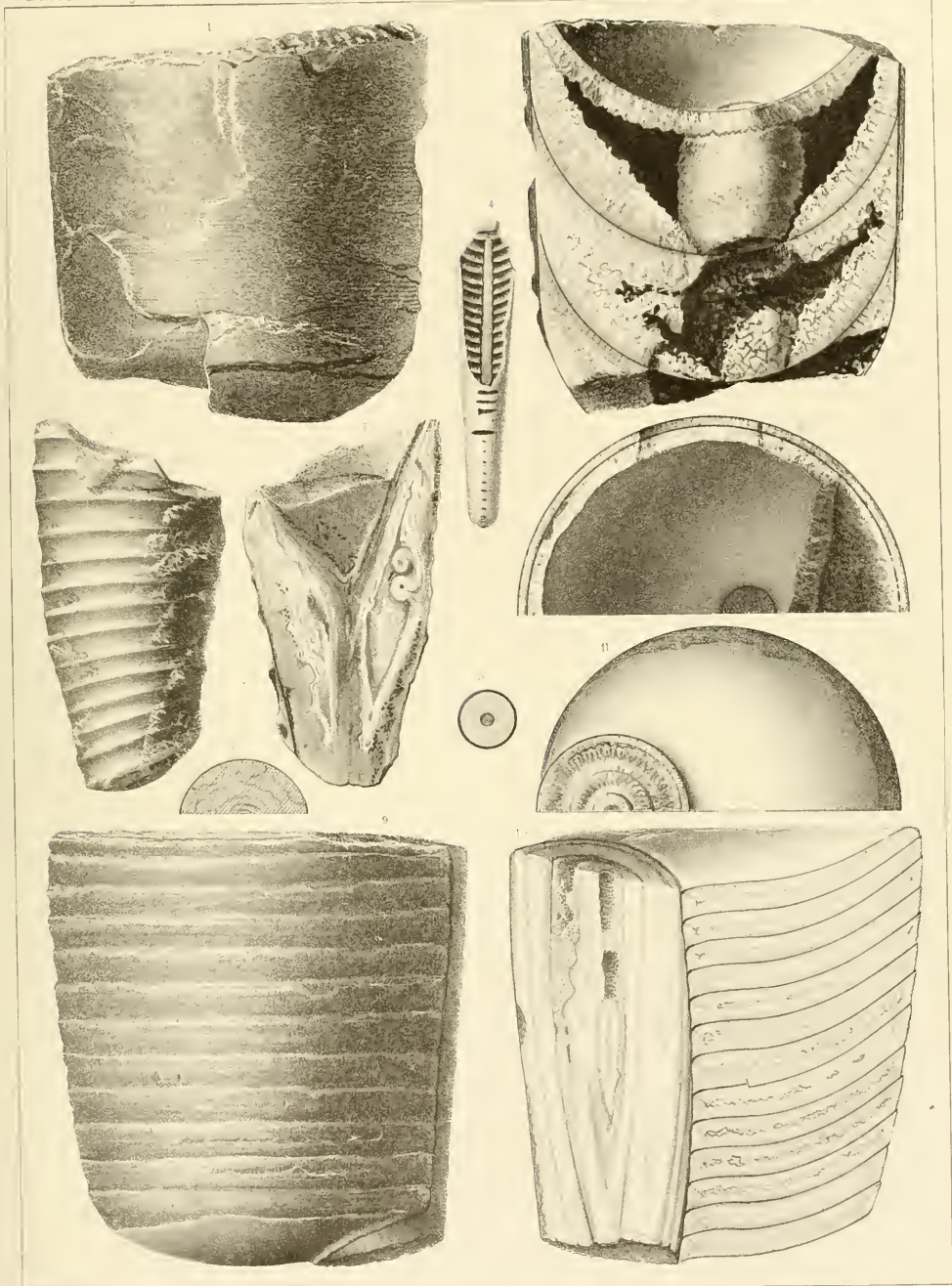






Fig.

Etage.

Les spécimens figurés sur cette planche sont destinés à montrer divers détails relatifs au remplissage inorganique des loges aériennes.

1. Diagramme montrant les apparences de la cristallisation du spath calcaire et la trace des lignes de disjonction dans les Orthocères, dont le rayon horizontal ne diffère pas beaucoup de la hauteur des loges aériennes.
2. Diagramme montrant les apparences de la cristallisation du spath calcaire et les lignes de disjonction, dans les Orthocères, dont le rayon est beaucoup plus grand que la hauteur des loges aériennes.
3. Diagramme montrant l'apparence de la cristallisation et les lignes de disjonction dans les Orthocères, dont le rayon est beaucoup moindre que la hauteur des loges aériennes.
4. **Orth. severum?** Barr. Section longitudinale d'une loge aérienne, dont les dimensions sont analogues à celles du diagramme Nr. 1. Cette section est dirigée à peu près suivant la brisure indiquée sur la fig. 5, de sorte que le siphon paraît central. Cet organe est recouvert de son enveloppe cristalline bi-conique et l'on reconnaît aisément la direction des lignes de disjonction ou de brisure. *Dlauha Hora*. . . . . E
5. *id.* vu par le haut et montrant la position du siphon, notablement excentrique.
6. *id.* section longitudinale par l'axe du siphon et normale au plan médian de la coquille. Elle montre l'enveloppe cylindrique du siphon et les diverses lignes de brisure.
7. **Orth. potens?** Barr. 2 éléments du siphon isolés et conservant leur enveloppe bi-conique. *Hinter-Köpanina*. . . . . E
8. *id.* vu par le haut, montrant la section transverse du siphon.
9. *id.* section longitudinale, montrant les rapports entre le siphon, les enveloppes bi-coniques et la cloison intermédiaire, à peu près comme dans le diagramme, fig. 1. Le goulot n'est pas assez resserré, entre les deux éléments du siphon.
10. **Phragm. Loréni.** Barr. Série de loges aériennes exposée dans une section longitudinale. L'élément le plus élevé du siphon conserve son enveloppe bi-conique en relief et la loge correspondante est divisée suivant la surface de disjonction. Sa moitié supérieure est restée attachée à la grande chambre, fig. 11. La disjonction a eu lieu suivant les surfaces de brisure indiquées dans le diagramme fig. 2. Les lignes de brisure sont indiquées, dans toutes les autres loges. *Lochkor*. E.
11. *id.* surface de disjonction par le milieu de la loge aérienne contigue à la grande chambre. Cette surface, vue par le côté convexe, montre autour du siphon le vide conique correspondant à l'enveloppe cristalline qui est restée adhérente à la moitié inférieure de la même loge dans la fig. 10.
12. **Orthoc. Michelini.** Barr. Fragment montrant la base de la grande chambre et une loge aérienne remplie par le spath calcaire. Dans cette loge, la disjonction a eu lieu suivant les surfaces de brisure analogues à celles qui sont indiquées dans le diagramme, fig. 3. *Lochkor*. . . . . E

Fig.

Etage.

13. *id.* section transverse, montrant la position du siphon et la trace de son enveloppe cristalline.
14. Autre spécimen de la même espèce, montrant les mêmes apparences, dans 2 loges aériennes, dont l'une est un peu tronquée au sommet. *Lochkor*. . . . . E
15. *id.* section transverse.
16. Autre spécimen de la même espèce, ou d'une espèce voisine. Section longitudinale montrant, dans trois loges aériennes, les cloisons, le siphon et la trace très visible des lignes de brisure, analogues à celles qui sont indiquées dans la diagramme, fig. 3. *Dlauha Hora*. E.
17. *id.* section transverse.
18. Autre spécimen, montrant deux loges aériennes brisées, suivant les lignes de disjonction, analogues à celles du diagramme, fig. 3 et les enveloppes cristallines autour du siphon. *Kozorç*. . . . . E
19. *id.* vu par le haut et montrant la position du siphon.
20. **Orth. indéterminé.** Spécimen dans lequel la loge inférieure est ouverte et montre les surfaces de disjonction analogues à celles du diagramme, fig. 3. *Konicprus*. . . . . F
21. *id.* section transverse montrant la position du siphon.
22. **Orth. Gryphus.** Barr. Série de loges aériennes, ouvertes dans le sens longitudinal. On y reconnaît, dans la partie supérieure, le siphon à nu et en relief, tandis que ses éléments conservent leur enveloppe bi-conique, dans la partie inférieure. Le dépôt organique ou primitif, formant une couche de couleur plus foncée, est immédiatement appliqué sur les cloisons. *Dlauha Hora*. . . . . E
23. **Orth. indéterminé.** Section longitudinale montrant les lignes de disjonction dans les loges aériennes et les enveloppes bi-coniques en relief, autour des éléments du siphon. *Konicprus*. . . . . E
24. **Orth. Arion.** Barr. Série de loges aériennes ouvertes et montrant en partie les enveloppes bi-coniques autour des éléments du siphon. La section n'atteignant pas l'axe de la coquille, les sommets de ces enveloppes sont cachés dans la roche. *Kozorç*. . . . . E
25. *id.* section transverse, montrant la position du siphon.
26. **Orth. curvens.** Barr. Série de 4 loges aériennes, ouvertes longitudinalement et montrant les enveloppes bi-coniques, plus ou moins incomplètes et représentant des formes intermédiaires entre celles des diagrammes, fig. 1 et fig. 3. *Dlauha Hora*. . . . . E

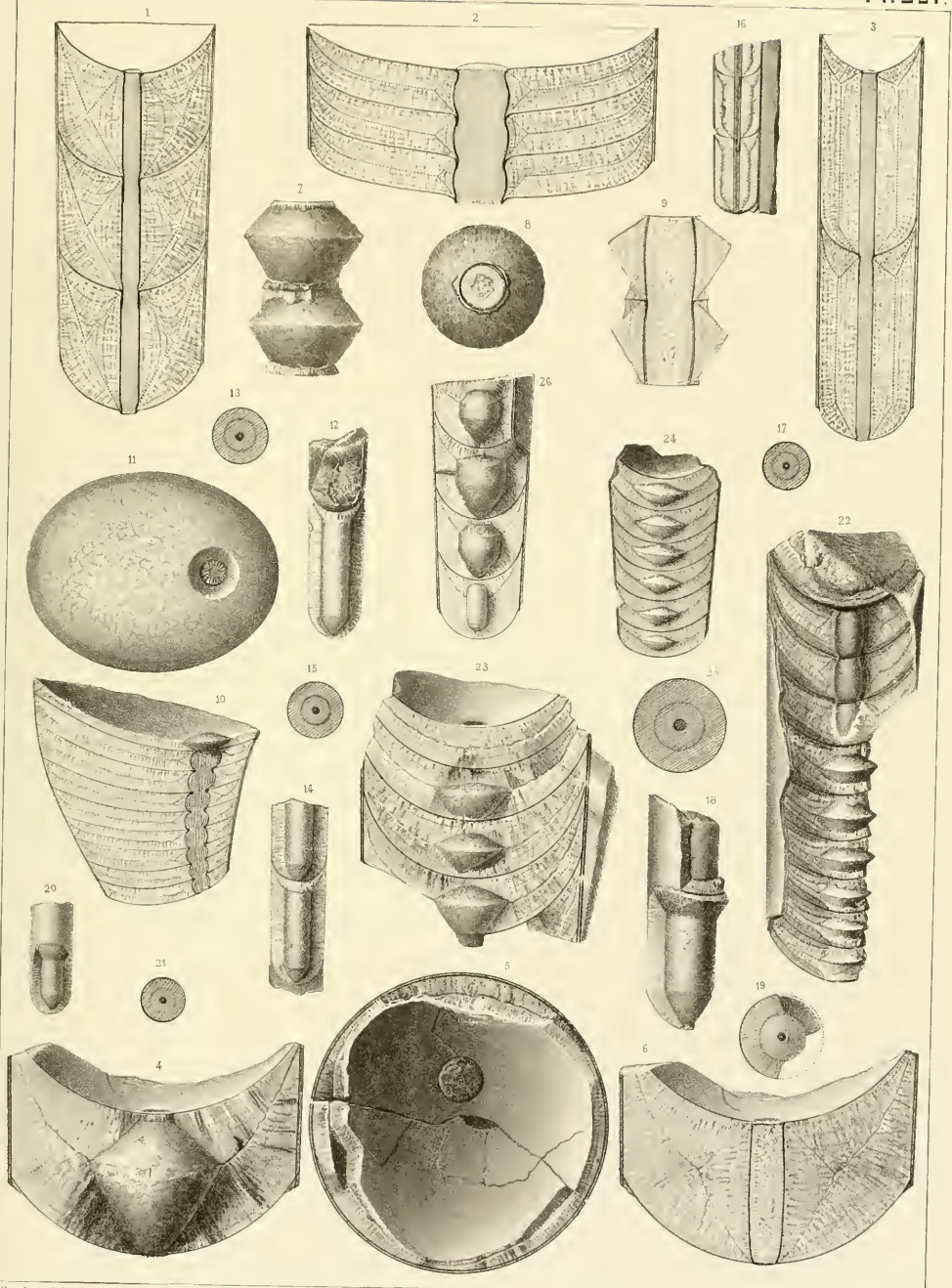






Fig.

Etage.

Les spécimens figurés sur cette planche sont destinés à montrer diverses particularités relatives au remplissage inorganique et à l'état de conservation des Orthocères de Bohême.

1. **Orth. migrans.** Barr. Fragment montrant l'intérieur de deux loges aériennes. Dans la plus élevée, entièrement remplie par le spath calcaire, on voit les couches successives déposées sur les parois et le siphon. On reconnaît aussi la direction des lignes de disjonction. Dans la loge inférieure, la cristallisation n'a eu lieu que sur le côté droit, parce que le côté gauche avait été antérieurement rempli par la vase calcaire. Les lignes de disjonction sont apparentes dans la partie cristallisée. *Lochkov*. . . . . E
  2. *id.* vu d'en haut montrant la position sub-centrale du siphon.
  3. **Orth. currens?** Barr. Fragment montrant l'intérieur entièrement rempli de spath calcaire. On voit le siphon entouré du dépôt bi-conique, qui prend une forme allongée, suivant le diagramme, fig. 3, Pl. 221. Le petit bout a été usé pour montrer le véritable siphon, qui est presque filiforme. *Batoritz*. . . . . E
  4. *id.* vu d'en haut.
  5. **Orth. migrans.** Barr. Loge aérienne ouverte, montrant le siphon couvert d'une enveloppe cristalline peu épaisse, ainsi que les autres parois. Ce dépôt a été brusquement interrompu par la vase calcaire injectée dans la cavité.
  6. *id.* vu par le haut.
  7. **Orth. currens.** Barr. La loge inférieure est ouverte et montre les surfaces de disjonction dans le spath calcaire dont elle est remplie. On voit une enveloppe cristalline cylindrique autour de la partie moyenne du siphon. *Blauha Hora*. . . . . E
  8. *id.* cloison terminale, vue par le côté convexe, montrant la position et le diamètre du siphon.
  9. **Orth. currens.** Barr. Série de loges aériennes ouvertes et montrant les cloisons, les lignes de disjonction du remplissage cristallin, l'enveloppe bi-conique du siphon et un élément de ce dernier mis à nu, au petit bout. *Konieprus*. . . . . E
- N. B. On remarquera une différence notable dans les apparences de la cristallisation, entre ce fragment et le précédent, appartenant, selon toute vraisemblance, à la même espèce. Cette diversité peut dépendre de la présence du dépôt organique dans le premier fragment, tandisqu'il n'en existe aucune trace dans le second. La fig. 3 offre une autre modification des apparences de la cristallisation dans la même espèce et dans la même localité.
10. *id.* vu par le haut montrant la position centrale du siphon.
  11. **Orth. pseudo-calumiteum.** Barr. Section longitudinale, montrant quelques loges aériennes, dans lesquelles le dépôt bi-conique autour des éléments du siphon se distingue par une teinte foncée, au milieu de la masse du spath calcaire blanc, remplissant le fossile. *Konieprus*. . . . . F
  12. *id.* section transverse montrant la position du siphon.

Fig.

Etage.

13. **Orth. indéterminé.** Fragment au bout duquel on voit la surface de disjonction ainsi que le dépôt bi-conique autour du siphon. *Konieprus*. . . . . F
14. *id.* vu par l'extrémité inférieure, montrant le siphon et son enveloppe bi-conique, saillante sur la surface de disjonction.
15. **Orth. currens.** Barr. Fragment brisé suivant la surface de disjonction et montrant le dépôt bi-conique autour du siphon. *Konieprus*. Comparer aux fig. 7—9 de la même espèce.
16. *id.* vu par le haut, montrant la position du siphon.
17. **Orth. temperans.** Barr. Fragment brisé de manière à montrer les cloisons, un élément du siphon mis à nu au sommet et 3 autres avec le dépôt bi-conique plus ou moins intact. Dans la loge la plus basse, ce dépôt, après l'enlèvement de plusieurs couches paraît cylindrique. Cette différence dans les apparences de la cristallisation, dans les diverses loges d'un même individu, concourt à faire concevoir les diversités signalées entre divers spécimens de *Orth. currens*, fig. 7—9—15. *Lochkov*. . . . . E
18. *id.* vu par le haut. Le dépôt bi-conique a été replacé autour du siphon, au sommet du fragment.
19. **Orth. pulchrum.** Barr. Spécimen brisé et montrant l'apparence de la cristallisation, qui a eu lieu par couches internes successives, de sorte qu'on croirait voir divers cylindres renfermés l'un dans l'autre. Le véritable siphon n'est pas visible. *Konieprus*. . . . . F
20. *id.* section transverse montrant la position du siphon et les teintes diverses des dépôts cristallins.
21. **Orth. indéterminé.** Fragment montrant un élément du siphon saillant et entouré du dépôt bi-conique. *Batoritz*.
22. *id.* vu par le haut, montrant la position et le véritable diamètre du siphon.
23. **Orth. socium.** Barr. Fragment montrant 2 loges aériennes à demi-décomposées. Par suite du remplissage par couches concentriques, séparées par la décomposition, chaque loge paraît renfermer une surface cylindrique, parallèle à la paroi externe. *Blauha Hora*. . . . . E
24. *id.* section transverse montrant la position du siphon et le diamètre de la surface cylindrique concentrique et interne.
25. **Orth. Neptunicum.** Barr. Série de loges aériennes, dont quelques unes montrent les surfaces de disjonction et l'enveloppe bi-conique autour des éléments du siphon. Le test fortieusement altéré ne permet pas de reconnaître les ornements longitudinaux caractéristiques de cette espèce. *Blauha Hora*. . . . . E
26. *id.* vu par l'extrémité inférieure, montrant la position du siphon et l'une des enveloppes bi-coniques.

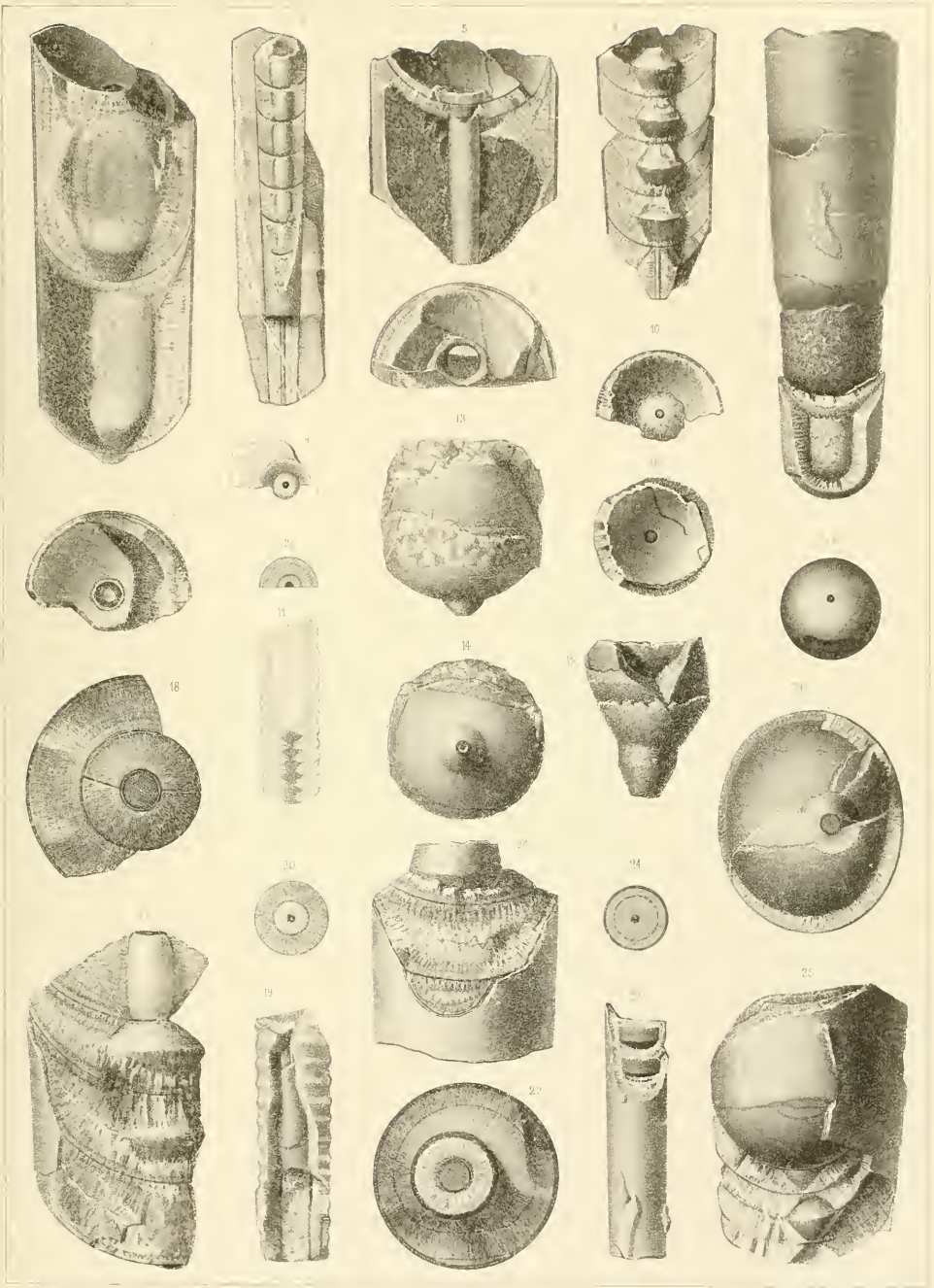






Fig.

Etage. Fig

Etage.

Les spécimens figurés sur cette planche sont destinés à montrer diverses apparences relatives à l'état de conservation des fossiles.

1. **Orth. carvum.** Barr. Fragment vu par l'extérieur et conservant une partie de son test. *Hinter-Kopanina*. . . . . E
2. *id.* section longitudinale montrant l'intérieur rempli par du spath calcaire blanc. Les cloisons ont été entièrement dissoutes, soit avant, soit après le dépôt de cette substance, sans qu'il en reste aucune trace. Au contraire, le siphon s'est parfaitement maintenu dans sa position. On le voit recouvert d'un dépôt calcaire mamelonné et d'une couleur brune, qui contraste avec celle de la masse ambiante. Selon toute apparence, ce dépôt autour du siphon aurait eu lieu avant le remplissage des loges aériennes et aurait contribué à la conservation de cet organe.
3. *id.* section transverse, montrant la position du siphon et l'étendue des divers dépôts.
4. **Cyrtoc. clavatus.** Spécimen vu par le côté convexe, usé de manière à exposer le siphon et les cloisons. Il montre les cloisons bien conservées dans le voisinage de la grande chambre et dans la partie inférieure du fossile. Elles sont détruites, au contraire, dans un espace intermédiaire assez considérable. Dans cet intervalle, le siphon, quoique très mince et très fragile, s'est parfaitement maintenu en restant isolé. *Butovitz*. . . . . E
5. *id.* section transverse, montrant la position du siphon.
6. **Orthoc. Le Honi.** Barr. Spécimen vu par la face externe, conservant son test en très bon état. *Kozors*. . . . . E
7. *id.* section longitudinale, suivant le plan médian. Elle montre l'intérieur rempli de spath calcaire en gros cristaux. Les cloisons ont presque totalement disparu dans toute la longueur. Le siphon s'est, au contraire, parfaitement maintenu et quoique isolé, il n'a pas quitté sa position normale. Son canal interne est rempli par le même spath calcaire qui occupe les loges aériennes. On voit cependant, vers le bout inférieur, 7 éléments dont l'intérieur avait été partiellement rempli par le calcaire compacte noir, avant le dépôt cristallin.
8. *id.* fragment du test grossi, pour montrer ses ornements.
9. *id.* section longitudinale du test.
10. *id.* cloison terminale du spécimen. Elle est très bien conservée et orientée comme la fig. 7, pour montrer la position du siphon.
11. **Orthoc. senile.** Barr. Spécimen vu par la face latérale, montrant la base de la grande chambre, une série de loges aériennes et une partie du test. *Kozors*. . . . . E
12. *id.* section longitudinale suivant le plan médian. Elle montre les cloisons et le siphon bien conservés dans la partie inférieure, tandis que, dans la majeure partie du fossile, toute la structure interne avait été détruite avant le remplissage, par le spath calcaire occupant toutes les cavités. Les traces des cloisons se voient encore le long des bords de la coquille et on reconnaît leurs fragments accumulés au dessus de la partie qui a résisté à la destruction. La grande chambre avait été remplie jusqu'à sa base par le calcaire compacte noir.
13. *id.* fragment du test grossi, pour montrer ses ornements consistant en stries horizontales prédominantes et en stries longitudinales beaucoup plus fines et subordonnées.
14. *id.* section longitudinale du test, dont les ornements ne présentent aucune imbrication prononcée.
15. *id.* cloison terminale vue par la face convexe. Elle est orientée comme la fig. 12 et montre la position du siphon.
16. **Orthoc. decipiens.** Barr. Spécimen en voie de décomposition par l'effet des agents atmosphériques. Sur le côté gauche de la figure, on voit la surface intacte du moule interne, avec la trace des cloisons. Au contraire, à droite, on aperçoit la surface décomposée, sur laquelle apparaît, entre deux cloisons, une ligne intermédiaire et parallèle à celles-ci. Cette ligne figure la surface de disjonction du remplissage cristallin, dans chaque loge aérienne. Comme elle est très prononcée, on pourrait être tenté de compter dans ce spécimen un nombre de cloisons double du nombre réel. *Dlanha Hora*. . . . . E
17. *id.* cloison terminale complétée et montrant la position du siphon.
18. **Cyrtoc. quasi-rectum.** Barr. Spécimen en voie de décomposition. Entre les cloisons, on voit une ligne parallèle, représentant la surface de disjonction du remplissage cristallin, dans chaque loge aérienne. Une partie du fossile a été usée pour faire mieux reconnaître la direction et le nombre des cloisons. *Dlanha Hora*. . . . . E
19. *id.* section transverse, orientée comme la fig. 18 et montrant la position du siphon.

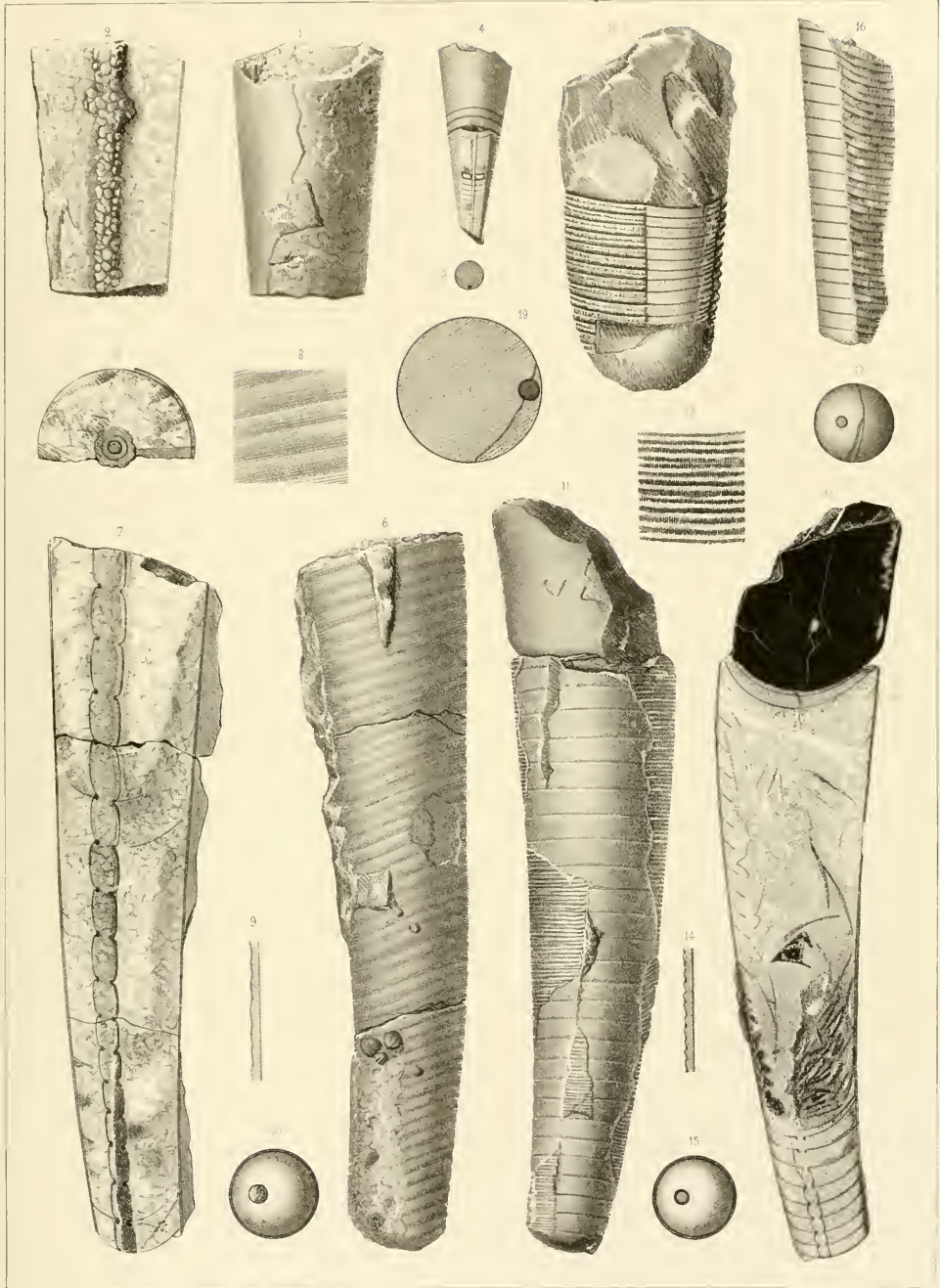






Fig.

Etage Fig.

Etage.

Les spécimens figurés sur cette planche sont destinés à montrer diverses particularités relatives, soit au remplissage inorganique des coquilles, soit à l'état de conservation des fossiles.

1. **Orthocère indéterminé**, montrant une section longitudinale. La grande chambre est remplie de calcaire compacte noir. Les loges aériennes sont occupées, au contraire, par du calcaire spathique cristallin, mais coloré en noir. Une substance semblable remplit l'intérieur du siphon. L'enveloppe siphonale, les parois des cloisons et celles de la coquille sont tapissées, dans chaque loge aérienne, par une couche très mince de pyrite de fer. *Butovitz.*
2. *id.* fortement grossi pour montrer les couches minces de pyrite de fer, tapissant toutes les parois.
3. Autre fragment montrant la base de la grande chambre remplie de calcaire compacte et quelques loges aériennes, sous des aspects divers. Les deux loges les plus élevées sont dépouillées du test et montrent la couche de pyrite qui tapisse les parois internes. Les 3 loges suivantes étant brisées, on reconnaît les couches minces de pyrite déposées sur toutes les parois, y compris celles du siphon. Les cavités des loges sont occupées par du spath calcaire, plus ou moins coloré en noir. *Butovitz.*
4. *id.* 3 loges grossies pour montrer les apparences du recouvrement de pyrite.
5. **Orth. amenum**. Barr. Spécimen dépouillé de son test. La grande chambre est remplie de calcaire compacte gris. Les loges aériennes sont occupées, au contraire, par un dépôt de spath calcaire blanc. Mais, avant l'introduction de ce calcaire spathique, les parois internes de ces loges avaient été tapissées par une couche très mince de pyrite qui apparaît sur la surface du moule. Ce dépôt n'avait pas eu lieu, cependant, sur la paroi du test, dans les loges 3 et 4 à partir du haut. *Butovitz.*
6. *id.* surface de l'une des cloisons recouverte par la pyrite et montrant la position du siphon.
7. *id.* fragment du moule interne, fortement grossi, pour montrer les stries transverses extrêmement fines dont il est orné et qui représentent la surface du manteau du mollusque. Elles ont une apparence plus régulière que les stries creusées dans la plupart des autres espèces congénères.
8. **Orth. amenum**. Barr. Autre spécimen, montrant une série de loges aériennes et conservant une partie du test. Dans les brisures, on voit le moule interne couvert par une couche mince de pyrite. *Butovitz.*
9. *id.* vu par la face opposée, sur laquelle il reste un fragment isolé du test.
10. *id.* 2 loges fortement grossies afin de montrer les stries transverses très fines, qui ornent la surface du moule interne.
11. *id.* cloison terminale recouverte par la pyrite et montrant la position du siphon.
12. **Orth. pleurotomum**. Barr. Spécimen montrant une partie de la grande chambre et quelques loges aériennes, conservant des fragments de leur test. Dans les brisures de celui-ci, on voit que le moule interne est recouvert d'une couche de pyrite, qui tapisse la surface intérieure de la coquille, ainsi que les cloisons. *Butovitz.*
13. *id.* cloison terminale, recouverte de pyrite et montrant la position du siphon. Elle est orientée comme la fig. 12.
14. *id.* fragment du moule interne des loges aériennes, fortement grossi, pour montrer les stries ondulées, très fines, dont il est orné et qui reproduisent la surface du manteau du mollusque. L'apparence de ces stries creusées contraste avec celle des fig. 7—10.
15. **Orth. indéterminé**. Spécimen ouvert dans le sens de sa longueur et montrant les cloisons, le siphon et la surface interne du test, recouverts de pyrite. *Butovitz.*
16. *id.* quelques loges aériennes grossies, pour montrer l'application de la pyrite. Tout l'intérieur des loges aériennes est rempli par du calcaire spathique blanc.
17. **Orth. transiens**. Barr. Section longitudinale de la grande chambre, remplie en partie par le calcaire compacte noir et en partie par le calcaire spathique blanc. *Butovitz.*
18. *id.* section transverse, montrant l'étendue relative de ces deux substances et le plan de gisement du fossile.
19. Autre spécimen, section longitudinale de la grande chambre, partiellement remplie par le calcaire compacte, recouvert par une couche cristalline, ainsi que la paroi opposée. L'intérieur est resté vide. *Butovitz.*
20. *id.* section transverse vers la base, montrant l'étendue relative des deux substances calcaires.
21. Autre spécimen vu par l'extérieur et conservant une partie de son test. *Butovitz.*
22. *id.* section longitudinale, montrant la grande chambre partiellement remplie par du calcaire compacte noir, tandis que le reste de sa cavité est occupé par du spath calcaire blanc, ainsi que toutes les loges aériennes.
23. *id.* section transverse de la grande chambre.
24. **Orth. teniale**. Barr. Spécimen vu par l'extérieur et recouvert de son test. *Karlstein.*
25. *id.* section longitudinale, montrant la base de la grande chambre, occupée par le calcaire compacte noir et par divers fragments. Ce même calcaire a pénétré dans les loges aériennes, dont il remplit une portion, tandis que le reste de leur cavité est occupé par le spath calcaire blanc.
26. *id.* section transverse, au droit des loges aériennes. Elle est orientée comme la fig. 25 et elle contribue à indiquer la position du plan de gisement du fossile.
27. **Phragm. callistoma**. Barr., vu par l'extérieur et conservant une partie de son test, sur les loges aériennes. *Lochkov.*
28. *id.* vu par la face latérale opposée, qui a été fortement attaquée par les intempéries. On reconnaît que les loges aériennes, ayant été partiellement brisées, la cavité qui en est résultée a été remplie par le calcaire compacte grisâtre, ainsi que la grande chambre. La matière vaseuse n'ayant pas pénétré entre les cloisons, dans l'étendue où elles se sont maintenues, tout cet espace a été postérieurement rempli par du spath calcaire blanc.
29. **Cyrtoc. corbulatum**. Barr. Fragment vu par l'extérieur, montrant une partie de la grande chambre et quelques loges aériennes. La surface de ce moule interne conserve la trace des ornements du test, sans avoir éprouvé aucune altération. *Droretz.*
30. *id.* vu par la face opposée, fortement attaquée par les intempéries. Pendant cette altération, la trace des ornements du test s'est maintenue et a pénétré jusque vers le milieu du fossile, en conservant son relief, comme il existe sur le test, lorsque sa surface est intacte.
31. *id.* section transverse, orientée comme la fig. 30 et montrant la profondeur de l'altération du fossile.

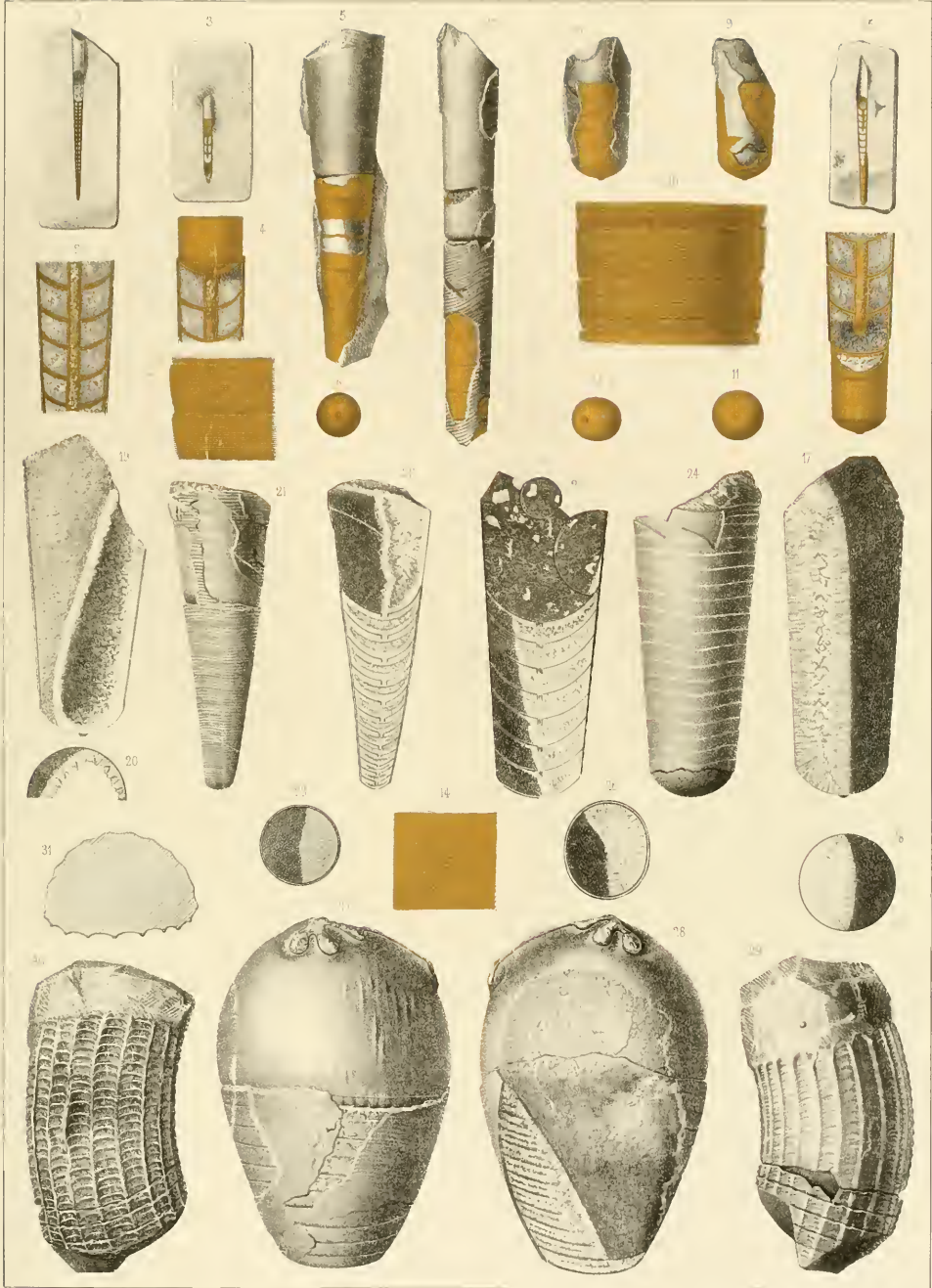






Fig.

Etage.

Les spécimens figurés sur cette planche sont destinés à montrer diverses particularités, soit dans la structure des coquilles, soit dans leur état de conservation.

**Orthoceras fistula.** Barr. . . . . E

1. Spécimen vu par la face latérale, montrant la majeure partie de la grande chambre, une série de loges aériennes et une partie du test. On voit près du petit bout deux cloisons interrompues. *Butoritz.*
2. *id.* vu par le côté dorsal, montrant la ligne normale tracée en creux sur toute la longueur.
3. *id.* section transverse orientée comme la fig. 1.
4. *id.* fragment pris sur le côté dorsal et grossi pour montrer la disposition de la ligne normale, tracée entre deux autres lignes.

**Orthoceras Janus.** Barr. . . . . E  
(voir Pl. 367.)

5. Spécimen vu par la face latérale, montrant une partie de la grande chambre, une série de loges aériennes et un fragment du test. Le moule interne montre l'impression des stries. On voit vers le petit bout un espace sur lequel les cloisons sont à peine indiquées. La grande chambre porte diverses impressions accidentelles. *Viskočilka.*
6. *id.* vu par le côté dorsal, montrant une carène tracée sur toute la longueur et qui n'est pas constante sur tous les individus de cette espèce.
7. *id.* section transverse orientée comme la fig. 5.

**Orthoceras Panderi.** Barr. . . . . E  
(voir Pl. 366.)

8. Spécimen vu par la face latérale, montrant la grande chambre et une série de loges aériennes. On voit plusieurs intervalles sur lesquels les cloisons ne sont pas indiquées. *Lochkor.*
9. *id.* vu par l'une des faces étroites, montrant le même phénomène.
10. *id.* section transverse, orientée comme la fig. 8.

**Orthoceras Janus.** Barr. . . . . E  
(voir Pl. 367.)

11. Spécimen vu par la face latérale, montrant le bord de l'ouverture, la grande chambre, une série de loges aériennes et une partie du test. Vers le petit bout, on voit un espace sans aucune trace de cloisons. *Lochkor.*
12. *id.* vu par le côté dorsal, montrant la carène tracée sur toute la longueur.
13. *id.* section transverse, orientée comme la fig. 11.

**Orthoceras severum.** Barr. . . . . E  
(voir Pl. 301—302.)

14. Spécimen vu par l'extérieur et montrant une série de loges aériennes, avec une partie du test. *Viskočilka.*
15. *id.* section longitudinale, montrant les cloisons et le siphon, dont une partie est intacte, tandis que l'autre a été détruite. On voit dans l'intérieur 3 jeunes Ortho-

Fig.

Etage.

cères, qui ont pénétré par l'ouverture du siphon et qui sont emboîtés l'un dans l'autre. Le dernier s'est introduit par son gros bout, c. à d. à l'inverse des deux autres.

16. *id.* fragment du test fortement grossi, pour montrer ses ornements. La même figure indique, vers la droite, l'apparence du moule interne, dont la surface est couverte de stries creuses très fines et ondulées, représentant l'apparence du manteau du mollusque.
17. *id.* section transverse, montrant la position du siphon.

**Orthoceras visitatum.** Barr. . . . . E

18. Spécimen vu par la face latérale, montrant une série de loges aériennes et une partie du test. *Viskočilka.*
19. *id.* section longitudinale, montrant les cloisons et le siphon, en grande partie bien conservés. On voit, dans l'intérieur du siphon, un spécimen de *Grapt. colonus*. Les loges aériennes voisines du petit bout montrent le dépôt organique, principalement sur la partie à droite du siphon, tandis que les éléments de cet organe ont été partiellement injectés par le calcaire noir. Tout le reste des cavités de la coquille a été rempli par un dépôt chimique de calcaire spathique.
20. *id.* fragment du test très fortement grossi, pour montrer ses ornements qui sont obsolètes. On distingue cependant les stries longitudinales.
21. *id.* section transverse, montrant la position du siphon.
22. *id.* 3 éléments du siphon grossis avec la trace des cloisons et la section longitudinale de *Grapt. colonus*. Par un heureux hasard, cette section du graptolite se trouve dirigée suivant son axe et son plan médian, du moins dans une partie de sa longueur. On peut donc reconnaître sur cette section le canal commun auquel aboutissent toutes les cellules. Le bord de celles-ci a perdu la pointe horizontale qui le distingue lorsque le fossile est bien conservé.

**Orthoceras annulatum.** Sow. . . . . E  
(voir Pl. 290—291.)

23. Spécimen en voie de décomposition par les agents atmosphériques. Bien que sa surface soit rongée sur une profondeur de plus de 2 mm., elle conserve la trace très bien marquée des ornements du test. Nous avons déjà figuré *Cyrt. corbulatum*, Pl. 224 qui présente un semblable phénomène. *Dvoretz.*
24. *id.* section transverse, sur laquelle on a indiqué par une ligne intérieure la périphérie actuelle du fossile.

**Orthoceras indéterminé.** . . . . E

25. Spécimen fortement comprimé et aplati, dans un calcaire argileux. Les brisures pratiquées sur la surface de la grande chambre ont mis au jour plusieurs exemplaires du trilobite que nous nommons *Archusia Koniacki*. Il est vraisemblable que cette grande loge contient d'autres individus de la même espèce, qui ne sont pas visibles. *Rochers de Kozel, près Bérann.*

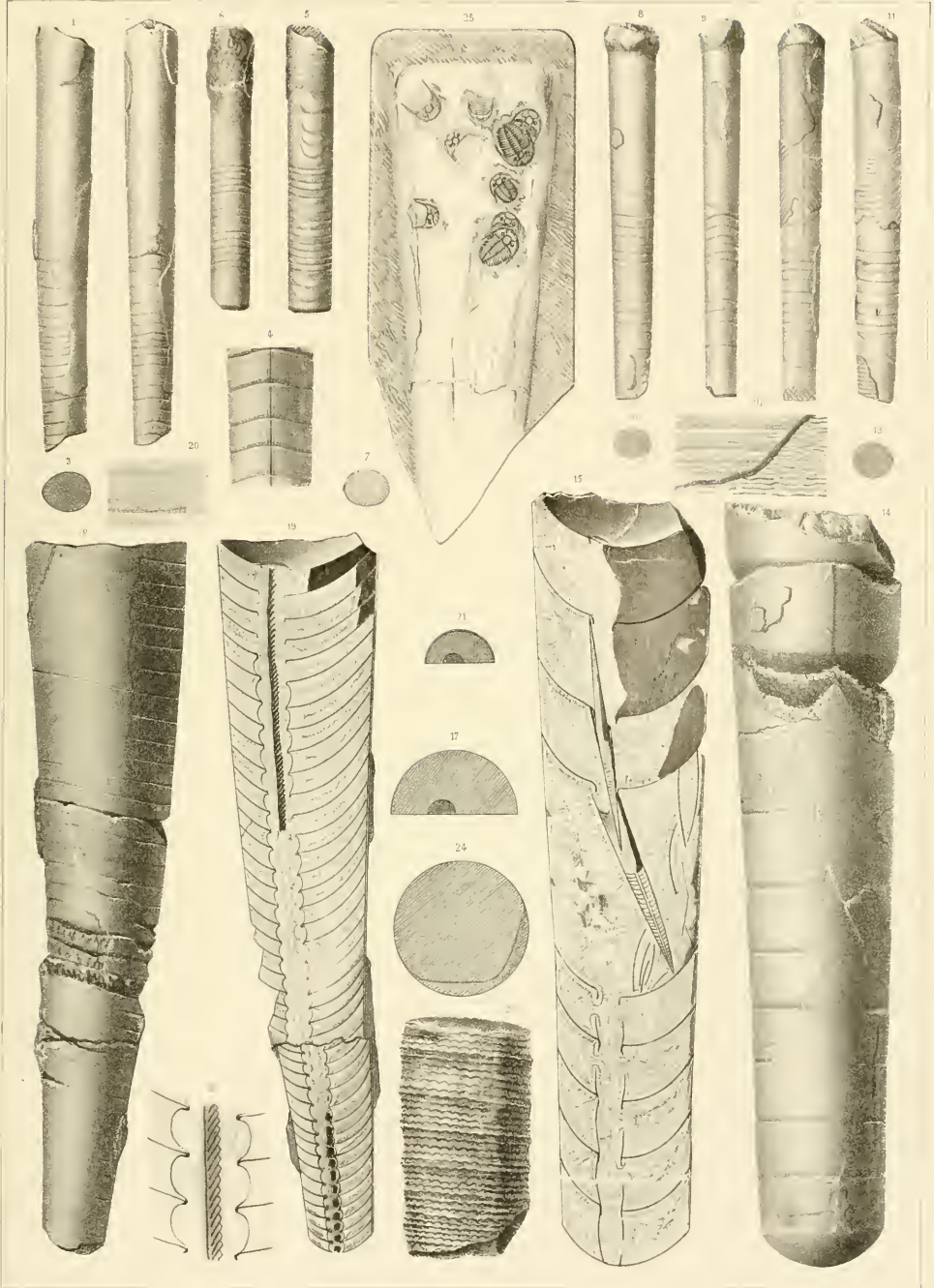






Fig.

Les spécimens figurés sur cette planche sont destinés à montrer diverses particularités relatives à l'état de conservation des fossiles.

**Orthoceras temperans.** Barr. . . . E  
(voir Pl. 222—327.)

1. Spécimen dépouillé du test et représentant une série de loges aériennes. Toute la partie supérieure a été supprimée, faute d'espace, mais elle se retrouve dans les fig. 2 et 3. *Lochkor.*
- 2.) Ces deux figures représentent la section longitudinale du spécimen complet. La fig. 2 devrait être placée au dessus de la fig. 3, à laquelle elle fait suite vers le haut.

Il faut remarquer que la largeur du siphon a été amoindrie par le trait de scie.

Les cloisons sont bien conservées dans toute la longueur du fossile, tandis que les éléments du siphon ont été en partie détruits. On voit des anneaux obstruc-teurs peu développés, au droit des goulots. On recon-naît aussi le dépôt organique dans quelques loges aériennes. Il est indiqué par la teinte grise, intermédiaire entre la nuance blanchâtre du dépôt spathique et la couleur noire de la vase calcaire. Dans la partie supé-rieure du fossile, fig. 2, la moitié gauche des loges aériennes a été envahie par la vase noire, qui pouvait aisément pénétrer, soit par le siphon soit par des bri-sures. La coquille reposait alors sur le bord qui est à gauche des figures 2—3. Dans toutes les loges, envahies à cette époque c. à d., avant toute incrustation chimique, les parois en contact avec la roche compacte ne sont pas tapissées par la couche régulière de spath calcaire, qu'on voit dans l'intérieur de toutes les autres loges du fossile. Comme l'incrustation blanche recouvre la surface de la vase noire dans les chambres primi-tivement envahies, il est clair que le dépôt spathique blanc n'a eu lieu qu'après l'introduction de la matière vaseuse.

Dans certaines loges, le calcaire spathique a com-plètement rempli tout l'espace intérieur tandis que dans d'autres, le vide resté au centre a été rempli plus tard par une nouvelle injection de vase noire. L'état du fossile ne permet pas de reconnaître par quelle voie cette injection naturelle a eu lieu, mais comme sa sur-face externe, sur la moitié non figurée, présente des traces d'altération, il paraît probable que la vase s'est introduite, par des ouvertures ou fissures à travers le test de la coquille.

4. *id.* section transverse montrant les dispositions des sub-stances de diverse apparence, qui constituent le remplis-sage inorganique. Le siphon est sub-central.

Etage.

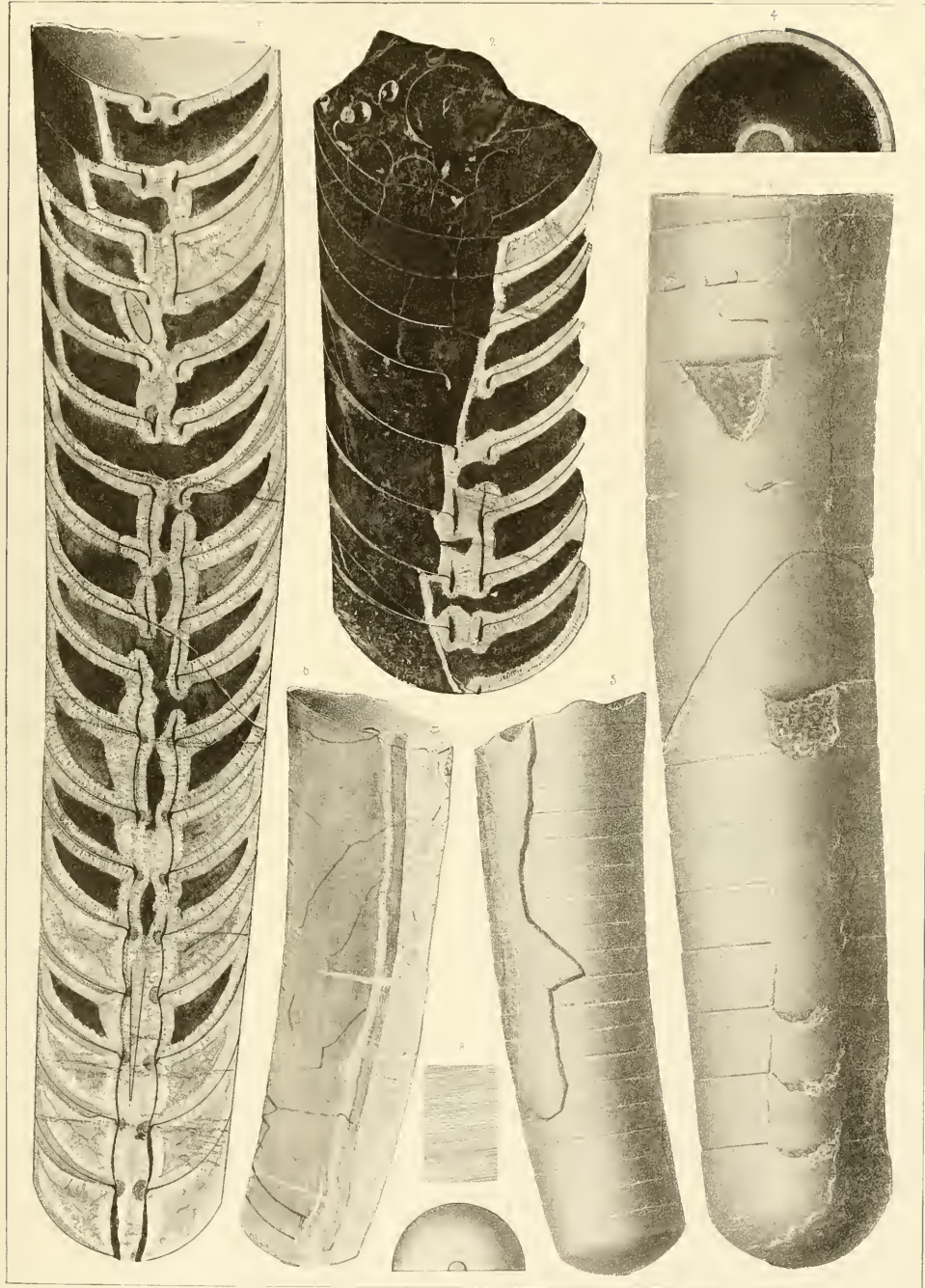
Fig.

Etage.

**Orthoceras obsequens.** Barr. . . . E

5. Spécimen vu par la face externe, montrant une série de loges aériennes, conservant un fragment du test. *Butovitz.*
6. *id.* section longitudinale, montrant que toute la structure interne a été détruite, excepté deux cloisons, en partie conservées au petit bout. La vase noire a pénétré dans toute la longueur du fossile, dans lequel elle forme une masse sub-régulière. Lors de cette invasion, la coquille reposait sur le bord qui est à gauche dans cette figure. Les parois en contact avec la roche com-pacte ne présentent aucune incrustation spathique. On voit, au contraire, une couche de spath sur la surface supérieure du calcaire compacte et elle est recouverte par une seconde couche noirâtre, peu épaisse, parallèle à la première. Tout le reste de l'espace a été rempli par le calcaire cristallin. Ce fossile concorde donc avec le précédent pour montrer, que les surfaces primitivement recouvertes par la vase noire ne sont point tapis-sées par une incrustation de spath calcaire. Le même fait est confirmé par diverses figures dissimulées sur nos planches.
7. *id.* cloison terminale, montrant la position centrale du siphon.
8. *id.* fragment du test grossi, pour montrer ses ornements, composés de stries fines, un peu irrégulières et obliques.

N. B. On peut remarquer, dans le spécimen fig. 5 et 6, que la suture des cloisons s'est maintenue très-distincte sur le moule interne, malgré la destruction com-plète de ces mêmes cloisons, dans l'intérieur de la coquille. Il serait donc difficile de concevoir dans un céphalopode, que les cloisons aient pu exister sans laisser aucune trace sur le moule interne, lorsque celui-ci a été pro-tégé par le test. Les traces des sutures auraient pu, au contraire, disparaître aisément, si le moule avait été dépouillé de sa coquille et exposé à des actions extérieures. C'est ce que nous observons sur d'autres spécimens.



Humbert lith





Fig.

Etage.

Fig.

Etage.

Tous les spécimens figurés sur cette planche sont destinés à montrer diverses particularités relatives, soit au remplissage des cavités internes de la coquille, soit à l'état de conservation des fossiles.

1. **Orth. *Vibragei*?** Barr. Spécimen dans lequel le remplissage du siphon s'est fait par le dépôt du spath calcaire blanc, contrastant par sa couleur avec la nuance brune des anneaux obstructeurs, placés au droit des goulots. Au contraire, dans les loges aériennes, le remplissage a eu lieu successivement et alternativement par du spath calcaire et par du calcaire compacte. Le spath s'est d'abord déposé sur la surface concave des cloisons et sur la surface externe du siphon. Sur ce sédiment, a eu lieu un dépôt de matière vaseuse, qui a été recouverte par une seconde couche spathique. Celle-ci s'étend du haut de chacun des éléments du siphon jusqu'à la première couche blanche. Le vide restant a été ensuite rempli par une seconde introduction de matière vaseuse. *Karlstein*. . . . . E
2. **Orth. *potens*?** Barr. Section longitudinale montrant le siphon rempli de spath calcaire blanc, dans toute sa longueur. L'enveloppe siphonale a été dissoute dans tous les éléments. On voit aussi que cette dissolution a attaqué le remplissage spathique dans quelques parties, injectées par la roche compacte. Les cloisons ont été également dissoutes, mais, à l'aide des divisions du siphon, on reconnaît aisément leur direction, qui doit former la ligne médiane dans les dépôts blancs qu'on voit de chaque côté. Ce sont les dépôts organiques, analogues à ceux qui sont figurés sur les planches qui précèdent. En effet, on voit qu'ils ne sont point appliqués sur l'enveloppe siphonale et que leur masse principale se trouve dans une position opposée à celle du siphon, par rapport à l'axe de la coquille. Il n'existe, dans les loges aériennes que ce seul dépôt cristallin et tout le reste de leurs cavités est rempli par un calcaire compacte, rouge, dont la couleur contraste avec celle du spath blanc, comme les teintes employées dans cette figure. *Collines entre Kozolup et Lodenitz*. . E
3. *id.* section transverse montrant la position du siphon.
4. **Orth. *socium*?** Barr. Section longitudinale montrant l'intérieur du fossile, dans lequel on voit un dépôt spathique sur chacune des faces des cloisons, tandis que tout l'intérieur des loges aériennes est rempli par du calcaire compacte, d'une teinte jaune très prononcée. Il n'existe dans ce fossile aucune trace du dépôt organique. *Butoritz*. . . . . E
5. **Orth. *Agassizi*.** Barr. Spécimen en voie de décomposition, par les agents atmosphériques. On voit, au droit de chaque cloison, une couche terreuse qui n'offre aucune particularité. Au contraire, chacune des loges aériennes, montre une surface couverte de petites cavités, inégales et irrégulièrement disposées. Ces cavités disparaissent complètement sur les faces non figurées du fossile. Cependant, une partie de ces surfaces est aussi dissoute par les intempéries, tandis que l'autre, plongée dans la roche, conserve son test. Ces circonstances s'accordent à nous faire reconnaître, que la surface présentant les petites cavités est l'empreinte du dépôt organique, très développé dans cette espèce. C'est ce qui sera plus amplement démontré par les figures de notre planche 282. En attendant, on trouvera des analogies instructives sur la planche 229. *Lochkov*. E

6. **Orth. *Vibragei*?** Barr. Spécimen en voie de décomposition par les agents atmosphériques. Une partie de la surface étant enlevée, on voit dans 4 loges aériennes comme dans la fig. 5, une paroi interne, couverte de petites cavités, inégales et irrégulièrement distribuées. C'est aussi l'empreinte de la surface du dépôt organique, qui tapisse l'intérieur de chaque loge aérienne. Ce dépôt se voit d'ailleurs avec toute son épaisseur dans les brisures éprouvées par le fossile, au droit des 4 loges qui nous occupent. *Viskočilka*. E
7. *id.* section transverse qui doit être rectifiée, en ce que le siphon, au lieu d'être étroit et éloigné du centre, offre, au contraire, une largeur presque égale au tiers du diamètre et occupe une position presque centrale.
8. **Orth. *Vibragei*.** Barr. Spécimen vu par l'extérieur, montrant une partie du test mal conservé, tandis que l'autre moitié de la surface a été décomposée par les agents atmosphériques et permet de distinguer les loges aériennes. *Konieprus*. . . . . E
9. *id.* section longitudinale, montrant la structure interne. Les éléments du siphon sont partiellement conservés et on voit au droit des goulots, les anneaux obstructeurs très apparents. Le canal interne a été injecté par une petite quantité de calcaire compacte noir, tandis que tout le reste de sa capacité est occupé par du spath calcaire blanc, qui s'est déposé ultérieurement. Les loges aériennes présentent un remplissage inorganique analogue. La vase noire n'a pénétré que dans quelques-unes d'entre elles, à une époque où les surfaces des cloisons avaient déjà reçu une première couche spathique et blanche. Tout le reste des cavités est rempli par le spath calcaire, offrant des nuances diverses et irrégulièrement stratifié dans le voisinage immédiat des surfaces. Dans la loge aérienne la plus élevée, on doit remarquer le contraste entre les deux côtés de la paroi siphonale. A droite, les couches spathiques tapissent cette paroi dans toute son étendue entre les deux cloisons et on les voit aussi bien à l'intérieur qu'à l'extérieur. Au contraire, à gauche, la paroi étant brisée et enlevée au milieu, les deux parties restantes sont contournées par les couches calcaires. Ce fait montre que l'enveloppe siphonale avait été brisée avant le remplissage des loges aériennes. Le même fait se reproduit dans les loges 4 et 5 à partir du haut, où la paroi du siphon est brisée sur le côté droit. La grande brisure qu'on voit au sommet de la loge 3 ne montre pas les mêmes dispositions des couches autour des fragments du siphon parce qu'elle est postérieure au remplissage du fossile. C'est ce qu'on reconnaît par la teinte jaune du calcaire qui a pénétré dans cette fente.
10. *id.* section transverse montrant la position du siphon. Elle est orientée comme la fig. 8.

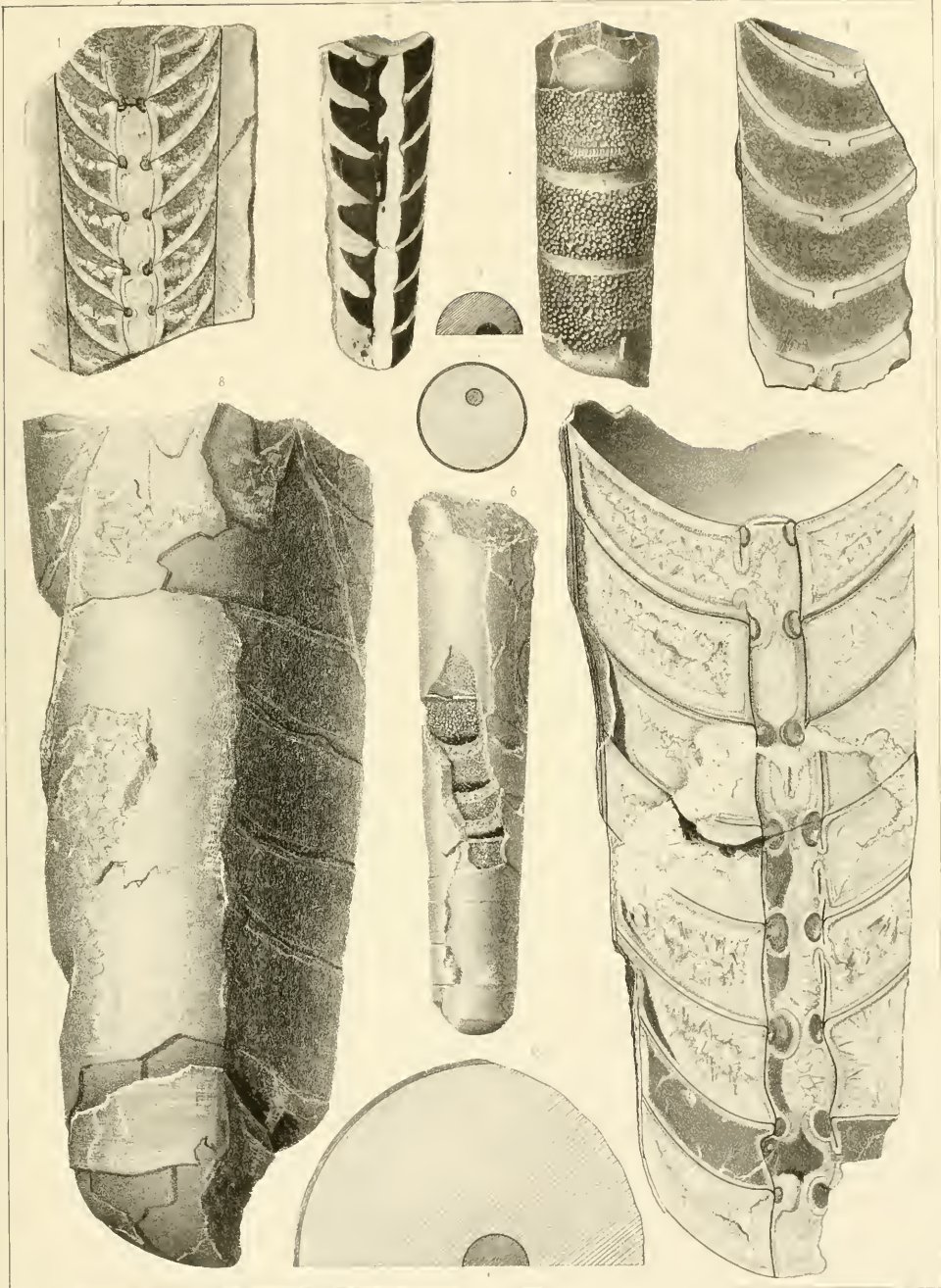






Fig.

Etage. Fig.

Etage.

Remplissage des loges aériennes et du siphon par les dépôts organiques et inorganiques.

**Orthoceras *lubricatum*. Wahl.**

(voir Pl. 233.)

1. Section longitudinale d'un spécimen, qui présente une longue série de loges aériennes. Nous estimons que la longueur de la partie qui manque vers la pointe est presque égale à celle du morceau figuré. L'extrémité supérieure, représentant la base de la grande chambre, a été retranchée, faute d'espace. Les cloisons et le siphon sont généralement bien conservés, sauf quelques brisures partielles. Le siphon est remarquable par la disposition du dépôt organique, dont il montre le progrès. Les anneaux obstructeurs, complets à la partie inférieure, y remplissent toute la cavité du siphon. On distingue, entre deux anneaux consécutifs, une ligne blanche, transverse, oblique, qui représente la membrane du cordon charnu, comprimée au troisième degré, et simulant une sorte de cloison. En remontant, on voit les anneaux obstructeurs incomplets et diminuant graduellement vers le haut, de manière à disparaître vers les  $\frac{2}{3}$  de la longueur totale, à partir du petit bout. Ils sont appliqués le long du côté ventral, tandis que le bord opposé du siphon ne nous montre que du carbonate de chaux, provenant de la cristallisation. C'est un dépôt inorganique, postérieur au remplissage mécanique, par la roche compacte, après la mort du mollusque. Il s'est formé peu à peu dans les petits vides laissés dans les éléments du siphon par cette roche, lorsqu'elle y a pénétré à l'état vaseux. A la même époque, la vase noire a été aussi injectée par des brisures, dans une partie des loges aériennes. Tout le reste des cavités de ces loges est occupé par du calcaire spathique, en gros cristaux, présentant deux teintes, l'une plus claire l'autre plus foncée. Dans aucune de ces loges, nous ne distinguons la trace d'un dépôt organique. Ce beau spécimen provient de l'île de Gothland et nous le devons aux bontés de M. le Prof. Angelin.

**Orthoceras *nobile*. Barr. . . . . E**

(voir Pl. 284—311—312—313.)

2. Fragment vu par la face extérieure, montrant quelques loges aériennes et une partie du test. Cette figure représente le même morceau que la fig. 3, mais le défaut d'espace a obligé d'en supprimer la majeure partie. *Dianha Hora.*
3. *id.* section longitudinale, dans laquelle le siphon a totalement disparu, ainsi que la majeure partie des cloisons, dont il ne reste que des fragments. L'étude de cet intérieur montre, qu'à l'époque où les cloisons ont été brisées, leur surface n'était encore recouverte par aucune cristallisation. On voit, en effet, que la première couche spathique, très mince, par laquelle elles sont tapissées, contourne régulièrement leur extrémité brisée. Immédiatement après le dépôt de cette première couche, la vase noire a été introduite, en quantités inégales dans les diverses loges, tandis que la coquille reposait sur le bord situé à gauche dans la figure. Alors, le spath calcaire a recommencé à se déposer, en couches

sub régulières, qui contiennent toutes les surfaces, avec des nuances un peu variées et comme rubanées. Ce dépôt régulier ayant été suspendu par une cause quelconque, la vase calcaire a pénétré, pour la seconde fois, dans l'intérieur. Nous la voyons reposant sur la surface rubannée, dans la moitié inférieure de la figure et toujours à gauche. Enfin, le vide resté à l'intérieur de la coquille, après les divers dépôts mentionnés, a été rempli par une cristallisation d'une apparence toute différente, parce qu'elle se compose de plus gros cristaux, dirigés normalement sur les surfaces antérieurement formées.

4. *id.* section transverse, orientée comme la fig. 3 et montrant la position excentrique du siphon.

**Orthoceras *patronus*. Barr. . . . . F**

(voir Pl. 275.)

5. Fragment vu par la surface externe, conservant une partie du test. La cloison terminale est chargée par le dépôt organique. *Königsprus.*
6. *id.* vu par l'extrémité inférieure, montrant l'apparence irrégulièrement mamelonnée du dépôt organique, appliqué sur la surface convexe de la cloison.

**Orthoceras *Agassizi*. Barr. . . . . E**

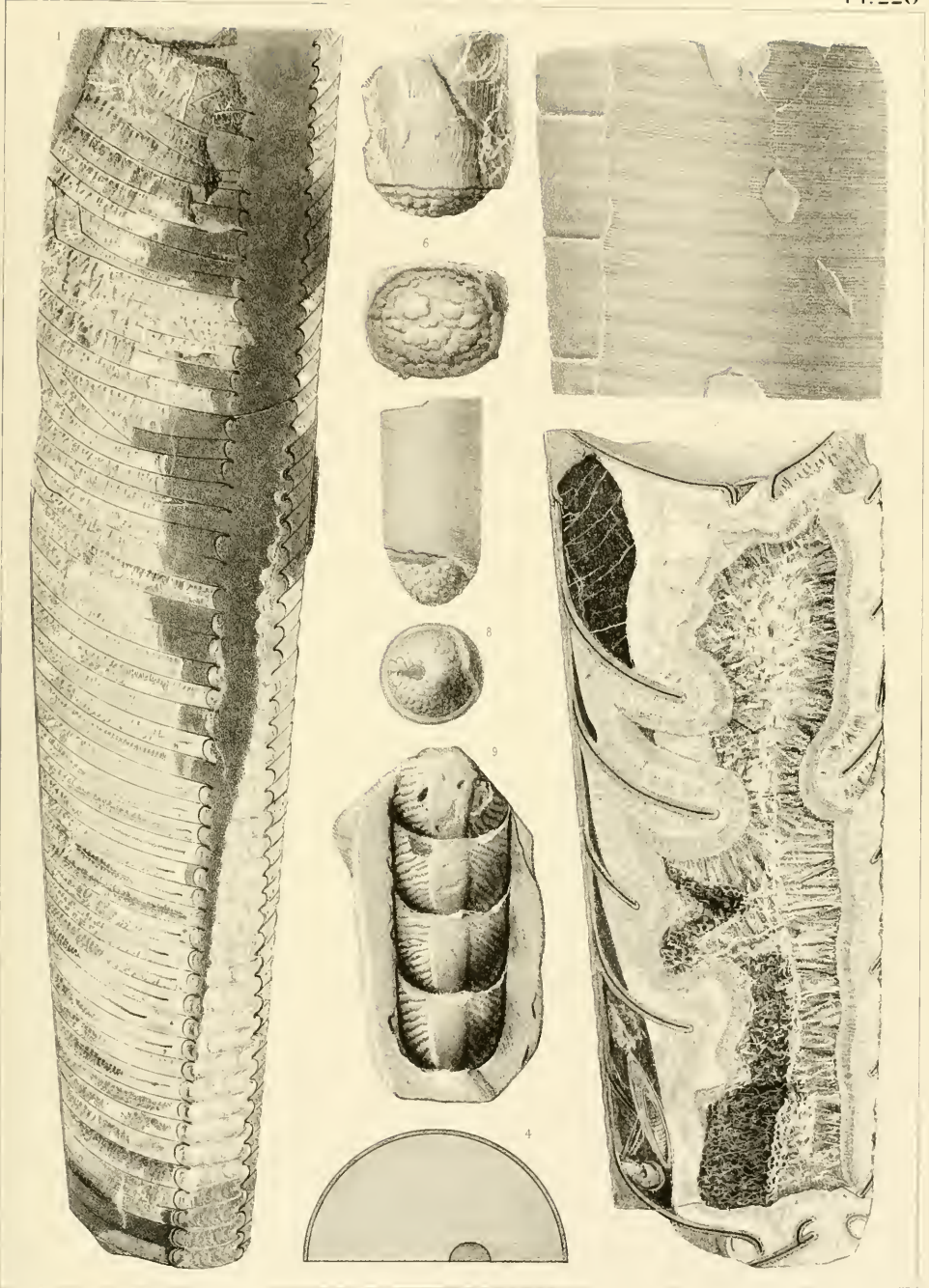
(voir Pl. 227—280—281—282.)

7. Fragment vu par la surface externe, conservant son test. L'extrémité inférieure montre le dépôt organique, appliqué sur la cloison terminale. *Lochkov.*
8. *id.* vu par l'extrémité inférieure et montrant l'apparence irrégulièrement mamelonnée du dépôt organique. On reconnaît la position excentrique du siphon. Une dépression, qui part de cet organe et se dirige vers le bord, semble indiquer la direction du plan médian, comme la rainure observée dans *Orth. truncatum* (Pl. 341—342—343). Comparer ces apparences avec celles des spécimens figurés sur la planche 229.

**Orthoceras *bonum*. Barr. . . . . D—d 1**

(voir Pl. 247.)

9. Spécimen montrant une série de 4 loges aériennes, représentées par leur moule interne. L'épaisseur du test de la coquille se reconnaît aisément, par le vide régulier, qui existe dans toute la longueur, entre le moule et la roche ambiante. Les cloisons sont également dissoutes, ainsi que le dépôt organique dont elles étaient recouvertes. Les rugosités qu'on aperçoit, de chaque côté, sur le moule interne, nous semblent représenter, sous une forme particulière à cette espèce, l'impression de la surface de ce dépôt. On reconnaît, sur le milieu de la figure, la bande ou partie saillante, qui existe sur chacune des cloisons et qui constitue, pour cet orthocère, un caractère anormal. *Vosek.*







Fig

Etage.

Fig

Etage.

Apparences remarquables de la surface du dépôt organique, dans certaines espèces.

**Orthoceras severum?** Barr. . . . . E  
(voir Pl. 301—302.)

1. Section longitudinale d'un très long spécimen, dont les extrémités supérieure et inférieure ont été supprimées, faute d'espace. Cette section montre les cloisons bien conservées, tandis que les éléments du siphon ont été partiellement détruits. Dans l'intérieur de cet organe, dont le développement décroît de bas en haut, de sorte qu'ils disparaissent dans la partie supérieure du fossile. Dans les loges aériennes, le dépôt organique se montre médiocrement développé sur les cloisons inférieures et se rédoit aussi graduellement, jusqu'à disparaître vers le milieu de la longueur figurée. Sa teinte, un peu foncée, permet aisément de le distinguer du calcaire spatique de nuance plus claire, qui remplit le reste des cavités. Le calcaire compacte, qui avait pénétré dans quelques loges, avant tout revêtement spatique, est placé principalement sur le bord droit, c. à d. du même côté que le dépôt organique. Il occupe une position semblable, dans le seul point du siphon où il a pénétré. Ces circonstances déterminent le plan de gisement de la coquille et nous montrent qu'elle reposait sur le bord qui occupe le côté droit de la figure. Les teintes différentes du calcaire noir indiquent qu'il a été injecté à diverses reprises et peut être dans diverses localités. Il est important de remarquer la présence du dépôt organique, que nous venons de signaler dans les loges aériennes et que nous allons retrouver sur la figure suivante. Nous n'indiquons qu'avec doute la nature spécifique de ce spécimen, parce que la surface du test a été allérée et ne permet pas de reconnaître les ornements. *Dlaucha Hora*.
2. *id.* extrémité inférieure du même spécimen, dont quelques loges intermédiaires ont été supprimées, faute d'espace. Ce fragment est vu par le bord placé à droite dans la fig. 1. Par l'effet d'une brisure, on voit, dans la partie inférieure, une apparence pseudo-régulière, qui n'est autre chose que le moule interne formé par la roche, dans la cavité du dépôt organique, placé sur la cloison terminale. Ce moule interne représente donc l'apparence qu'avait prise le manteau mollusque, par l'effet du dépôt organique, sur lequel il était appliqué, durant sa station sur cette cloison.
3. *id.* vu par l'extrémité inférieure, montrant une partie de la cloison terminale, le siphon et l'apparence du moule interne que nous venons de signaler.
4. Fragment de la même espèce? Il est vu par la face latérale et il représente une série de 6 loges aériennes, dont la surface a été dépouillée, de manière à montrer le moule interne, formé par la roche dans la cavité du dépôt organique. Ce moule, aisément distingué par sa surface mamelonnée, conserve l'apparence qu'avait prise le manteau du mollusque, par l'effet du dépôt organique, appliqué sur la paroi intérieure de la coquille. On voit encore, principalement sur le bord droit de la figure, une partie de la surface de l'orthocère, conservant son test alléré. On reconnaît aussi dans les parois des brisures l'épaisseur du dépôt organique, faisant corps avec le test de la coquille, sans qu'on puisse distinguer la surface qui les sépare. *Dlaucha Hora*.
5. *id.* vu par la même face. Les 3 loges inférieures sont exposées dans une section longitudinale, suivant le plan médian. Cette section permet de bien distinguer le siphon avec ses anneaux obstructeurs, au droit des goulots et les cloisons chargées sur leur deux faces, par le dépôt organique, plus développé sur le côté opposé au siphon. En examinant la partie de la figure au dessus de la section, on reconnaît un bourrelet saillant p q, dirigé suivant le plan médian, et reposant dans une rainure correspondante de la surface du dépôt organique, placé sur la face concave de la cloison sous-jacente.
6. Surface convexe indiquée par p q sur les figures 4 et 5, et portant le bourrelet déjà mentionné. Elle montre, à droite, une partie de la cloison et le siphon. Tout le reste de la superficie expose l'apparence du moule interne, formé dans la cavité du dépôt organique, c. à d. l'aspect du manteau du mollusque, bosselé par ce dépôt irrégulier. Le bourrelet, quoique dirigé suivant le plan médian, paraît un peu courbe, à cause d'un tubercule, placé d'une manière insymétrique, près de son extrémité extérieure vers le point p.
7. *id.* section longitudinale, dirigée suivant la ligne oo des fig. 6—8. La surface a b, ou concave, du dépôt organique est celle dans laquelle a été moulée la partie mamelonnée de la fig. 6.
8. *id.* surface intérieure du dépôt organique, sur la paroi convexe de la cloison. Cette surface est indiquée par c d, sur la fig. 7. Il faut remarquer, que ce n'est pas un moule, mais bien la superficie elle-même du dépôt, qui, au lieu de mamelons, ne présente que des cavités et au lieu d'un bourrelet, une large rainure, dirigée suivant le plan médian. Cette surface est prise dans la brisure m n, fig. 4 et 5. On voit que cette brisure correspond à la partie supérieure de la loge aérienne, au lieu d'être placée comme p q vers la partie inférieure.
9. Fragment, dont la nature spécifique ne peut être déterminée, mais qui pourrait aussi appartenir à l'espèce précédente. Il représente 2 loges aériennes, dont la surface est dénudée, de manière à montrer le moule interne formé dans la cavité du dépôt organique, placé sur la surface concave des cloisons. On reconnaît le bourrelet saillant, dirigé suivant le plan médian. La surface mamelonnée reproduit l'apparence du manteau du mollusque, modifié par le dépôt organique, placé au dessous. Elle correspond à la surface a b de la fig. 7. On remarquera que les apparences du dépôt organique ne sont pas identiques dans ces deux loges conjuguées. *Karlstein*.
10. *id.* vu par la surface inférieure, montrant une partie de la cloison et le siphon, vers lequel se dirige le bourrelet, bifurqué sur une partie de sa longueur. Le reste de la superficie est occupé par des mamelons irréguliers, moulés dans les cavités correspondantes de la surface du dépôt organique.

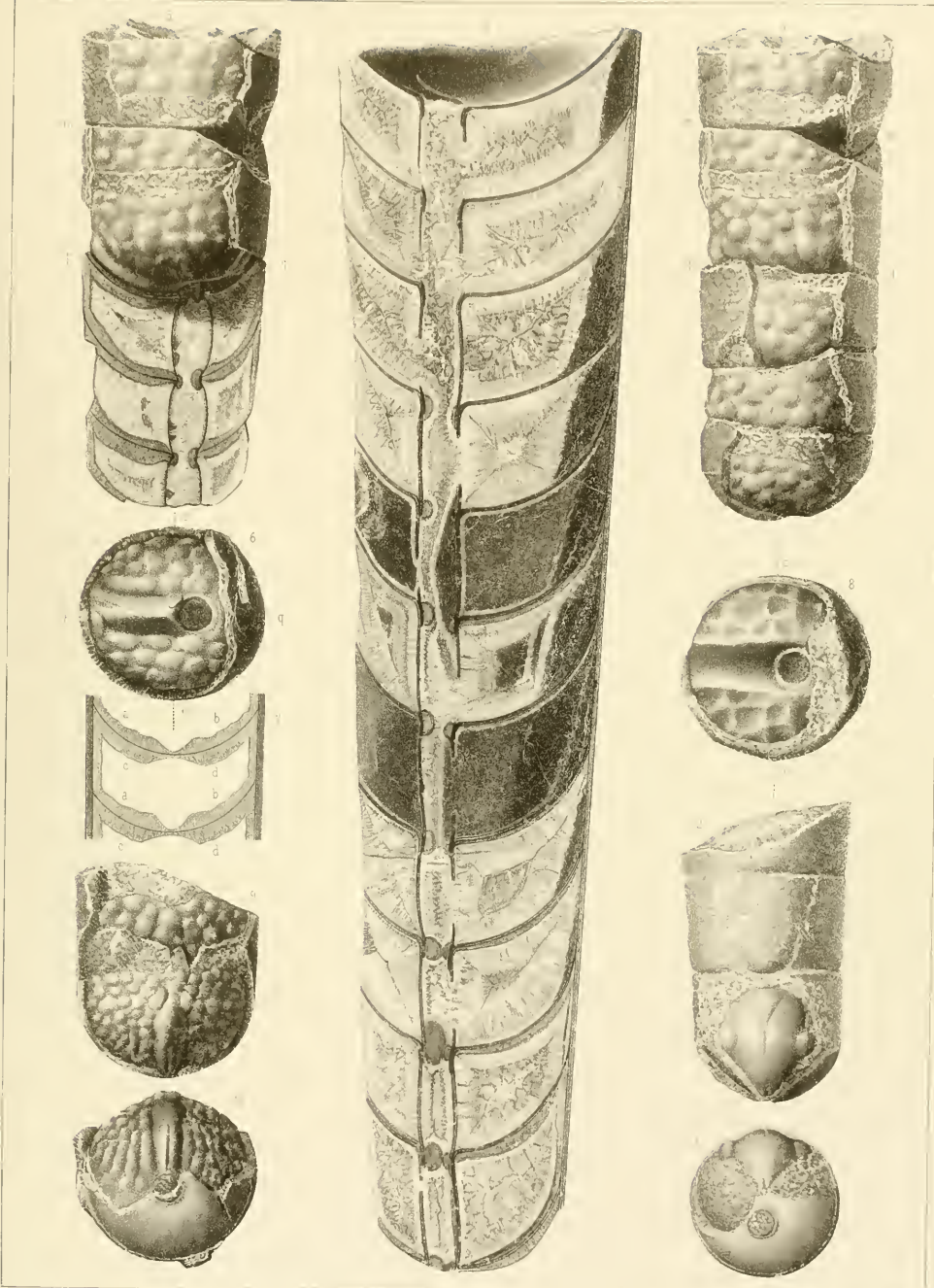






Fig.

Etage. Fig.

Etage

Remplissage des loges aériennes et du siphon par les dépôts organiques et inorganiques.

**Orthoceras pallidum.** Barr. . . . F

1. Spécimen représentant une série de loges aériennes, conservant une partie du test, sans ornements. *Konieprus*.
2. *id.* section longitudinale, montrant le siphon bien conservé, tandis que les cloisons ont été partiellement brisées. Les éléments du siphon voisins du petit bout montrent dans leur intérieur un dépôt organique, dont la teinte est presque blanche. Le reste de la cavité du siphon est rempli par la roche compacte, indiquée par la teinte grise. Les loges aériennes sont occupées, au contraire, par des dépôts de spath calcaire de nuances différentes, mais peu foncées.
3. *id.* section transverse, montrant la position faiblement excentrique du siphon.

**Orthoceras intermedium.** Marklin.

4. Fragment d'un spécimen que l'espace ne permet pas de figurer tout entier. Il représente une série de loges aériennes, dépouillées du test. *Ile de Gotthland*. Nous devons ce spécimen aux bontés de M. le Prof. Angelin, qui l'a déterminé.
5. *id.* section longitudinale du spécimen entier, montrant les cloisons et le siphon bien conservés. La forme des éléments du siphon se modifie graduellement dans la longueur de ce morceau, d'une manière analogue à celle que nous avons signalée dans *Orth. ducens*, figuré sur notre Pl. 250 et dans *Orth. imbricatum*. Wahl. ci-après Pl. 233. Nous savons aussi par M. Angelin, qu'une modification semblable a lieu dans *Orthoc. crassiretre* Wahl. de Suède. Vers le petit bout, les éléments représentent un sphéroïde notablement aplati, tandis qu'ils deviennent presque cylindriques au gros bout, en subissant un allongement graduel dans l'intervalle. Le remplissage du siphon a eu lieu, sur la moitié gauche, par la roche compacte et sur la moitié droite par des dépôts cristallins, également calcaires. Les cavités des loges aériennes sont occupées par du spath calcaire d'une teinte jaunâtre.
6. *id.* section transverse, montrant la position excentrique du siphon.

**Orthoceras temperans.** Barr. . . . E  
(voir Pl. 222—226—327.)

7. Spécimen représentant 4 loges aériennes dépouillées du test. *Viskočítka*.
8. *id.* section longitudinale, montrant les cloisons et le siphon bien conservés. Dans la partie droite des loges aériennes, on reconnaît le dépôt organique appliqué sur les deux faces des cloisons et représenté par une teinte grise. Ce dépôt n'existe pas dans la partie gauche du fossile. Toutes les parois libres des cloisons, du test et du siphon, ainsi que les surfaces du dépôt organique, sont tapissées par une couche uniforme de spath calcaire blanc. Cette couche se voit aussi dans l'intérieur du siphon. Tout le reste des cavités est rempli par un dépôt impur de calcaire cristallin.
9. *id.* section transverse, montrant la position excentrique du siphon.

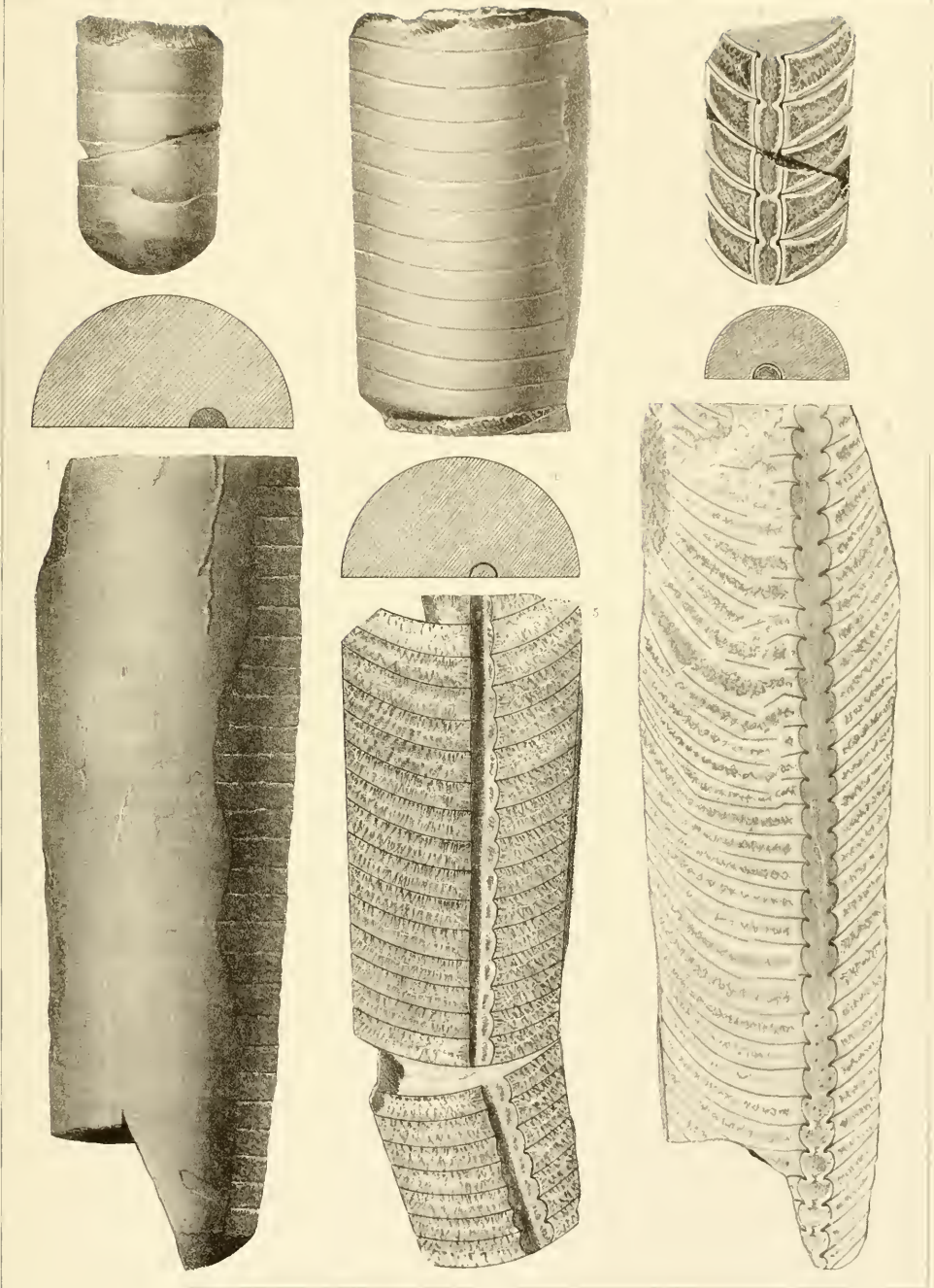






Fig.

Etage.

Les figures de cette planche sont reproduites d'après celles qui ont été publiées par Ch. Stokes et le Doct. Bigsby. Elles montrent les apparences des éléments du siphon et de leur dépôt organique, dans divers Orthocères de l'Amérique septentrionale.

### **Ornocereras Bayfieldi.** Stokes.

1. Reproduite exactement d'après la figure originale donnée par Stokes (*Geol. Trans.* 2. Sér. V. 709. Pl. 60. fig. 1.) On reconnaît les anneaux obstructeurs par leur couche externe ou dernière déposée, qui a résisté à la dissolution chimique, tandis que l'intérieur de ces mêmes anneaux a été dissous. L'enveloppe siphonale a presque totalement disparu. Le canal interne des anneaux obstructeurs est vide. Les cloisons sont marquées très-distinctement. Le remplissage des loges aériennes est conservé en grande partie. *De Drummond dans le lac Huron. Etats Unis.*

### **Huronia.** Stokes.

*distincta* B.S.M.  
K. 745

2. Reproduite exactement d'après la figure originale de Stokes (*Geol. Trans.* 2. Sér. V. 710. Pl. 60. fig. 2.) C'est la section longitudinale de l'un des siphons isolés, antérieurement nommés *Huronia* par le même savant, qui a reconnu plus tard la grande analogie de leur forme avec le siphon de *Orn. Bayfieldi*. On reconnaît aisément sur cette section la trace des anneaux obstructeurs, bien qu'elle soit en partie effacée par les réactions chimiques. On voit aussi dans l'axe du siphon la trace du canal central, irrégulier, qui restait au milieu des anneaux. Les cloisons ont totalement disparu, avant même sans doute, que le siphon fût enfermé dans la matière calcaire. *Amérique sept. Local. inconnue.*

### **Huronia.** Stokes.

3. Reproduite exactement d'après la figure originale donnée par Stokes. (*Geol. Trans.* 2. Sér. V. 710. Pl. 60. fig. 3.) C'est encore le siphon d'un Orthocère, analogue au précédent, mais appartenant évidemment par sa forme à une autre espèce. Les traces des anneaux obstructeurs sont encore plus marquées que sur la fig. 2. On voit aussi le canal central plus distinctement tracé dans toute la longueur du fossile. Il n'y a du reste aucun vestige de cloisons, ce qui prouve que le siphon était isolé avant d'être enseveli dans la roche. *Amérique sept. Localité inconnue.*

### **Actinocereras Bigsbyi.** Bronn.

4. Reproduite exactement d'après la figure donnée par le Docteur Bigsby. (*Geol. Trans.* 2. Sér. XI. 198. Pl. 25. fig. 1.) L'exemplaire figuré a servi de type au Prof. Bronn, pour la fondation du genre *Actinocereras*. (*Leth. Geogn.* 97. Pl. 1. fig. 8.) L'espèce *Actin. Bigsbyi* Bronn établie pour cette forme, devient donc maintenant *Orthoc. Bigsbyi. Bronn sp.* Après les réactions chimiques, toutes les substances d'origine organique, savoir, les cloisons et les anneaux obstructeurs, ont été dissoutes. Il n'est resté que les substances provenant du remplissage mécanique ou chimique, dans les loges à air et le siphon. De là vient l'apparence du tube interne et des rayons verticillés, qui unissent celui-ci avec les parois de l'enveloppe siphonale. *De Thessalon. Lac Huron.*

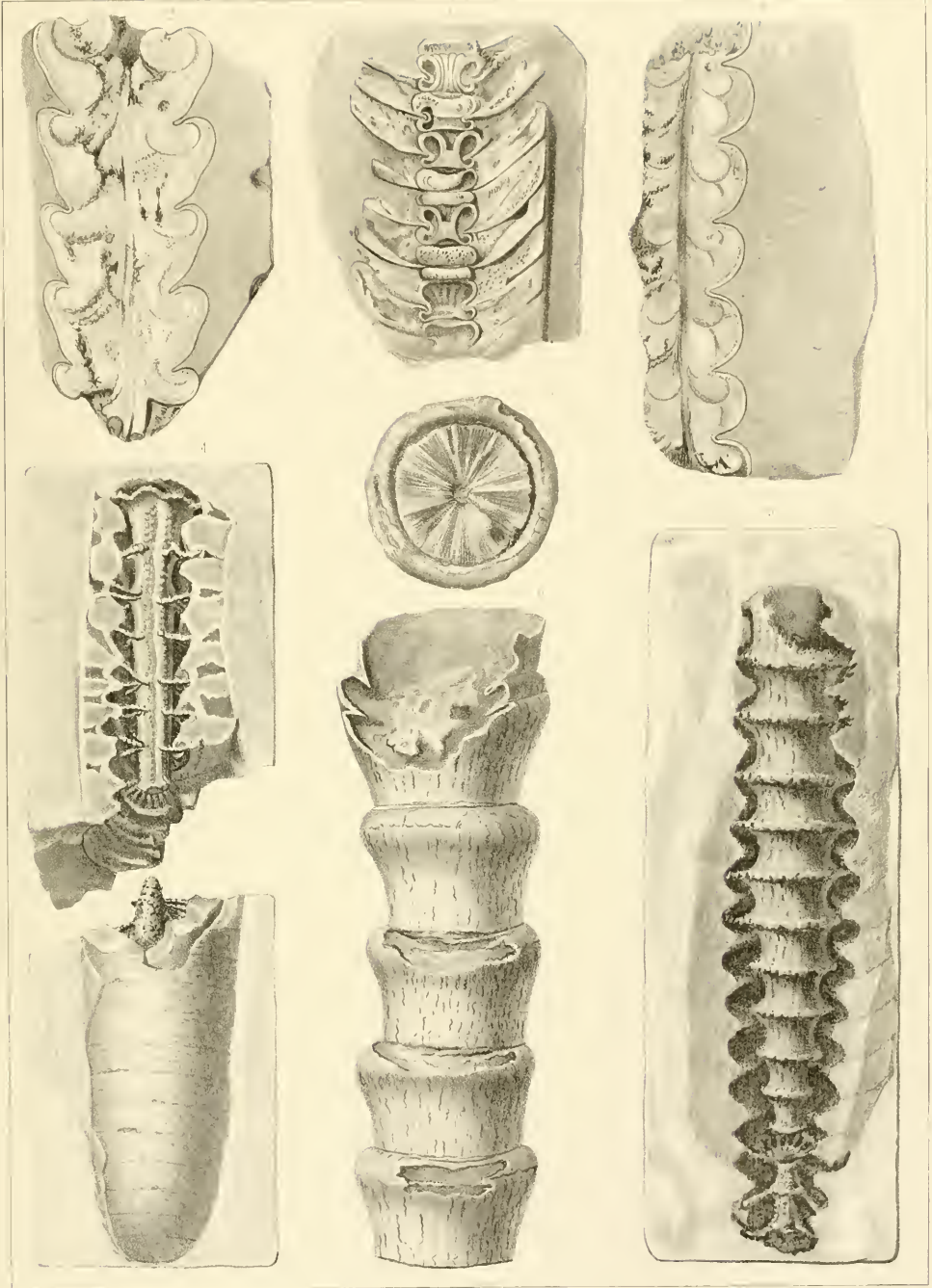
Fig.

Etage.

5. Reproduite exactement d'après la figure donnée par le Docteur Bigsby. (*Geol. Trans.* 2. Sér. I. 198. Pl. 25. fig. 2.) Cet exemplaire appartenant selon toute vraisemblance à l'espèce *Orthoc. Bigsbyi* Bronn, diffère notablement du précédent, d'après son apparence. Cette différence peut tenir uniquement, à l'âge des individus et au développement des anneaux obstructeurs, relativement moins avancé dans la figure 5. Il pourrait cependant se faire que les exemplaires comparés représentent réellement deux espèces diverses. C'est ce qui ne peut être bien décidé que par l'observation d'un grand nombre d'exemplaires. On remarquera que les actions chimiques n'ont pas été identiques sur les deux fragments, car les cloisons sont remplacées par un large vide dans la fig. 4, tandis qu'on voit leur trace linéaire dans la fig. 5. *De Thessalon. Lac Huron.*

### **Huronia vertebratis.** Stokes.

6. Reproduite exactement d'après la figure donnée par le Doct. Bigsby, sous le nom de *Huronia vertebratis*. Stokes. (*Geol. Trans.* 2. Sér. I. 202. Pl. 28. fig. 2.) C'est un siphon isolé, dont on pourrait nommer l'espèce *Orth. vertebratis* Stokes sp. Plusieurs des éléments de ce siphon étant ouverts, nous permettent de voir la roche qui remplit l'intérieur et dans laquelle on n'aperçoit qu'une trace incomplète des anneaux obstructeurs déjà à moitié effacés par les réactions chimiques. Nous reconnaissons cette trace dans l'angle rentrant qu'on voit un peu au dessous de la partie supérieure et enfilée de chaque élément. *De Drummond. Lac Huron.*
  7. Reproduite d'après le même auteur (*l. c.* fig. 6.) C'est la section transverse du siphon reproduit fig. 6. Le mémoire cité n'indique pas malheureusement en quel point d'un élément cette section a été faite. Nous serions porté à croire qu'elle représente la face de contact de deux anneaux obstructeurs contigus et que les rayons qui on aperçoit proviennent du plissement des membranes sphéroïdales, au lieu d'être la trace de lamelles longitudinales, comme l'a supposé Stokes. La figure 6 ne montre aucune trace de ces lamelles dans les parties ouvertes du fossile, et nous n'avons d'ailleurs aperçu ce mode de remplissage, dans aucun des fragments de *Huronia* qui ont passé sous nos yeux.
- N. B. Pour l'intelligence des figures de cette planche et de plusieurs autres, le lecteur est prié de consulter notre mémoire sur le *Remplissage organique du siphon*. (*Bull.* 2. Sér. XII. p. 441. 1855.)



Ilumbert lila

Imp. 8° r. de comp. 5 l. 1/2



Fig.

Etage.

Fig.

Etage.

Les figures de cette planche sont reproduites d'après celles qui ont été publiées par divers auteurs cités. Elles montrent des formes très variées des éléments du siphon dans les Orthocères, ainsi que des apparences très différentes du dépôt organique.

1. Reproduite exactement d'après la figure donnée par le Doct. Bigsby. (*Geol. Trans.* 2. Sér. 1. 204. Pl. 30. fig. 4.) *Ile Drummond, Lac Huron.*
2. Reproduite exactement d'après la figure donnée par le Doct. Bigsby. (*Ibid.* fig. 3.) *Ile Drummond, Lac Huron.*

Le Docteur Bigsby compare ces fossiles à des colonnes de disques circulaires, sans déterminer à quelle classe ils appartiennent. Il nous semble aujourd'hui évident, que ce sont des siphons d'Orthocères, qui vont en diminuant de diamètre, de bas en haut, comme dans *Orthoc. docens*. Pl. 250. Nous les avons donc placés en supposant que la pointe de l'Orthocère serait dirigée vers le bas de la planche. Nous avons cru inutile de reproduire deux autres figures analogues, données par le Docteur Bigsby sur sa Pl. 30. fig. 6 et 7, et provenant de la même localité.

### **Huronia sphaeroidalis.** Stokes.

3. Reproduite exactement d'après la figure donnée par Bigsby. (*Geol. Trans.* 2. Sér. 1. 203. Pl. 28. fig. 5.) Stokes a donné à ce fossile le nom de *Huronia sphaeroidalis*, dans l'explication des planches de Bigsby.

C'est un siphon nummuloïde, dont les éléments sont aplatis, et fortement étranglés au droit des cloisons. L'enveloppe siphonale a disparu et il ne reste que les anneaux obstruteurs. Chacun des éléments visibles nous montre vers le milieu, et au droit de sa plus grande largeur horizontale, une solution de continuité, qui indique la surface de contact des anneaux obstruteurs contigus, ou en d'autres termes, la trace du plan d'écrasement des membranes sphéroïdales, formant une sorte d'équateur dans chacun des éléments. L'élément le plus élevé étant ouvert au droit de ce plan, on y voit des plis nombreux, rayonnans, et représentant la membrane sphéroïdale déjà fortement comprimée. Le canal central est clairement marqué au centre de l'anneau obstruteur. *Amérique du Nord. Ile Drummond, Lac Huron.*

### **Huronia Portlocki.** Stokes.

4. Reproduite exactement d'après la figure donnée par Stokes. (*Geol. Trans.* 2. Sér. 1. 710. Pl. 60. fig. 5.) Ce fossile, nommé *Huronia Portlocki* par le savant cité, lui paraît cependant n'être qu'un Orthocère, et prouver que les *Huronia* ne sont réellement que des siphons isolés. Cette opinion est parfaitement fondée.

On peut concevoir la forme singulière du siphon, en admettant que, dans chacun des éléments, la partie enflée ou sphéroïdale a peu de hauteur, tandis que le goulot des cloisons est à la fois très long et très étroit. On aperçoit la trace de ce goulot dans quelques unes des chambres, mais elle est incomplète, parce que la

Fig.

partie inférieure est cachée dans la roche. Le dépôt organique aurait rempli les sphéroïdes du siphon qui montrent, comme dans la fig. 3, la trace horizontale du plan d'écrasement des membranes sphéroïdales, figurant une sorte d'équateur dans chacun des éléments. (Ile Drummond. Lac Huron.)

### **Ormoceras vertebratum.** Hall.

5. Reproduite (mais renversée) d'après la figure donnée par le Prof. J. Hall. (*Pal. of N. York. II. Pl. 29. fig. 1. c.*) Cette figure expose une section longitudinale, qui n'est pas dirigée suivant l'axe de l'Orthocère, mais qui montre très bien la forme sphéroïdale des éléments du siphon. Chacun d'eux est figuré par une ligne mince, noire, représentant l'enveloppe siphonale, tapissée à l'extérieur et à l'intérieur par une couche de silice blanche, déposée chimiquement. Leur intérieur est vide et paraît n'avoir contenu aucun dépôt organique. Une partie des cloisons, à droite de notre figure, a été conservée de même, sous la forme d'une ligne mince et noire, entre deux petites couches de silice. Au contraire, sur le côté gauche, les cloisons ont été dissoutes, en laissant un vide entre les couches siliceuses par les quelles elles avaient été déjà tapissées sur leurs deux parois, comme sur le côté droit de la même figure. (*Clinton Group — Niagara County — N. York.*)

6. Reproduite (mais renversée) d'après le Prof. J. Hall. (*Ibid. Pl. 29. fig. 1. f.*) Ce fossile, quoique appartenant à la même espèce et provenant de la même localité que le précédent, présente des apparences notablement différentes. On reconnaît cependant la forme semblable des éléments du siphon, figurée aussi par une ligne mince et noire. Du côté extérieur, cette enveloppe siphonale est recouverte par un dépôt blanc de silice, qui a aussi tapissé les deux parois de chaque cloison. C'est ce qu'on peut aisément constater, en comparant cette figure à la fig. 5. Du côté interne, la paroi du siphon est chargée par le dépôt organique, c. à d. par des anneaux obstructeurs, dont la plus grande épaisseur correspond, comme d'habitude, aux étranglements du siphon, au droit des goulots. Le canal interne est occupé par un axe plein, représentant la roche injectée dans le vide restant dans l'intérieur des anneaux obstructeurs, au moment de la mort du mollusque. Dans chaque goulot, cet axe central se contracte, tandis qu'il s'étend horizontalement sous une forme discoïde, dans chacun des éléments sphéroïdaux du siphon.

On remarque, le long de cet axe plein, de chaque côté, un vide linéaire et régulier dans toute la longueur du fossile. Ce vide a pu se produire, soit par la contraction de la vase, lorsqu'elle s'est solidifiée en roche compacte, soit plus vraisemblablement par la dissolution chimique de la dernière couche du dépôt organique, plus imprégnée de matière animale, que les couches antérieurement déposées sur le siphon.

7. Reproduite d'après le Prof. J. Hall (*Ibid. Pl. 29. fig. 1. g.*) Ce savant fait très justement remarquer, que l'axe plein, dont cette figure représente un fragment grossi, montre les rides imprimées sur sa surface par la paroi ridée de l'intérieur du siphon. Ces rides dérivent naturellement de celles que la membrane siphonale devait éprouver, à mesure qu'elle se trouvait de plus en plus resserrée par l'accroissement du dépôt organique.

Nous ferons observer, que la fig. 1. e. donnée sur la même planche, par le Prof. J. Hall, et représentant un

Etage. Fig.

Etage.

autre spécimen de la même espèce, contribue beaucoup à confirmer les interprétations que nous venons d'exposer, notamment en ce qui concerne la position des cloisons et leur dissolution, entre deux couches de silice.

### **Actinoceras.** Bronn — Saemann.

- 8.) Reproduites exactement d'après les figures données par M. L. Saemann. (*Ueb. Nautil. in Palaeontogr. III. Pl. 18. fig. 1. i.*) Ces figures sont destinées par l'auteur, à montrer la forme du tube central admis par lui dans le siphon des *Actinoceras*. Ce corps solide n'est que le remplissage du canal restant au centre des anneaux obstructeurs, lorsque ceux-ci sont arrivés au second degré de leur développement. On voit sur cet axe, sous la forme de points d'insertion, les ouvertures par lesquelles le canal central communiquait avec les plis restant vides, entre les membranes sphéroïdales comprimées.

Ces figures comparées à celles des *Ormoceras* que nous venons de reproduire, indiquent des phénomènes de même nature, avec des degrés divers d'intensité.

### **Orthoceras (de Russie).** Stokes.

10. Reproduite exactement d'après Stokes. (*Geol. Trans. 2. Sér. V. 712. Pl. 60. fig. 4.*) L'auteur cité considérait le fossile figuré comme indiquant le dédoublement des lamelles composant les cloisons. Nous avons montré, que ces apparences sont simplement dues à des couches minces de calcaire spathique blanc, qui ont tapissé toutes les surfaces internes des loges aériennes, après la mort du mollusque. La présence du dépôt organique, dans la moitié à droite du fossile, a contribué à ces apparences, en substituant ses parois à celles des cloisons. (*Bullet. 2. Sér. XVI. p. 828. 1859.*)

Comme *Orth. concors* de Bohème, Pl. 307 offre les mêmes circonstances dans son remplissage, nous aurons occasion de reproduire notre interprétation.

### **Actinoceras pyramidatum.** Mac Coy. (voir Pl. 234.)

11. Reproduite exactement d'après le Prof. M'Coy. (*Synops. Carb. foss. Irel. Pl. 1. fig. 5.*) Ce fossile nommé *Actinoe. pyramidatum* par le savant cité, montre dans sa partie supérieure, la section longitudinale de deux éléments du siphon nummulloïde, dans lesquels on reconnaît aisément les anneaux obstructeurs, la surface de contact entre eux et le canal central irrégulier, qui les traverse dans leur longueur. Les cloisons des loges aériennes ont disparu par les réactions chimiques. Les loges elles-mêmes n'ont pas été complètement remplies, et il est resté un vide, à peu près dans le milieu de chacune d'elles. L'apparence de ces vides pourrait les faire prendre pour les traces des cloisons, supprimées à doubles lamelles.
12. Section transverse du même fossile. Les 3 lignes irrégulières que le Prof. M'Coy considère comme des lamelles rayonnantes dans le siphon, ne sont réellement que des brisures. Les plissements qu'on voit à la surface des éléments entiers du siphon fig. 11, ne sont que des rides légères sur leur paroi externe.

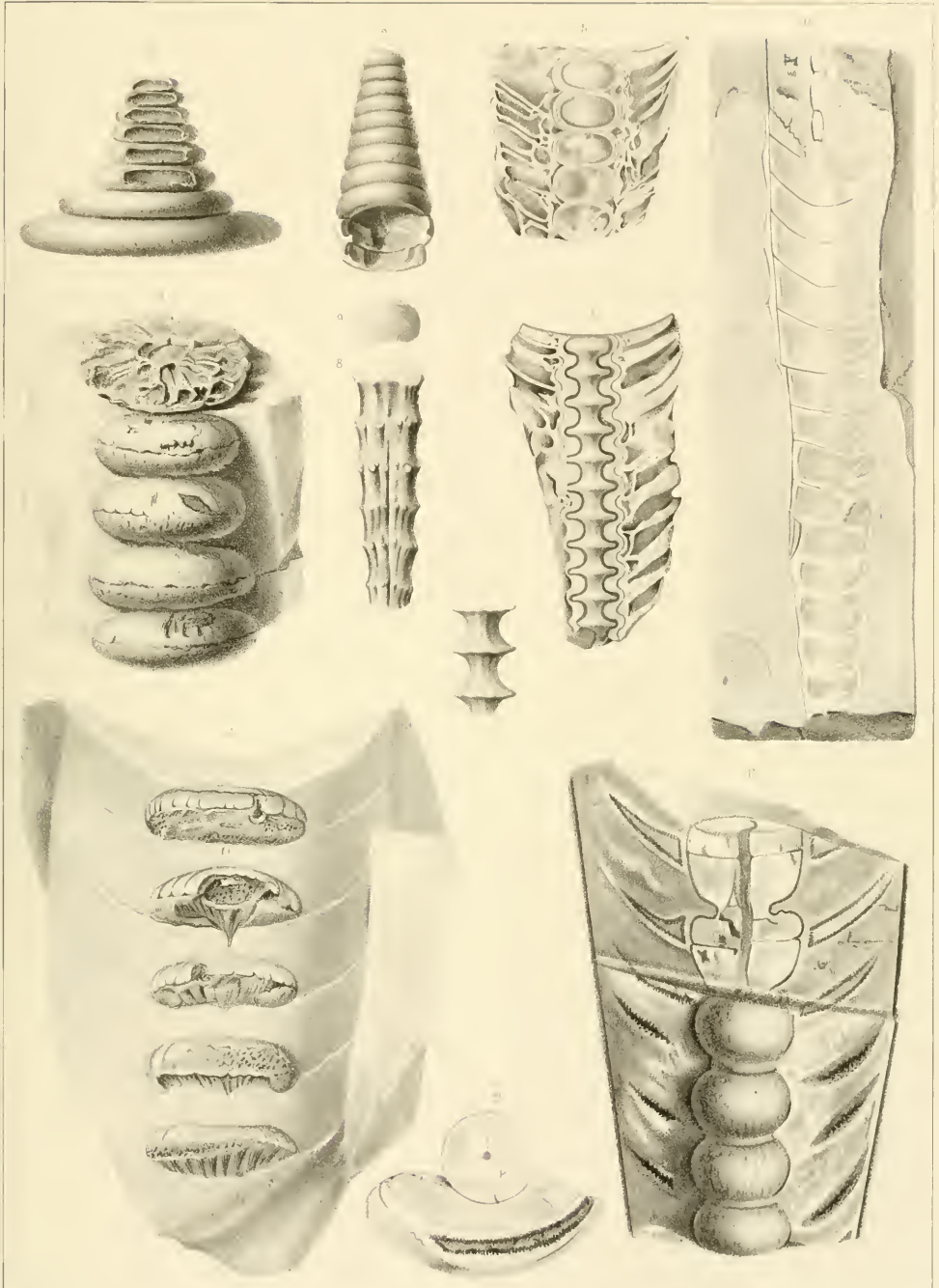






Fig.

Les Orthocères de diverses espèces, figurés sur cette planche, sont destinés à montrer les apparences des dépôts organique et inorganique, dans l'intérieur du siphon.

**Orthoceras angulatum?** Wahl.

1. Fragment vu par la surface externe, pourvue de son test. *Ile de Gothland. (Collection de M. de Verneuil.)*
2. *id.* section longitudinale par l'axe de l'Orthocère et l'axe du siphon. Les loges à air sont remplies de calcaire spathique. Le siphon, un peu excentrique et moyennement large, est au contraire rempli par le calcaire compacte, gris-jaunâtre, qui forme la roche ambiante. Au droit des étranglements de ce siphon, on voit les sections des anneaux obstrueteurs peu développés. Leur couleur foncée contraste avec celle de la roche injectée dans le canal interne.
3. *id.* trois éléments du siphon reproduits sur une échelle un peu plus que double, afin de montrer la disposition des anneaux obstrueteurs et l'apparence des couches concentriques dont ils sont formés.

**Orthoceras imbricatum.** Wahl.

(voir Pl. 228.)

4. Fragment vu par la surface externe, dépouillée de son test. *Ile de Gothland. (Collect. de Verneuil.)*
5. *id.* section longitudinale par l'axe de l'Orthocère et par celui du siphon excentrique. Les loges aériennes ont été remplies, les unes par le calcaire spathique, les autres par la roche ambiante, indiquée par une teinte plus foncée. Les éléments du siphon sont presque complètement remplis par les anneaux obstrueteurs, qui ont laissé un canal vide, non pas au centre, comme dans la plupart des espèces, mais contre le bord du siphon rapproché de l'axe de l'Orthocère. Ce canal, qui se prolonge dans toute la longueur du spécimen, a été postérieurement injecté par la vase calcaire constituant la roche ambiante, et qui contraste par sa teinte foncée, avec le dépôt d'origine organique, obstruant le reste du siphon. On voit que ce canal va en s'élargissant vers le haut du fossile.
6. *id.* trois éléments dessinés sur une échelle double, afin de montrer: 1. la forme conerétionnaire du dépôt organique. 2. la trace linéaire presque horizontale de la membrane sphéroïdale, comprimée au troisième degré et figurant une cloison vers le milieu de chaque élément. 3. Le contraste entre le dépôt organique et le calcaire compacte, figuré par une teinte foncée et remplissant le canal resté le long du bord interne du siphon.
7. Autre exemplaire de la même espèce. Section longitudinale par l'axe de l'Orthocère et celui du siphon. Le siphon montre un diamètre décroissant vers le haut, comme *Orthoc. docens*. Il est rempli par le dépôt organique, figuré par une teinte claire; mais il reste, du côté interne, un canal qui a été injecté par le calcaire compacte, formant la roche ambiante. *Ile de Gothland. (Coll. de Verneuil.)*
8. Portion centrale du même siphon, sur une échelle double, afin de montrer: 1. L'apparence du dépôt organique. 2. la trace de la membrane sphéroïdale sous la forme d'une ligne, qui figure une sorte de cloison dans chaque élément du siphon. 3. le canal placé à droite et rempli de calcaire compacte, figuré par une teinte foncée.

Etage.

Fig.

Etage.

**Orthoceras duplex.** Wahl.

(voir Pl. 236—238.)

9. Section longitudinale par un plan qui ne contient pas les axes de l'Orthocère et du siphon. Par suite de cette circonstance, le siphon ne paraît pas appliqué contre le bord de l'Orthocère. Le but proposé en figurant cette section, est de montrer que la majeure partie du siphon est remplie de calcaire spathique blanc, tandis que sa partie supérieure a été envahie par le calcaire compacte figuré par une teinte foncée et constituant la roche ambiante. La forme conique, aiguë, que présente ce moule de calcaire compacte, est représentée par divers spécimens isolés, sur notre Pl. 238. Les loges aériennes sont remplies, les unes par le même calcaire compacte et les autres par du calcaire spathique, qui a laissé un vide à l'intérieur. *Localité inconnue; probablement de Scandinavie. (Coll. de Verneuil.)*
10. Spécimen isolé du siphon de *Orthoc. duplex*. Surface externe montrant la trace oblique des cloisons sur le moule du siphon.
11. *id.* section longitudinale, montrant sur les bords le dépôt organique, sous la forme de calcaire spathique, tandis que le milieu est occupé par le calcaire compacte, moulé dans le vide laissé par la partie postérieure du mollusque.

**Orthoceras crassiventre.** Wahl.

(voir Pl. 237.)

12. Siphon isolé, vu par l'extérieur. On aperçoit à gauche la trace du bord de l'Orthocère. Sur chacun des éléments du siphon et vers le milieu de sa hauteur, on voit une série de petites ouvertures irrégulières, qui indiquent le plan d'écrasement de chaque membrane sphéroïdale. *Ile de Gothland. (Coll. de Verneuil.)*
13. *id.* section longitudinale montrant: 1. l'intérieur de tous les éléments du siphon remplis de dépôt organique, sous la forme de spath calcaire blanc. 2. le canal longitudinal étroit, excentrique et irrégulier, qui a été rempli par le calcaire compacte formant la roche ambiante et indiqué par une teinte foncée. 3. la trace linéaire de chaque membrane sphéroïdale comprimée au troisième degré. D'après la disposition de ces lignes, on peut reconnaître que le plan d'écrasement n'était pas placé de la même manière, dans chacun des éléments du siphon.

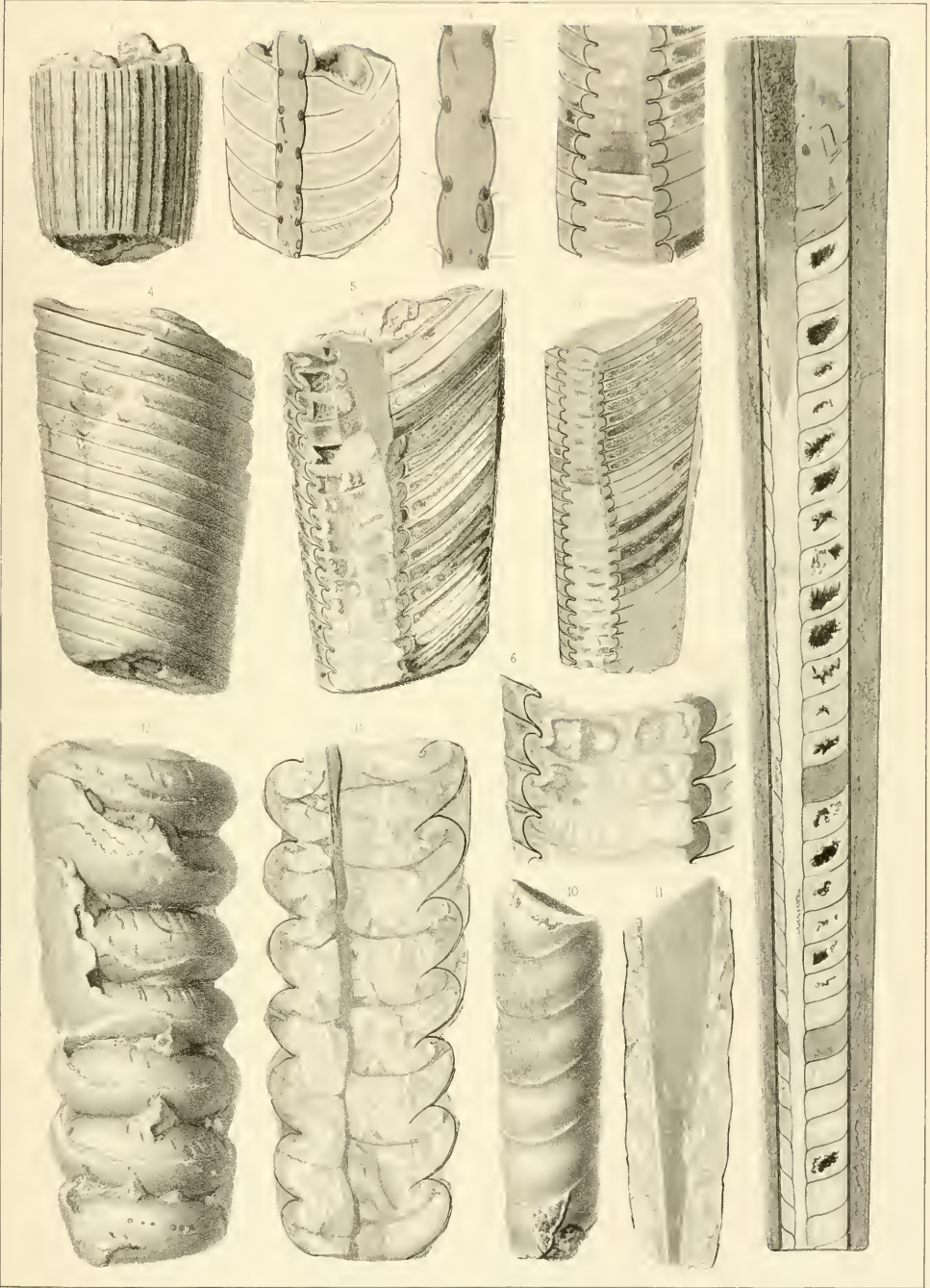






Fig.

Les spécimens figurés sur cette planche sont destinés à montrer les apparences du dépôt organique dans l'intérieur du siphon.

1. Section idéale d'un Orthocère à siphon nummuloïde, destinée à montrer les traces du remplissage organique et du remplissage mécanique ou chimique, tels que nous les reconnaissons dans l'Orthocère de l'île Manioulina, figuré au dessous. (fig. 2.) Le test externe, les cloisons et l'enveloppe siphonale, sont indiqués par de simples lignes noires. Le dépôt organique ou les anneaux obstructeurs, sont figurés par une teinte grise. La teinte blanche représente le dépôt dolomitique jaunâtre, qui a tapissé toutes les parois existantes dans la coquille devenue libre, après la mort du mollusque. On voit que ce dépôt forme une couche à peu près uniforme sur toutes les surfaces renfermant les loges à air, en laissant au milieu de celles-ci un espace, qui a été injecté plus tard par une matière vaseuse, constituant la roche ambiante, figurée par la teinte noire. Dans le canal resté vide au centre du siphon, il s'est aussi déposé une première couche dolomitique figurée en blanc et qui a pénétré entre les anneaux obstructeurs, partout où il restait entre ceux-ci, soit un intervalle vide, soit seulement de petits canaux verticillés, dans les plis. Après ce dépôt dolomitique, ce qui restait encore vide dans le canal siphonal, a été rempli par la même matière vaseuse, qui a pénétré au centre des loges aériennes. Si l'on dissout par la pensée toutes les substances d'origine organique, savoir: le test externe de la coquille, les cloisons, l'enveloppe siphonale, et les anneaux obstructeurs, il restera une figure semblable à la figure 2, en tenant compte des irrégularités que présente cette dernière dans ses vides, à cause des réactions dissolvantes et des phénomènes de cristallisation.

### *Actinoceras richardsoni?* Castelnau.

2. Exemplaire dépourvu de son test. La teinte blanche, partout où on la voit, indique un dépôt dolomitique cristallin, qui à initialement tapissé toutes les surfaces du test extérieur, des cloisons, de l'enveloppe siphonale et des anneaux obstructeurs. La teinte gris-foncé représente la matière vaseuse injectée postérieurement dans l'intérieur des loges à air et dans le canal au centre du siphon. La couleur la plus noire figure les vides qui se sont produits dans le fossile, par la dissolution des cloisons et des anneaux obstructeurs, c. à d. de toutes les substances d'origine organique. Ces vides sont plus ou moins irréguliers par l'effet des réactions chimiques. On voit que l'axe plein occupant le milieu du siphon, est formé de calcaire compacte d'origine vaseuse et recouvert extérieurement par une couche de calcaire dolomitique cristallin. Au droit de l'intervalle entre les anneaux obstructeurs, cette substance dolomitique a pénétré entre eux, sous la forme d'une nappe rayonnée (fig. 3.), dans laquelle il est encore resté quelques canaux vides verticillés, dont nous avons marqué les ouvertures par des points noirs un peu grossis, sur la figure 2, à l'endroit où chaque nappe est brisée. *De Malitoulina dans le lac Huron. (Coll. géologique du Jardin des Plantes à Paris.)* En comparant les figures 1 et 2, il faut remarquer, que cette dernière n'est pas une section suivant l'axe, mais représente seulement le fossile ouvert par un côté.
3. Section transverse dans le siphon de la figure 2, au droit d'un étranglement de l'axe central. On voit, au milieu, la section du calcaire vaseux, figuré par une teinte grise. Tout autour, est la couche de calcaire dolomitique figurée en blanc. Le reste de la figure est la projection

Etage. Fig.

Etage.

de l'extension de la nappe dolomitique entre les anneaux obstructeurs. On y voit la trace des plis rayonnants à partir de l'axe, et dont quelques uns maintiennent les vides que nous avons déjà mentionnés.

Pour plus de détails voir notre mémoire sur le dépôt organique &c. (*Bullet. 2e. Sér. T. XII. 441. 1855.*)

### *Actinoceras pyramidatum.* McCoy.

(voir Pl. 232.)

4. Section longitudinale par l'axe de l'Orthocère et celui du siphon. Les loges aériennes sont remplies, les unes par du calcaire compacte, figuré par une teinte foncée, les autres par du calcaire spathique de diverses nuances et apparences, comme provenant de dépôts successifs. Le test extérieur a disparu, mais on retrouve encore la trace de la plupart des cloisons, et surtout celle de l'enveloppe siphonale, dont les contours sont nettement dessinés. Dans l'intérieur du siphon, tout le remplissage est d'origine organique, et par conséquent, se montre sous une forme cristalline, excepté un petit canal irrégulier, qu'on voit plus ou moins marqué dans la longueur. Ce canal et quelques vides accidentels dans les éléments du siphon, sont seuls injectés par le calcaire compacte de la roche ambiante. Les anneaux obstructeurs parvenus à peu près au maximum de leur développement, remplissent tout le reste du siphon. Bien qu'ils soient plus ou moins défigurés par les réactions chimiques, on peut reconnaître presque partout les contours de leur section verticale, ainsi que les lignes qui représentent les membranes sphéroïdales, comprimées au troisième degré. On remarquera que la substance des anneaux affecte une apparence fibreuse, rayonnante, à partir de la saillie des cloisons, qui forme le centre de ces dépôts organiques. Cette apparence n'est pas assez distinctement marquée sur la figure.

Dans l'intérieur des loges aériennes, nous distinguons trois dépôts chimiques successifs, outre un dépôt vaseux, indiqués comme il suit:

Premier dépôt chimique, jaune rougeâtre, calcaire, recouvrant les deux parois de diverses cloisons, sur lesquelles il est irrégulièrement distribué. Il est figuré par une teinte foncée, indiquée sur quelques cloisons par a—a. (N. B. la lettre a vers le sommet de la figure, à gauche, doit être effacée.)

Second dépôt chimique de spath calcaire blanc, tapissant toutes les parois des loges aériennes, ainsi que la surface du premier dépôt, partout où il existe. Ce second dépôt est figuré par une petite bande blanche, indiquée en divers points par b—b.

Troisième dépôt chimique, calcaire, formé de cristaux rayonnants, de couleur fauve. Il existe dans l'intérieur de la plupart des loges à air et il se voit surtout très facilement dans celles qui sont indiquées par (E—E) (0—0.)

Le dépôt vaseux qui a été injecté dans les vides internes, après les dépôts chimiques, est un calcaire rouge, figuré par une teinte noire, comme dans les loges M—N.

Durant la fossilisation, diverses cloisons ont été brisées, ainsi que le dépôt blanc b—b qui les recouvrait: Elles sont indiquées par les lettres F—G—H—K—L. Mais les brisures n'ont pas été clairement indiquées sur la figure. (*Irlande — calcaire carbonifère.*) (*Coll. de Verneuil.*)

5. Section transverse de l'exemplaire ci-dessus, au point le plus élevé. On voit, au centre, la section d'un élément du siphon et la trace du canal central, rempli de calcaire compacte. Les cercles concentriques sont les sections des cloisons. Les espaces qui les séparent sont remplis de calcaire cristallin, d'apparence fibreuse.

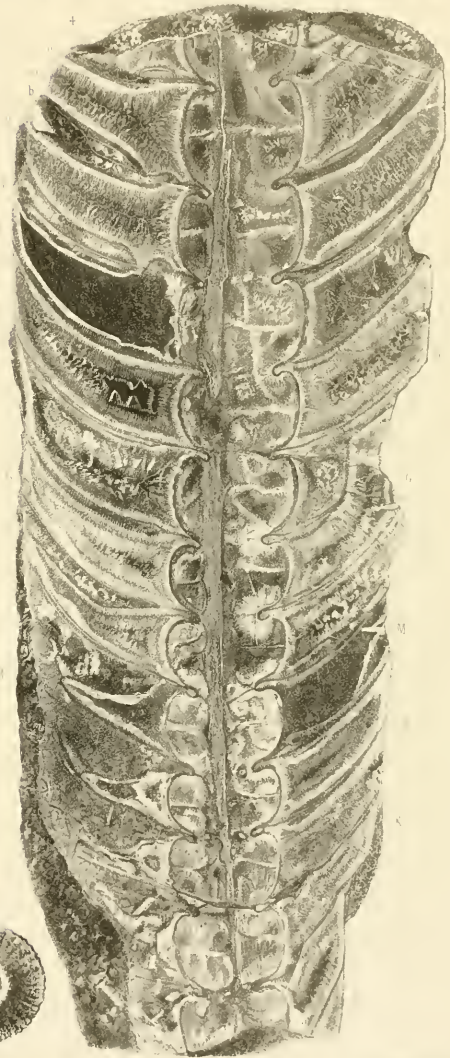
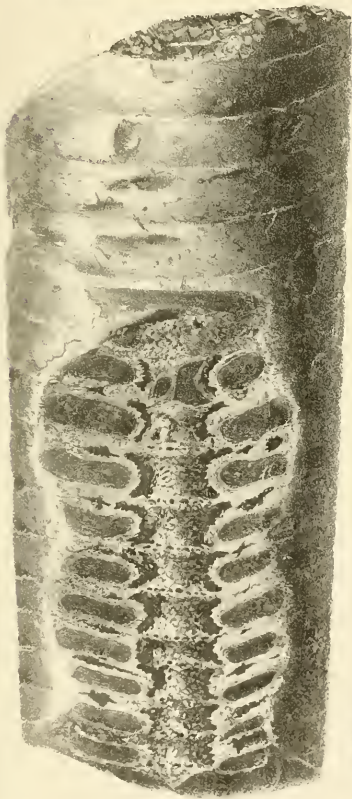
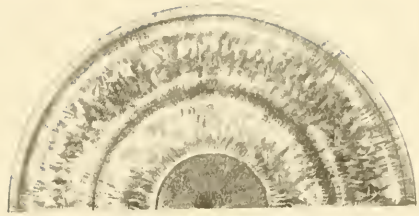
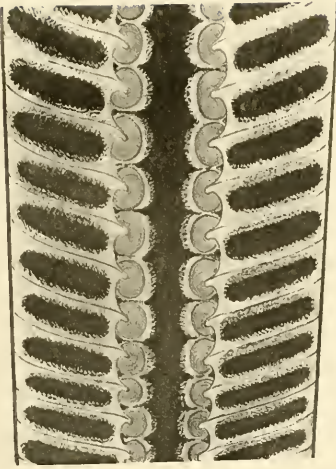






Fig.

Les spécimens figurés sur cette planche sont destinés à montrer les apparences du dépôt organique dans l'intérieur du siphon.

**Orthoceras Laumonti.** Barr.

1. Fragment dépouillé du test et vu par le côté externe. *Localité inconnue; probablement Néhou en Normandie. Dévonien. (Coll. zoologique du Jardin des Plantes à Paris.)*
2. *id.* section longitudinale par l'axe du siphon qui est central. Les éléments du siphon, qui n'ont qu'un médiocre diamètre, sont un peu étranglés au droit de chaque cloison. On voit dans chacun de ces étranglements, la section d'un certain nombre de lamelles, qui ne s'étendent pas dans toute la longueur des éléments. Cette disposition particulière correspond à celle des anneaux obstrucleurs isolés, dans les siphons cylindroïdes. Nous la retrouvons dans *Gomphoc. Verneuli* Barr. Pl. 71 et dans *Cyrtoc. lentigradum* Barr. Pl. 137. *xc. &c.*
3. *id.* section transverse, vers le bas du fragment.

**Orthoceras Puzosi?** Barr.

(voir Pl. 211.)

4. Section longitudinale d'un fragment qui montre les cloisons, le siphon nummuloïde, les anneaux obstrucleurs séparés par des lignes transverses, figurant les membranes sphéroïdes comprimées au troisième degré et enfin le canal central qui traverse ces anneaux dans le sens longitudinal du fossile. *Néhou en Normandie. Dévonien. (Coll. de l'École des Mines. Paris.)*
5. *id.* surface de la cloison la plus élevée. L'élément du siphon qui forme saillie au milieu, offre quelques traces de plissement, purement extérieures, et qui n'annoncent point l'existence de lamelles rayonnantes.

Etage. Fig

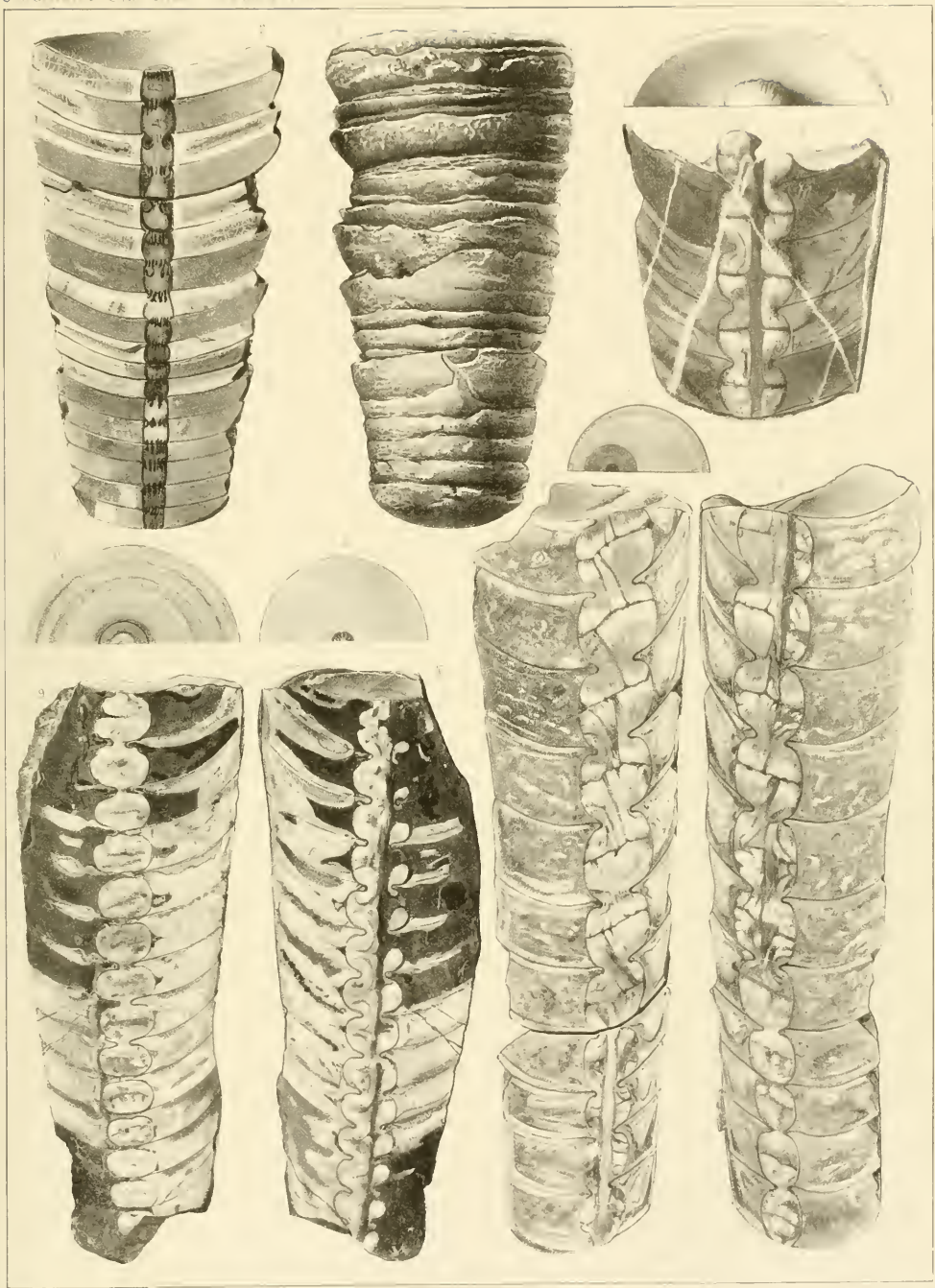
Etage.

**Orthoceras giganteum.** Sow.

- 6.) Section longitudinale par l'axe du siphon et à peu près par celui de l'Orthocère. On distingue très-bien le remplissage des loges aériennes formé par le calcaire compacte. Les cloisons sont nettement tracées, ainsi que les contours de l'enveloppe siphonale. Malgré certaines irrégularités, on reconnaît dans le siphon les sections des anneaux obstrucleurs, fortement serrés les uns contre les autres, de sorte que la trace de la membrane sphéroïdale est réduite à une ligne oblique, vers le milieu de chacun des éléments. En comparant les deux moitiés du fossile, on voit qu'il existait encore au centre des anneaux, un canal longitudinal irrégulier et étroit. *Visé en Belgique. Carbonifère. (Coll. de l'École des Mines. Paris.)*
8. *id.* section transverse vers le bas du fossile.

**Orthoceras indéterminé.**

- 9.) Section longitudinale dans laquelle on reconnaît: 1. le remplissage des loges aériennes en partie par le calcaire compacte et en partie par le calcaire cristallin antérieurement déposé. 2. Les éléments nummuloïdes du siphon, remplis par les anneaux obstrucleurs, sous la forme de calcaire spathique et traversés dans toute leur longueur, par un canal irrégulier, injecté par le calcaire compacte. *Elbersreuth. Franconie. Silurien. (Coll. de l'École des Mines à Paris.)*
11. *id.* section transverse vers l'extrémité supérieure du fragment.







[The main body of the page contains extremely faint and illegible text, likely bleed-through from the reverse side of the paper. The text is arranged in several columns and appears to be a historical or legal document.]

Fig.

Etage.

Fig.

Etage.

Les spécimens figurés sur cette planche sont destinés à montrer les apparences du dépôt organique dans le siphon des Orthocères du groupe des *Vaginati* de l'Europe et des *Endoceras* d'Amérique. Pénétration accidentelle d'Orthocères dans les larges siphons.

### **Orthoceras duplex.** Wahl.

(voir Pl. 233—238.)

1. Fragment brisé de manière à montrer la paroi interne du siphon. On y reconnaît les goulots pénétrant les uns dans les autres. *Bords de la Popovka. Russie. Silurien inférieur. (Coll. de l'École des Mines, à Paris.)*
2. *id.* section longitudinale, montrant la manière dont les goulots des cloisons s'ajustent l'un dans l'autre. Le siphon est supposé à gauche de la figure.
3. Autre spécimen. Section longitudinale par l'axe de l'Orthocère et à peu près par celui du siphon. Les cloisons bien marquées par des lignes noires, s'aperçoivent à droite, parce que la section ne passe pas exactement par la ligne contact entre le siphon et la coquille externe. On voit la section de celle-ci, figurée par deux lignes, correspondant aux deux lamelles qui la composent. Les goulots des cloisons pénètrent chacun à peu près d'un tiers dans la longueur du goulot suivant et on voit une inflexion vers le milieu de chacun d'eux. Les loges à air comme le siphon, sont remplis de calcaire compacte, d'apparence un peu variable. Le siphon renferme les débris de deux Orthocères. Le fragment le plus long, placé à droite, montre la trace d'anneaux rapprochés, comme ceux de *Orth. trochlearis*; et l'on reconnaît son siphon marginal, un peu saillant à l'extrémité. L'autre fragment, placé à gauche et un peu plus bas, ne montre dans sa section, aucun caractère distinctif; cependant on aperçoit au petit bout la saillie du siphon. On ne saurait attribuer qu'au hasard, l'introduction de ces fragments hétérogènes, dans la partie du siphon restée vide après la mort du mollusque. Le morceau figuré a dû appartenir à la partie supérieure d'une coquille, et il n'est pas assez long pour nous montrer le dépôt organique placé plus bas dans le siphon. *Bords de la Popovka. Russie. Silur. infér. (Coll. de l'École des Mines, à Paris.)*
4. *id.* section transverse vers le bas du fossile, montrant la position du siphon.
5. Autre spécimen. Section longitudinale d'un fragment qui montre les cloisons avec leurs goulots invaginés. Les loges à air sont remplies d'un calcaire compacte rouge brun, qui contraste avec le calcaire spathique blanc, représentant le remplissage organique dans le siphon. Au sommet de celui-ci, on aperçoit la pointe du cône formé par le remplissage mécanique c. à d. par le calcaire compacte. *Localité inconnue. Suède. Silur. infér. (Coll. de Verneuil.)*
6. *id.* section transverse vers le haut du fossile, montrant la position du siphon.
7. Autre spécimen. Section longitudinale d'un fragment dans lequel le siphon montre à la fois le dépôt organique, figuré par les teintes blanchâtres, et le remplissage mécanique de calcaire compacte, représenté par une teinte grise. Ce calcaire est le même qui remplit les loges à air. *Localité inconnue. Suède. Silur. infér. (Coll. de Verneuil.)*
8. *id.* section transverse vers le bas du fossile, montrant la position du siphon.

### **Endoceras indéterminé.**

9. Section longitudinale d'un fragment du siphon d'un très-grand exemplaire. À droite et à gauche les teintes blanchâtres indiquent le calcaire spathique, d'origine organique. On peut remarquer, que l'épaisseur de ce dépôt va en diminuant de bas en haut. On y reconnaît aussi la trace de plusieurs gaines à peu près concentriques, qui sont encore plus distinctes sur la section transverse fig. 10. Dans l'intérieur du dépôt spathique, est une masse de calcaire compacte impur, mêlé de divers débris et provenant du remplissage mécanique de cette cavité, après la mort du mollusque. *Etats-Unis. Silur. infér. (Coll. de Verneuil.)*
10. *id.* section transverse vers le bas du fossile. On y remarque des vides irréguliers entre les gaines spathiques, sub-concentriques et plus ou moins inégales dans leur épaisseur.

### **Endoceras longissimum?** Hall.

11. Fragment du siphon d'un individu très-développé. On y distingue plusieurs gaines emboîtées l'une dans l'autre, et composées également de calcaire spathique, représentant le dépôt organique. Ces gaines ne sont pas exactement concentriques, et il existe entre elles des vides irréguliers, tapissés de cristaux. L'épaisseur de toutes les gaines va en diminuant de bas en haut. Dans le vide de la gaine interne, se trouvait encore une autre gaine représentée à part (fig. 13.), parce qu'elle n'était pas bien fixée. La partie supérieure du fossile est remplie de calcaire compacte, dont nous ne pouvons juger l'extension dans l'intérieur. Ce fait indiquerait que le fossile se trouvait à l'état de fragment, avant d'être enseveli dans la roche. Cette opinion est confirmée par l'apparence lisse de la surface externe, sur laquelle toute trace des cloisons a disparu, soit par le frottement, soit par la chute d'une autre gaine extérieure. *Etats-Unis. Silur. infér. (Coll. Zoologique du Jardin des Plantes, à Paris.)*
12. *id.* section transverse à peu près vers le milieu de la longueur du fossile. On a supprimé la gaine interne (fig. 13.).
13. *id.* gaine interne détachée. Sa surface est hérissée de cristaux saillants.
14. *id.* vu par le haut.
15. *id.* vu par le petit bout. Ces deux figures montrent la forme irrégulière de cette gaine.

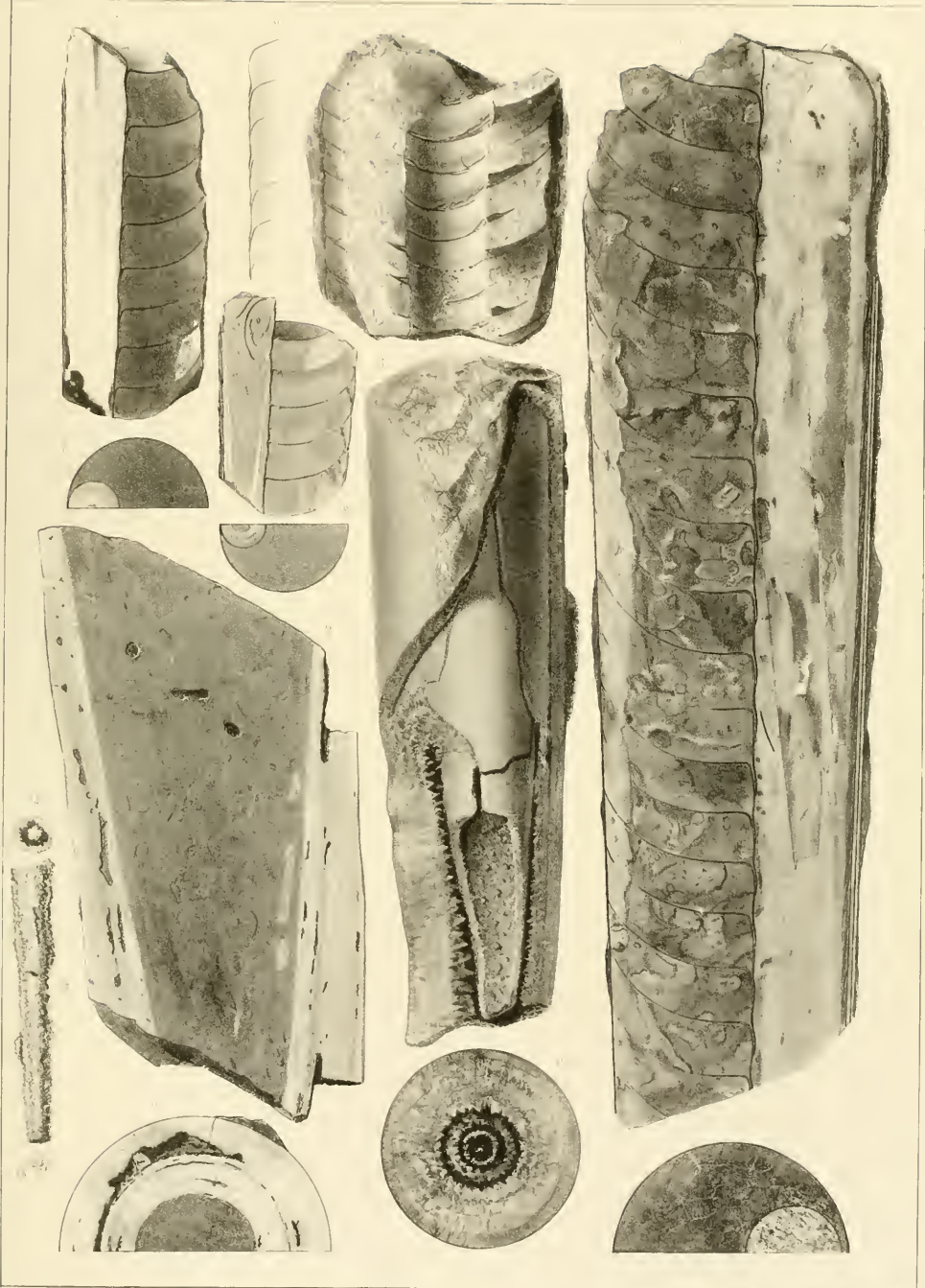






Fig.

Etage.

Fig.

Etage.

Les spécimens figurés sur cette planche sont destinés à montrer diverses apparences du dépôt organique dans le siphon des *Orthocères*.

### *Ormoceras vertebratum*. Hall.

1. Fragment usé par le temps et montrant une sorte de section longitudinale. Les cloisons et l'enveloppe siphonale sont distinctement marquées. Les loges à air sont remplies de calcaire compacte impur, semblable à celui de la roche ambiante. Dans le siphon, on distingue les anneaux obstructeurs, formés de calcaire spathique, en petits cristaux, qui lui donnent une apparence grenue. Dans les éléments inférieurs, ces anneaux offrent un volume plus grand que dans les éléments supérieurs, mais dans toute la longueur du fossile, on peut distinguer aisément leur séparation, bien qu'elle se réduise à une ligne, vers le bas. Au centre des anneaux, reste un canal injecté par le calcaire compacte et pénétrant horizontalement par ses expansions dans les intervalles du dépôt organique. *Lockport. Clinton group. Silur. supér. Etats-Unis. (Coll. géologique du Jardin des Plantes, à Paris.)*
2. *id.* fragment grossi, représentant la partie médiane du fossile. On y reconnaît avec plus de détail et d'exactitude, le tracé des cloisons, de l'enveloppe siphonale, des anneaux obstructeurs et le remplissage mécanique par le calcaire compacte. On remarquera aussi, que les parois de chaque loge à air ont été tapissées uniformément par une couche de calcaire spathique, avant la pénétration de la matière vaseuse, qui a rempli leur intérieur.
3. Autre spécimen usé par les intempéries et offrant une section longitudinale. On y distingue: 1. les traces des cloisons et de l'enveloppe siphonale sous une forme linéaire. 2. Les loges aériennes, remplies de calcaire compacte. 3. Les anneaux obstructeurs très-développés dans le siphon, et composés de calcaire cristallin. Ils montrent la trace des diverses couches sub-concentriques dont ils sont formés et qui ont plus ou moins résisté à la décomposition. 4. Au centre du siphon existe un canal longitudinal, rempli de calcaire compacte et qui offre des expansions, au droit de la ligne de contact des anneaux. Si on compare cette figure avec celle de *Ormoc. Bayfieldi* Stokes, reproduite ci-dessus (Pl. 231 fig. 1), on reconnaîtra entre elles la plus grande analogie. Seulement, le canal central et les anneaux obstructeurs ne sont pas vides dans le fossile qui nous occupe, comme dans celui qui a donné lieu à la fondation du genre *Ormoceras*. *Lockport. Clinton Group. Silur. supér. Etats-Unis. (Coll. de Verneuil.)*
4. *id.* fragment grossi montrant plus en détail la structure du fossile. On y voit que les cloisons et l'enveloppe siphonale, dans chaque loge, avaient été recouverts d'une couche cristalline blanche avant la pénétration du calcaire compacte. A cette circonstance il faut attribuer la dissolution des cloisons sur la plus grande partie de leur longueur, et la formation d'un vide à leur place, comme dans *Actinoc. Richardsoni*? Casteln. (Pl. 234 fig. 2.) Il ne reste en effet de la substance des cloisons, que la portion qui avoisine le siphon, et qui se montre sous la forme d'une ligne mince et noire.

### *Ormoceras tenuifitum*. Hall.

- 5.) Ces deux spécimens provenant d'une même localité,
- 6.) reproduisent exactement les mêmes circonstances. Leur section longitudinale passant à peu près par l'axe du

siphon, dans des directions horizontales différentes, nous montre: 1. les cloisons chargées d'un dépôt cristallin tantôt d'un seul côté, c. à d. sur leur paroi supérieure, comme dans la fig. 6 et tantôt sur les deux parois opposées, comme dans la fig. 5. Ce dépôt paraît être d'origine organique. 2. Les loges aériennes remplies de calcaire compacte noir. 3. l'enveloppe siphonale nettement tracée. 4. les anneaux obstructeurs, très-développés, surtout vers le bas, et représentés par du calcaire spathique blanc. 5. la trace des membranes sphéroïdales très-comprimées, et réduite à une ligne noirâtre, séparant les anneaux. 6. le canal interne injecté par le calcaire compacte noir. Ces fossiles offrent la plus grande analogie, sous le rapport de leur remplissage, avec *Orthoc. docens* (Pl. 250). *Watertown. Black River limestone. Etats-Unis. Silur. supér. (Coll. de Verneuil.)*

7. Autre spécimen décomposé et montrant un remplissage tout différent de celui des deux exemplaires fig. 5 et 6. Les cloisons ont disparu par l'effet des réactions chimiques, après un premier dépôt cristallin, qui a eu lieu sur leurs deux parois. Le vide produit par cette dissolution a été postérieurement rempli par du calcaire spathique, ainsi que l'intérieur des loges à air. Quelques unes de celles-ci sont occupées par un dépôt siliceux, figuré par les teintes les plus blanches. Le siphon coupé obliquement dans sa longueur, nous montre le dépôt organique sous la forme de calcaire cristallin blanc. Dans la partie supérieure, ouverte jusqu'à l'axe, on voit que le canal au centre des anneaux obstructeurs est rempli par le calcaire compacte, noir, de la roche ambiante. Les autres éléments du siphon, dans lesquels la surface externe des anneaux est plus ou moins entamée, nous permettent de voir les ouvertures des petits canaux verticillés, provenant des plis de la membrane sphéroïdale fortement comprimée. Ces petits orifices indiqués par des points noirs, forment une ligne transverse à peu près vers le milieu de chaque élément. *Watertown. Black River Limestone. Silur. supér. Etats-Unis. (Coll. de Verneuil.)*

N. B. On peut comparer aux *Ormoceras* figurés sur cette planche, *Ormoc. vertebratum* Hall, dont nous avons reproduit quelques figures sur la Pl. 232.

### *Orthoceras crassiventre*? Wahl.

(voir Pl. 233.)

8. Siphon isolé, vu par la surface externe, dépouillée de son test. Sur chacun des éléments, du côté droit de la figure, on voit une ligne creuse, qui est la trace du plan d'écrasement de la membrane sphéroïdale. Cette ligne est très-oblique et disparaît dans la partie supérieure des éléments. *Île de Gothland. Silur. supér. (Coll. Bronquist.)*
9. *id.* section longitudinale suivant l'axe. Tout l'intérieur du siphon est rempli de calcaire spathique, provenant du dépôt organique, mais laissant quelques vides. Il ne reste à travers ces anneaux, qu'un canal étroit, placé très-près du bord à gauche de la figure et rempli de calcaire compacte. La trace des membranes sphéroïdales est réduite à une ligne blanche, qui à l'air d'un cloison transverse dans chaque élément.
10. Section transverse du fossile, vers le milieu de sa longueur.

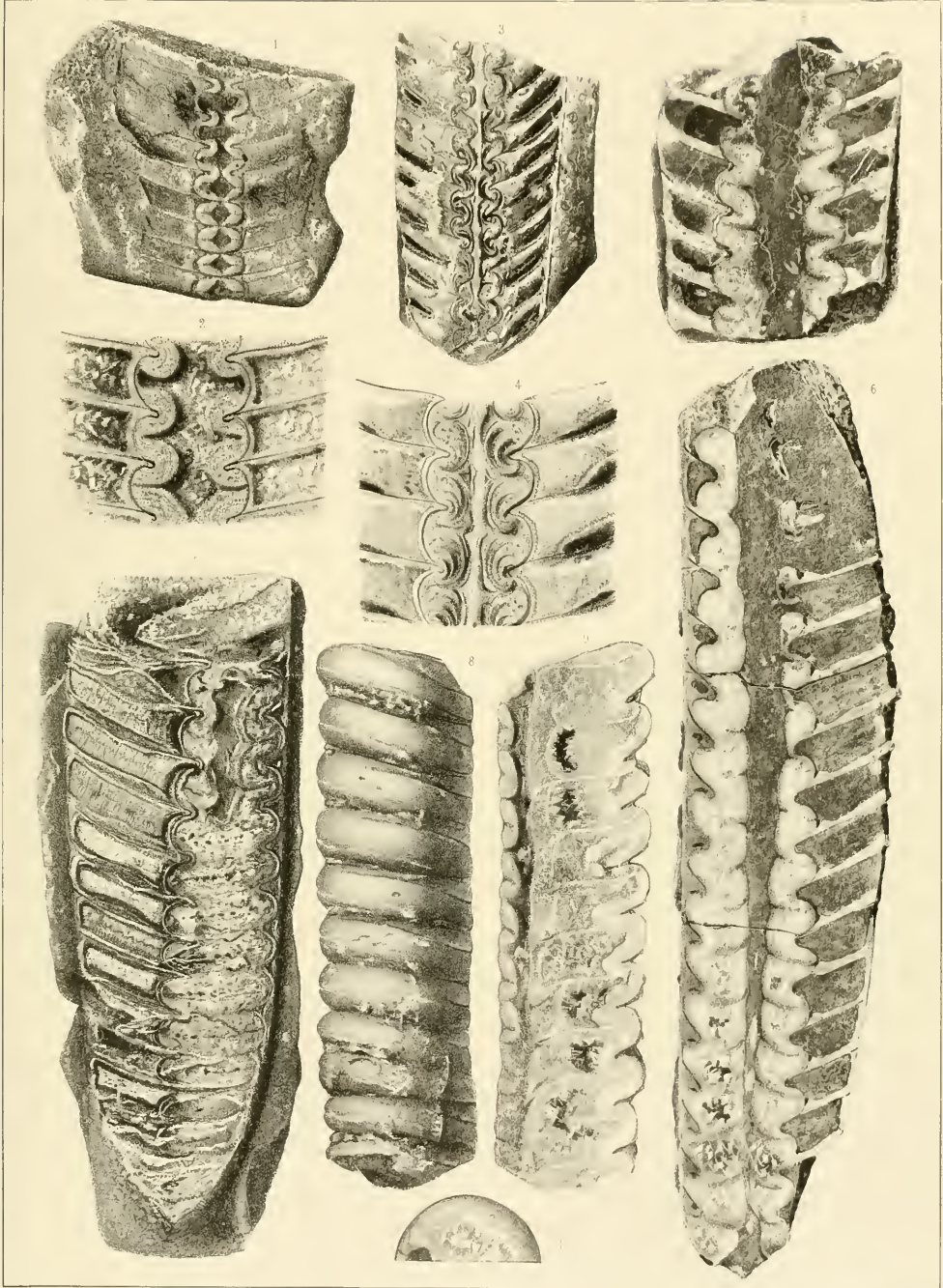






Fig.

Etage.

Tous les fossiles figurés sur cette planche sont destinés à montrer les apparences relatives au siphon des *Orthocères Vaginati* du Nord de l'Europe. Les originaux appartiennent tous à la collection de M. de Verneuil.

1. Moule de calcaire compacte, formé dans la cavité conique, occupée par la partie postérieure du mollusque, dans le siphon d'un *Orthocère* du groupe des *Vaginati*. *Environs de St. Pétersbourg. Silur. infér.*
2. *id.* section transverse.
3. Autre moule de même origine. La section transverse est sub-quadrangulaire et sur chacun des angles du fossile, on voit une carène saillante ou une rainure. *Environs de St. Pétersbourg. Silur. infér.*
4. *id.* section transverse.
5. Autre moule de même origine, montrant une rainure prononcée sur l'un de ses angles. *Environs de St. Pétersbourg. Silur. infér.*
6. *id.* section transverse.
7. Autre moule de même origine et dont la surface est un peu raboteuse. *Environs de St. Pétersbourg. Silur. infér.*
8. *id.* section transverse.
9. Autre moule de même origine, mais très-disinct de tous les autres par les impressions annulaires très-obliques qu'on voit sur sa surface. Ces impressions reproduisent la forme du siphon dans une étendue où le dépôt organique était trop mince pour effacer les ondulations de la surface siphonale. Vers l'extrémité, on voit une carène logée dans une rainure, laquelle représente un pli dans l'enveloppe du mollusque. *Environs de St. Pétersbourg. Silur. infér.*
10. *id.* vu par une des faces latérales.
11. *id.* section transverse.

#### ***Orthoceras trochleare.*** His.

12. Fragment vu du côté du siphon, conservant son test vers la gauche et montrant les bords des cloisons vers la droite. On reconnaît les courbes arrondies par lesquelles se termine de chaque côté le remplissage mécanique des loges à air, au droit de la ligne de contact entre le siphon et la coquille externe. L'intervalle entre ces courbes est la surface de contact. *Suède. Silur. infér.*
13. *id.* section transverse vers le bas du fossile.

#### ***Orthoceras duplex.*** Wahl.

14. Fragment représenté du côté du siphon. *Suède. Silur. infér.*
15. *id.* grossi en partie, afin de mieux montrer la disposition du siphon, des cloisons et du remplissage des loges à air.
16. Fragment du même individu, montrant les mêmes détails.
17. *id.* section transverse vers le bas.
18. Moule interne appartenant probablement au siphon de *Orthoc. duplex.* Wahl, figuré par la face de contact avec le test de la coquille. *Reval. Esthonie. Silur. infér.*
19. *id.* vu par le gros bout et montrant une enveloppe annulaire de calcaire spathique d'origine organique, tandis que l'intérieur est rempli de calcaire compacte.

Fig.

Etage.

20. Même espèce. Moule du siphon vu par le côté le plus rapproché du centre de l'*Orthocère*. *Environs de St. Pétersbourg. Silur. infér.*
21. *id.* section transverse vers le bas du fossile.
22. Siphon isolé d'une espèce inconnue, peut-être de *Orth. trochleare*. Moule interne vu de côté. *Environs de St. Pétersbourg. Silur. infér.*
23. *id.* vu par la face appliquée contre le test de l'*Orthocère*. La paroi de contact est plane et bien marquée sur le moule.
24. *id.* section transverse montrant l'aplatissement au point de contact.
25. Siphon isolé. Espèce inconnue. Moule interne vu de côté. Son apparence montre que les cloisons sont très-rapprochées. *Environs de St. Pétersbourg. Silur. infér.*
26. *id.* vu par la face de contact avec le test de l'*Orthocère*.
27. *id.* section transverse, elliptique, aplatie, correspondant à la figure 26.
28. Siphon isolé. Espèce inconnue. Moule interne vu par la face de contact avec l'*Orthocère*, dont une partie du test est restée appliquée sur le siphon. *Environs de St. Pétersbourg. Silur. infér.*
29. *id.* vu de côté. On remarque un renflement du siphon entre les cloisons.
30. *id.* section transverse, dont la position correspond à celle de la fig. 28. On voit au milieu la trace du canal central resté vide après le remplissage organique, qui occupe tout le reste du moule. Cette trace a été oubliée sur la figure.
31. Siphon isolé. Espèce inconnue. Moule interne remarquable parcequ'il présente une double trace oblique, correspondant aux extrémités des goulots. *Environs de St. Pétersbourg. Silur. infér.*
32. *id.* section transverse.
33. Fragment déjà figuré par M. de Verneuil (*Russie et Oural vol. II. Pl. 24. fig. 7.*), sous le nom de *Orth. duplex*. La forme du siphon nous semble indiquer une espèce différente encore inconnue. La figure montre une partie des cloisons et fait concevoir comment elles se replioient pour former les goulots invaginés. Il reste sur le moule du siphon divers fragments des goulots, indiqués par une teinte un peu plus foncée, tandis que la courbe suivant laquelle se termine chacun d'eux est marqué par une ligne blanche, correspondant à une légère saillie sur le moule. *Environs de St. Pétersbourg. Silur. infér.*
34. *id.* vu par l'autre côté et montrant, à gauche, la ligne de contact entre le test de l'*Orthocère* et le siphon.
35. *id.* section transverse dont la position correspond à celle de la fig. 34.
36. Section longitudinale suivant le plan indiqué fig. 35 par la ligne a b et passant à la fois par la ligne de contact et l'axe du siphon. On voit que chaque goulot pénètre jusqu'aux deux tiers de la longueur du goulot suivant. Dans notre texte, nous expliquons une apparence qui a fait supposer une pénétration beaucoup plus prolongée des goulots.

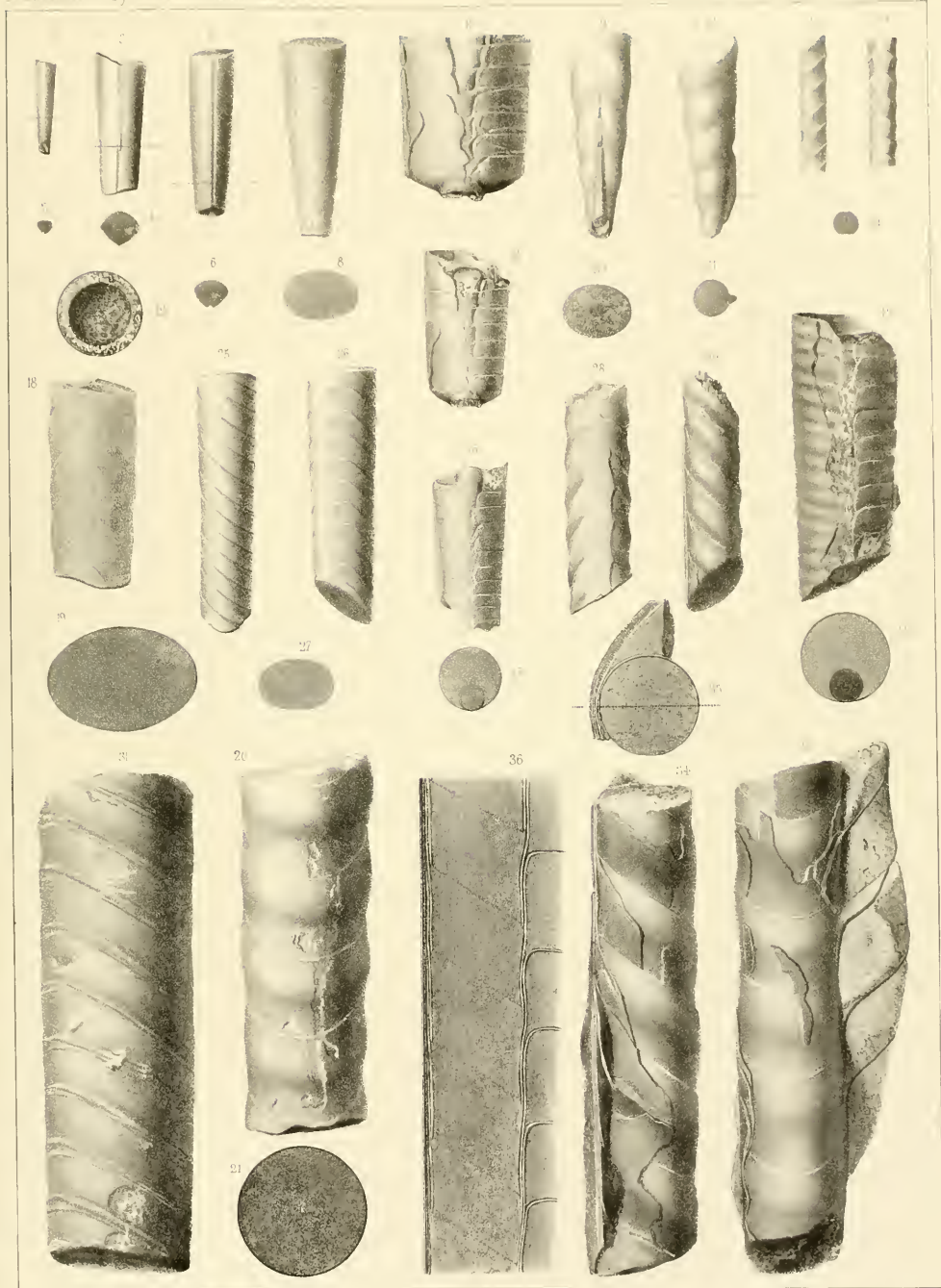






Fig.

Etage.

Les spécimens figurés sur cette planche sont destinés à montrer divers accidens relatifs à la structure des cloisons, à l'état de conservation, à la pénétration fournie d'une coquille dans une autre, &c. Comparer les Pl. 209 à 218 &c.

- Orthoceras Sinoï.** Barr. . . . . E
1. Fragment de calcaire argileux présentant deux empreintes, qui paraissent appartenir à la même espèce et peut-être à un même individu. Le fragment placé à gauche est couché sur l'une des faces latérales, tandis que l'autre face est exposée. D'après cette position, on ne voit que les stries obliques de la surface qui est à découvert. Bien que le fossile soit érasé et les deux faces latérales en contact, les stries de la face inférieure ne peuvent être distinguées, parce que leur impression se confond avec celle des stries de la face supérieure. Au contraire, le fragment placé à droite et semblablement érasé par la pression est couché sur le côté ventral, c. à d. sur le côté où les stries font un sinus concave vers l'ouverture, en sens inverse du sinus des stries sur le côté exposé. Les stries de ces deux côtés se reproduisant, à la surface, à cause de leur relief et de la grande ténuité du test, figurent un réseau très régulier, composé d'arcs dont la concavité est opposée.
  2. *id.* fragment de la surface du second spécimen, fortement grossie, pour montrer le réseau formé par les stries du côté ventral et du côté dorsal, superposées et croisées.
- Orthoceras anomatum.** Barr. . . . . E
3. Spécimen vu par la face latérale, recouverte par le test lisse. On voit l'étendue de la grande chambre et quelques loges aériennes. *Karlsteia.*
  4. *id.* cloison au droit de la brisure, vue par la face convexe. Elle est orientée comme la fig. 3 et montre le siphon placé hors des deux axes de la courbe ovulaire. Les caractères de ce spécimen ne sont pas assez prononcés pour que nous puissions l'assimiler à une des espèces que nous décrivons. Nous lui donnons donc un nom provisoire, en faisant remarquer qu'il montre beaucoup d'affinité avec *Orth. Morrisi* Barr. Pl. 350.
- Orthoceras styloideum.** Barr. . . . . E  
(voir Pl. 365.)
5. Spécimen vu par la face latérale, presque complètement dépourvée du test. Il montre la grande chambre et une série de loges à air. La suture des 5 dernières cloisons est très bien marquée, tandis qu'on distingue avec peine l'affleurement des cloisons inférieures. *Butoritz.*
  6. Autre spécimen vu par la face latérale, montrant la grande chambre et une série de loges aériennes. Les sutures des cloisons sont bien marquées sur la moitié gauche du moule interne de la coquille, tandis qu'elles disparaissent sur la moitié droite, d'une manière brusque et inégale. *Butoritz.*
  7. Autre spécimen, renfermant un individu de la même espèce, qui a pénétré dans son intérieur par la grande chambre. *Butoritz.*
  8. *id.* section transverse montrant la position des deux spécimens.
- Orthoceras cutter.** Barr. . . . . E
9. Spécimen vu par la face latérale, montrant la grande chambre, une série de loges aériennes et quelques fragments du test. On voit à droite la trace interrompue de la cloison la plus élevée. *Lochkov.*
  10. *id.* vu par l'un des côtés étroits, montrant une semblable interruption dans la suture des trois dernières cloisons, tandis que toutes les autres sont tracées sur tout le contour horizontal de la coquille.
  11. *id.* section transverse, orientée comme la fig. 9.
- Orthoceras insons?** Barr. . . . . E  
(voir Pl. 347.)
12. Spécimen vu par la face latérale, montrant une partie de la grande chambre et une série de loges aériennes,

Fig.

Etage.

- conservant des fragments du test, La suture des 4 cloisons supérieures est bien marquée, tandis que celle des cloisons inférieures est effacé sur le moule interne. *Lochkov.*
13. *id.* section transverse, orientée comme la fig. 12.
- Orthoceras Gaugmedes.** Barr. . . . . E
14. Spécimen vu par la face latérale, dépourvée du test. Il montre la base de la grande chambre et une série de loges aériennes. Les sutures des cloisons bien marquées sur les deux tiers de la longueur de la partie cloisonnée, disparaissent sans laisser aucune trace, sur le tiers inférieur. *Lochkov.*
  15. Autre spécimen vu par l'une des faces étroites, montrant la grande chambre et une série de loges aériennes. La suture des cloisons bien marquée à droite de la bande longitudinale, disparaît complètement à gauche de cette ligne, sur la moitié du contour horizontal. *Lochkov.*
  16. Autre spécimen. Moule interne montrant la grande chambre presque complète et les traces de quelques cloisons, dont les sutures sont inégalement tracées. Les sutures de toutes les autres cloisons ont disparu, soit dans l'intervalle entre celles qui sont marquées, soit au dessous. *Lochkov.*
- Trochoceras asperum.** Barr. . . . . E
17. Fragment dépourvée du test. Il est vu par la face latérale, montrant la trace de quelques cloisons dans la partie supérieure, tandis que toutes les sutures sont effacées sur la partie inférieure du spécimen. *Vallou de Slivenetz.*
- Orthoceras . . . . . ?** . . . . . E
18. Fragment représentant deux loges aériennes d'une espèce indéterminable. *Dvoretz.*
  19. *id.* vu par la face inférieure, montrant les apparences du dépôt organique. On peut comparer cette figure à celles de la Pl. 229.
- Orthoceras prevalentis.** Barr. . . . . E  
(voir Pl. 406.)
20. Deux spécimens semblables, accolés par les bords de l'ouverture. Celui qui est en dessous montre la grande chambre, une série de loges à air et une partie du test. *Collines entre Kozolup et Lodenitz.*
  21. *id.* section transverse, orientée comme la fig. 20. Le siphon est invisible.
  22. *id.* fragment du test fortement grossi pour montrer ses ornements. Les stries transverses sont très peu marquées dans la nature.
- Orthoceras severum?** Barr. . . . . E  
(voir Pl. 301—302.)
23. Fragment conservant son test, dont les stries font un sinus très marqué, sur la face exposée. *Kozors.*
- Orthoceras valens?** Barr. . . . . E  
(voir Pl. 335.)
24. Spécimen dépourvée du test, et dont la grande chambre est endommagée. La partie inférieure montre une série de loges aériennes et une forte ligne creuse, ou ligne normale, traversant les affleurements de toutes les cloisons. *Butoritz.*
- Orthoceras Panderi.** Barr. . . . . E  
(voir Pl. 366.)
25. Grande chambre, renfermant un fragment de *Orthoc. subannulare?* *Butoritz.*
  26. section transverse, montrant la position relative des deux individus.
- Orthoceras inchoatum?** Barr. . . . . E  
(voir Pl. 368—369.)
27. Fragment montrant une série de loges aériennes vers la pointe de la coquille. Le test conservé sur la majeure partie de la longueur, offre une série d'anneaux qui disparaissent vers le milieu du spécimen. La partie supérieure ne montre que des stries irrégulières. On voit quelques cloisons vers le petit bout. *Lochkov.*

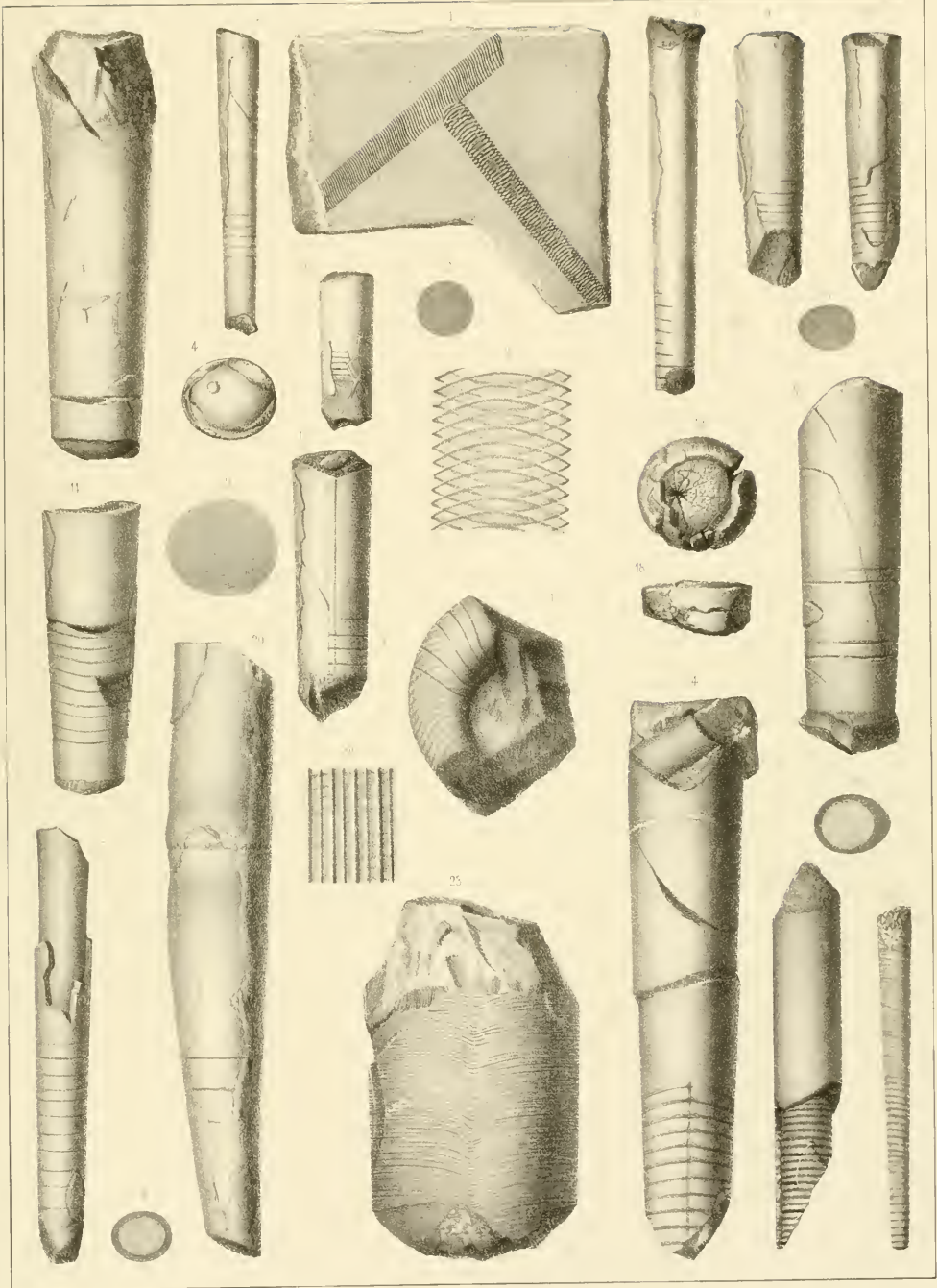






Fig.

Etage. Fig.

Etage.

**Cyrtoceras devonicans.** Barr. . G—g 3

1. Spécimen incomplet, vu par la face latérale. Moule interne paraissant représenter seulement la grande chambre, sans aucune trace des loges aériennes. La forme des ornements longitudinaux est très distincte, ainsi que la trace des anneaux transverses. *Hlubčep.*
2. *id.* cloison terminale, orientée comme la fig. 1 et montrant la position du siphon, près du bord convexe.

**Cyrtoceras imperitum.** Barr. . . . . E

3. Spécimen incomplet vu par la face latérale, montrant la grande chambre un peu endommagée vers le haut et une série de loges aériennes, recouverte par le test bien conservé, qui cache le bord des cloisons. La courbure de la coquille est bien distincte sur les deux bords opposés. *Collines entre Lužetš et Lodenitz.*
4. *id.* cloison terminale de la grande chambre, vue par le côté convexe. Elle est orientée comme la fig. 3 et montre la position du siphon contre le bord convexe de la coquille.

**Cyrtoceras infectens.** Barr. . . . . E

(voir Pl. 113.)

5. Spécimen vu par la face latérale, montrant le bord de l'ouverture, la grande chambre et quelques loges aériennes dépourvues du test. On voit la trace des étranglements périodiques, sur le moule interne de la chambre d'habitation. *Lochkov.*
6. *id.* section transverse, circulaire. La position du siphon est invisible.

**Cyrtoceras emulus.** Barr. . . . . E

7. Spécimen presque complet, vu par la face latérale, montrant le bord de l'ouverture, la grande chambre et la partie cloisonnée presque complète et conservant son test. *Lochkov.*
8. *id.* cloison terminale de la grande chambre, vue par la face convexe. Elle est orientée comme la fig. 7 et montre la position du siphon, contre le bord convexe de la coquille.
9. *id.* fragment du test fortement grossi pour montrer les plis et les stries de sa surface.
10. *id.* section longitudinale du même fragment, montrant l'imbrication directe des ornements.

**Cyrtoceras decurio.** Barr. . . . . E

11. Spécimen vu par la face latérale, montrant la grande chambre un peu endommagée et la partie cloisonnée presque entière. Le fragment du test restant sur la grande chambre ne présente que des stries sur sa surface externe, tandis que le test recouvrant les loges aériennes permet de reconnaître, outre ces stries, des chevrons de couleur noirâtre, visibles par transparence, dans l'épaisseur du test. Les bandes formant ces chevrons sont relativement très larges, par rapport à la taille du fossile. *Vallou de Slivenetz.*
12. *id.* cloison terminale de la grande chambre vue par la face convexe. Elle est orientée comme la fig. 11 et montre la position du siphon.
13. *id.* fragment du test fortement grossi, pour montrer ses ornements extérieurs.
14. *id.* section longitudinale du même fragment montrant l'imbrication de ces plis.

**Cyrtoceras grave.** Barr. . . . . G—g 1

15. Spécimen vu par la face latérale. Moule interne, montrant la grande chambre un peu endommagée et une série de loges aériennes, dont la surface est couverte par un petit Bryozoaire. On remarque trois rainures transverses sur la chambre d'habitation, sans compter l'étranglement ordinaire du moule, au dessous de l'ouverture. *Choteč.*

**Gyroceras devonicans.** Barr. . G—g 3

16. Spécimen vu par la face latérale, montrant une longue série de loges aériennes dépourvues du test. On voit une suite de forts nodules disposés sur une courbe presque médiane, sur la face exposée. *Hlubčep.*
17. *id.* section transverse vers le petit bout et orientée comme la partie remontante du fossile. Elle montre la position du siphon contre le bord convexe.

**Gyroceras tenuis.** Barr. . . . . II—h 1

(voir Pl. 11—17.)

18. Spécimen vu par la face latérale, montrant à peu près deux tours disjoints. *Hostin.*

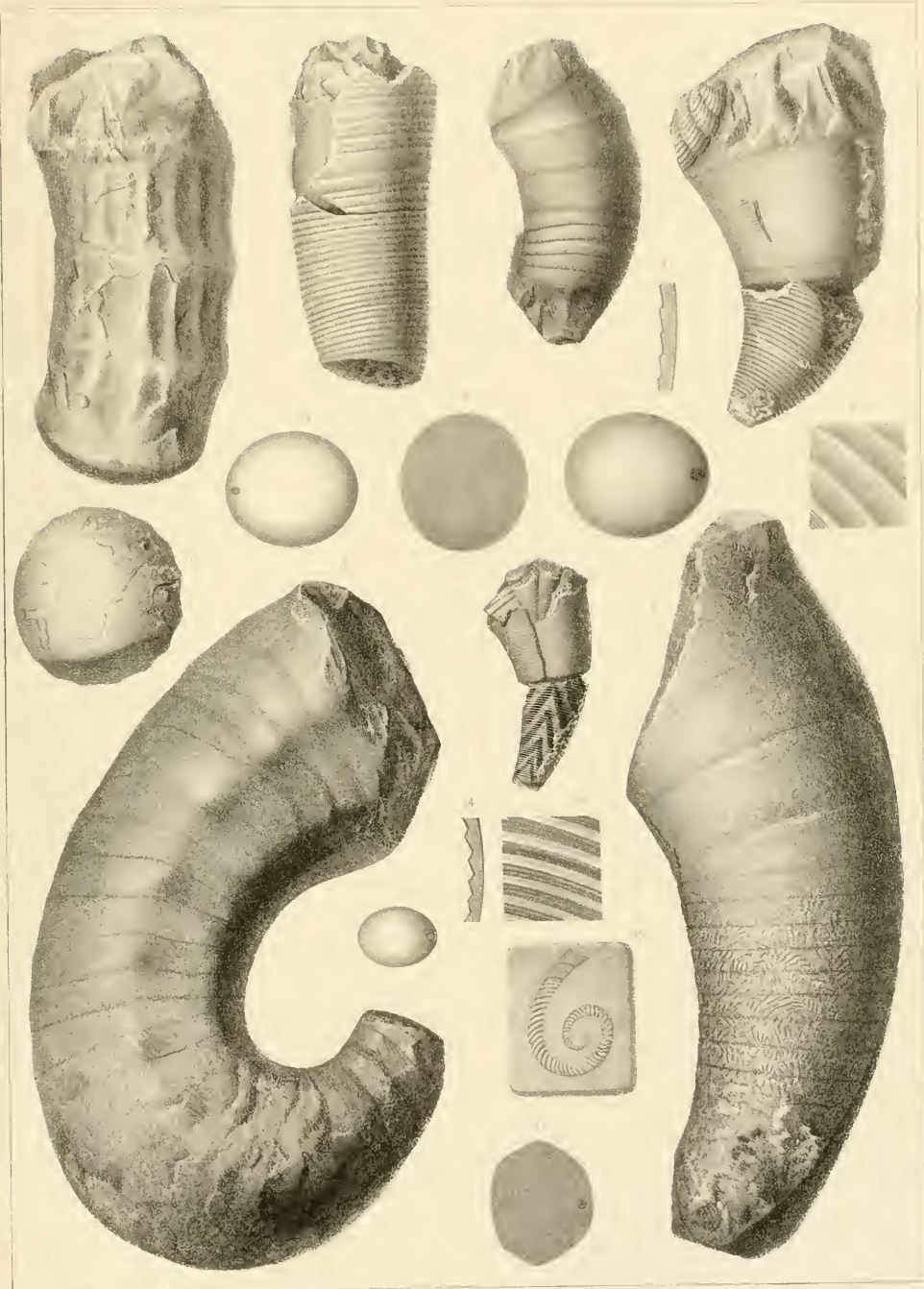






Fig.

Etage.

Fig.

Etage.

**Cyrtoceras infidum.** Barr. . . . . E  
(voir Pl. 206.)

1. Spécimen vu par la face latérale, montrant le bord de l'ouverture, le moule interne de la grande chambre et la majeure partie des loges aériennes, recouvertes par le test. *Butoritz.*
2. *id.* vu par le côté concave ou dorsal, montrant le bord de l'ouverture en face, ainsi que la cloison au petit bout.
3. *id.* cloison terminale, orientée comme la fig. 1 et montrant la position du siphon contre le bord convexe de la coquille.
4. *id.* fragment du test fortement grossi, pour montrer ses ornements. Les stries transverses prédominent beaucoup sur les stries longitudinales, très fines et creuses.

N. B. nous adjoignons à cette espèce le spécimen qui suit, en faisant remarquer l'analogie de sa forme, quoique l'apparence de ses ornements ne soit pas identique. Cette différence peut résulter de l'âge.

5. Spécimen vu par la face latérale, montrant la grande chambre, presque toutes les loges aériennes et quelques fragments du test. *Butoritz.*
6. *id.* vu par le côté convexe, montrant quelques éléments du siphon mis à nu et en relief.
7. *id.* section transverse, circulaire, orientée comme la fig. 5 et montrant la position du siphon.
8. *id.* fragment du test fortement grossi, pour montrer les stries longitudinales très fines qui passent sur les stries transverses, prédominantes.
9. *id.* trois éléments du siphon grossis, avec la trace des cloisons.

**Cyrtoceras relox.** Barr. . . . . E  
(voir Pl. 154—223.)

10. Spécimen vu par la face latérale, montrant la grande chambre un peu endommagée, la majeure partie des loges à air et quelques fragments du test. *Kozorcz.*
11. *id.* cloison terminale, elliptique, orientée comme la fig. 10 et montrant la position du siphon contre le bord convexe de la coquille.
12. *id.* fragment du test, fortement grossi, pour montrer ses ornements. La surface des plis ne présente que des stries obsolètes et à peine visibles.
13. Autre spécimen vu par le côté convexe, montrant le sinus des ornements au droit du siphon exposé dans une section longitudinale, vers le petit bout de la coquille. *Lochkor.*
14. *id.* 3 éléments du siphon grossis, avec la trace des cloisons.
15. Autre spécimen vu par le côté convexe, montrant l'échancrure au bord de l'ouverture, la grande chambre, une série de loges aériennes et la trace du siphon au droit de chaque cloison. *Butoritz.*
16. Autre spécimen vu par la face latérale, montrant le bord de l'ouverture, la grande chambre, une série de loges aériennes et une partie du test, bien conservé. *Kozorcz.*
17. *id.* section transverse au petit bout. Le siphon est invisible.
18. *id.* fragment du test fortement grossi, pour montrer les stries fines qui ornent la surface des plis et plus distinctes que sur le spécimen fig. 10—12.

**Cyrtoceras serratum.** Barr. . . . . E

19. Fragment de la grande chambre, vu par la face latérale, recouverte par le test très bien conservé. *Butoritz.*
20. *id.* section transverse au petit bout, montrant un fragment de Graptolite.
21. *id.* fragment du test fortement grossi, montrant les stries transverses inégales et irrégulières, croisées par de fortes stries longitudinales, creuses et beaucoup plus espacées.

**Cyrtoceras Phillipi.** Barr. . . . . E

22. Spécimen vu par la face latérale, montrant la grande chambre un peu endommagée, trois loges aériennes et la plus grande partie du test. *Butoritz.*
23. *id.* cloison terminale, vue par la face convexe, avec l'indication du siphon et de l'épaisseur du test. Elle est orientée comme la fig. 22.
24. *id.* fragment du test fortement grossi, pour montrer ses stries transverses, inégales et irrégulières, croisées par des stries longitudinales très fines et très serrées.
25. Autre spécimen de plus grande taille, vu par la face latérale, montrant le bord de l'ouverture, la grande chambre et une série de loges à air, avec une partie du test. On voit des impressions longitudinales sur le moule interne des loges aériennes. *Butoritz.*
26. *id.* 2 éléments du siphon, très peu grossis, avec la trace des cloisons. Ils sont dessinés d'après le côté convexe, non figuré, du fossile.
27. Autre spécimen vu par la face latérale, montrant la base de la grande chambre et presque toutes les loges aériennes, avec quelques restes du test. Les cloisons sont très rapprochées dans cet exemplaire, qui montre la dilatation rapide de la coquille, dans le sens de la largeur. *Butoritz.*
28. *id.* section transverse, orientée comme la fig. 27 et montrant la position du siphon.
29. *id.* fragment du test, très fortement grossi, montrant les stries transverses très serrées, ainsi que les stries longitudinales parmi lesquelles quelques unes sont plus fortement marquées que les autres.

**Cyrtoceras sulcatulum.** Barr. . . . E  
(voir Pl. 197—207.)

30. Spécimen vu par la face latérale, montrant le bord de l'ouverture, la grande chambre et une série de loges aériennes, avec une partie du test. *Butoritz.*
31. *id.* cloison terminale, orientée comme la fig. 30 et montrant la position du siphon.
32. *id.* vu par le côté convexe ou ventral, montrant le sinus des stries au droit du siphon. On voit quelques lignes longitudinales en relief sur le milieu de ce côté de la coquille.
33. *id.* trois éléments du siphon, à peu près en grandeur naturelle, d'après une entaille faite sur le même spécimen, vers le bas, mais non figurée.
34. *id.* fragment du test grossi, avec ses ornements et le sinus au droit du siphon.

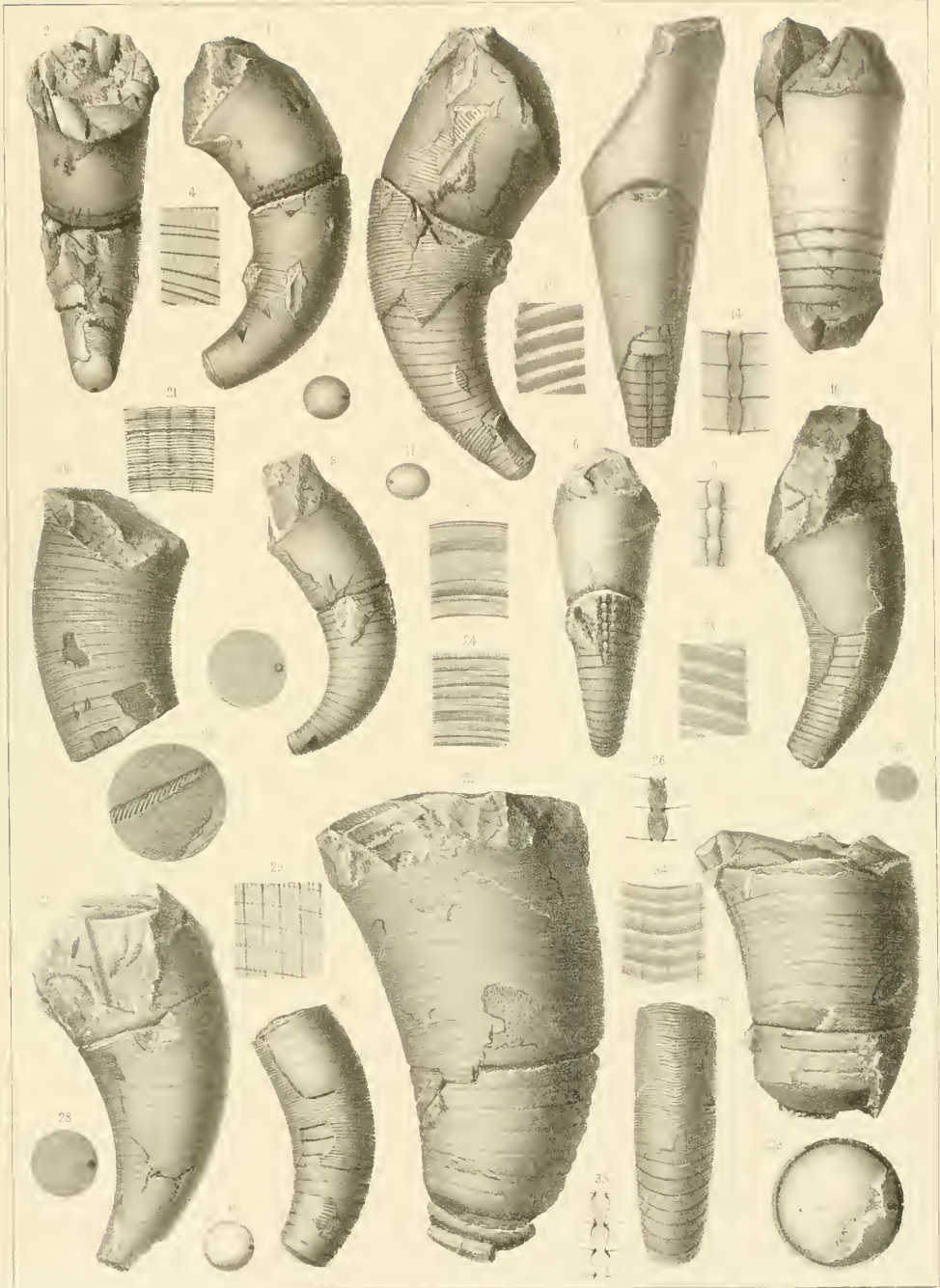






Fig.

Etage.

Les spécimens de *Hercoceras mirum* figurés sur cette planche sont destinés à montrer les traces du rechargement à l'extérieur et de la résorption à l'intérieur du test de la coquille, par le mollusque constructeur.

**Hercoceras mirum.** Barr. . . . G—g 3  
et **Var. irregularis.** Barr.

(voir Pl. 42—43—102.)

1. Section suivant le plan médian. Le spécimen ne présente pas de test sur la surface externe. La grande chambre, au lieu d'être appliquée sur la spire, s'en éloigne suivant une direction presque rectiligne. Dans cette partie droite, le test présente une apparence très lamelleuse, qui contraste avec la section unie du test dans les autres coquilles enroulées, comme dans *Gon. plebeius* figuré sur la même planche. Le bord relevé de l'ouverture manque sur la section fig. 1 mais on peut le supposer d'après les sections fig. 2—3—5. Dans l'intérieur de ce spécimen, on voit un grand nombre de cloisons conservées, ainsi qu'une partie du siphon. Le reste a été détruit, probablement avant la fossilisation. On remarquera que les cloisons sont relativement plus rapprochées et le siphon plus large dans cette variété, que dans les spécimens représentant la forme typique de cette espèce. Tout l'intérieur du fossile a été envahi par le calcaire compacte, sauf l'espace de quelques loges aériennes, rempli par du calcaire spathique blanc. *Htubocep.*
2. Autre spécimen, de la forme typique, mais dont la grande chambre ne s'applique cependant pas parfaitement sur le tour de spire adjacent. Cette disjonction peut être accidentelle et due à la compression. Le test extérieur de la coquille a été dissous.

Le test de la grande chambre se relève à angle droit pour former un diaphragme devant la cavité de la coquille. Dans cette partie relevée, comme dans la partie disjointe, la section montre que ce test se compose d'un assemblage de lamelles, indiquant l'addition successive à l'extérieur et la résorption à l'intérieur. Par cette double opération pratiquée d'une manière continue, le mollusque pouvait s'avancer graduellement dans sa coquille, comme les autres Nautilides, dont l'ouverture est libre de tout obstacle.

L'intérieur de cette section montre diverses cloisons conservées et des traces du siphon. Quelques cavités sont remplies par le calcaire spathique blanc, tandis que tout le reste de la coquille est occupé par du calcaire compacte. *Htubocep.*

3. Autre spécimen de la forme typique et de plus grande taille que les précédents. Section par le plan médian, montrant quelques restes du test extérieur de la coquille.

La grande chambre est appliquée dans toute sa longueur sur le tour de spire adjacent. Cependant, le contact ne paraît pas complet, comme dans les *Goniatites* figurés sur la même planche.

Le test formant le bord concave de la chambre d'habitation est composé de lamelles superposées, ainsi que nous venons de le faire remarquer dans les spécimens précédents. L'intérieur du fossile montre une partie des cloisons conservées, avec quelques traces du siphon. Le remplissage a eu lieu par la roche compacte, excepté dans quelques loges aériennes occupées par du spath calcaire blanc. *Htubocep.*

Fig.

Etage.

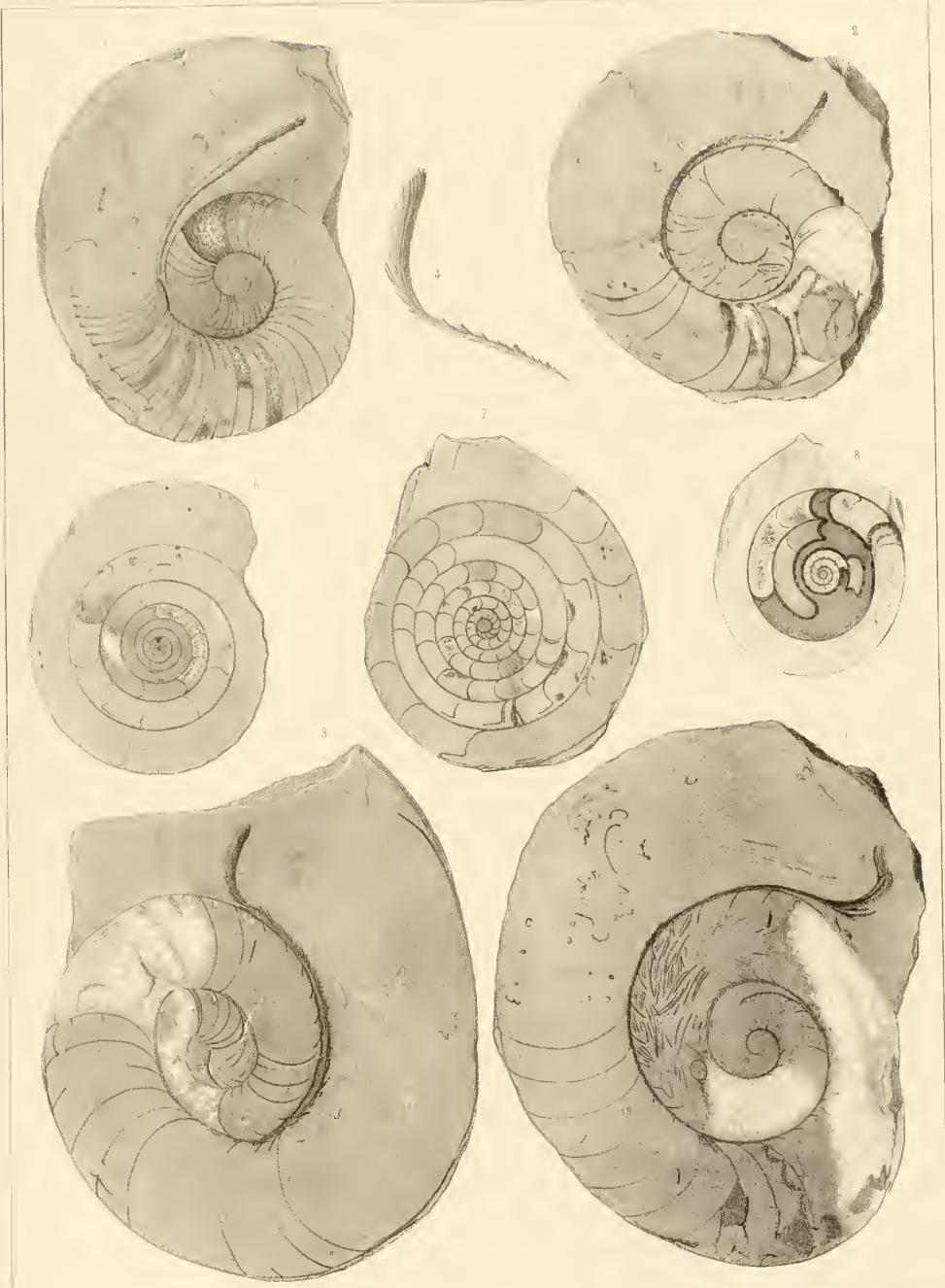
4. *id.* section de la paroi concave de la grande chambre et de son diaphragme, grossie, pour montrer la structure lamelleuse du test. On reconnaît sur le côté interne la trace des lamelles qui ont été résorbées par le mollusque, durant sa progression vers l'avant. On voit de même sur le côté externe du diaphragme les lamelles successivement appliquées par les sécrétions du manteau.
5. Autre spécimen de la forme typique et de taille à peu près semblable à celle du précédent. Section par le plan médian, montrant que le test extérieur de la coquille a disparu.

La grande chambre est complètement appliquée sur le tour de spire adjacent. Mais, malgré ce contact, on voit que le test de la chambre d'habitation est de nature lamelleuse. Sa surface permet de distinguer la base des lamelles dissoutes par le mollusque durant sa progression vers l'avant. La section du diaphragme montre nettement la structure que nous venons d'observer sur les autres individus figurés.

Dans l'intérieur du fossile, on retrouve quelques cloisons bien conservées, tandis que les débris des cloisons brisées sont accumulés dans une partie de la cavité interne, principalement occupée par le calcaire compacte. Le reste est rempli par du calcaire cristallin, blanc. *Htubocep.*

**Goniatites plebeius.** Barr. . . . G—g 3  
(voir Pl. 5—6—7—242—244.)

6. Section par le plan médian. Le test extérieur de la coquille a disparu. La coquille tend à prendre la forme elliptique, mais la partie interne est circulaire. La grande chambre occupe environ un tour et  $\frac{1}{5}$ , quoique la partie qui avoisine l'ouverture soit endommagée. On voit dans le tour qui lui est adjacent diverses cloisons conservées ainsi que la section de la paroi interne du goulot. Sa paroi externe n'est pas visible. *Htubocep.*
7. Autre spécimen plus développé. Section par le plan médian. La coquille tend à prendre la forme elliptique dans les derniers tours. La grande chambre manque. La plus grande partie des cloisons est conservée. On voit ça et là le goulot représenté par sa paroi interne, avec quelques traces de la paroi externe, c. à d. adjacente à la surface de la coquille. Toutes les cavités sont remplies par la roche compacte. *Htubocep.*
8. Autre spécimen plus petit. Section par le plan médian. La grande chambre quoique incomplète du côté de l'ouverture, occupe à peu près un tour. Les cloisons sont irrégulières dans les tours internes. Aucun goulot n'est visible. Les cavités des loges aériennes sont remplies en partie par du spath calcaire de diverses nuances, tandis que la roche compacte a pénétré dans l'espace où les cloisons manquent. *Htubocep.*







Fig

Etage. Fig

Etage.

**Goniatites Bohemicus.** Barr. . . G-g3  
(voir Pl. 1-2-3-244.)

1. Spécimen peu développé. Le test extérieur de la coquille a été dissous. Section suivant le plan médian, montrant la grande chambre à peu près complète et les tours internes de la spire. La plus grande partie des cloisons a été détruite. Les trois qui avoisinent la chambre d'habitation montrent la trace de la paroi interne du goulot. *Hlubočep.*

**Goniatites plebeius.** Barr. . . G-g3  
(voir Pl. 5-6-7-241-244.)

2. Spécimen de forme circulaire, dont les tours de spire sont relativement étroits et serrés. Section par le plan médian. La grande chambre est incomplète. Une grande partie des cloisons est conservée dans les tours internes, excepté dans l'un d'eux qui n'en montre aucune. On reconnaît en plusieurs points la paroi interne du goulot, et même une trace de la paroi externe, appliquée contre le test de la coquille. Les cavités sont remplies en partie par la roche compacte et en partie par le calcaire spathique blanc. *Hlubočep.*
3. Autre spécimen, de forme elliptique, dont les tours de spire sont notablement plus larges que dans le précédent. Section par le plan médian, montrant la base de la grande chambre et la plus grande partie des cloisons bien conservées. On reconnaît la section de la paroi interne d'un assez grand nombre de goulots, mais la paroi externe n'est pas apparente. Les loges à air sont remplies par le calcaire compacte. On voit qu'avant l'introduction de cette roche, les parois de toutes les loges du second tour, à partir de l'extérieur, avaient été tapissées par une couche mince de spath calcaire blanc. *Hlubočep.*
4. Autre spécimen, de forme circulaire. Section suivant le plan médian. La grande chambre occupe un tour et  $\frac{1}{4}$ , quoique son ouverture soit incomplète. On ne voit dans l'intérieur de la coquille qu'un petit nombre de cloisons conservées, mais la plupart montrent la paroi interne du goulot, dont la paroi externe n'est pas apparente. Tout le fossile est rempli par le calcaire compacte, traversé par un petit filon. *Hlubočep.*
5. Autre spécimen plus jeune, dont la forme est elliptique. Section montrant une partie de la grande chambre et une série de cloisons, qui se font remarquer par leur grand espacement, comparé à celui qu'on observe dans les autres individus figurés. Trois goulots sont représentés par leur paroi interne. Toute la coquille est remplie par le calcaire compacte. *Hlubočep.*
6. Autre spécimen de forme elliptique très prononcée. Section par le plan médian, montrant la base de la grande chambre et une partie des cloisons dans les tours internes, tandis que les autres sont détruites. Une seule a conservé le goulot représenté par sa paroi interne. Les cavités de la coquille sont partiellement remplies par le calcaire compacte et par le calcaire cristallin. *Hlubočep.*
7. Jeune spécimen, de forme circulaire, dans lequel le tour externe est occupé par la grande chambre, ainsi qu'une partie du second tour. Parmi les cloisons conservées, plusieurs montrent la paroi interne du goulot. Le fossile est rempli de calcaire compacte. *Hlubočep.*
8. Spécimen de taille moyenne. Son apparence elliptique est due en partie à la compression latérale, qui a produit diverses petites brisures, dont on voit la trace. La grande chambre, incomplète, occupe cependant plus d'un tour. Diverses cloisons existent dans les tours conservés, et trois d'entr'elles montrent le goulot. Dans celle qui est la plus voisine du point le plus bas, le goulot présente la section de ses deux parois opposées. Les cavités sont remplies, les unes par le calcaire compacte et les autres par du calcaire spathique, blanc. On remarquera que 3 à 4 tours, formant la partie centrale ou initiale de la coquille, se trouvent isolés au milieu de la roche cristalline et cependant sont parfaitement conservés avec leurs cloisons. Les parties les plus tennes et les plus délicates du test ont donc résisté aux forces dissolvantes qu'on attribue ordinairement à la cristallisation. *Hlubočep.*
9. Autre spécimen de forme circulaire, et dont les tours de spire sont relativement étroits, comme ceux de la fig. 2. La grande chambre est incomplète, et si on la suppose formant plus d'un tour, on pourra compter au moins 10 tours de spire dans cet individu. La plupart des cloisons sont conservées et plusieurs présentent le goulot. Mais l'exigüité des sections de cet appendice n'a pas permis de figurer la trace de sa paroi externe, visible en certains points. La conservation des parois extrêmement minces des cloisons et des goulots mérite d'être remarquée, parceque tous les tours de spire, à l'exception de la chambre d'habitation, sont remplis par du calcaire cristallin, blanc. *Hlubočep.*
10. Diagramme figurant quelques loges aériennes, idéales, de *Gon. plebeius*. Cette figure est destinée à présenter une sorte de résumé des apparences du goulot, dans les spécimens que nous avons observés et dont quelques uns seulement ont pu être dessinés sur nos planches. Sur ceux même qui sont figurés, l'exigüité des détails du goulot les a soustraits à l'attention du dessinateur.
- Le goulot de la cloison supérieure est représenté par sa paroi interne, vis à vis laquelle on reconnaît la paroi externe, appliquée dans toute sa longueur sur le test de la coquille, dont elle augmente visiblement l'épaisseur.
- Le goulot de la cloison intermédiaire est représenté de même que le précédent par sa paroi interne. Mais on reconnaît le petit bout de la paroi externe, qui se détache du test, sur lequel il reste appliqué dans la plus grande partie de son étendue.
- Le goulot de la cloison inférieure est représenté par ses deux parois, interne et externe. Celle-ci se raccorde seulement par son extrémité supérieure avec le test, dont elle n'est séparée que par une très faible distance, dans tout le reste de sa longueur.







Fig.

**Gomphoceras emaciatum.**

Barr. . . . G—g3

1. Spécimen vu par la face latérale, dépouillée du test. Il montre une partie du bord de l'ouverture, la grande chambre et quelques loges aériennes. *Hlubočep.*
2. *id.* section longitudinale, suivant le plan médian, montrant la trace de 3 cloisons et de 4 éléments du siphon, dont la hauteur est variable. Tout l'intérieur des cavités est rempli par le calcaire compacte, grisâtre.
3. *id.* section transverse, prise près du petit bout et réduite aux  $\frac{2}{3}$  de ses dimensions naturelles. Elle est orientée comme la fig. 1 et montre la position du siphon.

**Gomphoceras curtum.** Barr. . . G—g3

4. Grande chambre isolée et vue par la face latérale. Moule interne, conservant un fragment d'une loge à air. On voit les contours de l'ouverture. Cette chambre d'habitation se fait remarquer par sa hauteur peu considérable, par rapport au diamètre ventro-dorsal de sa base. *Hlubočep.*
5. *id.* vu par le haut, pour montrer les contours de l'ouverture. La symétrie de ces contours, un peu altérée par la pression sur le fossile, a été complètement rétablie sur la figure.
6. *id.* cloison terminale de la grande chambre, réduite à moitié de ses diamètres naturels. Elle est orientée comme les fig. 4—5 et montre la position du siphon.

Etage.

Fig.

**Cyrtoceras retroflexum.** Barr. . . . E

7. Spécimen vu par la face latérale, montrant une partie du bord de l'ouverture, la grande chambre et quelques loges aériennes, avec la plus grande partie du test. La courbure de cette espèce, sans être forte, est cependant très sensible, aussi bien sur le bord concave que sur le bord convexe. Elle serait encore plus apparente, si l'on pouvait observer la coquille avec sa pointe. *Kozorš.*
8. *id.* vu par le côté convexe, conservant son test, dans toute la longueur du fossile et montrant le bord intact de l'ouverture. On voit que les stries transverses ne font qu'un faible sinus sur la ligne médiane, c. à d. au droit du siphon.
9. *id.* extrémité inférieure, vue par le côté concave, pour montrer l'inflexion aplatie et arrondie des stries, à l'opposé du siphon.
10. *id.* fragment du test, grossi, pour montrer ses ornements et leur faible sinus au droit du siphon.
11. *id.* cloison au niveau de la brisure, vue par la face convexe. Elle est orientée comme la fig. 7 et montre la position du siphon contre le bord convexe de la coquille. La section transverse est plus aplatie vers le haut du fossile.

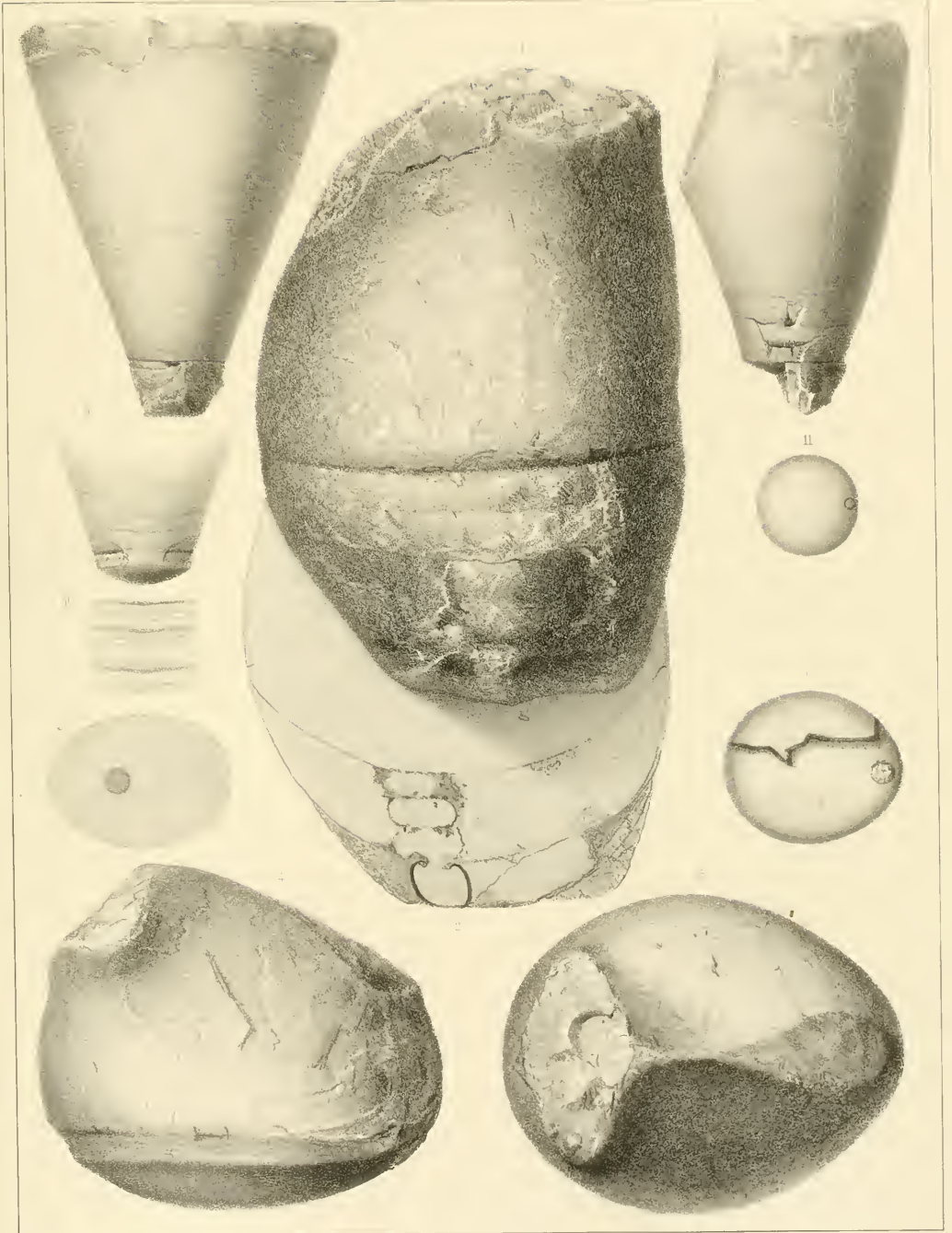






Fig.

Etage.

Fig.

Etage.

**Goniatites tabuloïdes.** Barr. . . G—g 3  
(voir Pl. 4.)

1. Section suivant le plan médian d'un spécimen non adulte. Elle montre la grande chambre incomplète et une série de loges aériennes. Quelques cloisons ont conservé leur goulot, qui n'est représenté que par sa paroi interne, tandis que la paroi externe a disparu avec le test de la coquille. On remarquera l'existence d'une petite fossette près de l'extrémité de chaque cloison, du côté du bord concave de la coquille. Toutes les cavités sont remplies par le calcaire compacte. *Hlubocep.*
2. Autre spécimen, à peu près de même taille que le précédent, mais dont les cloisons paraissent plus rapprochées. Bien que celles qui avoisinent la grande chambre soient détruites dans leur partie centrale, leur extrémité subsiste et conserve la paroi interne du goulot, dont la paroi externe a été enlevée avec le test de la coquille. Les cavités sont toutes remplies par le calcaire compacte, grisâtre. *Hlubocep.*

**Goniatites Bohemicus.** Barr. . . G—g 3  
(voir Pl. 1—2—3—242.)

3. Spécimen de taille moyenne, vu par la face latérale, montrant une série de loges aériennes, conservant une partie de leur test. La spire a été déformée par la compression. *Hlubocep.*
4. *id.* section suivant le plan médian, montrant les cloisons plus ou moins déformées. Cependant, plusieurs conservent leur goulot, représenté par sa paroi interne. Le test de la coquille a été dissous. La plus grande partie des cavités est occupée par le calcaire compacte, mais on voit quelques loges aériennes remplies par du spath calcaire blanc, qui n'a pas détruit les parois minces des cloisons. *Hlubocep.*

**Goniatites plebeius.** Barr. . . G—g 3  
(voir Pl. 5—6—7—241—242.)

5. Section suivant le plan médian d'un spécimen qui paraît devoir sa forme elliptique à la compression. On voit une partie de la grande chambre et un grand nombre de cloisons conservées avec leur goulot. Cependant, on ne distingue que la paroi interne de cet appendice. La paroi externe a disparu avec le test de la coquille. Quelques loges aériennes sont tapissées par une couche de spath calcaire blanc, mais la plupart sont remplies par le calcaire compacte. *Hlubocep.*

**Phragmoceras imbricatum.** Barr. E  
(voir Pl. 46—175.)

6. Jeune individu, vu par la face latérale, montrant la grande chambre et la partie cloisonnée avec la calotte initiale, très bien conservée. Le bord de l'ouverture paraît à peu près intact, comme dans divers spécimens figurés Pl. 175, ce qui porterait à penser, qu'au jeune âge, l'ouverture était simple dans cette espèce. Le fossile est partiellement recouvert par son test, qui laisse une lacune, à la base de la chambre d'habitation. *Bu-*  
*toivitz.*

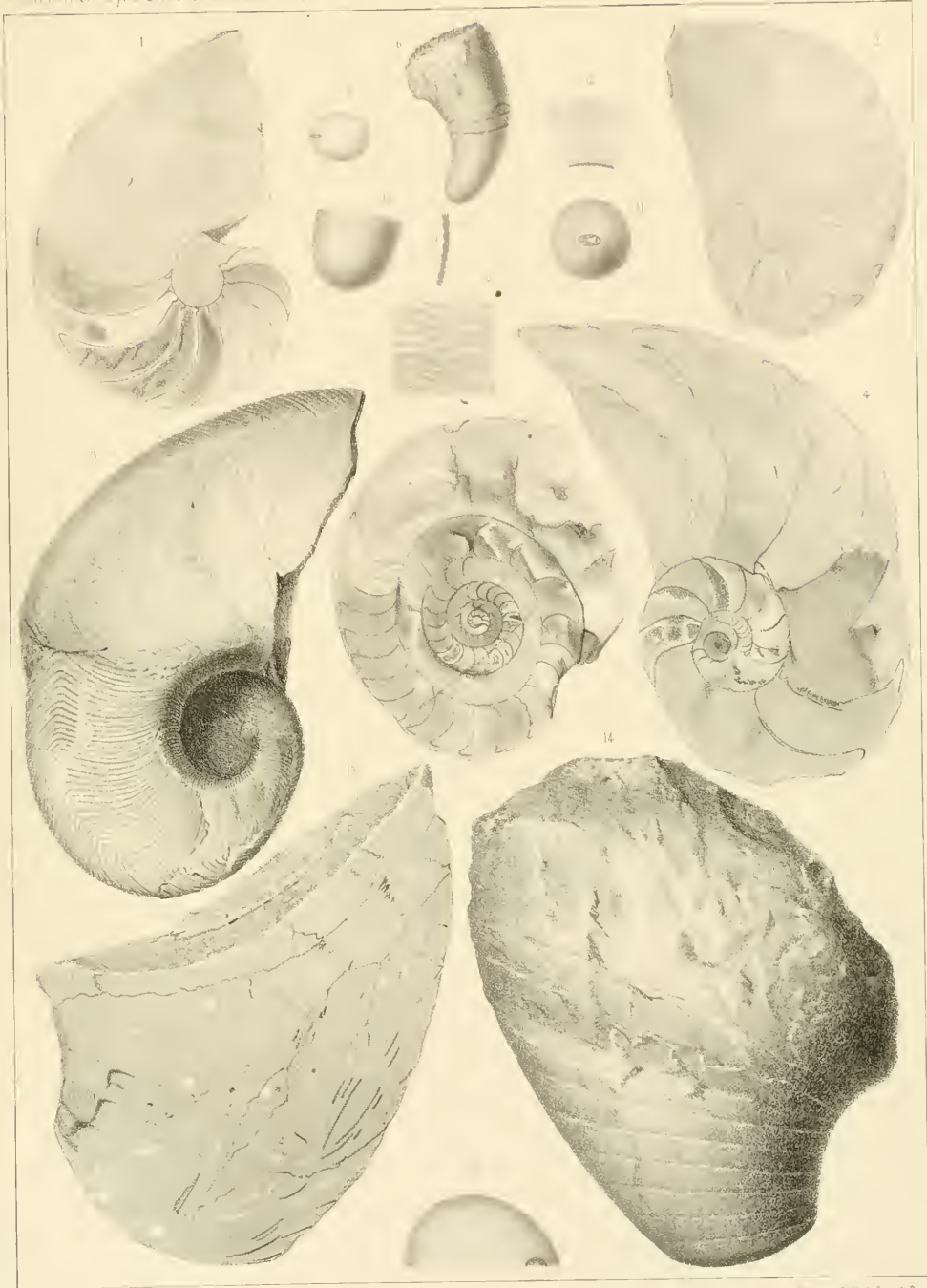
7. *id.* seconde cloison au dessous de la grande chambre. Elle est orientée comme la fig. 6 et montre la position du siphon contre le bord concave de la coquille.
8. *id.* fragment du test pris au milieu du bord concave, au droit du siphon. Il est fortement grossi pour montrer les stries ou lamelles transverses et leur sinus très marqué sur la ligne médiane.
9. *id.* section longitudinale de ce fragment, montrant l'imbrication directe des lamelles du test.
10. *id.* extrémité inférieure, vue par la face latérale et grossie, pour montrer les ornements de la calotte initiale.
11. *id.* calotte initiale grossie et vue par la face convexe, montrant la cicatrice qui occupe le centre et les stries fines concentriques.
12. *id.* fragment de la surface fortement grossi, pour montrer les stries concentriques aux bords de la cicatrice centrale.

**Phragmoceras comes.** Barr. . . G—g 3  
(voir Pl. 63.)

13. Section suivant le plan médian, d'un fragment représentant une série de loges aériennes. Presque toutes les cloisons ont été détruites et on voit leurs fragments épars dans le calcaire compacte qui remplit le fossile. On reconnaît en place deux éléments du siphon, qui conservent la trace des lamelles rayonnantes du dépôt organique, occupant leur intérieur, comme dans diverses espèces du même genre. *Hlubocep.*

**Phragmoceras gutturosom.**  
(voir Pl. 100.) Barr. . G—g 3

14. Spécimen vu par la face latérale. Moule interne, montrant la grande chambre endommagée et une série de loges aériennes. Par suite d'une erreur, cette face a été figurée au lieu de la section du fossile par le plan médian. Cette section, entièrement analogue à celle de la fig. 13, expose diverses cloisons conservées, et les débris des cloisons détruites. Le siphon est représenté par trois de ses éléments en place, c. à d. près du bord concave de la coquille. Ils conservent aussi dans l'intérieur la trace des lamelles rayonnantes de leur dépôt organique. La forme de ces éléments est plus aplatie que celle des éléments analogues de la fig. 13. L'intérieur du fossile est uniquement rempli par le calcaire compacte gris. *Hlubocep.*
15. *id.* cloison terminale vue par la face convexe. Elle est orientée comme la fig. 14 et montre la position du siphon.











Date Due

Dec 7<sup>th</sup>  
1982

~~MAY 31 1984~~

~~JUN 30 1984~~

~~JAN 31 1999~~

~~MAR 31 2002~~

ERNST MAYR LIBRARY



3 2044 110 320 371

